

A colección
de vides
da estación de
viticultura e
enoloxía
de Galicia

XUNTA DE GALICIA

A COLECCIÓN
DE VIDES
DA ESTACIÓN DE
VITICULTURA E
ENOLOXÍA
DE GALICIA

XUNTA DE GALICIA

CONSELLERÍA DO MEDIO RURAL
SANTIAGO DE COMPOSTELA

2011



Coordinadora

Emilia Díaz Losada

Autores

Emilia Díaz Losada
Ignacio Orriols Fernández
Francisco Rego Martínez
Andrea Tato Salgado
Ana Ramos Cabrer
Santiago Pereira Lorenzo

Edita

Xunta de Galicia
Consellería do Medio Rural.

Lugar

Santiago de Compostela

Asesoramento lingüístico

Antonia Vega Prieto

Ano

2011

Deseño, maquetación e impresión

Tórculo Artes Gráficas, S.A.

DL C 2961-2011

ISBN 978-84-453-5003-4

PRESENTACIÓN

Galicia é posuidora dunha longa tradición histórica onde o mundo do viño recolle a esencia da súa cultura. No libro *A Colección de Vides da Estación de Viticultura e Enoloxía de Galicia* preséntase unha descrición polo miúdo das variedades de vide que estiveron e están presentes nesta tradición galega e que evolucionaron no tempo en resposta a cambios biolóxicos, ambientais e socioculturais.

O complexo varietal da vide que se veu desenvolvendo en Galicia ao longo dos séculos ata mediados do XIX, como na maior parte de Europa, viuse gravemente afectado polas crises provocadas por pestes como o oídio, a filoxera e o mildeu, que ocasionaron unha gran perda da diversidade orixinaria.

Dende a Xunta de Galicia, tras a creación da EVEGA no ano 1985, financiouse a creación dun banco de xermoplasma de vide como medida para garantir a conservación *in situ* dos recursos xenéticos da vide presentes na nosa Comunidade Autónoma. Este banco foise configurando grazas ao esforzo dos distintos investigadores que procederon á recollida e conservación das variedades locais, algunhas delas en perigo de extinción. A partir de entón tamén se emprenderon dende EVEGA estudos relacionados coa caracterización e potencialidade deste amplo patrimonio xenético.

A conservación de cultivares nun banco de xermoplasma é xustificada por constituír unha fonte valiosa de xenes de importancia que están agochados, agardando a súa utilización nos programas de mellora xenética de cara ao

descubrimento de variedades que os viticultores poidan utilizar con propósitos comerciais. É tamén un patrimonio biolóxico e xenético que permite unha maior adaptación e plasticidade ás diferentes condicións do medio. E non é menos mencionar o seu valor para encontrar xenes de resistencia a enfermidades nas que as variedades comerciais actuais poidan fallar como consecuencia de pragas ou enfermidades xeneralizadas. Nel tamén poden estar presentes ecotipos que posúan características sobresaíntes que os fagan máis apreciados nun momento dado ou para un determinado tipo de consumidores.

O estudo das variedades que se leva a cabo nesta publicación responde ás funcións que a Consellería do Medio Rural encomenda ao INGACAL, e no seu nome á Estación de Viticultura e Enoloxía de Galicia, como centro de execución de programas e proxectos de investigación e experimentación vitivinícola, así como de divulgación e posta en valor dos resultados, actuando, de ser preciso, en colaboración con outras entidades públicas ou privadas.

Desexamos que esta actuación sirva para un mellor coñecemento, difusión e intercambio dos recursos xenéticos cos que contamos, coa finalidade de aumentar a utilización das variedades ancestrais nunha produción vitícola sustentable encamiñada a competir no mercado actual, onde cada vez se valora máis un produto de calidade diferenciada.

Samuel Juárez Casado
Conselleiro do Medio Rural

Índice

Os autores.....	9
Nota preliminar.....	11
O cultivo da vide en Galicia: Tradición e actualidade.....	15
A colección de vides da Estación de Viticultura e Enoloxía de Galicia	31
Metodoloxía utilizada na caracterización varietal	35
Fichas descritivas das variedades de vide	41
Agudelo.....	43
Albarín Branco.....	48
Albarín Tinto	53
Albariño.....	58
Albilla.....	63
Aramón.....	68
Branca de Monterrei	73
Brancellao	78
Brancellao Branco.....	83
Brujidera	88
Caíño Branco.....	93
Caíño Bravo.....	98

Caíño Longo 1	103
Caíño Longo 2	108
Caíño Tinto	113
Carrasquín	118
Castañal.....	123
Catalán	128
Corbillón	133
Couxo	138
Dona Branca.....	143
Ferrón	148
Garnacha	153
Garnacha Tintureira	158
Garrido Fino	163
Godello	168
Gold	173
Gran Negro	178
Híbrido	183
Italia.....	188
Lado	193
Loureira	198
Malvasía	203
Mandón	208
Mencia	213
Merenzao	218
Moscatel.....	223
Moscatel de Bago Miúdo.....	228
Moscatel de Bago Miúdo Tinto	233
Moscatel de Hamburgo.....	238
Mouratón	243
Náparo	248
Negrón de Aldán	253
Palomino	258
Pan e Carne	263
Pedral	268
Picapoll Negro	273

Pirixileira	278
Planta Fina	283
Promisión	288
Ratiño	293
Silveiriña	298
Sousón	303
Tempranillo	308
Tinta da Zorra	313
Tinta Femia	318
Torrontés 1	323
Torrontés 2	328
Traminer	333
Treixadura	338
Treixadura Francesa	343
Verdello	348
EVEGA 1.....	353
EVEGA 3.....	358
EVEGA 4.....	363
EVEGA 5.....	368
EVEGA 6.....	373
Bibliografía	379
Esbozo da localización das variedades no viñado de EVEGA	385



OS AUTORES

Que sería do noso planeta sen a diversidade de seres que o compoñen? Que sería da vida sen a diversidade de coñecementos, de anécdotas e vivencias? Que sería da nosa cultura sen un dos seus elementos que é símbolo de amizade, compañía, compromiso...?

O mosto fermentado, froito da vide, foi e é indicativo de benestar e, malia os numerosos avatares que a historia marcou, rexorde sempre buscando ser non só unha bebida alcohólica sen máis, senón que aparece unindo solo, clima e variedade.

Galicia, posuidora de orografía e climatoloxía diversa, alberga un importante patrimonio varietal que a Administración quere preservar para todos os galegos e abrir as súas fronteiras máis alá dos seus límites físicos e políticos.

Por iso se conservan nun pequeno recanto variedades que formaron parte da súa historia, que deron resposta ás necesidades vitais dos seus habitantes en momentos críticos e que noutros foron punto clave do desenvolvemento da rexión.

Variedades de orixe incerta, talvez traídas por distintos poboadores que chegaron á rexión

ou ben xa presentes no noso solo dende a prehistoria, son consecuencia de procesos xenéticos naturais que deron lugar a individuos que hoxe consideramos como autóctonos.

É o gusto do consumidor quen determinou a variabilidade do produto. Esta hai que buscala na materia prima, que adaptada ás condicións ambientais propias dun lugar permite coa tecnoloxía axeitada a obtención do bo mosto que dará o mellor viño.

Conservar a diversidade permitirá dar resposta a distintos padais, pero tamén a cambios físicos, climáticos, políticos ou culturais que poidan xurdir nun futuro non moi afastado.

Bioloxía, biodiversidade, taxonomía, produción, xenética foron algúns dos campos de estudo que abordaron os autores neste libro ao longo da súa vida profesional; campos que permitiron contemplar a vide dende distintos aspectos, contribuíndo os seus coñecementos á elaboración desta obra, cuxa realización non sería posible sen o apoio e interese que mostraron organismos públicos, entre os que é necesario mencionar: a Consellería do Medio Rural (Xunta de Galicia)

que financiou, dende a creación da Estación de Viticultura e Enoloxía de Galicia, a prospección e a conservación deste material vitícola; o Instituto Nacional de Investigacións Agrarias (INIA), que financiou a caracterización mediante marcadores morfolóxicos e moleculares este banco de xermoplasma da vide, o que permitiu a creación deste libro.

Por outra parte, queremos expresar o noso agradecemento aos distintos cargos directivos da Consellería do Medio Rural que directa ou indirectamente facilitaron o noso labor.

E tamén están na nosa mente os traballadores do Centro, especialmente os que dedican o seu traballo ao mantemento do terreo e que día tras día miman todos e cada un dos exemplares presentes neste banco.

NOTA PRELIMINAR

Na presente publicación expóñense os resultados obtidos ata o momento no Programa de caracterización do banco de xermoplasma presente na Estación de Viticultura e Enoloxía de Galicia (EVEGA), dependente do Instituto Galego de Calidade Alimentaria (INGACAL), adscrito á Consellería do Medio Rural (Xunta de Galicia).

Este libro pretende ser a base de referencia das variedades que están ou estiveron presentes na rexión galega, contribuíndo ao seu coñecemento mediante a presentación do material fotográfico de cada xenotipo, e acompañado da súa correspondente descrición morfolóxica.

Preséntase a xeito de fichas que recompilan a localización física das distintas accesións de cada variedade no viñado sito nas dependencias de EVEGA, as sinonimias coas que se coñecen os distintos xenotipos na nosa rexión, e que constan no banco, pequenas notas sobre a súa localización e a importancia do seu cultivo en épocas pretéritas, así como a súa importancia na actualidade. Para iso faise referencia á superficie de cultivo rexistrada no Rexistro Vitícola (datos sen publicar facilitados polo Servizo de Sanidade e

Producción Vexetal, Consellería do Medio Rural) e á categoría coa que son contempladas nos regulamentos das denominacións de orixe. A caracterización dos cultivares mediante marcadores morfolóxicos e moleculares é o compoñente principal desta publicación. A descrición morfolóxica está complementada con estudos filométicos que se consideran caracteres máis obxectivos na identificación varietal. Tamén se indican os alelos, en número de pares de bases, de oito loci microsátélites que identifican cada cultivar.

Ademais, engádese unha pequena recensión do comportamento agronómico e enolóxico, procedente tanto dos resultados achegados por distintos autores coma dos estudos realizados no propio viñado de EVEGA. Son de mencionar os realizados por Freijanes *et al.* (1993), Díaz-Losada *et al.* (2006), Hernández Mañas e Rodríguez-Rodríguez (2006), Blanco *et al.* (2007, 2008), Díaz-Losada *et al.* (2008 a,b), Cortés *et al.* (2008 a,b,c,d), Orriols *et al.* (2008), Río-Segade *et al.* (2008) e Cortés e Díaz-Losada (2009).

Descríbense en total 67 xenotipos distintos. Dalgúns non coñecemos a súa denominación malia

realizar a busca bibliográfica, o cal nos fai barallar a hipótese de que se trata de xenotipos novos aínda non descritos.

Paralelamente á caracterización do banco realizáronse novas prospeccións que nos permitiron corroborar *in situ* a existencia actual dalgunhas das variedades, así como contrastar a denominación coa que están rexistradas na colección coas dadas polos viticultores nas distintas zonas da rexión.

Finalmente inclúese un esbozo orientativo coa distribución das distintas variedades no viñado de EVEGA.

Para dar a coñecer e divulgar ao máximo esta colección, publícase a monografía *Colección de Vides da Estación de Viticultura e Enoloxía de Galicia* grazas ao labor dos traballadores de EVEGA e ao apoio das institucións administrativas nacionais e comunitarias, quen garantirán a conservación desta biodiversidade vexetal nun futuro.

A COLECCIÓN
DE VIDES
DA ESTACIÓN DE
VITICULTURA E
ENOLOXÍA
DE GALICIA



O CULTIVO DA VIDE EN GALICIA.

TRADICIÓN E ACTUALIDADE

Orografía e clima determinantes no viñado galego

Galicia está situada no noroeste da Península Ibérica, no sudoccidente europeo, entre as latitudes 43° 47' N e 41° 49' N e as lonxitudes 6° 42' O e 9° 18' O. Esta rexión está bañada polo mar Cantábrico ao norte e polo Océano Atlántico ao

oeste; próxima ás súas costas ascende a corrente do golfo cara ao norte de Europa, o que tempera o clima. A influencia marítima maniféstase por un réxime de precipitacións elevado que se vai matizando ao avanzar cara ao interior, onde se alcanza a altitude máxima de 2.124 m no cumio de Pena Trevinca.

15

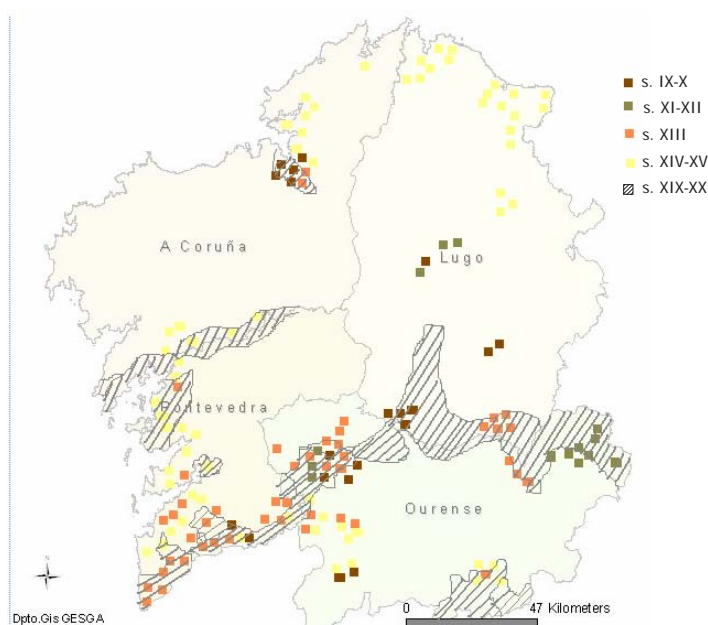


Figura 1. Asentamento dos viñedos en Galicia durante a Idade Media segundo Huetz de Lempis (1967), elaborado a partir da documentación existente nos mosteiros e catedrais, e distribución das zonas produtoras na actualidade catalogadas baixo a denominación de orixe ou a indicación xeográfica.

As referencias máis antigas do cultivo da vide en Galicia remóntanse aos romanos (Huetz de Lemp, 1967), pero foi na Idade Media cando, a partir da reconquista, se producen as plantacións nas zonas onde atopamos hoxe o seu cultivo. A época máis antiga corresponde ao ano 760, que é cando, despois da reconquista, se comeza a plantación de viñedos en Lugo. Debido á dificultade de produción nesta zona, outórgaselle á catedral de Lugo a plantación de viñedos en Ribadavia.

Se temos en conta os datos achegados por Huetz de Lemp (1967), a grande eclosión nas plantacións de viñedo prodúcese no século XIII (figura 1).

As viñas medievais e da Idade Moderna estiveron diseminadas polos vales abrigados de cota media e baixa en gran parte do territorio. Tras a chegada das pestes americanas a partir de mediados do século XIX, houbo unha gran redución da superficie, de tal xeito que a viticultura actual se sitúa principalmente na metade sur galega, coa excepción das terras de Betanzos e o val do Navia. A mellora das comunicacións e a especialización vitícola nas zonas máis favorables para o cultivo tamén levaron á desaparición do viñedo en zonas como o val de Lourenzá, importante no seu momento por abastecer o mosteiro de Mondoñedo (Huetz de Lemp, 1967).

A superficie actual que ocupa a viña en Galicia é dunhas 33.624 ha, extensión moderada pero que non por iso deixa de ter características diversas. Son significativos os contrastes existentes entre os viñedos aínda que ás veces só estean distantes entre si uns poucos quilómetros. Estes contrastes veñen determinados polas orografía e as paisaxes que os circundan, polo grao de atomización da propiedade, polas diferentes maneiras en que se acondicionaron as terras para a súa instalación e tamén polas peculiaridades das xeometrías vitícolas predominantes en cada zona.

En Galicia existen solos de substratos graníticos variados, xistos e lousas menos evolucionadas, e sedimentarios, mesmo se observan intrusionés



Figura 2. Viñedo en chaira (DO Ribeiro).

calcarias na franxa limítrofe oriental. Os solos habitualmente presentan pH ácido e textura franca. Sobre estes aséntanse a maior parte dos viñedos. Tamén se atopan en zonas arxilosas no interior e areosas no occidente.

Nuns viñedos a pedregosidade é elevada, e neles, en tempos pasados, os viticultores foron extraendo o material para construír os muros dos socialcos ou os peches da propiedade. Noutros, pola súa natureza ou debido á súa retirada secular, a pedra escasea. Os viñedos sobre cantos rodados aparecen nalgúns zonas, pero é talvez en Valdeorras onde os terreos de orixe aluvial ocupan máis extensión.

A diversidade orográfica trae como consecuencia que se poidan atopar viñas asentadas en terreos practicamente chairos (figura 2), outras sobre suaves outeiros, pero tamén en empinadas encostas. É a denominada “viticultura heroica” (figura 3).

Ao falar das encostas sobre as cales foron instalados os viñedos, observamos que unhas veces as cepas plantáronse respectando a pendente natural do terreo (figura 4), aínda que fose bastante pronunciada (Val do Navia, Ribeiras de Vilardevós, Terras de Betanzos, parte de Valdeorras, etc.); outras, esta pendente foi rectificadas mediante a construción de terrazos ou bancais (maioritariamente denominados socialcos) (figura 5). As



Figura 3. Viñedos en forte pendente ou viticultura heroica (DO Ribeira Sacra).

dimensións destes socalcos varían bastante tanto ao ancho coma en altura: dende os moi estreitos, con capacidade para soamente unha ou dúas filas de cepas (Amandi e outras localizacións na Ribeira Sacra) ata os máis amplos, con capacidade para maior número de filas (común nas comarcas do Ribeiro, A Baixa Limia e algunhas terras do Condado, etc.).

A influencia marítima matiza os mesoclimas vitícolas galegos. Esta influencia é máxima nas plantacións máis litorais da DO Rías Baixas e nos restantes viñedos da fachada atlántica de Pontevedra e sur da Coruña, en Terras de Betanzos e en residuos do norte Cantábrico; diminúe nas zonas de transición (Ribeiro, Baixa Limia e Alto Navia) e redúcese aínda máis nas DD.OO. de Ribeira Sacra, Valdeorras e Monterrei, onde se van acentuando as influencias continentais e mediterráneas canto máis nos desprazamos cara ao oriente.

Como exemplo desta influencia pódese citar o número de tratamentos fungicidas que se aplican por campaña, que oscilan entre 7-12 nas zonas de maior influencia marítima e entre 2-5 nas zonas máis interiores situadas nas encostas ben ventiladas.



Figura 4. Viñedo establecido aproveitando a pendente do terreo na indicación xeográfica Terra de Betanzos.



Figura 5. Viñedo establecido en socalcos (DO Ribeira Sacra).

Os asentamentos das viñas históricas no territorio galego fóronse delimitando en función das aptitudes agronómicas dos terreos, evitáronse os solos demasiado húmidos ou fértiles que eran reservados para outros cultivos, e en consonancia buscáronse pagos protexidos fronte á acción daqueles axentes meteorolóxicos capaces de comprometer o desenvolvemento vexetativo e, polo tanto, a cantidade e calidade da colleita.

As xeadas da primavera poden danar gravemente os novos pámpanos cos seus acios e arruinar a campaña. Canto menor é a influencia reguladora do océano, maior é o risco de xeadas. Non obstante, os mesoclimas son os determinantes na intensidade deste accidente, xa que é normal que en viñas situadas en encostas ben resgardadas do norte o risco de xeadas sexa pequeno, mentres que noutras de exposición aberta, aínda que estean moi preto das anteriores, o perigo pode chegar a ser moito maior.

Os terreos ben resgardados dos ventos do norte son sempre os mellores, xa que as zonas onde existe o risco de xeadas están protexidas destes. Noutros pagos onde este risco é menor, unha boa protección do norte tamén vai ser útil, xa que minora os efectos dos ventos fríos, a miúdo acompañados de choiva fría, que xorden na etapa da floración ou na etapa da formación dos bagos do acio e que se persisten chegan a facer tanto dano á colleita como unha forte xeadas.

Na franxa costeira os maiores limitantes para a viticultura son o exceso de humidade durante o período de vexetación e a excesiva apertura ao norte-noroeste de certos pagos. No interior son as altitudes excesivas e a desprotección dos ventos do norte os factores negativos que cómpre ter en conta. No fondo dos vales acumúlanse o frío e a humidade, e ademais adoitan ser solos demasiado fértiles, por iso, agás excepcións que sempre poden existir, non

son recomendables en Galicia para implantar viñedos de calidade.

Os encoros interiores, instalados principalmente nas bacías do Miño e do Sil, teñen o efecto pernicioso de elevar a humidade relativa, pero como contrapartida exercen certa acción amortecedora dos fríos e diminúen o risco das xeadas na primavera.

Os prexuízos dun clima húmido, con abundantes chuvias finas e brétemas ao longo do período de vexetación, fixéronse letais tras a aparición do oídio a mediados do século XIX, con tanta forza que causaron a desaparición da *Vitis vinifera* en amplas zonas da franxa costeira. Así, a viticultura galega da cornixa cantábrica, agás a presenza testemuñal dalgún que outro individuo illado, quedou varrida e decimada no resto do territorio. Esta catástrofe propiciou a posterior plantación masiva dos Híbridos Produtores Directos (HPD), principalmente na costa atlántica e tamén nalgunhas rexións marxinais cara ao interior. Nas viñas interiores o que máis houbo foi a substitución de videiras autóctonas por foráneas.

Os asentamentos históricos da viña galega, tanto nos lugares onde continuou o seu cultivo



Figura 6. Distribución minifundista do viñado galego (DO Ribeiro).

coma onde foi abandonado tras a entrada do oídio, foron en outeiro ou encosta, sempre protexidos do norte. Como excepción, no interior encóntranse indicios de antigos viñedos con exposición norte, e non se sabe se é pola existencia de períodos pasados de climas cálidos ou simplemente por unha maior demanda de viño (de calquera forma, apréciase que estaban en costas que enfrente tiñan outras montañas que os protexían do norte).

A propiedade das terras dedicada a viña na maior parte da Comunidade galega é minifundista e fraccionada, ao igual que os restantes terreos agrarios (figura 6). Non obstante, nos últimos anos xurdiron explotacións vitícolas de dimensións maiores, sobre todo nas Rías Baixas, onde o terreo foi obtido pola compra ou establecemento de acordos cos propietarios dos terreos das casas señoriais e reitorais, ou ben por aluguer a copropietarios de montes veciñais en man común. Este último sistema tamén foi levado a cabo pola Cooperativa Pazo Ribeiro (figura 7). Os procesos de concentración parcelaria que se están desenvolvendo en Monterrei, Ribeiras do Ulla, Baixo Miño, e máis recentemente no Ribeiro e outros lugares, están contribuíndo a que cambie esta situación minifundista.

A expansión da filoxera, a emigración e o abandono das zonas agrícolas, coa consecuente escaseza de man de obra especializada, produciron unha falta de aprecio polos viños de calidade, un descenso das viñas das encostas aos vales e a substitución das viníferas locais por foráneas e HPD, de menos calidade pero máis produtivas. Ademais, as plantacións comezaronse a deseñar máis para facilitar a mecanización que por razóns agronómicas.

Actualmente esta tendencia inverteuse, tanto no tocante a recuperar as variedades autóctonas coma no tocante ás localizacións históricas dos bos viñedos.

Xeometría da viña e arquitectura da planta

As diferenzas existentes entre diversos aspectos dos viñedos galegos, unhas veces son de fondo, tan manifestas que se aprecian a simple vista por calquera neófito (por exemplo, entre unha viña en vaso e outra en emparrado); e noutras ocasións son unicamente de matices.

Comezando polas diferenzas de fondo, apréciase que en Galicia existen dous grandes troncos de cultura ou arquitectura vitícola.

O primeiro, que é o que está estendido pola maioría do territorio, é o denominado de tipo grego (figura 8). A súa característica principal consiste en que os viñedos están plantados a unha densidade bastante alta, entre 5.000-10.000 cepas por ha e presentan un esqueleto de desenvolvemento contido, condicionado pola densidade, o mesoclima e a fertilidade do solo. Polo xeral, só as viñas vellas dalgunhas zonas superan amplamente o metro de altura debido aos sucesivos alongamentos ocasionados por algúns estilos de poda anual.

O segundo tronco, presente principalmente na provincia de Pontevedra e no sur da Coruña, é dicir, dentro do que é o suroeste galego, trátase dunha viticultura na que os exemplares alcanzan un gran porte. É o que vén sendo definido por algúns autores como de tipo etrusco ou



Figura 7. Establecemento dun viñado en monte veciñal en man común (DO Ribeiro).

celta (figura 9). Aquí as densidades son baixas, arredor das 1.000 plantas por ha ou ás veces menos. Debido ao gran desenvolvemento do seu esqueleto, as plantas precisan ser sostidas por grandes titores ou por unha armazón, e dan lugar ás parras horizontais e inclinadas.

Non obstante, os avatares históricos que deron lugar á presenza destes dous tipos de viticultura tan opostos entre si e que chegaron ata os nosos días aínda non están claros de todo.

Unha das teorías, talvez a máis difundida, atribúe a orixe desta diferenciación ao feito da colonización romana. Os lexionarios que se foron asentando por diversas partes do territorio, segundo cal fora a súa zona de procedencia, transmitirían o tipo de viticultura que se practicaba nas súas terras de orixe. Así, os que viñan do norte da Península Itálica ensinarían aos nativos a viticultura etrusca, mentres que os do centro-sur, a viticultura grega.

Outra posibilidade é que os monxes das ordes relixiosas, que construíron mosteiros en tantas comarcas galegas durante a Idade Media, achegasen os costumes vitícolas das súas rexións nativas en Centroeuropa.

A orixe de moitos emparrados tamén pode estar en razóns de simple supervivencia, pola necesidade de estruturas altas para facer compatible o cultivo da vide coas plantacións de millo, patacas e outras especies anuais que eran indispensables para alimentar as persoas e o gando nunha sociedade rural onde rexía o autoconsumo. Aínda hoxe é bastante habitual ver parrais estendidos polas beiras das parcelas dedicadas a cultivos herbáceos, hortos ou pradeiras.

Non obstante, a similitude das pérgolas do norte de Italia coas tradicionais parras inclinadas de varias localizacións do Condado do Tea e outras zonas parece dar indicios de que nalgunha época pasada houbo transmisión de culturas vitícolas entre rexións moi afastadas entre si.

Curiosamente, a distribución xeográfica da arquitectura vitícola, leste e oeste, correspónden-se coa distribución xeográfica das dúas liñaxes

xenéticas descubertas en Galicia, a primeira e a máis importante con Caño Bravo coa súa orixe no oeste; e a segunda, con Merenzao coa súa orixe no leste (Díaz-Losada *et al.*, 2010). A diferenciación xenética entre estas dúas liñaxes pode remontarse ás diferentes orixes das culturas que influíron na instalación do viñado. No caso de Merenzao, sinónimo de Trousseau procedente da rexión de Jura de Francia, explicaría a diferente fisionomía dos viñedos do leste de Galicia.

Sexan cales fosen as orixes, o certo é que as dúas realidadeas están aí e contribúen a enriquecer as paisaxes e a cultura vitícola galega.

Viticultura de tipo grego

A viticultura de tipo grego implantouse nas zonas costeiras do norte, consérvase ata hoxe en Betanzos e está practicamente extinta en Ferrolterra, Ortegal e no cantábrico galego tras a irrupción do oídio a mediados do XIX. Tamén a atopamos nas comarcas de transición (Baixa Limia, Navia e Ribeiro) e en todo o interior do territorio (Ribeira Sacra, Valdeorras e Monterrei).

Ao comparar entre si as zonas galegas que teñen viticulturas de tipo grego é cando se aprecia un maior número de matices diferenciadores.

En Monterrei e na bacía do Navia (para as variedades tintas) a formación tradicional é o vaso clásico, no que o tronco das cepas se subdivide en tres-cinco brazos, os cales levan soamente cotóns (figura 10).

En Valdeorras, segundo o vigor da cepa, en todos ou algúns dos brazos que conforman o vaso déixase, ademais do correspondente cotón, unha vara curta que non se ata e que se chama “palleta”. A cepa, cando é necesario, súxéitase cunha estaca.

Noutras zonas da bacía do Sil, na subzona de Amandi e na ribeira ourensá da Teixeira, así como noutros lugares das proximidades, a formación é en esqueleto de vaso tradicional, pero coa modificación de que nun dos seus



Figura 8. Estrutura do viñado tipo grego.



Figura 9. Estrutura dun viñado de tipo etrusco.



Figura 10. Formación en vaso (DO Monterrei).

brazos se fai a poda a cotón e a vara (figura 11). Ao revés que no sistema guyot, aquí o cotón déixano por enriba da vara e non por debaixo. As varas elixidas quedan tal cal, sen despuntar, e arquéanse atándoas a unha estaca ou simplemente suxeitándoas cunha pedra aos muros dos socalcos, e vanse rotando a un brazo distinto do vaso na poda de cada campaña. Tamén se deixan algunhas varas nos vasos da bacía do Navia cando se trata de plantacións da variedade Branca do País (Branco Lexítimo).

No Ribeiro e a área de influencia circundante, que polo leste chega ata o occidente da Ribeira Sacra, así como en terras de Betanzos e da Baixa Limia, o vaso clásico sofre bastantes modificacións. Adoita ser algo máis alto, de un a tres brazos segundo as zonas (figura 12). O tronco suxéitase a unha rodriga e os cotóns do vaso tradicional son substituídos por varas que son arqueadas fortemente e atadas a outros titores que circundan o central. Dependendo dos costumes, na poda invernal pode deixarse habitualmente, ou só cando é imprescindible para retraer a cepa (figura 13), un cotón detrás da vara.



Figura 11. Formación en vaso, cun dos seus brazos podado a cotón e a vara longa (DO Ribeira Sacra).



Figura 12. Viñedo en vaso alto.



Figura 13. Vaso tradicional da comarca do Ribeiro.



Figura 14. Formación típica en cabeza de vimbieira da meseta de Monforte de Lemos.



Figura 15. Formación da cepa típica do Val de Quiroga.

Na meseta de Lemos, as cepas de porte baixo pódanse en cabeza de vimbieira, pero déixase unha vara que se ata a unha estaca ou se estende por un único arame (figura 14).

En terras do Val de Quiroga, nalgúns locais de terra fértil, o tronco da cepa retórcese durante o período de formación ata facer case un nó, con isto búscase o retardo do movemento do zume da planta e un menor vigor (figura 15).

Viticultura de tipo etrusco

A viticultura etrusca concéntrase nun territorio que coincide aproximadamente coa metade

occidental do cuadrante suroeste de Galicia. Esténdese pola franxa costeira, dende a ría de Noia ata a fronteira portuguesa, e continúa cara ao sur na rexión dos Vinhos Verdes.

Este tipo de viticultura de emparrado tamén se estende dende o litoral polas bacías dos ríos, e é no Ulla e no Miño onde penetra máis terra adentro.

As parras antigas estaban formadas por unha armazón de paus e canas, sostida por columnas de pedra chamadas perpiaños. A situación das parras respecto ao chan é variable, e unha das causas foi a forza con que os ventos afectaban cada lugar. Así, en viñedos atlánticos galegos e do



Figura 16. Viñedo en emparrado sobre dunas (Donón-Pontevedra).



Figura 17. Emparrado da Ribeira do Ulla (DO Rías Baixas).

norte de Portugal, que están situados en terreos desprotexidos e moi próximos ao mar, aínda é posible encontrar emparrados moi baixos, arredor do metro de altura (figura 16). Non obstante, na gran maioría, por estar máis resgardados, e para fuxir dos efectos nocivos da humidade do solo ou ben para facer factible a combinación con

cultivos anuais, as parras eleváronse a unha altura próxima aos dous metros (figura 17). As parras inclinadas son moi variadas en deseño, aínda que adoitan comezar o plano da armazón a unha altura arredor do metro e medio, e poden chegar ata uns dous metros na fronte.

O esqueleto das vides formadas para a parrá consta dun tronco vertical do que parten un ou varios brazos principais, ao longo dos cales á súa vez se poden distribuír, ou non, cara aos lados uns sub-brazos secundarios (figuras 18 e 19). As podas invernales das parras sempre se viñeron facendo deixando varas (agás as podas curtas en exemplares decrépitos), que se estenden sobre unha armazón e se atan. Polo xeral, fórzanse



Figura 18. Estrutura en T do emparrado.



Figura 19. Estrutura en horizontal do emparrado.



Figura 20. Viñedo de parras inclinadas construído na beira dunha leira.



Figura 21. Parra de sombra ao pé das casas na DO Ribeiro.



Figura 22. Viñedo en espaleira.

con algo de arqueado, e déixanse atrás, ou non, segundo os hábitos locais, os correspondentes cotóns.

A forma das parras nas beiras das leiras tamén é diversa, varían entre horizontais e inclinadas, unhas de tronco alto e outras que parten case a rentes do chan desde a mesma beira, apoiándose a armazón sobre columnas erixidas dende un socalco inferior (figura 20).

Non obstante, o repartimento por territorios dos dous grandes troncos de viticultura non sempre está delimitado por unhas liñas nítidas.

Así, nas Rías Baixas, no Salnés e nas zonas anexas onde predominan as parras, non é infrecuente ver anexas a elas algunhas que outras plantacións de variedades tintas formadas en vaso. Na bacía do Navia e na Baixa Limia, onde está presente a viticultura grega, tamén existen os emparrados de bordura.

A viticultura etrusca redúcese a mínimos ou desaparece totalmente nas restantes comarcas de viticultura grega, coa excepción da presenza de parras de sombreo nos patios das vivendas e nas rúas das vellas aldeas (figura 21).

As armazóns de paus en plano vertical que ás veces xorden á vista en viñas moi antigas, e tamén nalgunhas viticulturas de bordura, non se sabe moi ben se son precursoras das espaleiras actuais ou, pola contra, se trata de imitacións destas.

Das viticulturas primitivas, que poderíamos definir como pre-etruscas, nas que os titores vivos son aproveitados para conducir as vides (como os “enforcados” do noroeste portugués e formas similares de Italia, Romanía e outros países centroeuropeos), pouco queda xa en Galicia, como non sexa algún que outro “bioqueiro” en terras de Betanzos. Hai quen di que estas formacións son igualmente consecuencia da chegada dos romanos (como unha forma etrusca máis), quen traerían ademais olmos e outras especies arbóreas ben adaptadas para servir de titores vivos.

Situación actual

A revolución tecnolóxica, a despoboación do campo e, finalmente, a busca duns labores e atencións á viña máis levadeiros e rápidos de realizar, conduciron a bastantes innovacións e modificacións nas novas plantacións con respecto á viticultura tradicional.

En todas as zonas de viticultura grega a primeira modificación que se aprecia é a substitución da arquitectura tridimensional da cepa por unha nova disposición en plano vertical, é dicir, o seu pregamento a unha armazón vertical de postes e arames, comunmente chamada espaleira (figura 22).

As espaleiras significaron transformacións nos sistemas de conducción. Nas comarcas vitícolas nas que o sistema de conducción era o vaso tradicional foise pasando a cordón royat ou a bilateral. Onde había tradición de vasos modificados, con presenza de varas, pasouse ao arqueado simple ou bilateral, ou ben ao guyot simple ou bilateral.

Entre principios e mediados do século XX, nas plantacións aramadas ou ben naquelas outras nas cales a mecanización con tractor convencional é imposible, como ocorre nos socalcos estreitos de moitas viñas da Ribeira Sacra, fíxose a adaptación á estacada de arames pero respectando os marcos de plantación ancestrais.

No entanto, na maior parte das viñas establecidas a partir do cuarto final do século pasado, as filas foron ensanchadas para permitir o paso do tractor convencional, aínda que deixando a medida antiga ou mesmo reducindo a distancia intercepas dentro da liña.

A mecanización foi de grande axuda porque en moitos casos supuxo unha inestimable mellora na dignificación e simplificación dos traballos do viticultor.

Cando a única xustificación dos cambios ao respecto da xeometría tradicional estivo en mudar a marcos de plantación que permitan a maior comodidade de uso da maquinaria convencional, deixando atrás os criterios de optimización bio-

lóxica do cultivo para obter un produto de calidade, o resultado non sempre foi positivo.

A innovación, que favorece unha saída ao mercado de tractores de menor tamaño para a mesma potencia, talvez permita un achegamento futuro á xeometría tradicional da viña, que á fin e ao cabo é a que achega maior equilibrio e calidade.

Nas comarcas de viticultura etrusca, con plantas de gran desenvolvemento e pola propia xeometría dos emparrados, as modificacións en pro da mecanización foron de menor calado. Simplemente se fixeron cambios por materiais máis modernos para a suxeición, coa introdución de arames, viguetas e postes de formigón e, cando foi preciso, pequenas alteracións nos marcos de plantación e na altura das armazóns para poder circular máis comodamente coa maquinaria.

Nalgunhas subzonas das Rías Baixas foi introducida a cortina simple descendente e tamén houbo intentos de cultivo en espaleira ascendente. Salvo unhas poucas excepcións, a espaleira foi mal por unha errada concepción da xeometría vitícola. Así pois, a parra continúa sendo o sistema de formación predominante nesta DO, tanto nas plantacións tradicionais coma nas novas.

O complexo varietal e a súa incidencia na calidade dos viños galegos

O proceso de recollida das vides silvestres dende os bosques para plantalas e cultivalas en terras abertas seguramente foi diferente en cada lugar. Aínda que non ás velocidades do que agora se chama globalización, si que debeu haber proveitosos intercambios (tamén no referente á cultura vitícola) nas épocas prehistóricas.

Posiblemente nos tempos pre-romanos xa deberon existir algunhas formas de viticultura, así atopamos variedades coincidentes ou emparentadas entre si e que, no entanto, están distribuídas nun amplo territorio, que actualmente está dividido en distintas comunidades autónomas ou distritos e repartido en dous estados. Este

ámbito xeográfico correspóndese co que os romanos denominaron *Gallaecia*.

Isto parece corroborar que entre os seus poboadores existiu unha intercomunicación moi activa. Comunicación que non foi pechada, senón que estivo aberta a outros pobos do exterior cos que se estableceu contacto por terra e por mar. Os comerciantes fenicios chegaron ao noso país e, segundo algúns historiadores, construíron o porto de Bares, no extremo norte galego. Os gregos viñeron tamén a comerciar. Eran contactos comerciais dos habitantes da *Gallaecia* con diversos pobos peninsulares de máis ao leste e cos lusitanos polo sur. Estes, á súa vez, facían intercambios con outras civilizacións, algunhas moi evolucionadas e abertas como a dos tartesos.

Aínda hoxe se discute se o maior desenvolvemento da viticultura galega histórica tivo lugar coa chegada dos romanos ou máis tarde, no medioevo.

Os romanos, coa súa boa estrutura organizativa, é moi probable que fixeran aproveitamento do que lles pareceu útil da hipotética viticultura que encontraron na *Gallaecia*. Ademais tamén traerían variedades novas e serían transmisores doutras culturas vitícolas recollidas polos amplos territorios do imperio.

Houbo unha especie de fervor medievalista nas décadas de finais do século XX, que chegou mesmo a identificar certas variedades ancestrais, que están implantadas en distintas comarcas do que foi a *Gallaecia*, coas súas correspondentes francesas e/ou alemás, o cal nin por ampelografía nin por estudo xenético resultou ser certo, como foi o caso do Albariño co Riesling, ou o do Mencía co Cabernet Franc.

Se nos guiamos polas variedades que clasificaríamos como autóctonas, ou polo menos ancestrais do antigo territorio, entendendo por tales as que se sabe que estaban instaladas antes da chegada das pestes americanas a partir de mediados do século XIX, moi poucas delas están presentes en Centroeuropa e na Península Itálica. Respecto ás

variedades como Agudelo, Bastardo ou Merenzao, son os estudos xenéticos os que poden achegar luces sobre o sentido das migracións. Como sinalamos anteriormente, recentemente puidose demostrar a conexión entre o cultivar francés Trousseau, sinónimo Merenzao, cos cultivares galegos: Mouratón, Caíño Gordo e, o máis importante actualmente, Mencía (Díaz-Losada *et al.*, 2010). Moscatel de Bago Miúdo, variedade presente en toda Europa, podería ter a súa orixe en territorios que foron o berce dos demais moscateis.

Vitis sylvestris primitivas, logo *Vitis vinifera*, cultivadas e/ou asilvestradas, fose cal fose a proporción de vides que dende moi antigo se encontraban dispersas polo territorio da *Gallaecia* e que con maior ou menor grao de evolución por mutacións e/ou cruzamentos con outros cultivares hipoteticamente chegados máis tarde dende outras terras, na época romana ou medieval, resultaron ser a base do xenoma das cepas que consideramos autóctonas e que afortunadamente chegaron ata os nosos días.

A pesar dos avatares da historia voces como Verdello (tamén se dicía “Pardal” no Ribeiro), “Treiadadura”, “Terrantés” e Albariño, entre as variedades de uva branca; “Albarelo” (Brancellao), Mouratón, Caíño Rubio e Tinta Femia, entre as de uva tinta, aínda que lixeiramente modificadas, mantéñense na actualidade. Noutras é difícil determinar se realmente existen baixo distinta denominación ou se xa se produciu a súa extinción. Por nomear algunha delas, entre as brancas, “Ouviaña”, cultivada no Salnés; e entre as tintas, “Castellana” (tamén chamada “Ulloa”), “Caíño Arnoes” (posiblemente o actual Sousón ou “Pazao” como se coñece na DO Ribeiro), “Carnaz” (que pode responder ao actual Merenzao) e “Nobal” (antigamente cultivada nas ribeiras do Miño).

Pero é a sabedoría do viticultor a que transmitiu dunha xeración a outra as denominacións que actualmente podemos considerar como autóctonas ou de cultivo ancestral. Baixo máis dun centenar de denominacións distintas considérase que está composto o complexo varietal da rexión galega.

Aínda que os avances científicos permitiron demostrar que unha denominación pode enmascarar a distintos xenotipos ou que un mesmo xenotipo pode recibir distintos nomes, Galicia segue sendo unha rexión cun amplo patrimonio varietal.

A viticultura galega, en calquera das súas zonas, é capaz de achegar viño de excelente calidade. Os máis coñecidos na actualidade dentro dos viños brancos, os das Rías Baixas, cuxo protagonista é o Albariño; os do Ribeiro, baseados na Treixadura, e os das restantes denominacións, Ribeira Sacra, Valdeorras e Monterrei, en cuxos brancos predomina o Godello. Novas demarcacións cualificadas como Viños da Terra están a comezar a dar mostras da súa valía co Branco Lexítimo e outras variedades.

O que si continúa é a discusión, común a todas as viticulturas do mundo, de se é mellor elaborar mono ou multivarietais, o cal á fin e ao cabo dependerá do gusto de cada un e das modas.

Na subzona do Salnés, dentro da DO Rías Baixas, adóitase facer viños monovarietais con Albariño; mentres que no Condado, O Rosal e O Ulla admítase a mestura con outras autóctonas, como son Loureira, Caíño Branco, Treixadura, etc.

A DO Ribeiro sempre foi, tanto en brancos coma en tintos, zona de vinificación con mestura de variedades, con predominio de Treixadura, e como secundarios, Torrontés, Godello, Loureira, Lado, Albariño, etc.

A Ribeira Sacra ten a peculiaridade de estenderse dende unha zona con claras influencias do Ribeiro cara ao leste, onde se nota a proximidade de Valdeorras, sendo, ao parecer e dende sempre, a variedade branca básica o Godello, que nas súas elaboracións víñase acompañando das restantes variedades autóctonas presentes en cada subzona.

En Valdeorras elabóranse excelentes mono varietais de Godello, que ás veces se acompañan con Dona Branca.

En Monterrei a variedade básica segue sendo o Godello, que alí recibe o nome de Verdello, a cal

unhas veces se elabora soa, outras acompáñase con Dona Branca e, ocasionalmente, de Treixadura.

Fóra do que son as denominacións, é certo que hai zonas marxinais sen interese, pero non por iso son menos importantes. Hai pagos de distintas comarcas que posúen microclimas aptos para unha boa viticultura, ás veces con algunhas variedades ancestrais propias, e que por illamento, pouca extensión ou razóns diversas foron quedando relegadas na rutina e ao abandono institucional.

Son exemplo disto as viñas sobre as dunas de Donón, as da Baixa Limia e as das ribeiras galegas do Navia. As viñas de Vilardevós foron recentemente incluídas na DO Monterrei. Outras do occidente de Ourense, de Betanzos e do Barbanza acaban de entrar na categoría de Viños da Terra.

As tintas autóctonas tras a crise floxérica sufriron un varrido aínda máis intenso que as variedades brancas. A día de hoxe, bastantes destas variedades teñen só presenza testemuñal, con individuos moi escasos e dispersos en zonas marxinais ou perdidas entre as cepas foráneas en viñas moi vellas, polo que moitas das súas calidades aínda están por descubrir.

As variedades autóctonas ou vellas ancestrais, entendendo como tales aquelas das que hai referencias históricas ou ben das que se encontraron individuos bi ou tricentenarios, son abundantes, aínda que dalgunhas unicamente quedan cepas illadas e, por esta mesma razón, hai que esperar a coñecer o seu comportamento vitícola-enolóxico.

Por describir algunhas, o Brancellao presenta un bo equilibrio grao-acidez, pero queda algo curta de cor se se fai con esta variedade viticultura de alta produción e, máis aínda, se nesas condicións se pretende realizar crianza.

O grupo dos Caíños presenta, xeralmente, aromas froiteiros e florais moi finos, e algo máis de capa, pero poden quedar moi ácidos se non maduran ben.

Sousón e Ferrón dan lugar a viños con boa capa, e por este motivo nalgunhas denominacións elaborábanse mesturadas con outras variedades que, sendo moi finas, quedaban máis curtas de cor (Brancellao, Castañal, Pedral, algúns do grupo dos Cañños, etc.).

Merenzao ou Bastardo é unha variedade moi antiga, orixinaria de Francia, onde se coñece co nome de Trousseau. Produce viños de alto grao alcohólico pero adoita quedar escasa en capa, polo que, salvo en situacións especiais, o seu interese parece destinado á súa contribución en mesturas.

O mundo dos tintos galegos foi evolucionando, ao igual que nas outras viticulturas, en función do que os consumidores viñan pedindo en cada momento.

A introdución masiva de Alicante Bouschet e doutras tintureiras, en menor proporción, así como dos HPD, dos que nin por tecnoloxía nin por lei se poden obter grandes viños, máxime en circunstancias onde o que máis importaba era a produción alta, unido iso a vinificacións ilegais de tintas HPD, deu lugar a unha mala fama dos tintos galegos, xustificada dende logo por empregar estes ingredientes.

Mencía e Tempranillo contribuíron tamén á historia dos tintos galegos. O Mencía está presente principalmente nos viñedos do interior,

con rendementos axeitados. Para crianzas é de interese mesturala con autóctonas equilibradas e de maior capa. Tempranillo, tamén introducida dende antigo, está presente en Monterrei, onde recibe o nome de “Arauxa”, e algo menos na Ribeira Sacra e Valdeorras. As elaboracións con esta variedade deron excelentes resultados, o seu inconveniente é que se se elabora soa os viños resultantes son moi xeneralizados.

Para concluír, a sorte das nosas viticulturas é a diversidade, que, con bo criterio, pode dar lugar a múltiples viños brancos e tintos, do ano e de crianza, persoais e de altura.

Ese respecto á sabedoría tradicional, o aproveitamento dos coñecementos actuais e a consideración dos tipos de viño que demandan os consumidores dos nosos tempos deben ser as pautas que cómpre seguir para mellorar a viticultura galega.

Así, calquera iniciativa ou modificación por pequena que sexa, para mellorar a calidade e abaratar os custos, serán positivas.

Ademais todos aqueles estudos e accións que contribúan a mellorar a calidade da uva na vendima e requiran un mínimo de intervencións enolóxicas posteriores axudarán ao prestixio dos nosos viños.

A COLECCIÓN DE VIDES DA ESTACIÓN DE VITICULTURA E ENOLOXÍA DE GALICIA

Os bancos de xermoplasma da vide inícianse en Europa a finais do século XIX como medida de conservación da diversidade xenética que estaba a punto de perderse a consecuencia da acción devastadora da filoxera e á incidencia das afeccións fúnxicas a mediados do devandito século.

A conservación e identificación de variedades autóctonas da vide en Europa, e tamén en España, realizábase en coleccións *ex situ*, xa que nunha época inicial non existía a conciencia de conservación que hai actualmente. Xeráronse así bancos de xermoplasma con renome mundial, entre outros, o banco de VASAL en Francia, que alberga máis de 3700 variedades de vide; e non menos importante é a Colección de vide de El Encín (IMIDRA, Madrid), fundada no ano 1914.

As dificultades de mantemento das grandes coleccións internacionais determinou a creación de coleccións rexionais que permitían, ademais dunha maior facilidade de conservación da diversidade xenética, manter as variedades nas súas condicións edafoclimáticas orixinais.

No ano 1987 créase en Galicia a Estación de Viticultura e Enoloxía de Galicia (sita no Concello de Leiro, provincia de Ourense) como un centro de investigación da Consellería de Política Agroalimentaria e Desenvolvemento Rural da Xunta de Galicia, que actualmente está integrada no Instituto Galego de Calidade Alimentaria (INGACAL), adscrito á Consellería do Medio Rural. Consta de tres departamentos: viticultura, enoloxía e laboratorio de análise, e asume como misión esencial impulsar o desenvolvemento tecnolóxico do sector vitivinícola galego a través da investigación aplicada, o asesoramento a viticultores e embotelladores e a realización de actividades formativas a todos os niveis. Encóntrase tamén recoñecida como laboratorio de análise para produtos derivados da vide.

O departamento de viticultura dende a súa creación, consciente da erosión xenética á que estaba sometido o viñado galego, xa que as novas plantacións se estaban a realizar con material foráneo, centrouse na constitución dun banco de xermoplasma de variedades de cultivo ancestral. Iníciase así, a finais dos anos 80, a prospección

e recollida de material en zonas tradicionais do cultivo de vide.

É de mencionar o gran labor que realizaron D. José Antonio Yglesias Prieto, primeiro director de EVEGA, e o principal responsable da orixe deste banco; D. Enrique Pérez Fernández e D. Francisco Rego Martínez, este último, actual xefe de sección de viticultura de EVEGA; a eles debemos a recompilación e mantemento do material vexetal que actualmente se conserva. Non menos importante foi e é o labor de D. Ignacio Orriols Fernández, actual director de EVEGA, quen pon o seu empeño en que esta colección se converta no principal banco de xermoplasma de vide en Galicia.

A colección realizouse nunha viña de 1 ha pertencente a EVEGA, onde se enxertaron sobre patrón 196-17C xemas das variedades encontradas, cun marco de plantación de 2 x 1 m, dispostas en espaleira con sistema de formación en cordón unilateral, cun total de 64 filas (figura 23). O número de plantas por accesión é variable en función da variedade. Das variedades maioritarias en Galicia plantáronse filas completas, mentres que das minoritarias a media varía entre 6 a 11 plantas por accesión.

O material vexetal de exemplares desta colección cedese a coleccións presentes en Galicia, unhas de carácter público como a da Misión Biolóxica de Galicia (CSIC), na que se conserva unha pequena representación da variabilidade xenética presente en EVEGA, e algunhas privadas como a que posúe a Adega Algueira na DO Ribeira Sacra.

Tamén se obtivo desta colección material vexetal para establecer campos de ensaio nas propias dependencias de EVEGA e noutras da Consellería do Medio Rural, coa finalidade de estudar o comportamento en distintos sistemas de cultivo de variedades relevantes na produción de viño na rexión.

A colección de EVEGA foi e é a orixe da diversidade xenética que se estivo a xerar nestes últimos anos en viñedos da nosa comunidade, posto que xemas de determinados cultivares minoritarios, non comercializados, foron proporcionadas a viticultores para a plantación de viñas para a obtención de viños diferenciados.

Durante anos realizáronse estudos dalgunhas das variedades presentes no banco, non obstante, as distintas reestruturacións administrativas que



Figura 23. Parcela da colección de vides da Estación de Viticultura e Enoloxía de Galicia.

sufriu EVEGA determinaron que os traballos iniciados quedasen relegados ao esquecemento e os esforzos se centrasen exclusivamente no mantemento do terreo.

No ano 2006, grazas ao financiamento dun proxecto de investigación do Instituto Nacional de Investigacións Agrarias (INIA) (Proxecto: RF-2006-00008-C02-01), iniciouse a caracterización da colección e utilizáronse metodoloxías clásicas e máis modernas de identificación e descrición varietal. Contouse coa colaboración do equipo do Dr. Santiago Pereira Lorenzo da Universidade de Santiago de Compostela, que puxo á nosa disposición os seus coñecementos na caracterización molecular das variedades vexetais; e coa do Dr. Félix Cabello de Santamaría do Instituto Madrileño de Investigacións Agrarias (IMIDRA-El Encín), quen nos facilitou as primeiras directrices para realizar a caracterización ampelográfica e a posta a punto das técnicas moleculares.

Na colección encóntranse representadas as principais variedades recoñecidas polos consellos

reguladores das denominacións de orixe como preferentes ou autorizadas para a elaboración dos viños galegos. Os estudos mostraron a existencia de 67 xenotipos diferentes que engloban un total de 274 accesións

O obxectivo desta colección hoxe en día é dobre:

1. Documentar a colección e poñela a disposición das institucións, tanto públicas coma privadas, que poidan estar interesadas no material.
2. Manter a diversidade varietal da vide existente na comunidade para preservar o potencial xenético que poida ser utilizado nun futuro en función dos requirimentos de cada momento.

Non menos importante será a dispoñibilidade deste material conservado en pro da investigación, da formación e da divulgación.

METODOLOXÍA UTILIZADA NA CARACTERIZACIÓN VARIETAL

Os métodos ampelográficos clásicos son aínda hoxe en día os máis útiles na identificación e caracterización das variedades de vide e a base dos descritores internacionais. Baséanse na observación de determinados órganos en épocas concretas do ciclo da vide e requiren numerosas observacións, sobre todo cando se trata de materiais xeneticamente próximos. Por outra parte, a descrición da expresión dos caracteres morfolóxicos pode estar condicionada pola subxectividade do observador; por iso, estes métodos complementáanse con métodos morfométricos de maior precisión e obxectividade que utilizan caracteres cuantificables, sobre todo ángulos e lonxitudes medidos en folla adulta.

Nos últimos anos as técnicas moleculares baseadas na PCR (Reacción en Cadea da Polimerasa) supuxeron un grande avance na identificación varietal. Os marcadores moleculares microsátélites (SSR) son os máis utilizados na diferenciación varietal.

Para a caracterización varietal estudáronse os caracteres recomendados pola OIV (1999), que

seguen as normas da UPOV (Unión Internacional para a Protección das Obtencións Vexetais) e do IBPGR (*International Board for Plant Genetic Resources*). Analizáronse 56 caracteres que se expoñen a continuación, e indicouse a súa correspondencia, cando existe, cos descritores da UPOV.

A caracterización levouse a cabo para cada unha das accesións presentes na colección, aínda que nos resultados soamente se mostra a notación máis frecuente e que caracteriza a variedade. No pámpano novo, gabiáns e inflorescencias e folla nova durante a floración, describíronse 18 caracteres en 10 órganos por accesión (táboa 1). En 10 acios e 10 bagos en maduración, describíronse 10 caracteres (táboa 2). En 10 follas adultas por accesión, entre o comezo do crecemento dos bagos e o envero, estudáronse 28 caracteres (táboa 3).

A descrición morfolóxica completouse con descritores morfométricos en folla adulta, que se englobaron baixo a epígrafe de caracterización ampelométrica (táboa 4). Os parámetros estuda-

dos foron aqueles considerados por diferentes autores como menos influenciados polo medio e de baixa variabilidade (OIV, 1999; Boursiquot *et al.*, 1987; Cid *et al.*, 1994, 1998). As medicións realizáronse mediante a utilización do software

Image J (<http://rsb.info.nih.gov/ij/>), sobre unha media de 10 follas por accesión, e empregouse folla adulta herborizada procedente do terzo medio de varios pámpanos.

Táboa 1. Caracteres estudados para o pámpano novo, gabiáns e inflorescencias e folla nova durante a floración segundo a OIV e a UPOV.

Carácter	Código OIV	Código UPOV
Forma da extremidade	001	3
Distribución da pigmentación antociánica da extremidade	002	
Intensidade da pigmentación antociánica da extremidade	003	5
Densidade dos pelos tombados da extremidade	004	4
Densidade dos pelos ergueitos da extremidade	005	6
Porte do pámpano	006	10
Cor da cara dorsal dos entrenós	007	11
Cor da cara ventral dos entrenós	008	12
Cor da cara dorsal dos nós	009	13
Cor da cara ventral dos nós	010	14
Densidade dos pelos ergueitos dos nós	011	
Densidade dos pelos ergueitos dos entrenós	012	15
Pigmentación antociánica das xemas	015.1	
Intensidade da pigmentación antociánica das xemas	015.2	
Número de gabiáns consecutivos	016	16
Cor da face da folla nova	051	7
Densidade dos pelos tombados entre os nervios da folla nova	053	8
Densidade dos pelos ergueitos dos nervios principais da folla nova	056	9

Táboa 2. Caracteres avaliados en acios e bago en maduración.

Carácter	Código OIV	Código UPOV
Lonxitude do acio	202	
Compacidade do acio	204	37
Lonxitude do pedúnculo	206	38
Forma do acio	208	
Número de ás do acio primario	209	
Lonxitude do bago	220	
Anchura do bago	221	
Uniformidade do tamaño do bago	222	
Forma do bago	223	40
Cor da epiderme do bago	225	41

Táboa 3. Caracteres estudados na folla adulta, entre o comezo do crecemento dos bagos e o envero.

Carácter	Código OIV	Código UPOV
Tamaño	065	19
Forma do limbo	067	20
Número de lóbulos	068	23
Cor da face	069	
Pigmentación antociánica dos nervios principais da face do limbo	070	31
Pigmentación antociánica dos nervios principais do envés do limbo	071	
Avultamento do limbo	072	
Ondulación do limbo entre os nervios principais e secundarios	073	
Perfil	074	21
Inchazón da face	075	22
Forma dos dentes	076	30
Lonxitude dos dentes en relación á súa anchura na base	078	29
Solapamento do seo peciolar	079	26
Forma da base do seo peciolar	080	
Dentes no seo peciolar	081.1	
Base do seo peciolar limitada pola nervadua	081.2	27
Solapamento dos seos laterais superiores	082	25
Forma da base dos seos laterais superiores	083.1	
Dentes nos seos laterais superiores	083.2	
Densidade dos pelos tombados entre os nervios do envés	084	32
Densidade dos pelos ergueitos entre os nervios do envés	085	
Densidade dos pelos tombados sobre os nervios do envés	086	
Densidade dos pelos ergueitos sobre os nervios do envés	087	33
Peluxe dos nervios principais da face	088	
Peluxe erguida dos nervios principais da face	089	
Densidade dos pelos tombados do pecíolo	090	
Densidade dos pelos ergueitos do pecíolo	091	
Lonxitude do pecíolo en relación ao nervio central	093	34

Táboa 4. Caracteres ampelométricos avaliados na colección de EVEGA.

Carácter ampelométrico
Lonxitude do nervio central (N1)
Lonxitude do nervio principal lateral superior (N2)
Lonxitude do nervio principal lateral inferior (N3)
Lonxitude do nervio secundario inferior (N4)
Lonxitude do nervio terciario inferior (N5)
Distancia do punto peciolar á intersección de N3-N4 (N6)
Distancia do punto peciolar ao seo superior (U)
Distancia do punto peciolar ao seo inferior (O)
Número de dentes entre o extremo N2 e o seu primeiro nervio secundario (ND)
Distancia entre o extremo de N2 e o seu primeiro nervio secundario (PL)
Lonxitude do dente de N1 medido ao punto medio da base (L1)
Lonxitude do dente de N2 medido ao punto medio da base (L2)
Lonxitude do dente de N3 medido ao punto medio da base (L3)
Lonxitude do dente de N4 medido ao punto medio da base (L4)
Anchura do dente de N1 (A1)
Anchura do dente de N2 (A2)
Anchura do dente de N3 (A3)
Anchura do dente de N4 (A4)
Abertura do seo peciolar (SP)
Ancho da folla (AN)
Alto da folla (ALT)
Proxección da distancia entre os extremos N1 e N3 sobre o eixe da folla (L)
Distancia entre os extremos N2 do lado grande e do lado pequeno (IS)
Distancia entre os extremos N3 do lado grande e do lado pequeno (II)
Distancia entre os extremos de N1 e N2 (ENS)
Distancia entre os extremos de N2 e N3 (ENM)
Distancia entre os extremos de N3 e N4 (ENI)
Distancia do punto peciolar ao extremo de N4 (NL)
Distancia entre as bases dos seos superiores (DS1)
Distancia entre a base dos seos inferiores (DS2)
Distancia entre as bases do seo superior e inferior (DS)
Abertura do seo superior (SS)
Abertura do seo inferior (SI)
Ángulo entre N1 e N2 (A)
Ángulo entre N2 e N3 (B)
Ángulo entre N3 e N4 (C)
Ángulo entre N4 e N5 (D)
Ángulo entre N3 e o bordo do seo peciolar (E)
Ángulo entre os extremos de N1 e o seu primeiro nervio secundario (F)
Ángulo entre os extremos de N1 e N2 (AP)

A caracterización molecular baseouse na amplificación de 8 marcadores SSRs: VVS2, VVS5 e VVS29 (Thomas e Scout, 1993); VVMD5 e VVMD7 (Bowers *et al.*, 1996); *ssrVrZAG47*, *ssrVrZAG62* e *ssrVrZAG79* (Sefc *et al.*, 1999).

A partir da folla nova de cada accesión extraeuse e purificouse o ADN mediante a utilización do *DNeasy Plant Mini Kit* de Quiagen. A amplificación realizouse sobre un volume final de reacción de 20µL, seguindo a metodoloxía proposta por Ibáñez *et al.* (2003). A determinación do tamaño dos microsatélites realizouse separando os produtos da PCR nun *3730 DNA Analyzer* (Applied Biosystems) e resoltos mediante o programa *Peak Scanner Software ver. 1.0* (Applied Biosystems, 2006).

Unha vez determinado para cada unha das accesións do banco o número de pares de bases de cada alelo dos distintos *loci* microsatélites, contrastáronse con bases de datos nacionais e internacionais (base de datos da Colección de vide de El Encín, base de datos de vide do ETSIA, base de datos de vide da OEV, *European Vitis Database*; *Grappe Microsatellite Collection*; *Greek Vitis Database*; *Swiss Vitis Microsatellite Database*). Para levar a cabo a comparación con estas bases de datos utilizáronse como referencia dúas variedades que podemos considerar de ámbito internacional, Syrah e Pinot Noir (táboa 6).

Táboa 6. Tamaños alélicos das dúas variedades utilizadas de referencia neste traballo.

	VVS2	VVMD5	VVMD7	<i>ssrVrZAG47</i>	<i>ssrVrZAG62</i>	<i>ssrVrZAG79</i>	VVS29	VVS5
Pinot	130	224	237	161	187	237	169	121
Noir	150	234	241	165	193	243	177	150
Syrah	130	222	237	165	187	243	169	121
	130	228	237	167	193	249	177	121

FICHAS DESCRITIVAS DAS
VARIEDADES DE VIDE



Referencias na colección da EVEGA:
F53P30P40, F58P14P25.

Sinonimias

Non se coñecen.

Antecedentes

Variedade cultivada dende a antigüidade na zona de Betanzos.

Situación actual

O seu cultivo redúcese actualmente á zona de Betanzos. Estudos recentes indican a súa sinonimia con Chenin Blanc.

Valoracións sobre o seu cultivo

Estudos realizados en EVEGA na campaña do 2005 mostran a obtención de viños equilibrados, e considéranos como unha variedade que en condicións axeitadas pode ser utilizada para a elaboración de viños monovarietais ou en mestura con outras variedades.

Descrición morfolóxica

Pámpano novo

O pámpano novo presenta a extremidade aberta con peluxe tombada de densidade baixa e pigmentación reberetada de intensidade moi débil. A cara dorsal dos entrenós e nós é verde. As xemas non presentan pigmentación antociánica.

Folla nova

A folla nova é verde con peluxe tombada de densidade baixa.

Folla adulta

A folla adulta de cor verde media presenta tamaño pequeno e forma pentagonal, con cinco lóbulos; peluda, con densidade baixa de pelos tombados entre os nervios principais do envés do limbo; perfil plano; limbo con avultamento débil; dentes con lados convexos e rectilíneos, de lonxitude curta en relación á súa anchura; seo peciolar semiaberto e coa base en forma de chave; seos laterais superiores abertos coa base en forma de chave; pecíolo lixeiramente máis curto que o nervio principal.

Acio

O acio é cilíndrico, de lonxitude, anchura e compacidade media e con presenza de 1 ou 2 ás. O pedúnculo é de lonxitude curta.

Bago

O bago de cor verde amarela presenta forma elíptica curta.

Caracterización ampelográfica

Código OIV	Carácter OIV	Notación	Nivel de expresión
Pámpano novo			
001	Forma da extremidade	aberta	5
002	Distribución da pigmentación antociánica da extremidade	reberetada	2
003	Intensidade da pigmentación antociánica da extremidade	moi débil	1
004	Densidade dos pelos tombados da extremidade	baixa	3
005	Densidade dos pelos ergueitos da extremidade	nula ou moi baixa	1
006	Porte	semi-ergueito	3
007	Cor da cara dorsal dos entrenós	verde	1
008	Cor da cara ventral dos entrenós	verde	1
009	Cor da cara dorsal dos nós	verde	1
010	Cor da cara ventral dos nós	verde	1
011	Densidade dos pelos ergueitos dos nós	nula ou moi baixa	1
012	Densidade dos pelos ergueitos dos entrenós	nula ou moi baixa	1
015.1	Pigmentación antociánica das xemas	ausente	1
015.2	Intensidade da pigmentación antociánica das xemas	nula ou moi baixa	1
0.16	Número de gabiáns consecutivos	dous	1
Folla nova			
051	Cor da face	verde	1
053	Densidade dos pelos tombados entre os nervios	baixa	3
056	Densidade dos pelos ergueitos dos nervios principais	nula ou moi baixa	1
Folla adulta			
065	Tamaño	pequeno	3
067	Forma do limbo	pentagonal	3
068	Número de lóbulos	cinco	3
069	Cor da face	verde media	5
070	Pigmentación antociánica dos nervios principais da face do limbo	ata a primeira bifurcación	3
071	Pigmentación antociánica dos nervios principais do envés do limbo	ata a primeira bifurcación	3
072	Avultamento do limbo	débil	3
073	Ondulación do limbo entre os nervios principais ou secundarios	ausente	1
074	Perfil	plano	1
075	Inchazón da face	débil	3
076	Forma dos dentes	mestura de lados rectilíneos e convexos	5
078	Lonxitude dos dentes en relación á súa anchura na base	pequenos	3
079	Solapamento do seo peciolar	semi-aberto	2
080	Forma da base do seo peciolar	en chave	2
081.1	Dentes no seo peciolar	ausentes	1
081.2	Base do seo peciolar limitada pola nervadura	non delimitada	1

Código OIV	Carácter OIV	Notación	Nivel de expresión
082	Solapamento dos seos laterais superiores	aberto	1
083.1	Forma da base dos seos laterais superiores	en chave	2
083.2	Dentes nos seos laterais superiores	ausente	1
084	Densidade dos pelos tombados entre os nervios do envés	baixa	3
085	Densidade dos pelos ergueitos entre os nervios do envés	nula ou moi baixa	1
086	Densidade dos pelos tombados sobre os nervios do envés	baixa	3
087	Densidade dos pelos ergueitos sobre os nervios do envés	nula ou moi baixa	1
088	Peluxe dos nervios principais da face	ausentes	1
089	Peluxe ergueita dos nervios principais da face	ausentes	1
090	Densidade dos pelos tombados do pecíolo	nula ou moi baixa	1
091	Densidade dos pelos ergueitos do pecíolo	nula ou moi baixa	1
093	Lonxitude do pecíolo en relación ao nervio central	lixeiramente máis curto	3
Inflorescencia			
151	Sexo da flor	hermafrodita	3
Acio			
202	Lonxitude	media	5
204	Compacidade	media	5
206	Lonxitude do pedúnculo	curta	3
208	Forma	cilíndrica	1
209	Número de ás do acio primario	1 ou 2	2
Bago			
220	Lonxitude	media	5
221	Anchura	media	5
222	Uniformidade do tamaño	uniforme	2
223	Forma	elíptica curta	3
225	Cor da epiderme	verde amarela	1

Caracterización ampelométrica

Carácter ampelométrico	Valor medio (cm)
Lonxitude do nervio central (N1)	9,78
Lonxitude do nervio principal lateral superior (N2)	8,36
Lonxitude do nervio principal lateral inferior (N3)	6,35
Lonxitude do nervio secundario inferior (N4)	4,69
Lonxitude do nervio terciario inferior (N5)	2,68
Distancia do punto peciolar á intersección de N3-N4 (N6)	0,63
Distancia do punto peciolar ao seo superior (U)	5,56
Distancia do punto peciolar ao seo inferior (O)	3,68
Número de dentes entre o extremo N2 e o seu primeiro nervio secundario (ND)	6,00
Distancia entre o extremo de N2 e o seu primeiro nervio secundario (PL)	4,73

Carácter ampelométrico	Valor medio (cm)
Lonxitude do dente de N1 medido ao punto medio da base (L1)	0,49
Lonxitude do dente de N2 medido ao punto medio da base (L2)	0,62
Lonxitude do dente de N3 medido ao punto medio da base (L3)	0,85
Lonxitude do dente de N4 medido ao punto medio da base (L4)	0,88
Anchura do dente de N1 (A1)	1,22
Anchura do dente de N2 (A2)	1,22
Anchura do dente de N3 (A3)	1,53
Anchura do dente de N4 (A4)	0,97
Abertura do seo peciolar (SP)	0,00
Ancho da folla (AN)	14,95
Alto da folla (ALT)	14,88
Proxección da distancia entre os extremos N1 e N3 sobre o eixe da folla (L)	13,84
Distancia entre os extremos N2 do lado grande e do lado pequeno (IS)	13,80
Distancia entre os extremos N3 do lado grande e do lado pequeno (II)	10,96
Distancia entre os extremos de N1 e N2 (ENS)	7,90
Distancia entre os extremos de N2 e N3 (ENM)	8,02
Distancia entre os extremos de N3 e N4 (ENI)	5,04
Distancia do punto peciolar ao extremo de N4 (NL)	5,10
Distancia entre as bases dos seos superiores (DS1)	5,47
Distancia entre a base dos seos inferiores (DS2)	8,45
Distancia entre as bases do seo superior e inferior (DS)	4,65
Abertura do seo superior (SS)	0,49
Abertura do seo inferior (SI)	0,62

Carácter ampelométrico	Valor medio (graos)
Ángulo entre N1 e N2 (A)	58,37
Ángulo entre N2 e N3 (B)	63,65
Ángulo entre N3 e N4 (C)	52,38
Ángulo entre N4 e N5 (D)	31,23
Ángulo entre N3 e o bordo do seo peciolar (E)	67,27
Ángulo entre os extremos de N1 e o seu primeiro nervio secundario (F)	104,74
Ángulo entre os extremos de N1 e N2 (AP)	112,42

Caracterización molecular

Microsatélites	VVS2	VVMD5	VVMD7	ssrVrZAG47	ssrVrZAG62	ssrVrZAG79	VVS29	VVS5
Pb	130	224	237	151	187	245	169	98
	150	228	255	165	193	249	177	150

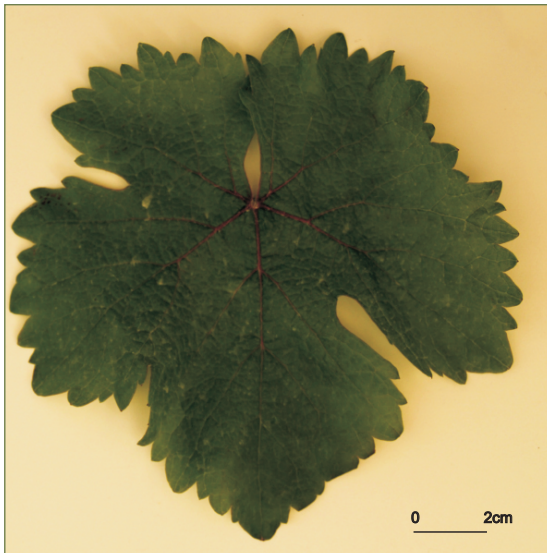
SUMIDADE



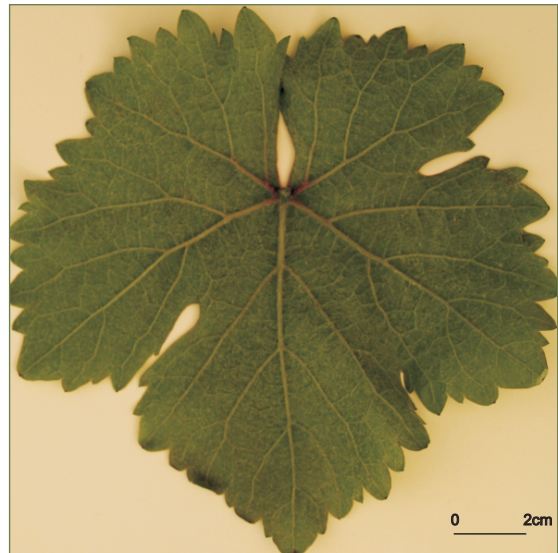
FOLLA NOVA: FACE, ENVÉS



FOLLA ADULTA: FACE



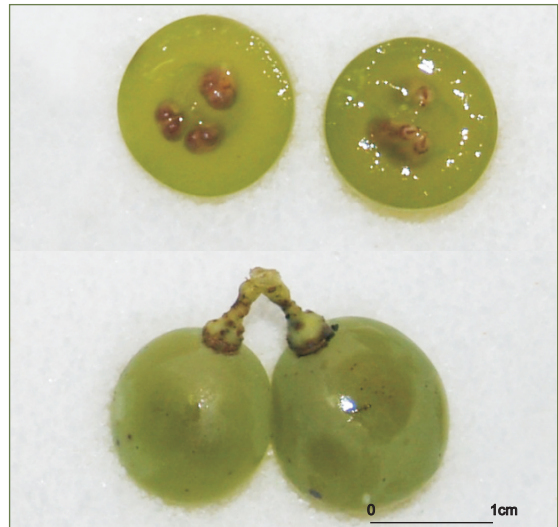
FOLLA ADULTA: ENVÉS



ACIO



BAGO



ALBARÍN BRANCO

Referencias na colección da EVEGA:
F33P01, F38P01, P45P30P35,
F46P02P09, F47P02P16, F48P02P16,
F49P01P34, F51P35P44, F52P12P21.

Sinonimias

Branco Lexítimo en Betanzos, Raposo no Barbanza, Branca do País no Val do Navia.

Antecedentes

García de los Salmones (1914) cítaa baixo a denominación de Branca Lexítima na localidade de Paderne (Betanzos), na provincia da Coruña.

Situación actual

Varietade minoritaria presente nas zonas de Betanzos e O Barbanza. Non se dispoñen de datos de superficie cultivada no Rexistro Vitícola da Comunidade. Recentemente incluíuse no Rexistro de variedades comerciais.

Valoracións sobre o seu cultivo

Varietade de brotación e maduración temperá, presenta baixo rendemento, alta sensibilidade ao oídio e de intensidade media ao mildeu. Produce viños de elevada graduación alcohólica (15,5-16,5%) e de acidez media (6,2-6,7 g/L). Caracterizado por posuír un alto contido en terpenois, superior aos encontrados no Albariño, Treixadura e Godello, variedades estas últimas consideradas como idóneas para a elaboración de viños brancos en Galicia.

Descrición morfolóxica

Pámpano novo

O pámpano novo presenta a extremidade aberta con peluxe tombada de densidade baixa e pigmentación reberetada de intensidade débil. A cara dorsal e ventral dos entrenós e ventral dos nós é verde e vermella, mentres a dorsal dos nós é verde. As xemas non presentan pigmentación antociánica.

Folla nova

A folla nova é verde ou bronceada con peluxe tombada de densidade baixa.

Folla adulta

A folla adulta de cor verde media presenta tamaño medio e forma pentagonal, con cinco lóbulos; peluda, con densidade baixa de pelos tombados entre e sobre os nervios principais do envés do limbo; perfil alabeado; limbo con avultamento e inchazón débil; presenza de pigmentación antociánica sobre os nervios principais do envés do limbo que alcanza a primeira bifurcación; dentes con lados rectilíneos, de lonxitude media en relación á súa anchura; seo peciolar pouco aberto e coa base en forma de chave; seos laterais superiores abertos coa base en forma de V; pecíolo lixeiramente máis curto que o nervio principal.

Acio

O acio é cónico, de lonxitude, anchura e compacidade media e con presenza de 1 ou 2 ás. O pedúnculo é de lonxitude moi curta.

Bago

O bago de cor verde amarela presenta forma elíptica curta.

Caracterización ampelográfica

Código OIV	Carácter OIV	Notación	Nivel de expresión
Pámpano novo			
001	Forma da extremidade	aberta	5
002	Distribución da pigmentación antociánica da extremidade	reberetada	2
003	Intensidade da pigmentación antociánica da extremidade	débil	3
004	Densidade dos pelos tombados da extremidade	baixa	3
005	Densidade dos pelos ergueitos da extremidade	nula ou moi baixa	1
006	Porte	semi-ergueito	3
007	Cor da cara dorsal dos entrenós	verde e vermella	2
008	Cor da cara ventral dos entrenós	verde e vermella	2
009	Cor da cara dorsal dos nós	verde	1
010	Cor da cara ventral dos nós	verde e vermella	2
011	Densidade dos pelos ergueitos dos nós	nula ou moi baixa	1
012	Densidade dos pelos ergueitos dos entrenós	nula ou moi baixa	1
015.1	Pigmentación antociánica das xemas	ausente	1
015.2	Intensidade da pigmentación antociánica das xemas	nula ou moi débil	1
0.16	Número de gabiáns consecutivos	dous	1
Folla nova			
051	Cor da face	verde	1
053	Densidade dos pelos tombados entre os nervios	baixa	3
056	Densidade dos pelos ergueitos dos nervios principais	nula ou moi baixa	1
Folla adulta			
065	Tamaño	medio	5
067	Forma do limbo	pentagonal	3
068	Número de lóbulos	cinco	3
069	Cor da face	verde media	5
070	Pigmentación antociánica dos nervios principais da face do limbo	ata a primeira bifurcación	3
071	Pigmentación antociánica dos nervios principais do envés do limbo	ata a primeira bifurcación	3
072	Avultamento do limbo	débil	3
073	Ondulación do limbo entre os nervios principais ou secundarios	presente	9
074	Perfil	alabeado	5
075	Inchazón da face	débil	3
076	Forma dos dentes	rectilíneos	2
078	Lonxitude dos dentes en relación á súa anchura na base	media	5
079	Solapamento do seo peciolar	pouco aberto	3
080	Forma da base do seo peciolar	en chave	2
081.1	Dentes no seo peciolar	ausentes	1
081.2	Base do seo peciolar limitada pola nervadura	non delimitada	1
082	Solapamento dos seos laterais superiores	aberto	1

Código OIV	Carácter OIV	Notación	Nivel de expresión
083.1	Forma da base dos seos laterais superiores	en V	3
083.2	Dentes nos seos laterais superiores	ausente	1
084	Densidade dos pelos tombados entre os nervios do envés	baixa	3
085	Densidade dos pelos ergueitos entre os nervios do envés	nula ou moi baixa	1
086	Densidade dos pelos tombados sobre os nervios do envés	baixa	3
087	Densidade dos pelos ergueitos sobre os nervios do envés	baixa	3
088	Peluxe dos nervios principais da face	ausentes	1
089	Peluxe ergueita dos nervios principais da face	ausentes	1
090	Densidade dos pelos tombados do pecíolo	nula ou moi baixa	1
091	Densidade dos pelos ergueitos do pecíolo	nula ou moi baixa	1
093	Lonxitude do pecíolo en relación ao nervio central	lixeramente máis curto	3
Inflorescencia			
151	Sexo da flor	hermafrodita	3
Acio			
202	Lonxitude	media	5
204	Compacidade	media	5
206	Lonxitude do pedúnculo	moi curta	1
208	Forma	cónica	2
209	Número de ás do acio primario	1 ou 2	2
Bago			
220	Lonxitude	longa	7
221	Anchura	ancha	7
222	Uniformidade do tamaño	uniforme	2
223	Forma	elíptica curta	3
225	Cor da epiderme	verde amarela	1

Caracterización ampelométrica

Carácter ampelométrico	Valor máximo e mínimo (cm)	Valor medio (cm)
Lonxitude do nervio central (N1)	10,15-6,83	8,64
Lonxitude do nervio principal lateral superior (N2)	9,95-6,20	8,19
Lonxitude do nervio principal lateral inferior (N3)	7,79-4,56	6,10
Lonxitude do nervio secundario inferior (N4)	5,36-2,85	4,35
Lonxitude do nervio terciario inferior (N5)	3,01-1,40	2,13
Distancia do punto peciolar á intersección de N3-N4 (N6)	1,01-0,29	0,61
Distancia do punto peciolar ao seo superior (U)	7,49-3,36	4,95
Distancia do punto peciolar ao seo inferior (O)	6,00-2,69	4,23
Número de dentes entre o extremo N2 e o seu primeiro nervio secundario (ND)	7,00-4,00	5,00

Carácter apelmométrico	Valor máximo e mínimo (cm)	Valor medio (cm)
Distancia entre o extremo de N2 e o seu primeiro nervio secundario (PL)	4,87-3,05	3,96
Lonxitude do dente de N1 medido ao punto medio da base (L1)	1,00-0,32	0,72
Lonxitude do dente de N2 medido ao punto medio da base (L2)	1,43-0,65	0,95
Lonxitude do dente de N3 medido ao punto medio da base (L3)	1,03-0,43	0,72
Lonxitude do dente de N4 medido ao punto medio da base (L4)	0,83-0,39	0,59
Anchura do dente de N1 (A1)	1,32-0,57	0,98
Anchura do dente de N2 (A2)	1,46-0,62	1,04
Anchura do dente de N3 (A3)	1,18-0,75	0,99
Anchura do dente de N4 (A4)	1,01-0,60	0,87
Abertura do seo peciolar (SP)	2,34-0,41	1,26
Ancho da folla (AN)	13,14-10,67	12,05
Alto da folla (ALT)	12,96-10,61	12,25
Proxección da distancia entre os extremos N1 e N3 sobre o eixe da folla (L)	11,33-9,27	10,64
Distancia entre os extremos N2 do lado grande e do lado pequeno (IS)	12,53-8,73	10,73
Distancia entre os extremos N3 do lado grande e do lado pequeno (II)	12,50-9,71	11,17
Distancia entre os extremos de N1 e N2 (ENS)	8,34-4,07	6,41
Distancia entre os extremos de N2 e N3 (ENM)	6,78-5,22	6,00
Distancia entre os extremos de N3 e N4 (ENI)	5,53-3,41	4,31
Distancia do punto peciolar ao extremo de N4 (NL)	5,73-3,21	4,64
Distancia entre as bases dos seos superiores (DS1)	5,72-3,46	4,26
Distancia entre a base dos seos inferiores (DS2)	9,67-5,90	7,61
Distancia entre as bases do seo superior e inferior (DS)	4,83-2,93	3,46
Abertura do seo superior (SS)	0,72-0,00	0,14
Abertura do seo inferior (SI)	0,92-0,40	0,63

Carácter apelmométrico	Valor máximo e mínimo (graos)	Valor medio (graos)
Ángulo entre N1 e N2 (A)	59,94-45,10	53,98
Ángulo entre N2 e N3 (B)	62,27-43,72	52,04
Ángulo entre N3 e N4 (C)	56,69-43,82	48,76
Ángulo entre N4 e N5 (D)	47,43-30,42	40,46
Ángulo entre N3 e o bordo do seo peciolar (E)	72,16-38,99	61,17
Ángulo entre os extremos de N1 e o seu primeiro nervio secundario (F)	113,68-11,95	97,09
Ángulo entre os extremos N1 e N2 (AP)	129,84-11,69	113,54

Caracterización molecular

Microsatélites	VVS2	VVMD5	VVMD7	ssrVrZAG47	ssrVrZAG62	ssrVrZAG79	VVS29	VVS5
Pb	130	218	237	157	185	243	169	117
	150	234	255	165	193	245	169	150

SUMIDADE



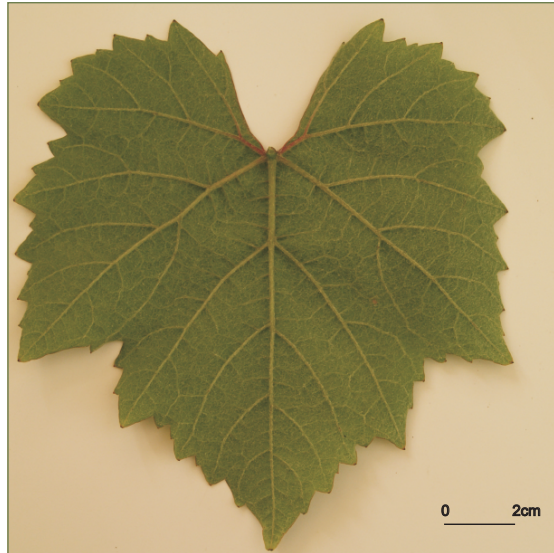
FOLLA NOVA: FACE, ENVÉS



FOLLA ADULTA: FACE



FOLLA ADULTA: ENVÉS



52

ACIO



BAGO



ALBARÍN TINTO

Referencias na colección da EVEGA:
F8P38, F13P59P68, F17P31P38,
F18P64P69, F33P34P43, F48P36P45,
F63P15P35.

Sinonimias

Tinto Serodo, Caño Gordo.

Antecedentes

García de los Salmones (1914) cítala na Fonsagrada baixo a denominación de Albarín. Variedade de importante relevancia en Asturias, que segundo Hidalgo e Candela (1971) ocupaba o 75% da superficie relativa provincial. Esta variedade ten a súa orixe no Mouratón, que aparece na liñaxe do Merenzao (Díaz-Losada *et al.*, 2010).

Situación actual

Presenza puntual na bacía do río Navia ao seu paso pola provincia de Lugo. Atopáronse tamén individuos illados na DO Monterrei.

Valoracións sobre o seu cultivo

Variedade de brotación media e maduración tardía, produce viños de elevada acidez (9,8 g/L) e de graduación alcohólica baixa (9,6%).

Descrición morfolóxica

Pámpano novo

O pámpano novo presenta a extremidade aberta con peluxe tombada de densidade media e pigmentación reberetada de intensidade débil. A cara dorsal e ventral dos entrenós é verde, ao igual que a dorsal dos nós, mentres a ventral destes últimos é verde e vermella. As xemas non presentan pigmentación antociánica.

Folla nova

A folla nova é verde con peluxe tombada de densidade media.

Folla adulta

A folla adulta de cor verde media presenta tamaño medio e forma pentagonal, con cinco lóbulos; peluda, con densidade baixa de pelos tombados entre e sobre os nervios principais do envés do limbo; perfil alabeado; limbo con avultamento e inchazón débil; dentes con mestura de lados rectilíneos e convexos, de lonxitude media en relación á súa anchura; seo peciolar con lóbulos lixeiramente superpostos e coa base en forma de chave; seos laterais superiores abertos coa base en forma de V; pecíolo de lonxitude lixeiramente máis curta que o nervio principal.

Acio

O acio é cónico, curto, ancho, de compacidade media e con presenza de 1 ou 2 ás. O pedúnculo é de lonxitude curta.

Bago

O bago de cor azul negra presenta forma esférica.

Caracterización ampelográfica

Código OIV	Carácter OIV	Notación	Nivel de expresión
Pámpano novo			
001	Forma da extremidade	aberta	5
002	Distribución da pigmentación antociánica da extremidade	reberetada	2
003	Intensidade da pigmentación antociánica da extremidade	débil	3
004	Densidade dos pelos tombados da extremidade	media	5
005	Densidade dos pelos ergueitos da extremidade	nula ou moi baixa	1
006	Porte	semi-ergueito	3
007	Cor da cara dorsal dos entrenós	verde	1
008	Cor da cara ventral dos entrenós	verde	1
009	Cor da cara dorsal dos nós	verde	1
010	Cor da cara ventral dos nós	verde e vermella	2
011	Densidade dos pelos ergueitos dos nós	nula ou moi baixa	1
012	Densidade dos pelos ergueitos dos entrenós	nula ou moi baixa	1
015.1	Pigmentación antociánica das xemas	ausente	1
015.2	Intensidade da pigmentación antociánica das xemas	nula ou moi débil	1
0.16	Número de gabiáns consecutivos	dous	1
Folla nova			
051	Cor da face	verde	1
053	Densidade dos pelos tombados entre os nervios	media	5
056	Densidade dos pelos ergueitos dos nervios principais	nula ou moi baixa	1
Folla adulta			
065	Tamaño	medio	5
067	Forma do limbo	pentagonal	3
068	Número de lóbulos	cinco	3
069	Cor da face	verde media	5
070	Pigmentación antociánica dos nervios principais da face do limbo	nula	1
071	Pigmentación antociánica dos nervios principais do envés do limbo	nula	1
072	Avultamento do limbo	débil	3
073	Ondulación do limbo entre os nervios principais ou secundarios	presente	9
074	Perfil	alabeado	5
075	Inchazón da face	débil	3
076	Forma dos dentes	mestura de lados rectilíneos e convexos	5
078	Lonxitude dos dentes en relación á súa anchura na base	medios	5
079	Solapamento do seo peciolar	lixeramente superpostos	4
080	Forma da base do seo peciolar	en chave	2
081.1	Dentes no seo peciolar	ausentes	1
081.2	Base do seo peciolar limitada pola nervadura	non delimitada	1
082	Solapamento dos seos laterais superiores	aberto	1

Código OIV	Carácter OIV	Notación	Nivel de expresión
083.1	Forma da base dos seus laterais superiores	en V	3
083.2	Dentes nos seus laterais superiores	ausente	1
084	Densidade dos pelos tombados entre os nervios do envés	baixa	3
085	Densidade dos pelos ergueitos entre os nervios do envés	nula ou moi baixa	1
086	Densidade dos pelos tombados sobre os nervios do envés	baixa	3
087	Densidade dos pelos ergueitos sobre os nervios do envés	baixa	3
088	Peluxe dos nervios principais da face	ausentes	1
089	Peluxe ergueita dos nervios principais da face	ausentes	1
090	Densidade dos pelos tombados do pecíolo	nula ou moi baixa	1
091	Densidade dos pelos ergueitos do pecíolo	nula ou moi baixa	1
093	Lonxitude do pecíolo en relación ao nervio central	lixeramente máis curto	3
Inflorescencia			
151	Sexo da flor	hermafrodita	3
Acio			
202	Lonxitude	curta	3
204	Compacidade	media	5
206	Lonxitude do pedúnculo	curta	3
208	Forma	cónica	2
209	Número de ás do acio primario	1 ou 2	2
Bago			
220	Lonxitude	longa	7
221	Anchura	ancha	7
222	Uniformidade do tamaño	uniforme	2
223	Forma	esférica	2
225	Cor da epiderme	azul negra	6

Caracterización ampelométrica

Carácter ampelométrico	Valor máximo e mínimo (cm)	Valor medio (cm)
Lonxitude do nervio central (N1)	10,35-7,70	9,24
Lonxitude do nervio principal lateral superior (N2)	9,80-7,62	8,59
Lonxitude do nervio principal lateral inferior (N3)	7,59-5,38	6,33
Lonxitude do nervio secundario inferior (N4)	5,34-3,90	4,51
Lonxitude do nervio terciario inferior (N5)	2,91-2,07	2,47
Distancia do punto peciolar á intersección de N3-N4 (N6)	1,23-0,50	0,88
Distancia do punto peciolar ao seo superior (U)	6,68-3,79	5,35
Distancia do punto peciolar ao seo inferior (O)	5,91-3,31	4,55
Número de dentes entre o extremo N2 e o seu primeiro nervio secundario (ND)	8,00-4,00	6,11

Carácter ampelométrico	Valor máximo e mínimo (cm)	Valor medio (cm)
Distancia entre o extremo de N2 e o seu primeiro nervio secundario (PL)	5,88-4,13	4,87
Lonxitude do dente de N1 medido ao punto medio da base (L1)	0,95-0,25	0,55
Lonxitude do dente de N2 medido ao punto medio da base (L2)	1,08-0,65	0,84
Lonxitude do dente de N3 medido ao punto medio da base (L3)	0,87-0,46	0,71
Lonxitude do dente de N4 medido ao punto medio da base (L4)	0,81-0,51	0,67
Anchura do dente de N1 (A1)	1,25-0,48	0,91
Anchura do dente de N2 (A2)	1,34-0,75	1,06
Anchura do dente de N3 (A3)	1,28-0,79	1,07
Anchura do dente de N4 (A4)	1,20-0,70	0,94
Abertura do seo peciolar (SP)	2,10-0,34	1,27
Ancho da folla (AN)	15,72-10,83	13,60
Alto da folla (ALT)	15,75-11,19	13,81
Proxección da distancia entre os extremos N1 e N3 sobre o eixe da folla (L)	14,10-10,77	12,64
Distancia entre os extremos N2 do lado grande e do lado pequeno (IS)	14,08-9,91	12,36
Distancia entre os extremos N3 do lado grande e do lado pequeno (II)	14,63-10,13	12,14
Distancia entre os extremos de N1 e N2 (ENS)	9,12-6,46	7,76
Distancia entre os extremos de N2 e N3 (ENM)	8,21-6,41	7,43
Distancia entre os extremos de N3 e N4 (ENI)	6,53-3,81	4,96
Distancia do punto peciolar ao extremo de N4 (NL)	5,87-3,99	5,15
Distancia entre as bases dos seos superiores (DS1)	8,55-3,66	6,07
Distancia entre a base dos seos inferiores (DS2)	11,85-7,49	9,44
Distancia entre as bases do seo superior e inferior (DS)	6,79-4,06	5,22
Abertura do seo superior (SS)	0,98-0,14	0,53
Abertura do seo inferior (SI)	0,85-0,45	0,58

Carácter ampelométrico	Valor máximo e mínimo (graos)	Valor medio (graos)
Ángulo entre N1 e N2 (A)	68,05-56,92	61,59
Ángulo entre N2 e N3 (B)	66,19-49,9	49,90
Ángulo entre N3 e N4 (C)	61,17-44,79	49,92
Ángulo entre N4 e N5 (D)	46,01-33,71	39,08
Ángulo entre N3 e o bordo do seo peciolar (E)	60,96-40,85	54,03
Ángulo entre os extremos de N1 e o seu primeiro nervio secundario (F)	118,54-93,86	106,22
Ángulo entre os extremos N1 e N2 (AP)	127,04-111,35	117,86

Caracterización molecular

Microsatélites	VVS2	VVMD5	VVMD7	ssrVrZAG47	ssrVrZAG62	ssrVrZAG79	VVS29	VVS5
Pb	140	222	251	155	187	249	169	94
	150	234	255	165	199	249	169	150

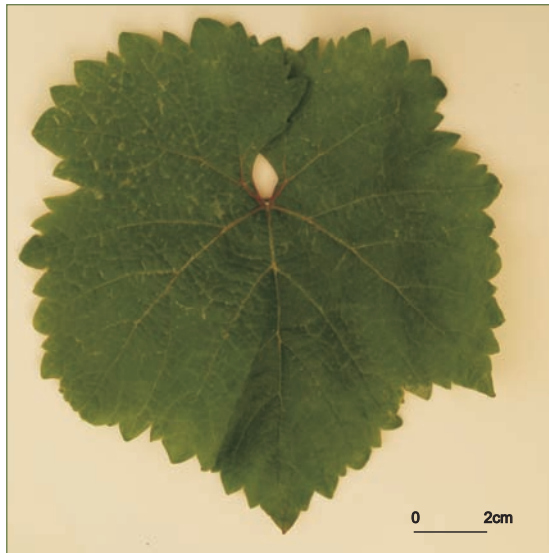
SUMIDADE



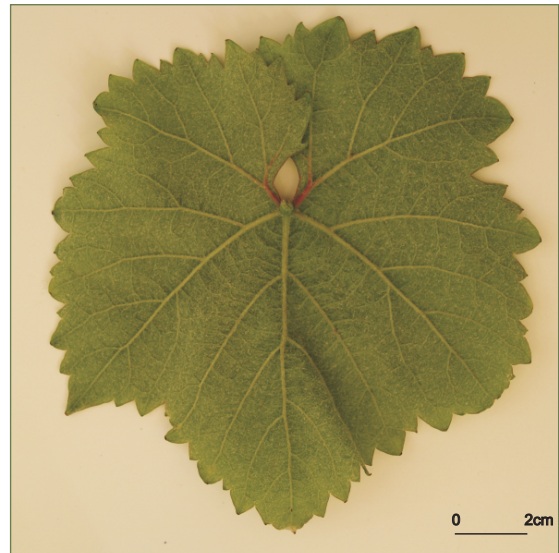
FOLLA NOVA: FACE, ENVÉS



FOLLA ADULTA: FACE



FOLLA ADULTA: ENVÉS



ACIO



BAGO



Referencias na colección da EVEGA:

F34P43P52, F34P63P89, F35P83P93, F47P17P35, F48P30P35, F54P48P53, F55P48P56, F56P24P52, F57P24P36, F58P4852.

Sinonimias

Non se coñecen.

Antecedentes

García de los Salmones (1914) cítala como cultivada nas provincias de Lugo, A Coruña e Pontevedra. No Catastro Vitícola de 1983 indícase o seu cultivo na provincia da Coruña, Ourense e Pontevedra, onde representaba o 1,99% da superficie do viñado.

Situación actual

É recoñecida como variedade preferente nas DD.OO. Ribeira Sacra, Rías Baixas e Valdeorras, e como autorizada nas DD.OO. Ribeiro e Monterrei. Tamén é contemplada para a elaboración de viños nas indicacións xeográficas Viño da Terra Barbanza e Iria e Val do Miño. A superficie de cultivo representa o 16,70% da superficie total do viñado da comunidade, e corresponden 3.537,75 ha á provincia de Pontevedra (5,02 ha a Ribeira do Ulla, 1.955,1 ha ao Val do Salnés, 876,95 ha ao Condado do Tea, 419,62 ha ao Rosal, 41,89 ha a Soutomaior), 194,38 ha á Coruña, 5,48 ha a Lugo e 51,88 ha a Ourense.

Valoracións sobre o seu cultivo

Variedade de brotación precoz e maduración media, presenta sensibilidade alta ao oídio, moderada ao mildeu e baixa á botrite. Produce viños de elevado potencial enolóxico, con graduación e acidez elevada (a graduación varía entre 8,6 e 14,2%, e a acidez entre 7,2 e 14,3g/L), caracterizados polos seus aromas afroitados.

Descrición morfolóxica

Pámpano novo

O pámpano novo presenta a extremidade aberta con peluxe tombada de densidade media e pigmentación reberetada de intensidade media. A cara dorsal dos entrenós e nós e a cara ventral dos nós son verde e vermella, mentres que a ventral dos entrenós é verde. As xemas teñen pigmentación antociánica basal de intensidade media.

Folla nova

A folla nova é verde con peluxe tombada de densidade alta.

Folla adulta

A folla adulta de cor verde media presenta tamaño medio e forma pentagonal, con tres lóbulos; peluda, con densidade media de pelos tombados entre os nervios principais do envés do limbo; perfil plano; limbo con avultamento e inchazón débil; dentes dos lados convexos, de lonxitude curta en relación á súa anchura; seo peciolar con lóbulos semiabertos e coa base en forma de chave; seos laterais superiores abertos coa base en forma de V; pecíolo lixeiramente máis curto que o nervio principal.

Acio

O acio é cónico, de lonxitude curta, anchura e compacidade media e con presenza de 1 ou 2 ás. O pedúnculo é de lonxitude media.

Bago

O bago de cor verde amarela presenta forma elíptica curta.

Caracterización ampelográfica

Código OIV	Carácter OIV	Notación	Nivel de expresión
Pámpano novo			
001	Forma da extremidade	aberta	5
002	Distribución da pigmentación antociánica da extremidade	reberetada	2
003	Intensidade da pigmentación antociánica da extremidade	media	5
004	Densidade dos pelos tombados da extremidade	media	5
005	Densidade dos pelos ergueitos da extremidade	nula ou moi baixa	1
006	Porte	semi-ergueito	3
007	Cor da cara dorsal dos entrenós	verde e vermella	2
008	Cor da cara ventral dos entrenós	verde	1
009	Cor da cara dorsal dos nós	verde e vermella	2
010	Cor da cara ventral dos nós	verde e vermella	2
011	Densidade dos pelos ergueitos dos nós	nula ou moi baixa	1
012	Densidade dos pelos ergueitos dos entrenós	nula ou moi baixa	1
015.1	Pigmentación antociánica das xemas	na base	2
015.2	Intensidade da pigmentación antociánica das xemas	media	5
0.16	Número de gabiáns consecutivos	dous	1
Folla nova			
051	Cor da face	verde	1
053	Densidade dos pelos tombados entre os nervios	alta	7
056	Densidade dos pelos ergueitos dos nervios principais	nula ou moi baixa	1
Folla adulta			
065	Tamaño	medio	5
067	Forma do limbo	pentagonal	3
068	Número de lóbulos	tres	2
069	Cor da face	verde media	5
070	Pigmentación antociánica dos nervios principais da face do limbo	ata a primeira bifurcación	3
071	Pigmentación antociánica dos nervios principais do envés do limbo	ata a primeira bifurcación	3
072	Avultamento do limbo	débil	3
073	Ondulación do limbo entre os nervios principais ou secundarios	ausente	1
074	Perfil	plano	1
075	Inchazón da face	débil	3
076	Forma dos dentes	convexos	3
078	Lonxitude dos dentes en relación á súa anchura na base	curta	3
079	Solapamento do seo peciolar	semi-aberto	2
080	Forma da base do seo peciolar	en chave	2
081.1	Dentes no seo peciolar	ausentes	1
081.2	Base do seo peciolar limitada pola nervadura	non delimitada	1

Código OIV	Carácter OIV	Notación	Nivel de expresión
082	Solapamento dos seos laterais superiores	aberto	1
083.1	Forma da base dos seos laterais superiores	en V	3
083.2	Dentes nos seos laterais superiores	ausente	1
084	Densidade dos pelos tombados entre os nervios do envés	media	5
085	Densidade dos pelos ergueitos entre os nervios do envés	nula ou moi baixa	1
086	Densidade dos pelos tombados sobre os nervios do envés	media	5
087	Densidade dos pelos ergueitos sobre os nervios do envés	nula ou moi baixa	1
088	Peluxe dos nervios principais da face	presente	9
089	Peluxe ergueita dos nervios principais da face	ausentes	1
090	Densidade dos pelos tombados do pecíolo	nula ou moi baixa	1
091	Densidade dos pelos ergueitos do pecíolo	nula ou moi baixa	1
093	Lonxitude do pecíolo en relación ao nervio central	lixeramente máis curto	3
Inflorescencia			
151	Sexo da flor	hermafrodita	3
Acio			
202	Lonxitude	media	5
204	Compacidade	media	5
206	Lonxitude do pedúnculo	media	5
208	Forma	cónica	2
209	Número de ás do acio primario	1 ou 2	2
Bago			
220	Lonxitude	media	5
221	Anchura	media	5
222	Uniformidade do tamaño	uniforme	2
223	Forma	elíptica curta	3
225	Cor da epiderme	verde amarela	1

Caracterización ampelométrica

Carácter ampelométrico	Valor máximo e mínimo (cm)	Valor medio (cm)
Lonxitude do nervio central (N1)	12,59-8,71	10,20
Lonxitude do nervio principal lateral superior (N2)	10,69-8,25	9,27
Lonxitude do nervio principal lateral inferior (N3)	7,98-5,65	6,71
Lonxitude do nervio secundario inferior (N4)	4,92-3,21	4,07
Lonxitude do nervio terciario inferior (N5)	2,40-1,15	1,68
Distancia do punto peciolar á intersección de N3-N4 (N6)	1,79-0,52	0,90
Distancia do punto peciolar ao seo superior (U)	9,63-7,30	8,11
Distancia do punto peciolar ao seo inferior (O)	-	-
Número de dentes entre o extremo N2 e o seu primeiro nervio secundario (ND)	10,00-5,00	8,00

Carácter apelmométrico	Valor máximo e mínimo (cm)	Valor medio (cm)
Distancia entre o extremo de N2 e o seu primeiro nervio secundario (PL)	5,13-3,82	4,51
Lonxitude do dente de N1 medido ao punto medio da base (L1)	1,07-0,42	0,69
Lonxitude do dente de N2 medido ao punto medio da base (L2)	1,13-0,46	0,78
Lonxitude do dente de N3 medido ao punto medio da base (L3)	1,20-0,43	0,75
Lonxitude do dente de N4 medido ao punto medio da base (L4)	0,72-0,00	0,50
Anchura do dente de N1 (A1)	1,32-0,66	0,96
Anchura do dente de N2 (A2)	1,60-0,72	1,03
Anchura do dente de N3 (A3)	1,61-0,70	1,06
Anchura do dente de N4 (A4)	1,00-0,49	0,78
Abertura do seo peciolar (SP)	4,48-1,78	2,93
Ancho da folla (AN)	15,20-12,30	13,79
Alto da folla (ALT)	15,53-11,06	13,34
Proxección da distancia entre os extremos N1 e N3 sobre o eixe da folla (L)	14,38-10,64	12,24
Distancia entre os extremos N2 do lado grande e do lado pequeno (IS)	13,93-10,59	11,98
Distancia entre os extremos N3 do lado grande e do lado pequeno (II)	14,62-11,26	12,99
Distancia entre os extremos de N1 e N2 (ENS)	8,35-5,46	7,13
Distancia entre os extremos de N2 e N3 (ENM)	8,12-5,75	6,87
Distancia entre os extremos de N3 e N4 (ENI)	5,52-3,47	4,54
Distancia do punto peciolar ao extremo de N4 (NL)	13,22-2,84	5,82
Distancia entre as bases dos seos superiores (DS1)	9,69-7,89	8,59
Distancia entre a base dos seos inferiores (DS2)	2,12-0,42	0,80
Distancia entre as bases do seo superior e inferior (DS)	50,08-37,14	44,54
Abertura do seo superior (SS)	50,31-35,38	46,02
Abertura do seo inferior (SI)	-	-

Carácter apelmométrico	Valor máximo e mínimo (graos)	Valor medio (graos)
Ángulo entre N1 e N2 (A)	50,08-37,14	44,54
Ángulo entre N2 e N3 (B)	50,31-35,38	46,02
Ángulo entre N3 e N4 (C)	55,43-36,59	45,21
Ángulo entre N4 e N5 (D)	45,30-22,63	31,50
Ángulo entre N3 e o bordo do seo peciolar (E)	67,52-21,55	45,47
Ángulo entre os extremos de N1 e o seu primeiro nervio secundario (F)	145,78-106,21	120,01
Ángulo entre os extremos de N1 e N2 (AP)	134,78-107,21	118,70

Caracterización molecular

Microsatélites	VVS2	VVMD5	VVMD7	ssrVrZAG47	ssrVrZAG62	ssrVrZAG79	VVS29	VVS5
Pb	132	218	237	165	185	245	169	121
	150	228	237	165	203	249	169	150

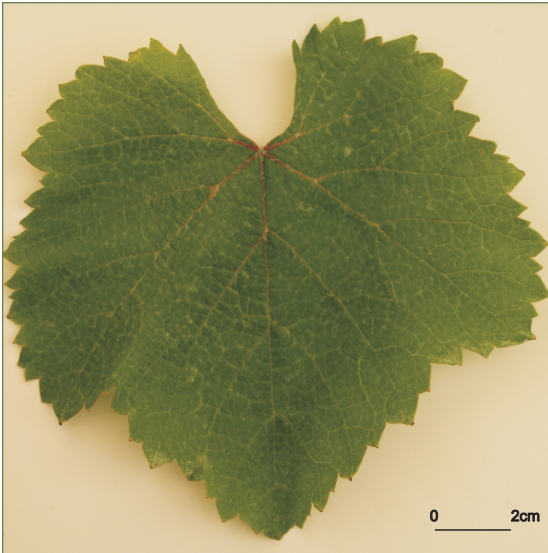
SUMIDADE



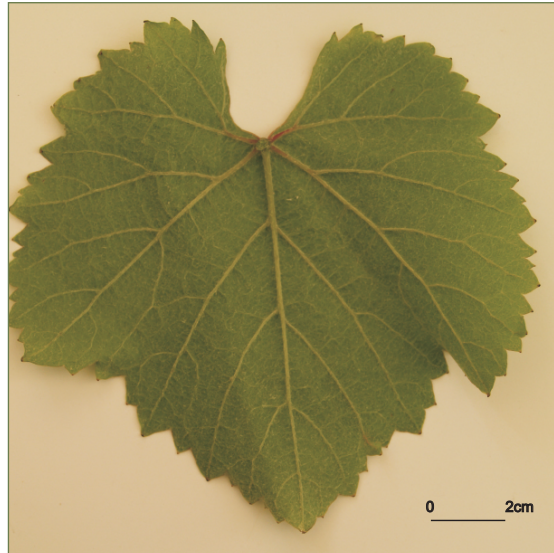
FOLLA NOVA: FACE, ENVÉS



FOLLA ADULTA: FACE



FOLLA ADULTA: ENVÉS



62

ACIO



BAGO



Referencias na colección da EVEGA:
F34P36P42, F55P40P47, F56P01,
F57P01P10.

Sinonimias

Albillo.

Antecedentes

García de los Salmenes (1914) cítaa como cultivada na parte oriental da rexión, mentres que o Catastro Vitícola de 1983 indica o seu cultivo nos municipios de Beade e Cenlle na DO Ribeiro.

Situación actual

Esta variedade está considerada baixo a categoría de autorizada na DO Ribeiro, aínda que actualmente non consta no Rexistro de variedades de vide comercializadas. Localizáronse escasos exemplares formando parte de parcelas plurivarietais na DO Ribeiro.

Valoracións sobre o seu cultivo

Variedade de brotación tardía e maduración moi tardía. Produce viños cunha graduación alcohólica, en condicións óptimas de maduración, arredor do 14,4% e cunha acidez preto do 6,4 (g/L). Estudos analíticos comparativos entre este cultivar e o cultivar treixadura mostran que ambos os dous presentan matices similares.

Descrición morfolóxica

Pámpano novo

O pámpano novo presenta a extremidade aberta con peluxe tombada de densidade baixa e pigmentación reberetada de intensidade media. A cara dorsal do entrenó é verde e vermella, mentres que a cara ventral é verde, ao igual que a cara dorsal e ventral dos nós. As xemas non presentan pigmentación antociánica.

Folla nova

A folla nova é bronceada con peluxe tombada de densidade media.

Folla adulta

A folla adulta de cor verde media presenta tamaño medio e forma pentagonal, con tres lóbulos; peluda, con densidade baixa de pelos tombados entre os nervios principais do envés do limbo e de pelos ergueitos sobre os nervios principais do envés do limbo; perfil alabeado; limbo con avultamento e inchazón de intensidade débil; presenza de pigmentación antociánica sobre os nervios principais do envés do limbo que alcanza a primeira bifurcación; dentes de lados rectilíneos, de lonxitude media en relación á súa anchura; seo peciolar con lóbulos medio superpostos e coa base en forma de V; seos laterais superiores abertos coa base en forma de V; pecíolo lixeiramente máis curto que o nervio principal.

Acio

O acio é cónico, de lonxitude e compacidade media e con presenza de 1 ou 2 ás. O pedúnculo é de lonxitude curta.

Bago

O bago de cor verde amarela presenta forma elíptica curta.

Caracterización ampelográfica

Código OIV	Carácter OIV	Notación	Nivel de expresión
Pámpano novo			
001	Forma da extremidade	aberta	5
002	Distribución da pigmentación antociánica da extremidade	reberetada	2
003	Intensidade da pigmentación antociánica da extremidade	media	5
004	Densidade dos pelos tombados da extremidade	baixa	3
005	Densidade dos pelos ergueitos da extremidade	nula ou moi baixa	1
006	Porte	semi-ergueito	3
007	Cor da cara dorsal dos entrenós	verde e vermella	2
008	Cor da cara ventral dos entrenós	verde	1
009	Cor da cara dorsal dos nós	verde	1
010	Cor da cara ventral dos nós	verde	1
011	Densidade dos pelos ergueitos dos nós	nula ou moi baixa	1
012	Densidade dos pelos ergueitos dos entrenós	nula ou moi baixa	1
015.1	Pigmentación antociánica das xemas	ausente	1
015.2	Intensidade da pigmentación antociánica das xemas	nula	1
0.16	Número de gabiáns consecutivos	dous	1
Folla nova			
051	Cor da face	bronceada	3
053	Densidade dos pelos tombados entre os nervios	media	5
056	Densidade dos pelos ergueitos dos nervios principais	nula ou moi baixa	1
Folla adulta			
065	Tamaño	medio	5
067	Forma do limbo	pentagonal	3
068	Número de lóbulos	tres	2
069	Cor da face	verde media	5
070	Pigmentación antociánica dos nervios principais da face do limbo	ata a primeira bifurcación	3
071	Pigmentación antociánica dos nervios principais do envés do limbo	ata a primeira bifurcación	3
072	Avultamento do limbo	débil	3
073	Ondulación do limbo entre os nervios principais ou secundarios	presente	9
074	Perfil	alabeado	5
075	Inchazón da face	débil	3
076	Forma dos dentes	rectilíneos	2
078	Lonxitude dos dentes en relación á súa anchura na base	medios	5
079	Solapamento do seo peciolar	medio superpostos	4
080	Forma da base do seo peciolar	en V	3
081.1	Dentes no seo peciolar	ausentes	1
081.2	Base do seo peciolar limitada pola nervadura	non delimitada	1

Código OIV	Carácter OIV	Notación	Nivel de expresión
082	Solapamento dos seos laterais superiores	aberto	1
083.1	Forma da base dos seos laterais superiores	en V	3
083.2	Dentes nos seos laterais superiores	ausente	1
084	Densidade dos pelos tombados entre os nervios do envés	baixa	3
085	Densidade dos pelos ergueitos entre os nervios do envés	nula ou moi baixa	1
086	Densidade dos pelos tombados sobre os nervios do envés	nula ou moi baixa	1
087	Densidade dos pelos ergueitos sobre os nervios do envés	baixa	3
088	Peluxe dos nervios principais da face	ausentes	1
089	Peluxe ergueita dos nervios principais da face	ausentes	1
090	Densidade dos pelos tombados do pecíolo	nula ou moi baixa	1
091	Densidade dos pelos ergueitos do pecíolo	nula ou moi baixa	1
093	Lonxitude do pecíolo en relación ao nervio central	curta	3
Inflorescencia			
151	Sexo da flor	hermafrodita	3
Acio			
202	Lonxitude	media	5
204	Compacidade	media	5
206	Lonxitude do pedúnculo	curta	3
208	Forma	cónica	2
209	Número de ás do acio primario	1 ou 2	2
Bago			
220	Lonxitude	longa	7
221	Anchura	ancha	7
222	Uniformidade do tamaño	uniforme	2
223	Forma	elíptica curta	3
225	Cor da epiderme	verde amarela	1

Caracterización ampelométrica

Carácter ampelométrico	Valor máximo e mínimo (cm)	Valor medio (cm)
Lonxitude do nervio central (N1)	14,28-9,57	13,00
Lonxitude do nervio principal lateral superior (N2)	12,62-9,58	11,45
Lonxitude do nervio principal lateral inferior (N3)	9,90-7,39	8,36
Lonxitude do nervio secundario inferior (N4)	6,65-4,38	5,80
Lonxitude do nervio terciario inferior (N5)	4,07-2,45	3,19
Distancia do punto peciolar á intersección de N3-N4 (N6)	1,22-0,57	0,90
Distancia do punto peciolar ao seo superior (U)	9,74-5,94	8,49
Distancia do punto peciolar ao seo inferior (O)	8,34-5,68	7,02
Número de dentes entre o extremo N2 e o seu primeiro nervio secundario (ND)	10,00-7,00	8,28

Carácter ampelométrico	Valor máximo e mínimo (cm)	Valor medio (cm)
Distancia entre o extremo de N2 e o seu primeiro nervio secundario (PL)	6,88-3,97	5,69
Lonxitude do dente de N1 medido ao punto medio da base (L1)	1,15-0,46	0,83
Lonxitude do dente de N2 medido ao punto medio da base (L2)	1,29-0,87	1,02
Lonxitude do dente de N3 medido ao punto medio da base (L3)	0,97-0,64	0,79
Lonxitude do dente de N4 medido ao punto medio da base (L4)	0,98-0,49	0,68
Anchura do dente de N1 (A1)	1,81-0,72	1,27
Anchura do dente de N2 (A2)	1,45-1,04	1,38
Anchura do dente de N3 (A3)	1,44-0,67	0,94
Anchura do dente de N4 (A4)	1,26-0,70	1,01
Abertura do seo peciolar (SP)	2,46-0,39	1,29
Ancho da folla (AN)	19,12-14,22	17,78
Alto da folla (ALT)	20,26-13,55	18,27
Proxección da distancia entre os extremos N1 e N3 sobre o eixe da folla (L)	18,41-10,95	15,91
Distancia entre os extremos N2 do lado grande e do lado pequeno (IS)	18,91-12,78	16,49
Distancia entre os extremos N3 do lado grande e do lado pequeno (II)	18,39-13,88	16,00
Distancia entre os extremos de N1 e N2 (ENS)	8,99-5,08	9,37
Distancia entre os extremos de N2 e N3 (ENM)	6,25-6,99	8,56
Distancia entre os extremos de N3 e N4 (ENI)	5,86-4,66	6,25
Distancia do punto peciolar ao extremo de N4 (NL)	6,24-4,93	6,12
Distancia entre as bases dos seos superiores (DS1)	12,58-5,80	9,86
Distancia entre a base dos seos inferiores (DS2)	14,87-8,19	13,01
Distancia entre as bases do seo superior e inferior (DS)	8,35-0,19	6,11
Abertura do seo superior (SS)	0,90-0,23	0,53
Abertura do seo inferior (SI)	0,77-0,17	0,53

Carácter ampelométrico	Valor máximo e mínimo (graos)	Valor medio (graos)
Ángulo entre N1 e N2 (A)	61,67-49,65	55,71
Ángulo entre N2 e N3 (B)	55,74-42,10	47,14
Ángulo entre N3 e N4 (C)	54,04-40,61	46,16
Ángulo entre N4 e N5 (D)	47,22-25,55	40,18
Ángulo entre N3 e o bordo do seo peciolar (E)	86,19-40,77	66,34
Ángulo entre os extremos de N1 e o seu primeiro nervio secundario (F)	115,55-91,03	98,50
Ángulo entre os extremos de N1 e N2 (AP)	134,32-103,80	115,07

Caracterización molecular

Microsatélites	VVS2	VVMD5	VVMD7	ssrVrZAG47	ssrVrZAG62	ssrVrZAG79	VVS29	VVS5
Pb	130	234	237	165	187	237	169	100
	150	236	241	169	195	243	169	117

SUMIDADE



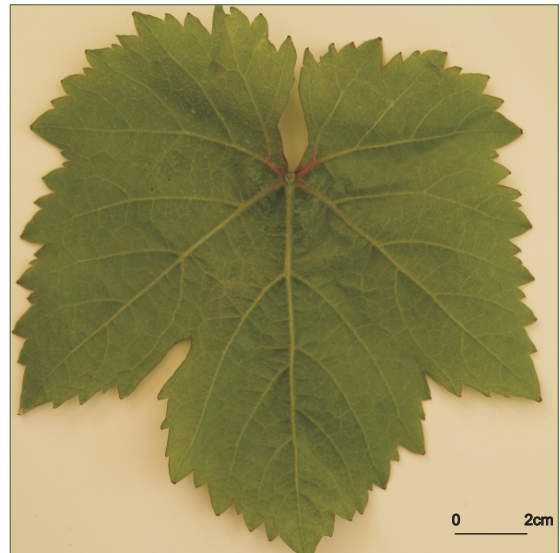
FOLLA NOVA: FACE, ENVÉS



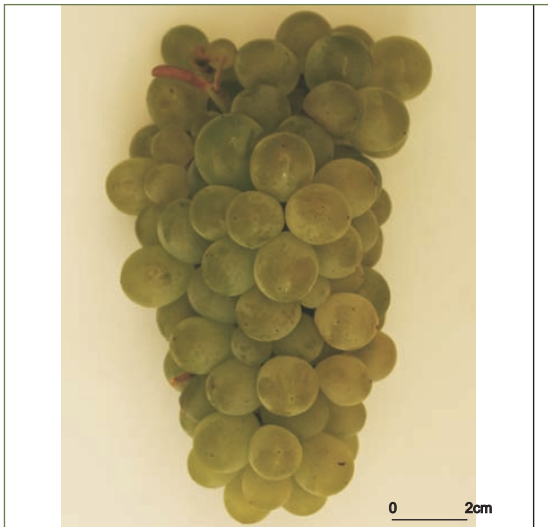
FOLLA ADULTA: FACE



FOLLA ADULTA: ENVÉS



ACIO



BAGO



Referencias na colección da EVEGA:
F37P79P84.

Sinonimias

Non se coñecen.

Antecedentes

García de los Salmones (1914) cita na provincia de Lugo.

Situación actual

Localizáronse exemplares centenarios na comarca da Baixa Limia.

Descrición morfolóxica

Pámpano novo

O pámpano novo presenta a extremidade aberta con peluxe tombada de densidade baixa e pigmentación reberetada de intensidade débil. A cara dorsal do entrenó, así como a cara dorsal e ventral do nó, é verde e vermella, mentres que a cara ventral do entrenó é verde. As xemas presentan pigmentación antociánica basal de intensidade forte.

Folla nova

A folla nova é bronceada con peluxe tombada de densidade baixa.

Folla adulta

A folla adulta é de cor verde media, presenta tamaño medio e forma pentagonal, con cinco lóbulos; peluda, con densidade baixa de pelos tombados e ergueitos entre os nervios principais do envés do limbo; perfil plano; limbo con inchazón débil; dentes con lados rectilíneos, de lonxitude curta en relación á súa anchura; seo peciolar con lóbulos pouco abertos e coa base en forma de chave; seos laterais superiores abertos coa base en forma de V; pecíolo lixeiramente máis curto que o nervio principal.

Acio

O acio é cónico, de lonxitude, anchura e compacidade media e con presenza de 1 ou 2 ás. O pedúnculo é de lonxitude media.

Bago

O bago de cor azul negra presenta forma elíptica curta.

Caracterización ampelográfica

Código OIV	Carácter OIV	Notación	Nivel de expresión
Pámpano novo			
001	Forma da extremidade	aberta	5
002	Distribución da pigmentación antociánica da extremidade	reberetada	2
003	Intensidade da pigmentación antociánica da extremidade	débil	3
004	Densidade dos pelos tombados da extremidade	baixa	3
005	Densidade dos pelos ergueitos da extremidade	nula ou moi baixa	1
006	Porte	semi-ergueito	3
007	Cor da cara dorsal dos entrenós	verde e vermella	2
008	Cor da cara ventral dos entrenós	verde	1
009	Cor da cara dorsal dos nós	verde e vermella	2
010	Cor da cara ventral dos nós	verde e vermella	2
011	Densidade dos pelos ergueitos dos nós	nula ou moi baixa	1
012	Densidade dos pelos ergueitos dos entrenós	nula ou moi baixa	1
015.1	Pigmentación antociánica das xemas	na base	3
015.2	Intensidade da pigmentación antociánica das xemas	forte	7
0.16	Número de gabiáns consecutivos	dous	1
Folla nova			
051	Cor da face	bronceada	3
053	Densidade dos pelos tombados entre os nervios	baixa	3
056	Densidade dos pelos ergueitos dos nervios principais	nula ou moi baixa	1
Folla adulta			
065	Tamaño	medio	5
067	Forma do limbo	pentagonal	3
068	Número de lóbulos	cinco	3
069	Cor da face	verde media	5
070	Pigmentación antociánica dos nervios principais da face do limbo	nula	1
071	Pigmentación antociánica dos nervios principais do envés do limbo	nula	1
072	Avultamento do limbo	nula	1
073	Ondulación do limbo entre os nervios principais ou secundarios	ausente	1
074	Perfil	plano	1
075	Inchazón da face	débil	3
076	Forma dos dentes	rectilíneos	2
078	Lonxitude dos dentes en relación á súa anchura na base	curta	3
079	Solapamento do seo peciolar	pouco aberto	3
080	Forma da base do seo peciolar	en chave	2
081.1	Dentes no seo peciolar	presentes	2
081.2	Base do seo peciolar limitada pola nervadura	non delimitada	1
082	Solapamento dos seos laterais superiores	aberto	1
083.1	Forma da base dos seos laterais superiores	en V	3

Código OIV	Carácter OIV	Notación	Nivel de expresión
083.2	Dentes nos seos laterais superiores	ausente	1
084	Densidade dos pelos tombados entre os nervios do envés	baixa	3
085	Densidade dos pelos ergueitos entre os nervios do envés	baixa	3
086	Densidade dos pelos tombados sobre os nervios do envés	nula ou moi baixa	1
087	Densidade dos pelos ergueitos sobre os nervios do envés	media	5
088	Peluxe dos nervios principais da face	ausentes	1
089	Peluxe ergueita dos nervios principais da face	ausentes	1
090	Densidade dos pelos tombados do pecíolo	nula ou moi baixa	1
091	Densidade dos pelos ergueitos do pecíolo	nula ou moi baixa	1
093	Lonxitude do pecíolo en relación ao nervio central	lixiramente máis curto	3
Inflorescencia			
151	Sexo da flor	hermafrodita	3
Acio			
202	Lonxitude	media	5
204	Compacidade	media	5
206	Lonxitude do pedúnculo	media	5
208	Forma	cónica	2
209	Número de ás do acio primario	1 ou 2	2
Bago			
220	Lonxitude	moi longa	9
221	Anchura	moi ancha	9
222	Uniformidade do tamaño	uniforme	2
223	Forma	elíptica curta	3
225	Cor da epiderme	azul negra	6

Caracterización ampelométrica

Carácter ampelométrico	Valor máximo e mínimo (cm)	Valor medio (cm)
Lonxitude do nervio central (N1)	11,10-10,15	10,68
Lonxitude do nervio principal lateral superior (N2)	10,02-8,61	9,46
Lonxitude do nervio principal lateral inferior (N3)	7,74-6,04	6,89
Lonxitude do nervio secundario inferior (N4)	5,71-4,33	4,79
Lonxitude do nervio terciario inferior (N5)	2,66-1,85	2,40
Distancia do punto peciolar á intersección de N3-N4 (N6)	0,94-0,63	0,83
Distancia do punto peciolar ao seo superior (U)	6,80-4,39	5,59
Distancia do punto peciolar ao seo inferior (O)	6,30-5,12	5,63
Número de dentes entre o extremo N2 e o seu primeiro nervio secundario (ND)	8,00-6,00	7,20

Carácter apelmométrico	Valor máximo e mínimo (cm)	Valor medio (cm)
Distancia entre o extremo de N2 e o seu primeiro nervio secundario (PL)	6,31-4,61	5,41
Lonxitude do dente de N1 medido ao punto medio da base (L1)	1,13-0,66	0,90
Lonxitude do dente de N2 medido ao punto medio da base (L2)	1,08-0,74	0,89
Lonxitude do dente de N3 medido ao punto medio da base (L3)	0,86-0,53	0,68
Lonxitude do dente de N4 medido ao punto medio da base (L4)	0,80-0,60	0,69
Anchura do dente de N1 (A1)	1,37-1,08	1,20
Anchura do dente de N2 (A2)	1,49-0,98	1,15
Anchura do dente de N3 (A3)	1,18-0,80	0,98
Anchura do dente de N4 (A4)	1,23-0,90	0,99
Abertura do seo peciolar (SP)	2,10-0,00	0,83
Ancho da folla (AN)	15,71-14,30	14,82
Alto da folla (ALT)	16,18-15,38	15,81
Proxección da distancia entre os extremos N1 e N3 sobre o eixe da folla (L)	14,62-12,32	13,75
Distancia entre os extremos N2 do lado grande e do lado pequeno (IS)	14,18-12,48	13,34
Distancia entre os extremos N3 do lado grande e do lado pequeno (II)	13,57-13,12	13,39
Distancia entre os extremos de N1 e N2 (ENS)	8,53-7,08	7,93
Distancia entre os extremos de N2 e N3 (ENM)	9,07-6,64	7,86
Distancia entre os extremos de N3 e N4 (ENI)	6,94-4,73	5,39
Distancia do punto peciolar ao extremo de N4 (NL)	6,29-5,04	5,50
Distancia entre as bases dos seos superiores (DS1)	7,33-4,51	5,89
Distancia entre a base dos seos inferiores (DS2)	11,82-10,54	11,05
Distancia entre as bases do seo superior e inferior (DS)	6,92-4,77	5,58
Abertura do seo superior (SS)	0,00-0,00	0,00
Abertura do seo inferior (SI)	0,81-0,00	0,34

Carácter apelmométrico	Valor máximo e mínimo (graos)	Valor medio (graos)
Ángulo entre N1 e N2 (A)	61,36-53,24	55,71
Ángulo entre N2 e N3 (B)	56,41-49,73	53,65
Ángulo entre N3 e N4 (C)	54,11-48,28	51,74
Ángulo entre N4 e N5 (D)	46,89-42,39	44,87
Ángulo entre N3 e o bordo do seo peciolar (E)	66,11-55,76	59,90
Ángulo entre os extremos de N1 e o seu primeiro nervio secundario (F)	98,47-88,39	95,05
Ángulo entre os extremos de N1 e N2 (AP)	119,65-109,86	114,73

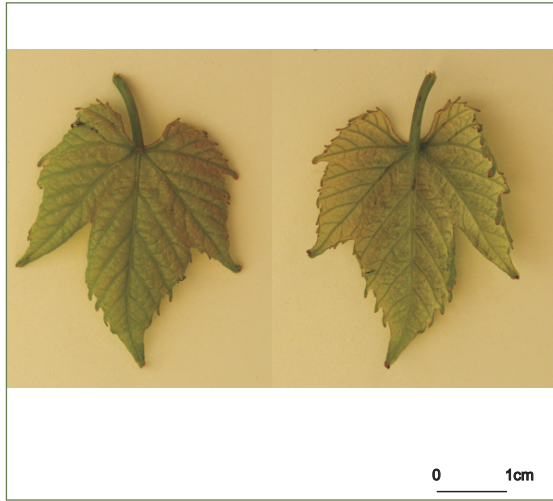
Caracterización molecular

Microsatélites	VVS2	VVMD5	VVMD7	ssrVrZAG47	ssrVrZAG62	ssrVrZAG79	VVS29	VVS5
Pb	130	230	237	157	187	241	173	85
	140	230	241	157	195	255	177	109

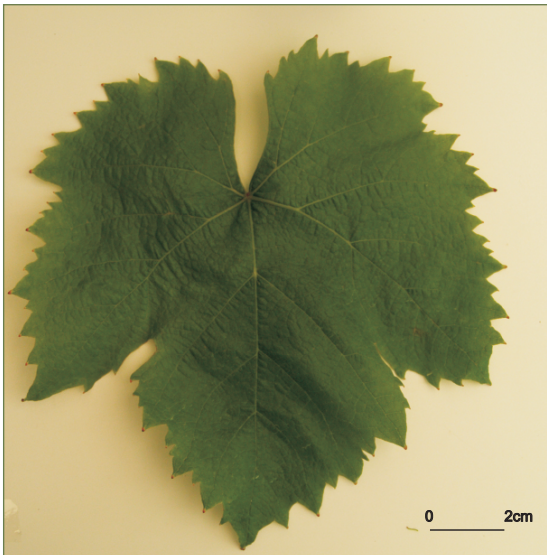
SUMIDADE



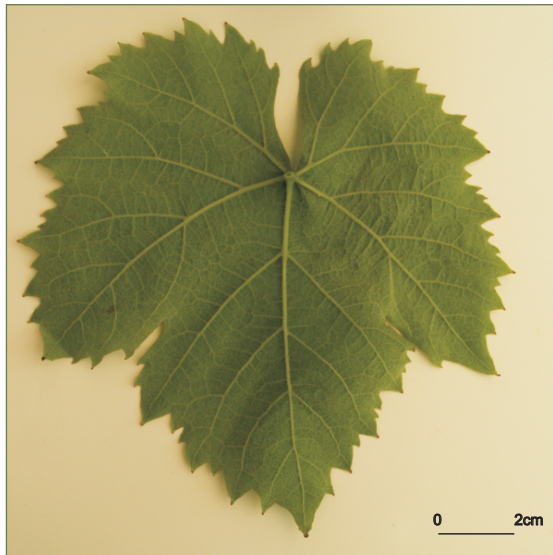
FOLLA NOVA: FACE, ENVÉS



FOLLA ADULTA: FACE



FOLLA ADULTA: ENVÉS

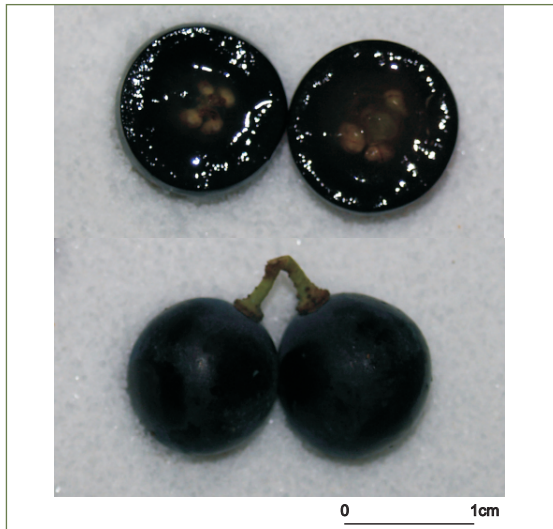


72

ACIO



BAGO



Branca de monterrei

Referencias na colección da EVEGA:
F52P02P11.

Sinonimias

Non se coñecen.

Antecedentes

A existencia de cultivares centenarios na comarca de Monterrei fai pensar nunha orixe autóctona para esta variedade.

Situación actual

É recoñecida como variedade autorizada na DO Monterrei. No Rexistro Vitícola da Comunidade Autónoma non se contempla a área de cultivo para esta variedade. Localízanse cepas ancestrais en parcelas plurivarietais da comarca de Monterrei.

Valoracións sobre o seu cultivo

Variedade moi produtiva, de brotación e maduración tardía. No terreo experimental da EVEGA produce viños con valores de grao alcohólico de 11,5-12% e acidez de 6,7-6,3 g/L.

Descrición morfolóxica

Pámpano novo

O pámpano novo presenta a extremidade aberta con peluxe tombada de densidade media. A cara dorsal e ventral dos entrenós e nós é verde. As xemas non presentan pigmentación antociánica.

Folla nova

A folla nova é verde con peluxe tombada de densidade media.

Folla adulta

A folla adulta de cor verde media presenta tamaño medio e forma pentagonal, con cinco lóbulos; peluda, con densidade baixa de pelos tombados e nula ou moi baixa de pelos ergueitos entre os nervios principais do envés do limbo; perfil alabeado; limbo con avultamento e inchazón débil; dentes de lados rectilíneos, de lonxitude curta en relación á súa anchura; seo peciolar con lóbulos lixeiramente superpostos e coa base en forma de chave; seos laterais superiores con lóbulos lixeiramente superpostos coa base en forma de chave; pecíolo lixeiramente máis curto que o nervio principal.

Acio

O acio é cónico, compacto, de lonxitude, anchura media e con presenza de 1 ou 2 ás. O pedúnculo é de lonxitude media.

Bago

O bago de cor verde amarela presenta forma elíptica curta.

Caracterización ampelográfica

Código OIV	Carácter OIV	Notación	Nivel de expresión
Pámpano novo			
001	Forma da extremidade	aberta	5
002	Distribución da pigmentación antociánica da extremidade	reberetada	2
003	Intensidade da pigmentación antociánica da extremidade	ausente	1
004	Densidade dos pelos tombados da extremidade	media	5
005	Densidade dos pelos ergueitos da extremidade	nula ou moi baixa	1
006	Porte	semi-ergueito	3
007	Cor da cara dorsal dos entrenós	verde	1
008	Cor da cara ventral dos entrenós	verde	1
009	Cor da cara dorsal dos nós	verde	1
010	Cor da cara ventral dos nós	verde	1
011	Densidade dos pelos ergueitos dos nós	nula ou moi baixa	1
012	Densidade dos pelos ergueitos dos entrenós	baixa	3
015.1	Pigmentación antociánica das xemas	ausente	1
015.2	Intensidade da pigmentación antociánica das xemas	nula ou moi débil	1
0.16	Número de gabiáns consecutivos	dous	1
Folla nova			
051	Cor da face	verde	1
053	Densidade dos pelos tombados entre os nervios	media	5
056	Densidade dos pelos ergueitos dos nervios principais	nula ou moi baixa	1
Folla adulta			
065	Tamaño	medio	5
067	Forma do limbo	pentagonal	3
068	Número de lóbulos	cinco	3
069	Cor da face	verde media	5
070	Pigmentación antociánica dos nervios principais da face do limbo	nula	1
071	Pigmentación antociánica dos nervios principais do envés do limbo	nula	1
072	Avultamento do limbo	débil	3
073	Ondulación do limbo entre os nervios principais ou secundarios	ausente	1
074	Perfil	alabeado	5
075	Inchazón da face	débil	3
076	Forma dos dentes	rectilíneos	2
078	Lonxitude dos dentes en relación á súa anchura na base	curta	3
079	Solapamento do seo peciolar	lixeiramente superpostos	3
080	Forma da base do seo peciolar	en chave	2
081.1	Dentes no seo peciolar	ausentes	1
081.2	Base do seo peciolar limitada pola nervadura	non delimitada	1
082	Solapamento dos seos laterais superiores	lixeiramente superpostos	4

Código OIV	Carácter OIV	Notación	Nivel de expresión
083.1	Forma da base dos seos laterais superiores	en chave	2
083.2	Dentes nos seos laterais superiores	ausente	1
084	Densidade dos pelos tombados entre os nervios do envés	baixa	3
085	Densidade dos pelos ergueitos entre os nervios do envés	nula ou moi baixa	1
086	Densidade dos pelos tombados sobre os nervios do envés	baixa	3
087	Densidade dos pelos ergueitos sobre os nervios do envés	nula ou moi baixa	1
088	Peluxe dos nervios principais da face	ausentes	1
089	Peluxe ergueita dos nervios principais da face	ausentes	1
090	Densidade dos pelos tombados do pecíolo	nula ou moi baixa	1
091	Densidade dos pelos ergueitos do pecíolo	nula ou moi baixa	1
093	Lonxitude do pecíolo en relación ao nervio central	lixeramente máis curto	3
Inflorescencia			
151	Sexo da flor	hermafrodita	3
Acio			
202	Lonxitude	media	5
204	Compacidade	compacta	7
206	Lonxitude do pedúnculo	media	5
208	Forma	cónica	2
209	Número de ás do acio primario	1 ou 2	2
Bago			
220	Lonxitude	longa	7
221	Anchura	ancha	7
222	Uniformidade do tamaño	uniforme	2
223	Forma	elíptica curta	3
225	Cor da epiderme	verde amarela	1

Caracterización ampelométrica

Carácter ampelométrico	Valor máximo e mínimo (cm)	Valor medio (cm)
Lonxitude do nervio central (N1)	10,89-9,08	10,06
Lonxitude do nervio principal lateral superior (N2)	9,55-8,10	9,09
Lonxitude do nervio principal lateral inferior (N3)	7,48-5,80	6,55
Lonxitude do nervio secundario inferior (N4)	4,82-4,16	4,41
Lonxitude do nervio terciario inferior (N5)	2,41-1,91	2,05
Distancia do punto peciolar á intersección de N3-N4 (N6)	0,91-0,49	0,73
Distancia do punto peciolar ao seo superior (U)	6,65-4,93	5,67
Distancia do punto peciolar ao seo inferior (O)	5,78-4,43	5,03
Número de dentes entre o extremo N2 e o seu primeiro nervio secundario (ND)	9,00-6,00	7,40

Carácter ampelométrico	Valor máximo e mínimo (cm)	Valor medio (cm)
Distancia entre o extremo de N2 e o seu primeiro nervio secundario (PL)	6,04-4,05	5,01
Lonxitude do dente de N1 medido ao punto medio da base (L1)	0,85-0,31	0,57
Lonxitude do dente de N2 medido ao punto medio da base (L2)	0,79-0,61	0,70
Lonxitude do dente de N3 medido ao punto medio da base (L3)	0,90-0,58	0,74
Lonxitude do dente de N4 medido ao punto medio da base (L4)	0,83-0,59	0,72
Anchura do dente de N1 (A1)	1,29-0,66	0,89
Anchura do dente de N2 (A2)	1,06-0,95	1,00
Anchura do dente de N3 (A3)	1,22-0,88	1,09
Anchura do dente de N4 (A4)	1,10-0,90	1,01
Abertura do seo peciolar (SP)	0,44-0,00	0,08
Ancho da folla (AN)	16,00-14,09	15,18
Alto da folla (ALT)	15,87-13,65	15,06
Proxección da distancia entre os extremos N1 e N3 sobre o eixe da folla (L)	15,51-12,41	13,90
Distancia entre os extremos N2 do lado grande e do lado pequeno (IS)	15,44-13,13	14,38
Distancia entre os extremos N3 do lado grande e do lado pequeno (II)	15,11-11,78	13,06
Distancia entre os extremos de N1 e N2 (ENS)	12,05-7,44	9,27
Distancia entre os extremos de N2 e N3 (ENM)	8,77-6,13	7,66
Distancia entre os extremos de N3 e N4 (ENI)	8,59-4,45	6,09
Distancia do punto peciolar ao extremo de N4 (NL)	8,41-4,53	5,69
Distancia entre as bases dos seos superiores (DS1)	7,13-4,89	6,20
Distancia entre a base dos seos inferiores (DS2)	10,59-7,51	9,31
Distancia entre as bases do seo superior e inferior (DS)	9,85-4,35	6,47
Abertura do seo superior (SS)	0,76-0,00	0,27
Abertura do seo inferior (SI)	0,85-0,00	0,53

Carácter ampelométrico	Valor máximo e mínimo (graos)	Valor medio (graos)
Ángulo entre N1 e N2 (A)	74,43-58,42	66,47
Ángulo entre N2 e N3 (B)	61,89-51,41	55,68
Ángulo entre N3 e N4 (C)	66,03-49,49	58,21
Ángulo entre N4 e N5 (D)	58,89-41,44	49,80
Ángulo entre N3 e o bordo do seo peciolar (E)	86,23-55,69	70,61
Ángulo entre os extremos de N1 e o seu primeiro nervio secundario (F)	115,64-97,10	104,50
Ángulo entre os extremos de N1 e N2 (AP)	122,66-107,60	114,81

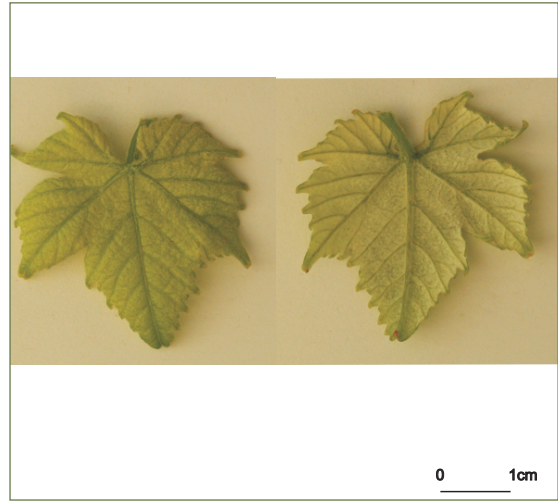
Caracterización molecular

Microsatélites	VVS2	VVMD5	VVMD7	ssrVrZAG47	ssrVrZAG62	ssrVrZAG79	VVS29	VVS5
Pb	134	232	241	157	187	243	169	150
	150	232	255	165	193	245	169	150

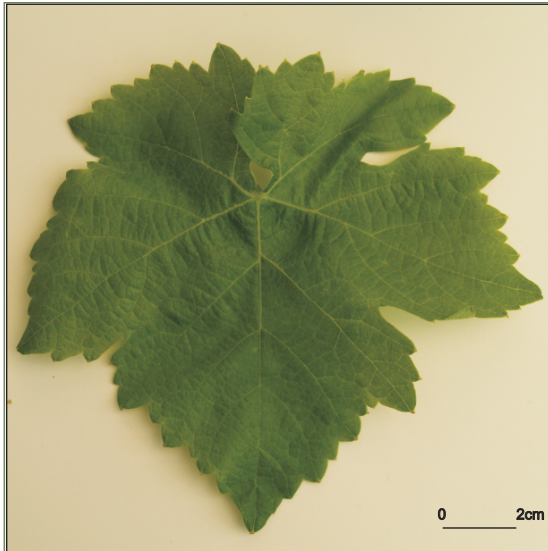
SUMIDADE



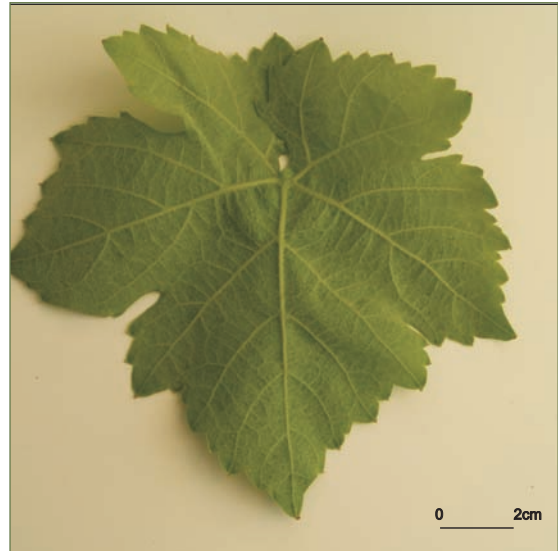
FOLLA NOVA: FACE, ENVÉS



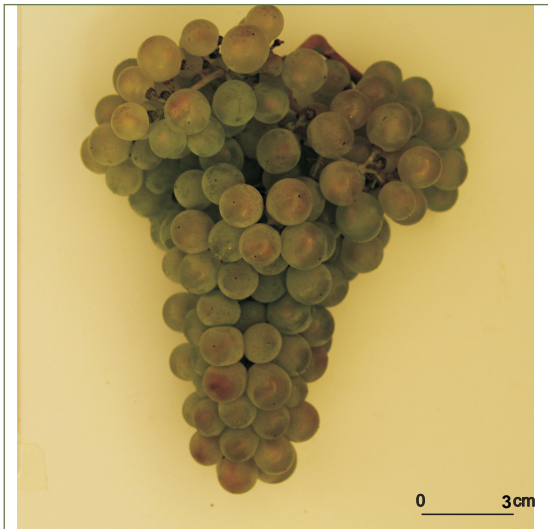
FOLLA ADULTA: FACE



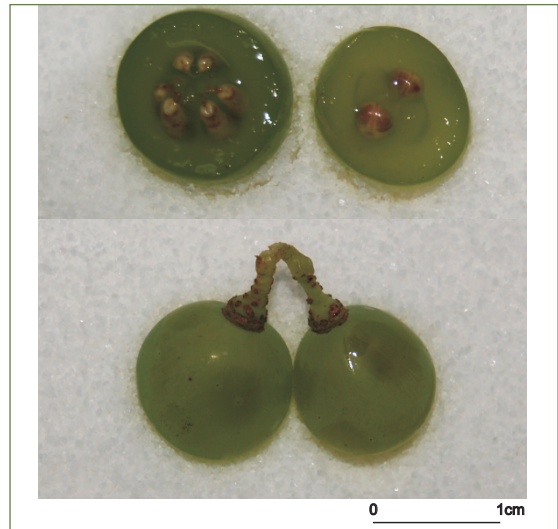
FOLLA ADULTA: ENVÉS



ACIO



BAGO



Referencias na colección da EVEGA:

F11P01P37, F12P12P32, F12P45P57, F13P03P13, F20P39P52, F36P52P61, F36P74P80, F41P02P38, F51P45P52, F58P38P47, F59P27P55, F60P02P36, F60P47P54.

Sinonimias

Albarello (denominación dada na DO Ribeira Sacra e Valdeorras), Serradelo (en Betanzos), Brancellao (na DO Rías Baixas) e Brencello (na Baixa Limia).

Antecedentes

78

Variedade documentada como cultivada na época preflorética en Galicia, é citada como sinónimo de Albarello por distintos autores (Casares, 1843; Fernández Crespo, 1897). Estudos recentes poñen de manifesto que ambas as dúas denominacións responden á mesma variedade, e a súa orixe xenética está relacionada co Caíño Bravo (Díaz-Losada *et al.*, 2010). García de los Salmones (1914) cita o seu cultivo en Bo (Noia), Betanzos, Monforte, Lobios, A Pobra de Trives, O Barco de Valdeorras, Pontearreas. No Catastro Vitícola de 1983 indícase como presente nas provincias de Pontevedra e Ourense.

Situación actual

É recoñecida como variedade preferente nas DD.OO. Ribeira Sacra e Valdeorras, como autorizada nas Rías Baixas e Ribeiro, e é recomendada, así mesmo, para a elaboración de viños nas indicacións xeográficas Viños da Terra de Betanzos, Barbanza e Iria e Val do Miño. Variedade minoritaria cunha superficie rexistrada de 0,37 ha na provincia da Coruña, 1,35 ha en Lugo, 11,99 ha en Ourense e 6,7 ha na provincia de Pontevedra, corresponden 5,13 ha á subzona do Condado do Tea e 1,07 ha ao Rosal.

Valoracións sobre o seu cultivo

De brotación e maduración tardía, é unha variedade de vigor alto e rendemento medio, posúe

elevada sensibilidade ao oídio e de intensidade media ao mildeu. Produce viños equilibrados de graduacións entre 13,14-13,82%-13,82 e acidez total de 4,01-5,43 g/L, cunha importante intensidade de reflexo violáceo na fase visual e na fase olfactiva destacan as notas froiteiras e vexetais.

Descrición morfolóxica

Pámpano novo

O pámpano novo presenta a extremidade aberta, moi peluda e con pigmentación antociánica rebertada de intensidade débil. A cara dorsal e ventral dos entrenós é verde, mentres que a dos nós é verde e vermella. As xemas presentan pigmentación antociánica na base de intensidade media.

Folla nova

A folla nova é bronceada e moi peluda entre os nervios do envés.

Folla adulta

A folla adulta de cor verde escura presenta tamaño medio e forma pentagonal, con cinco lóbulos; peluda, con alta densidade de pelos tombados entre os nervios principais e media sobre estes, e con nula ou moi baixa densidade de pelos ergueitos entre e sobre os nervios principais; perfil alabeado; limbo con avultamento medio e inchazón forte da face; dentes con ambos os dous lados convexos e de lonxitude media en relación á súa anchura; seo peciolar en V, con lóbulos lixeiramente superpostos; seos laterais superiores con lóbulos lixeiramente superpostos coa base en forma de U e con presenza ocasional de dentes; pecíolo lixeiramente máis curto que o nervio principal.

Acio

O acio é cónico, de lonxitude e anchura media, compacidade solta e con presenza de 1 ou 2 ás. O pedúnculo é de lonxitude media.

Bago

O bago de cor vermella violeta escura presenta forma elíptica curta e tamaño medio.

Caracterización ampelográfica

Código OIV	Carácter OIV	Notación	Nivel de expresión
Pámpano novo			
001	Forma da extremidade	aberta	5
002	Distribución da pigmentación antociánica da extremidade	reberetada	2
003	Intensidade da pigmentación antociánica da extremidade	débil	3
004	Densidade dos pelos tombados da extremidade	alta	7
005	Densidade dos pelos ergueitos da extremidade	nula ou moi baixa	1
006	Porte	semi-ergueito	3
007	Cor da cara dorsal dos entrenós	verde	1
008	Cor da cara ventral dos entrenós	verde	1
009	Cor da cara dorsal dos nós	verde e vermella	2
010	Cor da cara ventral dos nós	verde e vermella	2
011	Densidade dos pelos ergueitos dos nós	nula ou moi baixa	1
012	Densidade dos pelos ergueitos dos entrenós	nula ou moi baixa	1
015.1	Pigmentación antociánica das xemas	na base	2
015.2	Intensidade da pigmentación antociánica das xemas	media	5
0.16	Número de gabiáns consecutivos	dous	1
Folla nova			
051	Cor da face	bronceada	1
053	Densidade dos pelos tombados entre os nervios	alta	7
056	Densidade dos pelos ergueitos dos nervios principais	nula ou moi baixa	1
Folla adulta			
065	Tamaño	medio	5
067	Forma do limbo	pentagonal	3
068	Número de lóbulos	cinco	3
069	Cor da face	verde escura	7
070	Pigmentación antociánica dos nervios principais da face do limbo	nula	1
071	Pigmentación antociánica dos nervios principais do envés do limbo	ata a primeira bifurcación	3
072	Avultamento do limbo	media	5
073	Ondulación do limbo entre os nervios principais ou secundarios	presente	9
074	Perfil	alabeado	5
075	Inchazón da face	forte	7
076	Forma dos dentes	convexos	3
078	Lonxitude dos dentes en relación á súa anchura na base	medios	5
079	Solapamento do seo peciolar	lixeiramente superpostos	4
080	Forma da base do seo peciolar	en V	3
081.1	Dentes no seo peciolar	ausentes	1
081.2	Base do seo peciolar limitada pola nervadura	non delimitada	1
082	Solapamento dos seos laterais superiores	lóbulos lixeiramente superpostos	3
083.1	Forma da base dos seos laterais superiores	en U	1

Código OIV	Carácter OIV	Notación	Nivel de expresión
083.2	Dentes nos seos laterais superiores	presentes	9
084	Densidade dos pelos tombados entre os nervios do envés	alta	7
085	Densidade dos pelos ergueitos entre os nervios do envés	nula ou moi baixa	1
086	Densidade dos pelos tombados sobre os nervios do envés	media	5
087	Densidade dos pelos ergueitos sobre os nervios do envés	nula ou moi baixa	1
088	Peluxe dos nervios principais da face	ausentes	1
089	Peluxe ergueita dos nervios principais da face	ausentes	1
090	Densidade dos pelos tombados do pecíolo	media	3
091	Densidade dos pelos ergueitos do pecíolo	nula ou moi baixa	1
093	Lonxitude do pecíolo en relación ao nervio central	lixiramente máis curto	3
Inflorescencia			
151	Sexo da flor	hermafrodita	3
Acio			
202	Lonxitude	media	5
204	Compacidade	solta	3
206	Lonxitude do pedúnculo	media	5
208	Forma	cónica	1
209	Número de ás do acio primario	1 ou 2	2
Bago			
220	Lonxitude	mediana	5
221	Anchura	mediana	5
222	Uniformidade do tamaño	uniforme	2
223	Forma	elíptica curta	3
225	Cor da epiderme	vermella violeta escura	5

Caracterización ampelométrica

Carácter ampelométrico	Valor máximo e mínimo (cm)	Valor medio (cm)
Lonxitude do nervio central (N1)	14,70-9,98	12,27
Lonxitude do nervio principal lateral superior (N2)	14,01-8,87	11,22
Lonxitude do nervio principal lateral inferior (N3)	10,71-6,69	8,64
Lonxitude do nervio secundario inferior (N4)	7,46-4,22	5,86
Lonxitude do nervio terciario inferior (N5)	4,36-1,40	2,96
Distancia do punto peciolar á intersección de N3-N4 (N6)	1,91-0,55	1,12
Distancia do punto peciolar ao seo superior (U)	8,85-4,23	6,22
Distancia do punto peciolar ao seo inferior (O)	8,42-4,58	6,28
Número de dentes entre o extremo N2 e o seu primeiro nervio secundario (ND)	8,00-3,33	5,59

Carácter apelmométrico	Valor máximo e mínimo (cm)	Valor medio (cm)
Distancia entre o extremo de N2 e o seu primeiro nervio secundario (PL)	8,35-3,63	6,02
Lonxitude do dente de N1 medido ao punto medio da base (L1)	0,90-0,35	0,61
Lonxitude do dente de N2 medido ao punto medio da base (L2)	1,00-0,38	0,65
Lonxitude do dente de N3 medido ao punto medio da base (L3)	1,09-0,83	0,68
Lonxitude do dente de N4 medido ao punto medio da base (L4)	1,20-0,41	0,71
Anchura do dente de N1 (A1)	2,14-0,74	1,47
Anchura do dente de N2 (A2)	2,07-1,03	1,49
Anchura do dente de N3 (A3)	1,96-0,90	1,41
Anchura do dente de N4 (A4)	1,99-0,75	1,29
Abertura do seo peciolar (SP)	2,98-0,00	0,70
Ancho da folla (AN)	22,81-13,92	18,60
Alto da folla (ALT)	21,87-12,82	18,11
Proxección da distancia entre os extremos N1 e N3 sobre o eixe da folla (L)	20,02-12,65	16,39
Distancia entre os extremos N2 do lado grande e do lado pequeno (IS)	19,69-10,58	15,88
Distancia entre os extremos N3 do lado grande e do lado pequeno (II)	21,24-10,54	16,40
Distancia entre os extremos de N1 e N2 (ENS)	13,44-5,46	9,70
Distancia entre os extremos de N2 e N3 (ENM)	11,72-6,27	9,09
Distancia entre os extremos de N3 e N4 (ENI)	9,50-4,51	6,81
Distancia do punto peciolar ao extremo de N4 (NL)	8,33-4,79	6,59
Distancia entre as bases dos seos superiores (DS1)	12,61-4,66	7,04
Distancia entre a base dos seos inferiores (DS2)	16,66-7,52	12,03
Distancia entre as bases do seo superior e inferior (DS)	8,86-2,86	5,89
Abertura do seo superior (SS)	1,13-0,00	0,24
Abertura do seo inferior (SI)	1,46-0,03	0,61

Carácter apelmométrico	Valor máximo e mínimo (graos)	Valor medio (graos)
Ángulo entre N1 e N2 (A)	74,11-33,58	59,20
Ángulo entre N2 e N3 (B)	67,50-37,79	51,22
Ángulo entre N3 e N4 (C)	68,98-34,24	52,93
Ángulo entre N4 e N5 (D)	65,22-31,84	46,26
Ángulo entre N3 e o bordo do seo peciolar (E)	93,14-48,64	69,28
Ángulo entre os extremos de N1 e o seu primeiro nervio secundario (F)	125,48-81,44	108,23
Ángulo entre os extremos de N1 e N2 (AP)	137,86-101,72	119,25

Caracterización molecular

Microsatélites	VVS2	VVMD5	VVMD7	ssrVrZAG47	ssrVrZAG62	ssrVrZAG79	VVS29	VVS5
Pb	130	218	237	161	187	249	169	85
	150	222	237	165	193	257	169	121

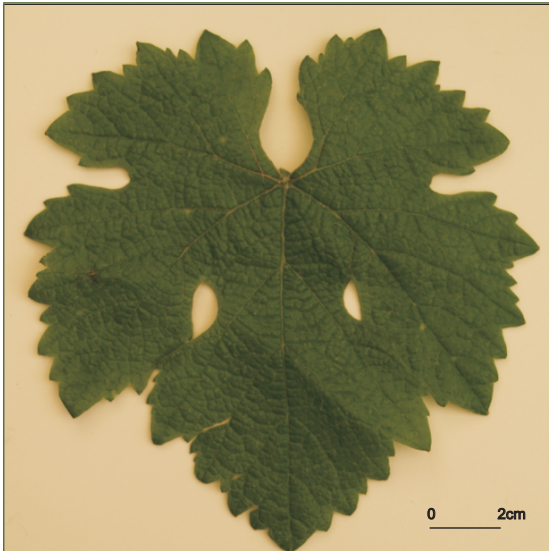
SUMIDADE



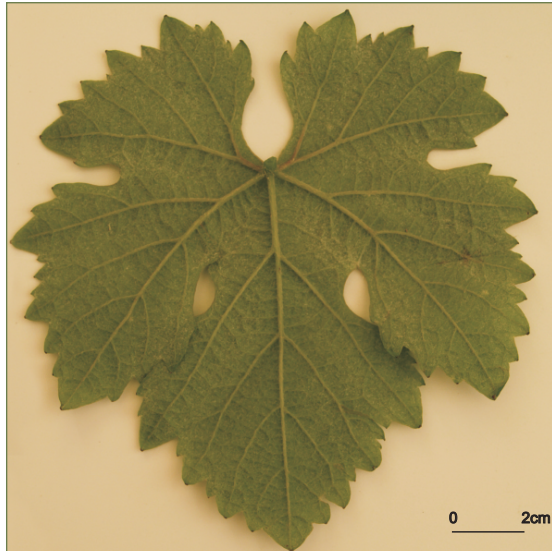
FOLLA NOVA: FACE, ENVÉS



FOLLA ADULTA: FACE



FOLLA ADULTA: ENVÉS



82

ACIO



BAGO



BRANCELLAO BRANCO

Referencias na colección da EVEGA:
F33P25P33.

Sinonimias

Non se coñecen.

Situación actual

A súa existencia é puntual en parcelas plurivarietais. Descoñécese a súa orixe pero, polas súas características morfolóxicas e moleculares, posiblemente se trate dunha variante de cultivar tinto brancellao.

Descrición morfolóxica

Pámpano novo

O pámpano novo presenta a extremidade aberta, moi peluda e con pigmentación antociánica reberetada de intensidade débil. A cara dorsal e ventral dos entrenós é verde, mentres que a dos nós é verde e vermella. As xemas presentan pigmentación antociánica na base de intensidade media.

Folla nova

A folla nova é bronceada e moi peluda entre os nervios do envés.

Folla adulta

A folla adulta de cor verde escura presenta tamaño medio e forma pentagonal, con cinco lóbulos; peluda, con alta densidade de pelos tombados entre os nervios principais e media sobre estes, e con nula ou moi baixa densidade de pelos ergeitos entre e sobre os nervios principais; perfil alabeado; limbo con avultamento medio e inchazón forte da face; dentes con ambos os dous lados convexos e de lonxitude media en relación á súa anchura; seo peciolar en V, con lóbulos lixeiramente superpostos; seos laterais superiores con lóbulos lixeiramente superpostos, coa base en forma de U, e con presenza ocasional de dentes; pecíolo lixeiramente máis curto que o nervio principal.

Acio

O acio é cónico, de lonxitude e anchura media, compacidade solta e con presenza de 1 ou 2 ás. O pedúnculo é de lonxitude media.

Bago

O bago de cor rosa presenta forma elíptica curta e tamaño medio.

Caracterización ampelográfica

Código OIV	Carácter OIV	Notación	Nivel de expresión
Pámpano novo			
001	Forma da extremidade	aberta	5
002	Distribución da pigmentación antociánica da extremidade	reberetada	2
003	Intensidade da pigmentación antociánica da extremidade	débil	3
004	Densidade dos pelos tombados da extremidade	alta	7
005	Densidade dos pelos ergueitos da extremidade	nula ou moi baixa	1
006	Porte	semi-ergueito	3
007	Cor da cara dorsal dos entrenós	verde	1
008	Cor da cara ventral dos entrenós	verde	1
009	Cor da cara dorsal dos nós	verde e vermella	2
010	Cor da cara ventral dos nós	verde e vermella	2
011	Densidade dos pelos ergueitos dos nós	nula ou moi baixa	1
012	Densidade dos pelos ergueitos dos entrenós	nula ou moi baixa	1
015.1	Pigmentación antociánica das xemas	na base	2
015.2	Intensidade da pigmentación antociánica das xemas	media	5
0.16	Número de gabiáns consecutivos	dous	1
Folla nova			
051	Cor da face	bronceada	3
053	Densidade dos pelos tombados entre os nervios	alta	7
056	Densidade dos pelos ergueitos dos nervios principais	nula ou moi baixa	1
Folla adulta			
065	Tamaño	medio	5
067	Forma do limbo	pentagonal	3
068	Número de lóbulos	cinco	3
069	Cor da face	verde escura	7
070	Pigmentación antociánica dos nervios principais da face do limbo	nula	1
071	Pigmentación antociánica dos nervios principais do envés do limbo	ata a primeira bifurcación	3
072	Avultamento do limbo	media	5
073	Ondulación do limbo entre os nervios principais ou secundarios	presente	9
074	Perfil	alabeado	5
075	Inchazón da face	forte	7
076	Forma dos dentes	convexos	3
078	Lonxitude dos dentes en relación á súa anchura na base	medios	5
079	Solapamento do seo peciolar	lixeiramente superpostos	4
080	Forma da base do seo peciolar	en V	3
081.1	Dentes no seo peciolar	ausentes	1
081.2	Base do seo peciolar limitada pola nervadura	non delimitada	1
082	Solapamento dos seos laterais superiores	lóbulos lixeiramente superpostos	3
083.1	Forma da base dos seos laterais superiores	en U	1

Código OIV	Carácter OIV	Notación	Nivel de expresión
083.2	Dentes nos seus laterais superiores	presentes	9
084	Densidade dos pelos tombados entre os nervios do envés	alta	7
085	Densidade dos pelos ergueitos entre os nervios do envés	nula ou moi baixa	1
086	Densidade dos pelos tombados sobre os nervios do envés	media	5
087	Densidade dos pelos ergueitos sobre os nervios do envés	nula ou moi baixa	1
088	Peluxe dos nervios principais da face	ausentes	1
089	Peluxe ergueita dos nervios principais da face	ausentes	1
090	Densidade dos pelos tombados do pecíolo	media	3
091	Densidade dos pelos ergueitos do pecíolo	nula ou moi baixa	1
093	Lonxitude do pecíolo en relación ao nervio central	lixeramente máis curto	3
Inflorescencia			
151	Sexo da flor	hermafrodita	3
Acio			
202	Lonxitude	media	5
204	Compacidade	solta	3
206	Lonxitude do pedúnculo	media	5
208	Forma	cónica	1
209	Número de ás do acio primario	1 ou 2	2
Bago			
220	Lonxitude	mediana	5
221	Anchura	mediana	5
222	Uniformidade do tamaño	uniforme	2
223	Forma	elíptica curta	3
225	Cor da epiderme	rosa	2

Caracterización ampelométrica

Carácter ampelométrico	Valor máximo e mínimo (cm)	Valor medio (cm)
Lonxitude do nervio central (N1)	11,61-10,38	11,12
Lonxitude do nervio principal lateral superior (N2)	11,36-9,97	10,62
Lonxitude do nervio principal lateral inferior (N3)	9,44-6,75	8,28
Lonxitude do nervio secundario inferior (N4)	6,34-4,82	5,48
Lonxitude do nervio terciario inferior (N5)	3,61-2,56	2,92
Distancia do punto peciolar á intersección de N3-N4 (N6)	1,19-0,63	0,91
Distancia do punto peciolar ao seo superior (U)	5,53-4,00	4,96
Distancia do punto peciolar ao seo inferior (O)	7,08-5,26	5,81
Número de dentes entre o extremo N2 e o seu primeiro nervio secundario (ND)	8,00-6,00	6,80

Carácter ampelométrico	Valor máximo e mínimo (cm)	Valor medio (cm)
Distancia entre o extremo de N2 e o seu primeiro nervio secundario (PL)	6,35-4,07	5,22
Lonxitude do dente de N1 medido ao punto medio da base (L1)	0,68-0,45	0,56
Lonxitude do dente de N2 medido ao punto medio da base (L2)	0,91-0,62	0,77
Lonxitude do dente de N3 medido ao punto medio da base (L3)	1,05-0,47	0,85
Lonxitude do dente de N4 medido ao punto medio da base (L4)	1,07-0,55	0,82
Anchura do dente de N1 (A1)	1,70-1,18	1,37
Anchura do dente de N2 (A2)	1,40-1,00	1,24
Anchura do dente de N3 (A3)	1,71-1,10	1,37
Anchura do dente de N4 (A4)	1,69-0,97	1,35
Abertura do seo peciolar (SP)	2,34-0,57	1,53
Ancho da folla (AN)	18,16-16,28	17,51
Alto da folla (ALT)	17,09-15,54	16,62
Proxección da distancia entre os extremos N1 e N3 sobre o eixe da folla (L)	14,70-11,52	13,87
Distancia entre os extremos N2 do lado grande e do lado pequeno (IS)	17,10-11,97	14,47
Distancia entre os extremos N3 do lado grande e do lado pequeno (II)	17,93-15,01	16,57
Distancia entre os extremos de N1 e N2 (ENS)	9,14-6,33	7,80
Distancia entre os extremos de N2 e N3 (ENM)	9,87-6,79	7,95
Distancia entre os extremos de N3 e N4 (ENI)	7,97-4,77	6,67
Distancia do punto peciolar ao extremo de N4 (NL)	7,00-5,57	6,25
Distancia entre as bases dos seos superiores (DS1)	5,45-4,73	5,06
Distancia entre a base dos seos inferiores (DS2)	10,85-7,31	9,92
Distancia entre as bases do seo superior e inferior (DS)	7,06-3,75	4,95
Abertura do seo superior (SS)	0,25-0,00	0,05
Abertura do seo inferior (SI)	0,76-0,00	0,27

Carácter ampelométrico	Valor máximo e mínimo (graos)	Valor medio (graos)
Ángulo entre N1 e N2 (A)	63,79-52,57	58,66
Ángulo entre N2 e N3 (B)	48,42-34,65	40,69
Ángulo entre N3 e N4 (C)	56,66-45,76	51,31
Ángulo entre N4 e N5 (D)	54,01-39,48	43,45
Ángulo entre N3 e o bordo do seo peciolar (E)	76,62-57,26	64,02
Ángulo entre os extremos de N1 e o seu primeiro nervio secundario (F)	115,85-106,46	110,42
Ángulo entre os extremos de N1 e N2 (AP)	139,12-121,07	131,47

Caracterización molecular

Microsatélites	VVS2	VVMD5	VVMD7	ssrVrZAG47	ssrVrZAG62	ssrVrZAG79	VVS29	VVS5
Pb	130	218	237	161	187	249	169	85
	150	222	237	165	193	257	169	121

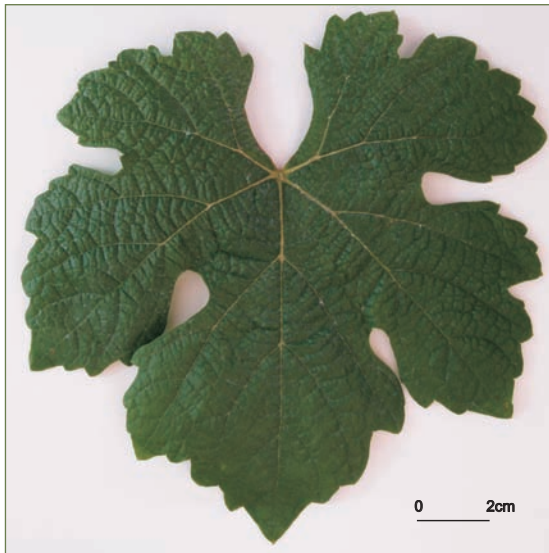
SUMIDADE



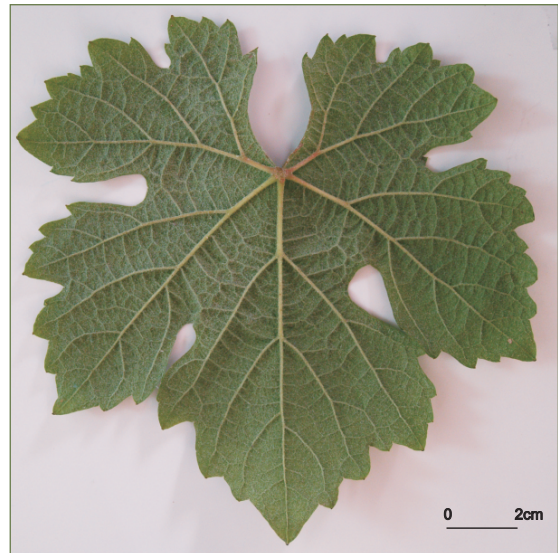
FOLLA NOVA: FACE, ENVÉS



FOLLA ADULTA: FACE



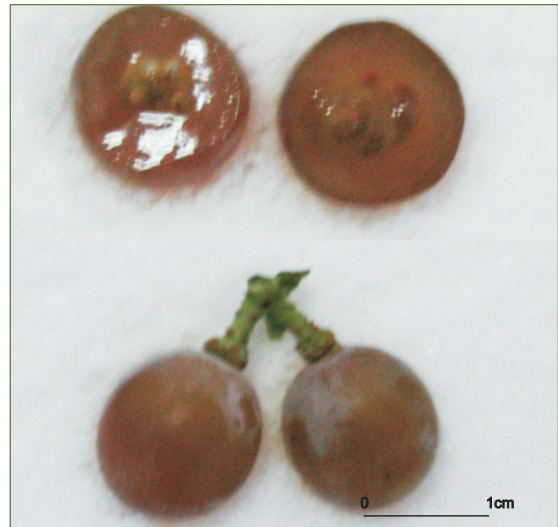
FOLLA ADULTA: ENVÉS



ACIO



BAGO



Referencias na colección da EVEGA:
F01P01P06, F40P01P08.

A denominación dada a este xenotipo correspóndese coa mencionada por Ibáñez *et al.*, 2003, presente na Colección de El Encín e cuxa orixe é a provincia de Toledo.

Descrición morfolóxica

Pámpano novo

O pámpano novo presenta a extremidade aberta con peluxe tombada de densidade baixa e pigmentación reberetada de intensidade débil. A cara dorsal e ventral dos entrenós e nós é verde. As xemas presentan pigmentación antociánica na base da bráctea e de intensidade nula ou moi débil.

Folla nova

A folla nova é bronceada con peluxe tombada de densidade media.

Folla adulta

A folla adulta de cor verde media presenta tamaño medio e forma pentagonal, con tres lóbulos; peluda, con densidade baixa de pelos tombados entre os nervios principais do envés do limbo, ao igual que de pelos ergueitos sobre os nervios, e nula ou moi baixa de pelos ergueitos entre os nervios principais; perfil alabeado; limbo con avultamento e inchazón débil; dentes de lados convexos, de lonxitude media en relación á súa anchura; seo peciolar pouco aberto ou con lóbulos lixeiramente superpostos e coa base en forma de V; seos laterais superiores abertos coa base en forma de V; pecíolo lixeiramente máis curto que o nervio principal.

Acio

O acio é cilíndrico, longo, ancho, de compacidade media e con presenza de 1 ou 2 ás. O pedúnculo é de lonxitude curta.

Bago

O bago de cor azul negra presenta forma esférica.

Caracterización ampelográfica

Código OIV	Carácter OIV	Notación	Nivel de expresión
Pámpano novo			
001	Forma da extremidade	aberta	5
002	Distribución da pigmentación antociánica da extremidade	reberetada	2
003	Intensidade da pigmentación antociánica da extremidade	débil	3
004	Densidade dos pelos tombados da extremidade	baixa	3
005	Densidade dos pelos ergueitos da extremidade	nula ou moi baixa	1
006	Porte	semi-ergueito	3
007	Cor da cara dorsal dos entrenós	verde	1
008	Cor da cara ventral dos entrenós	verde	1
009	Cor da cara dorsal dos nós	verde	1
010	Cor da cara ventral dos nós	verde	1
011	Densidade dos pelos ergueitos dos nós	nula ou moi baixa	1
012	Densidade dos pelos ergueitos dos entrenós	nula ou moi baixa	1
015.1	Pigmentación antociánica das xemas	na base	2
015.2	Intensidade da pigmentación antociánica das xemas	nula ou moi débil	1
0.16	Número de gabiáns consecutivos	dous	1
Folla nova			
051	Cor da face	bronceada	3
053	Densidade dos pelos tombados entre os nervios	media	5
056	Densidade dos pelos ergueitos dos nervios principais	nula ou moi baixa	1
Folla adulta			
065	Tamaño	medio	5
067	Forma do limbo	pentagonal	3
068	Número de lóbulos	tres	2
069	Cor da face	verde media	5
070	Pigmentación antociánica dos nervios principais da face do limbo	nula	1
071	Pigmentación antociánica dos nervios principais do envés do limbo	nula	1
072	Avultamento do limbo	débil	3
073	Ondulación do limbo entre os nervios principais ou secundarios	ausente	1
074	Perfil	alabeado	5
075	Inchazón da face	débil	3
076	Forma dos dentes	convexos	3
078	Lonxitude dos dentes en relación á súa anchura na base	medio	5
079	Solapamento do seo peciolar	lixeramente superpostos	4
080	Forma da base do seo peciolar	en V	3
081.1	Dentes no seo peciolar	ausentes	1
081.2	Base do seo peciolar limitada pola nervadura	non delimitada	1
082	Solapamento dos seos laterais superiores	aberto	1
083.1	Forma da base dos seos laterais superiores	en V	3

Código OIV	Carácter OIV	Notación	Nivel de expresión
083.2	Dentes nos seos laterais superiores	ausente	1
084	Densidade dos pelos tombados entre os nervios do envés	baixa	3
085	Densidade dos pelos ergueitos entre os nervios do envés	nula ou moi baixa	1
086	Densidade dos pelos tombados sobre os nervios do envés	baixa	3
087	Densidade dos pelos ergueitos sobre os nervios do envés	baixa	3
088	Peluxe dos nervios principais da face	ausentes	1
089	Peluxe ergueita dos nervios principais da face	ausentes	1
090	Densidade dos pelos tombados do pecíolo	nula ou moi baixa	1
091	Densidade dos pelos ergueitos do pecíolo	nula ou moi baixa	1
093	Lonxitude do pecíolo en relación ao nervio central	lixiramente máis curto	3
Inflorescencia			
151	Sexo da flor	hermafrodita	3
Acio			
202	Lonxitude	longa	7
204	Compacidade	media	5
206	Lonxitude do pedúnculo	curta	3
208	Forma	cilíndrica	1
209	Número de ás do acio primario	1 ou 2	2
Bago			
220	Lonxitude	longa	7
221	Anchura	ancha	7
222	Uniformidade do tamaño	uniforme	2
223	Forma	esférica	2
225	Cor da epiderme	azul negra	6

Caracterización ampelométrica

Carácter ampelométrico	Valor máximo e mínimo (cm)	Valor medio (cm)
Lonxitude do nervio central (N1)	11,44-9,44	10,25
Lonxitude do nervio principal lateral superior (N2)	11,04-9,44	10,14
Lonxitude do nervio principal lateral inferior (N3)	8,46-7,68	7,95
Lonxitude do nervio secundario inferior (N4)	5,73-4,84	5,30
Lonxitude do nervio terciario inferior (N5)	3,24-2,75	2,96
Distancia do punto peciolar á intersección de N3-N4 (N6)	1,02-0,60	0,83
Distancia do punto peciolar ao seo superior (U)	8,77-7,36	7,94
Distancia do punto peciolar ao seo inferior (O)	6,54-6,25	6,43
Número de dentes entre o extremo N2 e o seu primeiro nervio secundario (ND)	5,00-4,00	4,66

Carácter apelmométrico	Valor máximo e mínimo (cm)	Valor medio (cm)
Distancia entre o extremo de N2 e o seu primeiro nervio secundario (PL)	5,51-4,76	5,04
Lonxitude do dente de N1 medido ao punto medio da base (L1)	0,68-0,43	0,55
Lonxitude do dente de N2 medido ao punto medio da base (L2)	0,96-0,69	0,83
Lonxitude do dente de N3 medido ao punto medio da base (L3)	0,88-0,77	0,83
Lonxitude do dente de N4 medido ao punto medio da base (L4)	1,10-0,66	0,84
Anchura do dente de N1 (A1)	1,35-0,95	1,11
Anchura do dente de N2 (A2)	1,97-1,56	1,76
Anchura do dente de N3 (A3)	1,41-1,18	1,30
Anchura do dente de N4 (A4)	1,57-1,13	1,31
Abertura do seo peciolar (SP)	1,64-0,92	1,25
Ancho da folla (AN)	17,63-14,97	16,15
Alto da folla (ALT)	16,81-13,31	14,77
Proxección da distancia entre os extremos N1 e N3 sobre o eixe da folla (L)	13,82-12,48	13,05
Distancia entre os extremos N2 do lado grande e do lado pequeno (IS)	14,74-12,26	13,15
Distancia entre os extremos N3 do lado grande e do lado pequeno (II)	15,93-5,79	11,58
Distancia entre os extremos de N1 e N2 (ENS)	8,86-7,08	7,79
Distancia entre os extremos de N2 e N3 (ENM)	7,87-7,15	7,66
Distancia entre os extremos de N3 e N4 (ENI)	7,92-6,58	7,81
Distancia do punto peciolar ao extremo de N4 (NL)	6,14-5,45	5,86
Distancia entre as bases dos seos superiores (DS1)	21,26-18,39	19,78
Distancia entre a base dos seos inferiores (DS2)	8,15-7,52	7,77
Distancia entre as bases do seo superior e inferior (DS)	13,34-12,91	13,19
Abertura do seo superior (SS)	1,19-0,39	0,73
Abertura do seo inferior (SI)	1,15-0,73	0,87

Carácter apelmométrico	Valor máximo e mínimo (graos)	Valor medio (graos)
Ángulo entre N1 e N2 (A)	55,91-50,22	53,29
Ángulo entre N2 e N3 (B)	55,37-32,27	44,99
Ángulo entre N3 e N4 (C)	56,80-50,71	53,35
Ángulo entre N4 e N5 (D)	55,34-48,35	51,62
Ángulo entre N3 e o bordo do seo peciolar (E)	92,92-81,71	86,66
Ángulo entre os extremos de N1 e o seu primeiro nervio secundario (F)	128,88-111,19	122,98
Ángulo entre os extremos N1 e N2 (AP)	141,39-124,68	133,25

Caracterización molecular

Microsatélites	VVS2	VVMD5	VVMD7	ssrVrZAG47	ssrVrZAG62	ssrVrZAG79	VVS29	VVS5
Pb	140	224	237	159	187	245	169	85
	142	228	241	171	191	255	169	85

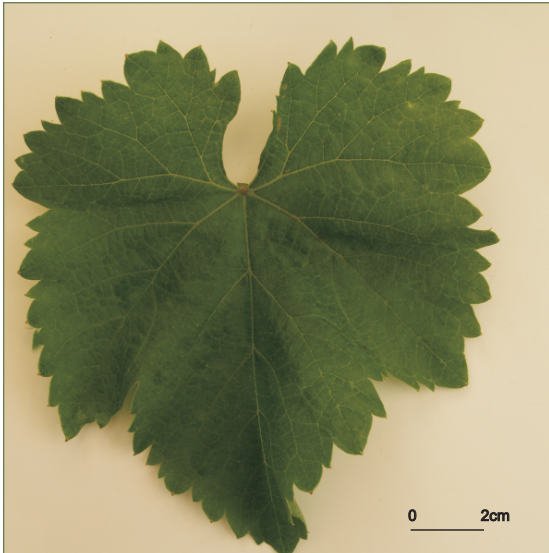
SUMIDADE



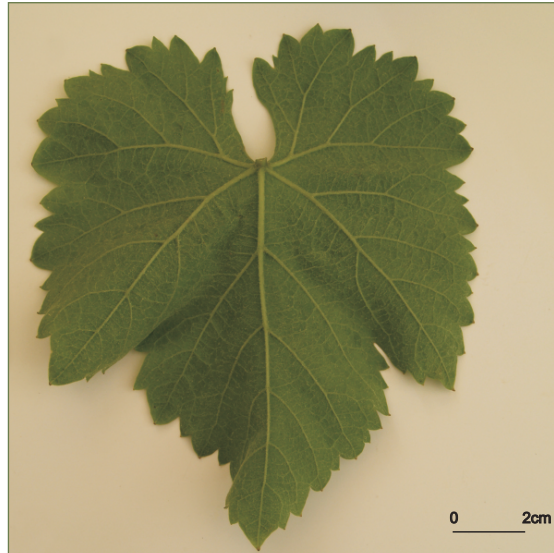
FOLLA NOVA: FACE, ENVÉS



FOLLA ADULTA: FACE



FOLLA ADULTA: ENVÉS

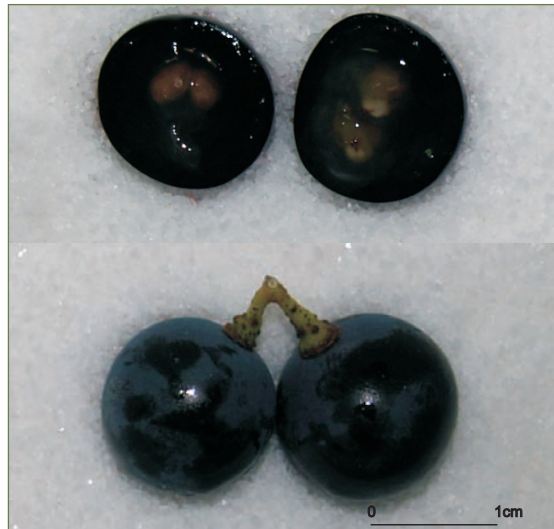


92

ACIO



BAGO



caíño Branco

Referencias na colección da EVEGA:
F48P17P29.

Sinonimias

Non se coñecen.

Antecedentes

Na bibliografía antiga cítase de modo xeral a variedade Caíño, sen precisar en ocasións se se trata de uva branca ou tinta, o que dificulta determinar a súa orixe na rexión. Huetz de Lemp (1967) cítala como cultivada xa nos anos 1722 e 1786. A súa orixe está relacionada cos cultivares Caíño Bravo e Albariño (Díaz-Losada *et al.*, 2010, 2011).

Situación actual

É recoñecida como variedade preferente na DO Rías Baixas. A superficie de cultivo contemplada no Rexistro Vitícola céntrase na provincia de Pontevedra con 0,91 ha na Ribeira do Ulla, 4,52 ha no Val do Salnés, 1,43 ha no Condado do Tea, 26,03 ha no Rosal, 0,04 ha en Soutomaior e 6,45 ha no resto da provincia.

Valoracións sobre o seu cultivo

Variedade de brotación media a precoz e maduración media, vigor medio e fertilidade baixa. Sensible ao mildeu e á botrite e con sensibilidade moderada ao oídio. Produce mostos cun contido en azucres medio alto e acidez elevada.

Descrición morfolóxica

Pámpano novo

O pámpano novo presenta a extremidade aberta con peluxe tombada de densidade alta e pigmentación reberetada de intensidade forte. A cara dorsal e ventral dos nós é verde, así como a cara ventral do entrenó, mentres que a dorsal é verde e vermella. As xemas presentan pigmentación antociánica na base da bráctea e de intensidade débil.

Folla nova

A folla nova é verde con peluxe tombada de densidade alta.

Folla adulta

A folla adulta de cor verde media presenta tamaño pequeno e forma pentagonal, con 3 lóbulos; peluda, con densidade media de pelos tombados entre os nervios principais, baixa sobre os nervios principais; perfil plano; limbo con avultamento débil e inchazón nulo ou moi débil; presenza de pigmentación antociánica sobre os nervios principais da face e envés do limbo que alcanza a segunda bifurcación; dentes con lados convexos, de lonxitude curta en relación á súa anchura; seo peciolar con lóbulos semiabertos e a base en forma de U; seos laterais superiores abertos coa base en forma de V; pecíolo lixeiramente máis curto que o nervio principal.

Acio

O acio é cónico, curto, estreito, de compacidade media a solta e con presenza de 1 ou 2 ás. O pedúnculo é de lonxitude media.

Bago

O bago de cor verde amarela presenta forma esférica a elíptica curta.

Caracterización ampelográfica

Código OIV	Carácter OIV	Notación	Nivel de expresión
Pámpano novo			
001	Forma da extremidade	aberta	5
002	Distribución da pigmentación antociánica da extremidade	reberetada	2
003	Intensidade da pigmentación antociánica da extremidade	forte	7
004	Densidade dos pelos tombados da extremidade	alta	7
005	Densidade dos pelos ergueitos da extremidade	nula ou moi baixa	1
006	Porte	semi-ergueito	3
007	Cor da cara dorsal dos entrenós	verde e vermella	2
008	Cor da cara ventral dos entrenós	verde	1
009	Cor da cara dorsal dos nós	verde	1
010	Cor da cara ventral dos nós	verde	1
011	Densidade dos pelos ergueitos dos nós	nula ou moi baixa	1
012	Densidade dos pelos ergueitos dos entrenós	nula ou moi baixa	1
015.1	Pigmentación antociánica das xemas	na base	2
015.2	Intensidade da pigmentación antociánica das xemas	débil	3
0.16	Número de gabiáns consecutivos	dous	1
Folla nova			
051	Cor da face	verde	1
053	Densidade dos pelos tombados entre os nervios	alta	7
056	Densidade dos pelos ergueitos dos nervios principais	nula ou moi baixa	1
Folla adulta			
065	Tamaño	pequeno	3
067	Forma do limbo	pentagonal	3
068	Número de lóbulos	tres	2
069	Cor da face	verde media	5
070	Pigmentación antociánica dos nervios principais da face do limbo	ata a segunda bifurcación	4
071	Pigmentación antociánica dos nervios principais do envés do limbo	ata a segunda bifurcación	4
072	Avultamento do limbo	débil	3
073	Ondulación do limbo entre os nervios principais ou secundarios	ausente	1
074	Perfil	plano	1
075	Inchazón da face	nulo ou moi débil	1
076	Forma dos dentes	convexos	3
078	Lonxitude dos dentes en relación á súa anchura na base	pequenos	3
079	Solapamento do seo peciolar	semi-aberto	2
080	Forma da base do seo peciolar	en U	1
081.1	Dentes no seo peciolar	ausentes	1
081.2	Base do seo peciolar limitada pola nervadura	non delimitada	1
082	Solapamento dos seos laterais superiores	aberto	1

Código OIV	Carácter OIV	Notación	Nivel de expresión
083.1	Forma da base dos seus laterais superiores	en V	3
083.2	Dentes nos seus laterais superiores	ausente	1
084	Densidade dos pelos tombados entre os nervios do envés	media	5
085	Densidade dos pelos ergueitos entre os nervios do envés	nula ou moi baixa	1
086	Densidade dos pelos tombados sobre os nervios do envés	baixa	3
087	Densidade dos pelos ergueitos sobre os nervios do envés	nula ou moi baixa	1
088	Peluxe dos nervios principais da face	presentes	9
089	Peluxe ergueita dos nervios principais da face	ausentes	1
090	Densidade dos pelos tombados do pecíolo	baixa	3
091	Densidade dos pelos ergueitos do pecíolo	nula ou moi baixa	1
093	Lonxitude do pecíolo en relación ao nervio central	lixeramente máis curto	3
Inflorescencia			
151	Sexo da flor	hermafrodita	3
Acio			
202	Lonxitude	curta	3
204	Compacidade	media	5
206	Lonxitude do pedúnculo	media	5
208	Forma	cónica	2
209	Número de ás do acio primario	1 ou 2	2
Bago			
220	Lonxitude	curta	3
221	Anchura	mediana	5
222	Uniformidade do tamaño	uniforme	2
223	Forma	elíptica curta	3
225	Cor da epiderme	verde amarela	1

Caracterización ampelométrica

Carácter ampelométrico	Valor máximo e mínimo (cm)	Valor medio (cm)
Lonxitude do nervio central (N1)	10,32-7,55	8,98
Lonxitude do nervio principal lateral superior (N2)	19,07-6,87	8,25
Lonxitude do nervio principal lateral inferior (N3)	6,24-4,19	5,43
Lonxitude do nervio secundario inferior (N4)	3,91-2,24	3,31
Lonxitude do nervio terciario inferior (N5)	1,98-1,15	1,59
Distancia do punto peciolar á intersección de N3-N4 (N6)	0,87-0,50	0,67
Distancia do punto peciolar ao seo superior (U)	6,81-5,79	6,28
Distancia do punto peciolar ao seo inferior (O)	5,84-3,83	4,92
Número de dentes entre o extremo N2 e o seu primeiro nervio secundario (ND)	9,00-6,00	8,00

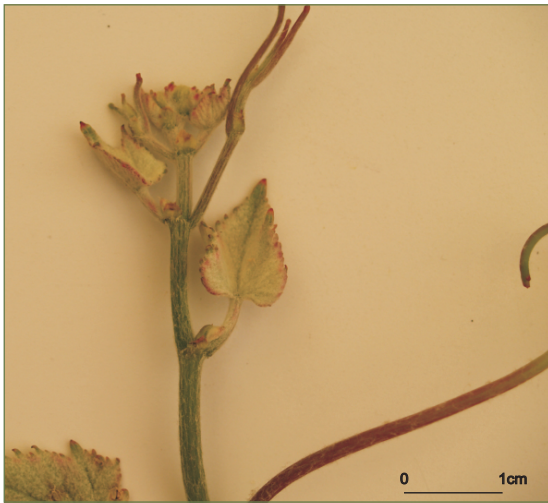
Carácter ampelométrico	Valor máximo e mínimo (cm)	Valor medio (cm)
Distancia entre o extremo de N2 e o seu primeiro nervio secundario (PL)	4,50-3,90	4,31
Lonxitude do dente de N1 medido ao punto medio da base (L1)	0,50-0,27	0,40
Lonxitude do dente de N2 medido ao punto medio da base (L2)	0,58-0,43	0,50
Lonxitude do dente de N3 medido ao punto medio da base (L3)	0,48-0,31	0,40
Lonxitude do dente de N4 medido ao punto medio da base (L4)	0,56-0,27	0,42
Anchura do dente de N1 (A1)	0,87-0,62	0,69
Anchura do dente de N2 (A2)	0,88-0,68	0,81
Anchura do dente de N3 (A3)	1,00-0,64	0,77
Anchura do dente de N4 (A4)	0,96-0,54	0,66
Abertura do seo peciolar (SP)	4,17-2,11	2,93
Ancho da folla (AN)	13,89-10,41	11,73
Alto da folla (ALT)	13,37-9,94	11,68
Proxección da distancia entre os extremos N1 e N3 sobre o eixe da folla (L)	11,74-8,67	10,32
Distancia entre os extremos N2 do lado grande e do lado pequeno (IS)	12,63-9,45	10,54
Distancia entre os extremos N3 do lado grande e do lado pequeno (II)	13,41-9,30	10,96
Distancia entre os extremos de N1 e N2 (ENS)	7,34-4,97	6,14
Distancia entre os extremos de N2 e N3 (ENM)	6,36-5,23	5,95
Distancia entre os extremos de N3 e N4 (ENI)	4,08-2,52	3,57
Distancia do punto peciolar ao extremo de N4 (NL)	4,57-2,99	4,00
Distancia entre as bases dos seos superiores (DS1)	7,43-5,61	6,40
Distancia entre a base dos seos inferiores (DS2)	12,25-8,45	9,89
Distancia entre as bases do seo superior e inferior (DS)	5,39-4,67	5,06
Abertura do seo superior (SS)	0,88-0,50	0,69
Abertura do seo inferior (SI)	1,00-0,40	0,70

Carácter ampelométrico	Valor máximo e mínimo (graos)	Valor medio (graos)
Ángulo entre N1 e N2 (A)	58,51-50,13	54,13
Ángulo entre N2 e N3 (B)	55,38-39,13	47,94
Ángulo entre N3 e N4 (C)	46,29-39,94	43,84
Ángulo entre N4 e N5 (D)	38,70-29,72	34,73
Ángulo entre N3 e o bordo do seo peciolar (E)	46,31-33,91	41,74
Ángulo entre os extremos de N1 e o seu primeiro nervio secundario (F)	115,49-88,81	99,52
Ángulo entre os extremos N1 e N2 (AP)	131,28-112,70	124,27

Caracterización molecular

Microsatélites	VVS2	VVMD5	VVMD7	ssrVrZAG47	ssrVrZAG62	ssrVrZAG79	VVS29	VVS5
Pb	140	218	237	157	195	245	169	121
	150	222	261	165	203	249	179	121

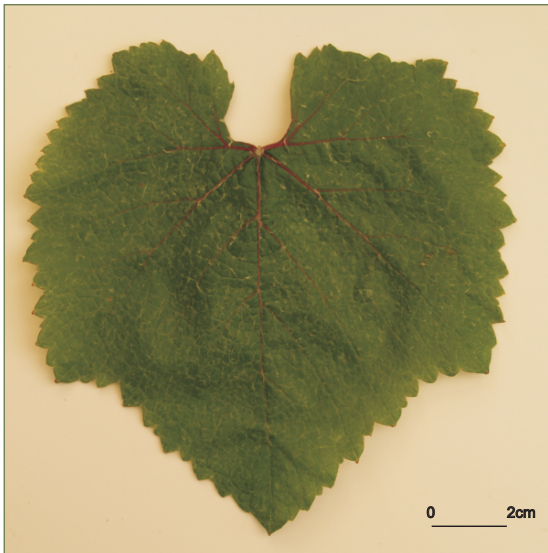
SUMIDADE



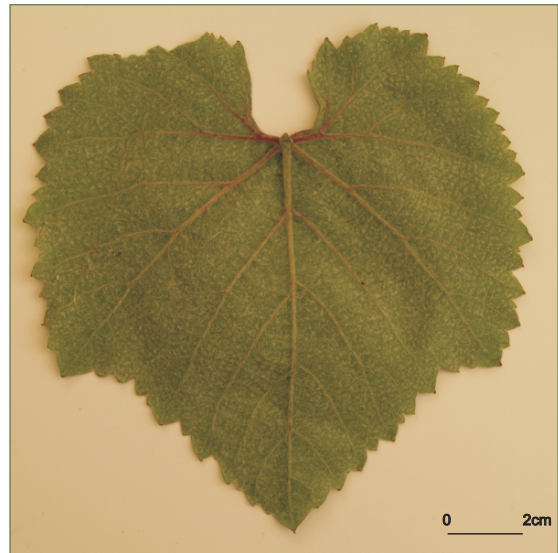
FOLLA NOVA: FACE, ENVÉS



FOLLA ADULTA: FACE



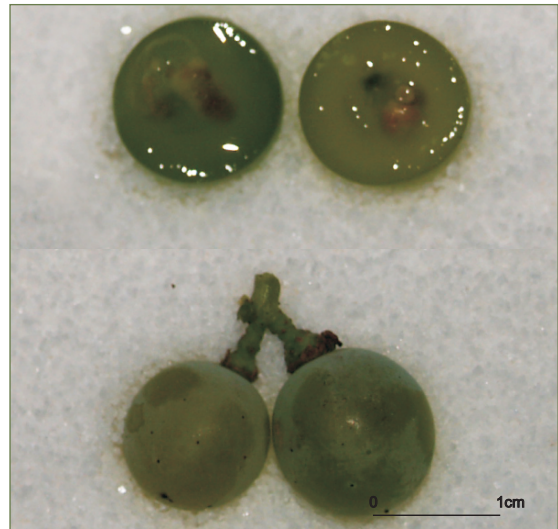
FOLLA ADULTA: ENVÉS



ACIO



BAGO



Referencias na colección da EVEGA: F12P33P44, F13P47P58, F16P41P51, F17P12P19, F18P29P37, F53P47P55, F64P38P47.

Sinonimias

Caíño Astureses.

Antecedentes

Santos Solla (1992) mencionouno como cultivar principal nos anos 80, dentro do grupo dos caíños, na comarca do Ribeiro. Estudos recentes mostran que este cultivar é a orixe da diversificación doutros cultivares que tamén responden á denominación Caíño (Caíño Tinto, Caíño Longo e Caíño Branco), e doutros considerados autóctonos da rexión, como Sousón e Brancellao, entre as variedades tintas, e Loureira e Albariño entre as brancas (Díaz-Losada *et al.*, 2010).

Situación actual

Aínda que actualmente non consta no Rexistro de variedades comerciais, si se cita como variedade autorizada para a elaboración de viños na rexión. É recoñecida como variedade principal na DO Ribeiro. Encóntrase cultivada formando parte das parcelas plurivarietais na DO Ribeiro. Localizáronse exemplares centenarios nas comarcas do Ribeiro e Condado na provincia de Ourense.

Valoracións sobre o seu cultivo

Variedade de brotación e maduración tardía, presenta sensibilidade media ao oídio e ao mildeu e baixa á botrite. Produce viños de grao alcohólico medio (8,8-11,2%) e elevada acidez (14,97-9,14 g/L), con aromas froiteiros intensos, ademais das notas florais e a mel.

Descrición morfolóxica

Pámpano novo

O pámpano novo presenta a extremidade aberta con peluxe tombada de densidade media e pigmentación reberetada de intensidade débil. A cara dorsal dos entrenós e ventral dos nós é verde e vermella. As xemas presentan pigmentación antociánica na base da bráctea e de intensidade nula ou moi débil.

Folla nova

A folla nova é bronceada con peluxe tombada de densidade alta.

Folla adulta

A folla adulta de cor verde media presenta tamaño medio e forma pentagonal, con tres ou cinco lóbulos; peluda, con densidade media de pelos tombados entre os nervios principais e con densidade baixa de pelos ergueitos entre e sobre os nervios principais do envés do limbo; perfil plano; limbo con avultamento e inchazón débil; presenza de pigmentación antociánica sobre os nervios principais do envés do limbo que alcanza a primeira bifurcación; dentes con mestura de lados rectilíneos e convexos, de lonxitude curta en relación á súa anchura; seo peciolar con lóbulos pouco abertos ou lixeiramente superpostos e coa base en forma de chave; seos laterais superiores abertos coa base en forma de U; pecíolo da mesma lonxitude que o nervio principal.

Acio

O acio é cónico, curto, estreito, de compacidade media e con presenza de 1 ou 2 ás. O pedúnculo é de lonxitude curta.

Bago

O bago de cor azul negra presenta forma esférica.

Caracterización ampelográfica

Código OIV	Carácter OIV	Notación	Nivel de expresión
Pámpano novo			
001	Forma da extremidade	aberta	5
002	Distribución da pigmentación antociánica da extremidade	reberetada	2
003	Intensidade da pigmentación antociánica da extremidade	débil	3
004	Densidade dos pelos tombados da extremidade	media	5
005	Densidade dos pelos ergueitos da extremidade	nula ou moi baixa	1
006	Porte	semi-ergueito	3
007	Cor da cara dorsal dos entrenós	verde e vermella	2
008	Cor da cara ventral dos entrenós	verde	1
009	Cor da cara dorsal dos nós	verde e vermella	2
010	Cor da cara ventral dos nós	verde	1
011	Densidade dos pelos ergueitos dos nós	nula ou moi baixa	1
012	Densidade dos pelos ergueitos dos entrenós	nula ou moi baixa	1
015.1	Pigmentación antociánica das xemas	na base	2
015.2	Intensidade da pigmentación antociánica das xemas	nula ou moi débil	1
0.16	Número de gabiáns consecutivos	dous	1
Folla nova			
051	Cor da face	bronceada	3
053	Densidade dos pelos tombados entre os nervios	alta	7
056	Densidade dos pelos ergueitos dos nervios principais	nula ou moi baixa	1
Folla adulta			
065	Tamaño	medio	5
067	Forma do limbo	pentagonal	3
068	Número de lóbulos	cinco	3
069	Cor da face	verde media	5
070	Pigmentación antociánica dos nervios principais da face do limbo	nula	1
071	Pigmentación antociánica dos nervios principais do envés do limbo	ata a primeira bifurcación	3
072	Avultamento do limbo	débil	3
073	Ondulación do limbo entre os nervios principais ou secundarios	presente	9
074	Perfil	plano	1
075	Inchazón da face	débil	3
076	Forma dos dentes	mestura de rectilíneos e convexos	5
078	Lonxitude dos dentes en relación á súa anchura na base	pequenos	3
079	Solapamento do seo peciolar	lixeramente superpostos	4
080	Forma da base do seo peciolar	en chave	2
081.1	Dentes no seo peciolar	ausentes	1
081.2	Base do seo peciolar limitada pola nervadura	non delimitada	1
082	Solapamento dos seos laterais superiores	aberto	1

Código OIV	Carácter OIV	Notación	Nivel de expresión
083.1	Forma da base dos seos laterais superiores	en U	1
083.2	Dentes nos seos laterais superiores	ausente	1
084	Densidade dos pelos tombados entre os nervios do envés	media	5
085	Densidade dos pelos ergueitos entre os nervios do envés	baixa	3
086	Densidade dos pelos tombados sobre os nervios do envés	baixa	3
087	Densidade dos pelos ergueitos sobre os nervios do envés	baixa	3
088	Peluxe dos nervios principais da face	ausentes	1
089	Peluxe ergueita dos nervios principais da face	ausentes	1
090	Densidade dos pelos tombados do pecíolo	nula ou moi baixa	1
091	Densidade dos pelos ergueitos do pecíolo	nula ou moi baixa	1
093	Lonxitude do pecíolo en relación ao nervio central	igual	5
Inflorescencia			
151	Sexo da flor	hermafrodita	3
Acio			
202	Lonxitude	curta	3
204	Compacidade	media	5
206	Lonxitude do pedúnculo	curta	3
208	Forma	cónica	2
209	Número de ás do acio primario	1 ou 2	2
Bago			
220	Lonxitude	mediana	5
221	Anchura	mediana	5
222	Uniformidade do tamaño	uniforme	2
223	Forma	esférica	2
225	Cor da epiderme	azul negra	5

Caracterización ampelométrica

Carácter ampelométrico	Valor máximo e mínimo (cm)	Valor medio (cm)
Lonxitude do nervio central (N1)	13,61-10,51	11,57
Lonxitude do nervio principal lateral superior (N2)	12,00-9,26	10,44
Lonxitude do nervio principal lateral inferior (N3)	8,87-7,03	7,76
Lonxitude do nervio secundario inferior (N4)	6,28-4,33	5,14
Lonxitude do nervio terciario inferior (N5)	3,09-2,08	2,46
Distancia do punto peciolar á intersección de N3-N4 (N6)	1,20-0,52	0,91
Distancia do punto peciolar ao seo superior (U)	8,85-4,52	6,91
Distancia do punto peciolar ao seo inferior (O)	7,17-4,42	6,10
Número de dentes entre o extremo N2 e o seu primeiro nervio secundario (ND)	12,00-6,00	7,80

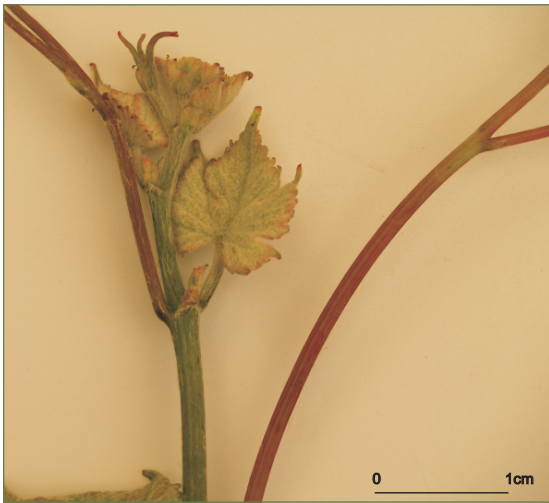
Carácter apelmométrico	Valor máximo e mínimo (cm)	Valor medio (cm)
Distancia entre o extremo de N2 e o seu primeiro nervio secundario (PL)	7,69-0,02	5,98
Lonxitude do dente de N1 medido ao punto medio da base (L1)	1,20-0,00	0,84
Lonxitude do dente de N2 medido ao punto medio da base (L2)	1,058-0,62	0,87
Lonxitude do dente de N3 medido ao punto medio da base (L3)	1,07-0,43	0,73
Lonxitude do dente de N4 medido ao punto medio da base (L4)	0,98-0,44	0,64
Anchura do dente de N1 (A1)	1,57-0,88	1,21
Anchura do dente de N2 (A2)	1,36-0,99	1,20
Anchura do dente de N3 (A3)	1,68-0,65	1,24
Anchura do dente de N4 (A4)	1,74-0,69	1,19
Abertura do seo peciolar (SP)	2,79-0,00	1,40
Ancho da folla (AN)	20,63-15,17	16,94
Alto da folla (ALT)	19,66-15,38	17,23
Proxección da distancia entre os extremos N1 e N3 sobre o eixe da folla (L)	18,95-14,95	16,53
Distancia entre os extremos N2 do lado grande e do lado pequeno (IS)	19,52-12,53	15,88
Distancia entre os extremos N3 do lado grande e do lado pequeno (II)	16,23-10,32	13,72
Distancia entre os extremos de N1 e N2 (ENS)	12,03-7,77	10,06
Distancia entre os extremos de N2 e N3 (ENM)	10,50-5,21	9,00
Distancia entre os extremos de N3 e N4 (ENI)	7,94-5,00	6,21
Distancia do punto peciolar ao extremo de N4 (NL)	7,06-5,04	5,93
Distancia entre as bases dos seos superiores (DS1)	10,80-6,03	8,97
Distancia entre a base dos seos inferiores (DS2)	14,10-9,14	11,67
Distancia entre as bases do seo superior e inferior (DS)	8,45-6,06	7,22
Abertura do seo superior (SS)	1,01-0,00	0,65
Abertura do seo inferior (SI)	1,40-0,00	0,61

Carácter apelmométrico	Valor máximo e mínimo (graos)	Valor medio (graos)
Ángulo entre N1 e N2 (A)	80,56-65,96	71,03
Ángulo entre N2 e N3 (B)	64,69-48,89	56,36
Ángulo entre N3 e N4 (C)	59,82-44,59	51,97
Ángulo entre N4 e N5 (D)	54,60-37,23	44,05
Ángulo entre N3 e o bordo do seo peciolar (E)	79,79-46,00	64,24
Ángulo entre os extremos de N1 e o seu primeiro nervio secundario (F)	114,48-91,18	101,69
Ángulo entre os extremos N1 e N2 (AP)	118,86-103,66	111,12

Caracterización molecular

Microsatélites	VVS2	VVMD5	VVMD7	ssrVrZAG47	ssrVrZAG62	ssrVrZAG79	VVS29	VVS5
Pb	132	222	237	157	193	243	169	121
	140	228	261	165	195	245	179	121

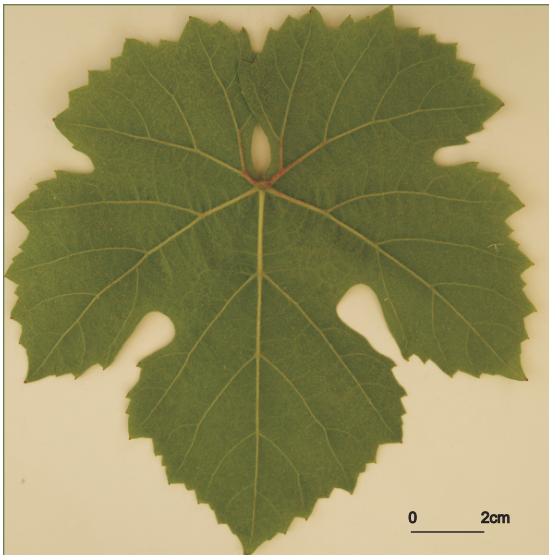
SUMIDADE



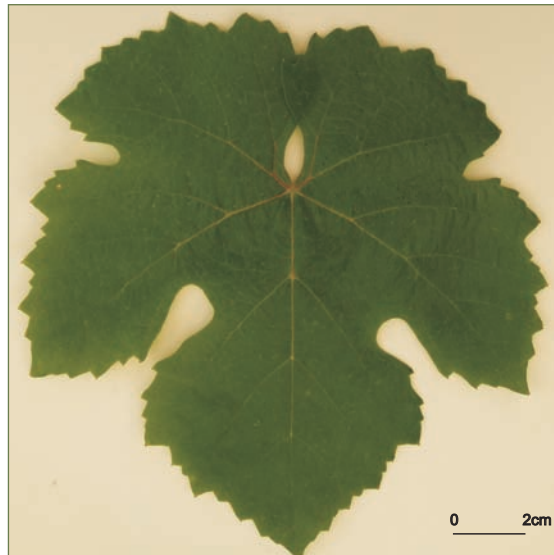
FOLLA NOVA: FACE, ENVÉS



FOLLA ADULTA: FACE



FOLLA ADULTA: ENVÉS

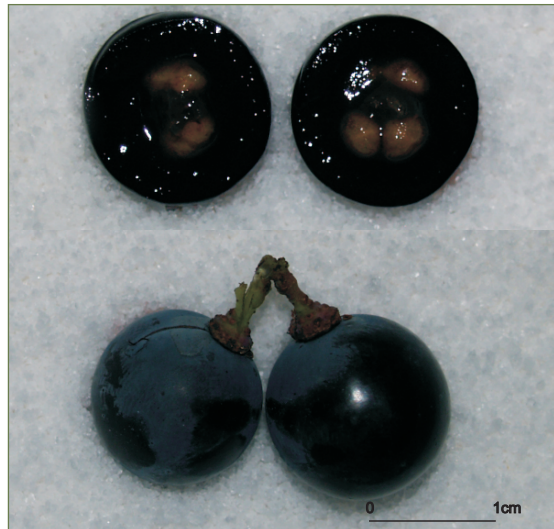


102

ACIO



BAGO



caíño Longo 1

Referencias na colección da EVEGA:
F14P14P19, F50P36P45, F64P14P37.

Sinonimias

Non se coñecen.

Antecedentes

Coñecido dende a antigüidade na DO Ribeiro. Freijanes e Alonso (1997) cítana como cultivada na zona de transición da rexión galega. Estudos de filoxenia indican que se enmarca na linaxe con orixe en Caíño Bravo.

Situación actual

Varietade minoritaria que actualmente forma parte de parcelas plurivarietais na comarca do Ribeiro e zona limítrofe do Condado.

Valoracións sobre o seu cultivo

Varietade de brotación tardía e maduración tardía, vigor alto e rendemento medio-alto. Presenta sensibilidade de intensidade media ao oídio e ao mildeu, e é pouco sensible á botrite. Produce viño de graduación media-alta (11,5-13,6%) e acidez media (10,9-6,38 g/L).

Descrición morfolóxica

Pámpano novo

O pámpano novo presenta a extremidade aberta con peluxe tombada de densidade media e pigmentación reberetada de intensidade débil. A cara dorsal e ventral dos entrenós e nós é verde. As xemas presentan pigmentación antociánica de intensidade débil que alcanza ata $\frac{3}{4}$ da base da bráctea.

Folla nova

A folla nova é bronceada con peluxe tombada de densidade media.

Folla adulta

A folla adulta de cor verde media presenta tamaño medio e forma pentagonal, con cinco lóbulos; peluda; con densidade media de pelos tombados entre os nervios principais do envés do limbo, e baixa de pelos ergueitos entre e sobre estes; perfil alabeado; limbo con inchazón débil; dentes de lados convexos, de lonxitude curta en relación á súa anchura; seo peciolar con lóbulos pouco abertos e coa base en forma de U; seos laterais superiores abertos coa base en forma de V; pecíolo lixeiramente máis curto que o nervio principal.

Acio

O acio é cónico, longo, ancho, de compacidade media e con presenza de 3 ou 4 ás. O pedúnculo é de lonxitude curta.

Bago

O bago de cor azul negra presenta forma elíptica curta.

Caracterización ampelográfica

Código OIV	Carácter OIV	Notación	Nivel de expresión
Pámpano novo			
001	Forma da extremidade	aberta	5
002	Distribución da pigmentación antociánica da extremidade	reberetada	2
003	Intensidade da pigmentación antociánica da extremidade	débil	3
004	Densidade dos pelos tombados da extremidade	media	5
005	Densidade dos pelos ergueitos da extremidade	nula ou moi baixa	1
006	Porte	semi-ergueito	3
007	Cor da cara dorsal dos entrenós	verde	1
008	Cor da cara ventral dos entrenós	verde	1
009	Cor da cara dorsal dos nós	verde	1
010	Cor da cara ventral dos nós	verde e vermella	2
011	Densidade dos pelos ergueitos dos nós	nula ou moi baixa	1
012	Densidade dos pelos ergueitos dos entrenós	nula ou moi baixa	1
015.1	Pigmentación antociánica das xemas	ata $\frac{3}{4}$ da bráctea	3
015.2	Intensidade da pigmentación antociánica das xemas	débil	3
0.16	Número de gabiáns consecutivos	dous	1
Folla nova			
051	Cor da face	bronceada	3
053	Densidade dos pelos tombados entre os nervios	media	5
056	Densidade dos pelos ergueitos dos nervios principais	nula ou moi baixa	1
Folla adulta			
065	Tamaño	medio	5
067	Forma do limbo	pentagonal	3
068	Número de lóbulos	cinco	3
069	Cor da face	verde media	5
070	Pigmentación antociánica dos nervios principais da face do limbo	nula	1
071	Pigmentación antociánica dos nervios principais do envés do limbo	nula	1
072	Avultamento do limbo	ausente	1
073	Ondulación do limbo entre os nervios principais ou secundarios	ausente	1
074	Perfil	alabeado	5
075	Inchazón da face	débil	3
076	Forma dos dentes	convexos	3
078	Lonxitude dos dentes en relación á súa anchura na base	pequenos	3
079	Solapamento do seo peciolar	pouco aberto	3
080	Forma da base do seo peciolar	en U	1
081.1	Dentes no seo peciolar	ausentes	1
081.2	Base do seo peciolar limitada pola nervadura	non delimitada	1
082	Solapamento dos seos laterais superiores	aberto	1
083.1	Forma da base dos seos laterais superiores	en V	3

Código OIV	Carácter OIV	Notación	Nivel de expresión
083.2	Dentes nos seos laterais superiores	ausente	1
084	Densidade dos pelos tombados entre os nervios do envés	media	5
085	Densidade dos pelos ergueitos entre os nervios do envés	baixa	3
086	Densidade dos pelos tombados sobre os nervios do envés	baixa	3
087	Densidade dos pelos ergueitos sobre os nervios do envés	baixa	3
088	Peluxe dos nervios principais da face	ausentes	1
089	Peluxe ergueita dos nervios principais da face	ausentes	1
090	Densidade dos pelos tombados do pecíolo	nula ou moi baixa	1
091	Densidade dos pelos ergueitos do pecíolo	nula ou moi baixa	1
093	Lonxitude do pecíolo en relación ao nervio central	lixeiramente máis curto	3
Inflorescencia			
151	Sexo da flor	hermafrodita	3
Acio			
202	Lonxitude	longa	7
204	Compacidade	media	5
206	Lonxitude do pedúnculo	curta	3
208	Forma	cónica	2
209	Número de ás do acio primario	3-4	3
Bago			
220	Lonxitude	mediana	5
221	Anchura	mediana	5
222	Uniformidade do tamaño	uniforme	2
223	Forma	elíptica curta	3
225	Cor da epiderme	azul negra	6

Caracterización ampelométrica

Carácter ampelométrico	Valor máximo e mínimo (cm)	Valor medio (cm)
Lonxitude do nervio central (N1)	14,33-10,00	11,72
Lonxitude do nervio principal lateral superior (N2)	12,36-8,55	10,57
Lonxitude do nervio principal lateral inferior (N3)	9,58-6,95	8,31
Lonxitude do nervio secundario inferior (N4)	6,20-4,77	5,57
Lonxitude do nervio terciario inferior (N5)	3,81-2,54	2,97
Distancia do punto peciolar á intersección de N3-N4 (N6)	1,55-0,59	0,94
Distancia do punto peciolar ao seo superior (U)	10,31-3,82	7,88
Distancia do punto peciolar ao seo inferior (O)	8,29-5,21	6,67
Número de dentes entre o extremo N2 e o seu primeiro nervio secundario (ND)	6,00-4,00	5,30

Carácter ampelométrico	Valor máximo e mínimo (cm)	Valor medio (cm)
Distancia entre o extremo de N2 e o seu primeiro nervio secundario (PL)	6,35-4,40	5,59
Lonxitude do dente de N1 medido ao punto medio da base (L1)	1,03-0,36	0,83
Lonxitude do dente de N2 medido ao punto medio da base (L2)	1,03-0,63	0,85
Lonxitude do dente de N3 medido ao punto medio da base (L3)	1,00-0,59	0,80
Lonxitude do dente de N4 medido ao punto medio da base (L4)	1,07-0,60	0,75
Anchura do dente de N1 (A1)	1,68-1,10	1,28
Anchura do dente de N2 (A2)	1,65-0,95	1,29
Anchura do dente de N3 (A3)	1,84-0,75	1,24
Anchura do dente de N4 (A4)	1,39-0,81	1,19
Abertura do seo peciolar (SP)	3,03-0,88	1,80
Ancho da folla (AN)	20,65-14,13	16,77
Alto da folla (ALT)	19,96-14,55	16,69
Proxección da distancia entre os extremos N1 e N3 sobre o eixe da folla (L)	17,70-12,57	14,40
Distancia entre os extremos N2 do lado grande e do lado pequeno (IS)	19,04-11,38	14,03
Distancia entre os extremos N3 do lado grande e do lado pequeno (II)	17,85-10,17	15,02
Distancia entre os extremos de N1 e N2 (ENS)	9,59-6,08	8,15
Distancia entre os extremos de N2 e N3 (ENM)	10,67-5,53	7,92
Distancia entre os extremos de N3 e N4 (ENI)	8,25-4,59	6,22
Distancia do punto peciolar ao extremo de N4 (NL)	7,11-5,58	6,28
Distancia entre as bases dos seos superiores (DS1)	10,85-4,94	8,14
Distancia entre a base dos seos inferiores (DS2)	16,33-9,25	12,85
Distancia entre as bases do seo superior e inferior (DS)	8,84-4,33	6,77
Abertura do seo superior (SS)	1,45-0,00	0,59
Abertura do seo inferior (SI)	1,05-0,00	0,54

Carácter ampelométrico	Valor máximo e mínimo (graos)	Valor medio (graos)
Ángulo entre N1 e N2 (A)	58,59-47-25	51,80
Ángulo entre N2 e N3 (B)	58,42-37,75	46,94
Ángulo entre N3 e N4 (C)	56,76-35,70	47,78
Ángulo entre N4 e N5 (D)	51,48-37,59	43,98
Ángulo entre N3 e o bordo do seo peciolar (E)	90,00-48,36	69,85
Ángulo entre os extremos de N1 e o seu primeiro nervio secundario (F)	125,65-86,52	107,98
Ángulo entre os extremos N1 e N2 (AP)	132,82-107,51	120,81

Caracterización molecular

Microsatélites	VVS2	VVMD5	VVMD7	ssrVrZAG47	ssrVrZAG62	ssrVrZAG79	VVS29	VVS5
Pb	140	222	241	157	187	243	169	85
	140	232	261	165	195	245	169	121

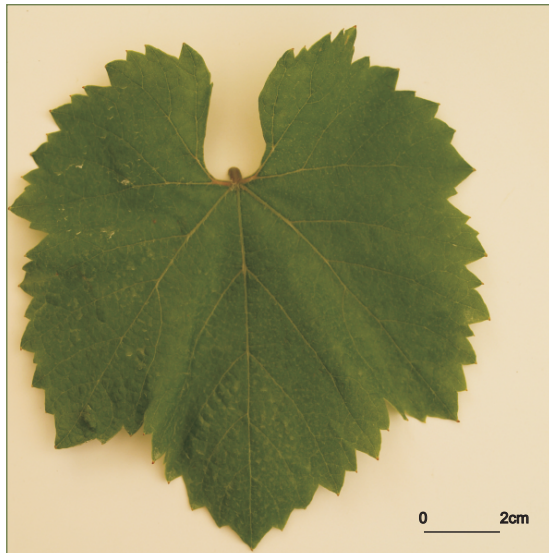
SUMIDADE



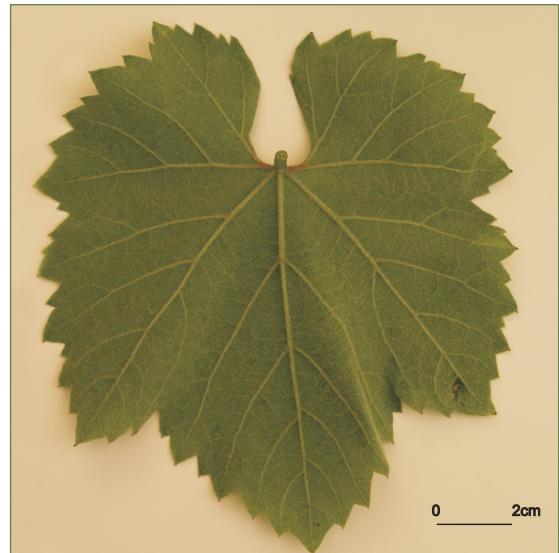
FOLLA NOVA: FACE, ENVÉS



FOLLA ADULTA: FACE



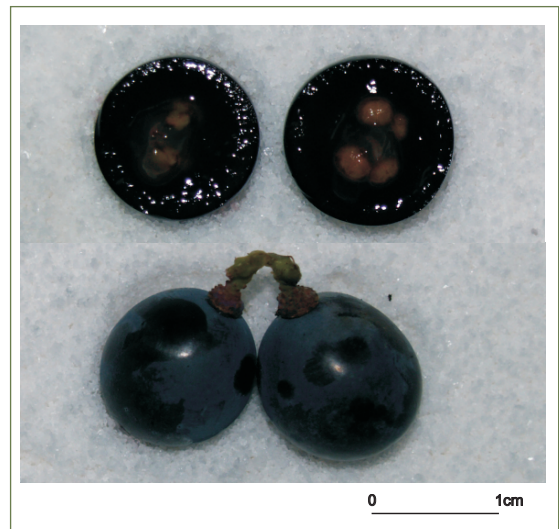
FOLLA ADULTA: ENVÉS



ACIO



BAGO



caíño longo 2

Referencias na colección da EVEGA:
F17P02P11.

Variedade minoritaria, presente en parcelas plurivarietais da DO Ribeiro.

Descrición morfolóxica

Pámpano novo

O pámpano novo presenta a extremidade aberta con peluxe tombada de densidade media e sen pigmentación ou con presenza de pigmentación reberetada de intensidade débil. A cara dorsal e ventral dos nós é verde, así como a cara ventral do entrenó, mentres que a dorsal deste é verde e vermella. As xemas non presentan pigmentación antociánica.

Folla nova

A folla nova é bronceada con peluxe tombada de densidade alta.

Folla adulta

A folla adulta de cor verde media presenta tamaño grande e forma pentagonal, con cinco lóbulos; peluda, con densidade media de pelos tombados e ergueitos entre os nervios principais do envés do limbo; perfil plano; limbo con avultamento medio e inchazón débil; dentes con mestura de lados rectilíneos e de lados convexos, de lonxitude media en relación á súa anchura; seo peciolar con lóbulos pouco abertos e coa base en forma de chave; seos laterais superiores abertos coa base en forma de V; pecíolo lixeiramente máis curto que o nervio principal.

Acio

O acio é cónico, moi longo, ancho, de compacidade media e con presenza de 1 ou 2 ás. O pedúnculo é de lonxitude longa.

Bago

O bago de cor azul negra presenta forma elíptica curta.

Caracterización ampelográfica

Código OIV	Carácter OIV	Notación	Nivel de expresión
Pámpano novo			
001	Forma da extremidade	aberta	5
002	Distribución da pigmentación antociánica da extremidade	reberetada	2
003	Intensidade da pigmentación antociánica da extremidade	débil	3
004	Densidade dos pelos tombados da extremidade	media	5
005	Densidade dos pelos ergueitos da extremidade	nula ou moi baixa	1
006	Porte	semi-ergueito	3
007	Cor da cara dorsal dos entrenós	verde e vermella	2
008	Cor da cara ventral dos entrenós	verde	1
009	Cor da cara dorsal dos nós	verde	1
010	Cor da cara ventral dos nós	verde	1
011	Densidade dos pelos ergueitos dos nós	nula ou moi baixa	1
012	Densidade dos pelos ergueitos dos entrenós	nula ou moi baixa	1
015.1	Pigmentación antociánica das xemas	ausente	1
015.2	Intensidade da pigmentación antociánica das xemas	nula ou moi débil	1
0.16	Número de gabiáns consecutivos	dous	1
Folla nova			
051	Cor da face	bronceada	3
053	Densidade dos pelos tombados entre os nervios	alta	7
056	Densidade dos pelos ergueitos dos nervios principais	nula ou moi baixa	1
Folla adulta			
065	Tamaño	grande	7
067	Forma do limbo	pentagonal	3
068	Número de lóbulos	cinco	3
069	Cor da face	verde media	5
070	Pigmentación antociánica dos nervios principais da face do limbo	ata a primeira bifurcación	3
071	Pigmentación antociánica dos nervios principais do envés do limbo	ata a primeira bifurcación	3
072	Avultamento do limbo	medio	5
073	Ondulación do limbo entre os nervios principais ou secundarios	presente	9
074	Perfil	plano	1
075	Inchazón da face	débil	3
076	Forma dos dentes	mestura de lados rectilíneos e convexas	5
078	Lonxitude dos dentes en relación á súa anchura na base	media	5
079	Solapamento do seo peciolar	pouco aberto	3
080	Forma da base do seo peciolar	en chave	2
081.1	Dentes no seo peciolar	ausentes	1
081.2	Base do seo peciolar limitada pola nervadura	non delimitada	1

Código OIV	Carácter OIV	Notación	Nivel de expresión
082	Solapamento dos seos laterais superiores	aberto	1
083.1	Forma da base dos seos laterais superiores	en V	3
083.2	Dentes nos seos laterais superiores	ausente	1
084	Densidade dos pelos tombados entre os nervios do envés	media	5
085	Densidade dos pelos ergueitos entre os nervios do envés	media	5
086	Densidade dos pelos tombados sobre os nervios do envés	baixa	3
087	Densidade dos pelos ergueitos sobre os nervios do envés	media	5
088	Peluxe dos nervios principais da face	ausentes	1
089	Peluxe ergueita dos nervios principais da face	ausentes	1
090	Densidade dos pelos tombados do pecíolo	nula ou moi baixa	1
091	Densidade dos pelos ergueitos do pecíolo	nula ou moi baixa	1
093	Lonxitude do pecíolo en relación ao nervio central	lixeramente máis curto	3
Inflorescencia			
151	Sexo da flor	hermafrodita	3
Acio			
202	Lonxitude	moi longa	9
204	Compacidade	media	5
206	Lonxitude do pedúnculo	longa	7
208	Forma	cónica	2
209	Número de ás do acio primario	1 ou 2	2
Bago			
220	Lonxitude	longa	7
221	Anchura	moi ancha	9
222	Uniformidade do tamaño	uniforme	2
223	Forma	elíptica curta	3
225	Cor da epiderme	azul-negra	6

Caracterización ampelométrica

Carácter ampelométrico	Valor máximo e mínimo (cm)	Valor medio (cm)
Lonxitude do nervio central (N1)	17,27-14,88	15,96
Lonxitude do nervio principal lateral superior (N2)	15,05-13,11	14,15
Lonxitude do nervio principal lateral inferior (N3)	10,60-8,87	9,95
Lonxitude do nervio secundario inferior (N4)	6,57-5,28	6,08
Lonxitude do nervio terciario inferior (N5)	3,46-2,59	3,03
Distancia do punto peciolar á intersección de N3-N4 (N6)	1,39-0,48	1,05
Distancia do punto peciolar ao seo superior (U)	11,64-7,25	9,86
Distancia do punto peciolar ao seo inferior (O)	9,56-6,87	8,15
Número de dentes entre o extremo N2 e o seu primeiro nervio secundario (ND)	8,00-5,00	6,60

Carácter apelmométrico	Valor máximo e mínimo (cm)	Valor medio (cm)
Distancia entre o extremo de N2 e o seu primeiro nervio secundario (PL)	8,24-5,46	6,95
Lonxitude do dente de N1 medido ao punto medio da base (L1)	1,89-0,85	1,43
Lonxitude do dente de N2 medido ao punto medio da base (L2)	1,83-1,03	1,50
Lonxitude do dente de N3 medido ao punto medio da base (L3)	1,80-0,67	1,12
Lonxitude do dente de N4 medido ao punto medio da base (L4)	1,04-0,99	1,00
Anchura do dente de N1 (A1)	1,96-1,33	1,66
Anchura do dente de N2 (A2)	2,01-1,04	1,66
Anchura do dente de N3 (A3)	1,99-1,27	1,60
Anchura do dente de N4 (A4)	1,91-1,39	1,61
Abertura do seo peciolar (SP)	3,39-1,30	2,52
Ancho da folla (AN)	23,46-18,19	21,39
Alto da folla (ALT)	22,65-19,48	21,72
Proxección da distancia entre os extremos N1 e N3 sobre o eixe da folla (L)	19,65-17,34	18,74
Distancia entre os extremos N2 do lado grande e do lado pequeno (IS)	21,70-16,93	19,26
Distancia entre os extremos N3 do lado grande e do lado pequeno (II)	21,09-16,87	19,88
Distancia entre os extremos de N1 e N2 (ENS)	11,43-9,58	10,64
Distancia entre os extremos de N2 e N3 (ENM)	12,14-9,72	10,82
Distancia entre os extremos de N3 e N4 (ENI)	8,54-6,66	7,76
Distancia do punto peciolar ao extremo de N4 (NL)	7,75-6,09	7,02
Distancia entre as bases dos seos superiores (DS1)	11,96-7,55	10,22
Distancia entre a base dos seos inferiores (DS2)	18,41-12,64	15,77
Distancia entre as bases do seo superior e inferior (DS)	9,96-6,39	8,37
Abertura do seo superior (SS)	1,20-0,28	0,83
Abertura do seo inferior (SI)	1,64-0,74	1,24

Carácter apelmométrico	Valor máximo e mínimo (graos)	Valor medio (graos)
Ángulo entre N1 e N2 (A)	59,83-51,03	54,71
Ángulo entre N2 e N3 (B)	64,36-40,55	55,68
Ángulo entre N3 e N4 (C)	57,73-42,57	51,04
Ángulo entre N4 e N5 (D)	47,00-36,91	42,87
Ángulo entre N3 e o bordo do seo peciolar (E)	59,97-45,67	53,40
Ángulo entre os extremos de N1 e o seu primeiro nervio secundario (F)	115,38-87,87	95,61
Ángulo entre os extremos N1 e N2 (AP)	133,31-107,40	119,37

Caracterización molecular

Microsatélites	VVS2	VVMD5	VVMD7	ssrVrZAG47	ssrVrZAG62	ssrVrZAG79	VVS29	VVS5
Pb	140	222	237	157	185	245	169	n.d.
	150	222	261	157	195	245	179	n.d.

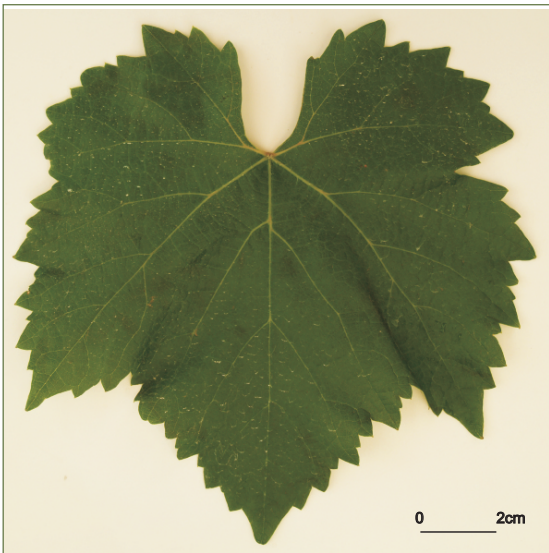
SUMIDADE



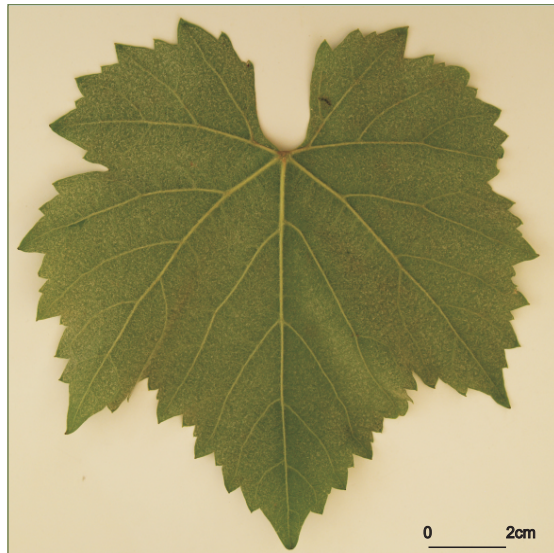
FOLLA NOVA: FACE, ENVÉS



FOLLA ADULTA: FACE



FOLLA ADULTA: ENVÉS

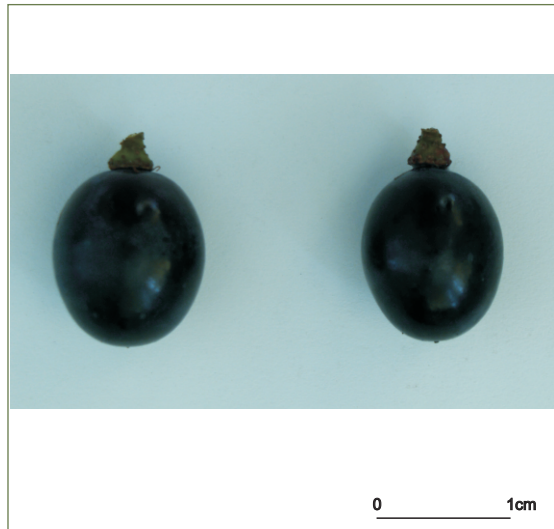


112

ACIO



BAGO



caíño TINTO

Referencias na colección da EVEGA:

F16P30P40, F16P66P68, F17P26P30, F17P39P56, F37P72P78, F38P02P62, F38P74P84, F49P45P52, F64P02P13.

Sinonimias

Caíño Redondo (na DO Ribeiro), Cachiño (en Boiro), Tinta Femia (no occidente da provincia de Pontevedra) e Borraçal (Baixa Limia).

Antecedentes

García de los Salmones (1914) cítaa baixo a denominación Cachiño en Boiro. O regulamento da DO Rías Baixas recólleo no ano 1987 como Caíño Tinto. Estudos de filoxenia demostran que deriva de Caíño Bravo (Díaz-Losada *et al.*, 2010).

Situación actual

Varietade preferente nas DD.OO. Ribeiro, Ribeira Sacra e Rías Baixas, e na indicación xeográfica Viño da Terra Barbanza e Iria. A súa distribución é ampla, esténdese dende o Ulla e O Barbanza ata A Guarda, ao longo do río Miño, e ademais está presente na zona occidental da provincia de Ourense e chega ata a Baixa Limia.

Valoracións sobre o seu cultivo

Varietade de brotación e maduración tardía, vigor alto e rendemento medio, presenta sensibilidade de intensidade media ao oídio e ao mildeu. Produce viños afroitados de graduación media (10,6-11%) e acidez elevada (10-7,50 g/L).

Descrición morfolóxica

Pámpano novo

O pámpano novo presenta a extremidade aberta con peluxe tombada de densidade media e pigmentación reberetada de intensidade débil. A cara dorsal dos entrenós e nós é verde e vermella, mentres que a ventral é verde. As xemas presentan pigmentación antociánica na base de intensidade débil.

Folla nova

A folla nova é bronceada con peluxe tombada de densidade media.

Folla adulta

A folla adulta de cor verde media presenta tamaño medio e forma pentagonal, con tres lóbulos; peluda, con densidade media de pelos tombados entre os nervios principais e baixa sobre estes, e con nula ou moi baixa densidade de pelos ergueitos entre e sobre os nervios principais; perfil plano; limbo con avultamento e inchazón débil; presenza de pigmentación antociánica sobre os nervios principais do envés do limbo que alcanza a primeira bifurcación; dentes con lados convexos e rectilíneos, de lonxitude curta en relación á súa anchura; seo peciolar con lóbulos superpostos e a base en forma de V; seos laterais superiores abertos coa base en forma de V; pecíolo lixeiramente máis curto que o nervio principal.

Acio

O acio é cilíndrico, curto, estreito e compacidade media e con presenza de 1 ou 2 ás. O pedúnculo é de lonxitude media.

Bago

O bago de cor azul negra presenta forma esférica.

Caracterización ampelográfica

Código OIV	Carácter OIV	Notación	Nivel de expresión
Pámpano novo			
001	Forma da extremidade	aberta	5
002	Distribución da pigmentación antociánica da extremidade	reberetada	2
003	Intensidade da pigmentación antociánica da extremidade	débil	3
004	Densidade dos pelos tombados da extremidade	media	5
005	Densidade dos pelos ergueitos da extremidade	nula ou moi baixa	1
006	Porte	semi-ergueito	3
007	Cor da cara dorsal dos entrenós	verde e vermella	2
008	Cor da cara ventral dos entrenós	verde	1
009	Cor da cara dorsal dos nós	verde e vermella	2
010	Cor da cara ventral dos nós	verde	1
011	Densidade dos pelos ergueitos dos nós	nula ou moi baixa	1
012	Densidade dos pelos ergueitos dos entrenós	nula ou moi baixa	1
015.1	Pigmentación antociánica das xemas	na base	2
015.2	Intensidade da pigmentación antociánica das xemas	débil	3
0.16	Número de gabiáns consecutivos	dous	1
Folla nova			
051	Cor da face	bronceada	3
053	Densidade dos pelos tombados entre os nervios	media	5
056	Densidade dos pelos ergueitos dos nervios principais	nula ou moi baixa	1
Folla adulta			
065	Tamaño	medio	5
067	Forma do limbo	pentagonal	3
068	Número de lóbulos	tres	2
069	Cor da face	verde media	5
070	Pigmentación antociánica dos nervios principais da face do limbo	nula	1
071	Pigmentación antociánica dos nervios principais do envés do limbo	ata a primeira bifurcación	3
072	Avultamento do limbo	débil	3
073	Ondulación do limbo entre os nervios principais ou secundarios	presente	9
074	Perfil	plano	1
075	Inchazón da face	débil	3
076	Forma dos dentes	mestura de lados rectilíneos e convexos	5
078	Lonxitude dos dentes en relación á súa anchura na base	pequenos	3
079	Solapamento do seo peciolar	medio superpostos	5
080	Forma da base do seo peciolar	en V	3
081.1	Dentes no seo peciolar	ausentes	1
081.2	Base do seo peciolar limitada pola nervadura	non delimitada	1
082	Solapamento dos seos laterais superiores	aberto	1

Código OIV	Carácter OIV	Notación	Nivel de expresión
083.1	Forma da base dos seus laterais superiores	en V	3
083.2	Dentes nos seus laterais superiores	ausente	1
084	Densidade dos pelos tombados entre os nervios do envés	media	5
085	Densidade dos pelos ergueitos entre os nervios do envés	nula ou moi baixa	1
086	Densidade dos pelos tombados sobre os nervios do envés	baixa	3
087	Densidade dos pelos ergueitos sobre os nervios do envés	nula ou moi baixa	1
088	Peluxe dos nervios principais da face	ausentes	1
089	Peluxe ergueita dos nervios principais da face	ausentes	1
090	Densidade dos pelos tombados do pecíolo	nula ou moi baixa	1
091	Densidade dos pelos ergueitos do pecíolo	nula ou moi baixa	1
093	Lonxitude do pecíolo en relación ao nervio central	lixeramente máis curto	3
Inflorescencia			
151	Sexo da flor	hermafrodita	3
Acio			
202	Lonxitude	curta	3
204	Compacidade	media	5
206	Lonxitude do pedúnculo	media	5
208	Forma	cilíndrica	1
209	Número de ás do acio primario	1 ou 2	2
Bago			
220	Lonxitude	longa	7
221	Anchura	ancha	7
222	Uniformidade do tamaño	uniforme	2
223	Forma	esférica	2
225	Cor da epiderme	azul negra	6

Caracterización ampelométrica

Carácter ampelométrico	Valor máximo e mínimo (cm)	Valor medio (cm)
Lonxitude do nervio central (N1)	13,26-9,15	10,85
Lonxitude do nervio principal lateral superior (N2)	12,76-8,65	10,08
Lonxitude do nervio principal lateral inferior (N3)	9,15-6,19	7,43
Lonxitude do nervio secundario inferior (N4)	5,69-3,85	4,76
Lonxitude do nervio terciario inferior (N5)	3,25-1,37	2,26
Distancia do punto peciolar á intersección de N3-N4 (N6)	1,34-0,28	0,78
Distancia do punto peciolar ao seo superior (U)	8,41-4,79	6,73
Distancia do punto peciolar ao seo inferior (O)	7,65-5,00	6,02
Número de dentes entre o extremo N2 e o seu primeiro nervio secundario (ND)	8,00-5,33	6,47

Carácter ampelométrico	Valor máximo e mínimo (cm)	Valor medio (cm)
Distancia entre o extremo de N2 e o seu primeiro nervio secundario (PL)	7,74-3,62	5,74
Lonxitude do dente de N1 medido ao punto medio da base (L1)	1,19-0,46	0,78
Lonxitude do dente de N2 medido ao punto medio da base (L2)	1,20-0,63	0,90
Lonxitude do dente de N3 medido ao punto medio da base (L3)	1,15-0,49	0,72
Lonxitude do dente de N4 medido ao punto medio da base (L4)	1,02-0,41	0,60
Anchura do dente de N1 (A1)	1,93-0,96	1,38
Anchura do dente de N2 (A2)	1,67-1,00	1,40
Anchura do dente de N3 (A3)	1,66-0,99	1,29
Anchura do dente de N4 (A4)	1,57-0,90	1,21
Abertura do seo peciolar (SP)	3,54-0,25	1,40
Ancho da folla (AN)	21,24-14,18	16,43
Alto da folla (ALT)	20,09-14,26	1,75
Proxección da distancia entre os extremos N1 e N3 sobre o eixe da folla (L)	20,13-13,33	15,50
Distancia entre os extremos N2 do lado grande e do lado pequeno (IS)	19,63-12,96	15,08
Distancia entre os extremos N3 do lado grande e do lado pequeno (II)	17,59-11,03	13,39
Distancia entre os extremos de N1 e N2 (ENS)	11,72-7,58	9,52
Distancia entre os extremos de N2 e N3 (ENM)	10,98-7,81	9,37
Distancia entre os extremos de N3 e N4 (ENI)	7,79-4,58	6,31
Distancia do punto peciolar ao extremo de N4 (NL)	6,34-4,47	5,32
Distancia entre as bases dos seos superiores (DS1)	10,24-5,77	7,96
Distancia entre a base dos seos inferiores (DS2)	13,32-9,69	11,31
Distancia entre as bases do seo superior e inferior (DS)	8,84-5,86	7,21
Abertura do seo superior (SS)	1,31-0,48	0,83
Abertura do seo inferior (SI)	1,47-0,28	0,77

Carácter ampelométrico	Valor máximo e mínimo (graos)	Valor medio (graos)
Ángulo entre N1 e N2 (A)	78,69-61,59	68,79
Ángulo entre N2 e N3 (B)	65,50-49,00	58,13
Ángulo entre N3 e N4 (C)	65,09-44,17	54,38
Ángulo entre N4 e N5 (D)	49,40-34,00	43,81
Ángulo entre N3 e o bordo do seo peciolar (E)	90,06-50,49	67,21
Ángulo entre os extremos de N1 e o seu primeiro nervio secundario (F)	106,99-93,09	100,84
Ángulo entre os extremos N1 e N2 (AP)	126,78-98,59	114,84

Caracterización molecular

Microsatélites	VVS2	VVMD5	VVMD7	ssrVrZAG47	ssrVrZAG62	ssrVrZAG79	VVS29	VVS5
Pb	130	228	237	157	193	245	169	85
	132	234	237	161	193	245	179	121

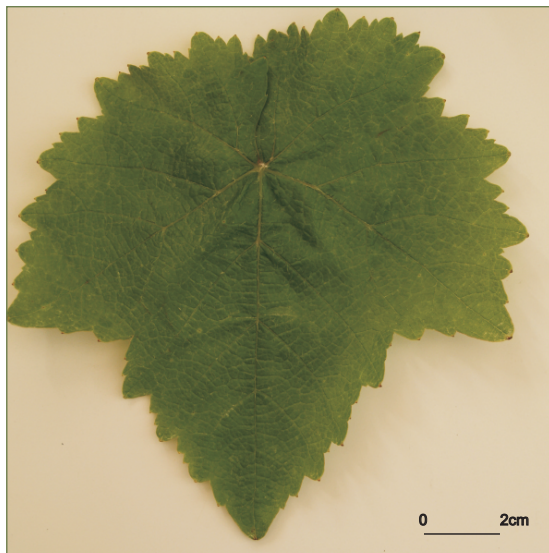
SUMIDADE



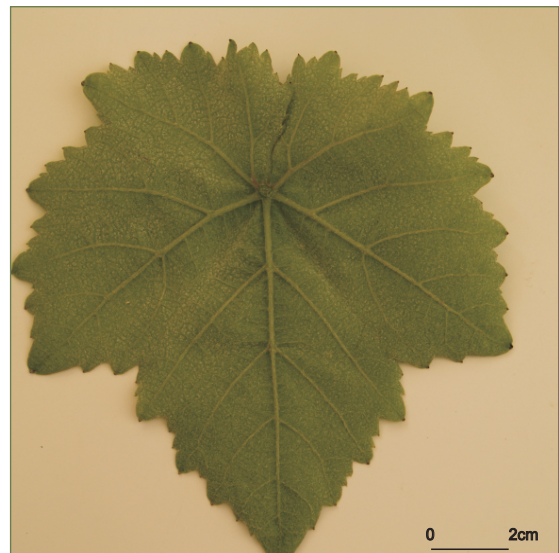
FOLLA NOVA: FACE, ENVÉS



FOLLA ADULTA: FACE



FOLLA ADULTA: ENVÉS



ACIO



BAGO



carrasquín

Referencias na colección da EVEGA:
F62P01P12, F62P38P54.

Sinonimias

Non se coñecen.

Antecedentes

Non se encontra citada na rexión galega, pero si forma parte do viñedo asturiano.

Descrición morfolóxica

Pámpano novo

O pámpano novo presenta a extremidade aberta con peluxe tombada de densidade baixa e pigmentación reberetada de intensidade media. A cara dorsal e ventral dos entrenós e nós é verde e vermella. As xemas presentan pigmentación antociánica basal de intensidade débil.

Folla nova

A folla nova é verde con peluxe tombada de densidade media.

Folla adulta

A folla adulta de cor verde media presenta tamaño medio e forma pentagonal, con cinco lóbulos; peluda, con densidade baixa de pelos tombados entre os nervios principais do envés do limbo; perfil plano; limbo con inchazón débil; dentes con mestura de lados rectilíneos e convexos, de lonxitude curta en relación á súa anchura; seo peciolar con lóbulos semiabertos e coa base en forma de U delimitada pola nervadura en ambos os dous lados; seos laterais superiores con lóbulos lixeiramente superpostos coa base en forma de U; pecíolo lixeiramente máis curto que o nervio principal.

Acio

O acio é cilíndrico, de lonxitude, anchura e compacidade media e con presenza de 1 ou 2 ás. O pedúnculo é de lonxitude media.

Bago

O bago de cor azul negra presenta forma elíptica curta.

Caracterización ampelográfica

Código OIV	Carácter OIV	Notación	Nivel de expresión
Pámpano novo			
001	Forma da extremidade	aberta	5
002	Distribución da pigmentación antociánica da extremidade	reberetada	2
003	Intensidade da pigmentación antociánica da extremidade	media	5
004	Densidade dos pelos tombados da extremidade	baixa	3
005	Densidade dos pelos ergueitos da extremidade	nula ou moi baixa	1
006	Porte	semi-ergueito	3
007	Cor da cara dorsal dos entrenós	verde e vermella	2
008	Cor da cara ventral dos entrenós	verde e vermella	2
009	Cor da cara dorsal dos nós	verde e vermella	2
010	Cor da cara ventral dos nós	verde	1
011	Densidade dos pelos ergueitos dos nós	nula ou moi baixa	1
012	Densidade dos pelos ergueitos dos entrenós	nula ou moi baixa	1
015.1	Pigmentación antociánica das xemas	na base	2
015.2	Intensidade da pigmentación antociánica das xemas	débil	3
0.16	Número de gabiáns consecutivos	dous	1
Folla nova			
051	Cor da face	verde	1
053	Densidade dos pelos tombados entre os nervios	media	5
056	Densidade dos pelos ergueitos dos nervios principais	nula ou moi baixa	1
Folla adulta			
065	Tamaño	medio	5
067	Forma do limbo	pentagonal	3
068	Número de lóbulos	cinco	3
069	Cor da face	verde media	5
070	Pigmentación antociánica dos nervios principais da face do limbo	ata a primeira bifurcación	3
071	Pigmentación antociánica dos nervios principais do envés do limbo	ata a primeira bifurcación	3
072	Avultamento do limbo	ausente	1
073	Ondulación do limbo entre os nervios principais ou secundarios	ausente	1
074	Perfil	plano	1
075	Inchazón da face	débil	3
076	Forma dos dentes	mestura de lados rectilíneos e convexos	5
078	Lonxitude dos dentes en relación á súa anchura na base	curta	3
079	Solapamento do seo peciolar	semi-aberto	2
080	Forma da base do seo peciolar	en U	1
081.1	Dentes no seo peciolar	ausentes	1
081.2	Base do seo peciolar limitada pola nervadura	en ambos os dous lados	3

Código OIV	Carácter OIV	Notación	Nivel de expresión
082	Solapamento dos seos laterais superiores	lóbulos lixeiramente superpostos	3
083.1	Forma da base dos seos laterais superiores	en U	1
083.2	Dentes nos seos laterais superiores	presentes	9
084	Densidade dos pelos tombados entre os nervios do envés	baixa	3
085	Densidade dos pelos ergueitos entre os nervios do envés	nula ou moi baixa	1
086	Densidade dos pelos tombados sobre os nervios do envés	baixa	3
087	Densidade dos pelos ergueitos sobre os nervios do envés	nula ou moi baixa	1
088	Peluxe dos nervios principais da face	ausentes	1
089	Peluxe ergueita dos nervios principais da face	ausentes	1
090	Densidade dos pelos tombados do pecíolo	nula ou moi baixa	1
091	Densidade dos pelos ergueitos do pecíolo	nula ou moi baixa	1
093	Lonxitude do pecíolo en relación ao nervio central	lixeiramente máis curto	3
Inflorescencia			
151	Sexo da flor	hermafrodita	3
Acio			
202	Lonxitude	media	5
204	Compacidade	media	5
206	Lonxitude do pedúnculo	media	5
208	Forma	cilíndrica	1
209	Número de ás do acio primario	1 ou 2	2
Bago			
220	Lonxitude	media	5
221	Anchura	media	5
222	Uniformidade do tamaño	uniforme	2
223	Forma	elíptica curta	3
225	Cor da epiderme	azul negra	6

Caracterización ampelométrica

Carácter ampelométrico	Valor máximo e mínimo (cm)	Valor medio (cm)
Lonxitude do nervio central (N1)	10,97-10,12	10,57
Lonxitude do nervio principal lateral superior (N2)	10,16-8,80	9,37
Lonxitude do nervio principal lateral inferior (N3)	6,97-5,58	6,31
Lonxitude do nervio secundario inferior (N4)	4,60-3,41	3,98
Lonxitude do nervio terciario inferior (N5)	2,30-1,35	1,83
Distancia do punto peciolar á intersección de N3-N4 (N6)	1,47-0,99	1,17
Distancia do punto peciolar ao seo superior (U)	4,90-3,14	3,86
Distancia do punto peciolar ao seo inferior (O)	4,32-2,66	3,28
Número de dentes entre o extremo N2 e o seu primeiro nervio secundario (ND)	8,00-6,00	7,00

Carácter apelmométrico	Valor máximo e mínimo (cm)	Valor medio (cm)
Distancia entre o extremo de N2 e o seu primeiro nervio secundario (PL)	5,65-4,40	5,01
Lonxitude do dente de N1 medido ao punto medio da base (L1)	0,88-0,46	0,67
Lonxitude do dente de N2 medido ao punto medio da base (L2)	0,97-0,73	0,87
Lonxitude do dente de N3 medido ao punto medio da base (L3)	0,81-0,50	0,70
Lonxitude do dente de N4 medido ao punto medio da base (L4)	0,89-0,53	0,66
Anchura do dente de N1 (A1)	1,09-0,84	0,99
Anchura do dente de N2 (A2)	1,25-1,00	1,15
Anchura do dente de N3 (A3)	1,10-0,90	1,00
Anchura do dente de N4 (A4)	1,11-0,78	0,93
Abertura do seo peciolar (SP)	4,65-2,93	3,53
Ancho da folla (AN)	14,88-13,32	14,11
Alto da folla (ALT)	14,79-13,16	14,15
Proxección da distancia entre os extremos N1 e N3 sobre o eixe da folla (L)	13,11-10,80	11,86
Distancia entre os extremos N2 do lado grande e do lado pequeno (IS)	13,23-8,77	11,36
Distancia entre os extremos N3 do lado grande e do lado pequeno (II)	13,85-12,06	12,87
Distancia entre os extremos de N1 e N2 (ENS)	7,40-5,14	6,42
Distancia entre os extremos de N2 e N3 (ENM)	9,14-6,29	6,97
Distancia entre os extremos de N3 e N4 (ENI)	6,29-4,06	4,78
Distancia do punto peciolar ao extremo de N4 (NL)	5,42-4,56	5,02
Distancia entre as bases dos seos superiores (DS1)	3,66-2,90	3,29
Distancia entre a base dos seos inferiores (DS2)	7,90-5,88	6,80
Distancia entre as bases do seo superior e inferior (DS)	3,79-2,71	3,09
Abertura do seo superior (SS)	0,00-0,00	0,00
Abertura do seo inferior (SI)	1,24-0,00	0,34

Carácter apelmométrico	Valor máximo e mínimo (graos)	Valor medio (graos)
Ángulo entre N1 e N2 (A)	51,69-45,30	48,75
Ángulo entre N2 e N3 (B)	59,75-49,14	52,77
Ángulo entre N3 e N4 (C)	56,62-42,38	46,42
Ángulo entre N4 e N5 (D)	45,101-35,79	39,69
Ángulo entre N3 e o bordo do seo peciolar (E)	56,14-34,72	46,11
Ángulo entre os extremos de N1 e o seu primeiro nervio secundario (F)	110,12-100,00	104,74
Ángulo entre os extremos N1 e N2 (AP)	133,28-113,52	124,79

Caracterización molecular

Microsatélites	VVS2	VVMD5	VVMD7	ssrVrZAG47	ssrVrZAG62	ssrVrZAG79	VVS29	VVS5
Pb	140	222	237	155	187	249	169	94
	150	234	255	165	193	249	169	150

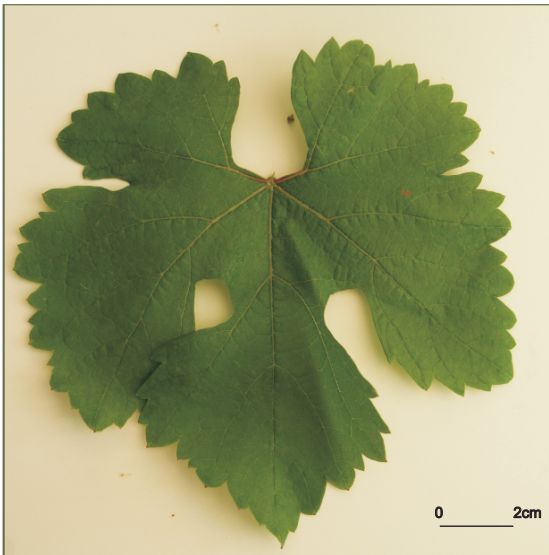
SUMIDADE



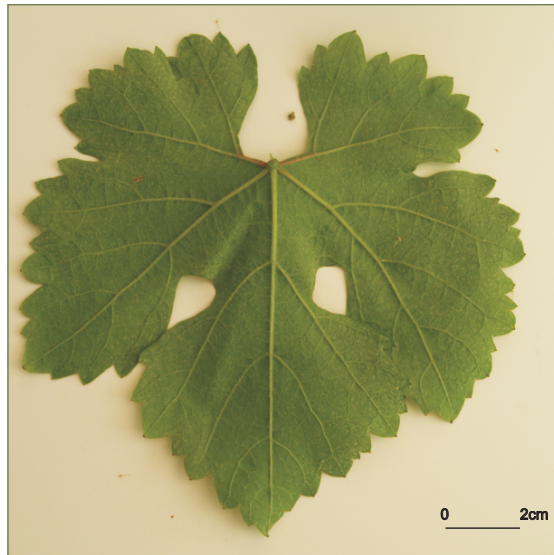
FOLLA NOVA: FACE, ENVÉS



FOLLA ADULTA: FACE



FOLLA ADULTA: ENVÉS

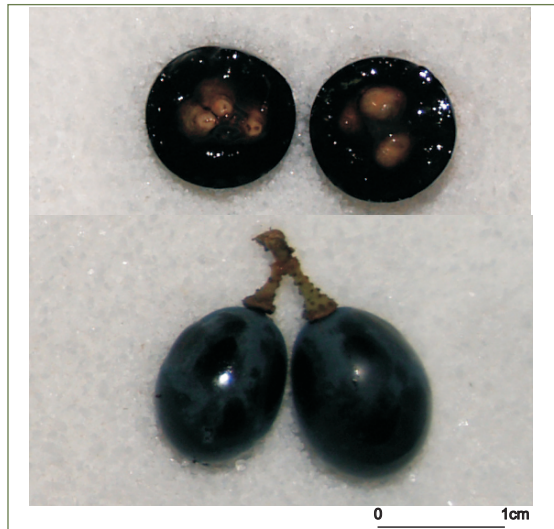


122

ACIO



BAGO



castaña

Referencias na colección da EVEGA:
F17P57P64, F37P52P59.

Sinonimias

Non se coñecen.

Antecedentes

García de los Salmones (1914) cítala na localidade de Tui, Pontevedra, e Freijanes e Alonso (1997) cítana como cultivada na zona do Rosal.

Situación actual

Localizada na subzona do Rosal da DO Rías Baixas. Non está contemplada como variedade autorizada para a elaboración de viños en ningunha das DD.OO., aínda que recentemente se incluíu no Rexistro de variedades comerciais.

Valoracións sobre o seu cultivo

Variedade de brotación media e maduración precoz. Moi sensible ao oídio e de sensibilidade media ao mildeu e á botrite.

Descrición morfolóxica

Pámpano novo

O pámpano novo presenta a extremidade aberta con peluxe tombada de densidade media. A cara dorsal e ventral dos entrenós e nós é verde. As xemas non presentan pigmentación antociánica.

Folla nova

A folla nova é verde con peluxe tombada de densidade alta.

Folla adulta

A folla adulta de cor verde media presenta tamaño medio e forma pentagonal, con cinco lóbulos; peluda, con densidade media de pelos tombados entre os nervios principais, baixa sobre os nervios principais do envés do limbo; perfil plano; limbo con avultamento e inchazón débil; dentes con lados rectilíneos, de lonxitude media en relación á súa anchura; seo peciolar con lóbulos lixeiramente superpostos e coa base en V; seos laterais superiores abertos coa base en forma de V; pecíolo lixeiramente máis curto que o nervio principal.

Acio

O acio cilíndrico, de lonxitude, anchura e compacidade media e con presenza de 1 ou 2 ás. O pedúnculo é de lonxitude curta.

Bago

O bago de cor azul negra presenta forma elíptica curta.

Caracterización ampelográfica

Código OIV	Carácter OIV	Notación	Nivel de expresión
Pámpano novo			
001	Forma da extremidade	aberta	5
002	Distribución da pigmentación antociánica da extremidade	ausente	1
003	Intensidade da pigmentación antociánica da extremidade	nula	1
004	Densidade dos pelos tombados da extremidade	media	5
005	Densidade dos pelos ergueitos da extremidade	nula ou moi baixa	1
006	Porte	semi-ergueito	3
007	Cor da cara dorsal dos entrenós	verde	1
008	Cor da cara ventral dos entrenós	verde	1
009	Cor da cara dorsal dos nós	verde	1
010	Cor da cara ventral dos nós	verde	1
011	Densidade dos pelos ergueitos dos nós	nula ou moi baixa	1
012	Densidade dos pelos ergueitos dos entrenós	nula ou moi baixa	1
015.1	Pigmentación antociánica das xemas	ausente	1
015.2	Intensidade da pigmentación antociánica das xemas	nula ou moi débil	1
0.16	Número de gabiáns consecutivos	dous	1
Folla nova			
051	Cor da face	verde	1
053	Densidade dos pelos tombados entre os nervios	alta	7
056	Densidade dos pelos ergueitos dos nervios principais	nula ou moi baixa	1
Folla adulta			
065	Tamaño	medio	5
067	Forma do limbo	pentagonal	3
068	Número de lóbulos	cinco	3
069	Cor da face	verde media	5
070	Pigmentación antociánica dos nervios principais da face do limbo	nula	1
071	Pigmentación antociánica dos nervios principais do envés do limbo	nula	1
072	Avultamento do limbo	débil	3
073	Ondulación do limbo entre os nervios principais ou secundarios	ausente	1
074	Perfil	plano	1
075	Inchazón da face	débil	3
076	Forma dos dentes	rectilíneos	3
078	Lonxitude dos dentes en relación á súa anchura na base	media	5
079	Solapamento do seo peciolar	lixeramente superpostos	4
080	Forma da base do seo peciolar	en V	3
081.1	Dentes no seo peciolar	ausentes	1
081.2	Base do seo peciolar limitada pola nervadura	non delimitada	1
082	Solapamento dos seos laterais superiores	aberto	1
083.1	Forma da base dos seos laterais superiores	en V	3

Código OIV	Carácter OIV	Notación	Nivel de expresión
083.2	Dentes nos seus laterais superiores	ausente	1
084	Densidade dos pelos tombados entre os nervios do envés	media	5
085	Densidade dos pelos ergueitos entre os nervios do envés	nula ou moi baixa	1
086	Densidade dos pelos tombados sobre os nervios do envés	baixa	3
087	Densidade dos pelos ergueitos sobre os nervios do envés	nula ou moi baixa	1
088	Peluxe dos nervios principais da face	ausentes	1
089	Peluxe ergueita dos nervios principais da face	ausentes	1
090	Densidade dos pelos tombados do pecíolo	baixa	3
091	Densidade dos pelos ergueitos do pecíolo	baixa	3
093	Lonxitude do pecíolo en relación ao nervio central	lixeiramente máis curto	3
Inflorescencia			
151	Sexo da flor	hermafrodita	3
Acio			
202	Lonxitude	media	5
204	Compacidade	media	5
206	Lonxitude do pedúnculo	curta	3
208	Forma	cilíndrica	1
209	Número de ás do acio primario	1 ou 2	2
Bago			
220	Lonxitude	longa	7
221	Anchura	mediana	5
222	Uniformidade do tamaño	uniforme	2
223	Forma	elíptica curta	3
225	Cor da epiderme	azul negra	6

Caracterización ampelométrica

Carácter ampelométrico	Valor máximo e mínimo (cm)	Valor medio (cm)
Lonxitude do nervio central (N1)	13,21-8,68	11,21
Lonxitude do nervio principal lateral superior (N2)	12,95-8,53	10,14
Lonxitude do nervio principal lateral inferior (N3)	10,03-5,75	7,20
Lonxitude do nervio secundario inferior (N4)	7,18-3,24	4,22
Lonxitude do nervio terciario inferior (N5)	3,42-1,15	1,86
Distancia do punto peciolar á intersección de N3-N4 (N6)	1,36-0,15	1,07
Distancia do punto peciolar ao seo superior (U)	8,74-4,27	6,46
Distancia do punto peciolar ao seo inferior (O)	8,31-3,92	5,72
Número de dentes entre o extremo N2 e o seu primeiro nervio secundario (ND)	8,00-5,00	6,20

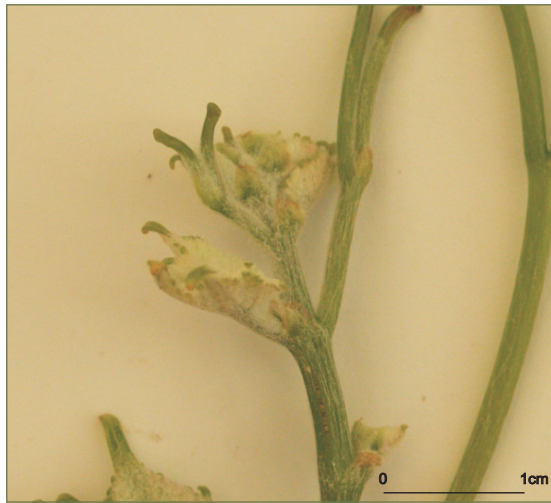
Carácter ampelométrico	Valor máximo e mínimo (cm)	Valor medio (cm)
Distancia entre o extremo de N2 e o seu primeiro nervio secundario (PL)	7,18-4,60	6,09
Lonxitude do dente de N1 medido ao punto medio da base (L1)	1,46-0,43	1,03
Lonxitude do dente de N2 medido ao punto medio da base (L2)	1,54-0,73	1,14
Lonxitude do dente de N3 medido ao punto medio da base (L3)	0,95-0,63	0,79
Lonxitude do dente de N4 medido ao punto medio da base (L4)	0,92-0,49	0,68
Anchura do dente de N1 (A1)	1,76-1,012	1,38
Anchura do dente de N2 (A2)	1,94-1,16	1,50
Anchura do dente de N3 (A3)	1,69-0,96	1,24
Anchura do dente de N4 (A4)	1,18-0,66	0,94
Abertura do seo peciolar (SP)	2,25-0,83	1,63
Ancho da folla (AN)	18,97-12,88	15,33
Alto da folla (ALT)	18,53-12,03	15,67
Proxección da distancia entre os extremos N1 e N3 sobre o eixe da folla (L)	18,04-11,51	15,02
Distancia entre os extremos N2 do lado grande e do lado pequeno (IS)	18,35-12,11	14,12
Distancia entre os extremos N3 do lado grande e do lado pequeno (II)	18,53-10,71	13,28
Distancia entre os extremos de N1 e N2 (ENS)	10,95-7,17	8,80
Distancia entre os extremos de N2 e N3 (ENM)	10,36-7,02	8,93
Distancia entre os extremos de N3 e N4 (ENI)	10,41-3,66	5,38
Distancia do punto peciolar ao extremo de N4 (NL)	7,95-4,13	5,14
Distancia entre as bases dos seos superiores (DS1)	16,44-4,68	8,55
Distancia entre a base dos seos inferiores (DS2)	14,41-8,42	10,67
Distancia entre as bases do seo superior e inferior (DS)	8,44-4,37	6,26
Abertura do seo superior (SS)	1,55-0,18	0,81
Abertura do seo inferior (SI)	1,71-0,37	0,84

Carácter ampelométrico	Valor máximo e mínimo (graos)	Valor medio (graos)
Ángulo entre N1 e N2 (A)	67,81-58,97	62,52
Ángulo entre N2 e N3 (B)	59,86-44,95	50,60
Ángulo entre N3 e N4 (C)	50,60-38,90	46,58
Ángulo entre N4 e N5 (D)	51,69-30,28	39,34
Ángulo entre N3 e o bordo do seo peciolar (E)	66,82-41,61	51,85
Ángulo entre os extremos de N1 e o seu primeiro nervio secundario (F)	115,61-87,41	95,34
Ángulo entre os extremos N1 e N2 (AP)	131,19-101,40	114,96

Caracterización molecular

Microsatélites	VVS2	VVMD5	VVMD7	ssrVrZAG47	ssrVrZAG62	ssrVrZAG79	VVS29	VVS5
Pb	132	222	261	157	193	245	169	121
	154	222	261	165	195	257	179	150

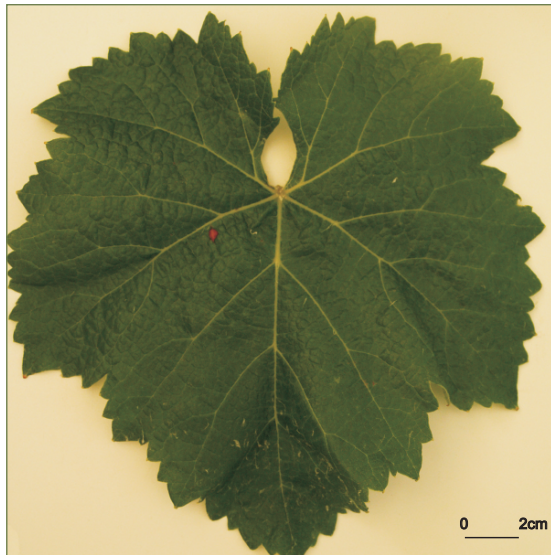
SUMIDADE



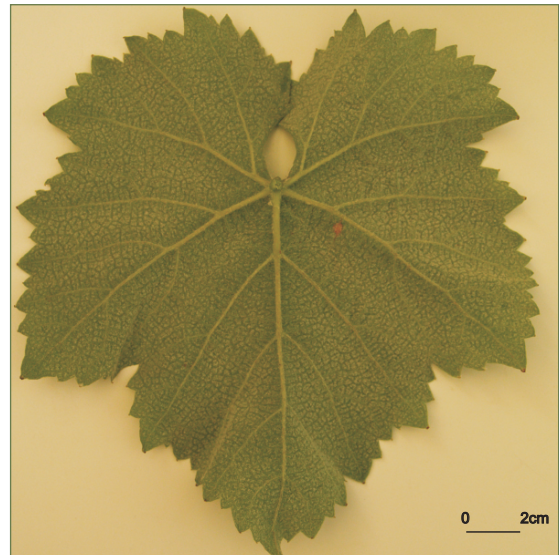
FOLLA NOVA: FACE, ENVÉS



FOLLA ADULTA: FACE



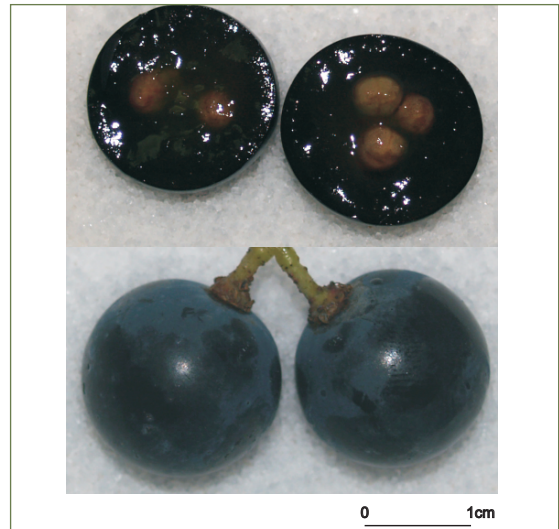
FOLLA ADULTA: ENVÉS



ACIO



BAGO



Referencias na colección da EVEGA:
F50P46P52.

Sinonimias

Romano.

Situación actual

Híbrido produtor directo, utilizado na elaboración de viños na provincia de Pontevedra. Na provincia da Coruña coñécese baixo a denominación de Romano. Actualmente non está admitido para a elaboración de viños.

Descrición morfolóxica

Pámpano novo

O pámpano novo presenta a extremidade aberta con peluxe tombada de densidade alta e pigmentación reberetada de intensidade media. A cara dorsal e ventral dos entrenós e nós é verde. As xemas non presentan pigmentación antociánica.

Folla nova

A folla nova é bronceada con peluxe tombada de densidade media.

Folla adulta

A folla adulta de cor verde escura presenta un tamaño moi grande e forma pentagonal, con tres ou cinco lóbulos; peluda, con densidade media de pelos tombados entre os nervios principais, baixa sobre os nervios principais; perfil plano; limbo con avultamento e inchazón débil; presenza de pigmentación antociánica sobre os nervios principais da face do limbo que alcanza a segunda bifurcación; dentes con lados rectilíneos, de lonxitude curta en relación á súa anchura; seo peciolar con lóbulos pouco abertos e coa base en forma de chave; seos laterais superiores abertos coa base en forma de V; pecíolo lixeiramente máis longo que o nervio principal.

Acio

O acio é cónico, curto, de anchura e compacidade media e con presenza de 1 ou 2 ás. O pedúnculo é de lonxitude curta.

Bago

O bago de cor vermella violeta escura presenta forma elíptica curta.

Caracterización ampelográfica

Código OIV	Carácter OIV	Notación	Nivel de expresión
Pámpano novo			
001	Forma da extremidade	aberta	5
002	Distribución da pigmentación antociánica da extremidade	reberetada	2
003	Intensidade da pigmentación antociánica da extremidade	media	5
004	Densidade dos pelos tombados da extremidade	alta	7
005	Densidade dos pelos ergueitos da extremidade	nula ou moi baixa	1
006	Porte	semi-ergueito	3
007	Cor da cara dorsal dos entrenós	verde	1
008	Cor da cara ventral dos entrenós	verde	1
009	Cor da cara dorsal dos nós	verde	1
010	Cor da cara ventral dos nós	verde	1
011	Densidade dos pelos ergueitos dos nós	nula ou moi baixa	1
012	Densidade dos pelos ergueitos dos entrenós	nula ou moi baixa	1
015.1	Pigmentación antociánica das xemas	ausente	1
015.2	Intensidade da pigmentación antociánica das xemas	nula ou moi débil	1
0.16	Número de gabiáns consecutivos	dous	1
Folla nova			
051	Cor da face	bronceada	3
053	Densidade dos pelos tombados entre os nervios	media	5
056	Densidade dos pelos ergueitos dos nervios principais	nula ou moi baixa	1
Folla adulta			
065	Tamaño	moi grande	9
067	Forma do limbo	pentagonal	3
068	Número de lóbulos	cinco	3
069	Cor da face	verde escura	7
070	Pigmentación antociánica dos nervios principais da face do limbo	ata a segunda bifurcación	4
071	Pigmentación antociánica dos nervios principais do envés do limbo	nula	1
072	Avultamento do limbo	débil	3
073	Ondulación do limbo entre os nervios principais ou secundarios	presente	9
074	Perfil	plano	1
075	Inchazón da face	débil	3
076	Forma dos dentes	rectilíneos	2
078	Lonxitude dos dentes en relación á súa anchura na base	pequenos	3
079	Solapamento do seo peciolar	pouco aberto	3
080	Forma da base do seo peciolar	en chave	2
081.1	Dentes no seo peciolar	ausentes	1
081.2	Base do seo peciolar limitada pola nervadura	non delimitada	1
082	Solapamento dos seos laterais superiores	aberto	1

Código OIV	Carácter OIV	Notación	Nivel de expresión
083.1	Forma da base dos seos laterais superiores	en V	3
083.2	Dentes nos seos laterais superiores	ausente	1
084	Densidade dos pelos tombados entre os nervios do envés	media	5
085	Densidade dos pelos ergueitos entre os nervios do envés	nula ou moi baixa	1
086	Densidade dos pelos tombados sobre os nervios do envés	baixa	3
087	Densidade dos pelos ergueitos sobre os nervios do envés	nula ou moi baixa	1
088	Peluxe dos nervios principais da face	ausentes	1
089	Peluxe ergueita dos nervios principais da face	ausentes	1
090	Densidade dos pelos tombados do pecíolo	baixa	3
091	Densidade dos pelos ergueitos do pecíolo	baixa	3
093	Lonxitude do pecíolo en relación ao nervio central	lixeramente máis longo	7
Inflorescencia			
151	Sexo da flor	hermafrodita	3
Acio			
202	Lonxitude	curta	3
204	Compacidade	media	5
206	Lonxitude do pedúnculo	curta	3
208	Forma	cónica	2
209	Número de ás do acio primario	1 ou 2	2
Bago			
220	Lonxitude	moi longa	9
221	Anchura	moi ancha	9
222	Uniformidade do tamaño	uniforme	2
223	Forma	elíptica curta	3
225	Cor da epiderme	vermella violeta escura	5

Caracterización ampelométrica

Carácter ampelométrico	Valor máximo e mínimo (cm)	Valor medio (cm)
Lonxitude do nervio central (N1)	15,17-13,66	14,44
Lonxitude do nervio principal lateral superior (N2)	12,97-10,76	11,87
Lonxitude do nervio principal lateral inferior (N3)	9,54-8,20	8,70
Lonxitude do nervio secundario inferior (N4)	6,36-4,63	5,29
Lonxitude do nervio terciario inferior (N5)	2,61-1,65	2,05
Distancia do punto peciolar á intersección de N3-N4 (N6)	1,99-1,44	1,74
Distancia do punto peciolar ao seo superior (U)	11,39-9,13	10,10
Distancia do punto peciolar ao seo inferior (O)	8,62-7,53	8,10
Número de dentes entre o extremo N2 e o seu primeiro nervio secundario (ND)	11,00-9,00	10,40

Carácter apelmométrico	Valor máximo e mínimo (cm)	Valor medio (cm)
Distancia entre o extremo de N2 e o seu primeiro nervio secundario (PL)	7,61-6,07	6,83
Lonxitude do dente de N1 medido ao punto medio da base (L1)	1,51-0,52	1,04
Lonxitude do dente de N2 medido ao punto medio da base (L2)	0,84-0,61	0,73
Lonxitude do dente de N3 medido ao punto medio da base (L3)	0,82-0,55	0,64
Lonxitude do dente de N4 medido ao punto medio da base (L4)	0,90-0,49	0,64
Anchura do dente de N1 (A1)	1,52-1,03	1,29
Anchura do dente de N2 (A2)	1,45-0,97	1,23
Anchura do dente de N3 (A3)	1,19-0,89	1,02
Anchura do dente de N4 (A4)	1,20-0,76	0,97
Abertura do seo peciolar (SP)	3,70-1,31	2,51
Ancho da folla (AN)	20,62-18,72	19,89
Alto da folla (ALT)	21,37-19,65	20,41
Proxección da distancia entre os extremos N1 e N3 sobre o eixe da folla (L)	18,89-17,47	17,93
Distancia entre os extremos N2 do lado grande e do lado pequeno (IS)	18,14-17,45	17,80
Distancia entre os extremos N3 do lado grande e do lado pequeno (II)	19,19-16,00	17,42
Distancia entre os extremos de N1 e N2 (ENS)	11,01-9,63	10,10
Distancia entre os extremos de N2 e N3 (ENM)	10,93-8,87	9,87
Distancia entre os extremos de N3 e N4 (ENI)	6,66-5,20	5,86
Distancia do punto peciolar ao extremo de N4 (NL)	7,68-6,20	6,78
Distancia entre as bases dos seos superiores (DS1)	13,42-11,80	12,60
Distancia entre a base dos seos inferiores (DS2)	17,44-15,51	10,67
Distancia entre as bases do seo superior e inferior (DS)	9,77-8,34	9,24
Abertura do seo superior (SS)	1,09-0,46	0,76
Abertura do seo inferior (SI)	1,08-0,65	0,90

Carácter apelmométrico	Valor máximo e mínimo (graos)	Valor medio (graos)
Ángulo entre N1 e N2 (A)	64,81-55,72	61,75
Ángulo entre N2 e N3 (B)	54,71-46,03	49,99
Ángulo entre N3 e N4 (C)	62,74-42,59	50,10
Ángulo entre N4 e N5 (D)	51,73-36,09	46,21
Ángulo entre N3 e o bordo do seo peciolar (E)	58,02-41,31	48,57
Ángulo entre os extremos de N1 e o seu primeiro nervio secundario (F)	112,87-98,75	103,51
Ángulo entre os extremos N1 e N2 (AP)	126,31-106,30	112,87

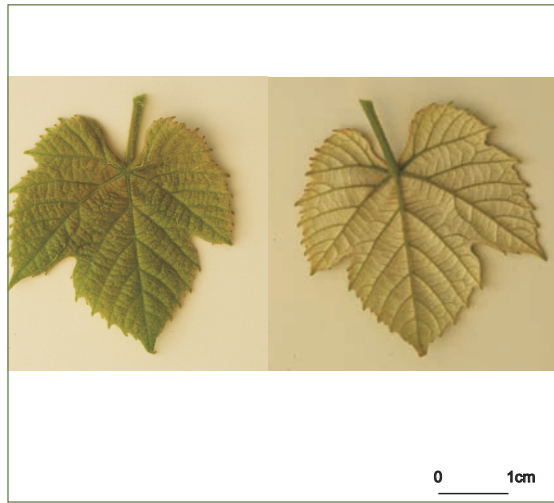
Caracterización molecular

Microsatélites	VVS2	VVMD5	VVMD7	ssrVrZAG47	ssrVrZAG62	ssrVrZAG79	VVS29	VVS5
Pb	122	228	239	161	193	245	169	109
	130	232	255	161	201	245	173	109

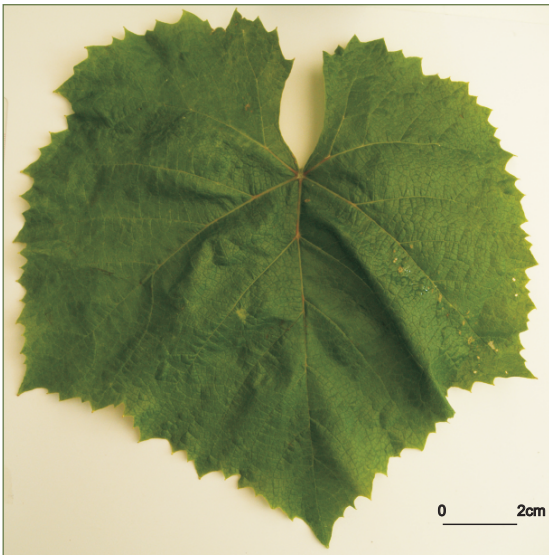
SUMIDADE



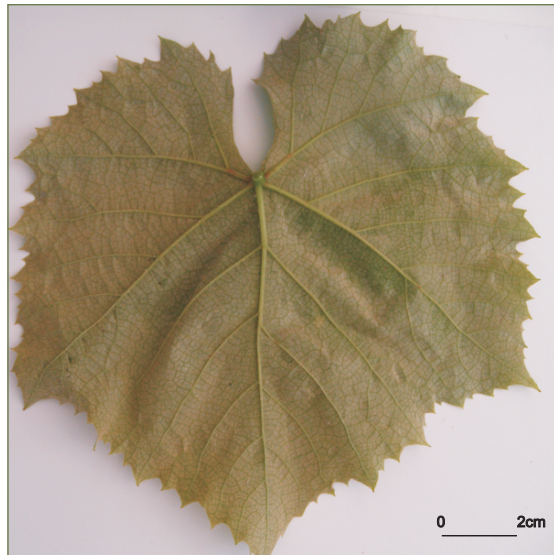
FOLLA NOVA: FACE, ENVÉS



FOLLA ADULTA: FACE



FOLLA ADULTA: ENVÉS

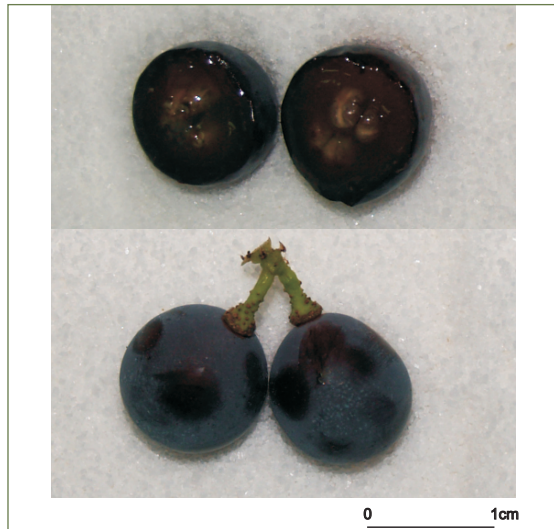


132

ACIO



BAGO



Referencias na colección da EVEGA:
F20P53P64, F35P22P30, F36P81P84,
F37P09P19, F40P09P15, F46P10P15,
F55P30P34.

Sinonimias

Cascón.

Antecedentes

Non se encontraron referencias bibliográficas deste xenotipo, aínda que exemplares centenarios son nomeados polos viticultores na rexión do Ulla.

Situación actual

Non está contemplada no Rexistro de variedades comerciais nin nos regulamentos das denominacións de orixe para a elaboración de viños. Localizáronse exemplares na subzona de Ribeiras do Ulla na DO Rías Baixas, máis concretamente na localidade de Vedra.

Valoracións sobre o seu cultivo

Varietade de brotación e maduración tardía, produce viños con graduación media de 12% e acidez de 5,7g/L.

Descrición morfolóxica

Pámpano novo

O pámpano novo presenta a extremidade aberta con peluxe tombada de densidade media e pigmentación reberetada de intensidade débil. A cara dorsal do entrenó, así como a cara ventral e dorsal do nó, é verde e vermella, mentres que a ventral do entrenó é verde. As xemas presentan pigmentación antociánica na base de intensidade débil.

Folla nova

A folla nova é bronceada con peluxe tombada de densidade media.

Folla adulta

A folla adulta de cor verde media presenta tamaño medio e forma pentagonal, con cinco lóbulos; peluda, con densidade media de pelos tombados entre os nervios principais e baixa de pelos tombados e ergueitos sobre os nervios principais do envés do limbo; perfil plano; limbo con avultamento e inchazón de intensidade débil; dentes con mestura de lados rectilíneos e convexos, de lonxitude media en relación á súa anchura; seo peciolar con lóbulos pouco abertos e coa base en forma de chave; seos laterais superiores abertos coa base en forma de chave. O pecíolo lixeiramente máis curto que o nervio principal.

Acio

O acio é cónico, de lonxitude, anchura e compacidade media e con presenza de 1 ou 2 ás. O pedúnculo é de lonxitude media.

Bago

O bago de cor azul negra presenta forma elíptica curta.

Caracterización ampelográfica

Código OIV	Carácter OIV	Notación	Nivel de expresión
Pámpano novo			
001	Forma da extremidade	aberta	5
002	Distribución da pigmentación antociánica da extremidade	reberetada	2
003	Intensidade da pigmentación antociánica da extremidade	débil	3
004	Densidade dos pelos tombados da extremidade	media	5
005	Densidade dos pelos ergueitos da extremidade	nula ou moi baixa	1
006	Porte	semi-ergueito	3
007	Cor da cara dorsal dos entrenós	verde e vermella	2
008	Cor da cara ventral dos entrenós	verde	1
009	Cor da cara dorsal dos nós	verde e vermella	2
010	Cor da cara ventral dos nós	verde e vermella	2
011	Densidade dos pelos ergueitos dos nós	nula ou moi baixa	1
012	Densidade dos pelos ergueitos dos entrenós	nula ou moi baixa	1
015.1	Pigmentación antociánica das xemas	na base	2
015.2	Intensidade da pigmentación antociánica das xemas	débil	3
0.16	Número de gabiáns consecutivos	dous	1
Folla nova			
051	Cor da face	bronceada	3
053	Densidade dos pelos tombados entre os nervios	media	5
056	Densidade dos pelos ergueitos dos nervios principais	nula ou moi baixa	1
Folla adulta			
065	Tamaño	medio	5
067	Forma do limbo	pentagonal	3
068	Número de lóbulos	cinco	3
069	Cor da face	verde media	5
070	Pigmentación antociánica dos nervios principais da face do limbo	nula	1
071	Pigmentación antociánica dos nervios principais do envés do limbo	nula	1
072	Avultamento do limbo	débil	3
073	Ondulación do limbo entre os nervios principais ou secundarios	presente	9
074	Perfil	plano	1
075	Inchazón da face	débil	3
076	Forma dos dentes	mestura de lados rectilíneos e convexos	5
078	Lonxitude dos dentes en relación á súa anchura na base	media	5
079	Solapamento do seo peciolar	pouco aberto	3
080	Forma da base do seo peciolar	en chave	2
081.1	Dentes no seo peciolar	ausentes	1
081.2	Base do seo peciolar limitada pola nervadura	non delimitada	1
082	Solapamento dos seos laterais superiores	aberto	1

Código OIV	Carácter OIV	Notación	Nivel de expresión
083.1	Forma da base dos seos laterais superiores	en chave	2
083.2	Dentes nos seos laterais superiores	ausente	1
084	Densidade dos pelos tombados entre os nervios do envés	media	5
085	Densidade dos pelos ergueitos entre os nervios do envés	nula ou moi baixa	1
086	Densidade dos pelos tombados sobre os nervios do envés	baixa	3
087	Densidade dos pelos ergueitos sobre os nervios do envés	baixa	3
088	Peluxe dos nervios principais da face	ausentes	1
089	Peluxe ergueita dos nervios principais da face	ausentes	1
090	Densidade dos pelos tombados do pecíolo	nula ou moi baixa	1
091	Densidade dos pelos ergueitos do pecíolo	nula ou moi baixa	3
093	Lonxitude do pecíolo en relación ao nervio central	lixeramente máis curto	3
Inflorescencia			
151	Sexo da flor	hermafrodita	3
Acio			
202	Lonxitude	media	5
204	Compacidade	media	5
206	Lonxitude do pedúnculo	media	5
208	Forma	cónica	2
209	Número de ás do acio primario	1 ou 2	2
Bago			
220	Lonxitude	media	5
221	Anchura	media	5
222	Uniformidade do tamaño	uniforme	2
223	Forma	elíptica curta	3
225	Cor da epiderme	azul negra	6

Caracterización ampelométrica

Carácter ampelométrico	Valor máximo e mínimo (cm)	Valor medio (cm)
Lonxitude do nervio central (N1)	11,81-7,70	10,66
Lonxitude do nervio principal lateral superior (N2)	11,34-7,25	10,17
Lonxitude do nervio principal lateral inferior (N3)	8,48-4,85	7,32
Lonxitude do nervio secundario inferior (N4)	5,34-2,93	4,42
Lonxitude do nervio terciario inferior (N5)	2,54-1,21	1,96
Distancia do punto peciolar á intersección de N3-N4 (N6)	1,52-0,70	1,02
Distancia do punto peciolar ao seo superior (U)	5,26-4,02	4,64
Distancia do punto peciolar ao seo inferior (O)	5,31-2,98	4,60
Número de dentes entre o extremo N2 e o seu primeiro nervio secundario (ND)	7,00-5,00	5,80

Carácter ampelométrico	Valor máximo e mínimo (cm)	Valor medio (cm)
Distancia entre o extremo de N2 e o seu primeiro nervio secundario (PL)	6,66-3,68	5,32
Lonxitude do dente de N1 medido ao punto medio da base (L1)	1,11-0,48	0,78
Lonxitude do dente de N2 medido ao punto medio da base (L2)	1,14-0,58	0,85
Lonxitude do dente de N3 medido ao punto medio da base (L3)	0,95-0,46	0,73
Lonxitude do dente de N4 medido ao punto medio da base (L4)	1,02-0,44	0,62
Anchura do dente de N1 (A1)	1,76-0,89	1,32
Anchura do dente de N2 (A2)	1,64-0,91	1,31
Anchura do dente de N3 (A3)	1,69-0,79	1,24
Anchura do dente de N4 (A4)	1,62-0,79	1,02
Abertura do seo peciolar (SP)	2,31-0,91	1,61
Ancho da folla (AN)	17,81-11,25	15,74
Alto da folla (ALT)	17,22-11,18	15,23
Proxección da distancia entre os extremos N1 e N3 sobre o eixe da folla (L)	16,09-10,17	14,28
Distancia entre os extremos N2 do lado grande e do lado pequeno (IS)	17,81-9,84	14,59
Distancia entre os extremos N3 do lado grande e do lado pequeno (II)	15,67-9,68	13,77
Distancia entre os extremos de N1 e N2 (ENS)	11,23-6,06	8,79
Distancia entre os extremos de N2 e N3 (ENM)	9,71-6,31	8,22
Distancia entre os extremos de N3 e N4 (ENI)	7,66-3,78	5,38
Distancia do punto peciolar ao extremo de N4 (NL)	5,97-3,69	5,26
Distancia entre as bases dos seos superiores (DS1)	6,64-4,65	5,74
Distancia entre a base dos seos inferiores (DS2)	10,14-6,11	9,08
Distancia entre as bases do seo superior e inferior (DS)	5,63-3,53	4,59
Abertura do seo superior (SS)	1,22-0,23	0,57
Abertura do seo inferior (SI)	0,97-0,14	0,55

Carácter ampelométrico	Valor máximo e mínimo (graos)	Valor medio (graos)
Ángulo entre N1 e N2 (A)	79,87-56,09	62,32
Ángulo entre N2 e N3 (B)	60,28-47,25	54,91
Ángulo entre N3 e N4 (C)	57,79-40,18	48,28
Ángulo entre N4 e N5 (D)	51,05-32,72	40,49
Ángulo entre N3 e o bordo do seo peciolar (E)	122,00-40,44	58,74
Ángulo entre os extremos de N1 e o seu primeiro nervio secundario (F)	124,81-91,98	110,25
Ángulo entre os extremos N1 e N2 (AP)	128,47-106,60	119,02

Caracterización molecular

Microsatélites	VVS2	VVMD5	VVMD7	ssrVrZAG47	ssrVrZAG62	ssrVrZAG79	VVS29	VVS5
Pb	140	222	245	159	185	245	169	85
	150	234	261	169	193	249	177	121

SUMIDADE



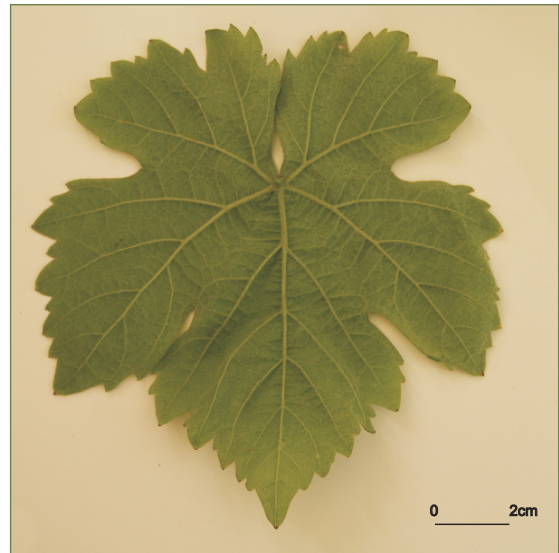
FOLLA NOVA: FACE, ENVÉS



FOLLA ADULTA: FACE



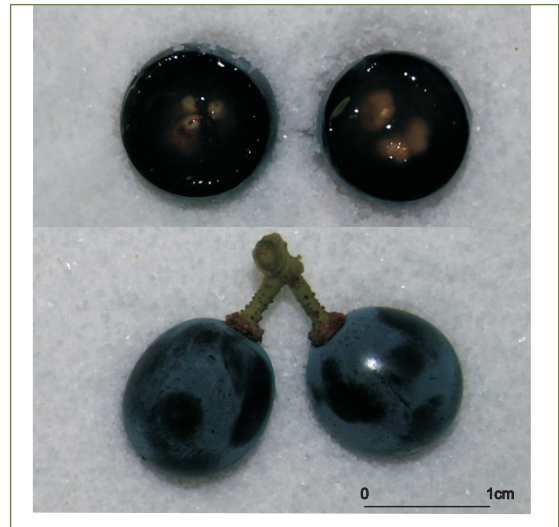
FOLLA ADULTA: ENVÉS



ACIO



BAGO



Referencias na colección da EVEGA:
P01P7P13, F16P15P19, F17P65P68,
F63P48P54.

Sinonimias

Caíño Redondo.

Antecedentes

Varietade minoritaria localizada en Donón (Pontevedra) nunha parcela plurivarietal. Este cultivar está relacionado xeneticamente coa linaxe do Merenzao (Díaz-Losada *et al.*, 2010).

Descrición morfolóxica

Pámpano novo

O pámpano novo presenta a extremidade aberta con peluxe tombada de densidade baixa e pigmentación ausente ou reberetada de intensidade moi débil. A cara dorsal dos entrenós e nós é verde e vermella, e a cara ventral, verde. As xemas presentan pigmentación antociánica na base da bráctea e de intensidade débil.

Folla nova

A folla nova é verde con peluxe tombada de densidade media.

Folla adulta

A folla adulta de cor verde media presenta tamaño medio e forma pentagonal, con cinco lóbulos; peluda, con densidade media de pelos tombados entre os nervios principais do envés e nula ou moi baixa de pelos ergueitos e con densidade baixa de pelos tombados e ergueitos sobre os nervios principais do envés do limbo; perfil alabeado; limbo con avultamento e inchazón débil; dentes de lados convexos, de lonxitude media en relación á súa anchura; seo peciolar con lóbulos pouco abertos e coa base en forma de chave; seos laterais superiores abertos coa base en forma de V; pecíolo máis curto que o nervio principal.

Acio

O acio é cónico, longo, de anchura e compacidade media e con presenza de 1 ou 2 ás. O pedúnculo é de lonxitude curta.

Bago

O bago de cor azul negra presenta forma esférica.

Caracterización ampelográfica

Código OIV	Carácter OIV	Notación	Nivel de expresión
Pámpano novo			
001	Forma da extremidade	aberta	5
002	Distribución da pigmentación antociánica da extremidade	reberetada	2
003	Intensidade da pigmentación antociánica da extremidade	nula ou moi débil	1
004	Densidade dos pelos tombados da extremidade	baixa	3
005	Densidade dos pelos ergueitos da extremidade	nula ou moi baixa	1
006	Porte	semi-ergueito	3
007	Cor da cara dorsal dos entrenós	verde e vermella	2
008	Cor da cara ventral dos entrenós	verde	1
009	Cor da cara dorsal dos nós	verde e vermella	2
010	Cor da cara ventral dos nós	verde	1
011	Densidade dos pelos ergueitos dos nós	nula ou moi baixa	1
012	Densidade dos pelos ergueitos dos entrenós	nula ou moi baixa	1
015.1	Pigmentación antociánica das xemas	na base	2
015.2	Intensidade da pigmentación antociánica das xemas	baixa	3
0.16	Número de gabiáns consecutivos	dous	1
Folla nova			
051	Cor da face	verde	1
053	Densidade dos pelos tombados entre os nervios	media	5
056	Densidade dos pelos ergueitos dos nervios principais	nula ou moi baixa	1
Folla adulta			
065	Tamaño	medio	5
067	Forma do limbo	pentagonal	3
068	Número de lóbulos	cinco	3
069	Cor da face	verde media	5
070	Pigmentación antociánica dos nervios principais da face do limbo	nula	1
071	Pigmentación antociánica dos nervios principais do envés do limbo	nula	1
072	Avultamento do limbo	débil	3
073	Ondulación do limbo entre os nervios principais ou secundarios	presente	9
074	Perfil	alabeado	5
075	Inchazón da face	débil	3
076	Forma dos dentes	convexos	3
078	Lonxitude dos dentes en relación á súa anchura na base	media	5
079	Solapamento do seo peciolar	pouco aberto	3
080	Forma da base do seo peciolar	en chave	2
081.1	Dentes no seo peciolar	ausentes	1
081.2	Base do seo peciolar limitada pola nervadura	non delimitada	1
082	Solapamento dos seos laterais superiores	aberto	1
083.1	Forma da base dos seos laterais superiores	en V	3

Código OIV	Carácter OIV	Notación	Nivel de expresión
083.2	Dentes nos seos laterais superiores	ausente	1
084	Densidade dos pelos tombados entre os nervios do envés	media	5
085	Densidade dos pelos ergueitos entre os nervios do envés	nula ou moi baixa	1
086	Densidade dos pelos tombados sobre os nervios do envés	baixa	3
087	Densidade dos pelos ergueitos sobre os nervios do envés	baixa	3
088	Peluxe dos nervios principais da face	ausentes	1
089	Peluxe ergueita dos nervios principais da face	ausentes	1
090	Densidade dos pelos tombados do pecíolo	nula ou moi baixa	1
091	Densidade dos pelos ergueitos do pecíolo	nula ou moi baixa	1
093	Lonxitude do pecíolo en relación ao nervio central	máis curto	1
Inflorescencia			
151	Sexo da flor	hermafrodita	3
Acio			
202	Lonxitude	longa	7
204	Compacidade	media	5
206	Lonxitude do pedúnculo	curta	3
208	Forma	cónica	2
209	Número de ás do acio primario	1 ou 2	2
Bago			
220	Lonxitude	longa	7
221	Anchura	mediana	5
222	Uniformidade do tamaño	uniforme	2
223	Forma	esférica	2
225	Cor da epiderme	azul negra	6

Caracterización ampelométrica

Carácter ampelométrico	Valor máximo e mínimo (cm)	Valor medio (cm)
Lonxitude do nervio central (N1)	10,32-8,19	8,95
Lonxitude do nervio principal lateral superior (N2)	8,87-7,44	8,08
Lonxitude do nervio principal lateral inferior (N3)	6,12-5,18	5,59
Lonxitude do nervio secundario inferior (N4)	3,67-2,83	3,28
Lonxitude do nervio terciario inferior (N5)	1,61-1,01	1,35
Distancia do punto peciolar á intersección de N3-N4 (N6)	1,33-0,70	0,98
Distancia do punto peciolar ao seo superior (U)	6,85-4,22	5,70
Distancia do punto peciolar ao seo inferior (O)	5,33-4,02	4,68
Número de dentes entre o extremo N2 e o seu primeiro nervio secundario (ND)	7,00-5,00	6,00

Carácter apelmométrico	Valor máximo e mínimo (cm)	Valor medio (cm)
Distancia entre o extremo de N2 e o seu primeiro nervio secundario (PL)	5,26-4,07	4,64
Lonxitude do dente de N1 medido ao punto medio da base (L1)	1,06-0,43	0,77
Lonxitude do dente de N2 medido ao punto medio da base (L2)	1,10-0,64	0,79
Lonxitude do dente de N3 medido ao punto medio da base (L3)	0,77-0,34	0,63
Lonxitude do dente de N4 medido ao punto medio da base (L4)	0,75-0,39	0,58
Anchura do dente de N1 (A1)	1,40-0,87	1,15
Anchura do dente de N2 (A2)	1,44-0,99	1,16
Anchura do dente de N3 (A3)	1,33-0,88	1,04
Anchura do dente de N4 (A4)	1,02-0,68	0,82
Abertura do seo peciolar (SP)	2,25-0,16	1,26
Ancho da folla (AN)	13,79-11,52	12,39
Alto da folla (ALT)	13,77-11,72	12,59
Proxección da distancia entre os extremos N1 e N3 sobre o eixe da folla (L)	13,59-8,69	10,93
Distancia entre os extremos N2 do lado grande e do lado pequeno (IS)	13,15-9,76	11,24
Distancia entre os extremos N3 do lado grande e do lado pequeno (II)	12,61-9,35	10,74
Distancia entre os extremos de N1 e N2 (ENS)	8,64-5,38	7,08
Distancia entre os extremos de N2 e N3 (ENM)	7,26-4,46	6,35
Distancia entre os extremos de N3 e N4 (ENI)	4,68-3,40	4,11
Distancia do punto peciolar ao extremo de N4 (NL)	6,39-3,78	4,33
Distancia entre as bases dos seos superiores (DS1)	7,80-5,76	6,74
Distancia entre a base dos seos inferiores (DS2)	15,92-8,28	9,84
Distancia entre as bases do seo superior e inferior (DS)	7,62-4,92	5,62
Abertura do seo superior (SS)	0,80-0,22	0,59
Abertura do seo inferior (SI)	1,04-0,44	0,72

Carácter apelmométrico	Valor máximo e mínimo (graos)	Valor medio (graos)
Ángulo entre N1 e N2 (A)	72,62-56,92	63,61
Ángulo entre N2 e N3 (B)	57,96-44,17	52,44
Ángulo entre N3 e N4 (C)	59,02-47,22	54,27
Ángulo entre N4 e N5 (D)	47,24-38,80	41,00
Ángulo entre N3 e o bordo do seo peciolar (E)	55,82-39,82	48,53
Ángulo entre os extremos de N1 e o seu primeiro nervio secundario (F)	117,59-90,33	100,89
Ángulo entre os extremos N1 e N2 (AP)	121,47-107,59	114,65

Caracterización molecular

Microsatélites	VVS2	VVMD5	VVMD7	ssrVrZAG47	ssrVrZAG62	ssrVrZAG79	VVS29	VVS5
Pb	136	232	237	151	187	243	169	98
	150	234	241	165	187	245	179	150

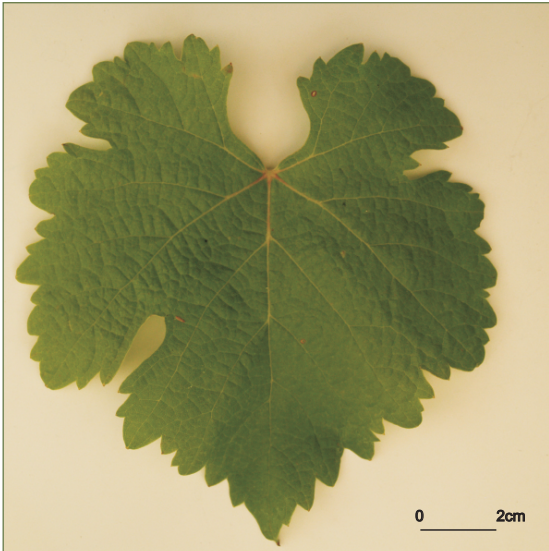
SUMIDADE



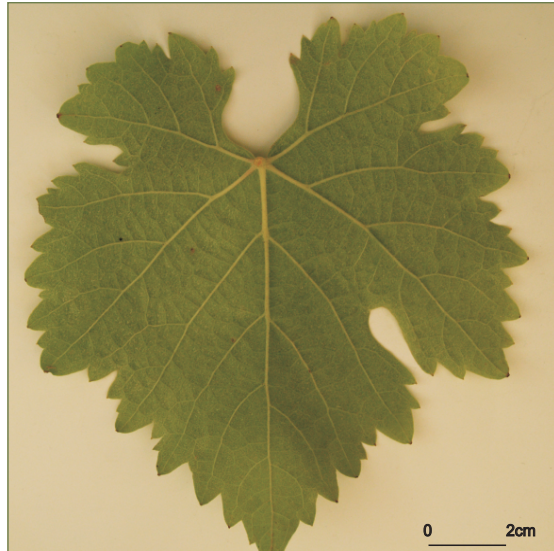
FOLLA NOVA: FACE, ENVÉS



FOLLA ADULTA: FACE



FOLLA ADULTA: ENVÉS

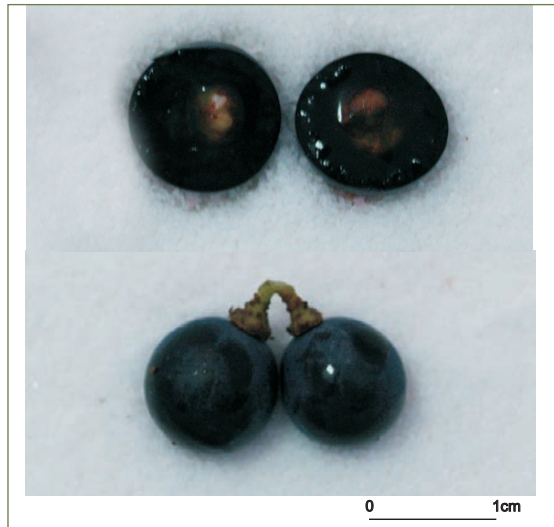


142

ACIO



BAGO



Dona Branca

Referencias na colección da EVEGA: F27P02P69, F28P01P83, F29P02P84, F30P02P18, F32P65P70.

Sinonimias

Moza Fresca, Valenciana.

Antecedentes

García de los Salmones (1914) cítaa en Lugo, Allariz, Celanova e Viana do Bolo. No Catastro Vitícola de 1983 cítase como cultivada na provincia de Lugo, onde ocupaba o 0,24% da superficie de viñedo, e en Ourense, o 2,2%.

Situación actual

Está considerada variedade preferente nas DD.OO. Ribeira Sacra, Valdeorras e Montereí. A superficie de cultivo representa o 1,83% da superficie total de viñedo da comunidade, e corresponden 0,19 ha á provincia da Coruña, 0,22 ha a Lugo, 437,8 ha a Ourense e 0,16 ha á zona do Condado do Tea na provincia de Pontevedra.

Valoracións sobre o seu cultivo

Variedade moi produtiva, de brotación media ou tardía e maduración precoz, moi sensible á botrite e moderadamente sensible ao mildeu e ao oídio. Produce viños con graduación media de 11% e acidez de 5 g/L.

Descrición morfolóxica

Pámpano novo

O pámpano novo presenta a extremidade aberta con peluxe tombada de densidade baixa e pigmentación reberetada de intensidade forte. A cara dorsal e ventral dos entrenós e nós é verde. As xemas non presentan pigmentación antociánica.

Folla nova

A folla nova é verde con peluxe tombada de densidade alta.

Folla adulta

A folla adulta de cor verde media presenta tamaño medio e forma pentagonal, con cinco lóbulos; peluda, con densidade media de pelos tombados e ergueitos entre os nervios principais do envés do limbo; perfil alabeado; limbo con avultamento e inchazón débil; dentes con mestura de lados convexos e rectilíneos, de lonxitude media en relación á súa anchura; seo peciolar con lóbulos pouco abertos e coa base en forma de U; seos laterais superiores con lóbulos lixeiramente superpostos coa base en forma de chave; pecíolo lixeiramente máis curto que o nervio principal.

Acio

O acio é cónico, longo, ancho, de compacidade media e con presenza de 1 ou 2 ás. O pedúnculo é de lonxitude curta.

Bago

O bago de cor verde amarela presenta forma elíptica curta.

Caracterización ampelográfica

Código OIV	Carácter OIV	Notación	Nivel de expresión
Pámpano novo			
001	Forma da extremidade	aberta	5
002	Distribución da pigmentación antociánica da extremidade	reberetada	2
003	Intensidade da pigmentación antociánica da extremidade	forte	7
004	Densidade dos pelos tombados da extremidade	baixa	3
005	Densidade dos pelos ergueitos da extremidade	nula ou moi baixa	1
006	Porte	ergueito	1
007	Cor da cara dorsal dos entrenós	verde	1
008	Cor da cara ventral dos entrenós	verde	1
009	Cor da cara dorsal dos nós	verde	1
010	Cor da cara ventral dos nós	verde	1
011	Densidade dos pelos ergueitos dos nós	nula ou moi baixa	1
012	Densidade dos pelos ergueitos dos entrenós	nula ou moi baixa	1
015.1	Pigmentación antociánica das xemas	ausente	1
015.2	Intensidade da pigmentación antociánica das xemas	nula ou moi débil	1
0.16	Número de gabiáns consecutivos	dous	1
Folla nova			
051	Cor da face	verde	1
053	Densidade dos pelos tombados entre os nervios	alta	7
056	Densidade dos pelos ergueitos dos nervios principais	nula ou moi baixa	1
Folla adulta			
065	Tamaño	medio	5
067	Forma do limbo	pentagonal	3
068	Número de lóbulos	cinco	3
069	Cor da face	verde media	5
070	Pigmentación antociánica dos nervios principais da face do limbo	nula	1
071	Pigmentación antociánica dos nervios principais do envés do limbo	nula	1
072	Avultamento do limbo	débil	3
073	Ondulación do limbo entre os nervios principais ou secundarios	presente	9
074	Perfil	alabeado	5
075	Inchazón da face	débil	3
076	Forma dos dentes	mestura de lados rectilíneos e convexos	5
078	Lonxitude dos dentes en relación á súa anchura na base	media	5
079	Solapamento do seo peciolar	pouco aberto	3
080	Forma da base do seo peciolar	en U	1
081.1	Dentes no seo peciolar	ausentes	1
081.2	Base do seo peciolar limitada pola nervadura	non delimitada	1
082	Solapamento dos seos laterais superiores	lixeiramente superpostos	3

Código OIV	Carácter OIV	Notación	Nivel de expresión
083.1	Forma da base dos seos laterais superiores	en chave	2
083.2	Dentes nos seos laterais superiores	ausente	1
084	Densidade dos pelos tombados entre os nervios do envés	media	5
085	Densidade dos pelos ergueitos entre os nervios do envés	media	5
086	Densidade dos pelos tombados sobre os nervios do envés	baixa	3
087	Densidade dos pelos ergueitos sobre os nervios do envés	baixa	3
088	Peluxe dos nervios principais da face	ausentes	1
089	Peluxe ergueita dos nervios principais da face	ausentes	1
090	Densidade dos pelos tombados do pecíolo	media	5
091	Densidade dos pelos ergueitos do pecíolo	nula ou moi baixa	3
093	Lonxitude do pecíolo en relación ao nervio central	lixeramente máis curto	3
Inflorescencia			
151	Sexo da flor	hermafrodita	3
Acio			
202	Lonxitude	longa	7
204	Compacidade	media	5
206	Lonxitude do pedúnculo	curta	3
208	Forma	cónica	2
209	Número de ás do acio primario	1 ou 2	2
Bago			
220	Lonxitude	moi longa	9
221	Anchura	moi ancha	9
222	Uniformidade do tamaño	uniforme	2
223	Forma	elíptica curta	3
225	Cor da epiderme	verde amarela	1

Caracterización ampelométrica

Carácter ampelométrico	Valor máximo e mínimo (cm)	Valor medio (cm)
Lonxitude do nervio central (N1)	11,84-9,35	10,65
Lonxitude do nervio principal lateral superior (N2)	10,61-9,38	10,08
Lonxitude do nervio principal lateral inferior (N3)	7,74-6,91	7,32
Lonxitude do nervio secundario inferior (N4)	5,19-3,98	4,69
Lonxitude do nervio terciario inferior (N5)	2,98-1,92	2,40
Distancia do punto peciolar á intersección de N3-N4 (N6)	1,09-0,40	0,91
Distancia do punto peciolar ao seo superior (U)	5,13-3,57	4,57
Distancia do punto peciolar ao seo inferior (O)	5,27-3,87	4,70
Número de dentes entre o extremo N2 e o seu primeiro nervio secundario (ND)	8,00-5,00	6,60

Carácter ampelométrico	Valor máximo e mínimo (cm)	Valor medio (cm)
Distancia entre o extremo de N2 e o seu primeiro nervio secundario (PL)	6,02-4,88	5,32
Lonxitude do dente de N1 medido ao punto medio da base (L1)	0,55-0,36	0,47
Lonxitude do dente de N2 medido ao punto medio da base (L2)	1,27-0,68	0,93
Lonxitude do dente de N3 medido ao punto medio da base (L3)	1,20-0,86	1,01
Lonxitude do dente de N4 medido ao punto medio da base (L4)	0,88-0,65	0,75
Anchura do dente de N1 (A1)	1,42-0,76	1,08
Anchura do dente de N2 (A2)	1,48-0,90	1,08
Anchura do dente de N3 (A3)	2,59-0,97	1,50
Anchura do dente de N4 (A4)	1,12-0,89	1,02
Abertura do seo peciolar (SP)	2,93-0,00	2,13
Ancho da folla (AN)	16,31-12,92	15,46
Alto da folla (ALT)	17,22-11,18	15,09
Proxección da distancia entre os extremos N1 e N3 sobre o eixe da folla (L)	13,73-11,95	12,87
Distancia entre os extremos N2 do lado grande e do lado pequeno (IS)	12,80-8,11	10,96
Distancia entre os extremos N3 do lado grande e do lado pequeno (II)	15,77-14,30	14,74
Distancia entre os extremos de N1 e N2 (ENS)	7,09-4,48	6,13
Distancia entre os extremos de N2 e N3 (ENM)	8,87-8,00	8,41
Distancia entre os extremos de N3 e N4 (ENI)	6,21-4,81	5,42
Distancia do punto peciolar ao extremo de N4 (NL)	6,08-4,72	5,42
Distancia entre as bases dos seos superiores (DS1)	4,90-4,14	4,60
Distancia entre a base dos seos inferiores (DS2)	11,00-7,20	9,31
Distancia entre as bases do seo superior e inferior (DS)	4,88-3,13	4,00
Abertura do seo superior (SS)	0,00-0,00	0,00
Abertura do seo inferior (SI)	1,43-0,62	0,95

Carácter ampelométrico	Valor máximo e mínimo (graos)	Valor medio (graos)
Ángulo entre N1 e N2 (A)	61,79-45,00	53,38
Ángulo entre N2 e N3 (B)	52,05-46,55	48,93
Ángulo entre N3 e N4 (C)	57,53-45,02	50,61
Ángulo entre N4 e N5 (D)	61,80-39,04	45,38
Ángulo entre N3 e o bordo do seo peciolar (E)	73,94-43,69	60,79
Ángulo entre os extremos de N1 e o seu primeiro nervio secundario (F)	126,11-98,73	113,40
Ángulo entre os extremos N1 e N2 (AP)	147,57-110,58	132,17

Caracterización molecular

Microsatélites	VVS2	VVMD5	VVMD7	ssrVrZAG47	ssrVrZAG62	ssrVrZAG79	VVS29	VVS5
Pb	134	218	237	157	185	245	169	121
	150	230	247	157	203	245	177	121

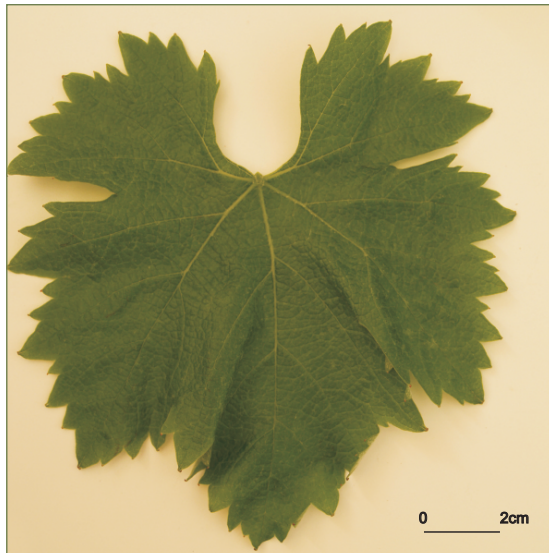
SUMIDADE



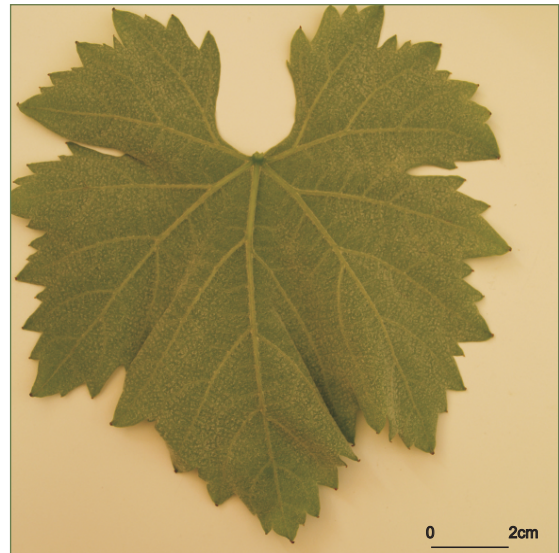
FOLLA NOVA: FACE, ENVÉS



FOLLA ADULTA: FACE



FOLLA ADULTA: ENVÉS



ACIO



BAGO



Referencias na colección da EVEGA:

F17P20P25, F18P02P28, F18P38P63, F19P02P16, F19P40-P48, F19P58P64, F20P02P13, F20P36P38, F35P13P19, F63P01P11.

Sinonimias

Ferrol, Espadeiro (na comarca do Condado) e Negrón (no norte da DO Ribeiro).

Antecedentes

García de los Salmones (1914) cítala no Carballiño e en Entrimo baixo a denominación de Negrón. O Catastro Vitícola de 1983 indica o seu cultivo na provincia de Ourense, na que ocupaba o 0,03% da superficie de viñado.

Situación actual

Considérase variedade autorizada na elaboración de viños na DO Ribeiro. O Rexistro Vitícola indica o seu cultivo na Coruña con 0,18 ha da superficie de viñado, en Ourense con 1,36 ha e en Pontevedra con 2,65 ha, e corresponden 1,72 ha á subzona da DO Rías Baixas Val do Salnés, 0,23 ha ao Condado do Tea e 0,07 ao Rosal.

Valoracións sobre o seu cultivo

Variedade de brotación e maduración media, é moderadamente sensible ao oídio, mildeu e botrite. Os viños caracterízanse por presentar tendencia a graduacións elevadas (valores arredor do 15%) e acidez media (valores medios de 6 g/L).

Descrición morfolóxica

Pámpano novo

O pámpano novo presenta a extremidade aberta con peluxe tombada de densidade media. A cara dorsal dos entrenós e nós é verde e vermella, mentres que a ventral é verde. As xemas non presentan pigmentación antociánica.

Folla nova

A folla nova é bronceada con peluxe tombada de densidade media.

Folla adulta

A folla adulta de cor verde media presenta tamaño medio e forma orbicular, con cinco lóbulos; peluda, con densidade alta de pelos tombados entre os nervios principais e media sobre estes, e sen pelos ergueitos entre e sobre os nervios principais; perfil alabeado; limbo con avultamento e inchazón de intensidade media; dentes con mestura de lados rectilíneos e lados convexos, de lonxitude media en relación á súa anchura; seo peciolar semiaberto, coa base en forma de U; seos laterais superiores abertos coa base en forma de V; pecíolo lixeiramente máis curto que o nervio principal.

Acio

O acio é cónico, de tamaño e compacidade media e con presenza de 1 ou 2 ás. O pedúnculo é de lonxitude curta.

Bago

O bago de cor azul negra presenta forma esférica.

Caracterización ampelográfica

Código OIV	Carácter OIV	Notación	Nivel de expresión
Pámpano novo			
001	Forma da extremidade	aberta	5
002	Distribución da pigmentación antociánica da extremidade	reberetada	1
003	Intensidade da pigmentación antociánica da extremidade	nula	1
004	Densidade dos pelos tombados da extremidade	media	5
005	Densidade dos pelos ergueitos da extremidade	nula ou moi baixa	1
006	Porte	semi-ergueito	3
007	Cor da cara dorsal dos entrenós	verde e vermella	2
008	Cor da cara ventral dos entrenós	verde	1
009	Cor da cara dorsal dos nós	verde e vermella	2
010	Cor da cara ventral dos nós	verde	1
011	Densidade dos pelos ergueitos dos nós	nula ou moi baixa	1
012	Densidade dos pelos ergueitos dos entrenós	nula ou moi baixa	1
015.1	Pigmentación antociánica das xemas	ausente	1
015.2	Intensidade da pigmentación antociánica das xemas	nula	1
0.16	Número de gabiáns consecutivos	dous	1
Folla nova			
051	Cor da face	bronceada	3
053	Densidade dos pelos tombados entre os nervios	media	5
056	Densidade dos pelos ergueitos dos nervios principais	nula ou moi baixa	1
Folla adulta			
065	Tamaño	medio	5
067	Forma do limbo	orbicular	4
068	Número de lóbulos	cinco	3
069	Cor da face	verde media	5
070	Pigmentación antociánica dos nervios principais da face do limbo	nula	1
071	Pigmentación antociánica dos nervios principais do envés do limbo	nula	1
072	Avultamento do limbo	media	5
073	Ondulación do limbo entre os nervios principais ou secundarios	presente	9
074	Perfil	alabeado	5
075	Inchazón da face	media	5
076	Forma dos dentes	mestura de lados rectilíneos e convexos	5
078	Lonxitude dos dentes en relación á súa anchura na base	medios	5
079	Solapamento do seo peciolar	semi-aberto	2
080	Forma da base do seo peciolar	en U	1
081.1	Dentes no seo peciolar	ausentes	1
081.2	Base do seo peciolar limitada pola nervadura	nun lado	2
082	Solapamento dos seos laterais superiores	aberto	1

Código OIV	Carácter OIV	Notación	Nivel de expresión
083.1	Forma da base dos seos laterais superiores	en V	3
083.2	Dentes nos seos laterais superiores	ausente	1
084	Densidade dos pelos tombados entre os nervios do envés	alta	7
085	Densidade dos pelos ergueitos entre os nervios do envés	nula ou moi baixa	1
086	Densidade dos pelos tombados sobre os nervios do envés	media	5
087	Densidade dos pelos ergueitos sobre os nervios do envés	nula ou moi baixa	1
088	Peluxe dos nervios principais da face	ausentes	1
089	Peluxe ergueita dos nervios principais da face	ausentes	1
090	Densidade dos pelos tombados do pecíolo	nula ou moi baixa	1
091	Densidade dos pelos ergueitos do pecíolo	nula ou moi baixa	1
093	Lonxitude do pecíolo en relación ao nervio central	lixeramente máis curto	3
Inflorescencia			
151	Sexo da flor	hermafrodita	3
Acio			
202	Lonxitude	media	5
204	Compacidade	media	5
206	Lonxitude do pedúnculo	curta	3
208	Forma	cónica	2
209	Número de ás do acio primario	1 ou 2	2
Bago			
220	Lonxitude	longa	7
221	Anchura	ancha	7
222	Uniformidade do tamaño	uniforme	2
223	Forma	esférica	2
225	Cor da epiderme	azul negra	6

Caracterización ampelométrica

Carácter ampelométrico	Valor máximo e mínimo (cm)	Valor medio (cm)
Lonxitude do nervio central (N1)	16,41-11,74	13,02
Lonxitude do nervio principal lateral superior (N2)	13,16-10,74	11,79
Lonxitude do nervio principal lateral inferior (N3)	9,86-7,66	8,79
Lonxitude do nervio secundario inferior (N4)	6,47-5,01	5,77
Lonxitude do nervio terciario inferior (N5)	3,48-1,90	2,71
Distancia do punto peciolar á intersección de N3-N4 (N6)	1,54-0,85	1,28
Distancia do punto peciolar ao seo superior (U)	10,95-7,65	9,18
Distancia do punto peciolar ao seo inferior (O)	8,56-6,72	7,65
Número de dentes entre o extremo N2 e o seu primeiro nervio secundario (ND)	5-3,50	4,60

Carácter apalométrico	Valor máximo e mínimo (cm)	Valor medio (cm)
Distancia entre o extremo de N2 e o seu primeiro nervio secundario (PL)	7,82-4,67	6,22
Lonxitude do dente de N1 medido ao punto medio da base (L1)	0,78-0,46	0,61
Lonxitude do dente de N2 medido ao punto medio da base (L2)	0,75-0,41	0,58
Lonxitude do dente de N3 medido ao punto medio da base (L3)	0,99-0,53	0,73
Lonxitude do dente de N4 medido ao punto medio da base (L4)	1,01-0,63	0,83
Anchura do dente de N1 (A1)	1,93-1,07	1,52
Anchura do dente de N2 (A2)	2,00-1,39	1,69
Anchura do dente de N3 (A3)	1,84-1,08	1,55
Anchura do dente de N4 (A4)	1,76-1,14	1,39
Abertura do seo peciolar (SP)	2,03-0,26	1,18
Ancho da folla (AN)	21,54-16,36	19,36
Alto da folla (ALT)	21,18-16,83	18,95
Proxección da distancia entre os extremos N1 e N3 sobre o eixe da folla (L)	19,60-14,83	17,16
Distancia entre os extremos N2 do lado grande e do lado pequeno (IS)	19,67-12,11	16,24
Distancia entre os extremos N3 do lado grande e do lado pequeno (II)	18,70-12,00	15,42
Distancia entre os extremos de N1 e N2 (ENS)	12,75-7,55	10,28
Distancia entre os extremos de N2 e N3 (ENM)	11,74-7,71	9,26
Distancia entre os extremos de N3 e N4 (ENI)	7,51-4,73	6,45
Distancia do punto peciolar ao extremo de N4 (NL)	7,53-5,70	6,62
Distancia entre as bases dos seus superiores (DS1)	12,96-8,93	10,78
Distancia entre a base dos seus inferiores (DS2)	16,97-13,23	14,65
Distancia entre as bases do seo superior e inferior (DS)	10,44-6,76	8,46
Abertura do seo superior (SS)	1,31-0,00	0,73
Abertura do seo inferior (SI)	1,58-0,72	1,06

Carácter apalométrico	Valor máximo e mínimo (graos)	Valor medio (graos)
Ángulo entre N1 e N2 (A)	64,71-50,94	59,15
Ángulo entre N2 e N3 (B)	64,32-45,93	53,29
Ángulo entre N3 e N4 (C)	68,10-40,02	55,81
Ángulo entre N4 e N5 (D)	71,28-30,35	46,92
Ángulo entre N3 e o bordo do seo peciolar (E)	82,87-51,09	65,10
Ángulo entre os extremos de N1 e o seu primeiro nervio secundario (F)	130,92-110,76	121,54
Ángulo entre os extremos N1 e N2 (AP)	128,54-109,77	118,41

Caracterización molecular

Microsatélites	VVS2	VVMD5	VVMD7	ssrVrZAG47	ssrVrZAG62	ssrVrZAG79	VVS29	VVS5
Pb	130	232	237	165	193	249	177	109
	154	236	247	165	199	249	179	113

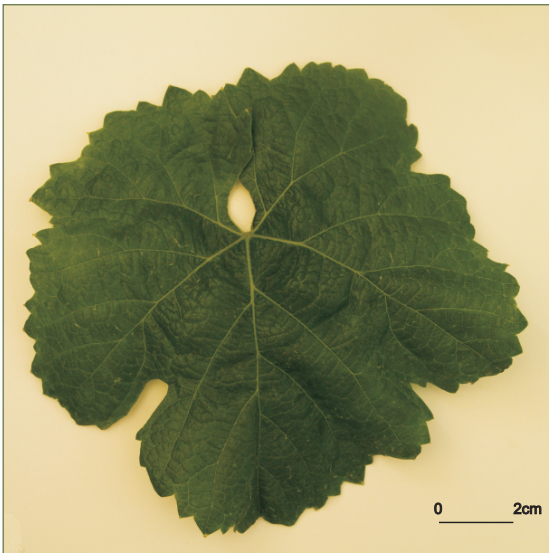
SUMIDADE



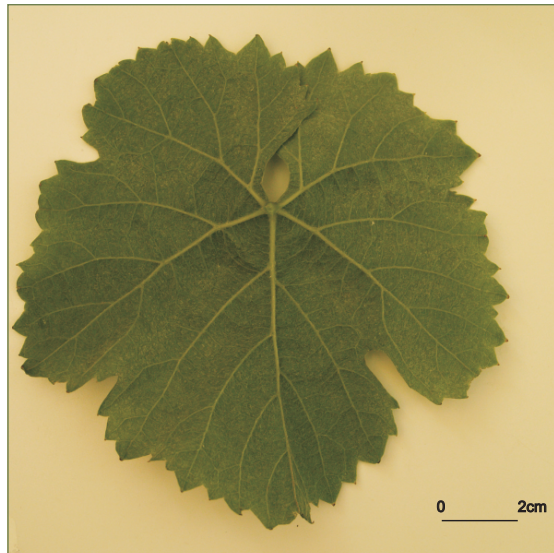
FOLLA NOVA: FACE, ENVÉS



FOLLA ADULTA: FACE



FOLLA ADULTA: ENVÉS

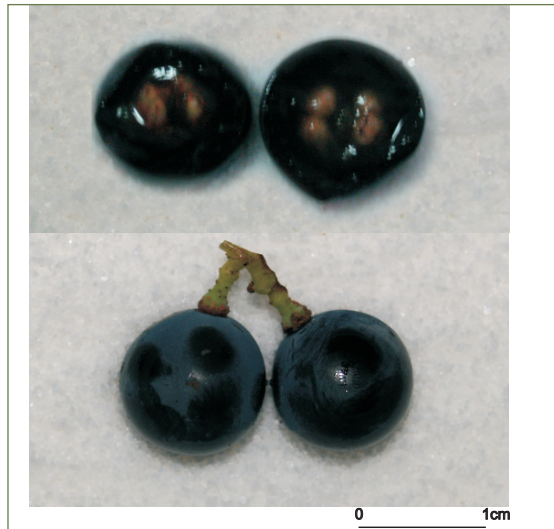


152

ACIO



BAGO



garnacha

Referencias na colección da EVEGA:
F57P11P16, F57P18P23.

Sinonimias

Garnacha Roja, Garnacha Roya.

Antecedentes

García de los Salmenes (1914) cítaa como presente na provincia de Lugo e nas localidades de Carballiño e Viana do Bolo en Ourense.

Situación actual

Non é citada no Rexistro Vitícola da Comunidade Autónoma, e tampouco aparece como variedade autorizada nos regulamentos das denominacións de orixe para a elaboración de viños.

Descrición morfolóxica

Pámpano novo

O pámpano novo presenta a extremidade aberta con peluxe tombada de densidade baixa e sen pigmentación. A cara dorsal e ventral dos entrenós e nós é verde. As xemas non presentan pigmentación antociánica.

Folla nova

A folla nova é verde con escasa peluxe tombada.

Folla adulta

A folla adulta de cor verde media presenta tamaño medio e forma pentagonal, con cinco lóbulos; glabra; perfil alabeado; dentes con lados rectilíneos, de lonxitude curta en relación á súa anchura; seo peciolar con lóbulos pouco abertos e coa base en forma de chave; seos laterais superiores con lóbulos lixeiramente superpostos coa base en forma de chave; pecíolo lixeiramente máis curto que o nervio principal.

Acio

O acio é cónico, de lonxitude, anchura e compacidade media e con presenza de 1 ou 2 ás. O pedúnculo é de lonxitude curta.

Bago

O bago de cor vermella violeta escura presenta forma elíptica curta.

Caracterización ampelográfica

Código OIV	Carácter OIV	Notación	Nivel de expresión
Pámpano novo			
001	Forma da extremidade	aberta	5
002	Distribución da pigmentación antociánica da extremidade	ausente	1
003	Intensidade da pigmentación antociánica da extremidade	nula	1
004	Densidade dos pelos tombados da extremidade	baixa	3
005	Densidade dos pelos ergueitos da extremidade	nula ou moi baixa	1
006	Porte	semi-ergueito	3
007	Cor da cara dorsal dos entrenós	verde	1
008	Cor da cara ventral dos entrenós	verde	1
009	Cor da cara dorsal dos nós	verde	1
010	Cor da cara ventral dos nós	verde	1
011	Densidade dos pelos ergueitos dos nós	nula ou moi baixa	1
012	Densidade dos pelos ergueitos dos entrenós	nula ou moi baixa	1
015.1	Pigmentación antociánica das xemas	ausente	1
015.2	Intensidade da pigmentación antociánica das xemas	nula ou moi débil	1
0.16	Número de gabiáns consecutivos	dous	1
Folla nova			
051	Cor da face	verde	1
053	Densidade dos pelos tombados entre os nervios	nula ou moi baixa	1
056	Densidade dos pelos ergueitos dos nervios principais	nula ou moi baixa	1
Folla adulta			
065	Tamaño	medio	5
067	Forma do limbo	pentagonal	3
068	Número de lóbulos	cinco	3
069	Cor da face	verde media	5
070	Pigmentación antociánica dos nervios principais da face do limbo	nula	1
071	Pigmentación antociánica dos nervios principais do envés do limbo	nula	1
072	Avultamento do limbo	ausente	1
073	Ondulación do limbo entre os nervios principais ou secundarios	presente	9
074	Perfil	alabeado	5
075	Inchazón da face	nula ou moi débil	1
076	Forma dos dentes	rectilíneos	2
078	Lonxitude dos dentes en relación á súa anchura na base	curta	3
079	Solapamento do seo peciolar	pouco aberto	3
080	Forma da base do seo peciolar	en chave	2
081.1	Dentes no seo peciolar	ausentes	1
081.2	Base do seo peciolar limitada pola nervadura	non delimitada	1
082	Solapamento dos seos laterais superiores	lóbulos lixeiramente superpostos	3

Código OIV	Carácter OIV	Notación	Nivel de expresión
083.1	Forma da base dos seus laterais superiores	en chave	2
083.2	Dentes nos seus laterais superiores	ausente	1
084	Densidade dos pelos tombados entre os nervios do envés	nula ou moi baixa	1
085	Densidade dos pelos ergueitos entre os nervios do envés	nula ou moi baixa	1
086	Densidade dos pelos tombados sobre os nervios do envés	nula ou moi baixa	5
087	Densidade dos pelos ergueitos sobre os nervios do envés	nula ou moi baixa	1
088	Peluxe dos nervios principais da face	ausentes	1
089	Peluxe ergueita dos nervios principais da face	ausentes	1
090	Densidade dos pelos tombados do pecíolo	nula ou moi baixa	1
091	Densidade dos pelos ergueitos do pecíolo	nula ou moi baixa	1
093	Lonxitude do pecíolo en relación ao nervio central	lixeramente máis curto	3
Inflorescencia			
151	Sexo da flor	hermafrodita	3
Acio			
202	Lonxitude	media	5
204	Compacidade	media	5
206	Lonxitude do pedúnculo	curta	3
208	Forma	cónica	2
209	Número de ás do acio primario	1 ou 2	2
Bago			
220	Lonxitude	longa	7
221	Anchura	ancha	7
222	Uniformidade do tamaño	uniforme	2
223	Forma	elíptica curta	3
225	Cor da epiderme	vermella violeta escura	5

Caracterización ampelométrica

Carácter ampelométrico	Valor máximo e mínimo (cm)	Valor medio (cm)
Lonxitude do nervio central (N1)	12,40-10,97	11,44
Lonxitude do nervio principal lateral superior (N2)	9,99-9,32	9,67
Lonxitude do nervio principal lateral inferior (N3)	7,45-5,86	6,76
Lonxitude do nervio secundario inferior (N4)	4,56-3,91	4,26
Lonxitude do nervio terciario inferior (N5)	2,73-2,18	2,39
Distancia do punto peciolar á intersección de N3-N4 (N6)	1,28-0,60	0,92
Distancia do punto peciolar ao seo superior (U)	7,18-4,71	5,65
Distancia do punto peciolar ao seo inferior (O)	5,60-3,83	4,69
Número de dentes entre o extremo N2 e o seu primeiro nervio secundario (ND)	11,00-6,00	8,80

Carácter ampelométrico	Valor máximo e mínimo (cm)	Valor medio (cm)
Distancia entre o extremo de N2 e o seu primeiro nervio secundario (PL)	6,13-5,69	5,90
Lonxitude do dente de N1 medido ao punto medio da base (L1)	0,83-0,52	0,67
Lonxitude do dente de N2 medido ao punto medio da base (L2)	0,81-0,72	0,78
Lonxitude do dente de N3 medido ao punto medio da base (L3)	0,80-0,54	0,70
Lonxitude do dente de N4 medido ao punto medio da base (L4)	0,73-0,57	0,66
Anchura do dente de N1 (A1)	1,27-0,82	0,98
Anchura do dente de N2 (A2)	1,32-1,08	1,19
Anchura do dente de N3 (A3)	1,53-0,75	1,07
Anchura do dente de N4 (A4)	1,16-0,97	1,05
Abertura do seo peciolar (SP)	1,88-0,00	0,85
Ancho da folla (AN)	16,60-14,92	15,73
Alto da folla (ALT)	16,63-15,34	16,07
Proxección da distancia entre os extremos N1 e N3 sobre o eixe da folla (L)	15,44-12,65	14,04
Distancia entre os extremos N2 do lado grande e do lado pequeno (IS)	14,16-10,77	13,03
Distancia entre os extremos N3 do lado grande e do lado pequeno (II)	15,37-12,39	13,90
Distancia entre os extremos de N1 e N2 (ENS)	10,27-5,49	8,20
Distancia entre os extremos de N2 e N3 (ENM)	8,31-6,98	7,70
Distancia entre os extremos de N3 e N4 (ENI)	6,23-4,04	5,49
Distancia do punto peciolar ao extremo de N4 (NL)	5,25-4,43	4,88
Distancia entre as bases dos seos superiores (DS1)	7,62-5,04	6,22
Distancia entre a base dos seos inferiores (DS2)	12,30-8,91	10,91
Distancia entre as bases do seo superior e inferior (DS)	6,16-4,52	5,31
Abertura do seo superior (SS)	0,13-0,00	0,02
Abertura do seo inferior (SI)	0,15-0,00	0,03

Carácter ampelométrico	Valor máximo e mínimo (graos)	Valor medio (graos)
Ángulo entre N1 e N2 (A)	63,91-49,71	55,92
Ángulo entre N2 e N3 (B)	53,50-39,24	47,09
Ángulo entre N3 e N4 (C)	58,86-54,75	56,66
Ángulo entre N4 e N5 (D)	53,50-31,32	44,64
Ángulo entre N3 e o bordo do seo peciolar (E)	78,75-64,26	71,95
Ángulo entre os extremos de N1 e o seu primeiro nervio secundario (F)	106,38-95,91	99,91
Ángulo entre os extremos N1 e N2 (AP)	121,82-107,17	114,19

Caracterización molecular

Microsatélites	VVS2	VVMD5	VVMD7	ssrVrZAG47	ssrVrZAG62	ssrVrZAG79	VVS29	VVS5
Pb	134	222	171	187	255	169	169	85
	142	236	241	171	187	255	169	117

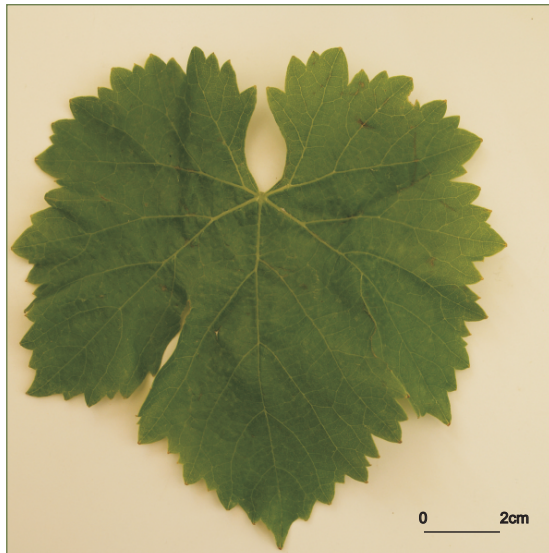
SUMIDADE



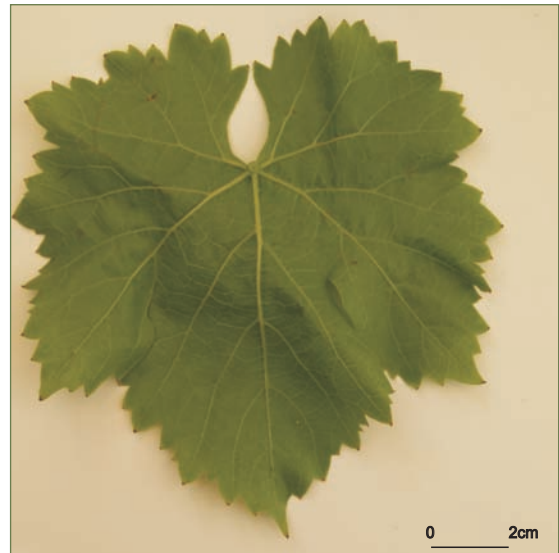
FOLLA NOVA: FACE, ENVÉS



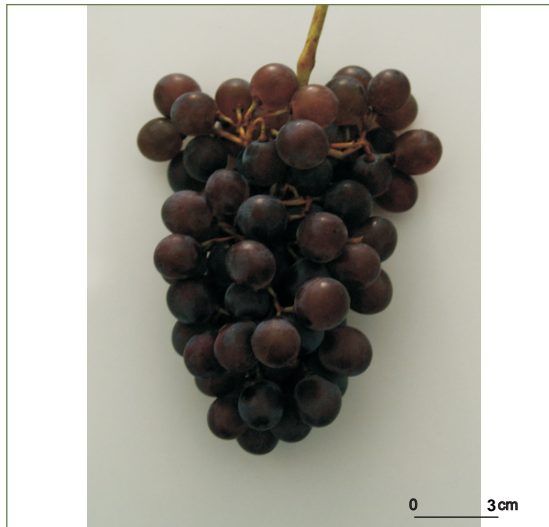
FOLLA ADULTA: FACE



FOLLA ADULTA: ENVÉS



ACIO



BAGO



garnacha tintureira

Referencias na colección da EVEGA:
F12P58P61.

Sinonimias

Alicante, Tintilla, Garnacha Común.

Antecedentes

Variedade moi estendida despois da filoxera nas terrazas do Sil e Miño e na comarca do Ribeiro en Ourense (Huetz de Lempis, 1967). García de los Salmones (1914) cítala na provincia da Coruña, Lugo e Ourense. No Catastro Vitícola de 1983 consta como cultivada nas provincias da Coruña, onde ocupaba o 8,56% da superficie de viñado; en Lugo, o 8,44%; en Pontevedra, o 12,06%; e en Ourense, o 50,29%.

Situación actual

É recoñecida como autorizada nas DD.OO. Ribeiro, Ribeira Sacra e Valdeorras; e como secundaria na indicación xeográfica Viño da Terra Val do Miño. A superficie de cultivo representa o 18,97% da superficie total de viñado da comunidade, e corresponden 36,39 ha á provincia da Coruña, 559,94 ha a Lugo, 4.518,22 ha a Ourense e 722,16 ha á provincia de Pontevedra.

Valoracións sobre o seu cultivo

Variedade de brotación precoz e maduración media, é pouco sensible ao oídio e á botrite, e moi sensible ao mildeu. Posúe baixo potencial enolóxico na nosa rexión, é utilizada fundamentalmente en viños plurivarietais para achegar a outras variedades acidez e cor.

Descrición morfolóxica

Pámpano novo

O pámpano novo presenta a extremidade aberta con peluxe tombada de densidade baixa e pigmentación reberetada de intensidade media. A cara dorsal dos entrenós e nós é vermella, mentres a cara ventral do entrenó é verde e vermella, e a do nó, verde. As xemas presentan pigmentación antociánica que afecta gran parte da bráctea e de intensidade débil.

Folla nova

A folla nova é cobreada-avermellada con peluxe tombada de densidade media.

Folla adulta

A folla adulta de cor verde media presenta tamaño pequeno e forma pentagonal, con cinco lóbulos; peluda, con densidade baixa de pelos tombados entre os nervios principais do envés do limbo; perfil con bordos cara ao envés; limbo con avultamento débil; presenza de pigmentación antociánica sobre os nervios principais do envés do limbo que supera a segunda bifurcación; dentes con lados rectilíneos, de lonxitude curta en relación á súa anchura; seo peciolar con lóbulos lixeiramente superpostos e coa base en forma de V; seos laterais superiores abertos coa base en forma de V; pecíolo lixeiramente máis curto que o nervio principal.

Acio

O acio é cónico, de lonxitude, anchura e compacidade media e con presenza de 1 ou 2 ás. O pedúnculo é de lonxitude curta.

Bago

O bago de cor azul negra presenta forma esférica.

Caracterización ampelográfica

Código OIV	Carácter OIV	Notación	Nivel de expresión
Pámpano novo			
001	Forma da extremidade	aberta	5
002	Distribución da pigmentación antociánica da extremidade	reberetada	2
003	Intensidade da pigmentación antociánica da extremidade	media	5
004	Densidade dos pelos tombados da extremidade	baixa	3
005	Densidade dos pelos ergueitos da extremidade	nula ou moi baixa	1
006	Porte	semi-ergueito	3
007	Cor da cara dorsal dos entrenós	vermella	3
008	Cor da cara ventral dos entrenós	verde e vermella	2
009	Cor da cara dorsal dos nós	vermella	3
010	Cor da cara ventral dos nós	verde	1
011	Densidade dos pelos ergueitos dos nós	nula ou moi baixa	1
012	Densidade dos pelos ergueitos dos entrenós	nula ou moi baixa	1
015.1	Pigmentación antociánica das xemas	ata $\frac{3}{4}$ da bráctea	3
015.2	Intensidade da pigmentación antociánica das xemas	débil	3
0.16	Número de gabiáns consecutivos	dous	1
Folla nova			
051	Cor da face	cobreada-avermellada	4
053	Densidade dos pelos tombados entre os nervios	media	5
056	Densidade dos pelos ergueitos dos nervios principais	nula ou moi baixa	1
Folla adulta			
065	Tamaño	pequeno	3
067	Forma do limbo	pentagonal	3
068	Número de lóbulos	cinco	3
069	Cor da face	verde media	5
070	Pigmentación antociánica dos nervios principais da face do limbo	por encima da segunda bifurcación	5
071	Pigmentación antociánica dos nervios principais do envés do limbo	por encima da segunda bifurcación	5
072	Avultamento do limbo	débil	3
073	Ondulación do limbo entre os nervios principais ou secundarios	presente	9
074	Perfil	bordos cara ao envés	4
075	Inchazón da face	nula ou moi débil	1
076	Forma dos dentes	rectilíneos	2
078	Lonxitude dos dentes en relación á súa anchura na base	pequenos	3
079	Solapamento do seo peciolar	lixeramente superpostos	4
080	Forma da base do seo peciolar	en V	3
081.1	Dentes no seo peciolar	ausentes	1
081.2	Base do seo peciolar limitada pola nervadura	non delimitada	1

Código OIV	Carácter OIV	Notación	Nivel de expresión
082	Solapamento dos seos laterais superiores	aberto	1
083.1	Forma da base dos seos laterais superiores	en V	3
083.2	Dentes nos seos laterais superiores	ausente	1
084	Densidade dos pelos tombados entre os nervios do envés	baixa	3
085	Densidade dos pelos ergueitos entre os nervios do envés	nula ou moi baixa	1
086	Densidade dos pelos tombados sobre os nervios do envés	nula ou moi baixa	1
087	Densidade dos pelos ergueitos sobre os nervios do envés	nula ou moi baixa	1
088	Peluxe dos nervios principais da face	ausentes	1
089	Peluxe ergueita dos nervios principais da face	ausentes	1
090	Densidade dos pelos tombados do pecíolo	nula ou moi baixa	1
091	Densidade dos pelos ergueitos do pecíolo	nula ou moi baixa	1
093	Lonxitude do pecíolo en relación ao nervio central	lixeramente máis curto	3
Inflorescencia			
151	Sexo da flor	hermafrodita	3
Acio			
202	Lonxitude	media	5
204	Compacidade	media	5
206	Lonxitude do pedúnculo	curta	3
208	Forma	cónica	2
209	Número de ás do acio primario	1 ou 2	2
Bago			
220	Lonxitude	moi longa	9
221	Anchura	moi ancha	9
222	Uniformidade do tamaño	uniforme	2
223	Forma	esférica	2
225	Cor da epiderme	azul-negra	6

Caracterización ampelométrica

Carácter ampelométrico	Valor máximo e mínimo (cm)	Valor medio (cm)
Lonxitude do nervio central (N1)	10,94-9,73	10,35
Lonxitude do nervio principal lateral superior (N2)	10,60-9,20	9,75
Lonxitude do nervio principal lateral inferior (N3)	8,79-6,85	7,49
Lonxitude do nervio secundario inferior (N4)	5,57-4,50	4,99
Lonxitude do nervio terciario inferior (N5)	2,56-2,20	2,31
Distancia do punto peciolar á intersección de N3-N4 (N6)	1,06-0,73	0,90
Distancia do punto peciolar ao seo superior (U)	7,57-6,03	6,92
Distancia do punto peciolar ao seo inferior (O)	7,61-5,90	6,61
Número de dentes entre o extremo N2 e o seu primeiro nervio secundario (ND)	7,00-4,00	5,75

Carácter apelmométrico	Valor máximo e mínimo (cm)	Valor medio (cm)
Distancia entre o extremo de N2 e o seu primeiro nervio secundario (PL)	4,75-3,99	4,52
Lonxitude do dente de N1 medido ao punto medio da base (L1)	0,60-0,30	0,45
Lonxitude do dente de N2 medido ao punto medio da base (L2)	0,78-0,51	0,58
Lonxitude do dente de N3 medido ao punto medio da base (L3)	0,80-0,55	0,68
Lonxitude do dente de N4 medido ao punto medio da base (L4)	0,59-0,48	0,53
Anchura do dente de N1 (A1)	1,61-0,67	1,20
Anchura do dente de N2 (A2)	1,54-0,89	1,12
Anchura do dente de N3 (A3)	1,48-1,11	1,31
Anchura do dente de N4 (A4)	1,31-0,89	1,10
Abertura do seo peciolar (SP)	1,98-0,00	0,64
Ancho da folla (AN)	17,36-15,42	16,21
Alto da folla (ALT)	16,13-15,10	15,66
Proxección da distancia entre os extremos N1 e N3 sobre o eixe da folla (L)	15,76-12,38	14,31
Distancia entre os extremos N2 do lado grande e do lado pequeno (IS)	15,58-13,57	14,38
Distancia entre os extremos N3 do lado grande e do lado pequeno (II)	15,40-13,26	14,52
Distancia entre os extremos de N1 e N2 (ENS)	10,84-6,37	9,12
Distancia entre os extremos de N2 e N3 (ENM)	8,39-7,09	7,63
Distancia entre os extremos de N3 e N4 (ENI)	6,79-5,08	6,13
Distancia do punto peciolar ao extremo de N4 (NL)	6,43-5,29	5,74
Distancia entre as bases dos seus superiores (DS1)	8,41-6,82	7,77
Distancia entre a base dos seus inferiores (DS2)	13,96-12,10	12,92
Distancia entre as bases do seo superior e inferior (DS)	6,61-6,22	6,44
Abertura do seo superior (SS)	0,52-0,34	0,42
Abertura do seo inferior (SI)	1,13-0,56	0,88

Carácter apelmométrico	Valor máximo e mínimo (graos)	Valor medio (graos)
Ángulo entre N1 e N2 (A)	64,30-53,92	59,33
Ángulo entre N2 e N3 (B)	58,87-52,78	55,77
Ángulo entre N3 e N4 (C)	55,45-47,57	52,04
Ángulo entre N4 e N5 (D)	49,42-39,72	44,03
Ángulo entre N3 e o bordo do seo peciolar (E)	65,67-50,25	54,86
Ángulo entre os extremos de N1 e o seu primeiro nervio secundario (F)	119,26-103,51	114,20
Ángulo entre os extremos N1 e N2 (AP)	130,20-112,38	119,36

Caracterización molecular

Microsatélites	VVS2	VVMD5	VVMD7	ssrVrZAG47	ssrVrZAG62	ssrVrZAG79	VVS29	VVS5
Pb	130	222	237	157	187	241	169	85
	142	234	241	171	187	255	177	85

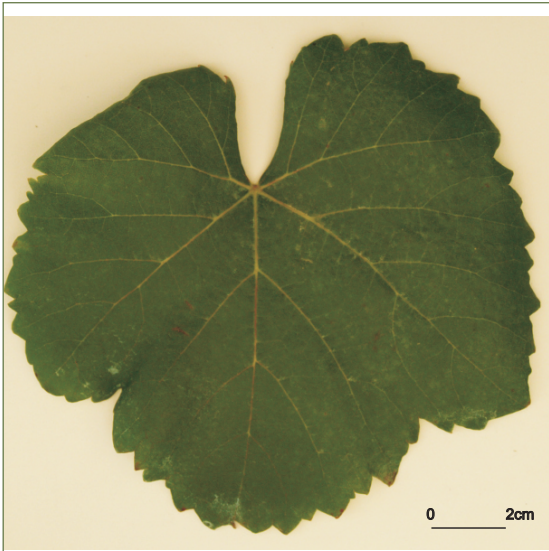
SUMIDADE



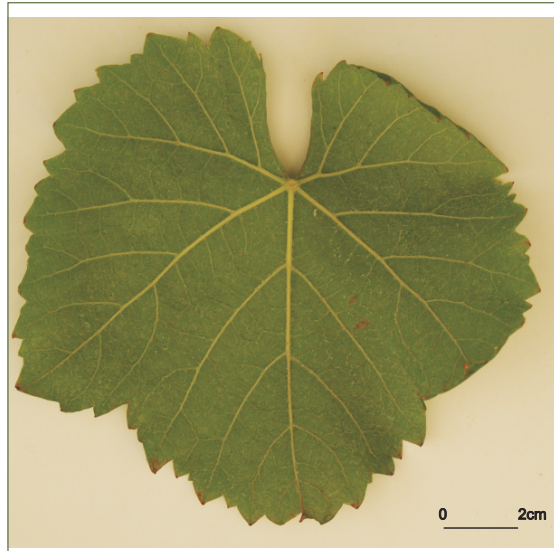
FOLLA NOVA: FACE, ENVÉS



FOLLA ADULTA: FACE

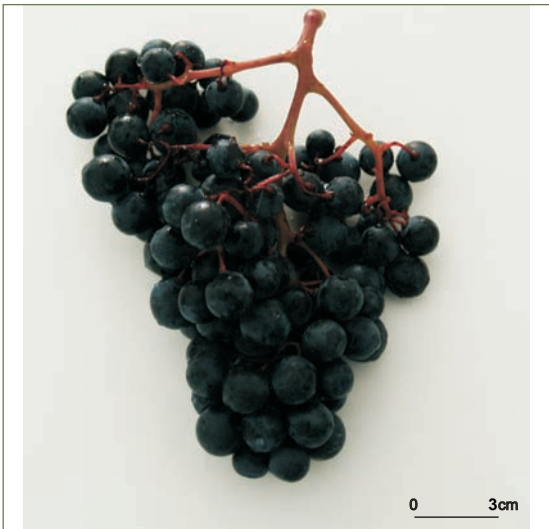


FOLLA ADULTA: ENVÉS

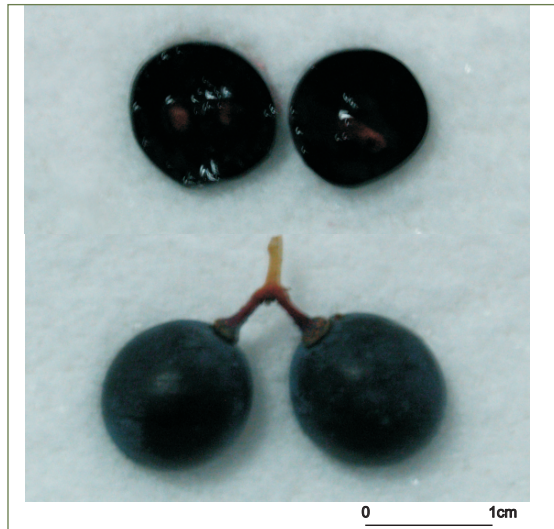


162

ACIO



BAGO



Referencias na colección da EVEGA: F55P02P12.

A denominación dada a este xenotipo correspóndese coa mencionada por Ibáñez *et al.*, 2003, presente na Colección de El Encín onde consta coa procedencia de Huesca.

Descrición morfolóxica

Pámpano novo

O pámpano novo presenta a extremidade aberta con peluxe tombada de densidade baixa e pigmentación reberetada de intensidade media. A cara dorsal dos entrenós e nós é verde e vermella, mentres que a ventral é verde. As xemas presentan pigmentación antociánica basal de intensidade media.

Folla nova

A folla nova é bronceada con peluxe tombada de densidade baixa.

Folla adulta

A folla adulta de cor verde media presenta tamaño grande e forma pentagonal, con cinco lóbulos; peluda, con densidade baixa de pelos tombados entre os nervios principais do envés do limbo; perfil alabeado; limbo con avultamento e inchazón débil; dentes con mestura de lados rectilíneos e convexos, de lonxitude media en relación á súa anchura; seo peciolar con lóbulos pouco abertos e coa base en forma de chave; seos laterais superiores abertos coa base en forma de U; pecíolo lixeiramente máis curto que o nervio principal.

Acio

O acio é cónico, moi longo, moi ancho, de compacidade media e con presenza de 3 ou 4 ás. O pedúnculo é de lonxitude moi longa.

Bago

O bago de cor verde amarela presenta forma esférica.

Caracterización ampelográfica

Código OIV	Carácter OIV	Notación	Nivel de expresión
Pámpano novo			
001	Forma da extremidade	aberta	5
002	Distribución da pigmentación antociánica da extremidade	reberetada	2
003	Intensidade da pigmentación antociánica da extremidade	media	5
004	Densidade dos pelos tombados da extremidade	baixa	3
005	Densidade dos pelos ergueitos da extremidade	nula ou moi baixa	1
006	Porte	semi-ergueito	3
007	Cor da cara dorsal dos entrenós	verde e vermella	2
008	Cor da cara ventral dos entrenós	verde	1
009	Cor da cara dorsal dos nós	verde e vermella	2
010	Cor da cara ventral dos nós	verde	1
011	Densidade dos pelos ergueitos dos nós	nula ou moi baixa	1
012	Densidade dos pelos ergueitos dos entrenós	nula ou moi baixa	1
015.1	Pigmentación antociánica das xemas	na base	2
015.2	Intensidade da pigmentación antociánica das xemas	media	5
0.16	Número de gabiáns consecutivos	dous	1
Folla nova			
051	Cor da face	bronceada	3
053	Densidade dos pelos tombados entre os nervios	baixa	3
056	Densidade dos pelos ergueitos dos nervios principais	nula ou moi baixa	1
Folla adulta			
065	Tamaño	grande	7
067	Forma do limbo	pentagonal	3
068	Número de lóbulos	cinco	3
069	Cor da face	verde media	5
070	Pigmentación antociánica dos nervios principais da face do limbo	nula	1
071	Pigmentación antociánica dos nervios principais do envés do limbo	punto peciolar	2
072	Avultamento do limbo	débil	3
073	Ondulación do limbo entre os nervios principais ou secundarios	ausente	1
074	Perfil	alabeado	5
075	Inchazón da face	débil	3
076	Forma dos dentes	mestura de lados rectilíneos e convexos	5
078	Lonxitude dos dentes en relación á súa anchura na base	media	5
079	Solapamento do seo peciolar	pouco aberto	3
080	Forma da base do seo peciolar	en chave	2
081.1	Dentes no seo peciolar	ausentes	1
081.2	Base do seo peciolar limitada pola nervadura	non delimitada	1
082	Solapamento dos seos laterais superiores	aberto	1

Código OIV	Carácter OIV	Notación	Nivel de expresión
083.1	Forma da base dos seus laterais superiores	en U	1
083.2	Dentes nos seus laterais superiores	ausente	1
084	Densidade dos pelos tombados entre os nervios do envés	baixa	3
085	Densidade dos pelos ergueitos entre os nervios do envés	nula ou moi baixa	1
086	Densidade dos pelos tombados sobre os nervios do envés	nula ou moi baixa	1
087	Densidade dos pelos ergueitos sobre os nervios do envés	nula ou moi baixa	1
088	Peluxe dos nervios principais da face	ausentes	1
089	Peluxe ergueita dos nervios principais da face	ausentes	1
090	Densidade dos pelos tombados do pecíolo	nula ou moi baixa	1
091	Densidade dos pelos ergueitos do pecíolo	nula ou moi baixa	1
093	Lonxitude do pecíolo en relación ao nervio central	lixeramente máis curto	3
Inflorescencia			
151	Sexo da flor	hermafrodita	3
Acio			
202	Lonxitude	moi longa	9
204	Compacidade	media	5
206	Lonxitude do pedúnculo	moi longa	9
208	Forma	cónica	2
209	Número de ás do acio primario	3 ou 4	3
Bago			
220	Lonxitude	moi longa	9
221	Anchura	moi ancha	9
222	Uniformidade do tamaño	uniforme	2
223	Forma	esférica	2
225	Cor da epiderme	verde amarela	1

Caracterización ampelométrica

Carácter ampelométrico	Valor máximo e mínimo (cm)	Valor medio (cm)
Lonxitude do nervio central (N1)	14,32-13,15	13,72
Lonxitude do nervio principal lateral superior (N2)	12,59-11,72	12,03
Lonxitude do nervio principal lateral inferior (N3)	9,00-7,66	8,48
Lonxitude do nervio secundario inferior (N4)	5,57-4,98	5,22
Lonxitude do nervio terciario inferior (N5)	2,92-2,17	2,48
Distancia do punto peciolar á intersección de N3-N4 (N6)	1,81-1,13	1,42
Distancia do punto peciolar ao seo superior (U)	6,33-4,43	5,30
Distancia do punto peciolar ao seo inferior (O)	7,01-5,01	5,76
Número de dentes entre o extremo N2 e o seu primeiro nervio secundario (ND)	7,00-5,00	6,00

Carácter ampelométrico	Valor máximo e mínimo (cm)	Valor medio (cm)
Distancia entre o extremo de N2 e o seu primeiro nervio secundario (PL)	6,96-6,04	6,54
Lonxitude do dente de N1 medido ao punto medio da base (L1)	1,53-0,88	1,25
Lonxitude do dente de N2 medido ao punto medio da base (L2)	1,48-1,06	1,25
Lonxitude do dente de N3 medido ao punto medio da base (L3)	1,50-0,68	1,14
Lonxitude do dente de N4 medido ao punto medio da base (L4)	1,30-0,78	0,97
Anchura do dente de N1 (A1)	2,21-1,40	1,82
Anchura do dente de N2 (A2)	1,85-0,89	1,55
Anchura do dente de N3 (A3)	2,15-1,38	1,79
Anchura do dente de N4 (A4)	1,49-1,09	1,28
Abertura do seo peciolar (SP)	2,97-1,11	1,83
Ancho da folla (AN)	20,00-18,88	19,51
Alto da folla (ALT)	19,93-18,56	19,35
Proxección da distancia entre os extremos N1 e N3 sobre o eixe da folla (L)	18,02-16,87	17,43
Distancia entre os extremos N2 do lado grande e do lado pequeno (IS)	17,72-15,02	16,55
Distancia entre os extremos N3 do lado grande e do lado pequeno (II)	19,47-14,66	16,96
Distancia entre os extremos de N1 e N2 (ENS)	10,83-6,27	9,38
Distancia entre os extremos de N2 e N3 (ENM)	11,49-9,71	10,63
Distancia entre os extremos de N3 e N4 (ENI)	7,00-5,53	6,16
Distancia do punto peciolar ao extremo de N4 (NL)	6,48-5,85	6,28
Distancia entre as bases dos seos superiores (DS1)	6,88-4,62	5,60
Distancia entre a base dos seos inferiores (DS2)	14,18-9,96	11,49
Distancia entre as bases do seo superior e inferior (DS)	7,70-4,76	5,73
Abertura do seo superior (SS)	0,70-0,00	0,14
Abertura do seo inferior (SI)	1,26-0,64	1,00

Carácter ampelométrico	Valor máximo e mínimo (graos)	Valor medio (graos)
Ángulo entre N1 e N2 (A)	62,21-51,31	56,35
Ángulo entre N2 e N3 (B)	58,81-44,03	50,63
Ángulo entre N3 e N4 (C)	54,39-48,07	50,47
Ángulo entre N4 e N5 (D)	48,10-24,79	38,70
Ángulo entre N3 e o bordo do seo peciolar (E)	73,87-50,64	58,62
Ángulo entre os extremos de N1 e o seu primeiro nervio secundario (F)	103,84-95,86	98,90
Ángulo entre os extremos N1 e N2 (AP)	123,29-112,54	117,53

Caracterización molecular

Microsatélites	VVS2	VVMD5	VVMD7	ssrVrZAG47	ssrVrZAG62	ssrVrZAG79	VVS29	VVS5
Pb	130	224	237	171	193	255	169	117
	130	232	247	171	195	257	169	117

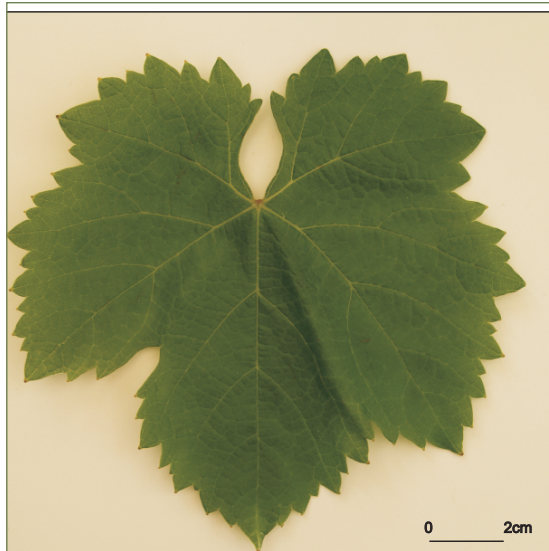
SUMIDADE



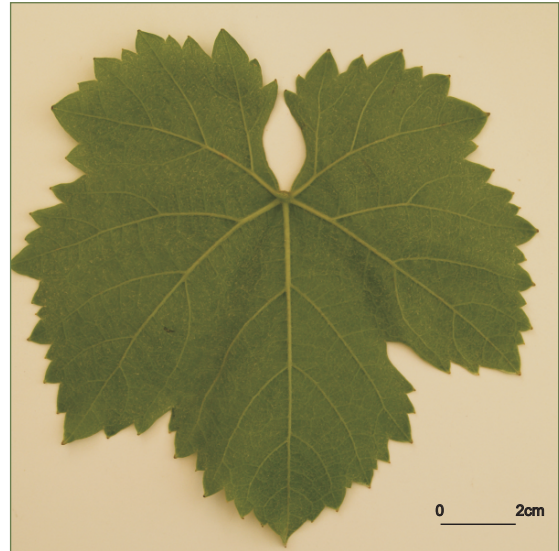
FOLLA NOVA: FACE, ENVÉS



FOLLA ADULTA: FACE



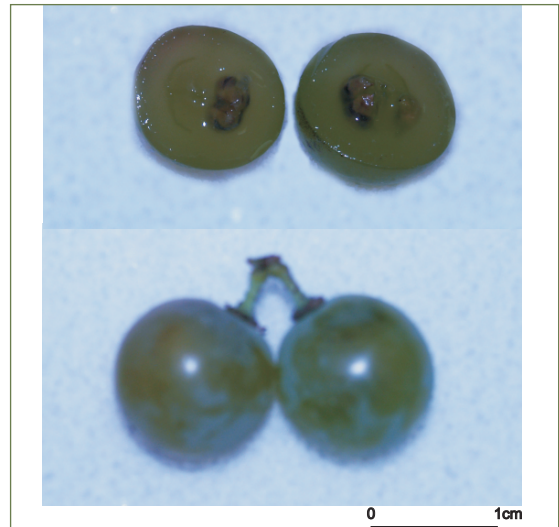
FOLLA ADULTA: ENVÉS



ACIO



BAGO



Referencias na colección da EVEGA:

F21P02P73, F22P01P77, F23P01P78, F24P01P60, F24P69P78, F25P01P80, F26P02P81, F27P70P84, F32P43P54, F34P02P09, F43P19P27, F44P01P37, F53P41P46, F58P02P13.

Sinonimias

Verdello, Cumbrao.

Antecedentes

García de los Salmones (1914) cítala nas provincias de Lugo e Ourense. No Catastro Vitícola de 1983 indícase como cultivada na provincia de Lugo, onde ocupaba o 0,01% da superficie de viñedo, na DO Ribeiro, o 0,1% e na DO Valdeorras, o 0,2%.

Situación actual

É recoñecida como variedade preferente nas DD.OO. Ribeira Sacra, Valdeorras e Monterrei, e é considerada coa categoría de autorizada na DO Rías Baixas; tamén está admitida nas indicacións xeográficas Viño da Terra Barbanza e Iria, Betanzos e Val do Miño. A superficie de cultivo representa o 3,44% da superficie total de viñedo da comunidade, con 25,31 ha na Coruña, 9,91 ha en Lugo, 554,01 ha en Ourense e 20,89 ha na provincia de Pontevedra (corresponden 0,25 ha á subzona da DO Rías Baixas Ribeira do Ulla, 3,22 ha ao Val do Salnés, 13,44 ao Condado do Tea, 2,59 ao Rosal e 1,39 ha a Soutomaior).

Valoracións sobre o seu cultivo

Variedade de brotación tardía e maduración temperá, presenta sensibilidade moderada ao mildeu e é moi sensible ao oídio e á botrite. Posúe alta calidade enolóxica; o grao alcohólico varía entre 13,9 e 11,0% e a acidez total entre 7,4 e 4,9 g/L.

Descrición morfolóxica

Pámpano novo

O pámpano novo presenta a extremidade aberta con peluxe tombada de densidade baixa e pigmentación reberetada de intensidade media. A cara dorsal dos entrenós e nós é verde e vermella, mentres que a ventral é verde. As xemas non presentan pigmentación antociánica.

Folla nova

A folla nova é verde con peluxe tombada de densidade baixa.

Folla adulta

A folla adulta de cor verde media presenta tamaño medio e forma pentagonal, con cinco lóbulos; peluda, con densidade baixa de pelos tombados entre os nervios principais do envés do limbo; perfil plano; limbo con avultamento e inchazon débil; dentes con lados convexos, de lonxitude media en relación á súa anchura; seo peciolar con lóbulos semiabertos e coa base en forma de chave; seos laterais superiores abertos coa base en forma de chave; pecíolo lixeiramente máis curto que o nervio principal.

Acio

O acio é cilíndrico, de lonxitude, anchura e compacidade media e con presenza de 1 ou 2 ás. O pedúnculo é de lonxitude moi curta.

Bago

O bago de cor verde amarela presenta forma elíptica curta.

Caracterización ampelográfica

Código OIV	Carácter OIV	Notación	Nivel de expresión
Pámpano novo			
001	Forma da extremidade	aberta	5
002	Distribución da pigmentación antociánica da extremidade	reberetada	2
003	Intensidade da pigmentación antociánica da extremidade	media	5
004	Densidade dos pelos tombados da extremidade	baixa	3
005	Densidade dos pelos ergueitos da extremidade	nula ou moi baixa	1
006	Porte	semi-ergueito	3
007	Cor da cara dorsal dos entrenós	verde e vermella	2
008	Cor da cara ventral dos entrenós	verde	1
009	Cor da cara dorsal dos nós	verde e vermella	2
010	Cor da cara ventral dos nós	verde	1
011	Densidade dos pelos ergueitos dos nós	nula ou moi baixa	1
012	Densidade dos pelos ergueitos dos entrenós	nula ou moi baixa	1
015.1	Pigmentación antociánica das xemas	ausente	1
015.2	Intensidade da pigmentación antociánica das xemas	nula ou moi débil	1
0.16	Número de gabiáns consecutivos	dous	1
Folla nova			
051	Cor da face	verde	1
053	Densidade dos pelos tombados entre os nervios	baixa	3
056	Densidade dos pelos ergueitos dos nervios principais	nula ou moi baixa	1
Folla adulta			
065	Tamaño	medio	5
067	Forma do limbo	pentagonal	3
068	Número de lóbulos	cinco	3
069	Cor da face	verde media	5
070	Pigmentación antociánica dos nervios principais da face do limbo	nula	1
071	Pigmentación antociánica dos nervios principais do envés do limbo	nula	1
072	Avultamento do limbo	débil	3
073	Ondulación do limbo entre os nervios principais ou secundarios	ausente	1
074	Perfil	plano	1
075	Inchazón da face	débil	3
076	Forma dos dentes	convexos	3
078	Lonxitude dos dentes en relación á súa anchura na base	media	5
079	Solapamento do seo peciolar	semi-aberto	2
080	Forma da base do seo peciolar	en chave	2
081.1	Dentes no seo peciolar	ausentes	1
081.2	Base do seo peciolar limitada pola nervadura	non delimitada	1
082	Solapamento dos seos laterais superiores	aberto	1
083.1	Forma da base dos seos laterais superiores	en chave	2

Código OIV	Carácter OIV	Notación	Nivel de expresión
083.2	Dentes nos seos laterais superiores	ausente	1
084	Densidade dos pelos tombados entre os nervios do envés	baixa	3
085	Densidade dos pelos ergueitos entre os nervios do envés	nula ou moi baixa	1
086	Densidade dos pelos tombados sobre os nervios do envés	baixa	3
087	Densidade dos pelos ergueitos sobre os nervios do envés	baixa	3
088	Peluxe dos nervios principais da face	ausentes	1
089	Peluxe ergueita dos nervios principais da face	ausentes	1
090	Densidade dos pelos tombados do pecíolo	nula ou moi baixa	1
091	Densidade dos pelos ergueitos do pecíolo	nula ou moi baixa	1
093	Lonxitude do pecíolo en relación ao nervio central	lixiramente máis curto	3
Inflorescencia			
151	Sexo da flor	hermafrodita	3
Acio			
202	Lonxitude	media	5
204	Compacidade	media	5
206	Lonxitude do pedúnculo	moi curta	1
208	Forma	cilíndrica	1
209	Número de ás do acio primario	1 ou 2	2
Bago			
220	Lonxitude	longa	7
221	Anchura	moi ancha	9
222	Uniformidade do tamaño	uniforme	2
223	Forma	elíptica curta	3
225	Cor da epiderme	verde amarela	1

Caracterización ampelométrica

Carácter ampelométrico	Valor máximo e mínimo (cm)	Valor medio (cm)
Lonxitude do nervio central (N1)	13,25-8,07	10,76
Lonxitude do nervio principal lateral superior (N2)	11,06-6,76	8,99
Lonxitude do nervio principal lateral inferior (N3)	8,47-5,26	6,92
Lonxitude do nervio secundario inferior (N4)	5,26-2,86	4,37
Lonxitude do nervio terciario inferior (N5)	2,63-0,99	2,09
Distancia do punto peciolar á intersección de N3-N4 (N6)	1,62-0,92	1,19
Distancia do punto peciolar ao seo superior (U)	9,13-3,97	6,49
Distancia do punto peciolar ao seo inferior (O)	7,53-3,98	5,92
Número de dentes entre o extremo N2 e o seu primeiro nervio secundario (ND)	7,00-4,00	5,40

Carácter apelmométrico	Valor máximo e mínimo (cm)	Valor medio (cm)
Distancia entre o extremo de N2 e o seu primeiro nervio secundario (PL)	5,67-2,72	4,18
Lonxitude do dente de N1 medido ao punto medio da base (L1)	1,12-0,45	0,69
Lonxitude do dente de N2 medido ao punto medio da base (L2)	0,76-0,29	0,55
Lonxitude do dente de N3 medido ao punto medio da base (L3)	0,71-0,45	0,57
Lonxitude do dente de N4 medido ao punto medio da base (L4)	1,25-0,51	0,84
Anchura do dente de N1 (A1)	1,82-0,67	1,19
Anchura do dente de N2 (A2)	1,73-0,86	1,26
Anchura do dente de N3 (A3)	1,50-1,00	1,26
Anchura do dente de N4 (A4)	1,44-0,65	1,09
Abertura do seo peciolar (SP)	5,66-1,19	3,53
Ancho da folla (AN)	18,52-11,09	14,51
Alto da folla (ALT)	18,29-11,16	14,78
Proxección da distancia entre os extremos N1 e N3 sobre o eixe da folla (L)	16,03-9,54	13,12
Distancia entre os extremos N2 do lado grande e do lado pequeno (IS)	16,20-9,02	12,30
Distancia entre os extremos N3 do lado grande e do lado pequeno (II)	17,66-9,96	13,74
Distancia entre os extremos de N1 e N2 (ENS)	9,17-6,03	7,73
Distancia entre os extremos de N2 e N3 (ENM)	9,13-4,62	6,78
Distancia entre os extremos de N3 e N4 (ENI)	5,99-3,75	4,72
Distancia do punto peciolar ao extremo de N4 (NL)	6,84-3,55	5,15
Distancia entre as bases dos seus superiores (DS1)	10,23-4,58	7,21
Distancia entre a base dos seus inferiores (DS2)	15,20-7,78	11,33
Distancia entre as bases do seo superior e inferior (DS)	8,63-3,82	5,75
Abertura do seo superior (SS)	1,31-0,14	0,97
Abertura do seo inferior (SI)	1,22-0,85	0,95

Carácter apelmométrico	Valor máximo e mínimo (graos)	Valor medio (graos)
Ángulo entre N1 e N2 (A)	67,26-48,76	56,85
Ángulo entre N2 e N3 (B)	54,86-37,31	48,45
Ángulo entre N3 e N4 (C)	70,17-44,97	52,46
Ángulo entre N4 e N5 (D)	50,03-41,14	45,59
Ángulo entre N3 e o bordo do seo peciolar (E)	54,57-41,16	48,49
Ángulo entre os extremos de N1 e o seu primeiro nervio secundario (F)	109,80-101,28	105,33
Ángulo entre os extremos N1 e N2 (AP)	112,33-97,01	106,55

Caracterización molecular

Microsatélites	VVS2	VVMD5	VVMD7	ssrVrZAG47	ssrVrZAG62	ssrVrZAG79	VVS29	VVS5
Pb	150	222	237	161	185	249	169	100
	156	234	241	165	187	249	169	106

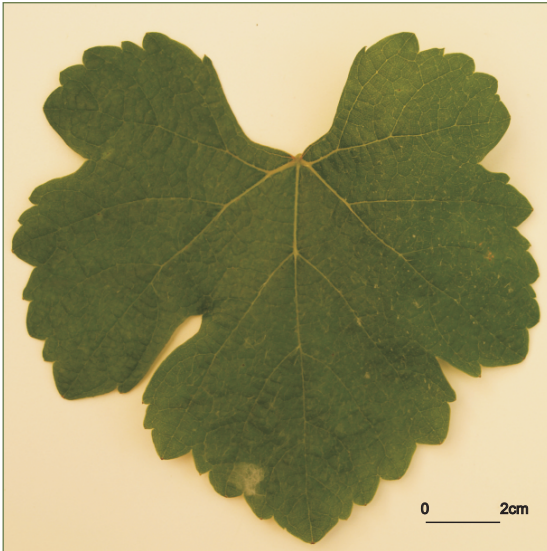
SUMIDADE



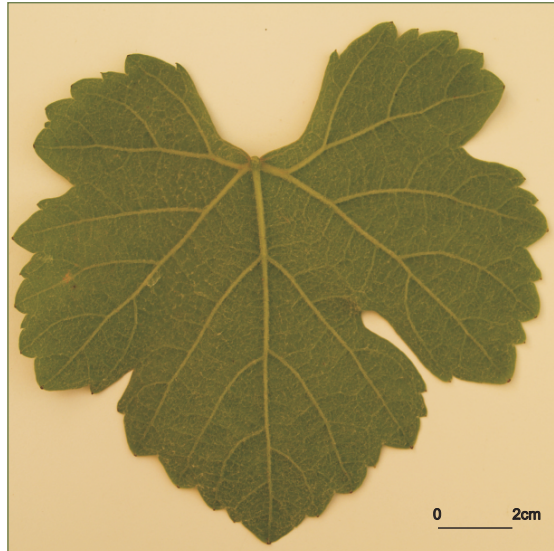
FOLLA NOVA: FACE, ENVÉS



FOLLA ADULTA: FACE



FOLLA ADULTA: ENVÉS

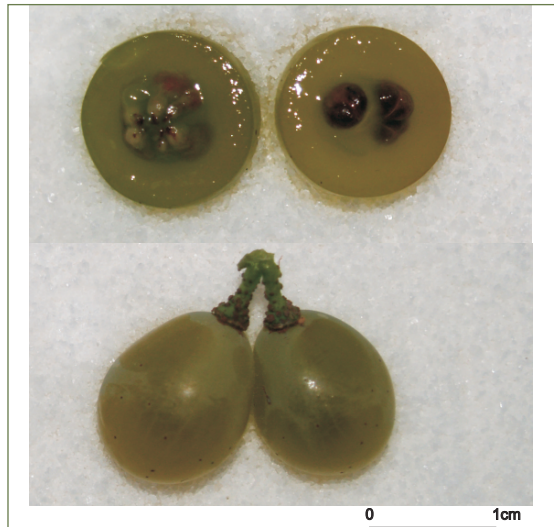


172

ACIO



BAGO



Referencias na colección da EVEGA:
F61P37P46, F55P19.

Este xenotipo correspóndese coa variedade de mesa que leva a mesma denominación na base de datos <http://www.vic.de>

Descrición morfolóxica

Pámpano novo

O pámpano novo presenta a extremidade aberta con peluxe tombada de densidade baixa sen pigmentación. A cara dorsal e ventral dos entrenós e nós é verde. As xemas non presentan pigmentación antociánica.

Folla nova

A folla nova é bronceada con peluxe tombada de densidade baixa.

Folla adulta

A folla adulta de cor verde media presenta tamaño grande e forma pentagonal, con cinco lóbulos; peluda, con densidade baixa de pelos tombados entre os nervios principais; perfil plano; limbo con avultamento e inchazón de intensidade media; dentes con lados rectilíneos, de lonxitude media en relación á súa anchura; seo peciolar semi-aberto e coa base en forma de chave; seos laterais superiores abertos coa base en forma de V; pecíolo lixeiramente máis curto que o nervio principal.

Caracterización ampelográfica

Código OIV	Carácter OIV	Notación	Nivel de expresión
Pámpano novo			
001	Forma da extremidade	aberta	5
002	Distribución da pigmentación antociánica da extremidade	ausente	1
003	Intensidade da pigmentación antociánica da extremidade	nula ou moi débil	1
004	Densidade dos pelos tombados da extremidade	baixa	3
005	Densidade dos pelos ergueitos da extremidade	nula ou moi baixa	1
006	Porte	semi-ergueito	3
007	Cor da cara dorsal dos entrenós	verde	1
008	Cor da cara ventral dos entrenós	verde	1
009	Cor da cara dorsal dos nós	verde	1
010	Cor da cara ventral dos nós	verde	1
011	Densidade dos pelos ergueitos dos nós	nula ou moi baixa	1
012	Densidade dos pelos ergueitos dos entrenós	nula ou moi baixa	1
015.1	Pigmentación antociánica das xemas	ausente	1
015.2	Intensidade da pigmentación antociánica das xemas	nula ou moi débil	1
0.16	Número de gabiáns consecutivos	dous	1
Folla nova			
051	Cor da face	bronceada	3
053	Densidade dos pelos tombados entre os nervios	baixa	3
056	Densidade dos pelos ergueitos dos nervios principais	nula ou moi baixa	1
Folla adulta			
065	Tamaño	grande	7
067	Forma do limbo	pentagonal	3
068	Número de lóbulos	cinco	3
069	Cor da face	verde media	5
070	Pigmentación antociánica dos nervios principais da face do limbo	nula	1
071	Pigmentación antociánica dos nervios principais do envés do limbo	nula	1
072	Avultamento do limbo	media	5
073	Ondulación do limbo entre os nervios principais ou secundarios	presente	9
074	Perfil	plano	1
075	Inchazón da face	media	5
076	Forma dos dentes	rectilíneos	2
078	Lonxitude dos dentes en relación á súa anchura na base	medios	5
079	Solapamento do seo peciolar	semi-aberto	2
080	Forma da base do seo peciolar	en chave	2
081.1	Dentes no seo peciolar	ausentes	1
081.2	Base do seo peciolar limitada pola nervadura	non delimitada	1
082	Solapamento dos seos laterais superiores	aberto	1

Código OIV	Carácter OIV	Notación	Nivel de expresión
083.1	Forma da base dos seus laterais superiores	en V	3
083.2	Dentes nos seus laterais superiores	presentes	9
084	Densidade dos pelos tombados entre os nervios do envés	baixa	3
085	Densidade dos pelos ergueitos entre os nervios do envés	nula ou moi baixa	1
086	Densidade dos pelos tombados sobre os nervios do envés	nula ou moi baixa	1
087	Densidade dos pelos ergueitos sobre os nervios do envés	nula ou moi baixa	1
088	Peluxe dos nervios principais da face	ausentes	1
089	Peluxe ergueita dos nervios principais da face	ausentes	1
090	Densidade dos pelos tombados do pecíolo	nula ou moi baixa	1
091	Densidade dos pelos ergueitos do pecíolo	nula ou moi baixa	1
093	Lonxitude do pecíolo en relación ao nervio central	lixeramente máis curto	3
Inflorescencia			
151	Sexo da flor	hermafrodita	3

Caracterización ampelométrica

Carácter ampelométrico	Valor máximo e mínimo (cm)	Valor medio (cm)
Lonxitude do nervio central (N1)	11,22-10,59	10,92
Lonxitude do nervio principal lateral superior (N2)	10,21-8,78	9,27
Lonxitude do nervio principal lateral inferior (N3)	6,72-5,80	6,30
Lonxitude do nervio secundario inferior (N4)	4,75-3,23	3,91
Lonxitude do nervio terciario inferior (N5)	1,91-1,51	1,79
Distancia do punto peciolar á intersección de N3-N4 (N6)	1,26-0,62	1,02
Distancia do punto peciolar ao seo superior (U)	6,76-5,64	6,44
Distancia do punto peciolar ao seo inferior (O)	5,70-4,99	5,35
Número de dentes entre o extremo N2 e o seu primeiro nervio secundario (ND)	12,00-8,00	10,00
Distancia entre o extremo de N2 e o seu primeiro nervio secundario (PL)	5,67-3,93	4,99
Lonxitude do dente de N1 medido ao punto medio da base (L1)	1,30-0,75	0,93
Lonxitude do dente de N2 medido ao punto medio da base (L2)	1,13-0,77	0,88
Lonxitude do dente de N3 medido ao punto medio da base (L3)	0,87-0,50	0,64
Lonxitude do dente de N4 medido ao punto medio da base (L4)	0,78-0,55	0,68
Anchura do dente de N1 (A1)	1,15-0,67	0,93
Anchura do dente de N2 (A2)	0,94-0,58	0,75
Anchura do dente de N3 (A3)	1,13-0,55	0,81
Anchura do dente de N4 (A4)	0,92-0,61	0,73
Abertura do seo peciolar (SP)	4,21-1,89	3,21
Ancho da folla (AN)	15,02-13,75	14,53
Alto da folla (ALT)	15,67-14,12	15,24

Carácter ampelométrico	Valor máximo e mínimo (cm)	Valor medio (cm)
Proxección da distancia entre os extremos N1 e N3 sobre o eixe da folla (L)	14,30-11,70	12,86
Distancia entre os extremos N2 do lado grande e do lado pequeno (IS)	13,76-11,61	12,51
Distancia entre os extremos N3 do lado grande e do lado pequeno (II)	13,84-12,26	13,25
Distancia entre os extremos de N1 e N2 (ENS)	9,23-6,64	7,54
Distancia entre os extremos de N2 e N3 (ENM)	8,24-5,66	7,08
Distancia entre os extremos de N3 e N4 (ENI)	4,63-3,72	4,09
Distancia do punto peciolar ao extremo de N4 (NL)	5,63-3,72	4,76
Distancia entre as bases dos seos superiores (DS1)	7,57-6,87	7,30
Distancia entre a base dos seos inferiores (DS2)	12,10-10,30	11,21
Distancia entre as bases do seo superior e inferior (DS)	6,23-5,17	5,69
Abertura do seo superior (SS)	0,46-0,00	0,09
Abertura do seo inferior (SI)	1,14-0,21	0,61

Carácter ampelométrico	Valor máximo e mínimo (graos)	Valor medio (graos)
Ángulo entre N1 e N2 (A)	55,52-44,71	49,50
Ángulo entre N2 e N3 (B)	56,35-43,96	51,17
Ángulo entre N3 e N4 (C)	62,66-46,76	54,39
Ángulo entre N4 e N5 (D)	45,04-30,79	36,77
Ángulo entre N3 e o bordo do seo peciolar (E)	61,13-38,27	48,77
Ángulo entre os extremos de N1 e o seu primeiro nervio secundario (F)	104,10-92,65	96,10
Ángulo entre os extremos N1 e N2 (AP)	118,52-114,90	117,01

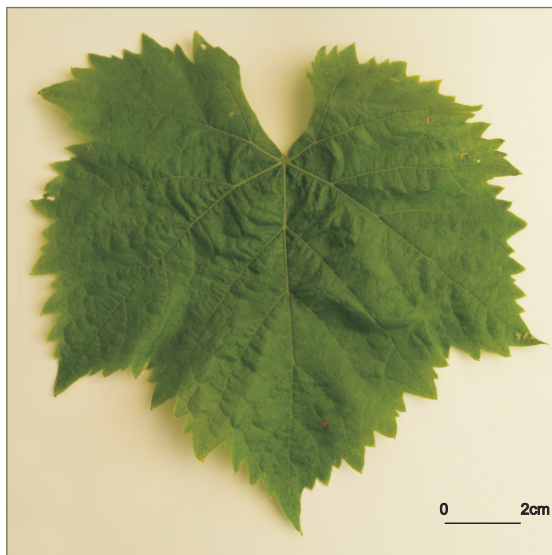
SUMIDADE



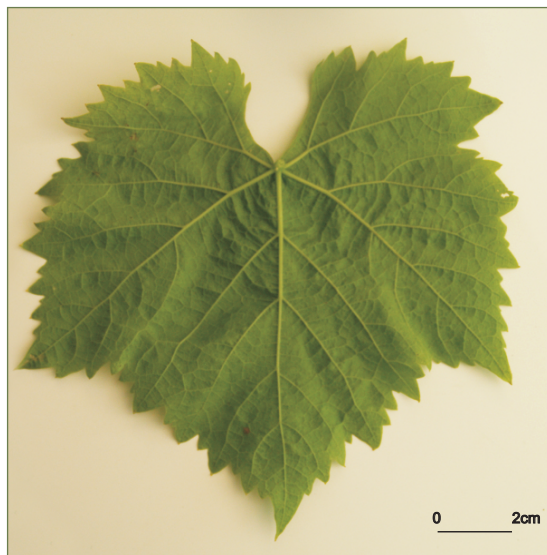
FOLLA NOVA: FACE, ENVÉS



FOLLA ADULTA: FACE



FOLLA ADULTA: ENVÉS



Referencias na colección da EVEGA:
F14P02P13, F19P17P39.

Sinonimias

Negrón na comarca do Ribeiro (Ourense).

Antecedentes

Varietade introducida en Galicia despois da crise da filoxera, posiblemente en 1889 (Santos Solla, 1992). García de los Salmones (1914) cítala en Celanova (Ourense) e Huetz de Lemps (1967), na provincia de Pontevedra e nas terrazas do Sil, do Miño, comarca do Ribeiro, Valderoras e Monterrei na provincia de Ourense. No Catastro Vitícola de 1983 indícase como cultivada na provincia de Pontevedra e na de Ourense, representando o 1,29 e o 1,69% respectivamente da superficie total de viñado.

Situación actual

É recoñecida como variedade autorizada na DO Valdeorras. A superficie de cultivo representa 1,80% da superficie total de viñado da comunidade, e corresponden 281,36 ha á provincia de Pontevedra, 0,36 ha á Coruña, 0,18 ha a Lugo e 195,85 ha a Ourense.

Valoracións sobre o seu cultivo

Varietade de brotación temperá e maduración tardía, é pouco sensible ao oídio e á botrite, e moderadamente sensible ao mildeu. Produce viño con valores de graduación e acidez media de 10,5% e 3,8 g/L, respectivamente.

Descrición morfolóxica

Pámpano novo

O pámpano novo presenta a extremidade aberta, con peluxe tombada de densidade alta. A cara dorsal e ventral dos entrenós e nós é verde e vermella. As xemas sen pigmentación antociánica.

Folla nova

A folla nova é de cor cobreada-avermellada con peluxe tombada de densidade alta.

Folla adulta

A folla adulta de cor verde media presenta tamaño grande e forma pentagonal, con cinco lóbulos; peluda, con densidade baixa de pelos tombados entre e sobre os nervios principais; perfil alabeado; limbo sen avultamento e con inchazón débil; presenza de pigmentación antociánica sobre os nervios principais da face do limbo que alcanza a primeira bifurcación; dentes con lados convexos, de lonxitude curta en relación á súa anchura; seo peciolar con lóbulos lixeiramente superpostos e coa base en forma de chave; seos laterais superiores con lóbulos lixeiramente superpostos, coa base en forma de chave; pecíolo lixeiramente máis curto que o nervio principal.

Acio

O acio ten forma de embude, longo, ancho, de compacidade solta e con presenza de 3 ou 4 ás. O pedúnculo é de lonxitude media.

Bago

O bago de cor azul negra presenta forma esférica.

Caracterización ampelográfica

Código OIV	Carácter OIV	Notación	Nivel de expresión
Pámpano novo			
001	Forma da extremidade	aberta	5
002	Distribución da pigmentación antociánica da extremidade	ausente	1
003	Intensidade da pigmentación antociánica da extremidade	ausente ou moi débil	1
004	Densidade dos pelos tombados da extremidade	alta	7
005	Densidade dos pelos ergueitos da extremidade	nula ou moi baixa	1
006	Porte	semi-ergueito	3
007	Cor da cara dorsal dos entrenós	verde e vermella	2
008	Cor da cara ventral dos entrenós	verde e vermella	2
009	Cor da cara dorsal dos nós	verde e vermella	2
010	Cor da cara ventral dos nós	verde e vermella	2
011	Densidade dos pelos ergueitos dos nós	nula ou moi baixa	1
012	Densidade dos pelos ergueitos dos entrenós	nula ou moi baixa	1
015.1	Pigmentación antociánica das xemas	ausente	1
015.2	Intensidade da pigmentación antociánica das xemas	nula ou moi débil	1
0.16	Número de gabiáns consecutivos	dous	1
Folla nova			
051	Cor da face	cobreada-avermellada	4
053	Densidade dos pelos tombados entre os nervios	alta	7
056	Densidade dos pelos ergueitos dos nervios principais	nula ou moi baixa	1
Folla adulta			
065	Tamaño	grande	7
067	Forma do limbo	pentagonal	3
068	Número de lóbulos	cinco	3
069	Cor da face	verde media	5
070	Pigmentación antociánica dos nervios principais da face do limbo	ata a primeira bifurcación	3
071	Pigmentación antociánica dos nervios principais do envés do limbo	nula	1
072	Avultamento do limbo	ausente	1
073	Ondulación do limbo entre os nervios principais ou secundarios	ausente	1
074	Perfil	alabeado	5
075	Inchazón da face	débil	3
076	Forma dos dentes	convexos	3
078	Lonxitude dos dentes en relación á súa anchura na base	pequenos	3
079	Solapamento do seo peciolar	lixeramente superpostos	4
080	Forma da base do seo peciolar	en chave	2
081.1	Dentes no seo peciolar	ausentes	1
081.2	Base do seo peciolar limitada pola nervadura	non delimitada	1
082	Solapamento dos seos laterais superiores	lixeramente superpostos	3

Código OIV	Carácter OIV	Notación	Nivel de expresión
083.1	Forma da base dos seos laterais superiores	en chave	2
083.2	Dentes nos seos laterais superiores	ausente	1
084	Densidade dos pelos tombados entre os nervios do envés	baixa	3
085	Densidade dos pelos ergueitos entre os nervios do envés	nula ou moi baixa	1
086	Densidade dos pelos tombados sobre os nervios do envés	baixa	3
087	Densidade dos pelos ergueitos sobre os nervios do envés	nula ou moi baixa	1
088	Peluxe dos nervios principais da face	ausentes	1
089	Peluxe ergueita dos nervios principais da face	ausentes	1
090	Densidade dos pelos tombados do pecíolo	nula ou moi baixa	1
091	Densidade dos pelos ergueitos do pecíolo	nula ou moi baixa	1
093	Lonxitude do pecíolo en relación ao nervio central	lixeramente máis curto	3
Inflorescencia			
151	Sexo da flor	hermafrodita	3
Acio			
202	Lonxitude	longa	7
204	Compacidade	solta	3
206	Lonxitude do pedúnculo	media	5
208	Forma	en embude	3
209	Número de ás do acio primario	3-4 ás	3
Bago			
220	Lonxitude	moi longa	9
221	Anchura	moi ancha	9
222	Uniformidade do tamaño	uniforme	2
223	Forma	esférica	2
225	Cor da epiderme	azul negra	6

Caracterización ampelométrica

Carácter ampelométrico	Valor máximo e mínimo (cm)	Valor medio (cm)
Lonxitude do nervio central (N1)	16,07-11,49	13,47
Lonxitude do nervio principal lateral superior (N2)	12,44-9,62	11,26
Lonxitude do nervio principal lateral inferior (N3)	10,04-7,20	8,58
Lonxitude do nervio secundario inferior (N4)	6,54-4,66	5,61
Lonxitude do nervio terciario inferior (N5)	3,60-2,07	2,65
Distancia do punto peciolar á intersección de N3-N4 (N6)	1,90-1,36	1,42
Distancia do punto peciolar ao seo superior (U)	9,80-4,48	6,52
Distancia do punto peciolar ao seo inferior (O)	9,28-6,00	7,50
Número de dentes entre o extremo N2 e o seu primeiro nervio secundario (ND)	6,00-4,00	4,70

Carácter apelmométrico	Valor máximo e mínimo (cm)	Valor medio (cm)
Distancia entre o extremo de N2 e o seu primeiro nervio secundario (PL)	7,84-5,45	6,50
Lonxitude do dente de N1 medido ao punto medio da base (L1)	1,13-0,51	0,90
Lonxitude do dente de N2 medido ao punto medio da base (L2)	1,00-0,45	0,71
Lonxitude do dente de N3 medido ao punto medio da base (L3)	0,98-0,51	0,74
Lonxitude do dente de N4 medido ao punto medio da base (L4)	0,85-0,55	0,69
Anchura do dente de N1 (A1)	2,15-1,20	1,86
Anchura do dente de N2 (A2)	2,60-1,55	1,96
Anchura do dente de N3 (A3)	2,07-1,28	1,76
Anchura do dente de N4 (A4)	1,62-1,12	1,39
Abertura do seo peciolar (SP)	1,80-0,00	0,76
Ancho da folla (AN)	21,13-16,94	18,86
Alto da folla (ALT)	21,52-16,43	19,20
Proxección da distancia entre os extremos N1 e N3 sobre o eixe da folla (L)	19,44-14,59	17,47
Distancia entre os extremos N2 do lado grande e do lado pequeno (IS)	18,02-13,54	16,20
Distancia entre os extremos N3 do lado grande e do lado pequeno (II)	18,88-14,01	16,04
Distancia entre os extremos de N1 e N2 (ENS)	13,06-8,81	10,19
Distancia entre os extremos de N2 e N3 (ENM)	11,48-7,57	9,18
Distancia entre os extremos de N3 e N4 (ENI)	8,02-5,18	6,57
Distancia do punto peciolar ao extremo de N4 (NL)	8,04-5,55	6,38
Distancia entre as bases dos seus superiores (DS1)	9,69-5,22	6,98
Distancia entre a base dos seus inferiores (DS2)	17,73-12,66	14,60
Distancia entre as bases do seo superior e inferior (DS)	9,41-5,34	7,26
Abertura do seo superior (SS)	1,86-0,00	0,28
Abertura do seo inferior (SI)	1,29-0,00	0,88

Carácter apelmométrico	Valor máximo e mínimo (graos)	Valor medio (graos)
Ángulo entre N1 e N2 (A)	71,07-54,45	63,25
Ángulo entre N2 e N3 (B)	54,96-35,33	42,78
Ángulo entre N3 e N4 (C)	69,56-39,93	55,53
Ángulo entre N4 e N5 (D)	67,79-42,73	50,04
Ángulo entre N3 e o bordo do seo peciolar (E)	77,84-58,35	70,17
Ángulo entre os extremos de N1 e o seu primeiro nervio secundario (F)	110,31-88,28	101,51
Ángulo entre os extremos N1 e N2 (AP)	121,89-93,93	109,06

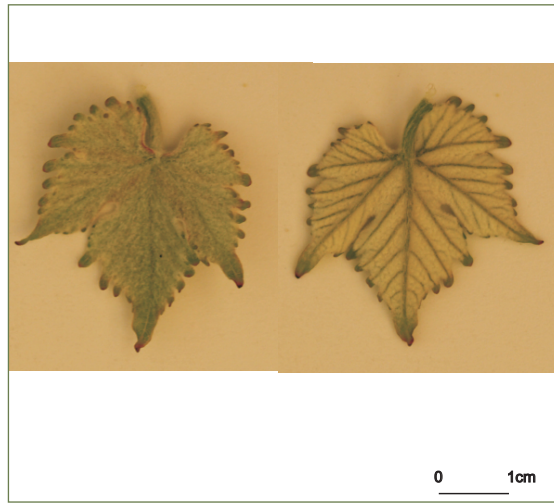
Caracterización molecular

Microsatélites	VVS2	VVMD5	VVMD7	ssrVrZAG47	ssrVrZAG62	ssrVrZAG79	VVS29	VVS5
Pb	136	222	237	157	187	241	169	109
	150	230	241	159	187	257	177	150

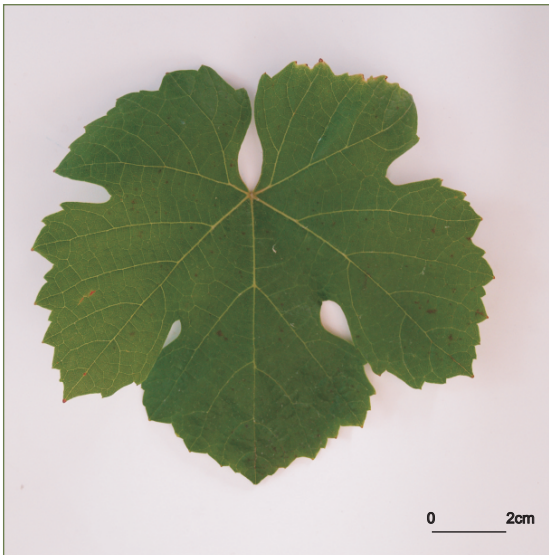
SUMIDADE



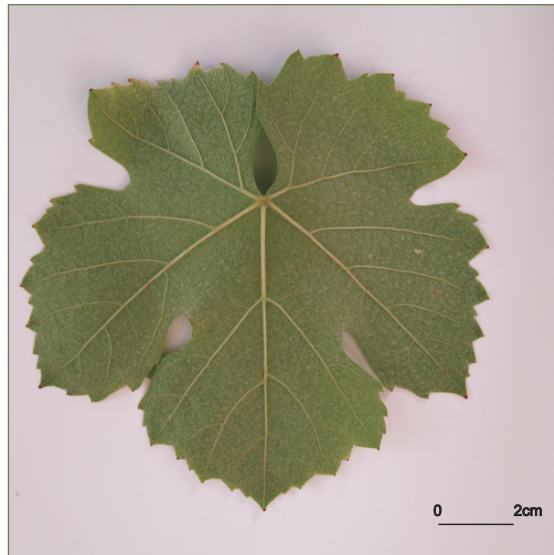
FOLLA NOVA: FACE, ENVÉS



FOLLA ADULTA: FACE



FOLLA ADULTA: ENVÉS

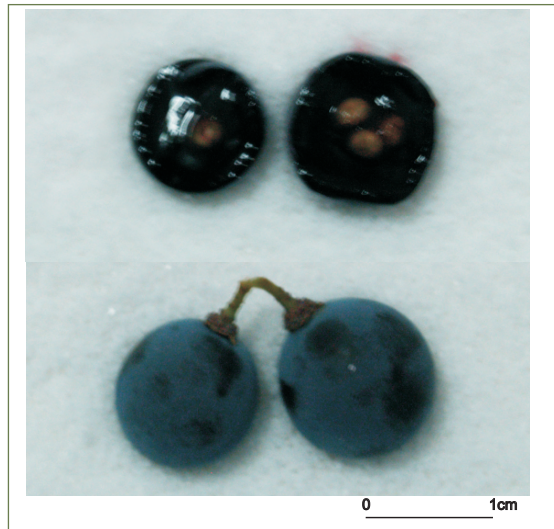


182

ACIO



BAGO



HÍBRIDO

Referencias na colección da EVEGA:
F61P01P12.

Descrición morfolóxica

Pámpano novo

O pámpano novo presenta a extremidade aberta con peluxe tombada de densidade media e pigmentación reberetada de intensidade forte. A cara dorsal e ventral do entrenó e dorsal do nó é verde e vermella e a ventral do nó é verde. As xemas non presentan pigmentación antociánica.

Folla nova

A folla nova é verde con peluxe tombada de densidade alta.

Folla adulta

A folla adulta de cor verde media presenta tamaño medio e forma pentagonal, con cinco

lóbulos; peluda, con densidade baixa de pelos tombados entre os nervios principais do envés do limbo; perfil alabeado; limbo con inchazón de intensidade media; dentes con mestura de lados rectilíneos e lados convexos, de lonxitude media en relación á súa anchura; seo peciolar pouco aberto e coa base en forma de chave; seos laterais superiores abertos coa base en forma de chave; pecíolo lixeiramente máis longo que o nervio principal.

Acio

O acio é cónico, de lonxitude e anchura media e compacidade solta e con presenza de 1 ou 2 ás. O pedúnculo é de lonxitude media.

Bago

O bago de cor rosa presenta forma elíptica curta.

Caracterización ampelográfica

Código OIV	Carácter OIV	Notación	Nivel de expresión
Pámpano novo			
001	Forma da extremidade	aberta	5
002	Distribución da pigmentación antociánica da extremidade	reberetada	2
003	Intensidade da pigmentación antociánica da extremidade	forte	7
004	Densidade dos pelos tombados da extremidade	media	5
005	Densidade dos pelos ergueitos da extremidade	nula ou moi baixa	1
006	Porte	semi-ergueito	3
007	Cor da cara dorsal dos entrenós	verde e vermella	2
008	Cor da cara ventral dos entrenós	verde e vermella	2
009	Cor da cara dorsal dos nós	verde e vermella	2
010	Cor da cara ventral dos nós	verde	1
011	Densidade dos pelos ergueitos dos nós	nula ou moi baixa	1
012	Densidade dos pelos ergueitos dos entrenós	nula ou moi baixa	1
015.1	Pigmentación antociánica das xemas	nula ou moi débil	1
015.2	Intensidade da pigmentación antociánica das xemas	nula ou moi débil	1
0.16	Número de gabiáns consecutivos	dous	1
Folla nova			
051	Cor da face	verde	1
053	Densidade dos pelos tombados entre os nervios	alta	7
056	Densidade dos pelos ergueitos dos nervios principais	nula ou moi baixa	1
Folla adulta			
065	Tamaño	medio	5
067	Forma do limbo	pentagonal	3
068	Número de lóbulos	cinco	3
069	Cor da face	verde media	5
070	Pigmentación antociánica dos nervios principais da face do limbo	nula	1
071	Pigmentación antociánica dos nervios principais do envés do limbo	nula	1
072	Avultamento do limbo	nulo ou moi débil	1
073	Ondulación do limbo entre os nervios principais ou secundarios	ausente	1
074	Perfil	alabeado	5
075	Inchazón da face	media	5
076	Forma dos dentes	mestura de lados rectilíneos e convexos	5
078	Lonxitude dos dentes en relación á súa anchura na base	media	5
079	Solapamento do seo peciolar	pouco aberto	3
080	Forma da base do seo peciolar	en chave	2
081.1	Dentes no seo peciolar	presentes	2
081.2	Base do seo peciolar limitada pola nervadura	non delimitada	1
082	Solapamento dos seos laterais superiores	aberto	1

Código OIV	Carácter OIV	Notación	Nivel de expresión
083.1	Forma da base dos seos laterais superiores	en chave	2
083.2	Dentes nos seos laterais superiores	presentes	9
084	Densidade dos pelos tombados entre os nervios do envés	baixa	3
085	Densidade dos pelos ergueitos entre os nervios do envés	nula ou moi baixa	1
086	Densidade dos pelos tombados sobre os nervios do envés	baixa	3
087	Densidade dos pelos ergueitos sobre os nervios do envés	nula ou moi baixa	1
088	Peluxe dos nervios principais da face	ausentes	1
089	Peluxe ergueita dos nervios principais da face	ausentes	1
090	Densidade dos pelos tombados do pecíolo	nula ou moi baixa	1
091	Densidade dos pelos ergueitos do pecíolo	nula ou moi baixa	1
093	Lonxitude do pecíolo en relación ao nervio central	lixeiramente máis longo	7
Inflorescencia			
151	Sexo da flor	hermafrodita	3
Acio			
202	Lonxitude	media	5
204	Compacidade	solta	3
206	Lonxitude do pedúnculo	media	5
208	Forma	cónica	2
209	Número de ás do acio primario	1 ou 2	2
Bago			
220	Lonxitude	moi longa	9
221	Anchura	moi ancha	9
222	Uniformidade do tamaño	uniforme	2
223	Forma	elíptica curta	3
225	Cor da epiderme	rosa	2

Caracterización ampelométrica

Carácter ampelométrico	Valor máximo e mínimo (cm)	Valor medio (cm)
Lonxitude do nervio central (N1)	10,11-8,78	9,75
Lonxitude do nervio principal lateral superior (N2)	9,29-8,47	8,91
Lonxitude do nervio principal lateral inferior (N3)	6,83-6,17	6,56
Lonxitude do nervio secundario inferior (N4)	4,29-3,39	3,92
Lonxitude do nervio terciario inferior (N5)	2,13-1,53	1,79
Distancia do punto peciolar á intersección de N3-N4 (N6)	1,53-1,25	1,42
Distancia do punto peciolar ao seo superior (U)	5,20-4,16	4,65
Distancia do punto peciolar ao seo inferior (O)	5,41-4,61	4,93
Número de dentes entre o extremo N2 e o seu primeiro nervio secundario (ND)	7,00-5,00	5,80

Carácter ampelométrico	Valor máximo e mínimo (cm)	Valor medio (cm)
Distancia entre o extremo de N2 e o seu primeiro nervio secundario (PL)	4,76-3,92	4,42
Lonxitude do dente de N1 medido ao punto medio da base (L1)	1,04-0,30	0,57
Lonxitude do dente de N2 medido ao punto medio da base (L2)	0,80-0,56	0,68
Lonxitude do dente de N3 medido ao punto medio da base (L3)	0,55-0,39	0,46
Lonxitude do dente de N4 medido ao punto medio da base (L4)	0,45-0,30	0,38
Anchura do dente de N1 (A1)	1,68-0,88	1,12
Anchura do dente de N2 (A2)	1,75-0,89	1,23
Anchura do dente de N3 (A3)	1,29-0,96	1,14
Anchura do dente de N4 (A4)	1,24-0,94	1,04
Abertura do seo peciolar (SP)	3,83-0,56	1,79
Ancho da folla (AN)	16,05-13,71	14,84
Alto da folla (ALT)	14,78-13,29	14,15
Proxección da distancia entre os extremos N1 e N3 sobre o eixe da folla (L)	13,79-12,14	12,92
Distancia entre os extremos N2 do lado grande e do lado pequeno (IS)	15,60-11,83	13,70
Distancia entre os extremos N3 do lado grande e do lado pequeno (II)	12,90-12,02	12,56
Distancia entre os extremos de N1 e N2 (ENS)	8,89-6,44	7,77
Distancia entre os extremos de N2 e N3 (ENM)	7,63-6,74	7,13
Distancia entre os extremos de N3 e N4 (ENI)	5,03-3,99	4,62
Distancia do punto peciolar ao extremo de N4 (NL)	5,37-4,55	5,05
Distancia entre as bases dos seos superiores (DS1)	6,37-4,67	5,31
Distancia entre a base dos seos inferiores (DS2)	10,67-8,15	9,79
Distancia entre as bases do seo superior e inferior (DS)	5,04-4,14	4,65
Abertura do seo superior (SS)	0,83-0,14	0,54
Abertura do seo inferior (SI)	0,99-0,53	0,77

Carácter ampelométrico	Valor máximo e mínimo (graos)	Valor medio (graos)
Ángulo entre N1 e N2 (A)	63,42-53,38	58,83
Ángulo entre N2 e N3 (B)	54,49-41,25	48,73
Ángulo entre N3 e N4 (C)	66,30-44,96	54,95
Ángulo entre N4 e N5 (D)	55,68-24,35	42,95
Ángulo entre N3 e o bordo do seo peciolar (E)	60,20-46,16	54,21
Ángulo entre os extremos de N1 e o seu primeiro nervio secundario (F)	117,54-95,29	107,26
Ángulo entre os extremos N1 e N2 (AP)	118,67-112,02	116,36

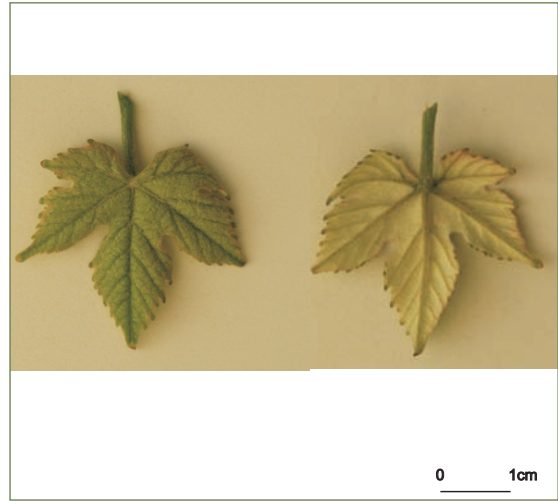
Caracterización molecular

Microsatélites	VVS2	VVMD5	VVMD7	ssrVrZAG47	ssrVrZAG62	ssrVrZAG79	VVS29	VVS5
Pb	120	232	233	161	187	245	169	109
	134	234	247	161	201	255	169	109

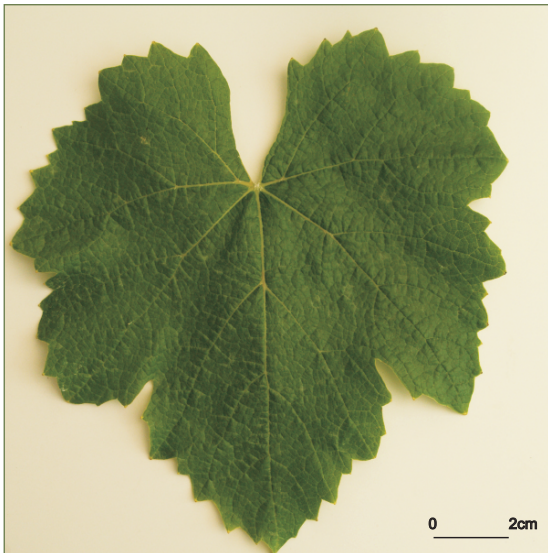
SUMIDADE



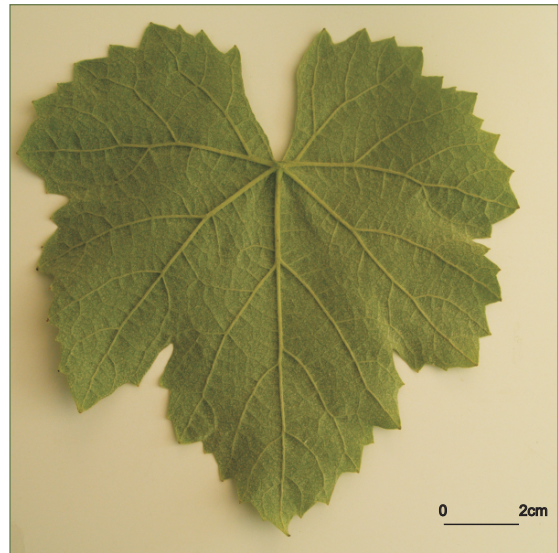
FOLLA NOVA: FACE, ENVÉS



FOLLA ADULTA: FACE



FOLLA ADULTA: ENVÉS



ACIO



BAGO



Referencias na colección da EVEGA:
F34P21P26, F34P30P35, F55P21P23.

Sinonimias

Moscatel.

Antecedentes

Variedade de uva de mesa, que foi creada por cruzamento de Bicane con Mouscat de Hamburgo.

Situación actual

Presente en parras illadas localizadas nos arredores das casas. Localizáronse exemplares nas comarcas do Ribeiro e da Baixa Limia.

Descrición morfolóxica

Pámpano novo

O pámpano novo presenta a extremidade aberta con peluxe tombada de densidade baixa e sen pigmentación ou con pigmentación de intensidade débil. A cara dorsal e ventral dos entrenós e nós é verde. As xemas non presentan pigmentación antociánica.

Folla nova

A folla nova é bronceada con peluxe tombada de densidade baixa.

Folla adulta

A folla adulta de cor verde media presenta tamaño grande e forma pentagonal, con cinco lóbulos; glabra; perfil alabeado; limbo con avultamento e inchazón débil; dentes con lados rectilíneos, de lonxitude media en relación á súa anchura; seo peciolar con lóbulos pouco abertos a lixeiramente superpostos e coa base en forma de chave; seos laterais superiores con lóbulos lixeiramente superpostos coa base en forma de chave; pecíolo lixeiramente máis curto que o nervio principal.

Acio

O acio é cónico, longo, ancho, de compacidade solta e con presenza de 1 ou 2 ás. O pedúnculo é de lonxitude longa.

Bago

O bago de cor verde amarela presenta forma elíptica longa.

Caracterización ampelográfica

Código OIV	Carácter OIV	Notación	Nivel de expresión
Pámpano novo			
001	Forma da extremidade	aberta	5
002	Distribución da pigmentación antociánica da extremidade	ausente	1
003	Intensidade da pigmentación antociánica da extremidade	nula ou moi débil	1
004	Densidade dos pelos tombados da extremidade	baixa	3
005	Densidade dos pelos ergueitos da extremidade	nula ou moi baixa	1
006	Porte	semi-ergueito	3
007	Cor da cara dorsal dos entrenós	verde	1
008	Cor da cara ventral dos entrenós	verde	1
009	Cor da cara dorsal dos nós	verde	1
010	Cor da cara ventral dos nós	verde	1
011	Densidade dos pelos ergueitos dos nós	nula ou moi baixa	1
012	Densidade dos pelos ergueitos dos entrenós	nula ou moi baixa	1
015.1	Pigmentación antociánica das xemas	ausente	1
015.2	Intensidade da pigmentación antociánica das xemas	nula ou moi débil	1
0.16	Número de gabiáns consecutivos	dous	1
Folla nova			
051	Cor da face	bronceada	3
053	Densidade dos pelos tombados entre os nervios	baixa	3
056	Densidade dos pelos ergueitos dos nervios principais	nula ou moi baixa	1
Folla adulta			
065	Tamaño	grande	7
067	Forma do limbo	pentagonal	3
068	Número de lóbulos	cinco	3
069	Cor da face	verde media	5
070	Pigmentación antociánica dos nervios principais da face do limbo	nula	1
071	Pigmentación antociánica dos nervios principais do envés do limbo	nula	1
072	Avultamento do limbo	débil	3
073	Ondulación do limbo entre os nervios principais ou secundarios	presente	9
074	Perfil	alabeado	5
075	Inchazón da face	débil	3
076	Forma dos dentes	rectilíneos	2
078	Lonxitude dos dentes en relación á súa anchura na base	media	5
079	Solapamento do seo peciolar	lixeramente superpostos	4
080	Forma da base do seo peciolar	en chave	2
081.1	Dentes no seo peciolar	ausentes	1
081.2	Base do seo peciolar limitada pola nervadura	non delimitada	1
082	Solapamento dos seos laterais superiores	lixeramente superpostos	3
083.1	Forma da base dos seos laterais superiores	en chave	2

Código OIV	Carácter OIV	Notación	Nivel de expresión
083.2	Dentes nos seos laterais superiores	ausente	1
084	Densidade dos pelos tombados entre os nervios do envés	nula ou moi baixa	1
085	Densidade dos pelos ergueitos entre os nervios do envés	nula ou moi baixa	1
086	Densidade dos pelos tombados sobre os nervios do envés	nula ou moi baixa	1
087	Densidade dos pelos ergueitos sobre os nervios do envés	nula ou moi baixa	1
088	Peluxe dos nervios principais da face	ausentes	1
089	Peluxe ergueita dos nervios principais da face	ausentes	1
090	Densidade dos pelos tombados do pecíolo	nula ou moi baixa	1
091	Densidade dos pelos ergueitos do pecíolo	nula ou moi baixa	1
093	Lonxitude do pecíolo en relación ao nervio central	lixiramente máis curto	3
Inflorescencia			
151	Sexo da flor	hermafrodita	3
Acio			
202	Lonxitude	longa	7
204	Compacidade	solta	3
206	Lonxitude do pedúnculo	longa	7
208	Forma	cónica	2
209	Número de ás do acio primario	1 ou 2	2
Bago			
220	Lonxitude	moi longa	9
221	Anchura	moi ancha	9
222	Uniformidade do tamaño	uniforme	2
223	Forma	elíptica longa	4
225	Cor da epiderme	verde amarela	1

Caracterización ampelométrica

Carácter ampelométrico	Valor máximo e mínimo (cm)	Valor medio (cm)
Lonxitude do nervio central (N1)	14,67-12,22	13,87
Lonxitude do nervio principal lateral superior (N2)	14,26-10,51	13,13
Lonxitude do nervio principal lateral inferior (N3)	11,16-7,41	9,49
Lonxitude do nervio secundario inferior (N4)	7,20-5,98	6,51
Lonxitude do nervio terciario inferior (N5)	3,06-2,32	2,62
Distancia do punto peciolar á intersección de N3-N4 (N6)	1,99-0,96	1,64
Distancia do punto peciolar ao seo superior (U)	8,04-5,48	7,21
Distancia do punto peciolar ao seo inferior (O)	8,10-5,26	6,17
Número de dentes entre o extremo N2 e o seu primeiro nervio secundario (ND)	8,00-5,00	7,00

Carácter apelmométrico	Valor máximo e mínimo (cm)	Valor medio (cm)
Distancia entre o extremo de N2 e o seu primeiro nervio secundario (PL)	9,66-6,86	8,13
Lonxitude do dente de N1 medido ao punto medio da base (L1)	1,34-0,97	1,12
Lonxitude do dente de N2 medido ao punto medio da base (L2)	1,99-1,11	1,55
Lonxitude do dente de N3 medido ao punto medio da base (L3)	1,42-0,83	1,12
Lonxitude do dente de N4 medido ao punto medio da base (L4)	1,97-0,90	1,23
Anchura do dente de N1 (A1)	1,94-1,08	1,40
Anchura do dente de N2 (A2)	2,12-1,56	1,80
Anchura do dente de N3 (A3)	2,27-1,32	1,82
Anchura do dente de N4 (A4)	1,71-1,35	1,57
Abertura do seo peciolar (SP)	1,32-0,00	0,63
Ancho da folla (AN)	23,27-18,85	21,64
Alto da folla (ALT)	22,51-18,81	21,20
Proxección da distancia entre os extremos N1 e N3 sobre o eixe da folla (L)	21,98-16,65	19,22
Distancia entre os extremos N2 do lado grande e do lado pequeno (IS)	21,75-15,80	18,93
Distancia entre os extremos N3 do lado grande e do lado pequeno (II)	19,92-14,66	17,92
Distancia entre os extremos de N1 e N2 (ENS)	13,66-8,43	11,51
Distancia entre os extremos de N2 e N3 (ENM)	12,70-10,74	11,61
Distancia entre os extremos de N3 e N4 (ENI)	8,34-5,94	7,15
Distancia do punto peciolar ao extremo de N4 (NL)	8,76-5,98	7,60
Distancia entre as bases dos seus superiores (DS1)	8,67-6,78	7,91
Distancia entre a base dos seus inferiores (DS2)	14,37-9,51	11,86
Distancia entre as bases do seo superior e inferior (DS)	7,10-6,05	6,59
Abertura do seo superior (SS)	0,00-0,00	0,00
Abertura do seo inferior (SI)	0,59-0,00	0,26

Carácter apelmométrico	Valor máximo e mínimo (graos)	Valor medio (graos)
Ángulo entre N1 e N2 (A)	64,84-58,83	62,25
Ángulo entre N2 e N3 (B)	66,48-47,77	53,91
Ángulo entre N3 e N4 (C)	66,15-50,57	55,42
Ángulo entre N4 e N5 (D)	55,86-43,67	51,11
Ángulo entre N3 e o bordo do seo peciolar (E)	77,44-55,56	62,23
Ángulo entre os extremos de N1 e o seu primeiro nervio secundario (F)	120,32-97,19	110,58
Ángulo entre os extremos N1 e N2 (AP)	134,24-118,67	123,84

Caracterización molecular

Microsatélites	VVS2	VVMD5	VVMD7	ssrVrZAG47	ssrVrZAG62	ssrVrZAG79	VVS29	VVS5
Pb	130	228	241	155	191	253	169	n.d.
	148	234	245	171	203	255	179	n.d.

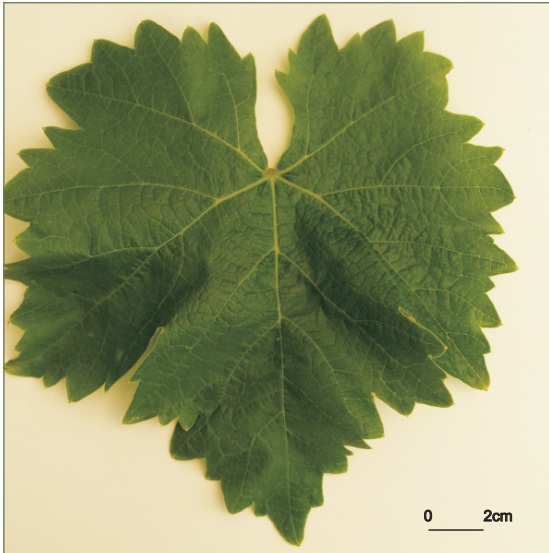
SUMIDADE



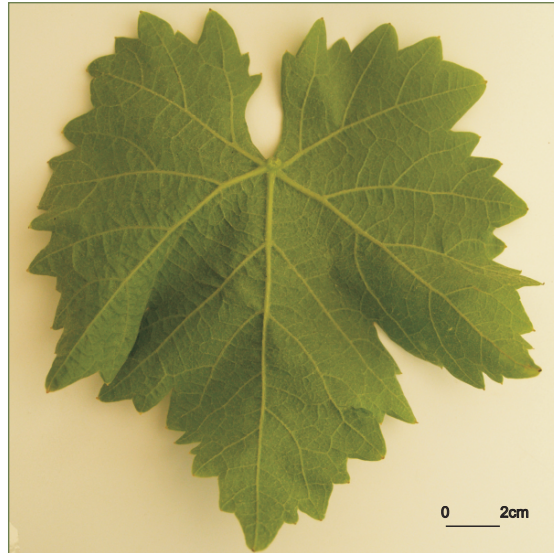
FOLLA NOVA: FACE, ENVÉS



FOLLA ADULTA: FACE



FOLLA ADULTA: ENVÉS



192

ACIO



BAGO



Referencias na colección da EVEGA:
F45P02P29, F55P24P29.

Sinonimias

Non se coñecen.

Antecedentes

Freijanes e Alonso (1997) cítana como cultivada na zona de transición da provincia de Ourense.

Situación actual

Esta variedade presenta unha distribución restrinxida centrada na localidade da Arnoia na comarca do Ribeiro (Ourense). Non se encontra no Rexistro de variedades comerciais e tampouco aparece recollida nos regulamentos das denominacións de orixe para a elaboración de viños. O Rexistro Vitícola da Comunidade Galega cita o cultivo de 0,81 ha na provincia de Ourense.

Valoracións sobre o seu cultivo

Variedade de brotación media-tardía e maduración media, é sensible ao oídio e á botrite e bastante resistente ao mildeu. Produce viños con elevada acidez (7,1g/L) e graduación alcohólica (13,6%) (Blanco *et al.*, 2008). Utilízase como complementaria na elaboración de viños brancos.

Descrición morfolóxica

Pámpano novo

O pámpano novo presenta a extremidade aberta con peluxe tombada de densidade baixa e pigmentación reberetada de intensidade débil. A cara dorsal do entrenó, así como a cara dorsal e ventral dos nós, é verde e vermella, mentres a cara ventral do entrenó é verde. As xemas presentan pigmentación antociánica que afecta case toda a bráctea e de intensidade forte.

Folla nova

A folla nova é bronceada con peluxe tombada de densidade media.

Folla adulta

A folla adulta de cor verde media presenta tamaño medio e forma pentagonal, con cinco lóbulos; peluda, con densidade baixa de pelos tombados entre e sobre os nervios principais do envés do limbo; perfil plano; dentes con lados convexos, de lonxitude media en relación á súa anchura; seo peciolar con lóbulos semiabertos e coa base en forma de chave; seos laterais superiores abertos coa base en forma de V; pecíolo lixeiramente máis curto que o nervio principal.

Acio

O acio é cónico, curto, estreito, de compacidade solta e con presenza de 1 ou 2 ás. O pedúnculo é de lonxitude moi curta.

Bago

O bago de cor verde amarela presenta forma elíptica curta.

Caracterización ampelográfica

Código OIV	Carácter OIV	Notación	Nivel de expresión
Pámpano novo			
001	Forma da extremidade	aberta	5
002	Distribución da pigmentación antociánica da extremidade	reberetada	2
003	Intensidade da pigmentación antociánica da extremidade	débil	3
004	Densidade dos pelos tombados da extremidade	baixa	3
005	Densidade dos pelos ergueitos da extremidade	nula ou moi baixa	1
006	Porte	semi-ergueito	3
007	Cor da cara dorsal dos entrenós	verde e vermella	2
008	Cor da cara ventral dos entrenós	verde	1
009	Cor da cara dorsal dos nós	verde e vermella	2
010	Cor da cara ventral dos nós	verde e vermella	2
011	Densidade dos pelos ergueitos dos nós	nula ou moi baixa	1
012	Densidade dos pelos ergueitos dos entrenós	nula ou moi baixa	1
015.1	Pigmentación antociánica das xemas	case toda a bráctea	4
015.2	Intensidade da pigmentación antociánica das xemas	forte	7
0.16	Número de gabiáns consecutivos	dous	1
Folla nova			
051	Cor da face	bronceada	3
053	Densidade dos pelos tombados entre os nervios	media	5
056	Densidade dos pelos ergueitos dos nervios principais	nula ou moi baixa	1
Folla adulta			
065	Tamaño	medio	5
067	Forma do limbo	pentagonal	3
068	Número de lóbulos	cinco	3
069	Cor da face	verde media	5
070	Pigmentación antociánica dos nervios principais da face do limbo	nula	1
071	Pigmentación antociánica dos nervios principais do envés do limbo	nula	1
072	Avultamento do limbo	ausente	1
073	Ondulación do limbo entre os nervios principais ou secundarios	ausente	1
074	Perfil	plano	1
075	Inchazón da face	débil	3
076	Forma dos dentes	convexos	3
078	Lonxitude dos dentes en relación á súa anchura na base	media	5
079	Solapamento do seo peciolar	semi-aberto	2
080	Forma da base do seo peciolar	en chave	2
081.1	Dentes no seo peciolar	ausentes	1
081.2	Base do seo peciolar limitada pola nervadura	non delimitada	1
082	Solapamento dos seos laterais superiores	aberto	1
083.1	Forma da base dos seos laterais superiores	en V	3

Código OIV	Carácter OIV	Notación	Nivel de expresión
083.2	Dentes nos seus laterais superiores	ausente	1
084	Densidade dos pelos tombados entre os nervios do envés	baixa	3
085	Densidade dos pelos ergueitos entre os nervios do envés	nula ou moi baixa	1
086	Densidade dos pelos tombados sobre os nervios do envés	baixa	3
087	Densidade dos pelos ergueitos sobre os nervios do envés	nula ou moi baixa	1
088	Peluxe dos nervios principais da face	ausentes	1
089	Peluxe ergueita dos nervios principais da face	ausentes	1
090	Densidade dos pelos tombados do pecíolo	nula ou moi baixa	1
091	Densidade dos pelos ergueitos do pecíolo	nula ou moi baixa	1
093	Lonxitude do pecíolo en relación ao nervio central	ligeiramente máis curto	3
Inflorescencia			
151	Sexo da flor	hermafrodita	3
Acio			
202	Lonxitude	curta	3
204	Compacidade	solta	3
206	Lonxitude do pedúnculo	moi curta	1
208	Forma	cónica	2
209	Número de ás do acio primario	1 ou 2	2
Bago			
220	Lonxitude	media	5
221	Anchura	media	5
222	Uniformidade do tamaño	uniforme	2
223	Forma	elíptica curta	3
225	Cor da epiderme	verde amarela	1

Caracterización ampelométrica

Carácter ampelométrico	Valor máximo e mínimo (cm)	Valor medio (cm)
Lonxitude do nervio central (N1)	8,22-7,48	7,89
Lonxitude do nervio principal lateral superior (N2)	7,24-6,67	6,93
Lonxitude do nervio principal lateral inferior (N3)	5,58-4,43	4,94
Lonxitude do nervio secundario inferior (N4)	3,13-2,51	2,82
Lonxitude do nervio terciario inferior (N5)	1,18-1,01	1,12
Distancia do punto peciolar á intersección de N3-N4 (N6)	0,85-0,65	0,74
Distancia do punto peciolar ao seo superior (U)	5,13-3,45	4,35
Distancia do punto peciolar ao seo inferior (O)	4,81-2,88	4,08
Número de dentes entre o extremo N2 e o seu primeiro nervio secundario (ND)	8,00-6,00	6,80

Carácter ampelométrico	Valor máximo e mínimo (cm)	Valor medio (cm)
Distancia entre o extremo de N2 e o seu primeiro nervio secundario (PL)	4,38-3,56	3,89
Lonxitude do dente de N1 medido ao punto medio da base (L1)	0,87-0,50	0,70
Lonxitude do dente de N2 medido ao punto medio da base (L2)	0,84-0,64	0,74
Lonxitude do dente de N3 medido ao punto medio da base (L3)	0,62-0,50	0,55
Lonxitude do dente de N4 medido ao punto medio da base (L4)	0,55-0,40	0,47
Anchura do dente de N1 (A1)	1,41-0,76	1,08
Anchura do dente de N2 (A2)	1,18-0,83	1,01
Anchura do dente de N3 (A3)	1,37-0,80	1,02
Anchura do dente de N4 (A4)	0,96-0,67	0,77
Abertura do seo peciolar (SP)	1,99-0,00	1,14
Ancho da folla (AN)	11,54-10,50	11,09
Alto da folla (ALT)	11,85-10,51	11,04
Proxección da distancia entre os extremos N1 e N3 sobre o eixe da folla (L)	11,60-9,38	10,43
Distancia entre os extremos N2 do lado grande e do lado pequeno (IS)	11,22-10,13	10,81
Distancia entre os extremos N3 do lado grande e do lado pequeno (II)	10,20-8,77	9,45
Distancia entre os extremos de N1 e N2 (ENS)	7,61-5,91	6,66
Distancia entre os extremos de N2 e N3 (ENM)	6,38-4,48	5,65
Distancia entre os extremos de N3 e N4 (ENI)	3,96-2,95	3,51
Distancia do punto peciolar ao extremo de N4 (NL)	3,56-3,07	3,39
Distancia entre as bases dos seos superiores (DS1)	6,17-5,40	5,87
Distancia entre a base dos seos inferiores (DS2)	8,92-7,08	8,12
Distancia entre as bases do seo superior e inferior (DS)	4,78-3,13	3,92
Abertura do seo superior (SS)	0,00-0,00	0,00
Abertura do seo inferior (SI)	0,59-0,00	0,35

Carácter ampelométrico	Valor máximo e mínimo (graos)	Valor medio (graos)
Ángulo entre N1 e N2 (A)	65,14-48,83	58,33
Ángulo entre N2 e N3 (B)	53,86-41,56	47,42
Ángulo entre N3 e N4 (C)	58,30-51,30	54,85
Ángulo entre N4 e N5 (D)	51,80-31,84	42,91
Ángulo entre N3 e o bordo do seo peciolar (E)	69,32-49,83	57,99
Ángulo entre os extremos de N1 e o seu primeiro nervio secundario (F)	102,75-111,43	81,73
Ángulo entre os extremos N1 e N2 (AP)	120,54-103,12	109,28

Caracterización molecular

Microsatélites	VVS2	VVMD5	VVMD7	ssrVrZAG47	ssrVrZAG62	ssrVrZAG79	VVS29	VVS5
Pb	130	228	241	157	185	243	169	117
	150	232	261	165	187	245	169	150

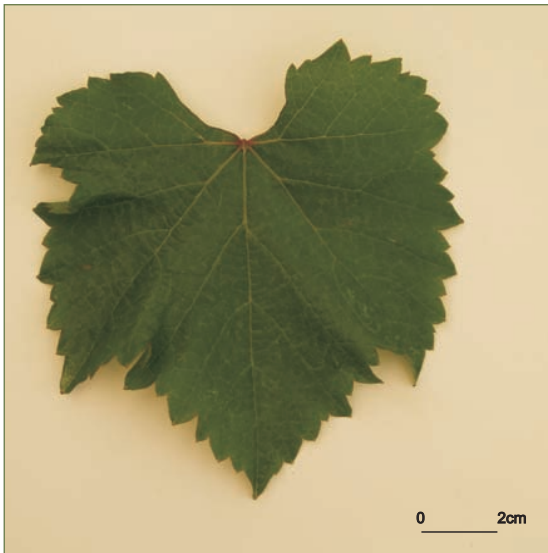
SUMIDADE



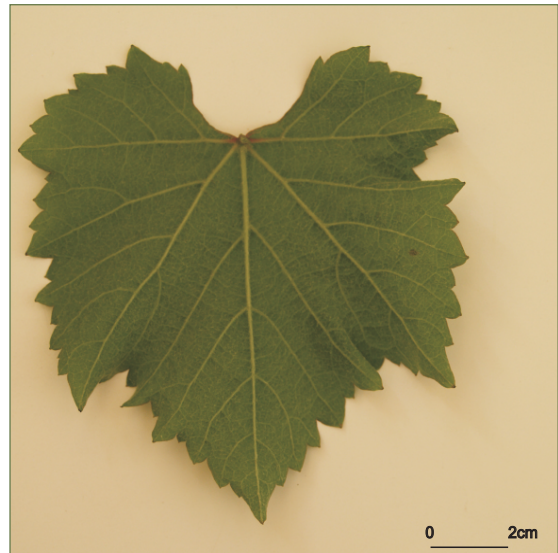
FOLLA NOVA: FACE, ENVÉS



FOLLA ADULTA: FACE



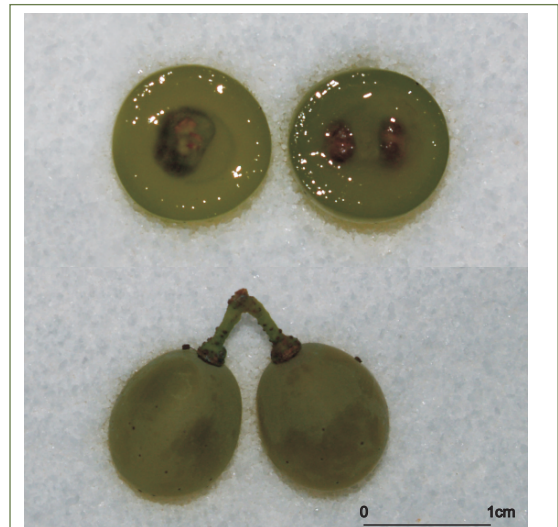
FOLLA ADULTA: ENVÉS



ACIO



BAGO



Referencias na colección da EVEGA: F32P78P87, F33P44P51, F33P77P87, F46P16P34, F51P26P34, F52P35P55, F60P01.

Sinonimias

Loureiro Branco, Marqués (na zona de Salvaterra, Arbo).

Antecedentes

García de los Salmones (1914) cítala como cultivada na Pobra do Caramiñal (A Coruña) e nas Neves (Pontevedra). No Catastro Vitícola de 1983 indícase como cultivada na provincia da Coruña onde contaba cunha extensión do 0,2% da superficie de viñedo e na de Pontevedra co 0,24%. Este cultivar ten a súa orixe en Caíño Bravo (Díaz-Losada *et al.*, 2010, 2011).

Situación actual

É recoñecida como variedade preferente na DO Rías Baixas e como autorizada nas DD.OO. Ribeiro, Ribeira Sacra e Valdeorras. A superficie de cultivo representa o 1,54% da superficie total do viñedo da comunidade, e localízanse 238,24 ha en Pontevedra (0,13 ha na subzona da Ribeira do Ulla, 3,07 ha no Salnés, 136,51 ha no Condado do Tea, 97,47 ha no Rosal e 0,43 ha en Soutomaior), 0,41 ha na Coruña e 20,39 ha en Ourense.

Valoracións sobre o seu cultivo

Variedade de brotación media e maduración tardía é moi sensible á botrite e moderadamente sensible ao oídio e ao mildeu. Produce viños non moi alcohólicos e de alta acidez (con valores de grao alcohólico entre 11,7-10,1% e valores de acidez entre 9,5-7,7g/L).

Descrición morfolóxica

Pámpano novo

O pámpano novo presenta a extremidade aberta con peluxe tombada de densidade media, sen pigmentación ou con pigmentación reberetada de intensidade moi débil. A cara dorsal do entrenó, así como a cara dorsal e ventral do nó, é verde e vermella, mentres a cara ventral do entrenó é verde. As xemas presentan pigmentación antociánica na base da bráctea de intensidade débil.

Folla nova

A folla nova é bronceada con peluxe tombada de densidade media.

Folla adulta

A folla adulta de cor verde media presenta tamaño medio e forma pentagonal, con cinco lóbulos; peluda, con densidade media de pelos tombados e baixa de pelos ergueitos entre os nervios principais do envés e baixa densidade de pelos tombados e ergueitos sobre os nervios principais do envés; perfil plano; limbo con avultamento medio e inchazón débil; presenza de pigmentación antociánica sobre os nervios principais do envés do limbo que afecta o punto peciolar; dentes con mestura de lados rectilíneos e convexos, de lonxitude media en relación á súa anchura; seo peciolar con lóbulos medio superpostos e coa base en forma de chave; seos laterais superiores abertos coa base en forma de U; pecíolo lixeiramente máis curto que o nervio principal.

Acio

O acio é cónico, longo, de anchura e compacidade media e con presenza de 1 ou 2 ás. O pedúnculo é de lonxitude curta.

Bago

O bago de cor verde amarela presenta forma esférica.

Caracterización ampelográfica

Código OIV	Carácter OIV	Notación	Nivel de expresión
Pámpano novo			
001	Forma da extremidade	aberta	5
002	Distribución da pigmentación antociánica da extremidade	reberetada	2
003	Intensidade da pigmentación antociánica da extremidade	moi débil	1
004	Densidade dos pelos tombados da extremidade	media	5
005	Densidade dos pelos ergueitos da extremidade	nula ou moi baixa	1
006	Porte	semi-ergueito	3
007	Cor da cara dorsal dos entrenós	verde e vermella	2
008	Cor da cara ventral dos entrenós	verde	1
009	Cor da cara dorsal dos nós	verde e vermella	2
010	Cor da cara ventral dos nós	verde e vermella	2
011	Densidade dos pelos ergueitos dos nós	nula ou moi baixa	1
012	Densidade dos pelos ergueitos dos entrenós	nula ou moi baixa	1
015.1	Pigmentación antociánica das xemas	na base	2
015.2	Intensidade da pigmentación antociánica das xemas	débil	3
0.16	Número de gabiáns consecutivos	dous	1
Folla nova			
051	Cor da face	bronceada	3
053	Densidade dos pelos tombados entre os nervios	media	5
056	Densidade dos pelos ergueitos dos nervios principais	nula ou moi baixa	1
Folla adulta			
065	Tamaño	medio	5
067	Forma do limbo	pentagonal	3
068	Número de lóbulos	cinco	3
069	Cor da face	verde media	5
070	Pigmentación antociánica dos nervios principais da face do limbo	punto peciolar	2
071	Pigmentación antociánica dos nervios principais do envés do limbo	punto peciolar	2
072	Avultamento do limbo	medio	5
073	Ondulación do limbo entre os nervios principais ou secundarios	presente	9
074	Perfil	plano	1
075	Inchazón da face	débil	3
076	Forma dos dentes	mestura de lados rectilíneos e convexos	5
078	Lonxitude dos dentes en relación á súa anchura na base	media	5
079	Solapamento do seo peciolar	medio superpostos	5
080	Forma da base do seo peciolar	en chave	2
081.1	Dentes no seo peciolar	ausentes	1
081.2	Base do seo peciolar limitada pola nervadura	non delimitada	1
082	Solapamento dos seos laterais superiores	aberto	1

Código OIV	Carácter OIV	Notación	Nivel de expresión
083.1	Forma da base dos seos laterais superiores	en U	1
083.2	Dentes nos seos laterais superiores	ausente	1
084	Densidade dos pelos tombados entre os nervios do envés	media	5
085	Densidade dos pelos ergueitos entre os nervios do envés	baixa	3
086	Densidade dos pelos tombados sobre os nervios do envés	baixa	3
087	Densidade dos pelos ergueitos sobre os nervios do envés	baixa	3
088	Peluxe dos nervios principais da face	ausentes	1
089	Peluxe ergueita dos nervios principais da face	ausentes	1
090	Densidade dos pelos tombados do pecíolo	nula ou moi baixa	1
091	Densidade dos pelos ergueitos do pecíolo	nula ou moi baixa	1
093	Lonxitude do pecíolo en relación ao nervio central	lixeramente máis curto	3
Inflorescencia			
151	Sexo da flor	hermafrodita	3
Acio			
202	Lonxitude	longa	7
204	Compacidade	media	5
206	Lonxitude do pedúnculo	curta	3
208	Forma	cónica	2
209	Número de ás do acio primario	1 ou 2	2
Bago			
220	Lonxitude	longa	7
221	Anchura	ancha	7
222	Uniformidade do tamaño	uniforme	2
223	Forma	esférica	2
225	Cor da epiderme	verde amarela	1

Caracterización ampelométrica

Carácter ampelométrico	Valor máximo e mínimo (cm)	Valor medio (cm)
Lonxitude do nervio central (N1)	11,22-8,45	9,84
Lonxitude do nervio principal lateral superior (N2)	9,84-7,17	8,90
Lonxitude do nervio principal lateral inferior (N3)	7,23-5,58	6,56
Lonxitude do nervio secundario inferior (N4)	4,62-3,69	4,28
Lonxitude do nervio terciario inferior (N5)	2,53-0,83	2,00
Distancia do punto peciolar á intersección de N3-N4 (N6)	7,36-0,70	2,24
Distancia do punto peciolar ao seo superior (U)	6,62-4,29	5,59
Distancia do punto peciolar ao seo inferior (O)	6,36-4,18	5,43
Número de dentes entre o extremo N2 e o seu primeiro nervio secundario (ND)	10,00-6,00	7,63

Carácter apelmométrico	Valor máximo e mínimo (cm)	Valor medio (cm)
Distancia entre o extremo de N2 e o seu primeiro nervio secundario (PL)	6,29-0,68	4,60
Lonxitude do dente de N1 medido ao punto medio da base (L1)	1,16-0,52	0,82
Lonxitude do dente de N2 medido ao punto medio da base (L2)	0,86-0,41	0,65
Lonxitude do dente de N3 medido ao punto medio da base (L3)	0,72-0,00	0,54
Lonxitude do dente de N4 medido ao punto medio da base (L4)	0,96-0,35	0,56
Anchura do dente de N1 (A1)	1,81-0,35	1,06
Anchura do dente de N2 (A2)	1,45-0,49	1,20
Anchura do dente de N3 (A3)	1,44-0,00	1,01
Anchura do dente de N4 (A4)	1,26-0,76	0,99
Abertura do seo peciolar (SP)	1,98-0,24	0,96
Ancho da folla (AN)	15,94-12,12	14,40
Alto da folla (ALT)	15,86-11,88	14,26
Proxección da distancia entre os extremos N1 e N3 sobre o eixe da folla (L)	14,92-10,74	12,86
Distancia entre os extremos N2 do lado grande e do lado pequeno (IS)	15,36-11,00	13,05
Distancia entre os extremos N3 do lado grande e do lado pequeno (II)	14,33-6,20	11,44
Distancia entre os extremos de N1 e N2 (ENS)	8,99-5,70	7,91
Distancia entre os extremos de N2 e N3 (ENM)	6,25-5,12	7,29
Distancia entre os extremos de N3 e N4 (ENI)	5,86-3,38	4,91
Distancia do punto peciolar ao extremo de N4 (NL)	6,24-4,15	4,97
Distancia entre as bases dos seus superiores (DS1)	8,78-5,44	7,11
Distancia entre a base dos seus inferiores (DS2)	12,78-9,67	11,02
Distancia entre as bases do seo superior e inferior (DS)	7,21-4,50	5,54
Abertura do seo superior (SS)	1,46-0,00	0,61
Abertura do seo inferior (SI)	1,13-0,00	0,64

Carácter apelmométrico	Valor máximo e mínimo (graos)	Valor medio (graos)
Ángulo entre N1 e N2 (A)	66,19-50,39	59,01
Ángulo entre N2 e N3 (B)	60,62-41,26	49,10
Ángulo entre N3 e N4 (C)	61,30-38,34	51,64
Ángulo entre N4 e N5 (D)	64,06-23,14	41,86
Ángulo entre N3 e o bordo do seo peciolar (E)	78,53-49,12	63,49
Ángulo entre os extremos de N1 e o seu primeiro nervio secundario (F)	141,24-93,61	112,57
Ángulo entre os extremos N1 e N2 (AP)	150,77-107,47	116,93

Caracterización molecular

Microsatélites	VVS2	VVMD5	VVMD7	ssrVrZAG47	ssrVrZAG62	ssrVrZAG79	VVS29	VVS5
Pb	140	228	249	157	185	245	169	85
	150	228	261	161	195	249	179	121

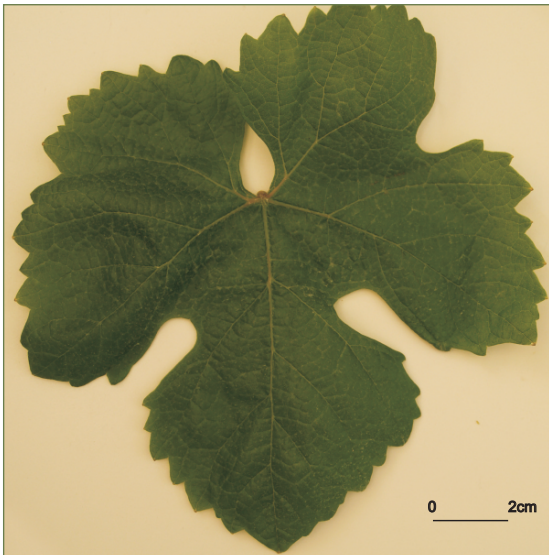
SUMIDADE



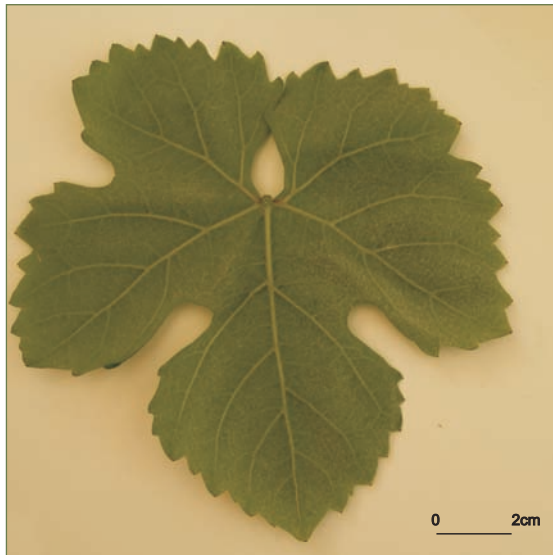
FOLLA NOVA: FACE, ENVÉS



FOLLA ADULTA: FACE



FOLLA ADULTA: ENVÉS



202

ACIO



BAGO



Referencias na colección da EVEGA:
F30P01, F31P02, F48P01.

Sinonimias

Non se coñecen.

Antecedentes

García de los Salmones (1914) cita a presenza de exemplares coa mesma denominación na provincia de Pontevedra e nas localidades de Entrimo e Gomesende na provincia de Ourense. No Rexistro Vitícola de 1983 aparece como cultivada nas provincias da Coruña, Lugo e nas DD.OO. do Ribeiro e Valdeorras na provincia de Ourense, aínda que non superaba o 0,02% da superficie de viñado.

Situación actual

Presenza puntual.

Descrición morfolóxica

Pámpano novo

O pámpano novo presenta a extremidade aberta, glabra e sen pigmentación. A cara dorsal do entrenó, así como a cara dorsal e ventral do nó, é verde e vermella, mentres que a cara ventral do entrenó é verde. As xemas presentan pigmentación antociánica que alcanza as $\frac{3}{4}$ partes da bráctea e de intensidade media.

Folla nova

A folla nova é bronceada con escasa peluxe tombada.

Folla adulta

A folla adulta de cor verde media presenta tamaño medio e forma pentagonal, con cinco lóbulos; con presenza de pelos ergueitos sobre os nervios principais do envés do limbo; perfil plano; limbo con avultamento e inchazón débil; dentes de lados rectilíneos, de lonxitude longa en relación á súa anchura; seo peciolar con lóbulos medio superpostos e coa base en forma de chave; seos laterais superiores con lóbulos lixeiramente superpostos coa base en forma de U; o pecíolo é lixeiramente máis curto que o nervio principal.

Acio

O acio é cónico, longo, ancho e compacto e con presenza de 1 ou 2 ás. O pedúnculo é de lonxitude curta.

Bago

O bago de cor verde amarela presenta forma elíptica curta.

Caracterización ampelográfica

Código OIV	Carácter OIV	Notación	Nivel de expresión
Pámpano novo			
001	Forma da extremidade	aberta	5
002	Distribución da pigmentación antociánica da extremidade	ausente	1
003	Intensidade da pigmentación antociánica da extremidade	nula	1
004	Densidade dos pelos tombados da extremidade	nula	1
005	Densidade dos pelos ergueitos da extremidade	nula	1
006	Porte	semi-ergueito	3
007	Cor da cara dorsal dos entrenós	verde e vermella	2
008	Cor da cara ventral dos entrenós	verde	1
009	Cor da cara dorsal dos nós	verde e vermella	2
010	Cor da cara ventral dos nós	verde e vermella	2
011	Densidade dos pelos ergueitos dos nós	nula	1
012	Densidade dos pelos ergueitos dos entrenós	nula	1
015.1	Pigmentación antociánica das xemas	ata $\frac{3}{4}$ da bráctea	3
015.2	Intensidade da pigmentación antociánica das xemas	media	5
0.16	Número de gabiáns consecutivos	dous	1
Folla nova			
051	Cor da face	bronceada	3
053	Densidade dos pelos tombados entre os nervios	baixa	3
056	Densidade dos pelos ergueitos dos nervios principais	nula	1
Folla adulta			
065	Tamaño	medio	5
067	Forma do limbo	pentagonal	3
068	Número de lóbulos	cinco	3
069	Cor da face	verde media	5
070	Pigmentación antociánica dos nervios principais da face do limbo	nula	1
071	Pigmentación antociánica dos nervios principais do envés do limbo	nula	1
072	Avultamento do limbo	débil	3
073	Ondulación do limbo entre os nervios principais ou secundarios	presente	9
074	Perfil	plano	1
075	Inchazón da face	débil	3
076	Forma dos dentes	rectilíneos	2
078	Lonxitude dos dentes en relación á súa anchura na base	grandes	7
079	Solapamento do seo peciolar	medio superpostos	5
080	Forma da base do seo peciolar	en chave	2
081.1	Dentes no seo peciolar	ausentes	1
081.2	Base do seo peciolar limitada pola nervadura	non delimitada	1
082	Solapamento dos seos laterais superiores	lixeiramente superpostos	3
083.1	Forma da base dos seos laterais superiores	en U	1

Código OIV	Carácter OIV	Notación	Nivel de expresión
083.2	Dentes nos seus laterais superiores	ausente	1
084	Densidade dos pelos tombados entre os nervios do envés	nula	1
085	Densidade dos pelos ergueitos entre os nervios do envés	nula	1
086	Densidade dos pelos tombados sobre os nervios do envés	nula	1
087	Densidade dos pelos ergueitos sobre os nervios do envés	baixa	3
088	Peluxe dos nervios principais da face	ausentes	1
089	Peluxe ergueita dos nervios principais da face	ausentes	1
090	Densidade dos pelos tombados do pecíolo	nula ou moi baixa	1
091	Densidade dos pelos ergueitos do pecíolo	nula ou moi baixa	1
093	Lonxitude do pecíolo en relación ao nervio central	lixeiramente máis curto	3
Inflorescencia			
151	Sexo da flor	hermafrodita	3
Acio			
202	Lonxitude	longa	7
204	Compacidade	compacta	7
206	Lonxitude do pedúnculo	curta	3
208	Forma	cónica	2
209	Número de ás do acio primario	1 ou 2	2
Bago			
220	Lonxitude	longa	7
221	Anchura	ancha	7
222	Uniformidade do tamaño	uniforme	2
223	Forma	elíptica curta	3
225	Cor da epiderme	verde amarela	1

205

Caracterización ampelométrica

Carácter ampelométrico	Valor máximo e mínimo (cm)	Valor medio (cm)
Lonxitude do nervio central (N1)	13,55-12,32	13,02
Lonxitude do nervio principal lateral superior (N2)	14,12-11,02	12,17
Lonxitude do nervio principal lateral inferior (N3)	10,45-8,81	9,61
Lonxitude do nervio secundario inferior (N4)	6,33-5,39	5,75
Lonxitude do nervio terciario inferior (N5)	4,02-1,77	2,90
Distancia do punto peciolar á intersección de N3-N4 (N6)	1,43-0,64	0,99
Distancia do punto peciolar ao seo superior (U)	3,83-2,03	3,00
Distancia do punto peciolar ao seo inferior (O)	4,88-2,65	4,05
Número de dentes entre o extremo N2 e o seu primeiro nervio secundario (ND)	5,00-3,00	4,00

Carácter ampelométrico	Valor máximo e mínimo (cm)	Valor medio (cm)
Distancia entre o extremo de N2 e o seu primeiro nervio secundario (PL)	6,46-5,97	6,15
Lonxitude do dente de N1 medido ao punto medio da base (L1)	1,97-1,38	1,61
Lonxitude do dente de N2 medido ao punto medio da base (L2)	2,42-1,60	2,06
Lonxitude do dente de N3 medido ao punto medio da base (L3)	2,25-1,45	1,83
Lonxitude do dente de N4 medido ao punto medio da base (L4)	1,62-1,30	1,51
Anchura do dente de N1 (A1)	1,90-1,59	1,75
Anchura do dente de N2 (A2)	2,20-1,56	1,91
Anchura do dente de N3 (A3)	2,07-1,49	1,80
Anchura do dente de N4 (A4)	1,87-1,39	1,65
Abertura do seo peciolar (SP)	1,97-0,00	0,39
Ancho da folla (AN)	22,46-18,12	19,71
Alto da folla (ALT)	20,12-18,37	19,11
Proxección da distancia entre os extremos N1 e N3 sobre o eixe da folla (L)	19,49-16,74	18,17
Distancia entre os extremos N2 do lado grande e do lado pequeno (IS)	20,88-16,06	18,47
Distancia entre os extremos N3 do lado grande e do lado pequeno (II)	20,69-17,01	18,72
Distancia entre os extremos de N1 e N2 (ENS)	13,53-9,73	11,67
Distancia entre os extremos de N2 e N3 (ENM)	10,85-8,32	9,68
Distancia entre os extremos de N3 e N4 (ENI)	8,77-6,03	7,58
Distancia do punto peciolar ao extremo de N4 (NL)	6,77-6,36	6,58
Distancia entre as bases dos seos superiores (DS1)	4,77-2,76	3,64
Distancia entre a base dos seos inferiores (DS2)	9,87-5,93	6,90
Distancia entre as bases do seo superior e inferior (DS)	4,29-2,39	2,83
Abertura do seo superior (SS)	0,00-0,00	0,00
Abertura do seo inferior (SI)	0,82-0,00	0,25

Carácter ampelométrico	Valor máximo e mínimo (graos)	Valor medio (graos)
Ángulo entre N1 e N2 (A)	70,47-60,52	64,90
Ángulo entre N2 e N3 (B)	68,30-51,60	58,24
Ángulo entre N3 e N4 (C)	60,60-51,94	56,40
Ángulo entre N4 e N5 (D)	48,31-40,42	43,93
Ángulo entre N3 e o bordo do seo peciolar (E)	84,57-50,89	66,12
Ángulo entre os extremos de N1 e o seu primeiro nervio secundario (F)	100,75-85,76	94,20
Ángulo entre os extremos N1 e N2 (AP)	130,13-111,54	117,80

Caracterización molecular

Microsatélites	VVS2	VVMD5	VVMD7	ssrVrZAG47	ssrVrZAG62	ssrVrZAG79	VVS29	VVS5
Pb	130	222	231	157	187	253	169	117
	130	224	237	157	195	257	179	121

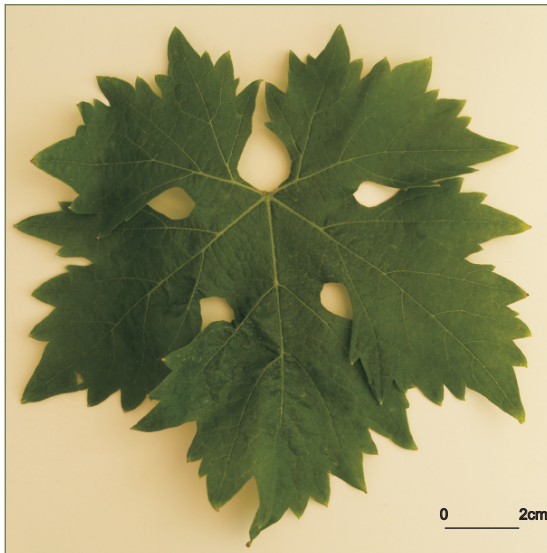
SUMIDADE



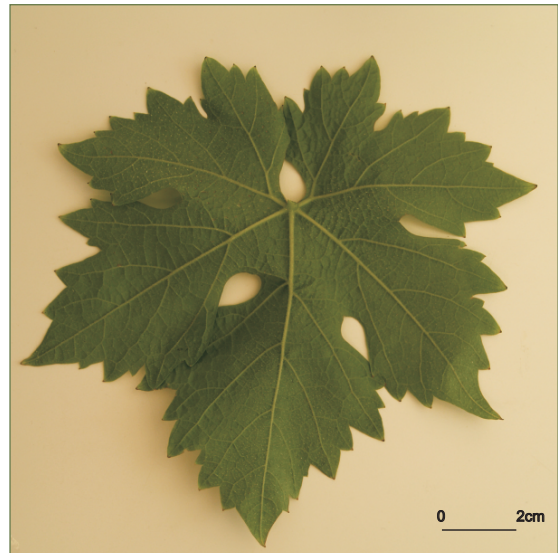
FOLLA NOVA: FACE, ENVÉS



FOLLA ADULTA: FACE



FOLLA ADULTA: ENVÉS



ACIO



BAGO



Referencias na colección da EVEGA:
F3P39P51.

Sinonimias

Non se coñecen.

Antecedentes

Varietade considerada autóctona de Arribes del Duero, na Comunidade Autónoma de Castela e León (Rubio *et al.*, 2005; Santana *et al.*, 2008). No Catastro Vitícola de 1983 cítase como cultivada na provincia da Coruña, e ocupaba unha superficie de 0,37 ha, o que representa o 0,01% da extensión de viñedo.

Situación actual

Descoñécese a súa localización actual.

Descrición morfolóxica

Pámpano novo

O pámpano novo presenta a extremidade aberta con peluxe tombada de densidade media e pigmentación reberetada de intensidade forte. A cara dorsal e ventral do entrenó e a cara ventral do nó son verdes, e a cara dorsal do nó, verde e vermella. As xemas non presentan pigmentación antociánica.

Folla nova

A folla nova é bronceada con peluxe tombada de densidade alta.

Folla adulta

A folla adulta de cor verde media presenta tamaño medio e forma pentagonal, con cinco lóbulos; peluda, con densidade media de pelos tombados e baixa de pelos ergueitos entre os nervios principais do envés do limbo; perfil alabeado; limbo con avultamento e inchazón de intensidade débil; dentes con lados rectilíneos, de lonxitude curta en relación á súa anchura; seo peciolar con lóbulos pouco abertos e coa base en forma de chave; seos laterais superiores pouco abertos coa base en forma de V; pecíolo lixeiramente máis curto que o nervio principal.

Acio

O acio é cónico, de lonxitude, anchura e compacidade media e con presenza de 3 ou 4 ás. O pedúnculo é de lonxitude curta.

Bago

O bago de cor azul negra presenta forma esférica.

Caracterización ampelográfica

Código OIV	Carácter OIV	Notación	Nivel de expresión
Pámpano novo			
001	Forma da extremidade	aberta	5
002	Distribución da pigmentación antociánica da extremidade	reberetada	2
003	Intensidade da pigmentación antociánica da extremidade	forte	7
004	Densidade dos pelos tombados da extremidade	media	5
005	Densidade dos pelos ergueitos da extremidade	nula ou moi baixa	1
006	Porte	semi-ergueito	3
007	Cor da cara dorsal dos entrenós	verde	1
008	Cor da cara ventral dos entrenós	verde	1
009	Cor da cara dorsal dos nós	verde e vermella	2
010	Cor da cara ventral dos nós	verde	1
011	Densidade dos pelos ergueitos dos nós	nula ou moi baixa	1
012	Densidade dos pelos ergueitos dos entrenós	nula ou moi baixa	1
015.1	Pigmentación antociánica das xemas	ausente	1
015.2	Intensidade da pigmentación antociánica das xemas	nula ou moi débil	1
0.16	Número de gabiáns consecutivos	dous	1
Folla nova			
051	Cor da face	bronceada	3
053	Densidade dos pelos tombados entre os nervios	alta	7
056	Densidade dos pelos ergueitos dos nervios principais	nula ou moi baixa	1
Folla adulta			
065	Tamaño	medio	5
067	Forma do limbo	pentagonal	3
068	Número de lóbulos	cinco	3
069	Cor da face	verde media	5
070	Pigmentación antociánica dos nervios principais da face do limbo	nula	1
071	Pigmentación antociánica dos nervios principais do envés do limbo	nula	1
072	Avultamento do limbo	débil	3
073	Ondulación do limbo entre os nervios principais ou secundarios	ausente	1
074	Perfil	alabeado	5
075	Inchazón da face	débil	3
076	Forma dos dentes	rectilíneos	2
078	Lonxitude dos dentes en relación á súa anchura na base	pequenos	3
079	Solapamento do seo peciolar	pouco aberto	3
080	Forma da base do seo peciolar	en chave	2
081.1	Dentes no seo peciolar	ausentes	1
081.2	Base do seo peciolar limitada pola nervadura	non delimitada	1
082	Solapamento dos seos laterais superiores	pouco abertos	3
083.1	Forma da base dos seos laterais superiores	en V	3

Código OIV	Carácter OIV	Notación	Nivel de expresión
083.2	Dentes nos seos laterais superiores	ausente	1
084	Densidade dos pelos tombados entre os nervios do envés	media	5
085	Densidade dos pelos ergueitos entre os nervios do envés	baixa	3
086	Densidade dos pelos tombados sobre os nervios do envés	baixa	3
087	Densidade dos pelos ergueitos sobre os nervios do envés	nula ou moi baixa	1
088	Peluxe dos nervios principais da face	ausentes	1
089	Peluxe ergueita dos nervios principais da face	ausentes	1
090	Densidade dos pelos tombados do pecíolo	nula ou moi baixa	1
091	Densidade dos pelos ergueitos do pecíolo	nula ou moi baixa	1
093	Lonxitude do pecíolo en relación ao nervio central	lixiramente máis curto	3
Inflorescencia			
151	Sexo da flor	hermafrodita	3
Acio			
202	Lonxitude	media	5
204	Compacidade	media	5
206	Lonxitude do pedúnculo	curta	3
208	Forma	cónica	2
209	Número de ás do acio primario	3 ou 4	3
Bago			
220	Lonxitude	longa	7
221	Anchura	ancha	7
222	Uniformidade do tamaño	uniforme	2
223	Forma	esférica	2
225	Cor da epiderme	azul negra	6

Caracterización ampelométrica

Carácter ampelométrico	Valor máximo e mínimo (cm)	Valor medio (cm)
Lonxitude do nervio central (N1)	11,63-10,12	11,12
Lonxitude do nervio principal lateral superior (N2)	11,04-10,32	10,60
Lonxitude do nervio principal lateral inferior (N3)	7,31-6,47	6,87
Lonxitude do nervio secundario inferior (N4)	4,87-3,94	4,37
Lonxitude do nervio terciario inferior (N5)	2,52-1,56	2,08
Distancia do punto peciolar á intersección de N3-N4 (N6)	1,04-0,38	0,79
Distancia do punto peciolar ao seo superior (U)	7,94-5,34	6,65
Distancia do punto peciolar ao seo inferior (O)	6,60-3,71	5,05
Número de dentes entre o extremo N2 e o seu primeiro nervio secundario (ND)	7,00-5,00	6,20

Carácter apelmométrico	Valor máximo e mínimo (cm)	Valor medio (cm)
Distancia entre o extremo de N2 e o seu primeiro nervio secundario (PL)	6,15-4,90	5,50
Lonxitude do dente de N1 medido ao punto medio da base (L1)	0,89-0,66	0,79
Lonxitude do dente de N2 medido ao punto medio da base (L2)	1,12-0,89	1,01
Lonxitude do dente de N3 medido ao punto medio da base (L3)	1,11-0,66	0,81
Lonxitude do dente de N4 medido ao punto medio da base (L4)	0,79-0,63	0,69
Anchura do dente de N1 (A1)	1,36-1,07	1,19
Anchura do dente de N2 (A2)	1,56-1,34	1,45
Anchura do dente de N3 (A3)	2,12-1,28	1,70
Anchura do dente de N4 (A4)	1,44-1,18	1,31
Abertura do seo peciolar (SP)	2,25-0,00	1,14
Ancho da folla (AN)	16,56-15,33	15,85
Alto da folla (ALT)	15,79-13,40	14,91
Proxección da distancia entre os extremos N1 e N3 sobre o eixe da folla (L)	14,26-13,68	14,05
Distancia entre os extremos N2 do lado grande e do lado pequeno (IS)	14,08-12,23	13,17
Distancia entre os extremos N3 do lado grande e do lado pequeno (II)	14,74-11,53	13,52
Distancia entre os extremos de N1 e N2 (ENS)	9,06-6,95	8,35
Distancia entre os extremos de N2 e N3 (ENM)	10,00-7,65	8,62
Distancia entre os extremos de N3 e N4 (ENI)	6,38-4,59	5,48
Distancia do punto peciolar ao extremo de N4 (NL)	5,25-4,71	5,02
Distancia entre as bases dos seos superiores (DS1)	7,54-5,19	6,28
Distancia entre a base dos seos inferiores (DS2)	12,68-7,28	10,07
Distancia entre as bases do seo superior e inferior (DS)	7,08-5,08	5,66
Abertura do seo superior (SS)	1,07-0,00	0,35
Abertura do seo inferior (SI)	2,05-0,54	1,22

Carácter apelmométrico	Valor máximo e mínimo (graos)	Valor medio (graos)
Ángulo entre N1 e N2 (A)	60,93-45,59	52,92
Ángulo entre N2 e N3 (B)	65,44-50,53	58,53
Ángulo entre N3 e N4 (C)	70,67-56,52	60,03
Ángulo entre N4 e N5 (D)	52,48-36,04	45,34
Ángulo entre N3 e o bordo do seo peciolar (E)	71,87-45,14	61,50
Ángulo entre os extremos de N1 e o seu primeiro nervio secundario (F)	113,46-97,56	105,48
Ángulo entre os extremos N1 e N2 (AP)	135,77-119,73	127,52

Caracterización molecular

Microsatélites	VVS2	VVMD5	VVMD7	ssrVrZAG47	ssrVrZAG62	ssrVrZAG79	VVS29	VVS5
Pb	140	n.d.	237	159	185	255	169	n.d.
	150	n.d.	237	159	187	257	169	n.d.

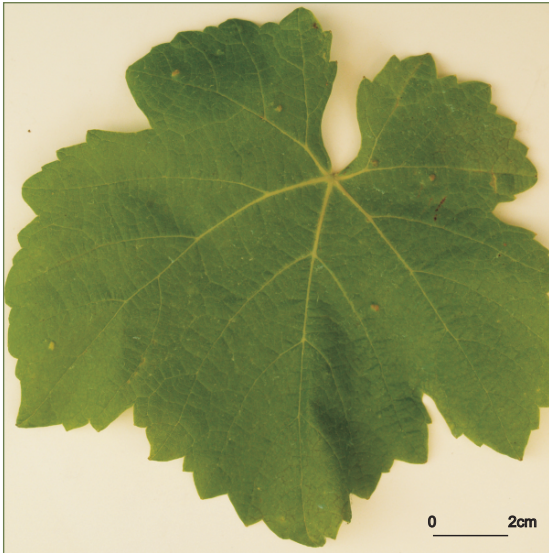
SUMIDADE



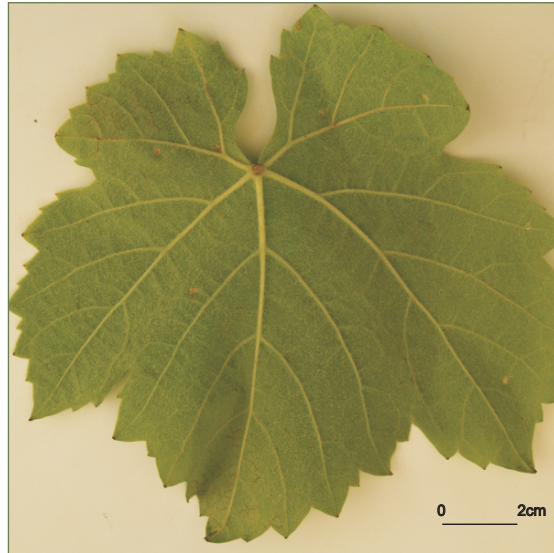
FOLLA NOVA: FACE, ENVÉS



FOLLA ADULTA: FACE



FOLLA ADULTA: ENVÉS



212

ACIO



BAGO



Referencias na colección da EVEGA:

F02P02P19, F03P01P04, F03P06P09, F03P18P24, F04P01P21, F05P04P22, F06P01P30, F47P36P39, F63P12P14.

Sinonimias

Non se coñecen.

Antecedentes

García de los Salmones (1914) cítaa como cultivada nas provincias de Lugo e Ourense e na zona de Caldas de Rei na provincia de Pontevedra. No Catastro Vitícola de 1983 indícase como presente nas provincias da Coruña, onde ocupaba o 0,17% da extensión, en Lugo cun 23,1%, en Ourense cun 3,35% e en Pontevedra cun 0,01%. A súa orixe xenética é a liñaxe orixinada en Merenzao (Díaz-Losada *et al.*, 2010).

Situación actual

É recoñecida como variedade preferente nas DD.OO. Ribeira Sacra, Valdeorras e Monterrei, e como autorizada nas DD.OO. Ribeiro e Rías Baixas. Tamén é contemplada para a elaboración de viños nas indicacións xeográficas Viños da Terra Barbanza e Iria, Val do Miño e Betanzos. A superficie de cultivo representa o 9,38% da superficie total de viñado da comunidade, e localízanse 189,33 ha en Pontevedra (46,02 ha na subzona da DO Rías Baixas Salnés, 115,50 ha no Condado do Tea, 24,51 ha no Rosal e 3,30 ha en Soutomaior), 41,81 ha na Coruña, 1.350,32 ha en Lugo e 1.388,78 ha en Ourense.

Valoracións sobre o seu cultivo

Variedade de brotación e maduración media, é sensible ao oídio e presenta sensibilidade moderada ao mildeu e á botrite. Produce viños de elevado potencial enolóxico, con graduacións de 13,27-13,03% e acidez de 4,91-4,07 g/L, con tonalidades violáceas e aromas afroitados e notas especiadas.

Descrición morfolóxica

Pámpano novo

O pámpano novo presenta a extremidade aberta, glabra e sen pigmentación antociánica. A cara dorsal do entrenó, así como a cara dorsal e ventral do nó, é verde e vermella, mentres a cara ventral do entrenó é verde. As xemas non presentan pigmentación antociánica.

Folla nova

A folla nova de cor verde é glabra.

Folla adulta

A folla adulta de cor verde media presenta tamaño medio e forma pentagonal, con cinco lóbulos; glabra; perfil plano; limbo con inchazón débil; dentes con mestura de lados convexos e rectilíneos, de lonxitude media en relación á súa anchura; seo peciolar con lóbulos pouco abertos e a base en forma de chave; seos laterais superiores abertos coa base en forma de V; pecíolo lixeiramente máis curto que o nervio principal.

Acio

O acio é cónico, longo, de compacidade media e con presenza de 1 ou 2 ás. O pedúnculo é de lonxitude curta.

Bago

O bago de cor azul negra presenta forma elíptica curta.

Caracterización ampelográfica

Código OIV	Carácter OIV	Notación	Nivel de expresión
Pámpano novo			
001	Forma da extremidade	aberta	5
002	Distribución da pigmentación antociánica da extremidade	ausente	1
003	Intensidade da pigmentación antociánica da extremidade	nula ou moi débil	1
004	Densidade dos pelos tombados da extremidade	nula	1
005	Densidade dos pelos ergueitos da extremidade	nula	1
006	Porte	semi-ergueito	3
007	Cor da cara dorsal dos entrenós	verde e vermella	2
008	Cor da cara ventral dos entrenós	verde	1
009	Cor da cara dorsal dos nós	verde e vermella	2
010	Cor da cara ventral dos nós	verde e vermella	2
011	Densidade dos pelos ergueitos dos nós	nula	1
012	Densidade dos pelos ergueitos dos entrenós	nula	1
015.1	Pigmentación antociánica das xemas	ausente	1
015.2	Intensidade da pigmentación antociánica das xemas	nula	1
0.16	Número de gabiáns consecutivos	dous	1
Folla nova			
051	Cor da face	verde	1
053	Densidade dos pelos tombados entre os nervios	nula	1
056	Densidade dos pelos ergueitos dos nervios principais	nula	1
Folla adulta			
065	Tamaño	medio	5
067	Forma do limbo	pentagonal	3
068	Número de lóbulos	cinco	3
069	Cor da face	verde media	5
070	Pigmentación antociánica dos nervios principais da face do limbo	nula	1
071	Pigmentación antociánica dos nervios principais do envés do limbo	nula	1
072	Avultamento do limbo	ausente	1
073	Ondulación do limbo entre os nervios principais ou secundarios	ausente	1
074	Perfil	plano	1
075	Inchazón da face	débil	3
076	Forma dos dentes	mestura de rectilíneos e convexos	5
078	Lonxitude dos dentes en relación á súa anchura na base	medios	5
079	Solapamento do seo peciolar	pouco aberto	3
080	Forma da base do seo peciolar	en chave	2
081.1	Dentes no seo peciolar	ausentes	1
081.2	Base do seo peciolar limitada pola nervadura	non delimitada	1
082	Solapamento dos seos laterais superiores	aberto	1

Código OIV	Carácter OIV	Notación	Nivel de expresión
083.1	Forma da base dos seus laterais superiores	en V	3
083.2	Dentes nos seus laterais superiores	ausente	1
084	Densidade dos pelos tombados entre os nervios do envés	nula	1
085	Densidade dos pelos ergueitos entre os nervios do envés	nula	1
086	Densidade dos pelos tombados sobre os nervios do envés	nula	1
087	Densidade dos pelos ergueitos sobre os nervios do envés	nula	1
088	Peluxe dos nervios principais da face	ausentes	1
089	Peluxe ergueita dos nervios principais da face	ausentes	1
090	Densidade dos pelos tombados do pecíolo	nula	1
091	Densidade dos pelos ergueitos do pecíolo	nula	1
093	Lonxitude do pecíolo en relación ao nervio central	lixeramente máis curto	3
Inflorescencia			
151	Sexo da flor	hermafrodita	3
Acio			
202	Lonxitude	longa	7
204	Compacidade	media	5
206	Lonxitude do pedúnculo	curta	3
208	Forma	cónica	2
209	Número de ás do acio primario	1 ou 2	2
Bago			
220	Lonxitude	mediana	5
221	Anchura	ancha	7
222	Uniformidade do tamaño	uniforme	2
223	Forma	elíptica curta	3
225	Cor da epiderme	azul negra	6

Caracterización ampelométrica

Carácter ampelométrico	Valor máximo e mínimo (cm)	Valor medio (cm)
Lonxitude do nervio central (N1)	11,54-8,73	10,08
Lonxitude do nervio principal lateral superior (N2)	11,73-8,45	10,05
Lonxitude do nervio principal lateral inferior (N3)	9,02-6,24	7,47
Lonxitude do nervio secundario inferior (N4)	6,11-4,95	5,45
Lonxitude do nervio terciario inferior (N5)	3,93-1,87	2,77
Distancia do punto peciolar á intersección de N3-N4 (N6)	1,10-0,22	0,74
Distancia do punto peciolar ao seo superior (U)	8,43-4,58	6,64
Distancia do punto peciolar ao seo inferior (O)	6,66-4,59	5,65
Número de dentes entre o extremo N2 e o seu primeiro nervio secundario (ND)	7,00-3,00	5,56

Carácter ampelométrico	Valor máximo e mínimo (cm)	Valor medio (cm)
Distancia entre o extremo de N2 e o seu primeiro nervio secundario (PL)	5,93-1,09	4,62
Lonxitude do dente de N1 medido ao punto medio da base (L1)	1,31-0,66	0,97
Lonxitude do dente de N2 medido ao punto medio da base (L2)	1,22-0,68	0,96
Lonxitude do dente de N3 medido ao punto medio da base (L3)	1,09-0,53	0,80
Lonxitude do dente de N4 medido ao punto medio da base (L4)	0,96-0,36	0,66
Anchura do dente de N1 (A1)	1,86-1,10	1,30
Anchura do dente de N2 (A2)	1,49-0,99	1,28
Anchura do dente de N3 (A3)	1,34-0,89	1,13
Anchura do dente de N4 (A4)	1,41-0,80	1,03
Abertura do seo peciolar (SP)	2,88-0,72	1,88
Ancho da folla (AN)	18,81-13,09	15,13
Alto da folla (ALT)	17,91-13,24	14,89
Proxección da distancia entre os extremos N1 e N3 sobre o eixe da folla (L)	15,87-10,48	12,54
Distancia entre os extremos N2 do lado grande e do lado pequeno (IS)	17,83-10,99	12,69
Distancia entre os extremos N3 do lado grande e do lado pequeno (II)	17,49-6,61	13,79
Distancia entre os extremos de N1 e N2 (ENS)	10,09-4,46	7,13
Distancia entre os extremos de N2 e N3 (ENM)	9,12-5,74	7,60
Distancia entre os extremos de N3 e N4 (ENI)	7,35-4,26	5,97
Distancia do punto peciolar ao extremo de N4 (NL)	6,75-4,47	5,75
Distancia entre as bases dos seos superiores (DS1)	10,28-3,95	6,15
Distancia entre a base dos seos inferiores (DS2)	14,87-7,86	11,12
Distancia entre as bases do seo superior e inferior (DS)	7,66-4,61	5,93
Abertura do seo superior (SS)	1,68-0,47	0,93
Abertura do seo inferior (SI)	0,94-0,38	0,60

Carácter ampelométrico	Valor máximo e mínimo (graos)	Valor medio (graos)
Ángulo entre N1 e N2 (A)	60,40-45,27	52,76
Ángulo entre N2 e N3 (B)	66,08-43,24	51,97
Ángulo entre N3 e N4 (C)	54,08-42,85	48,47
Ángulo entre N4 e N5 (D)	50,99-37,48	43,40
Ángulo entre N3 e o bordo do seo peciolar (E)	76,91-45,81	63,81
Ángulo entre os extremos de N1 e o seu primeiro nervio secundario (F)	124,10-100,69	111,09
Ángulo entre os extremos N1 e N2 (AP)	139,53-119,33	130,28

Caracterización molecular

Microsatélites	VVS2	VVMD5	VVMD7	ssrVrZAG47	ssrVrZAG62	ssrVrZAG79	VVS29	VVS5
Pb	142	222	247	157	187	245	169	94
	150	232	255	165	193	249	169	150

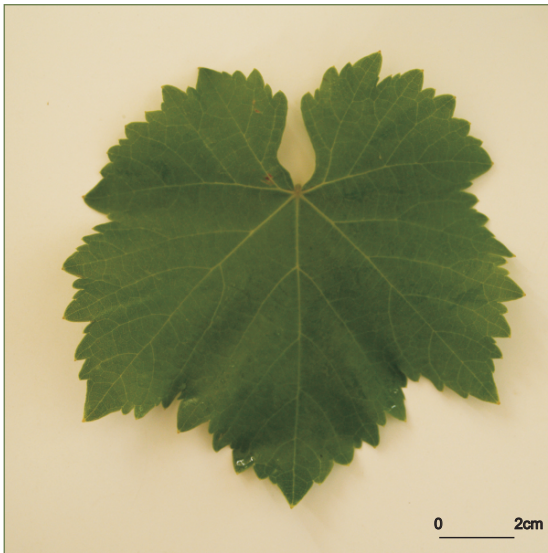
SUMIDADE



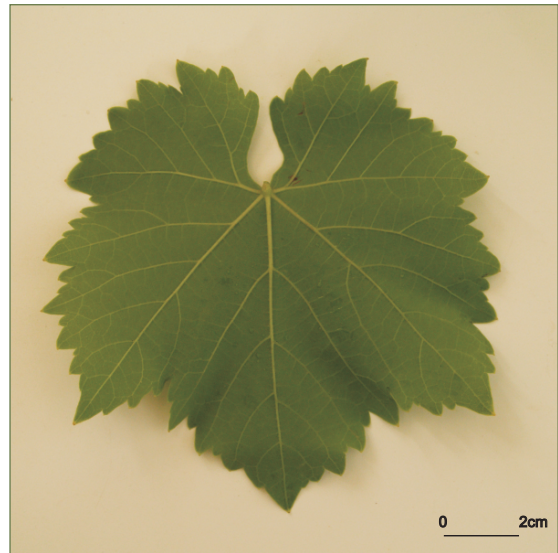
FOLLA NOVA: FACE, ENVÉS



FOLLA ADULTA: FACE



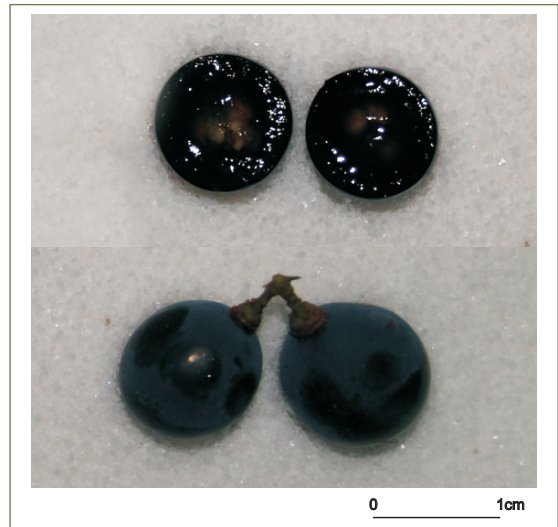
FOLLA ADULTA: ENVÉS



ACIO



BAGO



Referencias na colección da EVEGA:
F11P45P54, F39P01P40, F47P40P43,
F59P02P26, F62P13P24.

Sinonimias

Bastardo, Carnaz, Roibal, Pecho e María Ordoña.

Antecedentes

García de los Salmones (1914) cítala como cultivada na provincia de Ourense coas denominacións Merenzao, María Ordoña ou Bastardo (na localidade de Viana do Bolo), na provincia de Lugo na zona de Monforte coa denominación Carnaz e coa denominación de Roibal na provincia da Coruña na localidade de Paderne (Betanzos). Este cultivar é a orixe da principal liñaxe do leste de Galicia, que deu lugar ao cultivar Mencía (Díaz-Losada *et al.*, 2010).

Situación actual

É recoñecida como variedade preferente nas DD.OO. Ribeira Sacra, Valdeorras e Monterrei. Tamén é contemplada para a elaboración de viños na indicación xeográfica Viño da Terra de Betanzos. A superficie de cultivo é escasa, rexístranse 0,02 ha na provincia de Lugo e 12,9 ha en Ourense.

Valoracións sobre o seu cultivo

Varietade de brotación media e maduración media, é moi sensible á botrite e moderadamente sensible ao oídio e ao mildeu. Produce viños de elevada graduación (valor medio de 13,6%) e baixa acidez (valor medio de 5,1 g/L) se se compara con outros cultivares da rexión.

Descrición morfolóxica

Pámpano novo

O pámpano novo presenta a extremidade aberta con peluxe tombada de densidade media, con pigmentación antociánica de intensidade media. A cara dorsal dos entrenós e nós é verde e vermella, mentres que a ventral é verde. As xemas presentan pigmentación antociánica na base de intensidade media.

Folla nova

A folla nova é bronceada con peluxe tombada de densidade media.

Folla adulta

A folla adulta de cor verde media presenta tamaño medio e forma pentagonal, con cinco lóbulos; peluda, con densidade media de pelos tombados entre os nervios principais; perfil alabeado; limbo con avultamento e inchazón débil; dentes con lados convexos, de lonxitude curta en relación á súa anchura; seo peciolar con lóbulos medio superpostos e coa base en forma de chave ou V; seos laterais superiores abertos coa base en forma de V; pecíolo lixeiramente máis curto que o nervio principal.

Acio

O acio é cilíndrico, de lonxitude media e compacto. O pedúnculo é de lonxitude curta.

Bago

O bago de cor vermella violeta escura presenta forma elíptica curta.

Caracterización ampelográfica

Código OIV	Carácter OIV	Notación	Nivel de expresión
Pámpano novo			
001	Forma da extremidade	aberta	5
002	Distribución da pigmentación antociánica da extremidade	reberetada	3
003	Intensidade da pigmentación antociánica da extremidade	media	5
004	Densidade dos pelos tombados da extremidade	media	5
005	Densidade dos pelos ergueitos da extremidade	nula ou moi baixa	1
006	Porte	ergueito	1
007	Cor da cara dorsal dos entrenós	verde e vermella	2
008	Cor da cara ventral dos entrenós	verde	1
009	Cor da cara dorsal dos nós	verde e vermella	2
010	Cor da cara ventral dos nós	verde	1
011	Densidade dos pelos ergueitos dos nós	nula ou moi baixa	1
012	Densidade dos pelos ergueitos dos entrenós	nula ou moi baixa	1
015.1	Pigmentación antociánica das xemas	na base	2
015.2	Intensidade da pigmentación antociánica das xemas	media	5
0.16	Número de gabiáns consecutivos	dous	1
Folla nova			
051	Cor da face	bronceada	3
053	Densidade dos pelos tombados entre os nervios	media	5
056	Densidade dos pelos ergueitos dos nervios principais	nula ou moi baixa	1
Folla adulta			
065	Tamaño	medio	5
067	Forma do limbo	pentagonal	3
068	Número de lóbulos	cinco	3
069	Cor da face	verde media	5
070	Pigmentación antociánica dos nervios principais da face do limbo	nula	1
071	Pigmentación antociánica dos nervios principais do envés do limbo	nula	1
072	Avultamento do limbo	débil	3
073	Ondulación do limbo entre os nervios principais ou secundarios	ausente	1
074	Perfil	alabeado	5
075	Inchazón da face	débil	3
076	Forma dos dentes	convexos	3
078	Lonxitude dos dentes en relación á súa anchura na base	pequenos	3
079	Solapamento do seo peciolar	medio superpostos	5
080	Forma da base do seo peciolar	en chave	2
081.1	Dentes no seo peciolar	ausentes	1
081.2	Base do seo peciolar limitada pola nervadura	non delimitada	1
082	Solapamento dos seos laterais superiores	aberto	1
083.1	Forma da base dos seos laterais superiores	en V	3

Código OIV	Carácter OIV	Notación	Nivel de expresión
083.2	Dentes nos seos laterais superiores	ausente	1
084	Densidade dos pelos tombados entre os nervios do envés	media	5
085	Densidade dos pelos ergueitos entre os nervios do envés	baixa	3
086	Densidade dos pelos tombados sobre os nervios do envés	baixa	3
087	Densidade dos pelos ergueitos sobre os nervios do envés	nula ou moi baixa	1
088	Peluxe dos nervios principais da face	ausentes	1
089	Peluxe ergueita dos nervios principais da face	ausentes	1
090	Densidade dos pelos tombados do pecíolo	nula ou moi baixa	1
091	Densidade dos pelos ergueitos do pecíolo	nula ou moi baixa	1
093	Lonxitude do pecíolo en relación ao nervio central	lixiramente máis curto	3
Inflorescencia			
151	Sexo da flor	hermafrodita	3
Acio			
202	Lonxitude	media	5
204	Compacidade	compacta	7
206	Lonxitude do pedúnculo	curta	3
208	Forma	cilíndrica	1
209	Número de ás do acio primario	ausentes	1
Bago			
220	Lonxitude	longa	7
221	Anchura	mediana	5
222	Uniformidade do tamaño	uniforme	2
223	Forma	elíptica curta	3
225	Cor da epiderme	vermella violeta escura	5

Caracterización ampelométrica

Carácter ampelométrico	Valor máximo e mínimo (cm)	Valor medio (cm)
Lonxitude do nervio central (N1)	12,60-8,97	11,13
Lonxitude do nervio principal lateral superior (N2)	11,22-8,65	9,99
Lonxitude do nervio principal lateral inferior (N3)	8,72-6,70	7,79
Lonxitude do nervio secundario inferior (N4)	6,01-4,22	5,13
Lonxitude do nervio terciario inferior (N5)	3,14-1,57	2,36
Distancia do punto peciolar á intersección de N3-N4 (N6)	1,45-0,71	1,11
Distancia do punto peciolar ao seo superior (U)	8,37-5,50	7,11
Distancia do punto peciolar ao seo inferior (O)	7,61-4,87	6,21
Número de dentes entre o extremo N2 e o seu primeiro nervio secundario (ND)	8,00-4,00	6,13

Carácter apelmométrico	Valor máximo e mínimo (cm)	Valor medio (cm)
Distancia entre o extremo de N2 e o seu primeiro nervio secundario (PL)	10,57-4,54	6,65
Lonxitude do dente de N1 medido ao punto medio da base (L1)	1,85-0,08	0,67
Lonxitude do dente de N2 medido ao punto medio da base (L2)	0,91-0,15	0,59
Lonxitude do dente de N3 medido ao punto medio da base (L3)	0,87-0,38	0,63
Lonxitude do dente de N4 medido ao punto medio da base (L4)	0,84-0,45	0,65
Anchura do dente de N1 (A1)	1,98-0,35	1,28
Anchura do dente de N2 (A2)	1,87-0,03	1,32
Anchura do dente de N3 (A3)	1,65-0,58	1,32
Anchura do dente de N4 (A4)	1,38-0,79	1,13
Abertura do seo peciolar (SP)	0,29-0,00	0,03
Ancho da folla (AN)	20,04-14,85	17,48
Alto da folla (ALT)	19,18-14,57	17,02
Proxección da distancia entre os extremos N1 e N3 sobre o eixe da folla (L)	18,21-13,18	15,99
Distancia entre os extremos N2 do lado grande e do lado pequeno (IS)	19,01-12,04	15,40
Distancia entre os extremos N3 do lado grande e do lado pequeno (II)	16,49-9,81	13,79
Distancia entre os extremos de N1 e N2 (ENS)	12,70-7,31	9,36
Distancia entre os extremos de N2 e N3 (ENM)	11,33-7,30	9,33
Distancia entre os extremos de N3 e N4 (ENI)	7,60-5,25	6,48
Distancia do punto peciolar ao extremo de N4 (NL)	7,01-4,98	5,88
Distancia entre as bases dos seus superiores (DS1)	11,51-6,83	9,01
Distancia entre a base dos seus inferiores (DS2)	13,84-8,20	11,42
Distancia entre as bases do seo superior e inferior (DS)	8,83-5,19	7,26
Abertura do seo superior (SS)	3,10-0,00	0,49
Abertura do seo inferior (SI)	1,27-0,20	0,73

Carácter apelmométrico	Valor máximo e mínimo (graos)	Valor medio (graos)
Ángulo entre N1 e N2 (A)	77,00-62,04	67,76
Ángulo entre N2 e N3 (B)	69,40-46,14	57,48
Ángulo entre N3 e N4 (C)	72,37-43,02	60,44
Ángulo entre N4 e N5 (D)	57,63-25,20	44,31
Ángulo entre N3 e o bordo do seo peciolar (E)	91,69-52,64	70,08
Ángulo entre os extremos de N1 e o seu primeiro nervio secundario (F)	127,65-99,27	11,27
Ángulo entre os extremos N1 e N2 (AP)	123,04-103,69	112,68

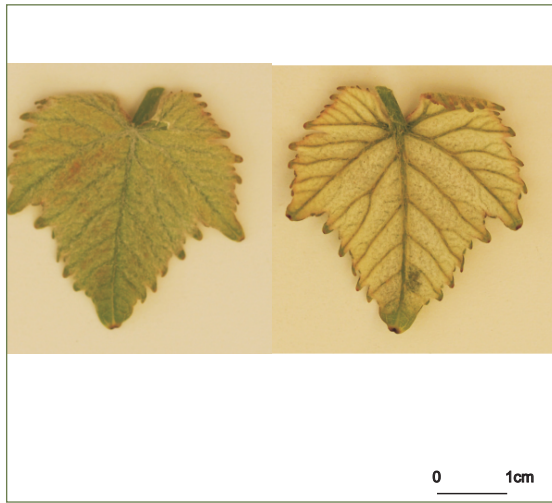
Caracterización molecular

Microsatélites	VVS2	VVMD5	VVMD7	ssrVrZAG47	ssrVrZAG62	ssrVrZAG79	VVS29	VVS5
Pb	140	234	237	151	187	243	169	98
	150	234	255	165	187	245	169	150

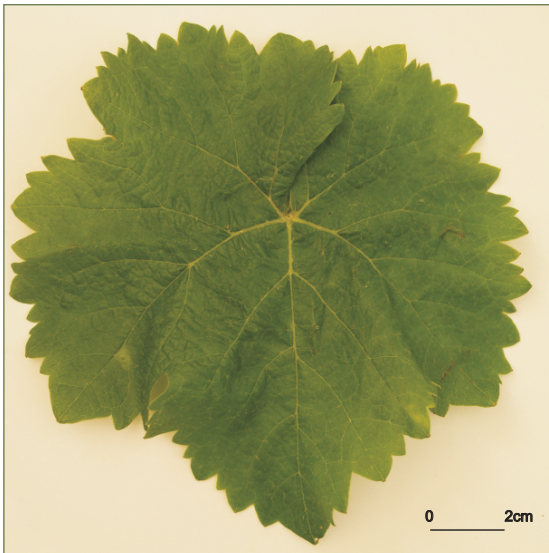
SUMIDADE



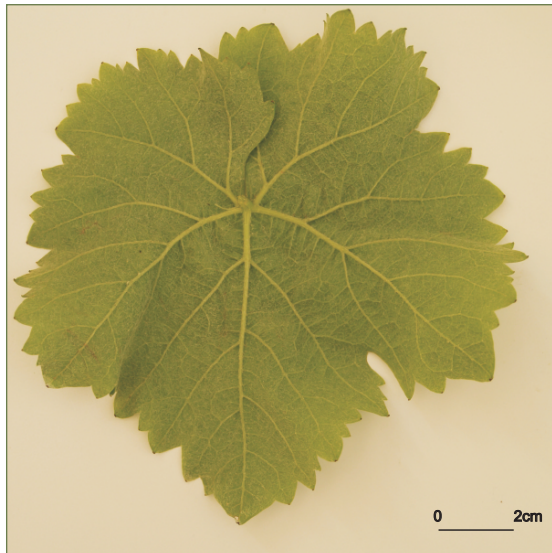
FOLLA NOVA: FACE, ENVÉS



FOLLA ADULTA: FACE

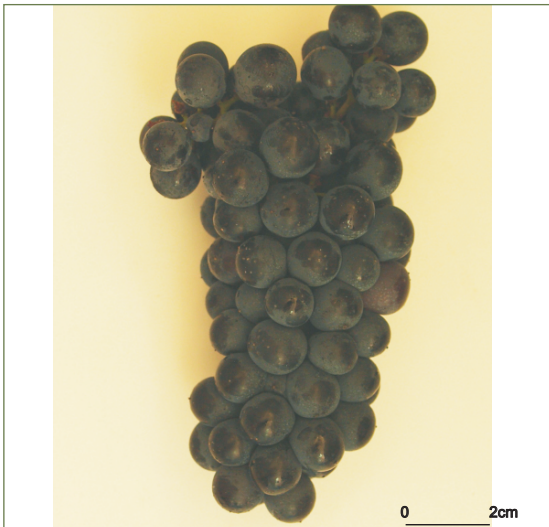


FOLLA ADULTA: ENVÉS

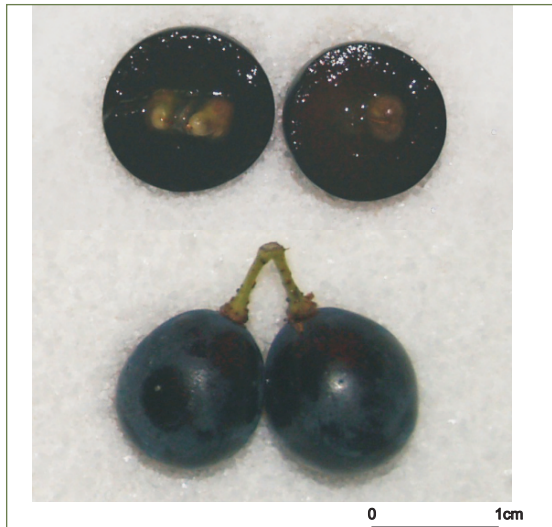


222

ACIO



BAGO



Referencias na colección da EVEGA:
F34P27P29, F55P18.

Variedade de uva de mesa. A denominación dada a este xenotipo correspóndese coa mencionada por Ibáñez *et al.*, 2003, coa denominación de Moscatel de Gran Gordo, presente na Colección de El Encín, e cuxa orixe é a provincia de Cádiz.

Descrición morfolóxica

Pámpano novo

O pámpano novo presenta a extremidade aberta con peluxe tombada de densidade baixa e sen pigmentación. A cara dorsal e ventral dos entrenós e nós é verde. As xemas non presentan pigmentación antociánica.

Folla nova

A folla nova é bronceada con peluxe tombada de densidade media.

Folla adulta

A folla adulta de cor verde media presenta tamaño medio e forma pentagonal, con cinco lóbulos; glabra; perfil plano; limbo con avultamento e inchazón débil; dentes con lados rectilíneos, de lonxitude media en relación á súa anchura; seo peciolar con lóbulos lixeiramente superpostos e coa base en forma de V ou de chave; seos laterais superiores abertos ou con lóbulos lixeiramente superpostos coa base en forma de V; pecíolo lixeiramente máis curto que o nervio principal.

Acio

O acio é en forma de embude, longo, moi ancho, de compacidade moi solta e con presenza de 1 ou 2 ás. O pedúnculo é de lonxitude media.

Bago

O bago de cor verde amarela presenta forma elíptica longa.

Caracterización ampelográfica

Código OIV	Carácter OIV	Notación	Nivel de expresión
Pámpano novo			
001	Forma da extremidade	aberta	5
002	Distribución da pigmentación antociánica da extremidade	ausente	1
003	Intensidade da pigmentación antociánica da extremidade	nula	1
004	Densidade dos pelos tombados da extremidade	baixa	3
005	Densidade dos pelos ergueitos da extremidade	nula ou moi baixa	1
006	Porte	semi-ergueito	3
007	Cor da cara dorsal dos entrenós	verde	1
008	Cor da cara ventral dos entrenós	verde	1
009	Cor da cara dorsal dos nós	verde	1
010	Cor da cara ventral dos nós	verde	1
011	Densidade dos pelos ergueitos dos nós	nula ou moi baixa	1
012	Densidade dos pelos ergueitos dos entrenós	nula ou moi baixa	1
015.1	Pigmentación antociánica das xemas	ausente	1
015.2	Intensidade da pigmentación antociánica das xemas	nula ou moi débil	1
0.16	Número de gabiáns consecutivos	dous	1
Folla nova			
051	Cor da face	bronceada	3
053	Densidade dos pelos tombados entre os nervios	media	5
056	Densidade dos pelos ergueitos dos nervios principais	nula ou moi baixa	1
Folla adulta			
065	Tamaño	medio	5
067	Forma do limbo	pentagonal	3
068	Número de lóbulos	cinco	3
069	Cor da face	verde media	5
070	Pigmentación antociánica dos nervios principais da face do limbo	nula	1
071	Pigmentación antociánica dos nervios principais do envés do limbo	nula	1
072	Avultamento do limbo	débil	3
073	Ondulación do limbo entre os nervios principais ou secundarios	presente	9
074	Perfil	plano	1
075	Inchazón da face	débil	3
076	Forma dos dentes	rectilíneos	2
078	Lonxitude dos dentes en relación á súa anchura na base	media	5
079	Solapamento do seo peciolar	lixeiramente superpostos	4
080	Forma da base do seo peciolar	en V	3
081.1	Dentes no seo peciolar	ausentes	1
081.2	Base do seo peciolar limitada pola nervadura	non delimitada	1
082	Solapamento dos seos laterais superiores	lixeiramente superpostos	4
083.1	Forma da base dos seos laterais superiores	en V	3

Código OIV	Carácter OIV	Notación	Nivel de expresión
083.2	Dentes nos seus laterais superiores	ausente	1
084	Densidade dos pelos tombados entre os nervios do envés	nula ou moi baixa	1
085	Densidade dos pelos ergueitos entre os nervios do envés	nula ou moi baixa	1
086	Densidade dos pelos tombados sobre os nervios do envés	nula ou moi baixa	1
087	Densidade dos pelos ergueitos sobre os nervios do envés	nula ou moi baixa	1
088	Peluxe dos nervios principais da face	ausentes	1
089	Peluxe ergueita dos nervios principais da face	ausentes	1
090	Densidade dos pelos tombados do pecíolo	nula ou moi baixa	1
091	Densidade dos pelos ergueitos do pecíolo	nula ou moi baixa	1
093	Lonxitude do pecíolo en relación ao nervio central	ligeiramente máis curto	3
Inflorescencia			
151	Sexo da flor	hermafrodita	3
Acio			
202	Lonxitude	longa	7
204	Compacidade	moi solta	1
206	Lonxitude do pedúnculo	media	5
208	Forma	en embude	3
209	Número de ás do acio primario	1 ou 2	2
Bago			
220	Lonxitude	moi longa	9
221	Anchura	moi ancha	9
222	Uniformidade do tamaño	uniforme	2
223	Forma	elíptica longa	4
225	Cor da epiderme	verde amarela	1

225

Caracterización ampelométrica

Carácter ampelométrico	Valor máximo e mínimo (cm)	Valor medio (cm)
Lonxitude do nervio central (N1)	10,66-8,77	9,77
Lonxitude do nervio principal lateral superior (N2)	10,03-7,19	8,83
Lonxitude do nervio principal lateral inferior (N3)	7,54-4,99	6,37
Lonxitude do nervio secundario inferior (N4)	4,88-3,18	4,05
Lonxitude do nervio terciario inferior (N5)	2,33-1,46	1,94
Distancia do punto peciolar á intersección de N3-N4 (N6)	1,04-0,75	0,86
Distancia do punto peciolar ao seo superior (U)	4,88-3,36	4,08
Distancia do punto peciolar ao seo inferior (O)	5,95-3,91	4,95
Número de dentes entre o extremo N2 e o seu primeiro nervio secundario (ND)	7,00-7,00	7,00

Carácter ampelométrico	Valor máximo e mínimo (cm)	Valor medio (cm)
Distancia entre o extremo de N2 e o seu primeiro nervio secundario (PL)	4,58-3,62	4,34
Lonxitude do dente de N1 medido ao punto medio da base (L1)	0,96-0,48	0,69
Lonxitude do dente de N2 medido ao punto medio da base (L2)	1,12-0,83	0,95
Lonxitude do dente de N3 medido ao punto medio da base (L3)	1,30-0,67	0,89
Lonxitude do dente de N4 medido ao punto medio da base (L4)	0,86-0,70	0,76
Anchura do dente de N1 (A1)	0,95-0,57	0,72
Anchura do dente de N2 (A2)	1,15-0,79	0,93
Anchura do dente de N3 (A3)	1,50-0,89	1,09
Anchura do dente de N4 (A4)	1,08-0,71	0,86
Abertura do seo peciolar (SP)	5,09-1,68	3,61
Ancho da folla (AN)	14,92-12,02	13,52
Alto da folla (ALT)	14,30-12,75	13,42
Proxección da distancia entre os extremos N1 e N3 sobre o eixe da folla (L)	11,95-10,52	11,45
Distancia entre os extremos N2 do lado grande e do lado pequeno (IS)	12,97-11,05	12,11
Distancia entre os extremos N3 do lado grande e do lado pequeno (II)	14,62-9,83	12,62
Distancia entre os extremos de N1 e N2 (ENS)	7,77-5,69	6,93
Distancia entre os extremos de N2 e N3 (ENM)	6,76-6,10	6,39
Distancia entre os extremos de N3 e N4 (ENI)	4,46-2,81	3,92
Distancia do punto peciolar ao extremo de N4 (NL)	5,67-3,92	4,85
Distancia entre as bases dos seos superiores (DS1)	5,34-3,71	4,31
Distancia entre a base dos seos inferiores (DS2)	10,92-7,78	9,45
Distancia entre as bases do seo superior e inferior (DS)	4,58-3,71	4,02
Abertura do seo superior (SS)	0,00-0,00	0,00
Abertura do seo inferior (SI)	0,67-0,02	0,38

Carácter ampelométrico	Valor máximo e mínimo (graos)	Valor medio (graos)
Ángulo entre N1 e N2 (A)	55,46-47,40	51,30
Ángulo entre N2 e N3 (B)	52,45-43,25	46,32
Ángulo entre N3 e N4 (C)	52,37-43,02	46,39
Ángulo entre N4 e N5 (D)	43,12-32,61	37,85
Ángulo entre N3 e o bordo do seo peciolar (E)	56,57-37,40	45,87
Ángulo entre os extremos de N1 e o seu primeiro nervio secundario (F)	100,81-88,57	95,73
Ángulo entre os extremos N1 e N2 (AP)	132,05-106,77	121,26

Caracterización molecular

Microsatélites	VVS2	VVMD5	VVMD7	ssrVrZAG47	ssrVrZAG62	ssrVrZAG79	VVS29	VVS5
Pb	130	224	247	155	185	245	169	n.d.
	148	228	249	171	203	253	177	n.d.

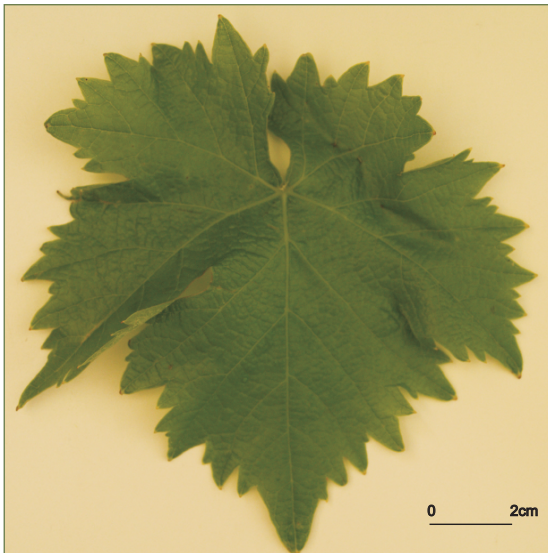
SUMIDADE



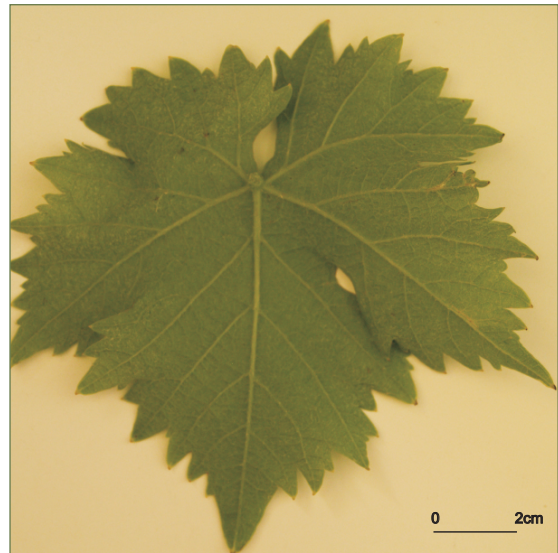
FOLLA NOVA: FACE, ENVÉS



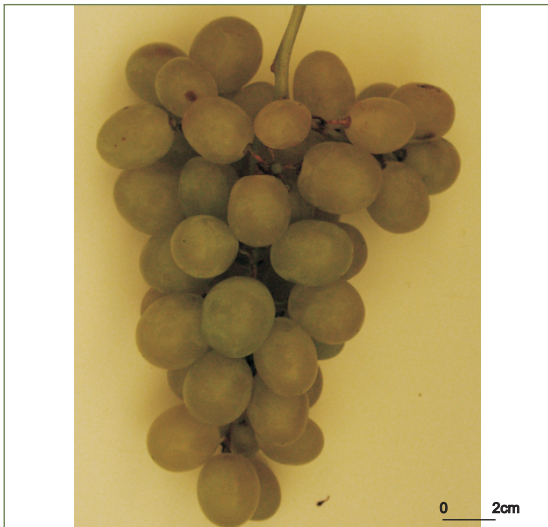
FOLLA ADULTA: FACE



FOLLA ADULTA: ENVÉS



ACIO



BAGO



moscatel de Bago miúdo

Referencias na colección da EVEGA:

F03P25, F05P03, F07P01, F12P02, F13P02, F16P01, F18P01, F19P01, F51P01P25.

Sinonimias

Moscatel Galego.

Antecedentes

García de los Salmenes (1914) cita a presenza de Moscatel de Bago Branco nas localidades de Betanzos, Fonsagrada e Celanova. Non consta no Catastro Vitícola de 1983, polo que o seu cultivo era reducido. Galet (1985) menciona a súa correspondencia con Muscat Blanc de Frontignan, variedade que foi cultivada dende a antigüidade ao bordo do mediterráneo, e que moi posiblemente fose introducida en España polos romanos.

Situación actual

Está presente en parcelas plurivarietais nas DD.OO. Ribeiro e Ribeira Sacra.

Valoracións sobre o seu cultivo

Variedade de brotación e maduración temperá, é moi sensible ao oídio, moderadamente sensible ao mildeu e pouco sensible á botrite. Produce viños moi aromáticos, de elevada graduación (valores entre 12-16%) e baixa acidez (valores entre 8-7 g/L).

Descrición morfolóxica

Pámpano novo

O pámpano novo presenta a extremidade aberta con peluxe tombada de densidade baixa e sen pigmentación ausente ou reberetada de intensidade débil. A cara dorsal dos entrenós e nós é verde e vermella, e a ventral, verde. As xemas presentan pigmentación antociánica na base da bráctea e de intensidade débil.

Folla nova

A folla nova é cobreada-avermellada con peluxe tombada de densidade media.

Folla adulta

A folla adulta de cor verde media presenta tamaño medio e forma pentagonal, con cinco lóbulos; glabra; perfil plano; limbo con avultamento débil; dentes con lados rectilíneos, de lonxitude longa en relación á súa anchura; seo peciolar con lóbulos pouco abertos e coa base en forma de chave; seos laterais superiores abertos coa base en forma de chave; pecíolo lixeiramente máis curto que o nervio principal.

Acio

O acio é cónico, de lonxitude, anchura e compacidade media. O pedúnculo é de lonxitude curta.

Bago

O bago de cor verde amarela presenta forma esférica.

Caracterización ampelográfica

Código OIV	Carácter OIV	Notación	Nivel de expresión
Pámpano novo			
001	Forma da extremidade	aberta	5
002	Distribución da pigmentación antociánica da extremidade	reberetada	2
003	Intensidade da pigmentación antociánica da extremidade	nula ou moi débil	1
004	Densidade dos pelos tombados da extremidade	baixa	3
005	Densidade dos pelos ergueitos da extremidade	nula ou moi baixa	1
006	Porte	semi-ergueito	3
007	Cor da cara dorsal dos entrenós	verde e vermella	2
008	Cor da cara ventral dos entrenós	verde	1
009	Cor da cara dorsal dos nós	verde e vermella	2
010	Cor da cara ventral dos nós	verde	1
011	Densidade dos pelos ergueitos dos nós	nula ou moi baixa	1
012	Densidade dos pelos ergueitos dos entrenós	nula ou moi baixa	1
015.1	Pigmentación antociánica das xemas	na base	2
015.2	Intensidade da pigmentación antociánica das xemas	débil	3
0.16	Número de gabiáns consecutivos	dous	1
Folla nova			
051	Cor da face	cobreada-avermellada	4
053	Densidade dos pelos tombados entre os nervios	media	3
056	Densidade dos pelos ergueitos dos nervios principais	nula ou moi baixa	1
Folla adulta			
065	Tamaño	medio	5
067	Forma do limbo	pentagonal	3
068	Número de lóbulos	cinco	3
069	Cor da face	verde media	5
070	Pigmentación antociánica dos nervios principais da face do limbo	nula	1
071	Pigmentación antociánica dos nervios principais do envés do limbo	nula	1
072	Avultamento do limbo	débil	3
073	Ondulación do limbo entre os nervios principais ou secundarios	ausente	1
074	Perfil	plano	1
075	Inchazón da face	débil	3
076	Forma dos dentes	rectilíneos	2
078	Lonxitude dos dentes en relación á súa anchura na base	longos	7
079	Solapamento do seo peciolar	pouco aberto	3
080	Forma da base do seo peciolar	en chave	2
081.1	Dentes no seo peciolar	ausentes	1
081.2	Base do seo peciolar limitada pola nervadura	non delimitada	1
082	Solapamento dos seos laterais superiores	aberto	1
083.1	Forma da base dos seos laterais superiores	en cahve	2

Código OIV	Carácter OIV	Notación	Nivel de expresión
083.2	Dentes nos seos laterais superiores	ausente	1
084	Densidade dos pelos tombados entre os nervios do envés	nula	1
085	Densidade dos pelos ergueitos entre os nervios do envés	nula	1
086	Densidade dos pelos tombados sobre os nervios do envés	nula	1
087	Densidade dos pelos ergueitos sobre os nervios do envés	nula	1
088	Peluxe dos nervios principais da face	ausentes	1
089	Peluxe ergueita dos nervios principais da face	ausentes	1
090	Densidade dos pelos tombados do pecíolo	nula ou moi baixa	1
091	Densidade dos pelos ergueitos do pecíolo	nula ou moi baixa	1
093	Lonxitude do pecíolo en relación ao nervio central	lixeramente máis curto	3
Inflorescencia			
151	Sexo da flor	hermafrodita	3
Acio			
202	Lonxitude	media	5
204	Compacidade	media	5
206	Lonxitude do pedúnculo	curta	3
208	Forma	cónica	2
209	Número de ás do acio primario	ausentes	1
Bago			
220	Lonxitude	longa	7
221	Anchura	ancha	7
222	Uniformidade do tamaño	uniforme	2
223	Forma	esférica	2
225	Cor da epiderme	verde amarela	1

Caracterización ampelométrica

Carácter ampelométrico	Valor máximo e mínimo (cm)	Valor medio (cm)
Lonxitude do nervio central (N1)	9,19-6,66	8,31
Lonxitude do nervio principal lateral superior (N2)	9,14-7,45	8,15
Lonxitude do nervio principal lateral inferior (N3)	6,88-5,74	6,24
Lonxitude do nervio secundario inferior (N4)	5,12-3,70	4,36
Lonxitude do nervio terciario inferior (N5)	4,00-1,81	2,46
Distancia do punto peciolar á intersección de N3-N4 (N6)	1,93-0,22	0,94
Distancia do punto peciolar ao seo superior (U)	7,65-5,06	6,00
Distancia do punto peciolar ao seo inferior (O)	5,58-3,98	4,93
Número de dentes entre o extremo N2 e o seu primeiro nervio secundario (ND)	6,00-4,00	5,33

Carácter apelmométrico	Valor máximo e mínimo (cm)	Valor medio (cm)
Distancia entre o extremo de N2 e o seu primeiro nervio secundario (PL)	5,76-3,17	4,37
Lonxitude do dente de N1 medido ao punto medio da base (L1)	0,89-0,37	0,64
Lonxitude do dente de N2 medido ao punto medio da base (L2)	1,24-0,58	0,91
Lonxitude do dente de N3 medido ao punto medio da base (L3)	1,01-0,53	0,78
Lonxitude do dente de N4 medido ao punto medio da base (L4)	0,97-0,53	0,70
Anchura do dente de N1 (A1)	1,26-0,66	0,86
Anchura do dente de N2 (A2)	1,54-0,90	1,23
Anchura do dente de N3 (A3)	1,49-0,89	1,20
Anchura do dente de N4 (A4)	1,15-0,61	0,89
Abertura do seo peciolar (SP)	2,83-0,18	1,08
Ancho da folla (AN)	14,39-11,52	13,05
Alto da folla (ALT)	14,26-10,60	12,65
Proxección da distancia entre os extremos N1 e N3 sobre o eixe da folla (L)	13,51-10,73	11,81
Distancia entre os extremos N2 do lado grande e do lado pequeno (IS)	13,77-9,57	11,83
Distancia entre os extremos N3 do lado grande e do lado pequeno (II)	13,08-10,07	11,77
Distancia entre os extremos de N1 e N2 (ENS)	8,53-6,60	7,32
Distancia entre os extremos de N2 e N3 (ENM)	7,58-5,42	6,67
Distancia entre os extremos de N3 e N4 (ENI)	6,36-3,53	4,87
Distancia do punto peciolar ao extremo de N4 (NL)	5,49-3,38	4,75
Distancia entre as bases dos seos superiores (DS1)	7,40-4,64	5,89
Distancia entre a base dos seos inferiores (DS2)	10,47-4,12	8,35
Distancia entre as bases do seo superior e inferior (DS)	8,04-3,86	5,35
Abertura do seo superior (SS)	0,92-0,30	0,54
Abertura do seo inferior (SI)	1,17-0,29	0,72

Carácter apelmométrico	Valor máximo e mínimo (graos)	Valor medio (graos)
Ángulo entre N1 e N2 (A)	77,26-49,09	61,01
Ángulo entre N2 e N3 (B)	63,83-46,28	56,38
Ángulo entre N3 e N4 (C)	63,99-48,94	55,71
Ángulo entre N4 e N5 (D)	54,23-25,67	42,41
Ángulo entre N3 e o bordo do seo peciolar (E)	84,44-42,43	56,45
Ángulo entre os extremos de N1 e o seu primeiro nervio secundario (F)	121,67-98,34	107,94
Ángulo entre os extremos N1 e N2 (AP)	133,72-109,18	118,50

Caracterización molecular

Microsatélites	VVS2	VVMD5	VVMD7	ssrVrZAG47	ssrVrZAG62	ssrVrZAG79	VVS29	VVS5
Pb	130	224	231	155	185	249	169	109
	130	232	247	171	195	253	169	109

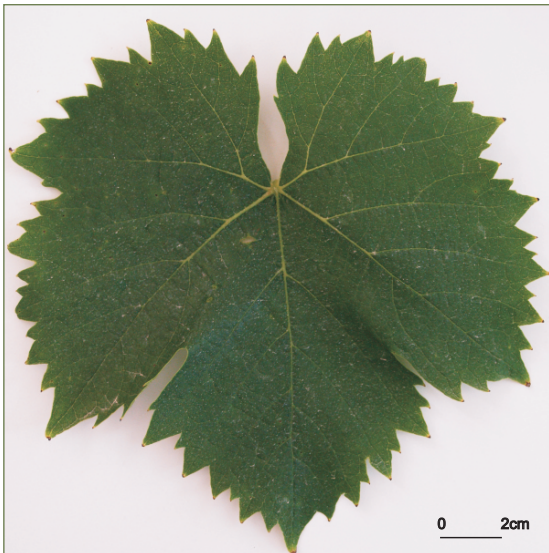
SUMIDADE



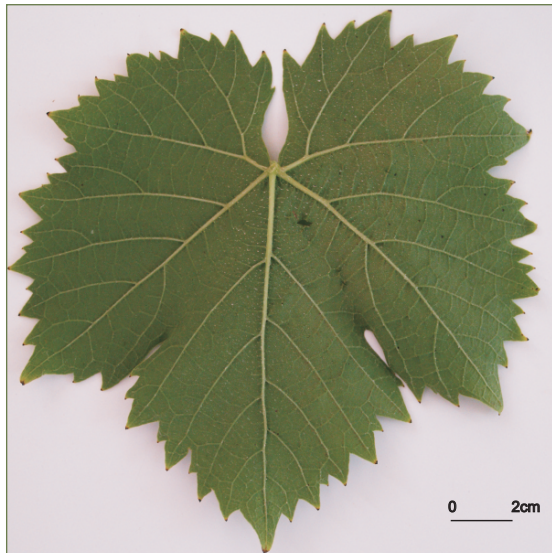
FOLLA NOVA: FACE, ENVÉS



FOLLA ADULTA: FACE



FOLLA ADULTA: ENVÉS

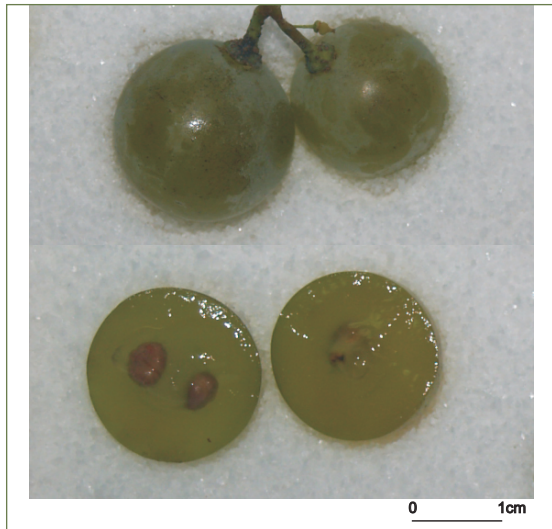


232

ACIO



BAGO



moscatel de Bago miúdo tinto

Referencias na colección da EVEGA:
F61P25P36.

Sinonimias

Non se coñecen.

Antecedentes

Non foi citado o seu cultivo por García de los Salmones (1914) e tampouco está considerada no Catastro Vitícola de 1983.

Situación actual

Cultivada en escasas parcelas plurivarietais da DO Ribeiro. As análises moleculares e ampegráficas mostran que non se trata da variante tinta de Moscatel de Bago Miúdo (tamén denominado Moscatel Galego).

Valoracións sobre o seu cultivo

Variedade de maduración temperá, con gran tendencia á sobremaduración. Estudos realizados en EVEGA mostran a produción de viños con graduacións arredor do 12,9% e valores de acidez arredor do 7,2 g/L.

Descrición morfolóxica

Pámpano novo

O pámpano novo presenta a extremidade aberta con peluxe tombada de densidade baixa e pigmentación reberetada de intensidade débil. A cara dorsal do entrenó é verde e vermella, mentres a ventral do entrenó, así como a cara dorsal e ventral do nó, é verde. As xemas presentan pigmentación antociánica na base da bráctea e de intensidade débil.

Folla nova

A folla nova é cobreada-avermellada e glabra.

Folla adulta

A folla adulta de cor verde media presenta tamaño medio e forma pentagonal, con cinco lóbulos; glabra; perfil en forma de V; limbo con inchazón débil; dentes rectilíneos, de lonxitude media en relación á súa anchura; seo peciolar con lóbulos pouco abertos e coa base en forma de chave; seos laterais con lóbulos pouco abertos coa base en forma de chave; pecíolo lixeiramente máis curto que o nervio principal.

Acio

O acio é cónico, compacto, de lonxitude e anchura media e con presenza de 1 ou 2 ás. O pedúnculo é de lonxitude curta.

Bago

O bago de cor vermella violeta escura presenta forma elíptica curta.

Caracterización ampelográfica

Código OIV	Carácter OIV	Notación	Nivel de expresión
Pámpano novo			
001	Forma da extremidade	aberta	5
002	Distribución da pigmentación antociánica da extremidade	reberetada	2
003	Intensidade da pigmentación antociánica da extremidade	débil	3
004	Densidade dos pelos tombados da extremidade	baixa	3
005	Densidade dos pelos ergueitos da extremidade	nula ou moi baixa	1
006	Porte	semi-ergueito	3
007	Cor da cara dorsal dos entrenós	verde e vermella	2
008	Cor da cara ventral dos entrenós	verde	1
009	Cor da cara dorsal dos nós	verde	1
010	Cor da cara ventral dos nós	verde	1
011	Densidade dos pelos ergueitos dos nós	nula ou moi baixa	1
012	Densidade dos pelos ergueitos dos entrenós	nula ou moi baixa	1
015.1	Pigmentación antociánica das xemas	na base	2
015.2	Intensidade da pigmentación antociánica das xemas	débil	3
0.16	Número de gabiáns consecutivos	dous	1
Folla nova			
051	Cor da face	cobreada-avermellada	4
053	Densidade dos pelos tombados entre os nervios	nula ou moi baixa	1
056	Densidade dos pelos ergueitos dos nervios principais	nula ou moi baixa	1
Folla adulta			
065	Tamaño	medio	5
067	Forma do limbo	pentagonal	3
068	Número de lóbulos	cinco	3
069	Cor da face	verde media	5
070	Pigmentación antociánica dos nervios principais da face do limbo	nula	1
071	Pigmentación antociánica dos nervios principais do envés do limbo	nula	1
072	Avultamento do limbo	nulo	1
073	Ondulación do limbo entre os nervios principais ou secundarios	presente	9
074	Perfil	en V	2
075	Inchazón da face	débil	3
076	Forma dos dentes	rectilíneos	2
078	Lonxitude dos dentes en relación á súa anchura na base	medios	5
079	Solapamento do seo peciolar	pouco abertos	3
080	Forma da base do seo peciolar	en chave	2
081.1	Dentes no seo peciolar	ausentes	1
081.2	Base do seo peciolar limitada pola nervadura	non delimitada	1
082	Solapamento dos seos laterais superiores	pouco abertos	3
083.1	Forma da base dos seos laterais superiores	en chave	2

Código OIV	Carácter OIV	Notación	Nivel de expresión
083.2	Dentes nos seus laterais superiores	ausente	1
084	Densidade dos pelos tombados entre os nervios do envés	nula	1
085	Densidade dos pelos ergueitos entre os nervios do envés	nula	1
086	Densidade dos pelos tombados sobre os nervios do envés	nula	1
087	Densidade dos pelos ergueitos sobre os nervios do envés	nula	1
088	Peluxe dos nervios principais da face	ausentes	1
089	Peluxe ergueita dos nervios principais da face	ausentes	1
090	Densidade dos pelos tombados do pecíolo	nula ou moi baixa	1
091	Densidade dos pelos ergueitos do pecíolo	nula ou moi baixa	1
093	Lonxitude do pecíolo en relación ao nervio central	lixeiramente máis curto	3
Inflorescencia			
151	Sexo da flor	hermafrodita	3
Acio			
202	Lonxitude	media	5
204	Compacidade	compacta	7
206	Lonxitude do pedúnculo	curta	3
208	Forma	cónica	2
209	Número de ás do acio primario	1 ou 2	2
Bago			
220	Lonxitude	moi longa	9
221	Anchura	moi ancha	5
222	Uniformidade do tamaño	uniforme	2
223	Forma	elíptica curta	3
225	Cor da epiderme	vermella violeta escura	5

235

Caracterización ampelométrica

Carácter ampelométrico	Valor máximo e mínimo (cm)	Valor medio (cm)
Lonxitude do nervio central (N1)	15,64-8,83	11,57
Lonxitude do nervio principal lateral superior (N2)	13,21-8,68	10,28
Lonxitude do nervio principal lateral inferior (N3)	8,97-5,35	7,01
Lonxitude do nervio secundario inferior (N4)	5,90-3,41	4,40
Lonxitude do nervio terciario inferior (N5)	3,85-1,90	2,36
Distancia do punto peciolar á intersección de N3-N4 (N6)	1,27-0,72	0,94
Distancia do punto peciolar ao seo superior (U)	9,56-2,02	5,20
Distancia do punto peciolar ao seo inferior (O)	7,99-3,27	5,17
Número de dentes entre o extremo N2 e o seu primeiro nervio secundario (ND)	9,00-5,00	6,40

Carácter ampelométrico	Valor máximo e mínimo (cm)	Valor medio (cm)
Distancia entre o extremo de N2 e o seu primeiro nervio secundario (PL)	8,17-4,44	5,86
Lonxitude do dente de N1 medido ao punto medio da base (L1)	1,73-0,32	1,18
Lonxitude do dente de N2 medido ao punto medio da base (L2)	1,59-1,02	1,34
Lonxitude do dente de N3 medido ao punto medio da base (L3)	1,25-0,55	0,90
Lonxitude do dente de N4 medido ao punto medio da base (L4)	1,05-0,67	0,88
Anchura do dente de N1 (A1)	1,64-0,78	1,13
Anchura do dente de N2 (A2)	1,83-0,83	1,39
Anchura do dente de N3 (A3)	1,69-0,75	1,19
Anchura do dente de N4 (A4)	1,47-0,73	1,08
Abertura do seo peciolar (SP)	2,61-0,26	1,18
Ancho da folla (AN)	18,18-1,30	12,22
Alto da folla (ALT)	21,34-11,85	15,88
Proxección da distancia entre os extremos N1 e N3 sobre o eixe da folla (L)	20,62-10,49	14,66
Distancia entre os extremos N2 do lado grande e do lado pequeno (IS)	20,00-10,46	13,97
Distancia entre os extremos N3 do lado grande e do lado pequeno (II)	20,10-10,26	13,35
Distancia entre os extremos de N1 e N2 (ENS)	17,36-4,71	8,85
Distancia entre os extremos de N2 e N3 (ENM)	13,62-6,91	8,88
Distancia entre os extremos de N3 e N4 (ENI)	9,96-3,63	5,67
Distancia do punto peciolar ao extremo de N4 (NL)	6,35-4,08	4,96
Distancia entre as bases dos seos superiores (DS1)	11,52-2,90	5,69
Distancia entre a base dos seos inferiores (DS2)	14,94-7,39	10,04
Distancia entre as bases do seo superior e inferior (DS)	8,42-2,81	5,43
Abertura do seo superior (SS)	1,19-0,27	0,65
Abertura do seo inferior (SI)	1,29-0,37	0,74

Carácter ampelométrico	Valor máximo e mínimo (graos)	Valor medio (graos)
Ángulo entre N1 e N2 (A)	65,91-37,88	55,36
Ángulo entre N2 e N3 (B)	58,58-37,30	48,45
Ángulo entre N3 e N4 (C)	58,68-36,70	48,78
Ángulo entre N4 e N5 (D)	51,08-31,95	41,34
Ángulo entre N3 e o bordo do seo peciolar (E)	86,28-41,54	63,02
Ángulo entre os extremos de N1 e o seu primeiro nervio secundario (F)	118,21-76,22	91,31
Ángulo entre os extremos N1 e N2 (AP)	148,81-96,37	117,79

Caracterización molecular

Microsatélites	VVS2	VVMD5	VVMD7	ssrVrZAG47	ssrVrZAG62	ssrVrZAG79	VVS29	VVS5
Pb	130	222	237	155	185	247	169	n.d.
	132	224	247	155	195	253	169	n.d.

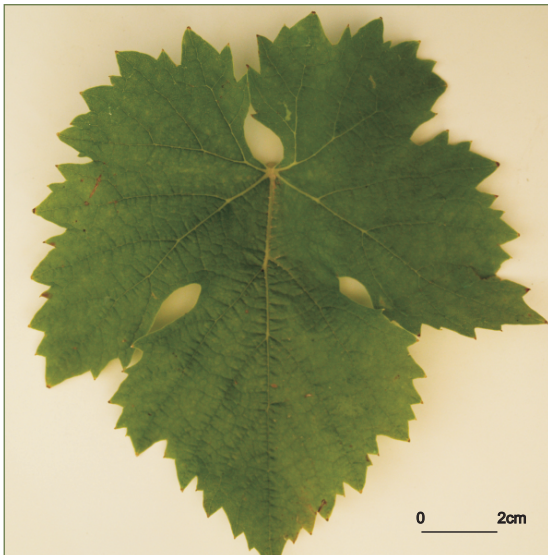
SUMIDADE



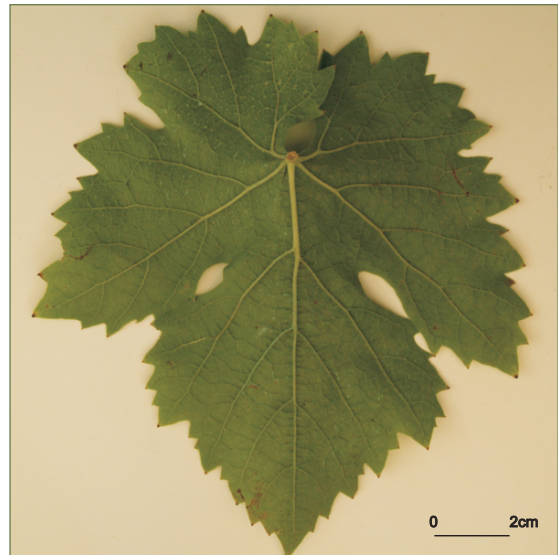
FOLLA NOVA: FACE, ENVÉS



FOLLA ADULTA: FACE



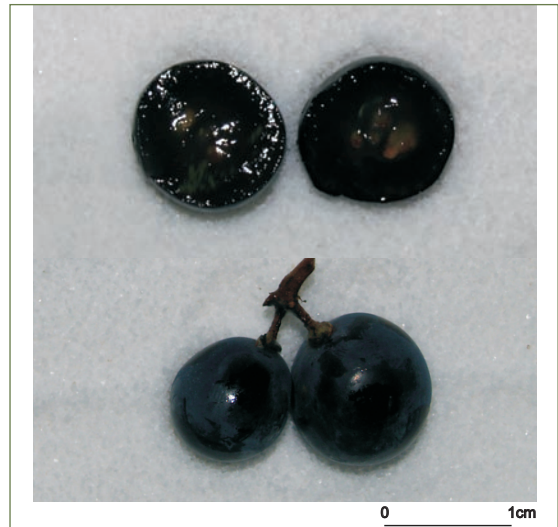
FOLLA ADULTA: ENVÉS



ACIO



BAGO



MOSCATEL DE HAMBURGO

Referencias na colección da EVEGA:
F61P13P24.

Variedade de uva de mesa presente en parras illadas localizadas nos arredores das casas. Atopáronse exemplares nas comarcas do Ribeiro e A Baixa Limia.

Descrición morfolóxica

Pámpano novo

O pámpano novo presenta a extremidade aberta con peluxe tombada de densidade baixa e pigmentación reberetada de intensidade débil. A cara dorsal e ventral do entrenó, así como a cara ventral do nó, é verde, mentres a cara dorsal do nó é verde e vermella. As xemas, con pigmentación antociánica basal de intensidade débil.

Folla nova

A folla nova é bronceada con peluxe tombada de densidade baixa.

Folla adulta

A folla adulta de cor verde media presenta tamaño medio e forma pentagonal, con cinco lóbulos; con presenza de pelos tombados de intensidade baixa sobre os nervios principais do envés da folla; perfil alabeado; limbo con inchazón débil; dentes con lados rectilíneos de lonxitude media en relación á súa anchura; seo peciolar con lóbulos lixeiramente superpostos e coa base en forma de chave ou en V; seos laterais superiores pechados coa base en forma de chave; pecíolo lixeiramente máis curto que o nervio principal.

Acio

O acio é cónico, de lonxitude, anchura media, compacidade solta e con presenza de 1 ou 2 ás. O pedúnculo é de lonxitude media.

Bago

O bago de cor vermella violeta escura presenta forma elíptica curta.

Caracterización ampelográfica

Código OIV	Carácter OIV	Notación	Nivel de expresión
Pámpano novo			
001	Forma da extremidade	aberta	5
002	Distribución da pigmentación antociánica da extremidade	reberetada	2
003	Intensidade da pigmentación antociánica da extremidade	débil	3
004	Densidade dos pelos tombados da extremidade	baixa	3
005	Densidade dos pelos ergueitos da extremidade	nula ou moi baixa	1
006	Porte	ergueito	1
007	Cor da cara dorsal dos entrenós	verde	1
008	Cor da cara ventral dos entrenós	verde	1
009	Cor da cara dorsal dos nós	verde e vermella	2
010	Cor da cara ventral dos nós	verde	1
011	Densidade dos pelos ergueitos dos nós	nula ou moi baixa	1
012	Densidade dos pelos ergueitos dos entrenós	nula ou moi baixa	1
015.1	Pigmentación antociánica das xemas	na base	2
015.2	Intensidade da pigmentación antociánica das xemas	débil	3
0.16	Número de gabiáns consecutivos	dous	1
Folla nova			
051	Cor da face	bronceada	3
053	Densidade dos pelos tombados entre os nervios	baixa	3
056	Densidade dos pelos ergueitos dos nervios principais	nula ou moi baixa	1
Folla adulta			
065	Tamaño	medio	5
067	Forma do limbo	pentagonal	3
068	Número de lóbulos	cinco	3
069	Cor da face	verde media	5
070	Pigmentación antociánica dos nervios principais da face do limbo	nula	1
071	Pigmentación antociánica dos nervios principais do envés do limbo	nula	1
072	Avultamento do limbo	nulo	1
073	Ondulación do limbo entre os nervios principais ou secundarios	presente	9
074	Perfil	alabeado	5
075	Inchazón da face	débil	3
076	Forma dos dentes	rectilíneos	2
078	Lonxitude dos dentes en relación á súa anchura na base	media	5
079	Solapamento do seo peciolar	lixeramente superpostos	4
080	Forma da base do seo peciolar	en chave	2
081.1	Dentes no seo peciolar	ausentes	1
081.2	Base do seo peciolar limitada pola nervadura	non delimitada	1
082	Solapamento dos seos laterais superiores	pechados	2
083.1	Forma da base dos seos laterais superiores	en chave	2

Código OIV	Carácter OIV	Notación	Nivel de expresión
083.2	Dentes nos seos laterais superiores	ausente	1
084	Densidade dos pelos tombados entre os nervios do envés	nula ou moi baixa	1
085	Densidade dos pelos ergueitos entre os nervios do envés	nula ou moi baixa	1
086	Densidade dos pelos tombados sobre os nervios do envés	baixa	3
087	Densidade dos pelos ergueitos sobre os nervios do envés	nula ou moi baixa	1
088	Peluxe dos nervios principais da face	ausentes	1
089	Peluxe ergueita dos nervios principais da face	ausentes	1
090	Densidade dos pelos tombados do pecíolo	nula ou moi baixa	1
091	Densidade dos pelos ergueitos do pecíolo	nula ou moi baixa	1
093	Lonxitude do pecíolo en relación ao nervio central	lixiramente máis curto	3
Inflorescencia			
151	Sexo da flor	hermafrodita	3
Acio			
202	Lonxitude	media	5
204	Compacidade	solta	3
206	Lonxitude do pedúnculo	media	5
208	Forma	cónica	2
209	Número de ás do acio primario	1 ou 2	2
Bago			
220	Lonxitude	longa	7
221	Anchura	ancha	7
222	Uniformidade do tamaño	uniforme	2
223	Forma	elíptica curta	3
225	Cor da epiderme	vermella violeta escura	5

Caracterización ampelométrica

Carácter ampelométrico	Valor máximo e mínimo (cm)	Valor medio (cm)
Lonxitude do nervio central (N1)	10,95-9,29	10,17
Lonxitude do nervio principal lateral superior (N2)	9,70-8,07	9,04
Lonxitude do nervio principal lateral inferior (N3)	6,72-5,85	6,41
Lonxitude do nervio secundario inferior (N4)	4,25-3,49	4,04
Lonxitude do nervio terciario inferior (N5)	1,95-1,20	1,78
Distancia do punto peciolar á intersección de N3-N4 (N6)	1,01-0,86	0,94
Distancia do punto peciolar ao seo superior (U)	4,96-3,40	4,13
Distancia do punto peciolar ao seo inferior (O)	5,29-4,44	4,73
Número de dentes entre o extremo N2 e o seu primeiro nervio secundario (ND)	9,00-7,00	8,20

Carácter apelmométrico	Valor máximo e mínimo (cm)	Valor medio (cm)
Distancia entre o extremo de N2 e o seu primeiro nervio secundario (PL)	5,88-3,82	5,08
Lonxitude do dente de N1 medido ao punto medio da base (L1)	0,96-0,41	0,82
Lonxitude do dente de N2 medido ao punto medio da base (L2)	1,33-0,97	1,09
Lonxitude do dente de N3 medido ao punto medio da base (L3)	0,88-0,65	0,78
Lonxitude do dente de N4 medido ao punto medio da base (L4)	0,87-0,62	0,80
Anchura do dente de N1 (A1)	1,32-0,77	0,98
Anchura do dente de N2 (A2)	1,17-1,05	1,12
Anchura do dente de N3 (A3)	1,07-0,87	0,98
Anchura do dente de N4 (A4)	1,01-0,83	0,92
Abertura do seo peciolar (SP)	1,87-0,35	1,13
Ancho da folla (AN)	14,32-13,37	13,94
Alto da folla (ALT)	14,39-12,88	13,85
Proxección da distancia entre os extremos N1 e N3 sobre o eixe da folla (L)	13,35-12,27	12,87
Distancia entre os extremos N2 do lado grande e do lado pequeno (IS)	13,41-11,53	12,46
Distancia entre os extremos N3 do lado grande e do lado pequeno (II)	13,18-10,27	12,27
Distancia entre os extremos de N1 e N2 (ENS)	8,64-6,65	7,52
Distancia entre os extremos de N2 e N3 (ENM)	7,98-6,90	7,44
Distancia entre os extremos de N3 e N4 (ENI)	5,05-4,78	4,98
Distancia do punto peciolar ao extremo de N4 (NL)	4,90-4,13	4,74
Distancia entre as bases dos seos superiores (DS1)	5,44-4,72	5,06
Distancia entre a base dos seos inferiores (DS2)	10,46-8,66	9,55
Distancia entre as bases do seo superior e inferior (DS)	4,57-3,76	4,12
Abertura do seo superior (SS)	0,00-0,00	0,00
Abertura do seo inferior (SI)	0,60-0,00	0,16

Carácter apelmométrico	Valor máximo e mínimo (graos)	Valor medio (graos)
Ángulo entre N1 e N2 (A)	62,45-49,55	56,80
Ángulo entre N2 e N3 (B)	60,47-44,87	51,03
Ángulo entre N3 e N4 (C)	52,79-45,00	49,46
Ángulo entre N4 e N5 (D)	57,64-37,29	46,65
Ángulo entre N3 e o bordo do seo peciolar (E)	68,99-56,31	63,34
Ángulo entre os extremos de N1 e o seu primeiro nervio secundario (F)	107,95-91,45	98,32
Ángulo entre os extremos N1 e N2 (AP)	135,45-105,10	117,89

Caracterización molecular

Microsatélites	VVS2	VVMD5	VVMD7	ssrVrZAG47	ssrVrZAG62	ssrVrZAG79	VVS29	VVS5
Pb	132	228	245	155	185	237	169	109
	148	234	247	161	191	253	177	109

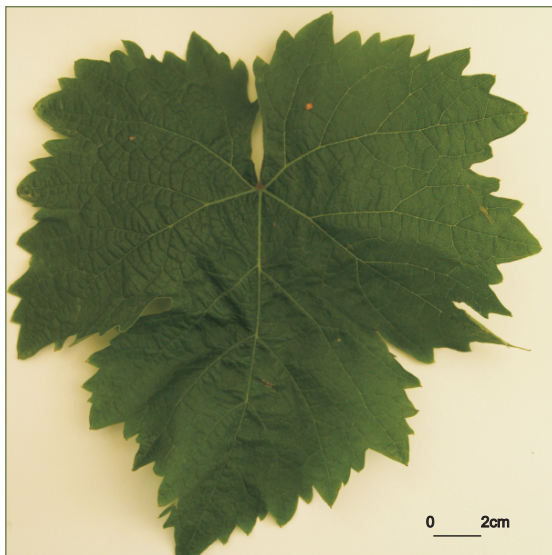
SUMIDADE



FOLLA NOVA: FACE, ENVÉS



FOLLA ADULTA: FACE



FOLLA ADULTA: ENVÉS

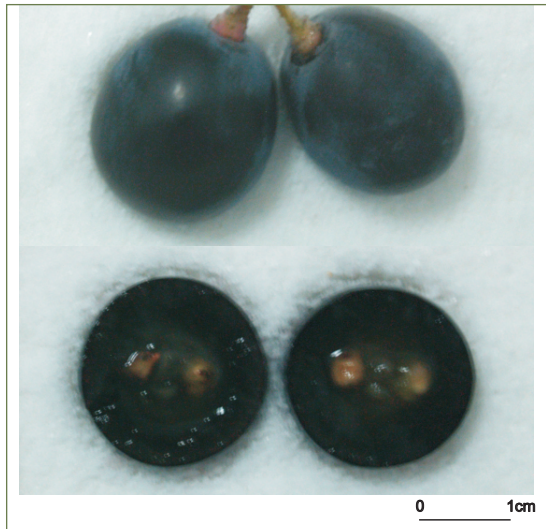


242

ACIO



BAGO



Referencias na colección da EVEGA: F03P10P17, F05P23P32, F36P02P11, F36P62P73, F40P16P26, F42P27P36, F49P35P44.

Sinonimias

Negreda e Mencía Gorda.

Antecedentes

García de los Salmones (1914) cítaa baixo a denominación de Mouratón, como cultivada na provincia de Lugo e Ourense; e baixo a denominación de Negreda nas localidades de Monforte (Lugo), A Teixeira (Ourense) e Caldas de Reis (Pontevedra). O Catastro Vitícola de 1983 indica que o seu cultivo representaba o 0,8% da extensión do viñado na provincia de Lugo, e o 0,78% na provincia de Ourense. Esta variedade deriva xeneticamente da liñaxe orixinada en Merenzao (Díaz-Losada *et al.*, 2010).

Situación actual

É recoñecida como variedade autorizada na DO Valdeorras. A superficie de cultivo corresponde a 0,06 ha na provincia da Coruña, 34,02 ha en Lugo, 97,53 ha en Ourense e 0,47 ha na subzona O Condado do Tea da DO Rías Baixas.

Descrición morfolóxica

Pámpano novo

O pámpano novo presenta a extremidade aberta con peluxe tombada de densidade media e pigmentación reberetada de intensidade débil. A cara dorsal e ventral dos entrenós e nós é verde. As xemas non presentan pigmentación antociánica.

Folla nova

A folla nova é verde ou bronceada con peluxe tombada de densidade media.

Folla adulta

A folla adulta de cor verde media presenta tamaño medio e forma pentagonal, con cinco lóbulos; peluda, con densidade baixa de pelos tombados entre e sobre os nervios principais do envés do limbo; perfil alabeado; limbo con avultamento e inchazón débil; dentes con mestura de lados convexos e rectilíneos, de lonxitude media en relación á súa anchura; seo peciolar con lóbulos lixeiramente superpostos e a base en forma de chave; seos laterais superiores abertos coa base en forma de chave; pecíolo lixeiramente máis curto que o nervio principal.

Acio

O acio é cónico, de tamaño e compacidade media e con presenza de 1 ou 2 ás. O pedúnculo é de lonxitude curta.

Bago

O bago de cor azul negra presenta forma elíptica curta.

Caracterización ampelográfica

Código OIV	Carácter OIV	Notación	Nivel de expresión
Pámpano novo			
001	Forma da extremidade	aberta	5
002	Distribución da pigmentación antociánica da extremidade	reberetada	2
003	Intensidade da pigmentación antociánica da extremidade	débil	3
004	Densidade dos pelos tombados da extremidade	media	5
005	Densidade dos pelos ergueitos da extremidade	nula ou moi baixa	1
006	Porte	semi-ergueito	3
007	Cor da cara dorsal dos entrenós	verde	1
008	Cor da cara ventral dos entrenós	verde	1
009	Cor da cara dorsal dos nós	verde	1
010	Cor da cara ventral dos nós	verde	1
011	Densidade dos pelos ergueitos dos nós	nula ou moi baixa	1
012	Densidade dos pelos ergueitos dos entrenós	nula ou moi baixa	1
015.1	Pigmentación antociánica das xemas	ausente	1
015.2	Intensidade da pigmentación antociánica das xemas	nula	1
0.16	Número de gabiáns consecutivos	dous	1
Folla nova			
051	Cor da face	verde	1
053	Densidade dos pelos tombados entre os nervios	media	5
056	Densidade dos pelos ergueitos dos nervios principais	nula ou moi baixa	1
Folla adulta			
065	Tamaño	medio	5
067	Forma do limbo	pentagonal	3
068	Número de lóbulos	cinco	3
069	Cor da face	verde media	5
070	Pigmentación antociánica dos nervios principais da face do limbo	nula	1
071	Pigmentación antociánica dos nervios principais do envés do limbo	nula	1
072	Avultamento do limbo	débil	3
073	Ondulación do limbo entre os nervios principais ou secundarios	ausente	1
074	Perfil	alabeado	5
075	Inchazón da face	débil	3
076	Forma dos dentes	mestura de lados rectilíneos e convexos	5
078	Lonxitude dos dentes en relación á súa anchura na base	media	5
079	Solapamento do seo peciolar	lixeiramente superpostos	4
080	Forma da base do seo peciolar	en chave	2
081.1	Dentes no seo peciolar	ausentes	1
081.2	Base do seo peciolar limitada pola nervadura	non delimitada	1
082	Solapamento dos seos laterais superiores	aberto	1

Código OIV	Carácter OIV	Notación	Nivel de expresión
083.1	Forma da base dos seos laterais superiores	en chave	2
083.2	Dentes nos seos laterais superiores	ausente	1
084	Densidade dos pelos tombados entre os nervios do envés	baixa	3
085	Densidade dos pelos ergueitos entre os nervios do envés	nula ou moi baixa	1
086	Densidade dos pelos tombados sobre os nervios do envés	baixa	3
087	Densidade dos pelos ergueitos sobre os nervios do envés	nula ou moi baixa	1
088	Peluxe dos nervios principais da face	ausentes	1
089	Peluxe ergueita dos nervios principais da face	ausentes	1
090	Densidade dos pelos tombados do pecíolo	nula ou moi baixa	1
091	Densidade dos pelos ergueitos do pecíolo	nula ou moi baixa	1
093	Lonxitude do pecíolo en relación ao nervio central	lixeramente máis curto	3
Inflorescencia			
151	Sexo da flor	hermafrodita	3
Acio			
202	Lonxitude	media	5
204	Compacidade	media	5
206	Lonxitude do pedúnculo	curta	3
208	Forma	cónica	2
209	Número de ás do acio primario	1 ou 2	2
Bago			
220	Lonxitude	longa	7
221	Anchura	ancha	7
222	Uniformidade do tamaño	uniforme	2
223	Forma	elíptica curta	3
225	Cor da epiderme	azul negra	6

Caracterización ampelométrica

Carácter ampelométrico	Valor máximo e mínimo (cm)	Valor medio (cm)
Lonxitude do nervio central (N1)	12,65-9,56	10,96
Lonxitude do nervio principal lateral superior (N2)	10,90-8,99	9,80
Lonxitude do nervio principal lateral inferior (N3)	8,43-6,73	7,62
Lonxitude do nervio secundario inferior (N4)	5,51-4,50	4,93
Lonxitude do nervio terciario inferior (N5)	3,31-1,19	2,11
Distancia do punto peciolar á intersección de N3-N4 (N6)	1,43-0,50	0,89
Distancia do punto peciolar ao seo superior (U)	8,14-3,19	5,52
Distancia do punto peciolar ao seo inferior (O)	7,69-3,88	5,45
Número de dentes entre o extremo N2 e o seu primeiro nervio secundario (ND)	7,00-4,00	5,30

Carácter ampelométrico	Valor máximo e mínimo (cm)	Valor medio (cm)
Distancia entre o extremo de N2 e o seu primeiro nervio secundario (PL)	6,30-4,10	5,10
Lonxitude do dente de N1 medido ao punto medio da base (L1)	1,09-0,48	0,73
Lonxitude do dente de N2 medido ao punto medio da base (L2)	0,77-0,45	0,58
Lonxitude do dente de N3 medido ao punto medio da base (L3)	0,63-0,43	0,42
Lonxitude do dente de N4 medido ao punto medio da base (L4)	0,90-0,51	0,71
Anchura do dente de N1 (A1)	1,65-0,94	1,25
Anchura do dente de N2 (A2)	1,66-0,90	1,25
Anchura do dente de N3 (A3)	1,54-0,92	1,22
Anchura do dente de N4 (A4)	1,34-0,77	1,07
Abertura do seo peciolar (SP)	1,75-0,00	0,27
Ancho da folla (AN)	18,19-15,16	16,76
Alto da folla (ALT)	18,45-14,55	16,51
Proxección da distancia entre os extremos N1 e N3 sobre o eixe da folla (L)	17,28-13,16	15,37
Distancia entre os extremos N2 do lado grande e do lado pequeno (IS)	17,32-12,53	15,21
Distancia entre os extremos N3 do lado grande e do lado pequeno (II)	15,58-10,66	13,76
Distancia entre os extremos de N1 e N2 (ENS)	10,74-7,52	9,34
Distancia entre os extremos de N2 e N3 (ENM)	10,82-7,62	8,72
Distancia entre os extremos de N3 e N4 (ENI)	32,96-4,99	8,68
Distancia do punto peciolar ao extremo de N4 (NL)	7,15-5,30	5,69
Distancia entre as bases dos seos superiores (DS1)	8,59-4,42	6,06
Distancia entre a base dos seos inferiores (DS2)	12,64-7,79	10,22
Distancia entre as bases do seo superior e inferior (DS)	8,51-4,05	5,48
Abertura do seo superior (SS)	0,78-0,00	0,22
Abertura do seo inferior (SI)	1,08-0,11	0,73

Carácter ampelométrico	Valor máximo e mínimo (graos)	Valor medio (graos)
Ángulo entre N1 e N2 (A)	73,86-56,84	64,08
Ángulo entre N2 e N3 (B)	78,74-46,34	61,04
Ángulo entre N3 e N4 (C)	80,58-46,67	59,43
Ángulo entre N4 e N5 (D)	66,48-25,50	46,52
Ángulo entre N3 e o bordo do seo peciolar (E)	89,82-52,00	68,37
Ángulo entre os extremos de N1 e o seu primeiro nervio secundario (F)	114,57-93,09	104,39
Ángulo entre os extremos N1 e N2 (AP)	122,32-101,75	112,80

Caracterización molecular

Microsatélites	VVS2	VVMD5	VVMD7	ssrVrZAG47	ssrVrZAG62	ssrVrZAG79	VVS29	VVS5
Pb	134	230	247	157	187	245	169	150
	150	234	255	165	203	249	169	150

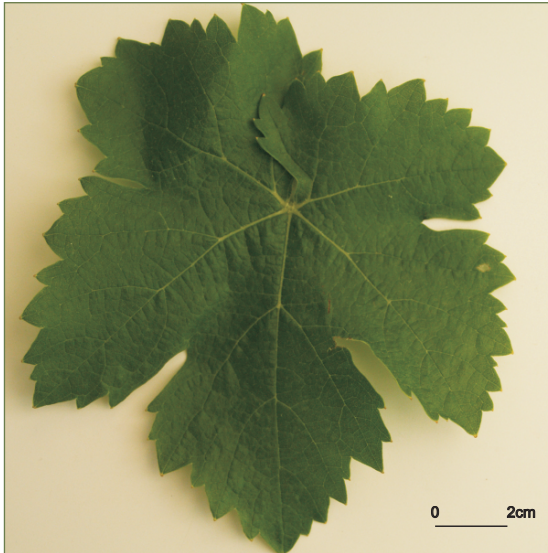
SUMIDADE



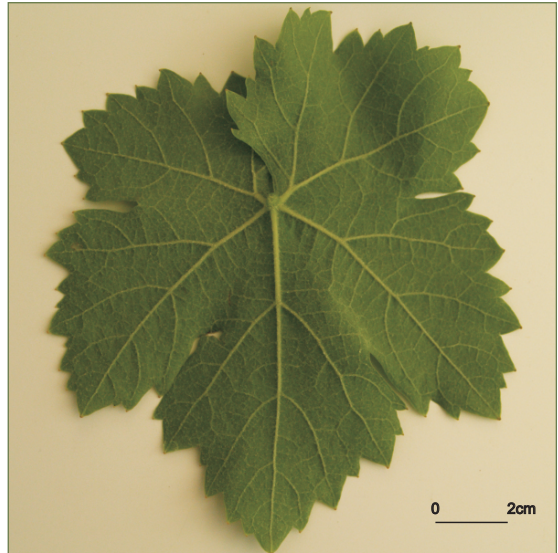
FOLLA NOVA: FACE, ENVÉS



FOLLA ADULTA: FACE



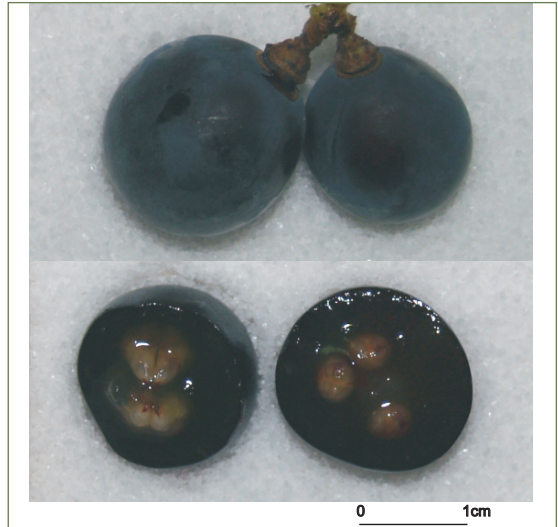
FOLLA ADULTA: ENVÉS



ACIO



BAGO



Referencias na colección da EVEGA:
F35P57P67, F35P69P82, F20P01,
F26P01, F64P01.

Sinonimias

Non se coñecen.

Antecedentes

Variedade de uva de mesa. García de los Salmones (1914) cítala como cultivada na localidade de Celanova na provincia de Ourense.

248

Situación actual

Presente en parras illadas localizadas nos arredores das casas. Atopáronse exemplares nas comarcas do Ribeiro e A Baixa Limia.

Descrición morfolóxica

Pámpano novo

O pámpano novo presenta a extremidade aberta, glabra, sen pigmentación ou con pigmentación reberetada de intensidade moi débil. A cara dorsal e ventral dos entrenós e nós é verde. As xemas non presentan pigmentación antociánica nas brácteas.

Folla nova

A folla nova é verde e glabra.

Folla adulta

A folla adulta de cor verde media presenta tamaño grande e forma pentagonal, con cinco lóbulos; glabra; perfil en V; dentes de lados rectilíneos, de lonxitude longa en relación á súa anchura; seo peciolar con lóbulos moi abertos e coa base en forma de chave, ás veces con presenza de dentes; seos laterais superiores lixeiramente superpostos coa base en forma de chave ou en U; pecíolo da mesma lonxitude que o nervio principal.

Acio

O acio é cónico, moi longo, ancho, de compacidade media e con presenza de 1 ou 2 ás. O pedúnculo é de lonxitude media.

Bago

O bago de cor rosa presenta forma elíptica longa.

Caracterización ampelográfica

Código OIV	Carácter OIV	Notación	Nivel de expresión
Pámpano novo			
001	Forma da extremidade	aberta	5
002	Distribución da pigmentación antociánica da extremidade	ausente	1
003	Intensidade da pigmentación antociánica da extremidade	nula ou moi débil	1
004	Densidade dos pelos tombados da extremidade	nula	1
005	Densidade dos pelos ergueitos da extremidade	nula	1
006	Porte	semi-ergueito	3
007	Cor da cara dorsal dos entrenós	verde	1
008	Cor da cara ventral dos entrenós	verde	1
009	Cor da cara dorsal dos nós	verde	1
010	Cor da cara ventral dos nós	verde	1
011	Densidade dos pelos ergueitos dos nós	nula	1
012	Densidade dos pelos ergueitos dos entrenós	nula	1
015.1	Pigmentación antociánica das xemas	ausente	1
015.2	Intensidade da pigmentación antociánica das xemas	nula	1
0.16	Número de gabiáns consecutivos	dous	1
Folla nova			
051	Cor da face	verde	1
053	Densidade dos pelos tombados entre os nervios	nula	1
056	Densidade dos pelos ergueitos dos nervios principais	nula	1
Folla adulta			
065	Tamaño	grande	7
067	Forma do limbo	pentagonal	3
068	Número de lóbulos	cinco	3
069	Cor da face	verde media	5
070	Pigmentación antociánica dos nervios principais da face do limbo	nula	1
071	Pigmentación antociánica dos nervios principais do envés do limbo	nula	1
072	Avultamento do limbo	nulo	1
073	Ondulación do limbo entre os nervios principais ou secundarios	ausente	1
074	Perfil	en V	2
075	Inchazón da face	nulo	1
076	Forma dos dentes	rectilíneos	2
078	Lonxitude dos dentes en relación á súa anchura na base	longos	7
079	Solapamento do seo peciolar	moi aberto	1
080	Forma da base do seo peciolar	en chave	2
081.1	Dentes no seo peciolar	presentes	2
081.2	Base do seo peciolar limitada pola nervadura	non delimitada	1
082	Solapamento dos seos laterais superiores	lixeramente superpostos	3
083.1	Forma da base dos seos laterais superiores	en chave	2

Código OIV	Carácter OIV	Notación	Nivel de expresión
083.2	Dentes nos seos laterais superiores	ausente	1
084	Densidade dos pelos tombados entre os nervios do envés	nula	1
085	Densidade dos pelos ergueitos entre os nervios do envés	nula	1
086	Densidade dos pelos tombados sobre os nervios do envés	nula	1
087	Densidade dos pelos ergueitos sobre os nervios do envés	nula	1
088	Peluxe dos nervios principais da face	ausentes	1
089	Peluxe ergueita dos nervios principais da face	ausentes	1
090	Densidade dos pelos tombados do pecíolo	nula	1
091	Densidade dos pelos ergueitos do pecíolo	nula	1
093	Lonxitude do pecíolo en relación ao nervio central	igual	5
Inflorescencia			
151	Sexo da flor	hermafrodita	3
Acio			
202	Lonxitude	moi longa	9
204	Compacidade	media	5
206	Lonxitude do pedúnculo	media	5
208	Forma	cónica	2
209	Número de ás do acio primario	1 ou 2	2
Bago			
220	Lonxitude	moi longa	9
221	Anchura	moi ancha	9
222	Uniformidade do tamaño	uniforme	2
223	Forma	elíptica longa	4
225	Cor da epiderme	rosa	2

Caracterización ampelométrica

Carácter ampelométrico	Valor máximo e mínimo (cm)	Valor medio (cm)
Lonxitude do nervio central (N1)	12,64-11,32	12,01
Lonxitude do nervio principal lateral superior (N2)	12,20-10,13	11,37
Lonxitude do nervio principal lateral inferior (N3)	9,01-7,79	8,50
Lonxitude do nervio secundario inferior (N4)	5,91-4,72	5,33
Lonxitude do nervio terciario inferior (N5)	2,68-1,93	2,24
Distancia do punto peciolar á intersección de N3-N4 (N6)	1,48-0,81	1,28
Distancia do punto peciolar ao seo superior (U)	5,76-4,13	4,81
Distancia do punto peciolar ao seo inferior (O)	6,04-4,05	4,92
Número de dentes entre o extremo N2 e o seu primeiro nervio secundario (ND)	8,00-6,00	7,20

Carácter apelmométrico	Valor máximo e mínimo (cm)	Valor medio (cm)
Distancia entre o extremo de N2 e o seu primeiro nervio secundario (PL)	5,26-4,74	5,05
Lonxitude do dente de N1 medido ao punto medio da base (L1)	0,97-0,25	0,55
Lonxitude do dente de N2 medido ao punto medio da base (L2)	1,25-0,99	1,12
Lonxitude do dente de N3 medido ao punto medio da base (L3)	1,16-0,56	0,93
Lonxitude do dente de N4 medido ao punto medio da base (L4)	1,10-0,66	0,84
Anchura do dente de N1 (A1)	1,26-0,77	0,93
Anchura do dente de N2 (A2)	1,46-1,03	1,23
Anchura do dente de N3 (A3)	1,37-0,83	1,14
Anchura do dente de N4 (A4)	1,40-0,92	1,13
Abertura do seo peciolar (SP)	5,67-3,86	4,62
Ancho da folla (AN)	18,42-17,39	17,78
Alto da folla (ALT)	17,02-16,02	16,52
Proxección da distancia entre os extremos N1 e N3 sobre o eixe da folla (L)	15,44-12,24	13,87
Distancia entre os extremos N2 do lado grande e do lado pequeno (IS)	17,39-13,50	15,67
Distancia entre os extremos N3 do lado grande e do lado pequeno (II)	18,51-14,32	16,57
Distancia entre os extremos de N1 e N2 (ENS)	10,62-5,20	8,28
Distancia entre os extremos de N2 e N3 (ENM)	8,30-6,34	7,65
Distancia entre os extremos de N3 e N4 (ENI)	6,15-5,50	5,82
Distancia do punto peciolar ao extremo de N4 (NL)	7,22-5,52	6,46
Distancia entre as bases dos seos superiores (DS1)	5,02-3,72	4,41
Distancia entre a base dos seos inferiores (DS2)	9,78-8,94	9,34
Distancia entre as bases do seo superior e inferior (DS)	4,53-3,34	3,93
Abertura do seo superior (SS)	1,03-0,00	0,20
Abertura do seo inferior (SI)	1,43-0,00	0,45

Carácter apelmométrico	Valor máximo e mínimo (graos)	Valor medio (graos)
Ángulo entre N1 e N2 (A)	51,96-37,42	47,74
Ángulo entre N2 e N3 (B)	56,89-39,01	48,78
Ángulo entre N3 e N4 (C)	52,56-42,10	48,40
Ángulo entre N4 e N5 (D)	43,43-34,81	39,35
Ángulo entre N3 e o bordo do seo peciolar (E)	59,53-34,12	46,19
Ángulo entre os extremos de N1 e o seu primeiro nervio secundario (F)	117,74-93,76	108,92
Ángulo entre os extremos N1 e N2 (AP)	140,34-119,87	129,37

Caracterización molecular

Microsatélites	VVS2	VVMD5	VVMD7	ssrVrZAG47	ssrVrZAG62	ssrVrZAG79	VVS29	VVS5
Pb	134	230	237	157	187	245	169	85
	142	236	247	159	203	245	169	150

SUMIDADE



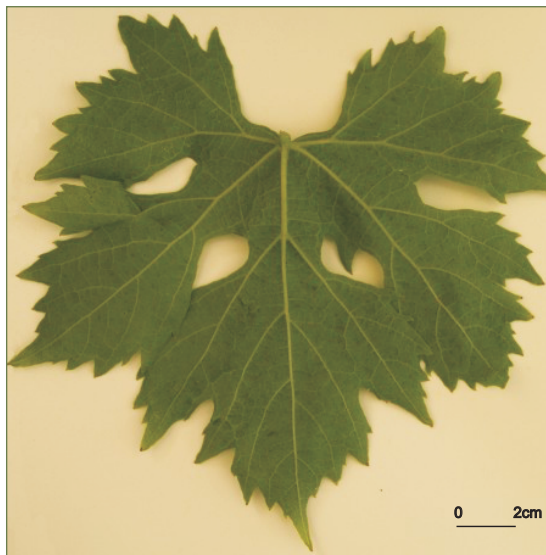
FOLLA NOVA: FACE, ENVÉS



FOLLA ADULTA: FACE



FOLLA ADULTA: ENVÉS



252

ACIO



BAGO



negrón de Aldán

Referencias na colección da EVEGA:
F48P46P53.

Este xenotipo correspóndese co mencionado por Ibáñez *et al.*, 2008, orixinario de Pontevedra e presente na Colección de vides de El Encín. Localizáronse escasos exemplares en Valdeorras.

Descrición morfolóxica

Pámpano novo

O pámpano novo presenta a extremidade aberta con peluxe tombada de densidade baixa e con pigmentación reberetada de intensidade débil. A cara dorsal e ventral dos entrenós e nós é verde. As xemas presentan pigmentación antociánica de intensidade débil na base da bráctea.

Folla nova

A folla nova é verde con peluxe tombada de densidade baixa.

Folla adulta

A folla adulta de cor verde media presenta tamaño medio e forma pentagonal, con cinco lóbulos; con densidade baixa de pelos tombados entre os nervios principais do envés do limbo; perfil plano; limbo con avultamento e inchazón débil; dentes de lados rectilíneos de lonxitude curta en relación á súa anchura; seo peciolar aberto ou con lóbulos lixeiramente superpostos, coa base en forma de chave; seos laterais superiores con lóbulos lixeiramente superpostos coa base en forma de chave; pecíolo da mesma lonxitude que o nervio principal.

Acio

O acio é cónico, de lonxitude e compacidade media e con presenza de 1 ou 2 ás. O pedúnculo é de lonxitude moi curta.

Bago

O bago de cor azul negra presenta forma elíptica curta.

Caracterización ampelográfica

Código OIV	Carácter OIV	Notación	Nivel de expresión
Pámpano novo			
001	Forma da extremidade	aberta	5
002	Distribución da pigmentación antociánica da extremidade	reberetada	2
003	Intensidade da pigmentación antociánica da extremidade	débil	3
004	Densidade dos pelos tombados da extremidade	baixa	3
005	Densidade dos pelos ergueitos da extremidade	nula ou moi baixa	1
006	Porte	semi-ergueito	3
007	Cor da cara dorsal dos entrenós	verde	1
008	Cor da cara ventral dos entrenós	verde	1
009	Cor da cara dorsal dos nós	verde	1
010	Cor da cara ventral dos nós	verde	1
011	Densidade dos pelos ergueitos dos nós	nula ou moi baixa	1
012	Densidade dos pelos ergueitos dos entrenós	nula ou moi baixa	1
015.1	Pigmentación antociánica das xemas	na base	2
015.2	Intensidade da pigmentación antociánica das xemas	débil	3
0.16	Número de gabiáns consecutivos	dous	1
Folla nova			
051	Cor da face	verde	1
053	Densidade dos pelos tombados entre os nervios	baixa	3
056	Densidade dos pelos ergueitos dos nervios principais	nula ou moi baixa	1
Folla adulta			
065	Tamaño	medio	5
067	Forma do limbo	pentagonal	3
068	Número de lóbulos	cinco	3
069	Cor da face	verde media	5
070	Pigmentación antociánica dos nervios principais da face do limbo	nula	1
071	Pigmentación antociánica dos nervios principais do envés do limbo	nula	1
072	Avultamento do limbo	débil	3
073	Ondulación do limbo entre os nervios principais ou secundarios	ausente	1
074	Perfil	plano	1
075	Inchazón da face	débil	3
076	Forma dos dentes	rectilíneos	2
078	Lonxitude dos dentes en relación á súa anchura na base	pequenos	3
079	Solapamento do seo peciolar	lixeramente superpostos	4
080	Forma da base do seo peciolar	en chave	2
081.1	Dentes no seo peciolar	ausentes	1
081.2	Base do seo peciolar limitada pola nervadura	non delimitada	1
082	Solapamento dos seos laterais superiores	lixeramente superpostos	3
083.1	Forma da base dos seos laterais superiores	en chave	2

Código OIV	Carácter OIV	Notación	Nivel de expresión
083.2	Dentes nos seus laterais superiores	ausente	1
084	Densidade dos pelos tombados entre os nervios do envés	baixa	3
085	Densidade dos pelos ergueitos entre os nervios do envés	nula	1
086	Densidade dos pelos tombados sobre os nervios do envés	baixa	3
087	Densidade dos pelos ergueitos sobre os nervios do envés	nula	1
088	Peluxe dos nervios principais da face	ausentes	1
089	Peluxe ergueita dos nervios principais da face	ausentes	1
090	Densidade dos pelos tombados do pecíolo	nula	1
091	Densidade dos pelos ergueitos do pecíolo	nula	1
093	Lonxitude do pecíolo en relación ao nervio central	igual	5
Inflorescencia			
151	Sexo da flor	hermafrodita	3
Acio			
202	Lonxitude	media	5
204	Compacidade	media	5
206	Lonxitude do pedúnculo	moi curta	1
208	Forma	cónica	2
209	Número de ás do acio primario	1 ou 2	2
Bago			
220	Lonxitude	longa	7
221	Anchura	ancha	7
222	Uniformidade do tamaño	uniforme	2
223	Forma	elíptica curta	3
225	Cor da epiderme	azul negra	6

Caracterización ampelométrica

Carácter ampelométrico	Valor máximo e mínimo (cm)	Valor medio (cm)
Lonxitude do nervio central (N1)	10,28-6,78	8,42
Lonxitude do nervio principal lateral superior (N2)	9,25-6,62	7,91
Lonxitude do nervio principal lateral inferior (N3)	7,29-4,17	5,84
Lonxitude do nervio secundario inferior (N4)	4,92-3,32	4,07
Lonxitude do nervio terciario inferior (N5)	2,19-1,30	1,88
Distancia do punto peciolar á intersección de N3-N4 (N6)	0,89-0,22	0,59
Distancia do punto peciolar ao seo superior (U)	7,02-2,77	3,99
Distancia do punto peciolar ao seo inferior (O)	5,10-2,97	3,61
Número de dentes entre o extremo N2 e o seu primeiro nervio secundario (ND)	6,00-3,00	4,30

Carácter ampelométrico	Valor máximo e mínimo (cm)	Valor medio (cm)
Distancia entre o extremo de N2 e o seu primeiro nervio secundario (PL)	6,10-3,41	4,30
Lonxitude do dente de N1 medido ao punto medio da base (L1)	3,24-0,35	0,72
Lonxitude do dente de N2 medido ao punto medio da base (L2)	1,09-0,26	0,76
Lonxitude do dente de N3 medido ao punto medio da base (L3)	1,11-0,39	0,73
Lonxitude do dente de N4 medido ao punto medio da base (L4)	0,93-0,42	0,60
Anchura do dente de N1 (A1)	0,89-0,69	0,81
Anchura do dente de N2 (A2)	1,35-0,74	1,08
Anchura do dente de N3 (A3)	1,17-0,72	0,98
Anchura do dente de N4 (A4)	1,10-0,71	0,90
Abertura do seo peciolar (SP)	2,61-0,46	1,42
Ancho da folla (AN)	14,39-10,45	12,56
Alto da folla (ALT)	14,47-10,68	12,58
Proxección da distancia entre os extremos N1 e N3 sobre o eixe da folla (L)	13,07-9,70	11,27
Distancia entre os extremos N2 do lado grande e do lado pequeno (IS)	13,84-8,65	11,43
Distancia entre os extremos N3 do lado grande e do lado pequeno (II)	13,75-9,52	11,50
Distancia entre os extremos de N1 e N2 (ENS)	8,52-5,90	7,08
Distancia entre os extremos de N2 e N3 (ENM)	7,05-5,48	6,23
Distancia entre os extremos de N3 e N4 (ENI)	5,84-3,91	4,77
Distancia do punto peciolar ao extremo de N4 (NL)	5,51-3,44	4,68
Distancia entre as bases dos seos superiores (DS1)	5,89-2,82	3,97
Distancia entre a base dos seos inferiores (DS2)	10,47-5,70	7,14
Distancia entre as bases do seo superior e inferior (DS)	5,12-2,82	3,56
Abertura do seo superior (SS)	0,72-0,00	0,30
Abertura do seo inferior (SI)	1,03-0,00	0,56

Carácter ampelométrico	Valor máximo e mínimo (graos)	Valor medio (graos)
Ángulo entre N1 e N2 (A)	67,53-55,56	61,27
Ángulo entre N2 e N3 (B)	69,77-56,82	64,97
Ángulo entre N3 e N4 (C)	58,55-43,08	52,12
Ángulo entre N4 e N5 (D)	40,80-29,33	37,41
Ángulo entre N3 e o bordo do seo peciolar (E)	52,42-36,92	47,61
Ángulo entre os extremos de N1 e o seu primeiro nervio secundario (F)	130,53-88,42	112,73
Ángulo entre os extremos N1 e N2 (AP)	128,50-114,73	121,73

Caracterización molecular

Microsatélites	VVS2	VVMD5	VVMD7	ssrVrZAG47	ssrVrZAG62	ssrVrZAG79	VVS29	VVS5
Pb	134	230	247	159	187	245	171	150
	150	234	255	167	203	249	171	150

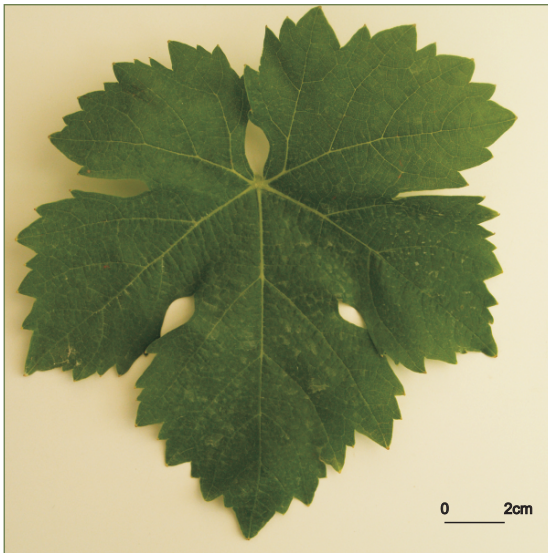
SUMIDADE



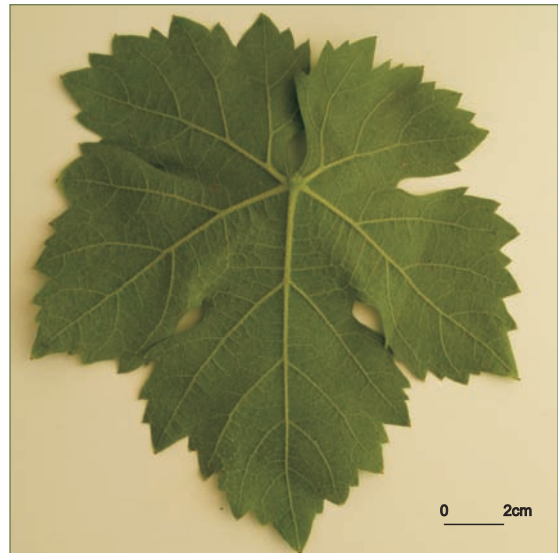
FOLLA NOVA: FACE, ENVÉS



FOLLA ADULTA: FACE



FOLLA ADULTA: ENVÉS



ACIO



BAGO



Referencias na colección da EVEGA:
F56P02P11, F62P25P37.

Sinonimias

Xerez.

Antecedentes

García de los Salmones (1914) cítaa como cultivada na localidade do Barco de Valdeorras na provincia de Ourense, baixo as denominacións de Palomino ou Xerez, e na provincia de Lugo baixo a denominación de Xerez. No Catastro Vitícola de 1983 cíitase a súa presenza nas provincias da Coruña, onde ocupaba o 0,79% da extensión de viñedo; en Lugo, un 3,53%; en Ourense, un 14,93% e en Pontevedra, un 0,11%.

Situación actual

É recoñecida como variedade autorizada nas DD.OO. Ribeiro e Valdeorras. Tamén está contemplada para a elaboración de viños na indicación xeográfica Viño da Terra Val do Miño. A superficie de cultivo representa o 11,03% da superficie total de viñedo da comunidade, con 180,44 ha na provincia de Pontevedra (2,86 ha na Ribeira do Ulla, 35,70 ha no Val do Salnés, 74,69 ha no Condado do Tea, 38,93 ha no Rosal e 0,63 ha en Soutomaior), 41,55 ha na Coruña, 340,54 ha en Lugo e 3016,61 ha en Ourense.

Valoracións sobre o seu cultivo

Variedade de brotación e maduración media, presenta resistencia elevada ao mildeu, ao oídio e á botrite. Produce viños lixeiros, de graduación media e baixa acidez. Comunmente é utilizada como complementaria en viños plurivarietais.

Descrición morfolóxica

Pámpano novo

O pámpano novo presenta a extremidade aberta con peluxe tombada de densidade baixa e sen pigmentación. A cara dorsal do entrenó e nó é verde e vermella. As xemas presentan pigmentación antociánica que afecta case toda a bráctea e de intensidade débil.

Folla nova

A folla nova é bronceada con peluxe tombada de densidade media.

Folla adulta

A folla adulta de cor verde media presenta tamaño grande e forma pentagonal, con cinco lóbulos; peluda, con densidade media de pelos tombados e baixa de pelos ergueitos entre os nervios principais do envés do limbo; perfil plano; limbo con avultamento e inchazón débil; dentes con mestura de lados convexos e rectilíneos, de lonxitude media en relación á súa anchura; seo peciolar con lóbulos lixeiramente superpostos e coa base en forma de chave; seos laterais superiores con lóbulos lixeiramente superpostos coa base en forma de chave; pecíolo lixeiramente máis curto que o nervio principal.

Acio

O acio é cónico, longo, ancho, de compacidade media e con presenza de 1 ou 2 ás. O pedúnculo é de lonxitude curta.

Bago

O bago de cor verde amarela presenta forma esférica.

Caracterización ampelográfica

Código OIV	Carácter OIV	Notación	Nivel de expresión
Pámpano novo			
001	Forma da extremidade	aberta	5
002	Distribución da pigmentación antociánica da extremidade	ausente	1
003	Intensidade da pigmentación antociánica da extremidade	nula	1
004	Densidade dos pelos tombados da extremidade	baixa	3
005	Densidade dos pelos ergueitos da extremidade	nula ou moi baixa	1
006	Porte	semi-ergueito	3
007	Cor da cara dorsal dos entrenós	verde e vermella	2
008	Cor da cara ventral dos entrenós	verde e vermella	2
009	Cor da cara dorsal dos nós	verde e vermella	2
010	Cor da cara ventral dos nós	verde e vermella	2
011	Densidade dos pelos ergueitos dos nós	nula ou moi baixa	1
012	Densidade dos pelos ergueitos dos entrenós	nula ou moi baixa	1
015.1	Pigmentación antociánica das xemas	case toda a bráctea	4
015.2	Intensidade da pigmentación antociánica das xemas	débil	3
0.16	Número de gabiáns consecutivos	dous	1
Folla nova			
051	Cor da face	bronceada	3
053	Densidade dos pelos tombados entre os nervios	media	5
056	Densidade dos pelos ergueitos dos nervios principais	nula ou moi baixa	1
Folla adulta			
065	Tamaño	grande	7
067	Forma do limbo	pentagonal	3
068	Número de lóbulos	cinco	3
069	Cor da face	verde media	5
070	Pigmentación antociánica dos nervios principais da face do limbo	ata a primeira bifurcación	3
071	Pigmentación antociánica dos nervios principais do envés do limbo	ata a primeira bifurcación	3
072	Avultamento do limbo	débil	3
073	Ondulación do limbo entre os nervios principais ou secundarios	ausente	1
074	Perfil	plano	1
075	Inchazón da face	débil	3
076	Forma dos dentes	mestura de lados rectilíneos e convexos	5
078	Lonxitude dos dentes en relación á súa anchura na base	media	5
079	Solapamento do seo peciolar	lixeramente superpostos	4
080	Forma da base do seo peciolar	en chave	2
081.1	Dentes no seo peciolar	ausentes	1
081.2	Base do seo peciolar limitada pola nervadura	non delimitada	1

Código OIV	Carácter OIV	Notación	Nivel de expresión
082	Solapamento dos seos laterais superiores	lixeiramente superpostos	3
083.1	Forma da base dos seos laterais superiores	en chave	2
083.2	Dentes nos seos laterais superiores	ausente	1
084	Densidade dos pelos tombados entre os nervios do envés	media	5
085	Densidade dos pelos ergueitos entre os nervios do envés	baixa	3
086	Densidade dos pelos tombados sobre os nervios do envés	baixa	3
087	Densidade dos pelos ergueitos sobre os nervios do envés	nula ou moi baixa	1
088	Peluxe dos nervios principais da face	ausentes	1
089	Peluxe ergueita dos nervios principais da face	ausentes	1
090	Densidade dos pelos tombados do pecíolo	nula ou moi baixa	1
091	Densidade dos pelos ergueitos do pecíolo	nula ou moi baixa	1
093	Lonxitude do pecíolo en relación ao nervio central	lixeiramente máis curto	3
Inflorescencia			
151	Sexo da flor	hermafrodita	3
Acio			
202	Lonxitude	longa	7
204	Compacidade	media	5
206	Lonxitude do pedúnculo	curta	3
208	Forma	cónica	2
209	Número de ás do acio primario	1 ou 2	2
Bago			
220	Lonxitude	moi longa	9
221	Anchura	moi ancha	9
222	Uniformidade do tamaño	uniforme	2
223	Forma	esférica	2
225	Cor da epiderme	verde amarela	1

Caracterización ampelométrica

Carácter ampelométrico	Valor máximo e mínimo (cm)	Valor medio (cm)
Lonxitude do nervio central (N1)	12,07-10,29	10,98
Lonxitude do nervio principal lateral superior (N2)	10,99-9,03	10,23
Lonxitude do nervio principal lateral inferior (N3)	7,81-6,27	6,90
Lonxitude do nervio secundario inferior (N4)	5,06-3,87	4,44
Lonxitude do nervio terciario inferior (N5)	2,10-1,45	1,83
Distancia do punto peciolar á intersección de N3-N4 (N6)	1,72-0,79	1,05
Distancia do punto peciolar ao seo superior (U)	6,52-3,63	4,33
Distancia do punto peciolar ao seo inferior (O)	6,36-4,24	5,15
Número de dentes entre o extremo N2 e o seu primeiro nervio secundario (ND)	8,00-5,00	6,60

Carácter apelmétrico	Valor máximo e mínimo (cm)	Valor medio (cm)
Distancia entre o extremo de N2 e o seu primeiro nervio secundario (PL)	7,26-4,89	5,95
Lonxitude do dente de N1 medido ao punto medio da base (L1)	0,97-0,15	0,61
Lonxitude do dente de N2 medido ao punto medio da base (L2)	1,15-0,45	0,84
Lonxitude do dente de N3 medido ao punto medio da base (L3)	1,10-0,94	1,02
Lonxitude do dente de N4 medido ao punto medio da base (L4)	1,08-0,65	2,84
Anchura do dente de N1 (A1)	1,31-0,94	1,13
Anchura do dente de N2 (A2)	1,71-0,84	1,30
Anchura do dente de N3 (A3)	1,55-1,16	1,42
Anchura do dente de N4 (A4)	1,30-1,03	1,14
Abertura do seo peciolar (SP)	2,61-0,46	2,27
Ancho da folla (AN)	16,34-15,36	15,82
Alto da folla (ALT)	16,02-15,18	15,50
Proxección da distancia entre os extremos N1 e N3 sobre o eixe da folla (L)	14,90-13,38	14,12
Distancia entre os extremos N2 do lado grande e do lado pequeno (IS)	14,42-12,50	13,50
Distancia entre os extremos N3 do lado grande e do lado pequeno (II)	15,28-12,26	13,80
Distancia entre os extremos de N1 e N2 (ENS)	9,04-5,37	7,27
Distancia entre os extremos de N2 e N3 (ENM)	10,35-8,37	9,36
Distancia entre os extremos de N3 e N4 (ENI)	5,85-4,03	5,10
Distancia do punto peciolar ao extremo de N4 (NL)	6,31-4,23	5,18
Distancia entre as bases dos seos superiores (DS1)	5,83-3,11	4,50
Distancia entre a base dos seos inferiores (DS2)	11,92-8,60	10,23
Distancia entre as bases do seo superior e inferior (DS)	5,61-4,42	4,85
Abertura do seo superior (SS)	1,29-0,00	0,25
Abertura do seo inferior (SI)	1,15-0,47	0,91

Carácter apelmétrico	Valor máximo e mínimo (graos)	Valor medio (graos)
Ángulo entre N1 e N2 (A)	67,53-55,56	58,42
Ángulo entre N2 e N3 (B)	62,78-44,24	51,58
Ángulo entre N3 e N4 (C)	56,18-43,35	49,31
Ángulo entre N4 e N5 (D)	47,19-36,81	42,33
Ángulo entre N3 e o bordo do seo peciolar (E)	76,03-29,53	60,73
Ángulo entre os extremos de N1 e o seu primeiro nervio secundario (F)	116,13-11,99	83,90
Ángulo entre os extremos N1 e N2 (AP)	140,25-116,45	127,37

Caracterización molecular

Microsatélites	VVS2	VVMD5	VVMD7	ssrVrZAG47	ssrVrZAG62	ssrVrZAG79	VVS29	VVS5
Pb	130	224	237	161	187	249	169	85
	142	236	247	171	193	255	169	117

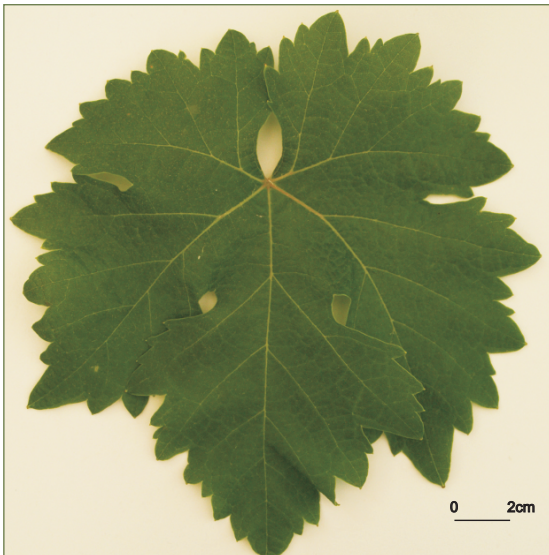
SUMIDADE



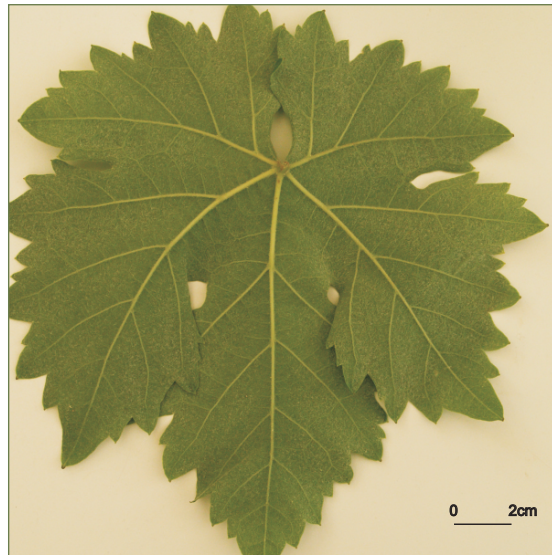
FOLLA NOVA: FACE, ENVÉS



FOLLA ADULTA: FACE



FOLLA ADULTA: ENVÉS

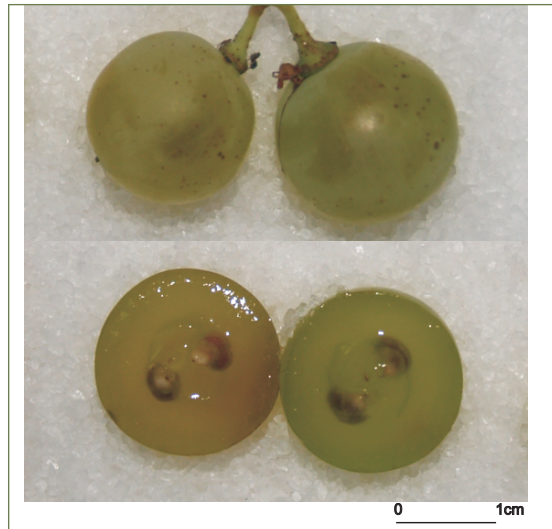


262

ACIO



BAGO



Referencias na colección da EVEGA:
F38P63P73.

Este xenotipo correspóndese co mencionado por Santana *et al.*, 2008, cultivado no Bierzo (Castela-León). Localizáronse escasos exemplares en Valdeorras.

Descrición morfolóxica

Pámpano novo

O pámpano novo presenta a extremidade aberta con peluxe tombada de densidade media e pigmentación reberetada de intensidade forte. A cara dorsal dos entrenós e nós é verde e vermella, e a ventral é verde. As xemas presentan pigmentación antociánica na base da bráctea e de intensidade débil.

Folla nova

A folla nova é bronceada con peluxe tombada de densidade baixa.

Folla adulta

A folla adulta de cor verde media presenta tamaño grande e forma pentagonal, con cinco lóbulos; peluda, con densidade baixa de pelos tombados e ergueitos entre os nervios principais do envés do limbo; perfil plano; limbo con avultamento e inchazón débil; dentes con mestura de lados rectilíneos e convexos, de lonxitude curta en relación á súa anchura; seo peciolar con lóbulos pouco abertos ou medio superpostos coa base en forma de chave; seos laterais superiores abertos coa base en forma de V; pecíolo lixeiramente máis curto que o nervio principal.

Acio

O acio é cónico, de lonxitude, anchura e compacidade media e con presenza de 3 a 4 ás. O pedúnculo é de lonxitude curta.

Bago

O bago de cor azul negra presenta forma elíptica curta.

Caracterización ampelográfica

Código OIV	Carácter OIV	Notación	Nivel de expresión
Pámpano novo			
001	Forma da extremidade	aberta	5
002	Distribución da pigmentación antociánica da extremidade	reberetada	2
003	Intensidade da pigmentación antociánica da extremidade	alta	7
004	Densidade dos pelos tombados da extremidade	media	5
005	Densidade dos pelos ergueitos da extremidade	nula ou moi baixa	1
006	Porte	semi-ergueito	3
007	Cor da cara dorsal dos entrenós	verde e vermella	2
008	Cor da cara ventral dos entrenós	verde	1
009	Cor da cara dorsal dos nós	verde e vermella	2
010	Cor da cara ventral dos nós	verde	1
011	Densidade dos pelos ergueitos dos nós	nula ou moi baixa	1
012	Densidade dos pelos ergueitos dos entrenós	nula ou moi baixa	1
015.1	Pigmentación antociánica das xemas	na base	2
015.2	Intensidade da pigmentación antociánica das xemas	débil	3
0.16	Número de gabiáns consecutivos	dous	1
Folla nova			
051	Cor da face	bronceada	3
053	Densidade dos pelos tombados entre os nervios	baixa	3
056	Densidade dos pelos ergueitos dos nervios principais	nula ou moi baixa	1
Folla adulta			
065	Tamaño	grande	7
067	Forma do limbo	pentagonal	3
068	Número de lóbulos	cinco	3
069	Cor da face	verde media	5
070	Pigmentación antociánica dos nervios principais da face do limbo	nula	1
071	Pigmentación antociánica dos nervios principais do envés do limbo	punto peciolar	1
072	Avultamento do limbo	débil	3
073	Ondulación do limbo entre os nervios principais ou secundarios	presente	9
074	Perfil	plano	1
075	Inchazón da face	débil	3
076	Forma dos dentes	mestura de lados rectilíneos e convexos	5
078	Lonxitude dos dentes en relación á súa anchura na base	pequenos	3
079	Solapamento do seo peciolar	medio superpostos	5
080	Forma da base do seo peciolar	en chave	2
081.1	Dentes no seo peciolar	ausentes	1
081.2	Base do seo peciolar limitada pola nervadura	non delimitada	1
082	Solapamento dos seos laterais superiores	aberto	1

Código OIV	Carácter OIV	Notación	Nivel de expresión
083.1	Forma da base dos seus laterais superiores	en V	3
083.2	Dentes nos seus laterais superiores	ausente	1
084	Densidade dos pelos tombados entre os nervios do envés	baixa	3
085	Densidade dos pelos ergueitos entre os nervios do envés	baixa	3
086	Densidade dos pelos tombados sobre os nervios do envés	baixa	3
087	Densidade dos pelos ergueitos sobre os nervios do envés	baixa	3
088	Peluxe dos nervios principais da face	ausentes	1
089	Peluxe ergueita dos nervios principais da face	ausentes	1
090	Densidade dos pelos tombados do pecíolo	nula ou moi baixa	1
091	Densidade dos pelos ergueitos do pecíolo	nula ou moi baixa	1
093	Lonxitude do pecíolo en relación ao nervio central	lixeramente máis curto	3
Inflorescencia			
151	Sexo da flor	hermafrodita	3
Acio			
202	Lonxitude	media	5
204	Compacidade	media	5
206	Lonxitude do pedúnculo	curta	3
208	Forma	cónica	2
209	Número de ás do acio primario	3 ou 4	3
Bago			
220	Lonxitude	grande	7
221	Anchura	ancha	7
222	Uniformidade do tamaño	uniforme	2
223	Forma	elíptica curta	3
225	Cor da epiderme	azul negra	6

Caracterización ampelométrica

Carácter ampelométrico	Valor máximo e mínimo (cm)	Valor medio (cm)
Lonxitude do nervio central (N1)	10,93-10,15	10,54
Lonxitude do nervio principal lateral superior (N2)	10,19-9,16	9,60
Lonxitude do nervio principal lateral inferior (N3)	7,82-6,45	7,16
Lonxitude do nervio secundario inferior (N4)	4,88-4,10	4,60
Lonxitude do nervio terciario inferior (N5)	2,37-1,62	2,02
Distancia do punto peciolar á intersección de N3-N4 (N6)	1,36-0,93	1,16
Distancia do punto peciolar ao seo superior (U)	7,34-5,43	6,49
Distancia do punto peciolar ao seo inferior (O)	6,35-4,30	5,43
Número de dentes entre o extremo N2 e o seu primeiro nervio secundario (ND)	7,00-6,00	6,80

Carácter ampelométrico	Valor máximo e mínimo (cm)	Valor medio (cm)
Distancia entre o extremo de N2 e o seu primeiro nervio secundario (PL)	6,28-4,23	5,52
Lonxitude do dente de N1 medido ao punto medio da base (L1)	0,95-0,62	0,79
Lonxitude do dente de N2 medido ao punto medio da base (L2)	1,04-0,76	0,88
Lonxitude do dente de N3 medido ao punto medio da base (L3)	1,13-0,56	0,84
Lonxitude do dente de N4 medido ao punto medio da base (L4)	0,85-0,65	0,73
Anchura do dente de N1 (A1)	1,74-0,94	1,39
Anchura do dente de N2 (A2)	1,56-1,32	1,40
Anchura do dente de N3 (A3)	1,42-0,89	1,24
Anchura do dente de N4 (A4)	1,32-0,95	1,14
Abertura do seo peciolar (SP)	0,90-0,00	0,42
Ancho da folla (AN)	16,84-16,10	16,51
Alto da folla (ALT)	16,38-15,25	15,93
Proxección da distancia entre os extremos N1 e N3 sobre o eixe da folla (L)	16,16-13,31	15,10
Distancia entre os extremos N2 do lado grande e do lado pequeno (IS)	15,99-14,29	15,35
Distancia entre os extremos N3 do lado grande e do lado pequeno (II)	15,34-11,41	13,29
Distancia entre os extremos de N1 e N2 (ENS)	10,60-8,57	9,89
Distancia entre os extremos de N2 e N3 (ENM)	9,39-6,66	8,32
Distancia entre os extremos de N3 e N4 (ENI)	6,15-4,25	5,25
Distancia do punto peciolar ao extremo de N4 (NL)	5,77-5,30	5,56
Distancia entre as bases dos seos superiores (DS1)	10,90-7,70	8,69
Distancia entre a base dos seos inferiores (DS2)	11,43-9,70	10,70
Distancia entre as bases do seo superior e inferior (DS)	7,25-5,79	6,63
Abertura do seo superior (SS)	0,79-0,00	0,40
Abertura do seo inferior (SI)	1,15-0,00	0,48

Carácter ampelométrico	Valor máximo e mínimo (graos)	Valor medio (graos)
Ángulo entre N1 e N2 (A)	69,82-36,62	59,74
Ángulo entre N2 e N3 (B)	71,77-46,18	60,79
Ángulo entre N3 e N4 (C)	62,08-48,22	55,65
Ángulo entre N4 e N5 (D)	50,41-40,87	44,72
Ángulo entre N3 e o bordo do seo peciolar (E)	61,06-45,98	51,76
Ángulo entre os extremos de N1 e o seu primeiro nervio secundario (F)	112,63-102,62	108,07
Ángulo entre os extremos N1 e N2 (AP)	125,98-106,79	113,31

Caracterización molecular

Microsatélites	VVS2	VVMD5	VVMD7	ssrVrZAG47	ssrVrZAG62	ssrVrZAG79	VVS29	VVS5
Pb	140	222	251	157	193	243	169	n.d.
	150	234	255	165	199	259	169	n.d.

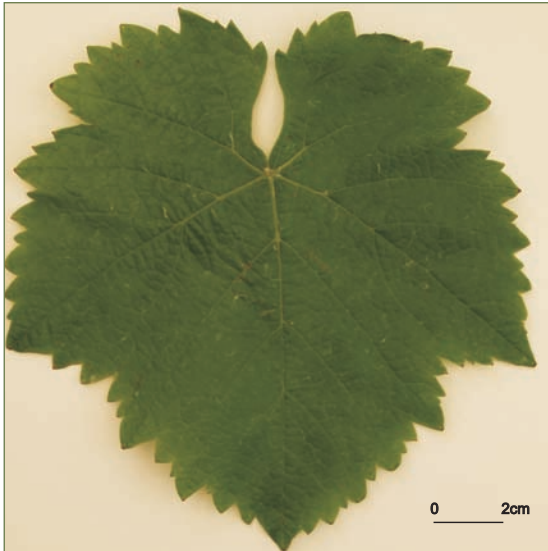
SUMIDADE



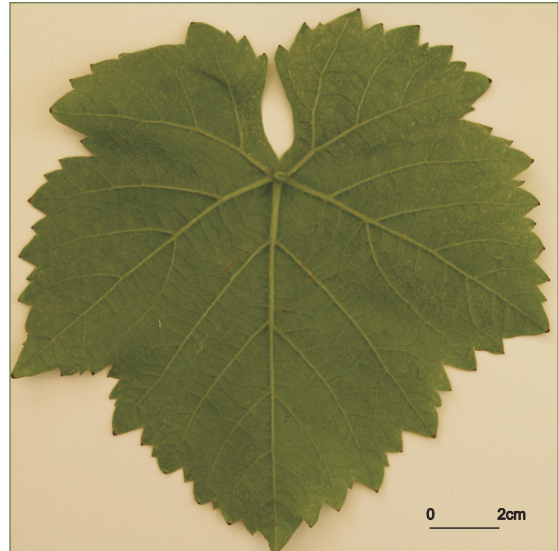
FOLLA NOVA: FACE, ENVÉS



FOLLA ADULTA: FACE



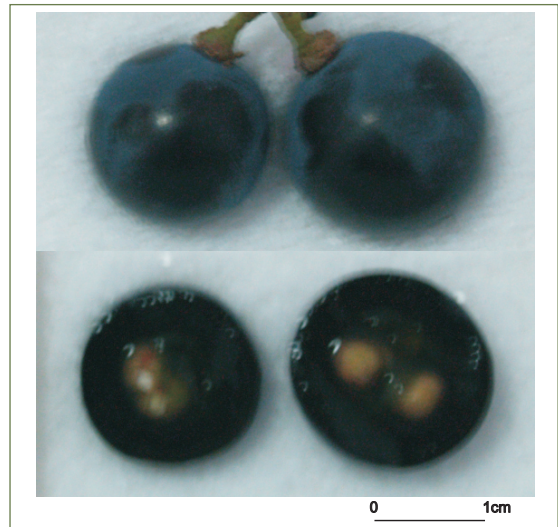
FOLLA ADULTA: ENVÉS



ACIO



BAGO



Referencias na colección da EVEGA:
F57P37P53.

Sinonimias

Pedrol.

Antecedentes

No Catastro Vitícola de 1983 cítase como cultivada na DO Valdeorras, onde ocupaba 0,03 ha da extensión de viñado. Freijanes *et al.* (1993) cítana como cultivada na zona atlántica da rexión galega, concretamente na comarca do Condado do Tea.

Situación actual

Localizáronse cepas centenarias formando parte de viñedos plurivarietais do Ribeiro, e tamén no Condado e Baixa Limia.

Valoracións sobre o seu cultivo

Varietade de brotación media e maduración tardía, presenta sensibilidade moderada ao oídio e ao mildeu e baixa sensibilidade á botrite.

Descrición morfolóxica

Pámpano novo

O pámpano novo presenta a extremidade aberta con peluxe tombada de densidade media e pigmentación reberetada de intensidade débil. A cara dorsal dos entrenós e nós é verde e vermella, mentres que a ventral é verde. As xemas presentan pigmentación antociánica basal de intensidade moi débil.

Folla nova

A folla nova é bronceada con peluxe tombada de densidade media.

Folla adulta

A folla adulta de cor verde media presenta tamaño grande e forma pentagonal, con cinco lóbulos; peluda, con densidade media de pelos tombados entre os nervios principais do envés do limbo; perfil alabeado; limbo con avultamento e inchazón débil; dentes con lados convexos, de lonxitude curta en relación á súa anchura; seo peciolar con lóbulos lixeiramente superpostos e coa base en forma de U; seos laterais superiores abertos coa base en forma de V ou de chave; pecíolo lixeiramente máis curto que o nervio principal.

Acio

O acio é cónico, de lonxitude, anchura e compacidade media e con presenza de 1 ou 2 ás. O pedúnculo é de lonxitude media.

Bago

O bago de cor azul negra presenta forma elíptica curta.

Caracterización ampelográfica

Código OIV	Carácter OIV	Notación	Nivel de expresión
Pámpano novo			
001	Forma da extremidade	aberta	5
002	Distribución da pigmentación antociánica da extremidade	reberetada	2
003	Intensidade da pigmentación antociánica da extremidade	débil	3
004	Densidade dos pelos tombados da extremidade	media	5
005	Densidade dos pelos ergueitos da extremidade	nula ou moi baixa	1
006	Porte	semi-ergueito	3
007	Cor da cara dorsal dos entrenós	verde e vermella	2
008	Cor da cara ventral dos entrenós	verde	1
009	Cor da cara dorsal dos nós	verde e vermella	2
010	Cor da cara ventral dos nós	verde	1
011	Densidade dos pelos ergueitos dos nós	nula ou moi baixa	1
012	Densidade dos pelos ergueitos dos entrenós	nula ou moi baixa	1
015.1	Pigmentación antociánica das xemas	basal	2
015.2	Intensidade da pigmentación antociánica das xemas	moi débil	1
0.16	Número de gabiáns consecutivos	dous	1
Folla nova			
051	Cor da face	bronceada	3
053	Densidade dos pelos tombados entre os nervios	media	5
056	Densidade dos pelos ergueitos dos nervios principais	nula ou moi baixa	1
Folla adulta			
065	Tamaño	grande	7
067	Forma do limbo	pentagonal	3
068	Número de lóbulos	cinco	3
069	Cor da face	verde media	5
070	Pigmentación antociánica dos nervios principais da face do limbo	nula	1
071	Pigmentación antociánica dos nervios principais do envés do limbo	nula	1
072	Avultamento do limbo	débil	3
073	Ondulación do limbo entre os nervios principais ou secundarios	ausente	1
074	Perfil	alabeado	5
075	Inchazón da face	baixa	3
076	Forma dos dentes	convexos	3
078	Lonxitude dos dentes en relación á súa anchura na base	pequenos	3
079	Solapamento do seo peciolar	lixeramente superpostos	4
080	Forma da base do seo peciolar	en U	1
081.1	Dentes no seo peciolar	ausentes	1
081.2	Base do seo peciolar limitada pola nervadura	non delimitada	1
082	Solapamento dos seos laterais superiores	aberto	1
083.1	Forma da base dos seos laterais superiores	en V	3

Código OIV	Carácter OIV	Notación	Nivel de expresión
083.2	Dentes nos seos laterais superiores	ausente	1
084	Densidade dos pelos tombados entre os nervios do envés	media	5
085	Densidade dos pelos ergueitos entre os nervios do envés	nula ou moi baixa	1
086	Densidade dos pelos tombados sobre os nervios do envés	nula ou moi baixa	1
087	Densidade dos pelos ergueitos sobre os nervios do envés	nula ou moi baixa	1
088	Peluxe dos nervios principais da face	ausentes	1
089	Peluxe ergueita dos nervios principais da face	ausentes	1
090	Densidade dos pelos tombados do pecíolo	nula ou moi baixa	1
091	Densidade dos pelos ergueitos do pecíolo	nula ou moi baixa	1
093	Lonxitude do pecíolo en relación ao nervio central	lixiramente máis curto	3
Inflorescencia			
151	Sexo da flor	hermafrodita	3
Acio			
202	Lonxitude	media	5
204	Compacidade	media	5
206	Lonxitude do pedúnculo	media	5
208	Forma	cónica	2
209	Número de ás do acio primario	1 ou 2	2
Bago			
220	Lonxitude	media	5
221	Anchura	media	5
222	Uniformidade do tamaño	uniforme	2
223	Forma	elíptica curta	3
225	Cor da epiderme	azul-negra	6

Caracterización ampelométrica

Carácter ampelométrico	Valor máximo e mínimo (cm)	Valor medio (cm)
Lonxitude do nervio central (N1)	14,94-13,19	14,06
Lonxitude do nervio principal lateral superior (N2)	12,54-11,77	12,09
Lonxitude do nervio principal lateral inferior (N3)	9,42-7,87	8,81
Lonxitude do nervio secundario inferior (N4)	6,24-5,32	5,69
Lonxitude do nervio terciario inferior (N5)	3,70-2,31	3,26
Distancia do punto peciolar á intersección de N3-N4 (N6)	1,58-1,09	1,37
Distancia do punto peciolar ao seo superior (U)	8,94-6,36	7,63
Distancia do punto peciolar ao seo inferior (O)	6,15-4,79	5,48
Número de dentes entre o extremo N2 e o seu primeiro nervio secundario (ND)	8,00-5,00	6,80

Carácter apelmométrico	Valor máximo e mínimo (cm)	Valor medio (cm)
Distancia entre o extremo de N2 e o seu primeiro nervio secundario (PL)	7,62-5,35	6,52
Lonxitude do dente de N1 medido ao punto medio da base (L1)	0,75-0,53	0,66
Lonxitude do dente de N2 medido ao punto medio da base (L2)	1,15-0,82	0,93
Lonxitude do dente de N3 medido ao punto medio da base (L3)	1,10-0,68	0,90
Lonxitude do dente de N4 medido ao punto medio da base (L4)	1,01-0,48	0,79
Anchura do dente de N1 (A1)	1,35-1,15	1,26
Anchura do dente de N2 (A2)	2,06-1,28	1,71
Anchura do dente de N3 (A3)	1,91-1,02	1,57
Anchura do dente de N4 (A4)	1,72-1,14	1,44
Abertura do seo peciolar (SP)	1,16-0,00	0,51
Ancho da folla (AN)	19,31-16,93	17,79
Alto da folla (ALT)	19,50-18,25	18,80
Proxección da distancia entre os extremos N1 e N3 sobre o eixe da folla (L)	16,52-15,08	15,96
Distancia entre os extremos N2 do lado grande e do lado pequeno (IS)	15,94-12,37	14,13
Distancia entre os extremos N3 do lado grande e do lado pequeno (II)	18,06-15,68	17,10
Distancia entre os extremos de N1 e N2 (ENS)	10,26-7,44	8,74
Distancia entre os extremos de N2 e N3 (ENM)	9,61-8,42	8,92
Distancia entre os extremos de N3 e N4 (ENI)	8,10-6,08	6,97
Distancia do punto peciolar ao extremo de N4 (NL)	6,90-5,73	6,41
Distancia entre as bases dos seus superiores (DS1)	7,23-6,00	6,67
Distancia entre a base dos seus inferiores (DS2)	12,95-9,25	11,09
Distancia entre as bases do seo superior e inferior (DS)	6,82-5,04	5,84
Abertura do seo superior (SS)	0,10-0,71	0,85
Abertura do seo inferior (SI)	0,10-0,71	0,85

Carácter apelmométrico	Valor máximo e mínimo (graos)	Valor medio (graos)
Ángulo entre N1 e N2 (A)	50,07-39,22	42,85
Ángulo entre N2 e N3 (B)	57,41-33,88	40,12
Ángulo entre N3 e N4 (C)	89,04-51,39	62,32
Ángulo entre N4 e N5 (D)	56,58-50,64	54,50
Ángulo entre N3 e o bordo do seo peciolar (E)	129,33-72,56	95,56
Ángulo entre os extremos de N1 e o seu primeiro nervio secundario (F)	103,89-72,48	98,85
Ángulo entre os extremos N1 e N2 (AP)	131,78-107,96	116,66

Caracterización molecular

Microsatélites	VVS2	VVMD5	VVMD7	ssrVrZAG47	ssrVrZAG62	ssrVrZAG79	VVS29	VVS5
Pb	150	222	237	157	185	245	169	100
	156	222	261	161	195	249	169	121

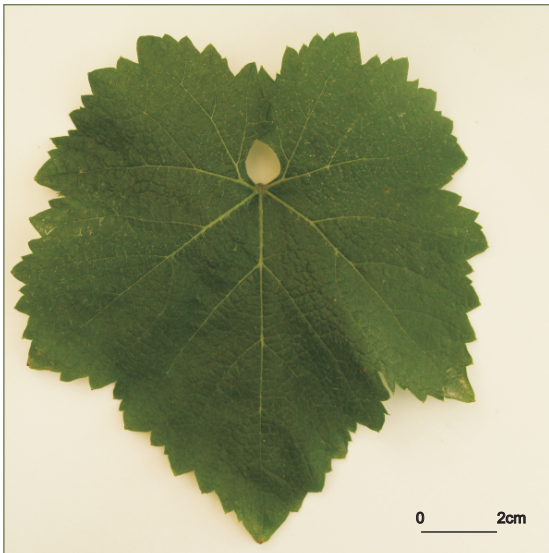
SUMIDADE



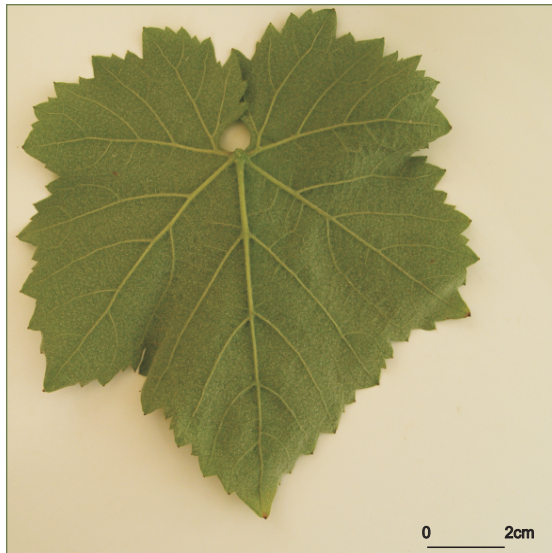
FOLLA NOVA: FACE, ENVÉS



FOLLA ADULTA: FACE



FOLLA ADULTA: ENVÉS

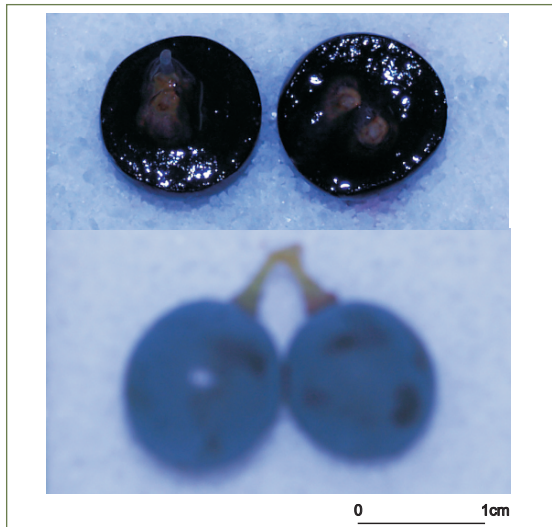


272

ACIO



BAGO



PICAPOLL negro

Referencias na colección da EVEGA:
F46P35P42.

Sinonimias

Non se coñecen.

Antecedentes

García de los Salmones (1914) cítaa como cultivada na provincia de Ourense, na zona de Gomesende. A súa orixe encóntrase nas rexións vinícolas do Languedoc e de Provenza (Francia) e, actualmente, é unha variedade autorizada para a elaboración de viño en Cataluña

Descrición morfolóxica

Pámpano novo

O pámpano novo presenta a extremidade aberta con pigmentación reberetada de intensidade media. A cara dorsal e ventral do entrenó, así como a dorsal do nó, é verde e vermella, mentres a ventral do nó é verde. As xemas presentan pigmentación antociánica na base da bráctea e de intensidade media.

Folla nova

A folla nova é cobreada-avermellada con peluxe tombada de densidade media.

Folla adulta

A folla adulta de cor verde media presenta tamaño medio e forma pentagonal, con cinco lóbulos; peluda, con densidade baixa de pelos tombados e ergueitos entre os nervios principais do envés do limbo; perfil en forma de V; limbo con avultamento débil e inchazón de intensidade media; presenza de pigmentación antociánica na face e envés que alcanza a primeira bifurcación; dentes con mestura de lados convexos e rectilíneos, de lonxitude media en relación á súa anchura; seo peciolar con lóbulos pouco abertos e coa base en forma de chave; seos laterais superiores con lóbulos lixeiramente superpostos coa base en forma de chave; pecíolo lixeiramente máis curto que o nervio principal.

Acio

O acio presenta forma de embude de lonxitude e anchura media e compacidade de media a solta, e con presenza de 1 ou 2 ás. O pedúnculo é de lonxitude curta.

Bago

O bago de cor azul negra presenta forma elíptica curta.

Caracterización ampelográfica

Código OIV	Carácter OIV	Notación	Nivel de expresión
Pámpano novo			
001	Forma da extremidade	aberta	5
002	Distribución da pigmentación antociánica da extremidade	reberetada	2
003	Intensidade da pigmentación antociánica da extremidade	media	5
004	Densidade dos pelos tombados da extremidade	nula ou moi baixa	1
005	Densidade dos pelos ergueitos da extremidade	nula ou moi baixa	1
006	Porte	semi-ergueito	3
007	Cor da cara dorsal dos entrenós	verde e vermella	2
008	Cor da cara ventral dos entrenós	verde e vermella	2
009	Cor da cara dorsal dos nós	verde e vermella	2
010	Cor da cara ventral dos nós	verde	1
011	Densidade dos pelos ergueitos dos nós	nula ou moi baixa	1
012	Densidade dos pelos ergueitos dos entrenós	nula ou moi baixa	1
015.1	Pigmentación antociánica das xemas	na base	2
015.2	Intensidade da pigmentación antociánica das xemas	media	5
0.16	Número de gabiáns consecutivos	dous	1
Folla nova			
051	Cor da face	cobreada-avermellada	4
053	Densidade dos pelos tombados entre os nervios	media	5
056	Densidade dos pelos ergueitos dos nervios principais	nula ou moi baixa	1
Folla adulta			
065	Tamaño	medio	5
067	Forma do limbo	pentagonal	3
068	Número de lóbulos	cinco	3
069	Cor da face	verde media	5
070	Pigmentación antociánica dos nervios principais da face do limbo	ata a primeira bifurcación	3
071	Pigmentación antociánica dos nervios principais do envés do limbo	ata a primeira bifurcación	3
072	Avultamento do limbo	débil	3
073	Ondulación do limbo entre os nervios principais ou secundarios	presente	9
074	Perfil	en forma de V	2
075	Inchazón da face	media	5
076	Forma dos dentes	mestura de lados convexos e rectilíneos	5
078	Lonxitude dos dentes en relación á súa anchura na base	medios	5
079	Solapamento do seo peciolar	pouco aberto	3
080	Forma da base do seo peciolar	en chave	2
081.1	Dentes no seo peciolar	ausentes	1
081.2	Base do seo peciolar limitada pola nervadura	non delimitada	1

Código OIV	Carácter OIV	Notación	Nivel de expresión
082	Solapamento dos seos laterais superiores	lóbulos lixeiramente superpostos	3
083.1	Forma da base dos seos laterais superiores	en chave	2
083.2	Dentes nos seos laterais superiores	ausente	1
084	Densidade dos pelos tombados entre os nervios do envés	baixa	3
085	Densidade dos pelos ergueitos entre os nervios do envés	baixa	3
086	Densidade dos pelos tombados sobre os nervios do envés	baixa	3
087	Densidade dos pelos ergueitos sobre os nervios do envés	nula ou moi baixa	1
088	Peluxe dos nervios principais da face	ausentes	1
089	Peluxe ergueita dos nervios principais da face	ausentes	1
090	Densidade dos pelos tombados do pecíolo	nula ou moi baixa	1
091	Densidade dos pelos ergueitos do pecíolo	nula ou moi baixa	1
093	Lonxitude do pecíolo en relación ao nervio central	lixeiramente máis curto	3
Inflorescencia			
151	Sexo da flor	hermafrodita	3
Acio			
202	Lonxitude	media	5
204	Compacidade	media	5
206	Lonxitude do pedúnculo	curta	3
208	Forma	en embude	3
209	Número de ás do acio primario	1 ou 2	2
Bago			
220	Lonxitude	longa	7
221	Anchura	ancha	7
222	Uniformidade do tamaño	uniforme	2
223	Forma	elíptica curta	3
225	Cor da epiderme	azul negra	6

Caracterización ampelométrica

Carácter ampelométrico	Valor máximo e mínimo (cm)	Valor medio (cm)
Lonxitude do nervio central (N1)	9,55-8,50	9,16
Lonxitude do nervio principal lateral superior (N2)	9,30-7,86	8,38
Lonxitude do nervio principal lateral inferior (N3)	6,98-6,12	6,64
Lonxitude do nervio secundario inferior (N4)	4,16-3,15	3,84
Lonxitude do nervio terciario inferior (N5)	2,06-1,22	1,56
Distancia do punto peciolar á intersección de N3-N4 (N6)	1,16-0,65	0,94
Distancia do punto peciolar ao seo superior (U)	4,85-3,54	3,99
Distancia do punto peciolar ao seo inferior (O)	4,13-3,11	3,47
Número de dentes entre o extremo N2 e o seu primeiro nervio secundario (ND)	8,00-4,00	6,60

Carácter ampelométrico	Valor máximo e mínimo (cm)	Valor medio (cm)
Distancia entre o extremo de N2 e o seu primeiro nervio secundario (PL)	4,60-3,50	4,08
Lonxitude do dente de N1 medido ao punto medio da base (L1)	1,13-0,28	0,64
Lonxitude do dente de N2 medido ao punto medio da base (L2)	1,25-0,50	0,97
Lonxitude do dente de N3 medido ao punto medio da base (L3)	1,16-0,80	1,00
Lonxitude do dente de N4 medido ao punto medio da base (L4)	0,87-0,51	0,69
Anchura do dente de N1 (A1)	1,11-0,72	0,84
Anchura do dente de N2 (A2)	1,46-0,87	1,21
Anchura do dente de N3 (A3)	1,19-0,88	1,07
Anchura do dente de N4 (A4)	0,77-0,60	0,71
Abertura do seo peciolar (SP)	3,38-0,76	2,28
Ancho da folla (AN)	15,27-12,80	14,14
Alto da folla (ALT)	13,99-12,34	13,07
Proxección da distancia entre os extremos N1 e N3 sobre o eixe da folla (L)	13,67-10,33	11,62
Distancia entre os extremos N2 do lado grande e do lado pequeno (IS)	15,27-11,30	12,48
Distancia entre os extremos N3 do lado grande e do lado pequeno (II)	13,74-12,06	13,22
Distancia entre os extremos de N1 e N2 (ENS)	9,06-5,45	6,67
Distancia entre os extremos de N2 e N3 (ENM)	7,29-5,19	6,46
Distancia entre os extremos de N3 e N4 (ENI)	5,11-4,06	4,65
Distancia do punto peciolar ao extremo de N4 (NL)	4,90-4,10	4,68
Distancia entre as bases dos seos superiores (DS1)	4,58-4,28	4,41
Distancia entre a base dos seos inferiores (DS2)	7,58-6,51	7,03
Distancia entre as bases do seo superior e inferior (DS)	3,72-3,17	3,33
Abertura do seo superior (SS)	1,19-0,00	0,23
Abertura do seo inferior (SI)	0,82-0,00	0,53

Carácter ampelométrico	Valor máximo e mínimo (graos)	Valor medio (graos)
Ángulo entre N1 e N2 (A)	59,34-49,85	54,27
Ángulo entre N2 e N3 (B)	54,00-45,96	48,66
Ángulo entre N3 e N4 (C)	58,50-44,67	49,94
Ángulo entre N4 e N5 (D)	41,12-36,52	39,28
Ángulo entre N3 e o bordo do seo peciolar (E)	59,60-40,98	50,82
Ángulo entre os extremos de N1 e o seu primeiro nervio secundario (F)	124,46-107,09	116,26
Ángulo entre os extremos N1 e N2 (AP)	141,75-118,44	126,43

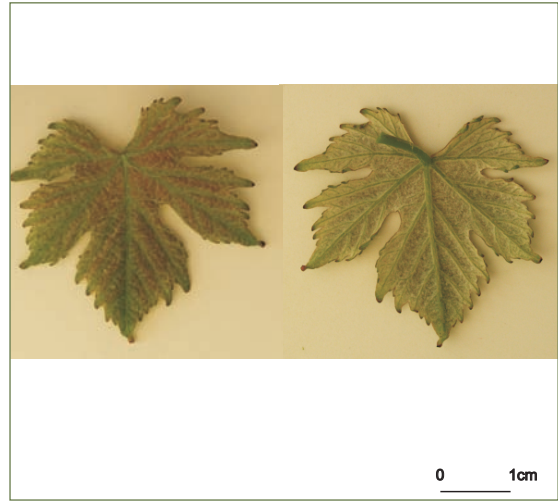
Caracterización molecular

Microsatélites	VVS2	VVMD5	VVMD7	ssrVrZAG47	ssrVrZAG62	ssrVrZAG79	VVS29	VVS5
Pb	130	n.d.	237	155	187	249	169	n.d.
	130	n.d.	241	165	187	249	179	n.d.

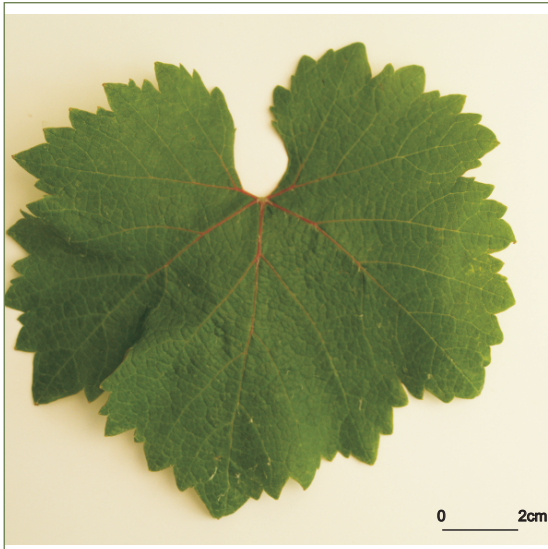
SUMIDADE



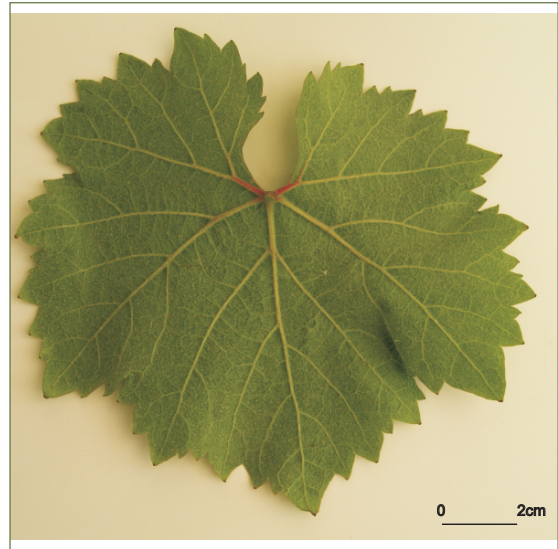
FOLLA NOVA: FACE, ENVÉS



FOLLA ADULTA: FACE



FOLLA ADULTA: ENVÉS



ACIO



BAGO



Referencias na colección da EVEGA:
F02P01, F05P02, F55P13P17.

Sinonimias

Marcadores moleculares puxeron de manifesto a súa sinonimia con Chasselas Cioutat, corroborado mediante os datos ampelográficos.

Antecedentes

Coñécese con esta denominación na DO Ribeiro.

Descrición morfolóxica

Pámpano novo

O pámpano novo presenta a extremidade aberta glabra, con pigmentación reberetada de intensidade forte. A cara dorsal do entrenó, así como a cara dorsal e ventral do nó, é verde e vermella, mentres que a cara ventral do entrenó é verde. As xemas presentan pigmentación antociánica que afecta case toda a bráctea e de intensidade forte.

Folla nova

A folla nova é cobreada-avermellada e glabra.

Folla adulta

A folla adulta de cor verde media presenta tamaño medio e forma pentagonal, con cinco lóbulos; con presenza de pelos ergueitos sobre os nervios principais do envés do limbo; perfil plano; dentes con lados rectilíneos, de lonxitude longa en relación á súa anchura; seo peciolar semi-aberto e coa base en forma de U delimitada pola nervadura; seos laterais superiores abertos coa base en forma de U; pecíolo lixeiramente máis longo que o nervio principal.

Acio

O acio é cónico, curto, estreito, de compacidade solta e con presenza de 1 ou 2 ás. O pedúnculo é de lonxitude curta.

Bago

O bago de cor verde amarela presenta forma esférica.

Caracterización ampelográfica

Código OIV	Carácter OIV	Notación	Nivel de expresión
Pámpano novo			
001	Forma da extremidade	aberta	5
002	Distribución da pigmentación antociánica da extremidade	reberetada	2
003	Intensidade da pigmentación antociánica da extremidade	forte	7
004	Densidade dos pelos tombados da extremidade	nula ou moi débil	1
005	Densidade dos pelos ergueitos da extremidade	nula ou moi baixa	1
006	Porte	semi-ergueito	3
007	Cor da cara dorsal dos entrenós	verde e vermella	2
008	Cor da cara ventral dos entrenós	verde	1
009	Cor da cara dorsal dos nós	verde e vermella	2
010	Cor da cara ventral dos nós	verde e vermella	2
011	Densidade dos pelos ergueitos dos nós	nula ou moi baixa	1
012	Densidade dos pelos ergueitos dos entrenós	nula ou moi baixa	1
015.1	Pigmentación antociánica das xemas	case toda a bráctea	4
015.2	Intensidade da pigmentación antociánica das xemas	forte	7
0.16	Número de gabiáns consecutivos	dous	1
Folla nova			
051	Cor da face	cobreada-avermellada	4
053	Densidade dos pelos tombados entre os nervios	nula ou moi baixa	1
056	Densidade dos pelos ergueitos dos nervios principais	nula ou moi baixa	1
Folla adulta			
065	Tamaño	medio	5
067	Forma do limbo	pentagonal	3
068	Número de lóbulos	cinco	3
069	Cor da face	verde media	5
070	Pigmentación antociánica dos nervios principais da face do limbo	nula	1
071	Pigmentación antociánica dos nervios principais do envés do limbo	nula	1
072	Avultamento do limbo	ausente	1
073	Ondulación do limbo entre os nervios principais ou secundarios	ausente	1
074	Perfil	plano	1
075	Inchazón da face	nula ou moi débil	1
076	Forma dos dentes	rectilíneos	2
078	Lonxitude dos dentes en relación á súa anchura na base	grandes	7
079	Solapamento do seo peciolar	semi-aberto	2
080	Forma da base do seo peciolar	en U	1
081.1	Dentes no seo peciolar	ausentes	1
081.2	Base do seo peciolar limitada pola nervadura	en ambos os dous lados	3
082	Solapamento dos seos laterais superiores	abertos	1
083.1	Forma da base dos seos laterais superiores	en U	1

Código OIV	Carácter OIV	Notación	Nivel de expresión
083.2	Dentes nos seos laterais superiores	ausente	1
084	Densidade dos pelos tombados entre os nervios do envés	nula ou moi baixa	1
085	Densidade dos pelos ergueitos entre os nervios do envés	nula ou moi baixa	1
086	Densidade dos pelos tombados sobre os nervios do envés	nula ou moi baixa	1
087	Densidade dos pelos ergueitos sobre os nervios do envés	baixa	3
088	Peluxe dos nervios principais da face	ausentes	1
089	Peluxe ergueita dos nervios principais da face	ausentes	1
090	Densidade dos pelos tombados do pecíolo	nula ou moi baixa	1
091	Densidade dos pelos ergueitos do pecíolo	nula ou moi baixa	1
093	Lonxitude do pecíolo en relación ao nervio central	lixeramente máis longo	7
Inflorescencia			
151	Sexo da flor	hermafrodita	3
Acio			
202	Lonxitude	curta	3
204	Compacidade	solta	3
206	Lonxitude do pedúnculo	curta	3
208	Forma	cónica	3
209	Número de ás do acio primario	1 ou 2	2
Bago			
220	Lonxitude	mediana	5
221	Anchura	mediana	5
222	Uniformidade do tamaño	uniforme	2
223	Forma	esférica	2
225	Cor da epiderme	verde amarela	1

Caracterización ampelométrica

Carácter ampelométrico	Valor máximo e mínimo (cm)	Valor medio (cm)
Lonxitude do nervio central (N1)	11,97-11,02	11,55
Lonxitude do nervio principal lateral superior (N2)	10,84-9,62	10,38
Lonxitude do nervio principal lateral inferior (N3)	8,12-6,27	7,17
Lonxitude do nervio secundario inferior (N4)	4,46-3,89	4,07
Lonxitude do nervio terciario inferior (N5)	1,85-1,40	1,62
Distancia do punto peciolar á intersección de N3-N4 (N6)	1,67-1,14	1,43
Distancia do punto peciolar ao seo superior (U)	1,74-0,29	1,03
Distancia do punto peciolar ao seo inferior (O)	2,87-0,88	1,73
Número de dentes entre o extremo N2 e o seu primeiro nervio secundario (ND)	5,00-3,00	4,00

Carácter apelmométrico	Valor máximo e mínimo (cm)	Valor medio (cm)
Distancia entre o extremo de N2 e o seu primeiro nervio secundario (PL)	7,25-5,92	6,37
Lonxitude do dente de N1 medido ao punto medio da base (L1)	1,87-1,62	1,71
Lonxitude do dente de N2 medido ao punto medio da base (L2)	2,44-1,82	2,11
Lonxitude do dente de N3 medido ao punto medio da base (L3)	1,97-1,37	1,66
Lonxitude do dente de N4 medido ao punto medio da base (L4)	1,91-1,09	1,47
Anchura do dente de N1 (A1)	1,59-1,46	1,53
Anchura do dente de N2 (A2)	2,03-1,47	1,79
Anchura do dente de N3 (A3)	1,88-1,40	1,70
Anchura do dente de N4 (A4)	1,88-1,12	1,44
Abertura do seo peciolar (SP)	2,95-0,89	1,97
Ancho da folla (AN)	16,43-14,00	15,50
Alto da folla (ALT)	16,51-15,45	16,23
Proxección da distancia entre os extremos N1 e N3 sobre o eixe da folla (L)	15,56-11,40	13,71
Distancia entre os extremos N2 do lado grande e do lado pequeno (IS)	13,09-12,06	12,56
Distancia entre os extremos N3 do lado grande e do lado pequeno (II)	16,47-13,35	15,08
Distancia entre os extremos de N1 e N2 (ENS)	9,49-6,27	7,78
Distancia entre os extremos de N2 e N3 (ENM)	9,48-5,04	7,79
Distancia entre os extremos de N3 e N4 (ENI)	6,69-5,77	6,30
Distancia do punto peciolar ao extremo de N4 (NL)	5,63-4,29	5,26
Distancia entre as bases dos seus superiores (DS1)	1,76-0,60	1,17
Distancia entre a base dos seus inferiores (DS2)	4,40-1,78	3,13
Distancia entre as bases do seo superior e inferior (DS)	2,56-0,69	1,59
Abertura do seo superior (SS)	0,00-0,00	0,00
Abertura do seo inferior (SI)	2,27-0,00	0,45

Carácter apelmométrico	Valor máximo e mínimo (graos)	Valor medio (graos)
Ángulo entre N1 e N2 (A)	62,62-44,62	52,68
Ángulo entre N2 e N3 (B)	63,45-49,56	57,96
Ángulo entre N3 e N4 (C)	67,69-51,58	59,92
Ángulo entre N4 e N5 (D)	47,62-37,27	42,41
Ángulo entre N3 e o bordo do seo peciolar (E)	51,44-45,23	48,18
Ángulo entre os extremos de N1 e o seu primeiro nervio secundario (F)	95,25-83,36	90,81
Ángulo entre os extremos N1 e N2 (AP)	142,05-103,76	123,94

Caracterización molecular

Microsatélites	VVS2	VVMD5	VVMD7	ssrVrZAG47	ssrVrZAG62	ssrVrZAG79	VVS29	VVS5
Pb	130	224	237	161	193	249	177	109
	140	232	245	165	203	257	179	109

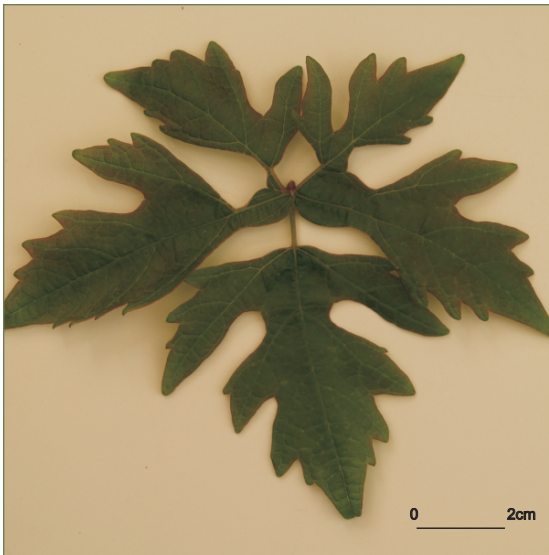
SUMIDADE



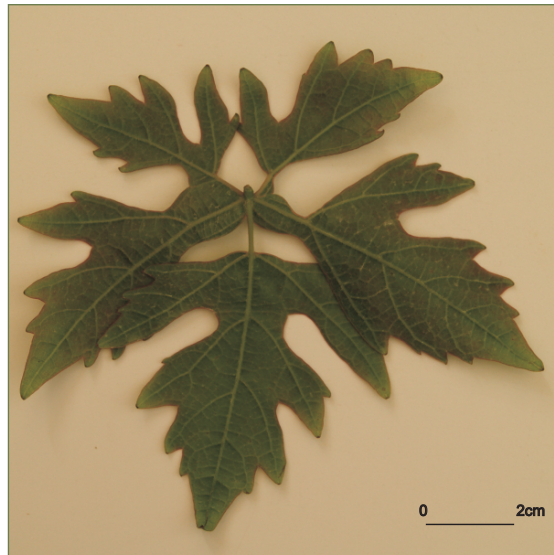
FOLLA NOVA: FACE, ENVÉS



FOLLA ADULTA: FACE

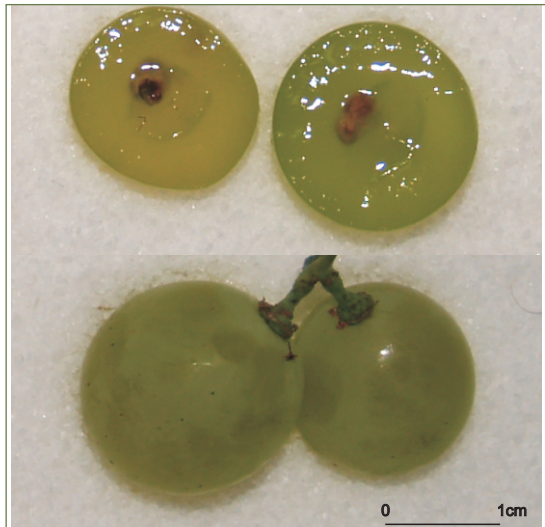


FOLLA ADULTA: ENVÉS



282

BAGO



PLANTA FINA

Referencias na colección da EVEGA:
F37P19P27.

Sinonimias

Non se coñecen.

Antecedentes

No Catastro Vitícola de 1983 cítase como cultivada nas provincias da Coruña e Lugo onde ocupaba arredor de 0,73 ha, ademais tamén se menciona o seu cultivo nas DD.OO. Ribeiro e Valdeorras con 0,24 ha e 0,12 ha, respectivamente.

Situación actual

Non se contempla no Rexistro Vitícola nin nos regulamentos das DD.OO. para a elaboración de viños.

Descrición morfolóxica

Pámpano novo

O pámpano novo presenta a extremidade aberta con peluxe tombada de densidade media e pigmentación reberetada de intensidade débil. A cara dorsal e ventral dos entrenós e nós é verde. As xemas non presentan pigmentación antociánica na bráctea.

Folla nova

A folla nova é verde con peluxe tombada de densidade baixa.

Folla adulta

A folla adulta de cor verde media presenta tamaño grande e forma pentagonal, con cinco lóbulos; peluda, con densidade baixa de pelos tombados e densidade baixa de pelos ergueitos sobre os nervios principais; perfil alabeado; limbo con inchazón débil; dentes con lados rectilíneos, de lonxitude curta en relación á súa anchura; seo peciolar e seos laterais superiores con lóbulos lixeiramente superpostos coa base en forma de chave. Pecíolo lixeiramente máis curto que o nervio principal.

Acio

O acio é cónico, longo, ancho, de compacidade media a solta e con presenza de 1 ou 2 ás. O pedúnculo é longo.

Bago

O bago de cor verde amarela presenta forma elíptica curta.

Caracterización ampelográfica

Código OIV	Carácter OIV	Notación	Nivel de expresión
Pámpano novo			
001	Forma da extremidade	aberta	5
002	Distribución da pigmentación antociánica da extremidade	reberetada	2
003	Intensidade da pigmentación antociánica da extremidade	débil	3
004	Densidade dos pelos tombados da extremidade	media	5
005	Densidade dos pelos ergueitos da extremidade	nula ou moi baixa	1
006	Porte	semi-ergueito	3
007	Cor da cara dorsal dos entrenós	verde	1
008	Cor da cara ventral dos entrenós	verde	1
009	Cor da cara dorsal dos nós	verde	1
010	Cor da cara ventral dos nós	verde	1
011	Densidade dos pelos ergueitos dos nós	nula ou moi baixa	1
012	Densidade dos pelos ergueitos dos entrenós	nula ou moi baixa	1
015.1	Pigmentación antociánica das xemas	nula	1
015.2	Intensidade da pigmentación antociánica das xemas	nula	1
0.16	Número de gabiáns consecutivos	dous	1
Folla nova			
051	Cor da face	verde	1
053	Densidade dos pelos tombados entre os nervios	baixa	3
056	Densidade dos pelos ergueitos dos nervios principais	nula ou moi baixa	1
Folla adulta			
065	Tamaño	grande	7
067	Forma do limbo	pentagonal	3
068	Número de lóbulos	cinco	3
069	Cor da face	verde media	5
070	Pigmentación antociánica dos nervios principais da face do limbo	nula	1
071	Pigmentación antociánica dos nervios principais do envés do limbo	nula	1
072	Avultamento do limbo	ausente	1
073	Ondulación do limbo entre os nervios principais ou secundarios	ausente	1
074	Perfil	alabeado	5
075	Inchazón da face	débil	3
076	Forma dos dentes	rectilíneos	2
078	Lonxitude dos dentes en relación á súa anchura na base	pequenos	3
079	Solapamento do seo peciolar	lixeramente superpostos	4
080	Forma da base do seo peciolar	en chave	2
081.1	Dentes no seo peciolar	ausentes	1
081.2	Base do seo peciolar limitada pola nervadura	non delimitada	1
082	Solapamento dos seos laterais superiores	lixeramente superpostos	3
083.1	Forma da base dos seos laterais superiores	en chave	2

Código OIV	Carácter OIV	Notación	Nivel de expresión
083.2	Dentes nos seus laterais superiores	ausente	1
084	Densidade dos pelos tombados entre os nervios do envés	baixa	3
085	Densidade dos pelos ergueitos entre os nervios do envés	nula	1
086	Densidade dos pelos tombados sobre os nervios do envés	baixa	3
087	Densidade dos pelos ergueitos sobre os nervios do envés	baixa	3
088	Peluxe dos nervios principais da face	ausentes	1
089	Peluxe ergueita dos nervios principais da face	ausentes	1
090	Densidade dos pelos tombados do pecíolo	nula ou moi baixa	1
091	Densidade dos pelos ergueitos do pecíolo	nula ou moi baixa	1
093	Lonxitude do pecíolo en relación ao nervio central	máis curto	3
Inflorescencia			
151	Sexo da flor	hermafrodita	3
Acio			
202	Lonxitude	longa	7
204	Compacidade	solta	3
206	Lonxitude do pedúnculo	longa	7
208	Forma	cónica	2
209	Número de ás do acio primario	1 ou 2	2
Bago			
220	Lonxitude	longa	7
221	Anchura	ancha	7
222	Uniformidade do tamaño	uniforme	2
223	Forma	elíptica curta	3
225	Cor da epiderme	verde amarela	1

285

Caracterización ampelométrica

Carácter ampelométrico	Valor máximo e mínimo (cm)	Valor medio (cm)
Lonxitude do nervio central (N1)	12,26-8,56	9,88
Lonxitude do nervio principal lateral superior (N2)	11,48-8,22	9,31
Lonxitude do nervio principal lateral inferior (N3)	9,59-5,62	7,20
Lonxitude do nervio secundario inferior (N4)	6,52-3,40	4,77
Lonxitude do nervio terciario inferior (N5)	3,67-1,33	2,25
Distancia do punto peciolar á intersección de N3-N4 (N6)	1,19-0,47	0,85
Distancia do punto peciolar ao seo superior (U)	8,64-3,85	6,06
Distancia do punto peciolar ao seo inferior (O)	7,05-4,38	5,56
Número de dentes entre o extremo N2 e o seu primeiro nervio secundario (ND)	6,00-4,00	5,50

Carácter ampelométrico	Valor máximo e mínimo (cm)	Valor medio (cm)
Distancia entre o extremo de N2 e o seu primeiro nervio secundario (PL)	6,52-3,73	4,86
Lonxitude do dente de N1 medido ao punto medio da base (L1)	0,96-0,37	0,61
Lonxitude do dente de N2 medido ao punto medio da base (L2)	1,17-0,62	0,86
Lonxitude do dente de N3 medido ao punto medio da base (L3)	0,83-0,50	0,69
Lonxitude do dente de N4 medido ao punto medio da base (L4)	1,05-0,52	0,70
Anchura do dente de N1 (A1)	0,68-0,65	1,06
Anchura do dente de N2 (A2)	1,47-1,00	1,19
Anchura do dente de N3 (A3)	1,41-0,78	1,05
Anchura do dente de N4 (A4)	1,21-0,75	0,99
Abertura do seo peciolar (SP)	4,27-0,58	2,60
Ancho da folla (AN)	18,67-12,48	14,56
Alto da folla (ALT)	18,42-11,04	14,13
Proxección da distancia entre os extremos N1 e N3 sobre o eixe da folla (L)	16,25-10,74	12,65
Distancia entre os extremos N2 do lado grande e do lado pequeno (IS)	14,57-10,68	11,96
Distancia entre os extremos N3 do lado grande e do lado pequeno (II)	17,45-11,60	13,69
Distancia entre os extremos de N1 e N2 (ENS)	9,27-4,99	7,18
Distancia entre os extremos de N2 e N3 (ENM)	9,75-5,58	7,23
Distancia entre os extremos de N3 e N4 (ENI)	8,01-3,09	5,28
Distancia do punto peciolar ao extremo de N4 (NL)	6,96-4,39	5,47
Distancia entre as bases dos seos superiores (DS1)	8,11-3,97	5,89
Distancia entre a base dos seos inferiores (DS2)	13,62-8,70	10,85
Distancia entre as bases do seo superior e inferior (DS)	6,95-3,91	5,35
Abertura do seo superior (SS)	1,20-0,25	0,67
Abertura do seo inferior (SI)	1,63-0,37	0,89

Carácter ampelométrico	Valor máximo e mínimo (graos)	Valor medio (graos)
Ángulo entre N1 e N2 (A)	60,11-49,63	55,00
Ángulo entre N2 e N3 (B)	63,87-44,33	52,15
Ángulo entre N3 e N4 (C)	53,63-37,82	45,93
Ángulo entre N4 e N5 (D)	52,47-35,44	44,86
Ángulo entre N3 e o bordo do seo peciolar (E)	65,82-41,58	51,05
Ángulo entre os extremos de N1 e o seu primeiro nervio secundario (F)	135,18-87,04	108,43
Ángulo entre os extremos N1 e N2 (AP)	136,86-118,51	125,42

Caracterización molecular

Microsatélites	VVS2	VVMD5	VVMD7	ssrVrZAG47	ssrVrZAG62	ssrVrZAG79	VVS29	VVS5
Pb	140	224	237	155	185	249	169	106
	142	236	241	171	187	255	169	117

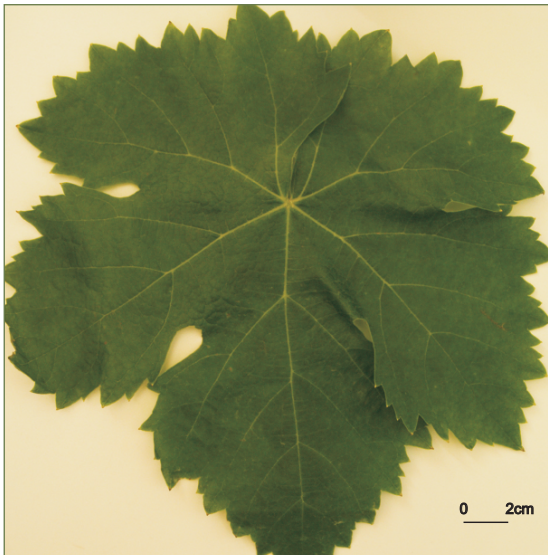
SUMIDADE



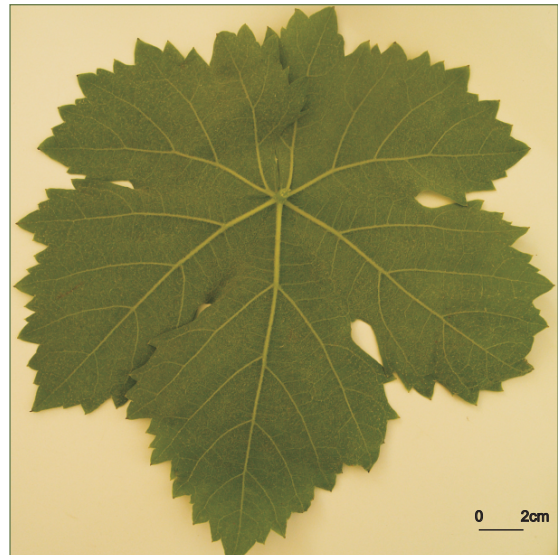
FOLLA NOVA: FACE, ENVÉS



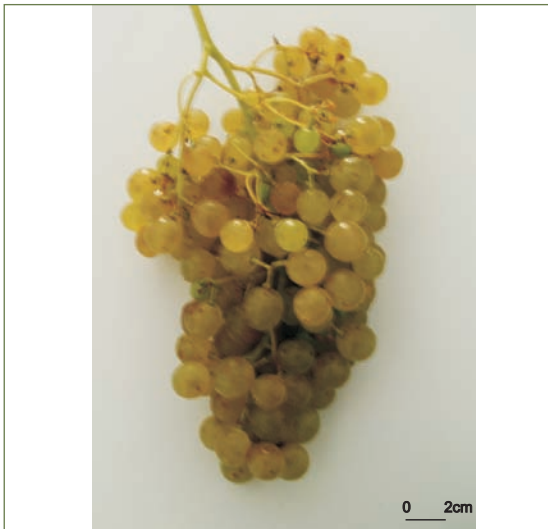
FOLLA ADULTA: FACE



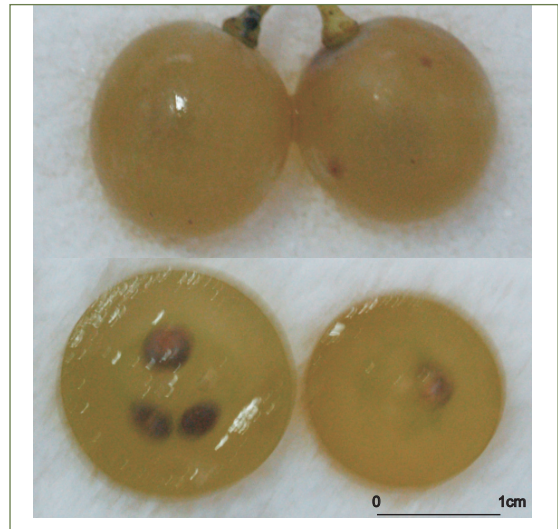
FOLLA ADULTA: ENVÉS



ACIO



BAGO



Referencias na colección da EVEGA:

F14P01, F15P01, F29P01, 31P01, F35P01.

Localizáronse exemplares centenarios na DO Ribeiro, na localidade de Ervededo (Razamon-de-Cenlle).

Descrición morfolóxica

Pámpano novo

O pámpano novo presenta a extremidade aberta con peluxe tombada de densidade baixa e sen pigmentación ou con pigmentación reberetada de intensidade débil. A cara dorsal e ventral dos entrenós e a cara ventral do nó son verdes, mentres que a cara dorsal do nó é verde e vermella. As xemas presentan pigmentación antociánica basal de intensidade débil.

Folla nova

A folla nova é verde con peluxe tombada de densidade baixa.

Folla adulta

A folla adulta de cor verde media presenta tamaño medio e forma pentagonal, con sete lóbulos; densidade media de pelos ergueitos entre e sobre os nervios principais do envés do limbo; perfil plano; limbo con avultamento e inchazón débil; dentes con lados rectilíneos, de lonxitude media en relación á súa anchura; seo peciolar con lóbulos pouco abertos ou lixeiramente superpostos e coa base en forma de chave limitada, en ocasións, pola nervadura nun dos seus lados; seos laterais superiores con lóbulos lixeiramente superpostos coa base en forma de chave; pecíolo lixeiramente máis curto que o nervio principal.

Acio

O acio en embude, moi longo, moi ancho, de compacidade media e con presenza de 3 ou 4 ás. O pedúnculo é de lonxitude curta.

Bago

O bago de cor verde amarela presenta forma elíptica curta.

Caracterización ampelográfica

Código OIV	Carácter OIV	Notación	Nivel de expresión
Pámpano novo			
001	Forma da extremidade	aberta	5
002	Distribución da pigmentación antociánica da extremidade	reberetada	2
003	Intensidade da pigmentación antociánica da extremidade	débil	3
004	Densidade dos pelos tombados da extremidade	baixa	3
005	Densidade dos pelos ergueitos da extremidade	nula ou moi baixa	1
006	Porte	semi-ergueito	3
007	Cor da cara dorsal dos entrenós	verde	1
008	Cor da cara ventral dos entrenós	verde	1
009	Cor da cara dorsal dos nós	verde e vermella	2
010	Cor da cara ventral dos nós	verde	1
011	Densidade dos pelos ergueitos dos nós	nula	1
012	Densidade dos pelos ergueitos dos entrenós	nula	1
015.1	Pigmentación antociánica das xemas	na base	2
015.2	Intensidade da pigmentación antociánica das xemas	débil	3
0.16	Número de gabiáns consecutivos	dous	1
Folla nova			
051	Cor da face	verde	1
053	Densidade dos pelos tombados entre os nervios	baixa	3
056	Densidade dos pelos ergueitos dos nervios principais	nula ou moi baixa	1
Folla adulta			
065	Tamaño	medio	5
067	Forma do limbo	pentagonal	3
068	Número de lóbulos	siete	4
069	Cor da face	verde media	5
070	Pigmentación antociánica dos nervios principais da face do limbo	nula	1
071	Pigmentación antociánica dos nervios principais do envés do limbo	nula	1
072	Avultamento do limbo	débil	3
073	Ondulación do limbo entre os nervios principais ou secundarios	presente	9
074	Perfil	plano	1
075	Inchazón da face	débil	3
076	Forma dos dentes	rectilíneos	2
078	Lonxitude dos dentes en relación á súa anchura na base	media	5
079	Solapamento do seo peciolar	lixeramente superpostos	4
080	Forma da base do seo peciolar	en chave	2
081.1	Dentes no seo peciolar	ausentes	1
081.2	Base do seo peciolar limitada pola nervadura	nun lado	2
082	Solapamento dos seos laterais superiores	lixeramente superpostos	3
083.1	Forma da base dos seos laterais superiores	en chave	2

Código OIV	Carácter OIV	Notación	Nivel de expresión
083.2	Dentes nos seos laterais superiores	ausente	1
084	Densidade dos pelos tombados entre os nervios do envés	nula ou moi baixa	1
085	Densidade dos pelos ergueitos entre os nervios do envés	media	5
086	Densidade dos pelos tombados sobre os nervios do envés	nula ou moi baixa	1
087	Densidade dos pelos ergueitos sobre os nervios do envés	media	5
088	Peluxe dos nervios principais da face	ausentes	1
089	Peluxe ergueita dos nervios principais da face	ausentes	1
090	Densidade dos pelos tombados do pecíolo	nula ou moi baixa	1
091	Densidade dos pelos ergueitos do pecíolo	nula ou moi baixa	1
093	Lonxitude do pecíolo en relación ao nervio central	lixiramente máis curto	3
Inflorescencia			
151	Sexo da flor	hermafrodita	3
Acio			
202	Lonxitude	moi longa	9
204	Compacidade	media	5
206	Lonxitude do pedúnculo	curta	3
208	Forma	en embude	3
209	Número de ás do acio primario	3 ou 4	3
Bago			
220	Lonxitude	media	5
221	Anchura	ancha	7
222	Uniformidade do tamaño	uniforme	2
223	Forma	elíptica curta	3
225	Cor da epiderme	verde amarela	5

Caracterización ampelométrica

Carácter ampelométrico	Valor máximo e mínimo (cm)	Valor medio (cm)
Lonxitude do nervio central (N1)	16,25-14,59	15,39
Lonxitude do nervio principal lateral superior (N2)	14,01-12,66	13,45
Lonxitude do nervio principal lateral inferior (N3)	11,24-9,08	9,92
Lonxitude do nervio secundario inferior (N4)	7,23-5,34	6,14
Lonxitude do nervio terciario inferior (N5)	4,06-2,84	3,30
Distancia do punto peciolar á intersección de N3-N4 (N6)	2,14-1,21	1,53
Distancia do punto peciolar ao seo superior (U)	8,04-3,54	5,48
Distancia do punto peciolar ao seo inferior (O)	6,12-4,45	5,37
Número de dentes entre o extremo N2 e o seu primeiro nervio secundario (ND)	8,00-5,00	6,80

Carácter apelmométrico	Valor máximo e mínimo (cm)	Valor medio (cm)
Distancia entre o extremo de N2 e o seu primeiro nervio secundario (PL)	7,54-5,68	6,89
Lonxitude do dente de N1 medido ao punto medio da base (L1)	1,60-0,96	1,35
Lonxitude do dente de N2 medido ao punto medio da base (L2)	2,00-0,71	1,54
Lonxitude do dente de N3 medido ao punto medio da base (L3)	2,44-0,99	1,40
Lonxitude do dente de N4 medido ao punto medio da base (L4)	1,88-1,10	1,50
Anchura do dente de N1 (A1)	1,77-1,27	1,52
Anchura do dente de N2 (A2)	1,89-1,63	1,77
Anchura do dente de N3 (A3)	2,19-1,16	1,72
Anchura do dente de N4 (A4)	2,38-1,29	1,73
Abertura do seo peciolar (SP)	5,51-0,24	2,88
Ancho da folla (AN)	20,86-19,65	20,20
Alto da folla (ALT)	21,79-20,34	21,08
Proxección da distancia entre os extremos N1 e N3 sobre o eixe da folla (L)	18,92-17,00	17,97
Distancia entre os extremos N2 do lado grande e do lado pequeno (IS)	19,73-17,10	18,26
Distancia entre os extremos N3 do lado grande e do lado pequeno (II)	20,79-15,77	18,61
Distancia entre os extremos de N1 e N2 (ENS)	11,38-8,68	9,67
Distancia entre os extremos de N2 e N3 (ENM)	11,83-8,96	10,26
Distancia entre os extremos de N3 e N4 (ENI)	10,87-6,28	7,55
Distancia do punto peciolar ao extremo de N4 (NL)	8,17-6,63	7,48
Distancia entre as bases dos seos superiores (DS1)	6,93-4,12	5,52
Distancia entre a base dos seos inferiores (DS2)	11,65-7,28	9,46
Distancia entre as bases do seo superior e inferior (DS)	6,37-3,68	4,75
Abertura do seo superior (SS)	0,00-0,00	0,00
Abertura do seo inferior (SI)	0,98-0,00	0,45

Carácter apelmométrico	Valor máximo e mínimo (graos)	Valor medio (graos)
Ángulo entre N1 e N2 (A)	58,06-45,43	50,89
Ángulo entre N2 e N3 (B)	61,82-44,19	52,64
Ángulo entre N3 e N4 (C)	56,80-47,40	52,59
Ángulo entre N4 e N5 (D)	48,13-36,67	41,58
Ángulo entre N3 e o bordo do seo peciolar (E)	68,13-36,47	57,23
Ángulo entre os extremos de N1 e o seu primeiro nervio secundario (F)	104,91-81,84	93,42
Ángulo entre os extremos N1 e N2 (AP)	128,41-105,47	115,25

Caracterización molecular

Microsatélites	VVS2	VVMD5	VVMD7	ssrVrZAG47	ssrVrZAG62	ssrVrZAG79	VVS29	VVS5
Pb	130	230	231	155	187	237	169	85
	140	232	241	161	195	247	173	117

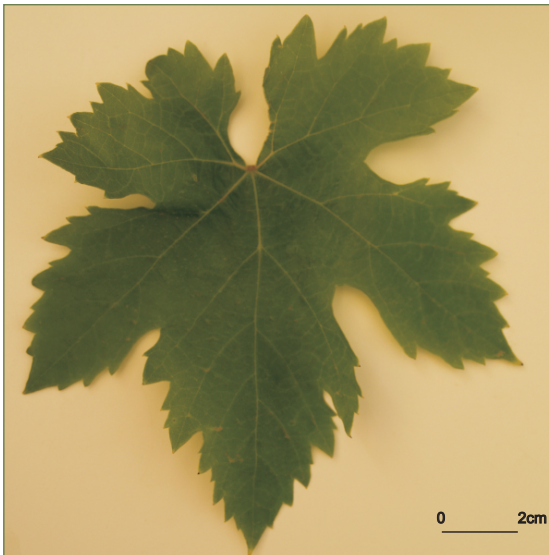
SUMIDADE



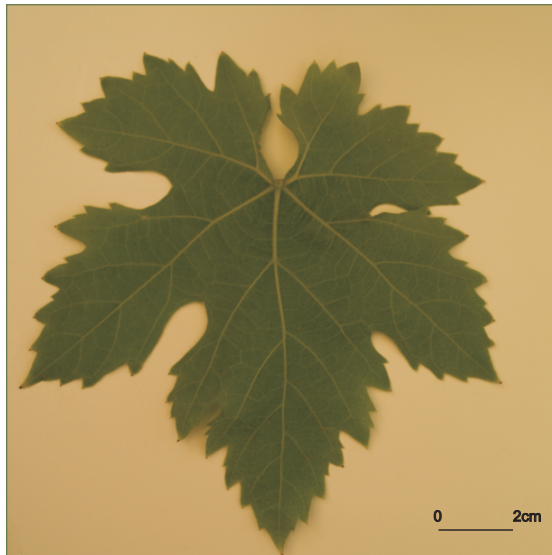
FOLLA NOVA: FACE, ENVÉS



FOLLA ADULTA: FACE



FOLLA ADULTA: ENVÉS

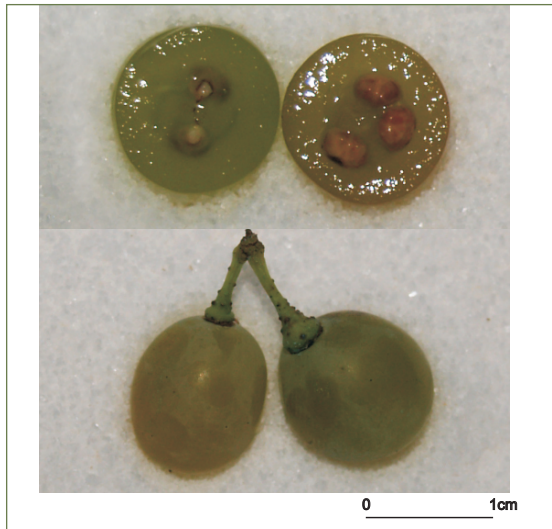


292

ACIO



BAGO



Referencias na colección da EVEGA: F52P22P30, F54P01P09, F55P35P39, F56P12P17, F56P21P23.

Sinonimias

Cajarrento.

Antecedentes

García de los Salmones (1914) cítaa como cultivada en Boiro.

Situación actual

Non está contemplada no Rexistro de variedades comerciais, nin no regulamento das DD.OO. para a elaboración de viños. Localizáronse cepas centenarias na zona de Boiro.

Descrición morfolóxica

Pámpano novo

O pámpano novo presenta a extremidade aberta con peluxe tombada de densidade media e pigmentación reberetada de intensidade débil. A cara dorsal dos entrenós e nós é verde e vermella, e a ventral é verde. As xemas presentan pigmentación antociánica na base da bráctea e de intensidade débil.

Folla nova

A folla nova é verde con peluxe tombada de densidade media.

Folla adulta

A folla adulta de cor verde media presenta tamaño medio e forma pentagonal, con tres lóbulos; peluda, con densidade media de pelos tombados entre e sobre os nervios principais do envés; perfil plano; limbo con avultamento e inchazón débil; presenza de pigmentación antociánica que alcanza a primeira bifurcación; dentes de lados rectilíneos, de lonxitude curta en relación á súa anchura; seo peciolar semi-aberto, coa base en forma de U limitada nun dos lados pola nervadura; seos laterais superiores abertos coa base en forma de V; pecíolo lixeiramente máis curto que o nervio principal.

Acio

O acio é cónico, curto, de anchura e compacidade media e con presenza de 1 ou 2 ás. O pedúnculo é de lonxitude media.

Bago

O bago de cor verde amarela presenta forma elíptica curta.

Caracterización ampelográfica

Código OIV	Carácter OIV	Notación	Nivel de expresión
Pámpano novo			
001	Forma da extremidade	aberta	5
002	Distribución da pigmentación antociánica da extremidade	reberetada	2
003	Intensidade da pigmentación antociánica da extremidade	débil	3
004	Densidade dos pelos tombados da extremidade	media	5
005	Densidade dos pelos ergueitos da extremidade	nula ou moi baixa	1
006	Porte	semi-ergueito	3
007	Cor da cara dorsal dos entrenós	verde e vermella	2
008	Cor da cara ventral dos entrenós	verde	1
009	Cor da cara dorsal dos nós	verde e vermella	2
010	Cor da cara ventral dos nós	verde	1
011	Densidade dos pelos ergueitos dos nós	nula ou moi baixa	1
012	Densidade dos pelos ergueitos dos entrenós	nula ou moi baixa	1
015.1	Pigmentación antociánica das xemas	na base	2
015.2	Intensidade da pigmentación antociánica das xemas	débil	3
0.16	Número de gabiáns consecutivos	dous	1
Folla nova			
051	Cor da face	verde	1
053	Densidade dos pelos tombados entre os nervios	media	5
056	Densidade dos pelos ergueitos dos nervios principais	nula ou moi baixa	1
Folla adulta			
065	Tamaño	medio	5
067	Forma do limbo	pentagonal	3
068	Número de lóbulos	tres	2
069	Cor da face	verde media	5
070	Pigmentación antociánica dos nervios principais da face do limbo	ata a primeira bifurcación	3
071	Pigmentación antociánica dos nervios principais do envés do limbo	ata a primeira bifurcación	3
072	Avultamento do limbo	débil	3
073	Ondulación do limbo entre os nervios principais ou secundarios	ausente	1
074	Perfil	plano	1
075	Inchazón da face	débil	3
076	Forma dos dentes	rectilíneos	2
078	Lonxitude dos dentes en relación á súa anchura na base	pequenos	3
079	Solapamento do seo peciolar	semi-aberto	2
080	Forma da base do seo peciolar	en U	1
081.1	Dentes no seo peciolar	ausentes	1
081.2	Base do seo peciolar limitada pola nervadura	nun lado	2
082	Solapamento dos seos laterais superiores	aberto	1

Código OIV	Carácter OIV	Notación	Nivel de expresión
083.1	Forma da base dos seos laterais superiores	en V	3
083.2	Dentes nos seos laterais superiores	ausente	1
084	Densidade dos pelos tombados entre os nervios do envés	media	5
085	Densidade dos pelos ergueitos entre os nervios do envés	nula ou moi baixa	1
086	Densidade dos pelos tombados sobre os nervios do envés	media	5
087	Densidade dos pelos ergueitos sobre os nervios do envés	nula ou moi baixa	1
088	Peluxe dos nervios principais da face	presentes	9
089	Peluxe ergueita dos nervios principais da face	ausentes	1
090	Densidade dos pelos tombados do pecíolo	nula ou moi baixa	1
091	Densidade dos pelos ergueitos do pecíolo	nula ou moi baixa	1
093	Lonxitude do pecíolo en relación ao nervio central	lixeramente máis curto	3
Inflorescencia			
151	Sexo da flor	hermafrodita	3
Acio			
202	Lonxitude	curta	3
204	Compacidade	media	5
206	Lonxitude do pedúnculo	media	5
208	Forma	cónica	2
209	Número de ás do acio primario	1 ou 2	2
Bago			
220	Lonxitude	mediana	5
221	Anchura	mediana	5
222	Uniformidade do tamaño	uniforme	2
223	Forma	elíptica curta	3
225	Cor da epiderme	verde amarela	1

Caracterización ampelométrica

Carácter ampelométrico	Valor máximo e mínimo (cm)	Valor medio (cm)
Lonxitude do nervio central (N1)	7,99-6,14	7,08
Lonxitude do nervio principal lateral superior (N2)	7,93-5,64	6,96
Lonxitude do nervio principal lateral inferior (N3)	5,88-4,47	5,34
Lonxitude do nervio secundario inferior (N4)	4,61-2,90	3,59
Lonxitude do nervio terciario inferior (N5)	3,37-0,98	1,63
Distancia do punto peciolar á intersección de N3-N4 (N6)	1,69-0,35	0,68
Distancia do punto peciolar ao seo superior (U)	6,07-4,51	5,43
Distancia do punto peciolar ao seo inferior (O)	5,20-3,72	4,54
Número de dentes entre o extremo N2 e o seu primeiro nervio secundario (ND)	11,00-5,00	6,20

Carácter ampelométrico	Valor máximo e mínimo (cm)	Valor medio (cm)
Distancia entre o extremo de N2 e o seu primeiro nervio secundario (PL)	4,85-2,68	3,63
Lonxitude do dente de N1 medido ao punto medio da base (L1)	0,71-0,26	0,44
Lonxitude do dente de N2 medido ao punto medio da base (L2)	0,76-0,25	0,61
Lonxitude do dente de N3 medido ao punto medio da base (L3)	0,65-0,28	0,49
Lonxitude do dente de N4 medido ao punto medio da base (L4)	0,67-0,35	0,49
Anchura do dente de N1 (A1)	0,82-0,46	0,69
Anchura do dente de N2 (A2)	0,95-0,49	0,80
Anchura do dente de N3 (A3)	1,05-0,66	0,80
Anchura do dente de N4 (A4)	0,90-0,44	0,63
Abertura do seo peciolar (SP)	3,53-1,37	2,43
Ancho da folla (AN)	11,56-8,67	10,34
Alto da folla (ALT)	11,36-8,35	9,74
Proxección da distancia entre os extremos N1 e N3 sobre o eixe da folla (L)	10,18-7,43	8,86
Distancia entre os extremos N2 do lado grande e do lado pequeno (IS)	11,09-7,35	9,14
Distancia entre os extremos N3 do lado grande e do lado pequeno (II)	11,42-8,26	9,90
Distancia entre os extremos de N1 e N2 (ENS)	6,20-3,89	5,19
Distancia entre os extremos de N2 e N3 (ENM)	5,97-4,30	5,10
Distancia entre os extremos de N3 e N4 (ENI)	4,17-2,69	3,63
Distancia do punto peciolar ao extremo de N4 (NL)	4,71-3,32	3,92
Distancia entre as bases dos seos superiores (DS1)	6,79-4,59	5,70
Distancia entre a base dos seos inferiores (DS2)	9,88-7,09	8,53
Distancia entre as bases do seo superior e inferior (DS)	5,02-2,69	4,15
Abertura do seo superior (SS)	0,52-0,22	0,38
Abertura do seo inferior (SI)	1,09-0,23	0,55

Carácter ampelométrico	Valor máximo e mínimo (graos)	Valor medio (graos)
Ángulo entre N1 e N2 (A)	56,23-47,90	52,84
Ángulo entre N2 e N3 (B)	59,83-31,78	45,66
Ángulo entre N3 e N4 (C)	49,80-38,64	44,27
Ángulo entre N4 e N5 (D)	43,63-34,89	39,66
Ángulo entre N3 e o bordo do seo peciolar (E)	61,29-36,83	50,43
Ángulo entre os extremos de N1 e o seu primeiro nervio secundario (F)	132,36-106,98	115,96
Ángulo entre os extremos N1 e N2 (AP)	138,01-121,05	127,53

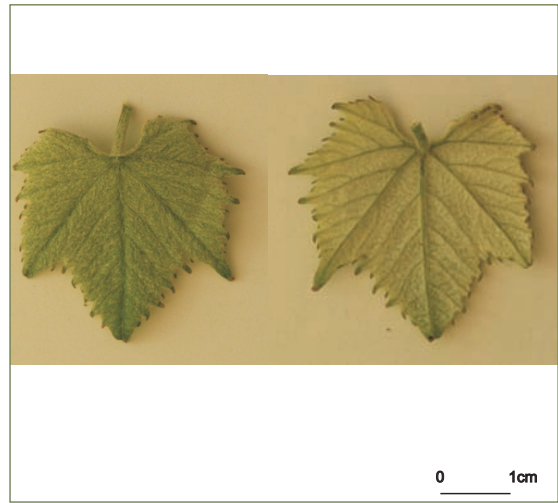
Caracterización molecular

Microsatélites	VVS2	VVMD5	VVMD7	ssrVrZAG47	ssrVrZAG62	ssrVrZAG79	VVS29	VVS5
Pb	150	228	241	161	187	237	169	85
	150	234	261	165	193	249	177	121

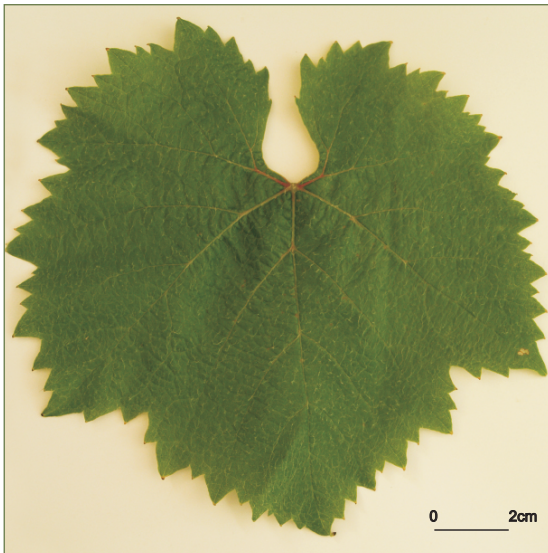
SUMIDADE



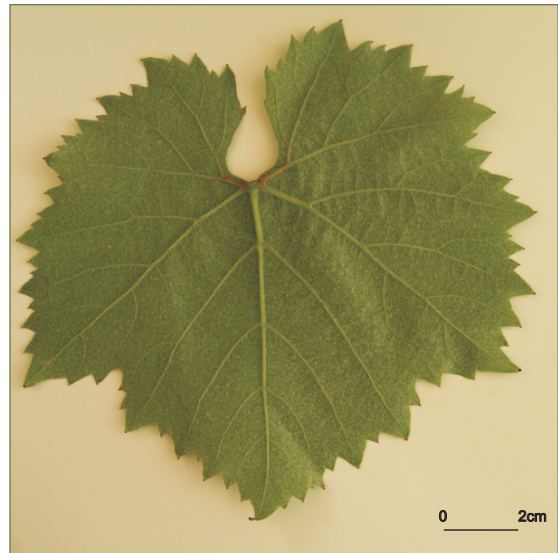
FOLLA NOVA: FACE, ENVÉS



FOLLA ADULTA: FACE



FOLLA ADULTA: ENVÉS



ACIO



BAGO



Referencias na colección da EVEGA:
F32P55P64, F32P71P77, F50P02P35,
F53P21P29, F56P18P20, F58P26P37.

Sinonimias

Non se coñecen.

Antecedentes

García de los Salmones (1911) cítaa como cultivada na zona de Ribadavia, provincia de Ourense.

Situación actual

Presenza puntual en parcelas plurivarietais na DO Ribeiro.

Valoracións sobre o seu cultivo

Variedade de brotación e maduración tardía, produce viños con graduación alcohólica elevada (14%) e acidez media (6,9 g/L).

Descrición morfolóxica

Pámpano novo

O pámpano novo presenta a extremidade aberta con peluxe tombada de densidade baixa e pigmentación reberetada de intensidade débil. A cara dorsal dos entrenós e nós é verde e vermella e a ventral é verde. As xemas presentan pigmentación antociánica que afecta case toda a bráctea e de intensidade forte.

Folla nova

A folla nova é bronceada con peluxe tombada de densidade baixa.

Folla adulta

A folla adulta de cor verde media presenta tamaño medio e forma pentagonal, con cinco lóbulos; peluda, con densidade media de pelos tombados e baixa de pelos ergueitos entre os nervios principais do envés do limbo; perfil plano; limbo con avultamento débil; dentes con lados convexos, de lonxitude curta en relación á súa anchura; seo peciolar pouco aberto ou con lóbulos lixeiramente superpostos e coa base en forma de chave; seos laterais superiores abertos coa base en forma de V; pecíolo lixeiramente máis curto que o nervio principal.

Acio

O acio é cónico, de lonxitude, anchura e compacidade media e con presenza de 1 ou 2 ás. O pedúnculo é de lonxitude moi curta.

Bago

O bago de cor verde amarela presenta forma elíptica curta.

Caracterización ampelográfica

Código OIV	Carácter OIV	Notación	Nivel de expresión
Pámpano novo			
001	Forma da extremidade	aberta	5
002	Distribución da pigmentación antociánica da extremidade	reberetada	2
003	Intensidade da pigmentación antociánica da extremidade	débil	3
004	Densidade dos pelos tombados da extremidade	baixa	3
005	Densidade dos pelos ergueitos da extremidade	nula ou moi baixa	1
006	Porte	semi-ergueito	3
007	Cor da cara dorsal dos entrenós	verde e vermella	2
008	Cor da cara ventral dos entrenós	verde	1
009	Cor da cara dorsal dos nós	verde e vermella	2
010	Cor da cara ventral dos nós	verde	1
011	Densidade dos pelos ergueitos dos nós	nula ou moi baixa	1
012	Densidade dos pelos ergueitos dos entrenós	nula ou moi baixa	1
015.1	Pigmentación antociánica das xemas	case toda a bráctea	4
015.2	Intensidade da pigmentación antociánica das xemas	forte	7
0.16	Número de gabiáns consecutivos	dous	1
Folla nova			
051	Cor da face	bronceada	3
053	Densidade dos pelos tombados entre os nervios	baixa	3
056	Densidade dos pelos ergueitos dos nervios principais	nula ou moi baixa	1
Folla adulta			
065	Tamaño	medio	5
067	Forma do limbo	pentagonal	3
068	Número de lóbulos	cinco	3
069	Cor da face	verde media	5
070	Pigmentación antociánica dos nervios principais da face do limbo	nula	1
071	Pigmentación antociánica dos nervios principais do envés do limbo	nula	1
072	Avultamento do limbo	débil	3
073	Ondulación do limbo entre os nervios principais ou secundarios	ausente	1
074	Perfil	plano	1
075	Inchazón da face	nulo ou moi débil	1
076	Forma dos dentes	convexos	3
078	Lonxitude dos dentes en relación á súa anchura na base	pequenos	3
079	Solapamento do seo peciolar	lixeramente superpostos	4
080	Forma da base do seo peciolar	en chave	2
081.1	Dentes no seo peciolar	ausentes	1
081.2	Base do seo peciolar limitada pola nervadura	non delimitada	1
082	Solapamento dos seos laterais superiores	aberto	1
083.1	Forma da base dos seos laterais superiores	en V	3

Código OIV	Carácter OIV	Notación	Nivel de expresión
083.2	Dentes nos seos laterais superiores	ausente	1
084	Densidade dos pelos tombados entre os nervios do envés	media	5
085	Densidade dos pelos ergueitos entre os nervios do envés	baixa	3
086	Densidade dos pelos tombados sobre os nervios do envés	baixa	3
087	Densidade dos pelos ergueitos sobre os nervios do envés	baixa	3
088	Peluxe dos nervios principais da face	ausentes	1
089	Peluxe ergueita dos nervios principais da face	ausentes	1
090	Densidade dos pelos tombados do pecíolo	nula ou moi baixa	1
091	Densidade dos pelos ergueitos do pecíolo	nula ou moi baixa	1
093	Lonxitude do pecíolo en relación ao nervio central	lixiramente máis curto	3
Inflorescencia			
151	Sexo da flor	hermafrodita	3
Acio			
202	Lonxitude	media	5
204	Compacidade	media	5
206	Lonxitude do pedúnculo	moi curta	1
208	Forma	cónica	2
209	Número de ás do acio primario	1 ou 2	2
Bago			
220	Lonxitude	media	5
221	Anchura	media	5
222	Uniformidade do tamaño	uniforme	2
223	Forma	elíptica curta	3
225	Cor da epiderme	verde amarela	1

Caracterización ampelométrica

Carácter ampelométrico	Valor máximo e mínimo (cm)	Valor medio (cm)
Lonxitude do nervio central (N1)	13,38-7,81	9,26
Lonxitude do nervio principal lateral superior (N2)	12,45-7,68	9,14
Lonxitude do nervio principal lateral inferior (N3)	8,93-5,71	6,69
Lonxitude do nervio secundario inferior (N4)	5,33-3,53	4,09
Lonxitude do nervio terciario inferior (N5)	2,64-1,53	1,91
Distancia do punto peciolar á intersección de N3-N4 (N6)	1,38-0,49	0,78
Distancia do punto peciolar ao seo superior (U)	8,13-4,25	6,09
Distancia do punto peciolar ao seo inferior (O)	7,63-4,45	5,71
Número de dentes entre o extremo N2 e o seu primeiro nervio secundario (ND)	6,00-5,00	5,50

Carácter apelmométrico	Valor máximo e mínimo (cm)	Valor medio (cm)
Distancia entre o extremo de N2 e o seu primeiro nervio secundario (PL)	5,92-3,45	4,43
Lonxitude do dente de N1 medido ao punto medio da base (L1)	0,63-0,25	0,40
Lonxitude do dente de N2 medido ao punto medio da base (L2)	0,79-0,32	0,49
Lonxitude do dente de N3 medido ao punto medio da base (L3)	0,63-0,32	0,44
Lonxitude do dente de N4 medido ao punto medio da base (L4)	0,64-0,30	0,46
Anchura do dente de N1 (A1)	1,35-0,68	0,86
Anchura do dente de N2 (A2)	1,49-0,68	1,07
Anchura do dente de N3 (A3)	1,57-0,91	1,17
Anchura do dente de N4 (A4)	1,37-0,77	1,06
Abertura do seo peciolar (SP)	2,95-1,66	2,25
Ancho da folla (AN)	20,01-12,41	14,14
Alto da folla (ALT)	19,04-11,35	13,30
Proxección da distancia entre os extremos N1 e N3 sobre o eixe da folla (L)	17,79-9,96	12,15
Distancia entre os extremos N2 do lado grande e do lado pequeno (IS)	18,44-9,44	12,43
Distancia entre os extremos N3 do lado grande e do lado pequeno (II)	16,98-10,95	12,73
Distancia entre os extremos de N1 e N2 (ENS)	11,48-5,91	7,38
Distancia entre os extremos de N2 e N3 (ENM)	9,71-5,75	7,00
Distancia entre os extremos de N3 e N4 (ENI)	6,75-3,91	5,07
Distancia do punto peciolar ao extremo de N4 (NL)	6,43-4,18	4,83
Distancia entre as bases dos seos superiores (DS1)	8,91-5,26	6,48
Distancia entre a base dos seos inferiores (DS2)	12,94-8,62	10,59
Distancia entre as bases do seo superior e inferior (DS)	5,76-4,50	5,17
Abertura do seo superior (SS)	1,08-0,49	0,80
Abertura do seo inferior (SI)	1,41-0,70	0,95

Carácter apelmométrico	Valor máximo e mínimo (graos)	Valor medio (graos)
Ángulo entre N1 e N2 (A)	62,62-47,82	56,45
Ángulo entre N2 e N3 (B)	60,60-46,71	54,66
Ángulo entre N3 e N4 (C)	67,43-52,25	57,00
Ángulo entre N4 e N5 (D)	50,56-33,91	40,69
Ángulo entre N3 e o bordo do seo peciolar (E)	58,35-43,89	49,47
Ángulo entre os extremos de N1 e o seu primeiro nervio secundario (F)	127,96-113,94	120,08
Ángulo entre os extremos N1 e N2 (AP)	143,92-117,97	129,66

Caracterización molecular

Microsatélites	VVS2	VVMD5	VVMD7	ssrVrZAG47	ssrVrZAG62	ssrVrZAG79	VVS29	VVS5
Pb	130	228	241	161	193	243	169	100
	150	236	245	165	203	249	169	117

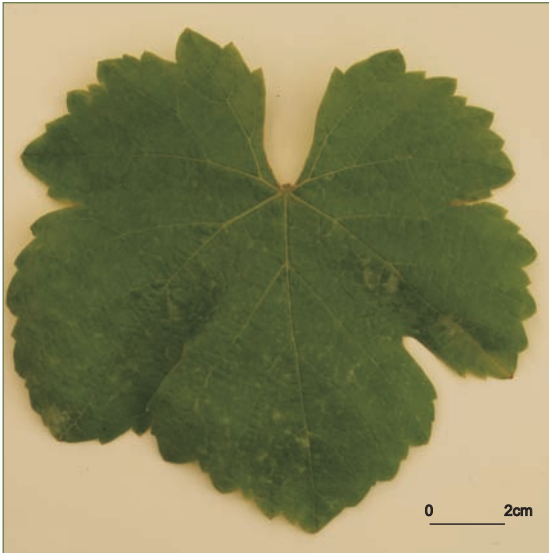
SUMIDADE



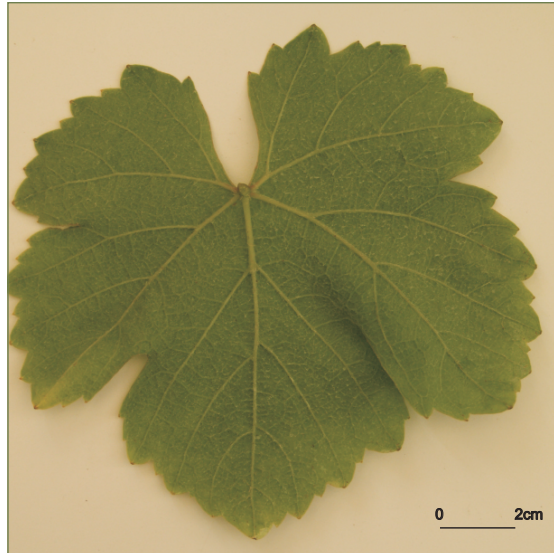
FOLLA NOVA: FACE, ENVÉS



FOLLA ADULTA: FACE



FOLLA ADULTA: ENVÉS



302

ACIO



BAGO



Referencias na colección da EVEGA:

F12P03P11, F13P14P46, F14P20P42, F14P63P67, F15P02P27, F15P33P60, F16P02P14, F16P20P29, F16P52P64, F19P49P57, F19P65P71, F20P14P35, F33P11P18, F34P53P62, F36P12P51, F36P88P92, F37P01P08, F37P28P38, F37P60P71, F44P38P46, F63P36P47.

Sinonimias

Retinto, Tintilla, Pazao e Viñón.

Antecedentes

García de los Salmones (1914) cítala como cultivada na provincia de Lugo, na zona de Cortegada (Ourense) e na Estrada (Pontevedra), onde se coñece baixo a denominación de Retinto, e na zona de Entrimo (Ourense) coñecida baixo a denominación de Viñón. No Catastro Vitícola de 1983 indícase a súa presenza na DO Ribeiro, onde ocupaba o 39,41% da extensión. Dos anos 1936 a 1940 aumenta lixeiramente o seu cultivo e alcanza o 52,96% da superficie, para descender nos seguintes anos. Non se contabiliza a superficie cultivada dende 1946. A súa orixe xenética está relacionada con cultivares da liñaxe do Caíño Bravo (Díaz-Losada *et al.*, 2010).

Situación actual

É recoñecida como variedade preferente nas DD.OO. Ribeiro, Ribeira Sacra e Rías Baixas, como autorizada na DO Monterrei, e é contemplada nas indicacións xeográficas Viño da Terra Barbanza e Iria e Val do Miño. A superficie de cultivo representa o 1,04% da superficie total de viñedo da comunidade, e corresponden 198,38 ha á provincia de Pontevedra, 121,05 ha á Coruña, 0,08 ha a Lugo e 14,10 ha a Ourense.

Valoracións sobre o seu cultivo

Varietade de brotación media e maduración tardía, presenta sensibilidade moderada ao mildeu e

á botrite e alta ao oídio. Produce viños con graduacións de 11,2% e acidez de 5,61 g/L, caracterizados por presentar tonalidades violáceas con suficiente intensidade colorante para o seu envellecemento en barrica; de notable complexidade olfactiva, viños afroitados, con notas a froitos vermellos e a herbas aromáticas e balsámicas.

Descrición morfolóxica

Pámpano novo

O pámpano novo presenta a extremidade aberta con peluxe tombada de densidade media. A cara dorsal dos entrenós e nós é verde e vermella, mentres que a ventral é verde. As xemas presentan pigmentación antociánica na base de intensidade media.

Folla nova

A folla nova é bronceada con peluxe tombada de densidade media.

Folla adulta

A folla adulta de cor verde media presenta tamaño medio e forma pentagonal, con cinco lóbulos; peluda, con densidade media de pelos tombados entre os nervios principais e baixa sobre os nervios principais da face do limbo; perfil alabeado; limbo con avultamento e inchazón débil; dentes con mestura de lados convexos e rectilíneos, de lonxitude curta en relación á súa anchura; seo peccolar pouco aberto coa base en forma de chave; seos laterais superiores abertos coa base en forma de U; pecíolo lixeiramente máis curto que o nervio principal

Acio

O acio é cónico, de lonxitude e anchura media, compacidade media e con presenza de 1 ou 2 ás. O pedúnculo é de lonxitude curta.

Bago

O bago de cor azul negra presenta forma esférica.

Caracterización ampelográfica

Código OIV	Carácter OIV	Notación	Nivel de expresión
Pámpano novo			
001	Forma da extremidade	aberta	5
002	Distribución da pigmentación antociánica da extremidade	non reberetada	1
003	Intensidade da pigmentación antociánica da extremidade	nula ou moi débil	1
004	Densidade dos pelos tombados da extremidade	media	5
005	Densidade dos pelos ergueitos da extremidade	nula ou moi baixa	1
006	Porte	semi-ergueito	3
007	Cor da cara dorsal dos entrenós	verde e vermella	2
008	Cor da cara ventral dos entrenós	verde	1
009	Cor da cara dorsal dos nós	verde e vermella	2
010	Cor da cara ventral dos nós	verde	1
011	Densidade dos pelos ergueitos dos nós	nula ou moi baixa	1
012	Densidade dos pelos ergueitos dos entrenós	nula ou moi baixa	1
015.1	Pigmentación antociánica das xemas	na base	2
015.2	Intensidade da pigmentación antociánica das xemas	media	5
0.16	Número de gabiáns consecutivos	dous	1
Folla nova			
051	Cor da face	bronceada	3
053	Densidade dos pelos tombados entre os nervios	media	5
056	Densidade dos pelos ergueitos dos nervios principais	nula ou moi baixa	1
Folla adulta			
065	Tamaño	medio	5
067	Forma do limbo	pentagonal	3
068	Número de lóbulos	cinco	3
069	Cor da face	verde media	5
070	Pigmentación antociánica dos nervios principais da face do limbo	nula	1
071	Pigmentación antociánica dos nervios principais do envés do limbo	nula	1
072	Avultamento do limbo	débil	3
073	Ondulación do limbo entre os nervios principais ou secundarios	ausente	1
074	Perfil	alabeado	5
075	Inchazón da face	débil	3
076	Forma dos dentes	mestura de lados rectilíneos e convexos	5
078	Lonxitude dos dentes en relación á súa anchura na base	pequenos	3
079	Solapamento do seo peciolar	pouco aberto	3
080	Forma da base do seo peciolar	en chave	2
081.1	Dentes no seo peciolar	ausentes	1
081.2	Base do seo peciolar limitada pola nervadura	non delimitada	1
082	Solapamento dos seos laterais superiores	aberto	1

Código OIV	Carácter OIV	Notación	Nivel de expresión
083.1	Forma da base dos seos laterais superiores	en U	1
083.2	Dentes nos seos laterais superiores	ausente	1
084	Densidade dos pelos tombados entre os nervios do envés	media	5
085	Densidade dos pelos ergueitos entre os nervios do envés	nula ou moi baixa	1
086	Densidade dos pelos tombados sobre os nervios do envés	baixa	3
087	Densidade dos pelos ergueitos sobre os nervios do envés	nula ou moi baixa	1
088	Peluxe dos nervios principais da face	ausentes	1
089	Peluxe ergueita dos nervios principais da face	ausentes	1
090	Densidade dos pelos tombados do pecíolo	baixa	3
091	Densidade dos pelos ergueitos do pecíolo	nula ou moi baixa	1
093	Lonxitude do pecíolo en relación ao nervio central	lixeramente máis curto	3
Inflorescencia			
151	Sexo da flor	hermafrodita	3
Acio			
202	Lonxitude	media	5
204	Compacidade	media	5
206	Lonxitude do pedúnculo	curta	3
208	Forma	cónica	2
209	Número de ás do acio primario	1 ou 2	2
Bago			
220	Lonxitude	curta	3
221	Anchura	mediana	5
222	Uniformidade do tamaño	uniforme	2
223	Forma	esférica	2
225	Cor da epiderme	azul negra	6

305

Caracterización ampelométrica

Carácter ampelométrico	Valor máximo e mínimo (cm)	Valor medio (cm)
Lonxitude do nervio central (N1)	15,28-10,37	12,58
Lonxitude do nervio principal lateral superior (N2)	13,56-8,56	10,66
Lonxitude do nervio principal lateral inferior (N3)	9,95-6,16	7,88
Lonxitude do nervio secundario inferior (N4)	6,65-3,66	5,23
Lonxitude do nervio terciario inferior (N5)	3,65-1,23	2,49
Distancia do punto peciolar á intersección de N3-N4 (N6)	1,66-0,48	0,95
Distancia do punto peciolar ao seo superior (U)	9,36-5,45	7,84
Distancia do punto peciolar ao seo inferior (O)	8,69-5,07	6,57
Número de dentes entre o extremo N2 e o seu primeiro nervio secundario (ND)	6,67-3,33	5,06

Carácter ampelométrico	Valor máximo e mínimo (cm)	Valor medio (cm)
Distancia entre o extremo de N2 e o seu primeiro nervio secundario (PL)	7,58-3,85	5,70
Lonxitude do dente de N1 medido ao punto medio da base (L1)	1,47-0,32	0,94
Lonxitude do dente de N2 medido ao punto medio da base (L2)	1,35-0,48	0,78
Lonxitude do dente de N3 medido ao punto medio da base (L3)	1,19-0,43	0,77
Lonxitude do dente de N4 medido ao punto medio da base (L4)	1,17-0,45	0,86
Anchura do dente de N1 (A1)	2,44-1,05	1,62
Anchura do dente de N2 (A2)	7,84-1,03	1,69
Anchura do dente de N3 (A3)	1,99-0,80	1,38
Anchura do dente de N4 (A4)	1,71-0,72	1,24
Abertura do seo peciolar (SP)	3,41-0,00	1,43
Ancho da folla (AN)	21,45-13,46	17,19
Alto da folla (ALT)	21,80-14,38	17,77
Proxección da distancia entre os extremos N1 e N3 sobre o eixe da folla (L)	19,89-12,80	16,17
Distancia entre os extremos N2 do lado grande e do lado pequeno (IS)	19,43-9,96	15,21
Distancia entre os extremos N3 do lado grande e do lado pequeno (II)	18,62-10,31	14,62
Distancia entre os extremos de N1 e N2 (ENS)	12,54-7,15	9,82
Distancia entre os extremos de N2 e N3 (ENM)	11,83-5,69	8,55
Distancia entre os extremos de N3 e N4 (ENI)	8,23-4,19	5,94
Distancia do punto peciolar ao extremo de N4 (NL)	7,45-4,58	5,86
Distancia entre as bases dos seos superiores (DS1)	12,47-6,87	9,16
Distancia entre a base dos seos inferiores (DS2)	16,14-9,94	12,72
Distancia entre as bases do seo superior e inferior (DS)	9,28-5,53	7,10
Abertura do seo superior (SS)	1,62-0,00	0,69
Abertura do seo inferior (SI)	3,08-0,59	1,19

Carácter ampelométrico	Valor máximo e mínimo (graos)	Valor medio (graos)
Ángulo entre N1 e N2 (A)	70,26-50,33	60,04
Ángulo entre N2 e N3 (B)	64,99-28,14	49,35
Ángulo entre N3 e N4 (C)	71,29-38,19	51,84
Ángulo entre N4 e N5 (D)	64,08-26,34	44,70
Ángulo entre N3 e o bordo do seo peciolar (E)	99,35-43,34	66,34
Ángulo entre os extremos de N1 e o seu primeiro nervio secundario (F)	115,88-83,54	99,06
Ángulo entre os extremos N1 e N2 (AP)	122,23-89,20	107,01

Caracterización molecular

Microsatélites	VVS2	VVMD5	VVMD7	ssrVrZAG47	ssrVrZAG62	ssrVrZAG79	VVS29	VVS5
Pb	130	218	237	165	187	243	169	100
	132	222	261	165	195	249	179	121

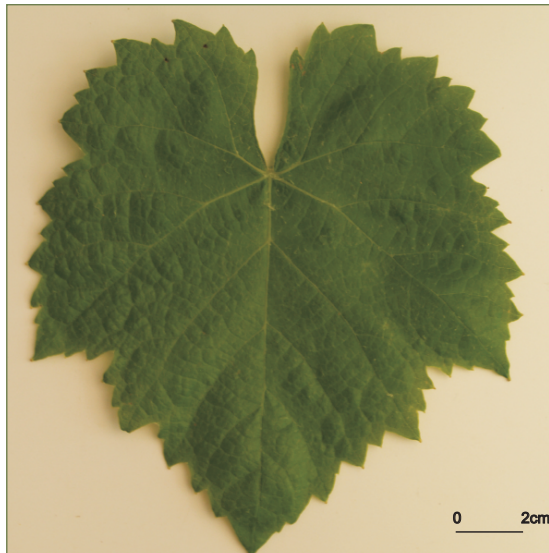
SUMIDADE



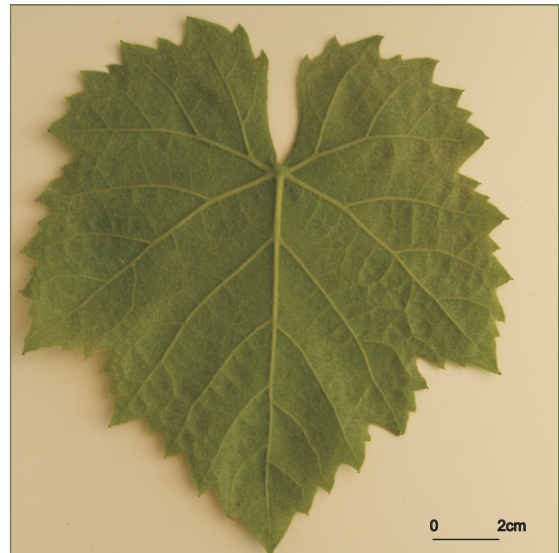
FOLLA NOVA: FACE, ENVÉS



FOLLA ADULTA: FACE



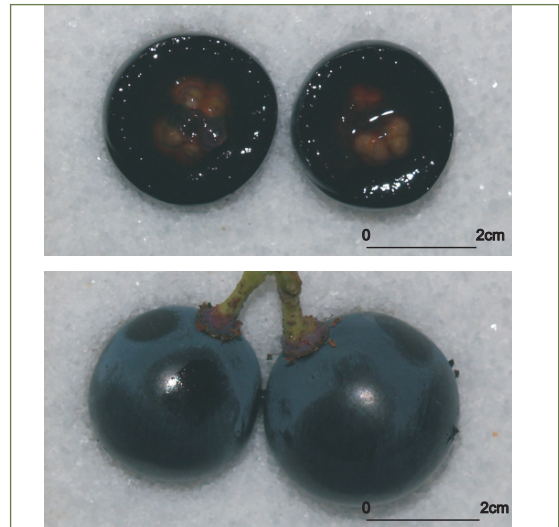
FOLLA ADULTA: ENVÉS



ACIO



BAGO



TEMPRANILLO

Referencias na colección da EVEGA:
F14P44P54, F35P02P12.

Sinonimias

Arauxa.

Antecedentes

García de los Salmones (1914) cítala baixo a denominación de Arauxa na localidade de Monterrei (Ourense). No Catastro Vitícola de 1983 aparece como cultivada na DO Valdeorras, onde ocupaba o 0,02% da superficie de viñado.

Situación actual

É recoñecida como variedade preferente nas DD.OO. Ribeira Sacra e Valdeorras, e como autorizada nas DD.OO. Ribeiro e Monterrei. Este cultivar ocupa 1,29 ha do viñado na provincia da Coruña, 1,80 ha en Lugo, 29,79 ha en Ourense e 13,43 ha en Pontevedra, e corresponden 0,76 ha ao Val do Salnés, 3,76 ha ao Condado do Tea, 0,02 ha ao Rosal e 0,12 ha a Soutomaior.

Valoracións sobre o seu cultivo

Variedade de brotación e maduración temperada, presenta sensibilidade alta ao mildeu e ao oídio e baixa á botrite. Produce viños con graduacións que variaron entre 12 e 15,9% e con valores de acidez entre 5,9 e 5,5 g/L.

Descrición morfolóxica

Pámpano novo

O pámpano novo presenta a extremidade aberta con peluxe tombada de densidade media e pigmentación reberetada de intensidade débil. A cara dorsal dos entrenós e nós é verde e vermella mentres que a ventral é verde. As xemas presentan pigmentación antociánica na base da bráctea e de intensidade débil.

Folla nova

A folla nova é verde ou bronceada con peluxe tombada de densidade alta.

Folla adulta

A folla adulta de cor verde media presenta tamaño medio a grande e forma pentagonal, con sete lóbulos; peluda, con densidade media de pelos tomados entre os nervios principais e baixa sobre os nervios principais do envés do limbo; perfil alabeado; limbo con avultamento débil e inchazón media; dentes con lados rectilíneos, de lonxitude longa en relación á súa anchura; seo peciolar con lóbulos medio superpostos e coa base en forma de chave; seos laterais con lóbulos lixeiramente superpostos coa base en forma de U; pecíolo lixeiramente máis curto que o nervio principal.

Acio

O acio é cónico, de lonxitude e anchura media a grande, de compacidade solta e con presenza de 1 ou 2 ás. O pedúnculo é de lonxitude curta.

Bago

O bago de cor azul negra presenta forma esférica.

Caracterización ampelográfica

Código OIV	Carácter OIV	Notación	Nivel de expresión
Pámpano novo			
001	Forma da extremidade	aberta	5
002	Distribución da pigmentación antociánica da extremidade	reberetada	2
003	Intensidade da pigmentación antociánica da extremidade	débil	3
004	Densidade dos pelos tombados da extremidade	media	5
005	Densidade dos pelos ergueitos da extremidade	nula ou moi baixa	1
006	Porte	semi-ergueito	3
007	Cor da cara dorsal dos entrenós	verde e vermella	2
008	Cor da cara ventral dos entrenós	verde	1
009	Cor da cara dorsal dos nós	verde e vermella	2
010	Cor da cara ventral dos nós	verde	1
011	Densidade dos pelos ergueitos dos nós	nula ou moi baixa	1
012	Densidade dos pelos ergueitos dos entrenós	nula ou moi baixa	1
015.1	Pigmentación antociánica das xemas	na base	2
015.2	Intensidade da pigmentación antociánica das xemas	débil	3
0.16	Número de gabiáns consecutivos	dous	1
Folla nova			
051	Cor da face	bronceada	3
053	Densidade dos pelos tombados entre os nervios	alta	7
056	Densidade dos pelos ergueitos dos nervios principais	nula ou moi baixa	1
Folla adulta			
065	Tamaño	medio	5
067	Forma do limbo	pentagonal	3
068	Número de lóbulos	sete	4
069	Cor da face	verde media	5
070	Pigmentación antociánica dos nervios principais da face do limbo	nula	1
071	Pigmentación antociánica dos nervios principais do envés do limbo	nula	1
072	Avultamento do limbo	débil	3
073	Ondulación do limbo entre os nervios principais ou secundarios	presente	9
074	Perfil	alabeado	5
075	Inchazón da face	media	5
076	Forma dos dentes	rectilíneos	2
078	Lonxitude dos dentes en relación á súa anchura na base	longos	7
079	Solapamento do seo peciolar	medio superpostos	5
080	Forma da base do seo peciolar	en chave	2
081.1	Dentes no seo peciolar	ausentes	1
081.2	Base do seo peciolar limitada pola nervadura	non delimitada	1
082	Solapamento dos seos laterais superiores	lixeramente superpostos	3
083.1	Forma da base dos seos laterais superiores	en U	1

Código OIV	Carácter OIV	Notación	Nivel de expresión
083.2	Dentes nos seus laterais superiores	ausente	1
084	Densidade dos pelos tombados entre os nervios do envés	media	5
085	Densidade dos pelos ergueitos entre os nervios do envés	nula ou moi baixa	1
086	Densidade dos pelos tombados sobre os nervios do envés	baixa	3
087	Densidade dos pelos ergueitos sobre os nervios do envés	nula ou moi baixa	1
088	Peluxe dos nervios principais da face	ausentes	1
089	Peluxe ergueita dos nervios principais da face	ausentes	1
090	Densidade dos pelos tombados do pecíolo	nula ou moi baixa	1
091	Densidade dos pelos ergueitos do pecíolo	nula ou moi baixa	1
093	Lonxitude do pecíolo en relación ao nervio central	lixiramente máis curta	3
Inflorescencia			
151	Sexo da flor	hermafrodita	3
Acio			
202	Lonxitude	media	5
204	Compacidade	solta	3
206	Lonxitude do pedúnculo	curta	3
208	Forma	cónica	2
209	Número de ás do acio primario	1 ou 2	2
Bago			
220	Lonxitude	longa	7
221	Anchura	ancha	7
222	Uniformidade do tamaño	uniforme	2
223	Forma	esférica	2
225	Cor da epiderme	azul negra	6

Caracterización ampelométrica

Carácter ampelométrico	Valor máximo e mínimo (cm)	Valor medio (cm)
Lonxitude do nervio central (N1)	12,94-10,59	11,65
Lonxitude do nervio principal lateral superior (N2)	11,48-8,90	10,22
Lonxitude do nervio principal lateral inferior (N3)	8,23-6,08	7,15
Lonxitude do nervio secundario inferior (N4)	4,94-3,65	4,28
Lonxitude do nervio terciario inferior (N5)	3,08-1,74	2,19
Distancia do punto peciolar á intersección de N3-N4 (N6)	1,26-0,77	1,02
Distancia do punto peciolar ao seo superior (U)	3,80-2,48	3,28
Distancia do punto peciolar ao seo inferior (O)	4,31-2,51	3,11
Número de dentes entre o extremo N2 e o seu primeiro nervio secundario (ND)	8,00-4,00	6,00

Carácter apelmométrico	Valor máximo e mínimo (cm)	Valor medio (cm)
Distancia entre o extremo de N2 e o seu primeiro nervio secundario (PL)	6,70-4,92	5,68
Lonxitude do dente de N1 medido ao punto medio da base (L1)	1,09-0,41	0,84
Lonxitude do dente de N2 medido ao punto medio da base (L2)	1,63-0,74	1,16
Lonxitude do dente de N3 medido ao punto medio da base (L3)	1,51-0,63	1,13
Lonxitude do dente de N4 medido ao punto medio da base (L4)	1,36-0,70	0,97
Anchura do dente de N1 (A1)	1,72-0,79	1,21
Anchura do dente de N2 (A2)	1,98-0,96	1,43
Anchura do dente de N3 (A3)	1,84-1,27	1,58
Anchura do dente de N4 (A4)	1,30-0,99	1,21
Abertura do seo peciolar (SP)	0,00-0,00	0,00
Ancho da folla (AN)	18,57-14,41	16,70
Alto da folla (ALT)	19,00-15,41	16,76
Proxección da distancia entre os extremos N1 e N3 sobre o eixe da folla (L)	16,18-13,61	14,74
Distancia entre os extremos N2 do lado grande e do lado pequeno (IS)	16,52-13,83	15,02
Distancia entre os extremos N3 do lado grande e do lado pequeno (II)	15,99-11,95	14,03
Distancia entre os extremos de N1 e N2 (ENS)	9,31-7,14	8,46
Distancia entre os extremos de N2 e N3 (ENM)	9,99-7,04	8,60
Distancia entre os extremos de N3 e N4 (ENI)	7,88-4,51	6,15
Distancia do punto peciolar ao extremo de N4 (NL)	5,92-4,50	5,18
Distancia entre as bases dos seos superiores (DS1)	4,25-3,09	3,63
Distancia entre a base dos seos inferiores (DS2)	7,30-5,02	5,95
Distancia entre as bases do seo superior e inferior (DS)	3,55-2,94	3,17
Abertura do seo superior (SS)	0,00-0,00	0,00
Abertura do seo inferior (SI)	0,42-0,00	0,11

Carácter apelmométrico	Valor máximo e mínimo (graos)	Valor medio (graos)
Ángulo entre N1 e N2 (A)	63,75-57,92	60,38
Ángulo entre N2 e N3 (B)	67,55-54,60	60,78
Ángulo entre N3 e N4 (C)	71,77-50,83	63,77
Ángulo entre N4 e N5 (D)	55,34-38,84	49,44
Ángulo entre N3 e o bordo do seo peciolar (E)	84,63-48,06	66,04
Ángulo entre os extremos de N1 e o seu primeiro nervio secundario (F)	106,74-95,17	99,73
Ángulo entre os extremos N1 e N2 (AP)	121,19-105,19	114,96

Caracterización molecular

Microsatélites	VVS2	VVMD5	VVMD7	ssrVrZAG47	ssrVrZAG62	ssrVrZAG79	VVS29	VVS5
Pb	140	232	237	159	195	245	169	91
	142	232	251	159	199	249	173	94

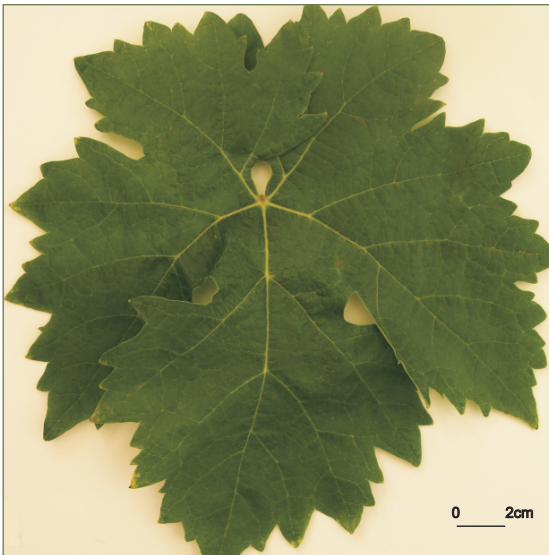
SUMIDADE



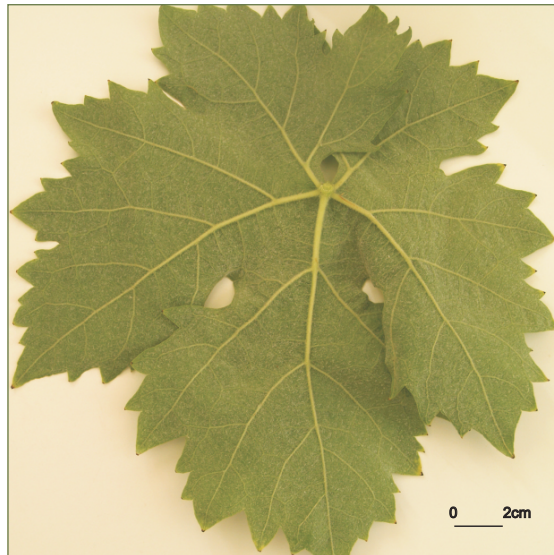
FOLLA NOVA: FACE, ENVÉS



FOLLA ADULTA: FACE



FOLLA ADULTA: ENVÉS

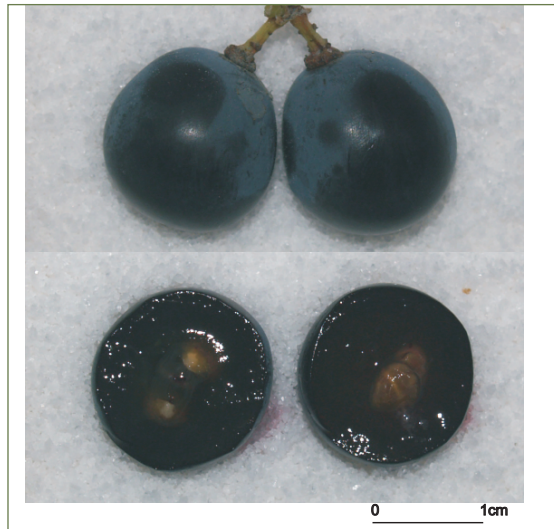


312

ACIO



BAGO



TINTA DA ZORRA

Referencias na colección da EVEGA:
F37P85P93.

Variedade tintureira presente puntualmente en parcelas plurivarietais. Os marcadores moleculares puxeron de manifesto a súa sinonimia con Petit Bouschet, corroborado mediante os datos ampelográficos.

Descrición morfolóxica

Pámpano novo

O pámpano novo presenta a extremidade aberta con peluxe tombada de densidade baixa e con pigmentación reberetada de intensidade forte. A cara dorsal dos entrenós e nós é vermella, mentres que a ventral é verde e vermella. As xemas presentan pigmentación antociánica que alcanza as $\frac{3}{4}$ partes da bráctea e de intensidade forte.

Folla nova

A folla nova é cobreada-avermellada con peluxe tombada de densidade alta.

Folla adulta

A folla adulta de cor verde escura presenta tamaño medio e forma pentagonal, con cinco lóbulos; con densidade baixa de pelos tombados entre e sobre os nervios principais do envés do limbo; perfil plano; limbo con inchazón débil; dentes con mestura de lados convexos e rectilíneos de lonxitude curta en relación á súa anchura; seo peciolar pouco aberto coa base en forma de chave ou V; seos laterais superiores abertos, coa base en forma de chave; pecíolo lixeiramente máis curto que o nervio principal.

Acio

O acio é cónico, ancho, de lonxitude e compacidade media e con presenza de 1 ou 2 ás. O pedúnculo é de lonxitude longa.

Bago

O bago de cor azul negra presenta forma esférica.

Caracterización ampelográfica

Código OIV	Carácter OIV	Notación	Nivel de expresión
Pámpano novo			
001	Forma da extremidade	aberta	5
002	Distribución da pigmentación antociánica da extremidade	reberetada	2
003	Intensidade da pigmentación antociánica da extremidade	forte	7
004	Densidade dos pelos tombados da extremidade	baixa	3
005	Densidade dos pelos ergueitos da extremidade	nula ou moi baixa	1
006	Porte	semi-ergueito	3
007	Cor da cara dorsal dos entrenós	vermella	3
008	Cor da cara ventral dos entrenós	verde e vermella	2
009	Cor da cara dorsal dos nós	vermella	3
010	Cor da cara ventral dos nós	verde e vermella	2
011	Densidade dos pelos ergueitos dos nós	nula ou moi baixa	1
012	Densidade dos pelos ergueitos dos entrenós	nula ou moi baixa	1
015.1	Pigmentación antociánica das xemas	ata $\frac{3}{4}$ da bráctea	3
015.2	Intensidade da pigmentación antociánica das xemas	forte	7
0.16	Número de gabiáns consecutivos	dous	1
Folla nova			
051	Cor da face	cobreada-avermellada	4
053	Densidade dos pelos tombados entre os nervios	alta	7
056	Densidade dos pelos ergueitos dos nervios principais	nula ou moi baixa	1
Folla adulta			
065	Tamaño	medio	5
067	Forma do limbo	pentagonal	3
068	Número de lóbulos	cinco	3
069	Cor da face	verde escura	7
070	Pigmentación antociánica dos nervios principais da face do limbo	supera a segunda bifurcación	5
071	Pigmentación antociánica dos nervios principais do envés do limbo	supera a segunda bifurcación	5
072	Avultamento do limbo	ausente	1
073	Ondulación do limbo entre os nervios principais ou secundarios	ausente	1
074	Perfil	plano	1
075	Inchazón da face	débil	3
076	Forma dos dentes	mestura de lados rectilíneos e convexos	5
078	Lonxitude dos dentes en relación á súa anchura na base	pequenos	3
079	Solapamento do seo peciolar	pouco aberto	3
080	Forma da base do seo peciolar	en chave	2
081.1	Dentes no seo peciolar	ausentes	1
081.2	Base do seo peciolar limitada pola nervadura	non delimitada	1

Código OIV	Carácter OIV	Notación	Nivel de expresión
082	Solapamento dos seos laterais superiores	aberto	1
083.1	Forma da base dos seos laterais superiores	en chave	2
083.2	Dentes nos seos laterais superiores	ausente	1
084	Densidade dos pelos tombados entre os nervios do envés	baixa	3
085	Densidade dos pelos ergueitos entre os nervios do envés	nula	1
086	Densidade dos pelos tombados sobre os nervios do envés	baixa	3
087	Densidade dos pelos ergueitos sobre os nervios do envés	nula	1
088	Peluxe dos nervios principais da face	ausentes	1
089	Peluxe ergueita dos nervios principais da face	ausentes	1
090	Densidade dos pelos tombados do pecíolo	nula	1
091	Densidade dos pelos ergueitos do pecíolo	nula	1
093	Lonxitude do pecíolo en relación ao nervio central	lixeramente máis curto	3
Inflorescencia			
151	Sexo da flor	hermafrodita	3
Acio			
202	Lonxitude	media	5
204	Compacidade	media	5
206	Lonxitude do pedúnculo	longa	7
208	Forma	cónica	2
209	Número de ás do acio primario	1 ou 2	2
Bago			
220	Lonxitude	longa	7
221	Anchura	ancha	7
222	Uniformidade do tamaño	uniforme	2
223	Forma	esférica	2
225	Cor da epiderme	azul negra	6

315

Caracterización ampelométrica

Carácter ampelométrico	Valor máximo e mínimo (cm)	Valor medio (cm)
Lonxitude do nervio central (N1)	12,01-10,92	11,33
Lonxitude do nervio principal lateral superior (N2)	11,11-8,79	9,56
Lonxitude do nervio principal lateral inferior (N3)	8,06-6,26	6,94
Lonxitude do nervio secundario inferior (N4)	4,44-3,30	3,93
Lonxitude do nervio terciario inferior (N5)	2,10-1,22	1,67
Distancia do punto peciolar á intersección de N3-N4 (N6)	1,29-1,10	1,17
Distancia do punto peciolar ao seo superior (U)	6,57-4,61	5,78
Distancia do punto peciolar ao seo inferior (O)	6,33-3,71	4,97
Número de dentes entre o extremo N2 e o seu primeiro nervio secundario (ND)	7,00-5,00	6,00

Carácter ampelométrico	Valor máximo e mínimo (cm)	Valor medio (cm)
Distancia entre o extremo de N2 e o seu primeiro nervio secundario (PL)	5,91-4,51	5,00
Lonxitude do dente de N1 medido ao punto medio da base (L1)	1,16-0,74	0,89
Lonxitude do dente de N2 medido ao punto medio da base (L2)	0,92-0,55	0,81
Lonxitude do dente de N3 medido ao punto medio da base (L3)	1,02-0,69	0,82
Lonxitude do dente de N4 medido ao punto medio da base (L4)	0,68-0,51	0,62
Anchura do dente de N1 (A1)	1,62-0,97	1,24
Anchura do dente de N2 (A2)	1,56-0,94	1,32
Anchura do dente de N3 (A3)	2,23-0,98	1,44
Anchura do dente de N4 (A4)	1,30-0,98	1,13
Abertura do seo peciolar (SP)	2,67-0,65	1,81
Ancho da folla (AN)	16,35-14,28	15,07
Alto da folla (ALT)	15,97-15,07	15,35
Proxección da distancia entre os extremos N1 e N3 sobre o eixe da folla (L)	14,65-13,22	13,96
Distancia entre os extremos N2 do lado grande e do lado pequeno (IS)	14,52-13,05	13,81
Distancia entre os extremos N3 do lado grande e do lado pequeno (II)	14,51-13,23	13,77
Distancia entre os extremos de N1 e N2 (ENS)	8,78-7,44	8,26
Distancia entre os extremos de N2 e N3 (ENM)	8,53-6,39	7,42
Distancia entre os extremos de N3 e N4 (ENI)	5,52-4,20	4,94
Distancia do punto peciolar ao extremo de N4 (NL)	5,26-4,13	4,76
Distancia entre as bases dos seos superiores (DS1)	7,49-5,12	6,66
Distancia entre a base dos seos inferiores (DS2)	11,51-8,51	9,59
Distancia entre as bases do seo superior e inferior (DS)	6,19-3,94	4,99
Abertura do seo superior (SS)	1,02-0,00	0,20
Abertura do seo inferior (SI)	1,27-0,00	0,48

Carácter ampelométrico	Valor máximo e mínimo (graos)	Valor medio (graos)
Ángulo entre N1 e N2 (A)	53,60-48,10	51,43
Ángulo entre N2 e N3 (B)	48,62-37,42	44,69
Ángulo entre N3 e N4 (C)	57,79-44,76	51,62
Ángulo entre N4 e N5 (D)	55,62-45,44	50,28
Ángulo entre N3 e o bordo do seo peciolar (E)	73,03-49,61	62,92
Ángulo entre os extremos de N1 e o seu primeiro nervio secundario (F)	106,38-90,51	98,46
Ángulo entre os extremos N1 e N2 (AP)	122,02-105,84	113,28

Caracterización molecular

Microsatélites	VVS2	VVMD5	VVMD7	ssrVrZAG47	ssrVrZAG62	ssrVrZAG79	VVS29	VVS5
Pb	130	n.d.	237	157	187	241	169	85
	150	n.d.	241	165	195	243	177	150

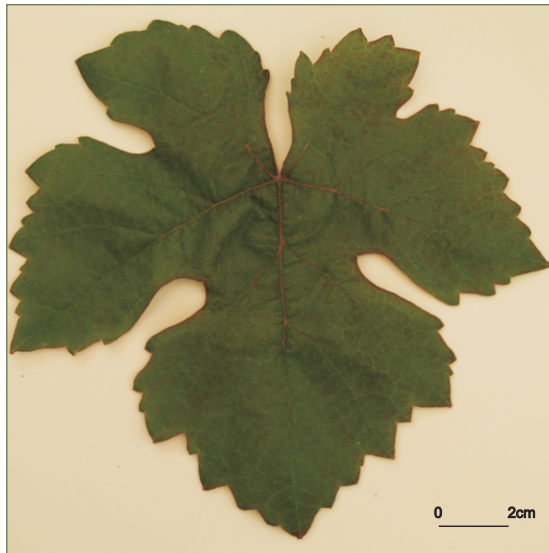
SUMIDADE



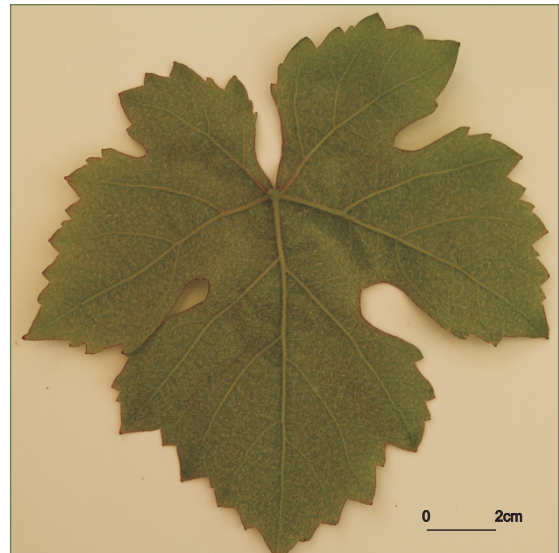
FOLLA NOVA: FACE, ENVÉS



FOLLA ADULTA: FACE



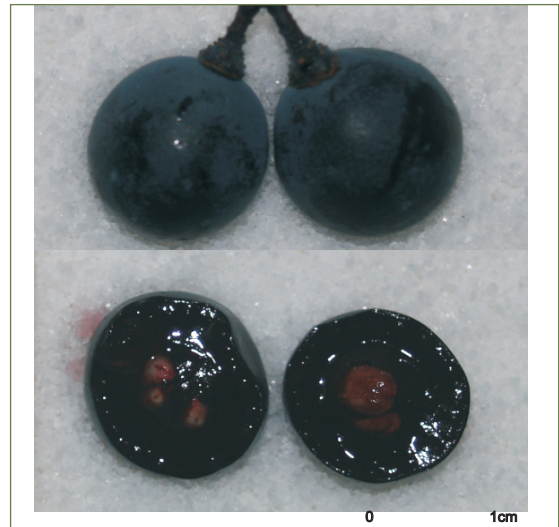
FOLLA ADULTA: ENVÉS



ACIO



BAGO



Referencias na colección da EVEGA:
F64P48P54.

Sinonimias

Caíño da Terra (O Ribeiro, onde tamén se coñece como Tinta Femia) e Zamarrica (Monterrei).

Antecedentes

García de los Salmones (1914) cítaa como cultivada na localidade de Entrimo (Ourense).

Situación actual

Estudos recentes mostran que este cultivar é diferente do denominado Tinta Femia na DO Rías Baixas. Localizáronse exemplares centenarios na DO Ribeiro e en Monterrei.

Valoracións sobre o seu cultivo

Variedade de brotación e maduración media, presenta sensibilidade moderada ao oídio e ao mildew e baixa sensibilidade á botrite. Produce viños de graduación e acidez media alta (12,3-12,7% e 7,9-7,38 g/L, respectivamente).

Descrición morfolóxica

Pámpano novo

O pámpano novo presenta a extremidade aberta con peluxe tombada de densidade media e pigmentación reberetada de intensidade forte. A cara dorsal dos entrenós e nós é vermella, mentres que a cara ventral do entrenó é verde e a do nó, verde e vermella. As xemas presentan pigmentación antociánica de intensidade media que afecta ata $\frac{3}{4}$ da bráctea.

Folla nova

A folla nova é cobreada-avermellada con peluxe tombada de densidade media.

Folla adulta

A folla adulta de cor verde media presenta tamaño medio e forma pentagonal, con cinco lóbulos; peluda, con densidade baixa de pelos tombados entre e sobre os nervios principais do envés do limbo; perfil plano; limbo con avultamento e inchazón débil; presenza de pigmentación antociánica que afecta o punto peciolar; dentes de lados convexos e de lonxitude curta en relación á súa anchura; seo peciolar con lóbulos pouco abertos e coa base en forma de chave; seos laterais superiores abertos coa base en forma de chave ou en V; pecíolo lixeiramente máis curto que o nervio principal.

Acio

O acio é cilíndrico, curto, de anchura e compacidade media. O pedúnculo é de lonxitude curta.

Bago

O bago de cor vermella violeta escura presenta forma elíptica curta.

Caracterización ampelográfica

Código OIV	Carácter OIV	Notación	Nivel de expresión
Pámpano novo			
001	Forma da extremidade	aberta	5
002	Distribución da pigmentación antociánica da extremidade	reberetada	2
003	Intensidade da pigmentación antociánica da extremidade	forte	7
004	Densidade dos pelos tombados da extremidade	media	5
005	Densidade dos pelos ergueitos da extremidade	nula ou moi baixa	1
006	Porte	semi-ergueito	3
007	Cor da cara dorsal dos entrenós	vermella	3
008	Cor da cara ventral dos entrenós	verde	1
009	Cor da cara dorsal dos nós	vermella	3
010	Cor da cara ventral dos nós	verde e vermella	2
011	Densidade dos pelos ergueitos dos nós	nula ou moi baixa	1
012	Densidade dos pelos ergueitos dos entrenós	nula ou moi baixa	1
015.1	Pigmentación antociánica das xemas	ata $\frac{3}{4}$ da bráctea	3
015.2	Intensidade da pigmentación antociánica das xemas	media	5
0.16	Número de gabiáns consecutivos	dous	1
Folla nova			
051	Cor da face	cobreada-avermellada	4
053	Densidade dos pelos tombados entre os nervios	media	5
056	Densidade dos pelos ergueitos dos nervios principais	nula ou moi baixa	1
Folla adulta			
065	Tamaño	medio	5
067	Forma do limbo	pentagonal	3
068	Número de lóbulos	cinco	3
069	Cor da face	verde media	5
070	Pigmentación antociánica dos nervios principais da face do limbo	punto peciolar	2
071	Pigmentación antociánica dos nervios principais do envés do limbo	punto peciolar	2
072	Avultamento do limbo	débil	3
073	Ondulación do limbo entre os nervios principais ou secundarios	presente	9
074	Perfil	plano	1
075	Inchazón da face	débil	3
076	Forma dos dentes	convexos	3
078	Lonxitude dos dentes en relación á súa anchura na base	pequenos	3
079	Solapamento do seo peciolar	pouco aberto	3
080	Forma da base do seo peciolar	en chave	2
081.1	Dentes no seo peciolar	ausentes	1
081.2	Base do seo peciolar limitada pola nervadura	non delimitada	1
082	Solapamento dos seos laterais superiores	aberto	1
083.1	Forma da base dos seos laterais superiores	en chave	2

Código OIV	Carácter OIV	Notación	Nivel de expresión
083.2	Dentes nos seos laterais superiores	ausente	1
084	Densidade dos pelos tombados entre os nervios do envés	baixa	3
085	Densidade dos pelos ergueitos entre os nervios do envés	nula ou moi baixa	1
086	Densidade dos pelos tombados sobre os nervios do envés	baixa	3
087	Densidade dos pelos ergueitos sobre os nervios do envés	nula ou moi baixa	1
088	Peluxe dos nervios principais da face	ausentes	1
089	Peluxe ergueita dos nervios principais da face	ausentes	1
090	Densidade dos pelos tombados do pecíolo	nula ou moi baixa	1
091	Densidade dos pelos ergueitos do pecíolo	nula ou moi baixa	1
093	Lonxitude do pecíolo en relación ao nervio central	lixeramente máis curto	3
Inflorescencia			
151	Sexo da flor	hermafrodita	3
Acio			
202	Lonxitude	curta	3
204	Compacidade	media	5
206	Lonxitude do pedúnculo	curta	3
208	Forma	cilíndrica	1
209	Número de ás do acio primario	ausentes	1
Bago			
220	Lonxitude	mediana	5
221	Anchura	mediana	5
222	Uniformidade do tamaño	non uniforme	1
223	Forma	elíptica curta	3
225	Cor da epiderme	vermella violeta escura	5

Caracterización ampelométrica

Carácter ampelométrico	Valor máximo e mínimo (cm)	Valor medio (cm)
Lonxitude do nervio central (N1)	13,07-9,58	10,74
Lonxitude do nervio principal lateral superior (N2)	11,60-8,49	9,54
Lonxitude do nervio principal lateral inferior (N3)	8,46-6,21	6,99
Lonxitude do nervio secundario inferior (N4)	5,42-3,72	4,51
Lonxitude do nervio terciario inferior (N5)	2,81-1,44	2,20
Distancia do punto peciolar á intersección de N3-N4 (N6)	1,12-0,62	0,96
Distancia do punto peciolar ao seo superior (U)	9,94-6,66	7,90
Distancia do punto peciolar ao seo inferior (O)	8,01-4,64	6,10
Número de dentes entre o extremo N2 e o seu primeiro nervio secundario (ND)	5,00-3,00	3,9

Carácter apelmométrico	Valor máximo e mínimo (cm)	Valor medio (cm)
Distancia entre o extremo de N2 e o seu primeiro nervio secundario (PL)	6,42-4,62	5,27
Lonxitude do dente de N1 medido ao punto medio da base (L1)	1,14-0,37	0,84
Lonxitude do dente de N2 medido ao punto medio da base (L2)	0,96-0,53	0,68
Lonxitude do dente de N3 medido ao punto medio da base (L3)	1,07-0,33	0,61
Lonxitude do dente de N4 medido ao punto medio da base (L4)	0,82-0,46	0,65
Anchura do dente de N1 (A1)	2,26-1,26	1,72
Anchura do dente de N2 (A2)	1,87-0,97	1,45
Anchura do dente de N3 (A3)	1,55-0,83	1,26
Anchura do dente de N4 (A4)	1,57-1,03	1,27
Abertura do seo peciolar (SP)	2,60-0,66	1,63
Ancho da folla (AN)	18,12-13,70	15,29
Alto da folla (ALT)	18,70-13,53	15,46
Proxección da distancia entre os extremos N1 e N3 sobre o eixe da folla (L)	16,82-12,59	13,78
Distancia entre os extremos N2 do lado grande e do lado pequeno (IS)	15,53-11,53	13,25
Distancia entre os extremos N3 do lado grande e do lado pequeno (II)	16,00-11,90	13,41
Distancia entre os extremos de N1 e N2 (ENS)	9,17-7,65	8,31
Distancia entre os extremos de N2 e N3 (ENM)	9,83-6,35	7,69
Distancia entre os extremos de N3 e N4 (ENI)	6,79-3,46	5,22
Distancia do punto peciolar ao extremo de N4 (NL)	50,43-4,81	9,86
Distancia entre as bases dos seus superiores (DS1)	10,53-7,92	8,95
Distancia entre a base dos seus inferiores (DS2)	15,00-9,48	11,75
Distancia entre as bases do seo superior e inferior (DS)	8,93-6,07	7,01
Abertura do seo superior (SS)	1,51-0,28	0,69
Abertura do seo inferior (SI)	1,66-0,42	1,05

Carácter apelmométrico	Valor máximo e mínimo (graos)	Valor medio (graos)
Ángulo entre N1 e N2 (A)	70,40-52,63	60,71
Ángulo entre N2 e N3 (B)	64,19-48,99	55,28
Ángulo entre N3 e N4 (C)	58,96-37,38	50,96
Ángulo entre N4 e N5 (D)	47,77-27,47	38,26
Ángulo entre N3 e o bordo do seo peciolar (E)	60,56-37,74	50,18
Ángulo entre os extremos de N1 e o seu primeiro nervio secundario (F)	121,11-98,91	107,87
Ángulo entre os extremos N1 e N2 (AP)	130,35-109,49	114,26

Caracterización molecular

Microsatélites	VVS2	VVMD5	VVMD7	ssrVrZAG47	ssrVrZAG62	ssrVrZAG79	VVS29	VVS5
Pb	136	228	241	157	187	245	169	100
	150	228	261	165	193	249	169	106

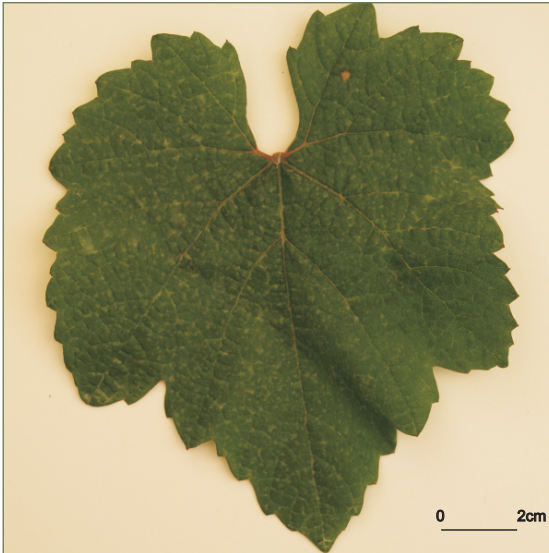
SUMIDADE



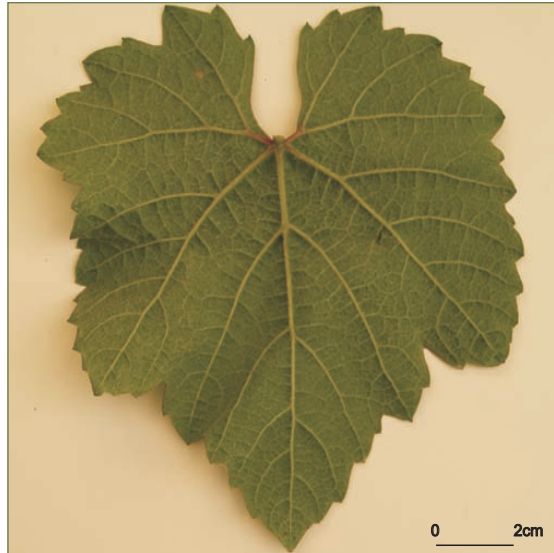
FOLLA NOVA: FACE, ENVÉS



FOLLA ADULTA: FACE



FOLLA ADULTA: ENVÉS

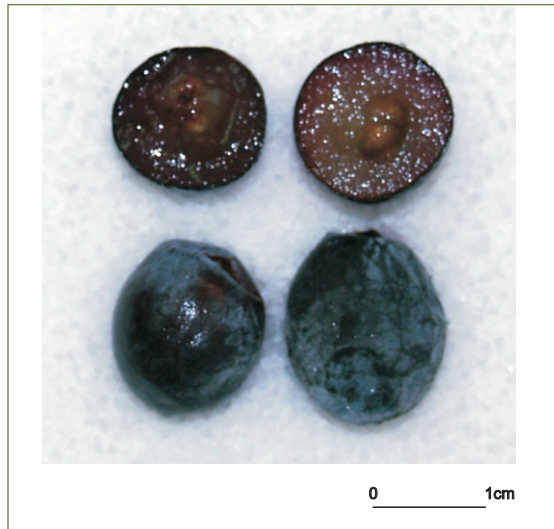


322

ACIO



BAGO



TORRONTÉS 1

Referencias na colección da EVEGA: F32P12P42, F39P41P49, F40P37P49, F41P39P49, F42P37P473, F43P38P51, F44P47P48.

Sinonimias

Non se coñecen.

Antecedentes

García de los Salmones (1914) cítala como cultivada na localidade de Castrelo de Miño (Ribadavia-Ourense). No Catastro Vitícola de 1983 cítase como cultivada na DO Ribeiro, onde ocupaba 0,02% do total do viñado, e na provincia da Coruña, o 0,03%.

Situación actual

É recoñecida como variedade preferente nas DD.OO. Ribeira Sacra e Valdeorras, e como autorizada nas DD.OO. Ribeiro e Rías Baixas. Tamén é contemplada para a elaboración de viños nas indicacións xeográficas Viño da Terra Barbanza e Iria e Val do Miño. A súa superficie de cultivo é de 1,57 ha na Coruña, 0,049 ha en Lugo, 93,62 ha en Ourense e 30,41 ha en Pontevedra; correspondendo 0,09 ha á Ribeira do Ulla, 0,07 ha ao Val do Salnés, 22,43 ha ao Condado do Tea, 0,17 ha ao Rosal e 0,01 ha a Soutomaior.

Valoracións sobre o seu cultivo

Variante de brotación e maduración media, presenta sensibilidade moderada ao mildeu e ao oídio e é moi sensible á botrite. Obtivéronse viños con graduacións entre 12,3-9,7% e acidez de 6,8 a 4,1 g/L.

Descrición morfolóxica

Pámpano novo

O pámpano novo presenta a extremidade aberta con peluxe tombada de densidade baixa, sen pigmentación antociánica ou con presenza de pigmentación reberetada de intensidade moi débil. A cara dorsal e ventral dos entrenós e nós é verde. As xemas non presentan pigmentación antociánica.

Folla nova

A folla nova é verde con peluxe tombada de densidade alta.

Folla adulta

A folla adulta de cor verde media presenta tamaño medio e forma pentagonal, con sete lóbulos; peluda, con densidade media de pelos tombados entre os nervios principais e baixa sobre os nervios principais do envés do limbo; perfil plano; limbo con avultamento e inchazón débil; dentes con lados rectilíneos, de lonxitude media en relación á súa anchura; seo peciolar e seos laterais superiores con lóbulos lixeiramente superpostos e coa base en forma de chave; peciolo lixeiramente máis curto que o nervio principal.

Acio

O acio é cónico, longo, de anchura media, compacidade solta e con presenza de 1 ou 2 ás. O pedúnculo é de lonxitude curta.

Bago

O bago de cor verde amarela presenta forma elíptica curta.

Caracterización ampelográfica

Código OIV	Carácter OIV	Notación	Nivel de expresión
Pámpano novo			
001	Forma da extremidade	aberta	5
002	Distribución da pigmentación antociánica da extremidade	reberetada	2
003	Intensidade da pigmentación antociánica da extremidade	nula ou moi débil	1
004	Densidade dos pelos tombados da extremidade	baixa	3
005	Densidade dos pelos ergueitos da extremidade	nula ou moi baixa	1
006	Porte	semi-ergueito	3
007	Cor da cara dorsal dos entrenós	verde	1
008	Cor da cara ventral dos entrenós	verde	1
009	Cor da cara dorsal dos nós	verde	1
010	Cor da cara ventral dos nós	verde	1
011	Densidade dos pelos ergueitos dos nós	nula ou moi baixa	1
012	Densidade dos pelos ergueitos dos entrenós	nula ou moi baixa	1
015.1	Pigmentación antociánica das xemas	ausente	1
015.2	Intensidade da pigmentación antociánica das xemas	nula	1
0.16	Número de gabiáns consecutivos	dous	1
Folla nova			
051	Cor da face	verde	1
053	Densidade dos pelos tombados entre os nervios	alta	7
056	Densidade dos pelos ergueitos dos nervios principais	nula ou moi baixa	1
Folla adulta			
065	Tamaño	medio	5
067	Forma do limbo	pentagonal	3
068	Número de lóbulos	sete	4
069	Cor da face	verde media	5
070	Pigmentación antociánica dos nervios principais da face do limbo	nula	1
071	Pigmentación antociánica dos nervios principais do envés do limbo	nula	1
072	Avultamento do limbo	débil	3
073	Ondulación do limbo entre os nervios principais ou secundarios	presente	9
074	Perfil	plano	1
075	Inchazón da face	débil	3
076	Forma dos dentes	rectilíneos	2
078	Lonxitude dos dentes en relación á súa anchura na base	medios	5
079	Solapamento do seo peciolar	lixeiramente superpostos	4
080	Forma da base do seo peciolar	en chave	2
081.1	Dentes no seo peciolar	ausentes	1
081.2	Base do seo peciolar limitada pola nervadura	non delimitada	1
082	Solapamento dos seos laterais superiores	lixeiramente superpostos	3

Código OIV	Carácter OIV	Notación	Nivel de expresión
083.1	Forma da base dos seus laterais superiores	en chave	2
083.2	Dentes nos seus laterais superiores	ausente	1
084	Densidade dos pelos tombados entre os nervios do envés	media	5
085	Densidade dos pelos ergueitos entre os nervios do envés	nula ou moi baixa	1
086	Densidade dos pelos tombados sobre os nervios do envés	baixa	3
087	Densidade dos pelos ergueitos sobre os nervios do envés	nula ou moi baixa	1
088	Peluxe dos nervios principais da face	ausentes	1
089	Peluxe ergueita dos nervios principais da face	ausentes	1
090	Densidade dos pelos tombados do pecíolo	nula ou moi baixa	1
091	Densidade dos pelos ergueitos do pecíolo	nula ou moi baixa	1
093	Lonxitude do pecíolo en relación ao nervio central	lixeramente máis curto	3
Inflorescencia			
151	Sexo da flor	hermafrodita	3
Acio			
202	Lonxitude	longa	7
204	Compacidade	solta	3
206	Lonxitude do pedúnculo	curta	3
208	Forma	cónica	2
209	Número de ás do acio primario	1 ou 2	2
Bago			
220	Lonxitude	longa	7
221	Anchura	ancha	7
222	Uniformidade do tamaño	uniforme	2
223	Forma	elíptica curta	3
225	Cor da epiderme	verde amarela	1

Caracterización ampelométrica

Carácter ampelométrico	Valor máximo e mínimo (cm)	Valor medio (cm)
Lonxitude do nervio central (N1)	9,82-9,57	9,66
Lonxitude do nervio principal lateral superior (N2)	9,69-8,37	9,28
Lonxitude do nervio principal lateral inferior (N3)	7,32-6,30	6,77
Lonxitude do nervio secundario inferior (N4)	4,89-4,21	4,55
Lonxitude do nervio terciario inferior (N5)	2,30-1,80	2,18
Distancia do punto peciolar á intersección de N3-N4 (N6)	1,00-0,38	0,67
Distancia do punto peciolar ao seo superior (U)	5,02-3,33	3,88
Distancia do punto peciolar ao seo inferior (O)	5,37-3,57	4,12
Número de dentes entre o extremo N2 e o seu primeiro nervio secundario (ND)	7,00-7,00	7,00

Carácter ampelométrico	Valor máximo e mínimo (cm)	Valor medio (cm)
Distancia entre o extremo de N2 e o seu primeiro nervio secundario (PL)	5,72-0,16	4,31
Lonxitude do dente de N1 medido ao punto medio da base (L1)	0,65-0,27	0,46
Lonxitude do dente de N2 medido ao punto medio da base (L2)	1,22-0,69	0,93
Lonxitude do dente de N3 medido ao punto medio da base (L3)	0,97-0,67	0,79
Lonxitude do dente de N4 medido ao punto medio da base (L4)	0,99-0,60	0,75
Anchura do dente de N1 (A1)	0,83-0,55	0,70
Anchura do dente de N2 (A2)	1,26-0,76	1,00
Anchura do dente de N3 (A3)	1,25-0,74	1,00
Anchura do dente de N4 (A4)	1,17-0,70	0,91
Abertura do seo peciolar (SP)	2,19-0,00	1,01
Ancho da folla (AN)	14,09-13,69	13,92
Alto da folla (ALT)	14,23-13,83	13,97
Proxección da distancia entre os extremos N1 e N3 sobre o eixe da folla (L)	12,82-11,69	12,51
Distancia entre os extremos N2 do lado grande e do lado pequeno (IS)	13,55-10,29	11,74
Distancia entre os extremos N3 do lado grande e do lado pequeno (II)	13,51-12,80	13,21
Distancia entre os extremos de N1 e N2 (ENS)	8,99-5,85	7,11
Distancia entre os extremos de N2 e N3 (ENM)	8,71-6,18	7,55
Distancia entre os extremos de N3 e N4 (ENI)	6,25-4,76	5,41
Distancia do punto peciolar ao extremo de N4 (NL)	5,61-4,55	5,07
Distancia entre as bases dos seos superiores (DS1)	5,47-2,88	3,67
Distancia entre a base dos seos inferiores (DS2)	10,18-7,36	8,23
Distancia entre as bases do seo superior e inferior (DS)	4,48-2,86	3,81
Abertura do seo superior (SS)	0,37-0,00	0,07
Abertura do seo inferior (SI)	0,94-0,00	0,41

Carácter ampelométrico	Valor máximo e mínimo (graos)	Valor medio (graos)
Ángulo entre N1 e N2 (A)	59,73-48,78	54,71
Ángulo entre N2 e N3 (B)	57,62-40,29	49,81
Ángulo entre N3 e N4 (C)	51,84-38,51	46,34
Ángulo entre N4 e N5 (D)	46,24-39,89	42,41
Ángulo entre N3 e o bordo do seo peciolar (E)	82,14-55,24	63,78
Ángulo entre os extremos de N1 e o seu primeiro nervio secundario (F)	104,84-93,20	97,99
Ángulo entre os extremos N1 e N2 (AP)	139,90-117,67	128,48

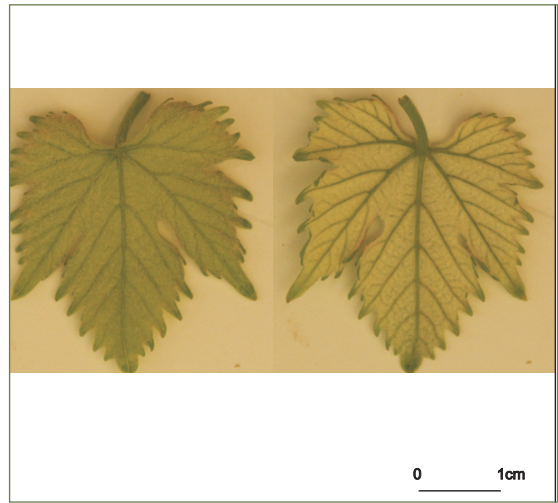
Caracterización molecular

Microsatélites	VVS2	VVMD5	VVMD7	ssrVrZAG47	ssrVrZAG62	ssrVrZAG79	VVS29	VVS5
Pb	140	222	237	155	187	245	169	94
	142	236	255	171	187	249	169	150

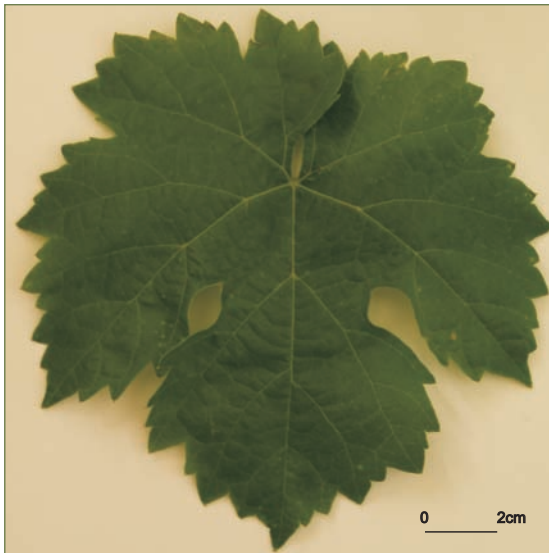
SUMIDADE



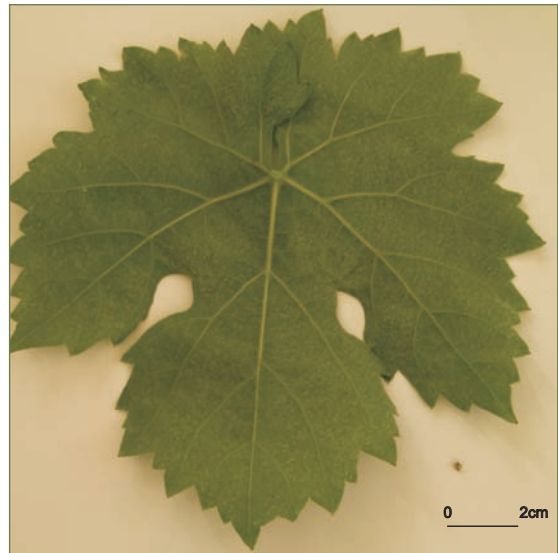
FOLLA NOVA: FACE, ENVÉS



FOLLA ADULTA: FACE



FOLLA ADULTA: ENVÉS



ACIO



BAGO



Referencias na colección da EVEGA:
F15P62P67.

A denominación dada a este xenotipo correspóndese coa mencionada por Martín *et al.*, 2003, presente na Colección de El Encín, pero da cal descoñecemos a súa localización actual.

Descrición morfolóxica

Pámpano novo

O pámpano novo presenta a extremidade aberta con peluxe tombada de densidade baixa e pigmentación reberetada de intensidade débil. A cara dorsal dos entrenós e nós é verde e vermella e a ventral, verde. As xemas non presentan pigmentación antociánica nas brácteas.

Folla nova

A folla nova é verde con peluxe tombada de densidade media.

Folla adulta

A folla adulta de cor verde media presenta tamaño medio e forma pentagonal, con cinco lóbulos; peluda, con densidade media de pelos tombados e baixa de pelos ergueitos entre os nervios principais do envés do limbo; perfil en V; limbo con inchazón débil; dentes con mestura de lados convexos e rectilíneos, de lonxitude curta en relación á súa anchura; seo peciolar con lóbulos pouco abertos e coa base en forma de U; seos laterais superiores abertos coa base en forma de V; pecíolo lixeiramente máis curto que o nervio principal.

Acio

O acio é cónico, de lonxitude, anchura e compacidade media e con presenza de 1 ou 2 ás. O pedúnculo é de lonxitude curta.

Bago

O bago de cor verde amarela presenta forma esférica.

Caracterización ampelográfica

Código OIV	Carácter OIV	Notación	Nivel de expresión
Pámpano novo			
001	Forma da extremidade	aberta	5
002	Distribución da pigmentación antociánica da extremidade	reberetada	2
003	Intensidade da pigmentación antociánica da extremidade	débil	3
004	Densidade dos pelos tombados da extremidade	baixa	3
005	Densidade dos pelos ergueitos da extremidade	nula ou moi baixa	1
006	Porte	semi-ergueito	3
007	Cor da cara dorsal dos entrenós	verde e vermella	2
008	Cor da cara ventral dos entrenós	verde	1
009	Cor da cara dorsal dos nós	verde e vermella	2
010	Cor da cara ventral dos nós	verde	1
011	Densidade dos pelos ergueitos dos nós	nula ou moi baixa	1
012	Densidade dos pelos ergueitos dos entrenós	nula ou moi baixa	1
015.1	Pigmentación antociánica das xemas	nula	1
015.2	Intensidade da pigmentación antociánica das xemas	nula ou moi débil	1
0.16	Número de gabiáns consecutivos	dous	1
Folla nova			
051	Cor da face	verde	1
053	Densidade dos pelos tombados entre os nervios	media	5
056	Densidade dos pelos ergueitos dos nervios principais	nula ou moi baixa	1
Folla adulta			
065	Tamaño	medio	5
067	Forma do limbo	pentagonal	3
068	Número de lóbulos	cinco	3
069	Cor da face	verde media	5
070	Pigmentación antociánica dos nervios principais da face do limbo	nula	1
071	Pigmentación antociánica dos nervios principais do envés do limbo	nula	1
072	Avultamento do limbo	nulo	1
073	Ondulación do limbo entre os nervios principais ou secundarios	presente	9
074	Perfil	en V	2
075	Inchazón da face	débil	3
076	Forma dos dentes	mestura de lados rectilíneos e convexos	5
078	Lonxitude dos dentes en relación á súa anchura na base	pequenos	3
079	Solapamento do seo peciolar	pouco abertos	3
080	Forma da base do seo peciolar	en U	1
081.1	Dentes no seo peciolar	ausentes	1
081.2	Base do seo peciolar limitada pola nervadura	non delimitada	1
082	Solapamento dos seos laterais superiores	aberto	1

Código OIV	Carácter OIV	Notación	Nivel de expresión
083.1	Forma da base dos seos laterais superiores	en V	3
083.2	Dentes nos seos laterais superiores	ausente	1
084	Densidade dos pelos tombados entre os nervios do envés	media	5
085	Densidade dos pelos ergueitos entre os nervios do envés	baixa	3
086	Densidade dos pelos tombados sobre os nervios do envés	baixa	3
087	Densidade dos pelos ergueitos sobre os nervios do envés	nula ou moi baixa	1
088	Peluxe dos nervios principais da face	ausentes	1
089	Peluxe ergueita dos nervios principais da face	ausentes	1
090	Densidade dos pelos tombados do pecíolo	nula ou moi baixa	1
091	Densidade dos pelos ergueitos do pecíolo	nula ou moi baixa	1
093	Lonxitude do pecíolo en relación ao nervio central	lixeramente máis curto	3
Inflorescencia			
151	Sexo da flor	hermafrodita	3
Acio			
202	Lonxitude	media	5
204	Compacidade	media	5
206	Lonxitude do pedúnculo	curta	3
208	Forma	cónica	2
209	Número de ás do acio primario	1 ou 2	2
Bago			
220	Lonxitude	longa	7
221	Anchura	ancha	7
222	Uniformidade do tamaño	uniforme	2
223	Forma	esférica	2
225	Cor da epiderme	verde amarela	1

Caracterización ampelométrica

Carácter ampelométrico	Valor máximo e mínimo (cm)	Valor medio (cm)
Lonxitude do nervio central (N1)	12,09-8,00	10,87
Lonxitude do nervio principal lateral superior (N2)	10,92-7,22	9,78
Lonxitude do nervio principal lateral inferior (N3)	7,86-4,88	6,88
Lonxitude do nervio secundario inferior (N4)	5,76-3,06	4,47
Lonxitude do nervio terciario inferior (N5)	2,74-0,97	1,97
Distancia do punto peciolar á intersección de N3-N4 (N6)	1,02-0,41	0,76
Distancia do punto peciolar ao seo superior (U)	8,63-5,53	6,91
Distancia do punto peciolar ao seo inferior (O)	6,92-4,70	5,85
Número de dentes entre o extremo N2 e o seu primeiro nervio secundario (ND)	7,00-5,00	5,90

Carácter apelmométrico	Valor máximo e mínimo (cm)	Valor medio (cm)
Distancia entre o extremo de N2 e o seu primeiro nervio secundario (PL)	6,91-3,53	5,20
Lonxitude do dente de N1 medido ao punto medio da base (L1)	1,51-0,36	0,84
Lonxitude do dente de N2 medido ao punto medio da base (L2)	1,14-0,36	0,90
Lonxitude do dente de N3 medido ao punto medio da base (L3)	1,03-0,27	0,66
Lonxitude do dente de N4 medido ao punto medio da base (L4)	0,87-0,12	0,60
Anchura do dente de N1 (A1)	1,41-0,76	1,11
Anchura do dente de N2 (A2)	1,49-0,81	1,18
Anchura do dente de N3 (A3)	1,55-0,53	1,02
Anchura do dente de N4 (A4)	1,19-0,43	0,90
Abertura do seo peciolar (SP)	2,30-0,13	1,17
Ancho da folla (AN)	17,55-10,69	14,93
Alto da folla (ALT)	17,23-10,40	15,05
Proxección da distancia entre os extremos N1 e N3 sobre o eixe da folla (L)	16,56-9,55	13,92
Distancia entre os extremos N2 do lado grande e do lado pequeno (IS)	17,50-9,64	14,13
Distancia entre os extremos N3 do lado grande e do lado pequeno (II)	14,69-9,94	13,14
Distancia entre os extremos de N1 e N2 (ENS)	11,11-6,10	9,10
Distancia entre os extremos de N2 e N3 (ENM)	8,93-5,16	7,41
Distancia entre os extremos de N3 e N4 (ENI)	6,48-2,84	5,22
Distancia do punto peciolar ao extremo de N4 (NL)	6,09-3,32	4,86
Distancia entre as bases dos seus superiores (DS1)	9,32-5,36	7,56
Distancia entre a base dos seus inferiores (DS2)	13,03-9,12	11,17
Distancia entre as bases do seo superior e inferior (DS)	7,52-4,84	6,24
Abertura do seo superior (SS)	1,40-0,16	0,73
Abertura do seo inferior (SI)	1,60-0,31	0,68

Carácter apelmométrico	Valor máximo e mínimo (graos)	Valor medio (graos)
Ángulo entre N1 e N2 (A)	69,30-42,68	53,77
Ángulo entre N2 e N3 (B)	53,83-15,93	42,52
Ángulo entre N3 e N4 (C)	59,51-38,34	47,48
Ángulo entre N4 e N5 (D)	54,50-38,67	44,04
Ángulo entre N3 e o bordo do seo peciolar (E)	127,50-49,93	74,27
Ángulo entre os extremos de N1 e o seu primeiro nervio secundario (F)	113,79-79,08	95,39
Ángulo entre os extremos N1 e N2 (AP)	129,52-104,55	113,62

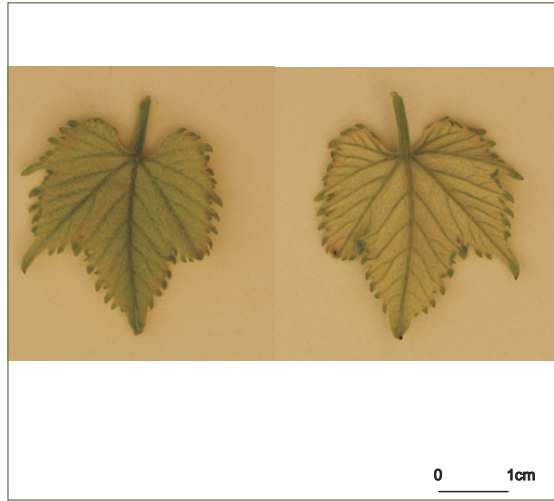
Caracterización molecular

Microsatélites	VVS2	VVMD5	VVMD7	ssrVrZAG47	ssrVrZAG62	ssrVrZAG79	VVS29	VVS5
Pb	142	222	237	159	187	245	169	94
	150	236	237	171	193	245	179	121

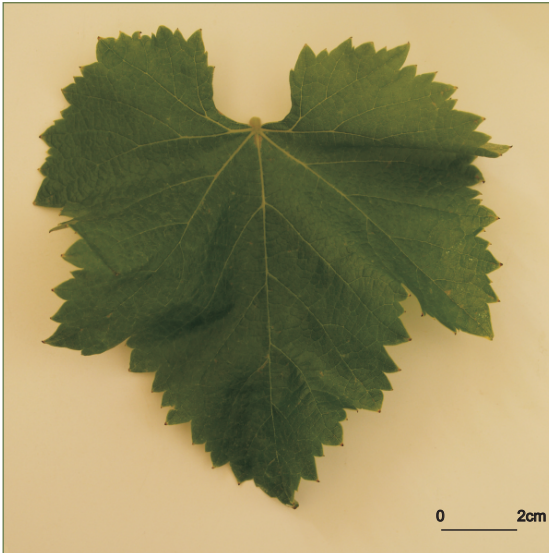
SUMIDADE



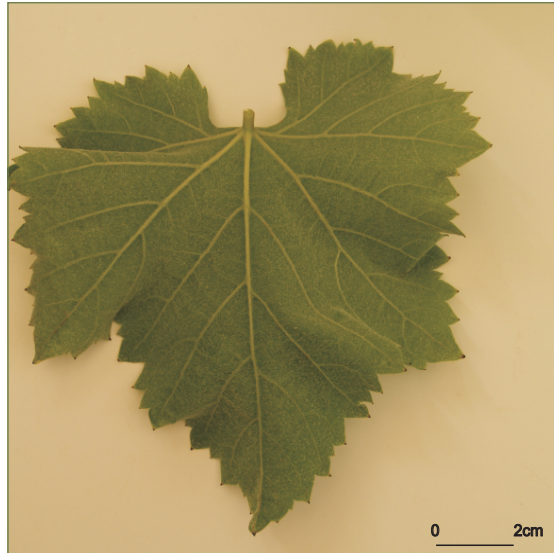
FOLLA NOVA: FACE, ENVÉS



FOLLA ADULTA: FACE

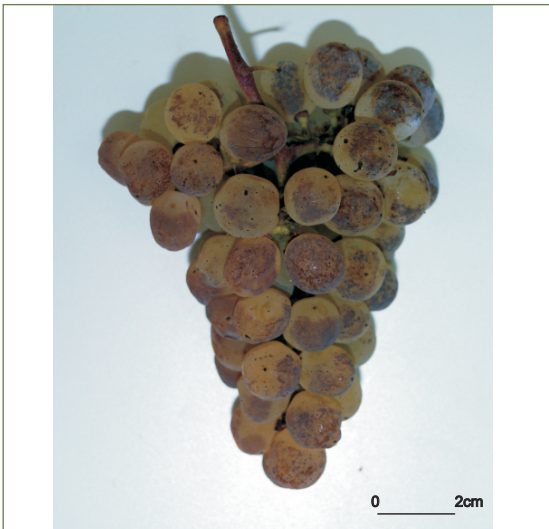


FOLLA ADULTA: ENVÉS

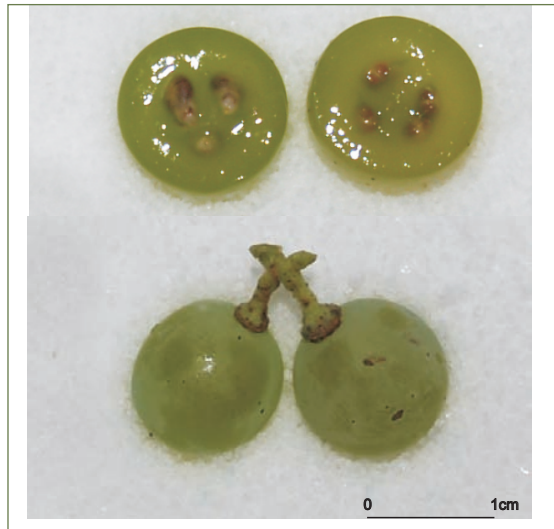


332

ACIO



BAGO



Traminer

Referencias na colección da EVEGA:
F61P47P538.

Sinonimias

Gewurztraminer.

Situación actual

Presenza puntual na DO Ribeiro (Ourense).

Descrición morfolóxica

Pámpano novo

O pámpano novo presenta a extremidade aberta con peluxe tombada de densidade baixa e pigmentación reberetada de intensidade media. A cara dorsal e ventral dos entrenós e nós é verde. As xemas presentan pigmentación antociánica na base da bráctea e de intensidade media.

Folla nova

A folla nova é bronceada con peluxe tombada de densidade media.

Folla adulta

A folla adulta de cor verde escura presenta tamaño pequeno e forma pentagonal, con cinco lóbulos; peluda, con densidade baixa de pelos tombados entre os nervios principais do envés do limbo; perfil alabeado; limbo con avultamento e inchazón de intensidade media; presenza de pigmentación antociánica que alcanza a primeira bifurcación dos nervios principais na face e envés do limbo; dentes con lados convexos, de lonxitude curta en relación á súa anchura; seo peciolar con lóbulos lixeiramente superpostos e coa base en forma de V; seos laterais superiores abertos coa base en forma de chave; pecíolo lixeiramente máis curto que o nervio principal.

Acio

O acio é cónico, curto, estreito, compacto e con presenza de 1 ou 2 ás. O pedúnculo é de lonxitude moi curta.

Bago

O bago de cor rosa presenta forma esférica.

Caracterización ampelográfica

Código OIV	Carácter OIV	Notación	Nivel de expresión
Pámpano novo			
001	Forma da extremidade	aberta	5
002	Distribución da pigmentación antociánica da extremidade	reberetada	2
003	Intensidade da pigmentación antociánica da extremidade	media	5
004	Densidade dos pelos tombados da extremidade	baixa	3
005	Densidade dos pelos ergueitos da extremidade	nula ou moi baixa	1
006	Porte	semi-ergueito	3
007	Cor da cara dorsal dos entrenós	verde	1
008	Cor da cara ventral dos entrenós	verde	1
009	Cor da cara dorsal dos nós	verde	1
010	Cor da cara ventral dos nós	verde	1
011	Densidade dos pelos ergueitos dos nós	nula ou moi baixa	1
012	Densidade dos pelos ergueitos dos entrenós	nula ou moi baixa	1
015.1	Pigmentación antociánica das xemas	na base	2
015.2	Intensidade da pigmentación antociánica das xemas	media	5
0.16	Número de gabiáns consecutivos	dous	1
Folla nova			
051	Cor da face	bronceada	3
053	Densidade dos pelos tombados entre os nervios	media	5
056	Densidade dos pelos ergueitos dos nervios principais	nula ou moi baixa	1
Folla adulta			
065	Tamaño	pequeno	3
067	Forma do limbo	pentagonal	3
068	Número de lóbulos	cinco	3
069	Cor da face	verde escura	7
070	Pigmentación antociánica dos nervios principais da face do limbo	ata a primeira bifurcación	3
071	Pigmentación antociánica dos nervios principais do envés do limbo	ata a primeira bifurcación	3
072	Avultamento do limbo	medio	5
073	Ondulación do limbo entre os nervios principais ou secundarios	presente	9
074	Perfil	alabeado	5
075	Inchazón da face	media	5
076	Forma dos dentes	convexos	3
078	Lonxitude dos dentes en relación á súa anchura na base	pequenos	3
079	Solapamento do seo peciolar	lixeramente superpostos	4
080	Forma da base do seo peciolar	en V	3
081.1	Dentes no seo peciolar	ausentes	1
081.2	Base do seo peciolar limitada pola nervadura	non delimitada	1

Código OIV	Carácter OIV	Notación	Nivel de expresión
082	Solapamento dos seos laterais superiores	aberto	1
083.1	Forma da base dos seos laterais superiores	en chave	2
083.2	Dentes nos seos laterais superiores	ausente	1
084	Densidade dos pelos tombados entre os nervios do envés	baixa	3
085	Densidade dos pelos ergueitos entre os nervios do envés	nula ou moi baixa	1
086	Densidade dos pelos tombados sobre os nervios do envés	nula ou moi baixa	1
087	Densidade dos pelos ergueitos sobre os nervios do envés	nula ou moi baixa	1
088	Peluxe dos nervios principais da face	ausentes	1
089	Peluxe ergueita dos nervios principais da face	ausentes	1
090	Densidade dos pelos tombados do pecíolo	nula ou moi baixa	1
091	Densidade dos pelos ergueitos do pecíolo	nula ou moi baixa	1
093	Lonxitude do pecíolo en relación ao nervio central	lixeiramente máis curto	3
Inflorescencia			
151	Sexo da flor	hermafrodita	3
Acio			
202	Lonxitude	curta	3
204	Compacidade	compacta	7
206	Lonxitude do pedúnculo	moi curta	1
208	Forma	cónica	2
209	Número de ás do acio primario	1 ou 2	2
Bago			
220	Lonxitude	mediana	5
221	Anchura	mediana	5
222	Uniformidade do tamaño	uniforme	2
223	Forma	esférica	2
225	Cor da epiderme	rosa	2

Caracterización ampelométrica

Carácter ampelométrico	Valor máximo e mínimo (cm)	Valor medio (cm)
Lonxitude do nervio central (N1)	9,52-8,42	8,86
Lonxitude do nervio principal lateral superior (N2)	8,47-7,79	8,17
Lonxitude do nervio principal lateral inferior (N3)	6,47-5,61	5,97
Lonxitude do nervio secundario inferior (N4)	4,19-3,24	3,68
Lonxitude do nervio terciario inferior (N5)	1,52-0,95	1,16
Distancia do punto peciolar á intersección de N3-N4 (N6)	1,39-0,69	1,01
Distancia do punto peciolar ao seo superior (U)	6,98-3,60	5,18
Distancia do punto peciolar ao seo inferior (O)	5,45-3,74	4,55
Número de dentes entre o extremo N2 e o seu primeiro nervio secundario (ND)	6,00-6,00	6,00

Carácter ampelométrico	Valor máximo e mínimo (cm)	Valor medio (cm)
Distancia entre o extremo de N2 e o seu primeiro nervio secundario (PL)	5,68-4,40	4,96
Lonxitude do dente de N1 medido ao punto medio da base (L1)	0,72-0,50	0,58
Lonxitude do dente de N2 medido ao punto medio da base (L2)	0,87-0,46	0,69
Lonxitude do dente de N3 medido ao punto medio da base (L3)	0,89-0,55	0,72
Lonxitude do dente de N4 medido ao punto medio da base (L4)	0,90-0,52	0,70
Anchura do dente de N1 (A1)	1,72-0,66	1,10
Anchura do dente de N2 (A2)	1,73-1,20	1,40
Anchura do dente de N3 (A3)	1,77-1,34	1,52
Anchura do dente de N4 (A4)	1,43-0,89	1,08
Abertura do seo peciolar (SP)	1,57-0,00	0,85
Ancho da folla (AN)	15,20-10,87	13,70
Alto da folla (ALT)	14,51-12,95	13,82
Proxección da distancia entre os extremos N1 e N3 sobre o eixe da folla (L)	13,17-12,05	12,74
Distancia entre os extremos N2 do lado grande e do lado pequeno (IS)	13,88-11,86	12,92
Distancia entre os extremos N3 do lado grande e do lado pequeno (II)	11,08-9,98	10,55
Distancia entre os extremos de N1 e N2 (ENS)	9,16-6,27	7,42
Distancia entre os extremos de N2 e N3 (ENM)	8,81-7,33	8,02
Distancia entre os extremos de N3 e N4 (ENI)	4,82-3,76	4,17
Distancia do punto peciolar ao extremo de N4 (NL)	4,92-4,24	4,51
Distancia entre as bases dos seos superiores (DS1)	8,00-5,29	7,06
Distancia entre a base dos seos inferiores (DS2)	9,89-7,37	8,70
Distancia entre as bases do seo superior e inferior (DS)	6,62-4,40	5,42
Abertura do seo superior (SS)	0,73-0,00	0,38
Abertura do seo inferior (SI)	1,68-0,69	0,95

Carácter ampelométrico	Valor máximo e mínimo (graos)	Valor medio (graos)
Ángulo entre N1 e N2 (A)	70,19-57,70	62,66
Ángulo entre N2 e N3 (B)	61,73-55,32	58,65
Ángulo entre N3 e N4 (C)	54,93-44,01	50,48
Ángulo entre N4 e N5 (D)	49,89-36,31	42,56
Ángulo entre N3 e o bordo do seo peciolar (E)	57,03-34,85	47,08
Ángulo entre os extremos de N1 e o seu primeiro nervio secundario (F)	127,90-110,00	119,26
Ángulo entre os extremos N1 e N2 (AP)	123,96-111,05	116,69

Caracterización molecular

Microsatélites	VVS2	VVMD5	VVMD7	ssrVrZAG47	ssrVrZAG62	ssrVrZAG79	VVS29	VVS5
Pb	150	228	241	165	187	243	169	100
	150	234	255	165	193	249	169	150

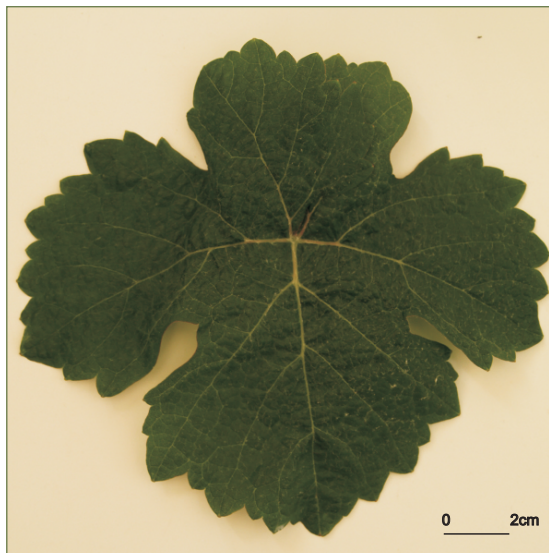
SUMIDADE



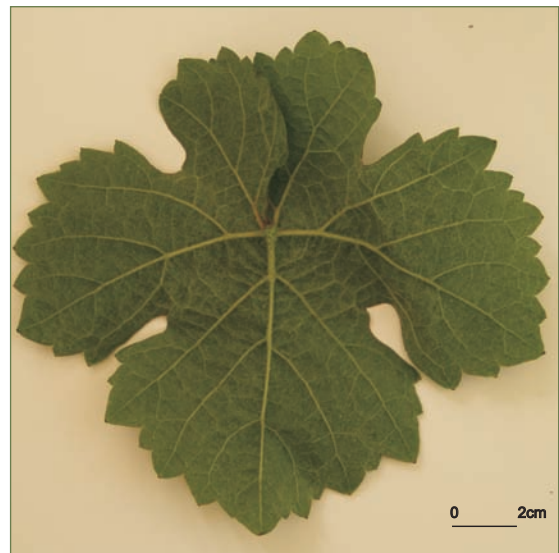
FOLLA NOVA: FACE, ENVÉS



FOLLA ADULTA: FACE



FOLLA ADULTA: ENVÉS



ACIO



BAGO



Referencias na colección da EVEGA:
F14P55P62, F15P28P32, F30P19P85,
F31P11P86, F33P02P10, F34P01,
F41P01, F42P01P26, F43P01P18,
F43P28P37, F446P49P50, F45P01,
F46P42P47, F50P01, F53P01P10,
F54P10P47, F55P01, F58P01, F59P01,
F60P37P46.

Sinonimias

Non se coñecen.

Antecedentes

338

García de los Salmones (1914) cítaa como presente na provincia de Pontevedra, na localidade de Boiro, na provincia da Coruña e en Bande (na provincia de Ourense). No Catastro Vitícola de 1983 indícase a súa presenza en Ourense, onde ocupaba o 0,09% da superficie de viñado, fundamentalmente na DO Ribeiro, e na Coruña co 0,02%.

Situación actual

É recoñecida como variedade preferente nas cinco denominacións de orixe galegas. Tamén é contemplada para a elaboración de viños nas indicacións xeográficas Viño da Terra Barbanza e Iria e Val do Miño. Encóntranse rexistradas 15,28 ha na Coruña, 5,33 ha en Lugo, 600,61 ha en Ourense e 232,39 ha en Pontevedra, correspondendo a maioría da superficie á subzona do Condado do Tea.

Valoracións sobre o seu cultivo

Variedade de brotación e maduración tardía, moderadamente sensible ao oídio, ao mildeu e á botrite. Produce viños equilibrados cuxa graduación varía entre 12,1 a 15,5% e a acidez entre 6,5 a 5,4 g/L.

Descrición morfolóxica

Pámpano novo

O pámpano novo presenta a extremidade aberta con peluxe tombada de densidade media sen pigmentación. A cara dorsal e ventral do entrenó e ventral do nó é verde, mentres a dorsal do nó é verde e vermella. As xemas non presentan pigmentación antociánica.

Folla nova

A folla nova é bronceada con peluxe tombada de densidade baixa.

Folla adulta

A folla adulta de cor verde media presenta tamaño medio e forma pentagonal, con cinco lóbulos; con densidade baixa de pelos tombados sobre os nervios principais do envés do limbo; perfil plano; limbo con avultamento e inchazón débil; dentes con mestura de lados rectilíneos e lados convexos, de lonxitude media en relación á súa anchura; seo peciolar pouco aberto coa base en forma de chave; seos laterais superiores con lóbulos abertos coa base en forma de V; pecíolo lixeiramente máis curto que o nervio principal.

Acio

O acio é cónico, de lonxitude, anchura e compacidade media e con presenza de 1 ou 2 ás. O pedúnculo é de lonxitude curta.

Bago

O bago de cor verde amarela presenta forma elíptica curta.

Caracterización ampelográfica

Código OIV	Carácter OIV	Notación	Nivel de expresión
Pámpano novo			
001	Forma da extremidade	aberta	5
002	Distribución da pigmentación antociánica da extremidade	ausente	1
003	Intensidade da pigmentación antociánica da extremidade	nula ou moi baixa	1
004	Densidade dos pelos tombados da extremidade	media	5
005	Densidade dos pelos ergueitos da extremidade	nula ou moi baixa	1
006	Porte	semi-ergueito	3
007	Cor da cara dorsal dos entrenós	verde	1
008	Cor da cara ventral dos entrenós	verde	1
009	Cor da cara dorsal dos nós	verde e vermella	2
010	Cor da cara ventral dos nós	verde	1
011	Densidade dos pelos ergueitos dos nós	nula ou moi baixa	1
012	Densidade dos pelos ergueitos dos entrenós	nula ou moi baixa	1
015.1	Pigmentación antociánica das xemas	ausente	1
015.2	Intensidade da pigmentación antociánica das xemas	nula	1
0.16	Número de gabiáns consecutivos	dous	1
Folla nova			
051	Cor da face	bronceada	3
053	Densidade dos pelos tombados entre os nervios	baixa	3
056	Densidade dos pelos ergueitos dos nervios principais	nula ou moi baixa	1
Folla adulta			
065	Tamaño	medio	5
067	Forma do limbo	pentagonal	3
068	Número de lóbulos	cinco	3
069	Cor da face	verde media	5
070	Pigmentación antociánica dos nervios principais da face do limbo	nula	1
071	Pigmentación antociánica dos nervios principais do envés do limbo	nula	1
072	Avultamento do limbo	débil	3
073	Ondulación do limbo entre os nervios principais ou secundarios	ausente	1
074	Perfil	plano	1
075	Inchazón da face	débil	3
076	Forma dos dentes	mestura de lados rectilíneos e convexos	5
078	Lonxitude dos dentes en relación á súa anchura na base	media	5
079	Solapamento do seo peciolar	pouco aberto	3
080	Forma da base do seo peciolar	en chave	2
081.1	Dentes no seo peciolar	ausentes	1
081.2	Base do seo peciolar limitada pola nervadura	non delimitada	1
082	Solapamento dos seos laterais superiores	aberto	1

Código OIV	Carácter OIV	Notación	Nivel de expresión
083.1	Forma da base dos seos laterais superiores	en V	3
083.2	Dentes nos seos laterais superiores	ausente	1
084	Densidade dos pelos tombados entre os nervios do envés	nula ou moi baixa	3
085	Densidade dos pelos ergueitos entre os nervios do envés	nula ou moi baixa	1
086	Densidade dos pelos tombados sobre os nervios do envés	baixa	3
087	Densidade dos pelos ergueitos sobre os nervios do envés	nula ou moi baixa	1
088	Peluxe dos nervios principais da face	ausentes	1
089	Peluxe ergueita dos nervios principais da face	ausentes	1
090	Densidade dos pelos tombados do pecíolo	nula ou moi baixa	1
091	Densidade dos pelos ergueitos do pecíolo	nula ou moi baixa	1
093	Lonxitude do pecíolo en relación ao nervio central	lixeramente máis curto	3
Inflorescencia			
151	Sexo da flor	hermafrodita	3
Acio			
202	Lonxitude	media	5
204	Compacidade	media	5
206	Lonxitude do pedúnculo	curta	3
208	Forma	cónica	2
209	Número de ás do acio primario	1 ou 2	2
Bago			
220	Lonxitude	longa	7
221	Anchura	ancha	7
222	Uniformidade do tamaño	uniforme	2
223	Forma	elíptica curta	3
225	Cor da epiderme	verde amarela	1

Caracterización ampelométrica

Carácter ampelométrico	Valor máximo e mínimo (cm)	Valor medio (cm)
Lonxitude do nervio central (N1)	12,81-11,02	12,31
Lonxitude do nervio principal lateral superior (N2)	11,73-10,22	10,83
Lonxitude do nervio principal lateral inferior (N3)	8,93-7,59	8,16
Lonxitude do nervio secundario inferior (N4)	5,44-4,36	4,98
Lonxitude do nervio terciario inferior (N5)	3,02-2,33	2,68
Distancia do punto peciolar á intersección de N3-N4 (N6)	1,42-1,02	1,23
Distancia do punto peciolar ao seo superior (U)	6,55-4,85	5,75
Distancia do punto peciolar ao seo inferior (O)	5,25-4,38	4,59
Número de dentes entre o extremo N2 e o seu primeiro nervio secundario (ND)	7,00-5,00	6,00

Carácter apelmométrico	Valor máximo e mínimo (cm)	Valor medio (cm)
Distancia entre o extremo de N2 e o seu primeiro nervio secundario (PL)	5,56-4,53	4,96
Lonxitude do dente de N1 medido ao punto medio da base (L1)	0,85-0,51	0,72
Lonxitude do dente de N2 medido ao punto medio da base (L2)	1,08-0,81	0,93
Lonxitude do dente de N3 medido ao punto medio da base (L3)	1,11-0,74	0,88
Lonxitude do dente de N4 medido ao punto medio da base (L4)	1,03-0,69	0,89
Anchura do dente de N1 (A1)	1,26-0,76	1,11
Anchura do dente de N2 (A2)	1,67-1,14	1,32
Anchura do dente de N3 (A3)	1,36-0,93	1,18
Anchura do dente de N4 (A4)	1,36-0,93	1,16
Abertura do seo peciolar (SP)	2,90-1,08	1,93
Ancho da folla (AN)	18,65-16,40	17,41
Alto da folla (ALT)	18,26-16,25	17,35
Proxección da distancia entre os extremos N1 e N3 sobre o eixe da folla (L)	16,33-10,93	13,65
Distancia entre os extremos N2 do lado grande e do lado pequeno (IS)	15,58-14,15	15,05
Distancia entre os extremos N3 do lado grande e do lado pequeno (II)	17,97-15,72	16,51
Distancia entre os extremos de N1 e N2 (ENS)	9,95-6,83	8,70
Distancia entre os extremos de N2 e N3 (ENM)	9,65-6,24	7,69
Distancia entre os extremos de N3 e N4 (ENI)	7,06-5,23	5,93
Distancia do punto peciolar ao extremo de N4 (NL)	6,36-5,52	6,07
Distancia entre as bases dos seus superiores (DS1)	7,29-4,53	5,82
Distancia entre a base dos seus inferiores (DS2)	11,63-9,06	10,36
Distancia entre as bases do seo superior e inferior (DS)	5,63-3,87	4,85
Abertura do seo superior (SS)	0,28-0,05	0,10
Abertura do seo inferior (SI)	0,28-0,03	0,12

Carácter apelmométrico	Valor máximo e mínimo (graos)	Valor medio (graos)
Ángulo entre N1 e N2 (A)	51,42-42,47	48,49
Ángulo entre N2 e N3 (B)	52,40-43,95	48,31
Ángulo entre N3 e N4 (C)	59,80-45,42	51,72
Ángulo entre N4 e N5 (D)	55,56-42,66	48,33
Ángulo entre N3 e o bordo do seo peciolar (E)	79,90-55,53	64,25
Ángulo entre os extremos de N1 e o seu primeiro nervio secundario (F)	120,18-100,53	110,69
Ángulo entre os extremos N1 e N2 (AP)	136,17-110,86	121,91

Caracterización molecular

Microsatélites	VVS2	VVMD5	VVMD7	ssrVrZAG47	ssrVrZAG62	ssrVrZAG79	VVS29	VVS5
Pb	140	222	237	157	185	245	169	94
	150	232	249	161	185	245	169	100

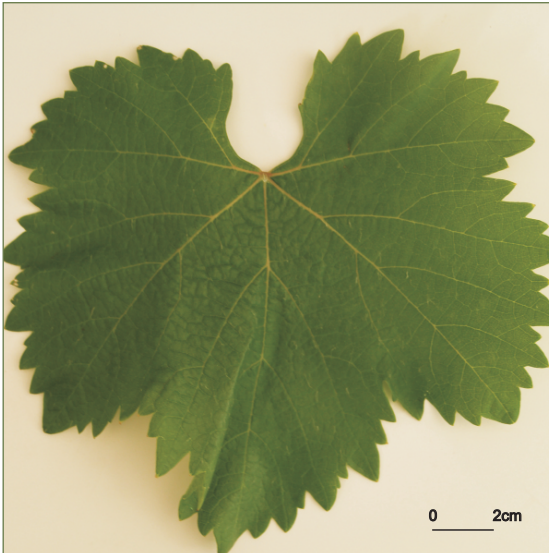
SUMIDADE



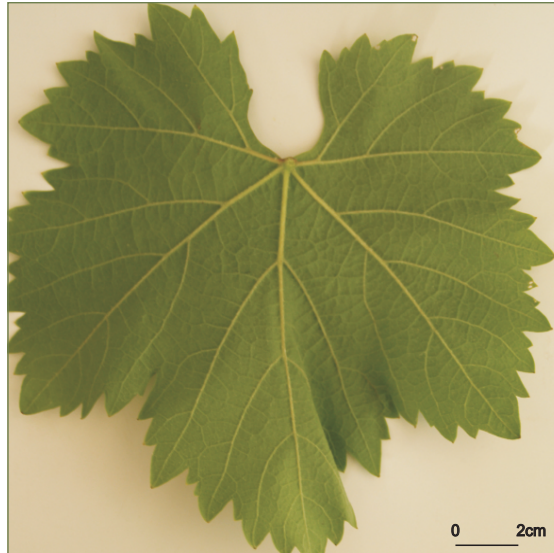
FOLLA NOVA: FACE, ENVÉS



FOLLA ADULTA: FACE



FOLLA ADULTA: ENVÉS



342

ACIO



BAGO



Treixadura Francesa

Referencias na colección da EVEGA:
F31P03P10, F32P01P11, F33P19P24.

Este xenotipo correspóndese coa variedade Batoca, tamén denominada Alvacara, recoñecida para a elaboración de viños na Demarcación Rexistrada Vinhos Verdes, en Portugal.

Descrición morfolóxica

Pámpano novo

O pámpano novo presenta a extremidade aberta con peluxe tombada de densidade baixa, sen pigmentación. A cara dorsal e ventral do entrenó, así como a cara dorsal do nó, é verde e vermella, mentres que a cara ventral do nó, verde. As xemas presentan pigmentación antociánica na base de intensidade moi débil.

Folla nova

A folla nova é cobreada-avermellada con peluxe tombada de densidade baixa.

Folla adulta

A folla adulta de cor verde media presenta tamaño medio e forma pentagonal, con cinco lóbulos; peluda, con densidade baixa de pelos tombados e ergueitos sobre e entre os nervios principais da face e envés do limbo; perfil plano; limbo con avultamento débil; dentes pequenos con lados rectilíneos; seo peciolar pouco aberto coa base en forma de chave; seos laterais superiores abertos coa base en forma de V; pecíolo lixeiramente máis curto que o nervio principal.

Acio

O acio é cónico, longo, de compacidade media e con presenza de 1 ou 2 ás. O pedúnculo é longo.

Bago

O bago de cor verde amarela presenta forma elíptica curta.

Caracterización ampelográfica

Código OIV	Carácter OIV	Notación	Nivel de expresión
Pámpano novo			
001	Forma da extremidade	aberta	5
002	Distribución da pigmentación antociánica da extremidade	ausente	1
003	Intensidade da pigmentación antociánica da extremidade	nula ou moi baixa	1
004	Densidade dos pelos tombados da extremidade	baixa	3
005	Densidade dos pelos ergueitos da extremidade	nula ou moi baixa	1
006	Porte	semi-ergueito	3
007	Cor da cara dorsal dos entrenós	verde e vermella	2
008	Cor da cara ventral dos entrenós	verde e vermella	2
009	Cor da cara dorsal dos nós	verde e vermella	2
010	Cor da cara ventral dos nós	verde	1
011	Densidade dos pelos ergueitos dos nós	nula ou moi baixa	1
012	Densidade dos pelos ergueitos dos entrenós	nula ou moi baixa	1
015.1	Pigmentación antociánica das xemas	na base	2
015.2	Intensidade da pigmentación antociánica das xemas	moi débil	1
0.16	Número de gabiáns consecutivos	dous	1
Folla nova			
051	Cor da face	cobreada-avermellada	4
053	Densidade dos pelos tombados entre os nervios	baixa	3
056	Densidade dos pelos ergueitos dos nervios principais	nula ou moi baixa	1
Folla adulta			
065	Tamaño	medio	5
067	Forma do limbo	pentagonal	3
068	Número de lóbulos	cinco	3
069	Cor da face	verde media	5
070	Pigmentación antociánica dos nervios principais da face do limbo	ata a primeira bifurcación	3
071	Pigmentación antociánica dos nervios principais do envés do limbo	ata a primeira bifurcación	3
072	Avultamento do limbo	débil	3
073	Ondulación do limbo entre os nervios principais ou secundarios	ausente	1
074	Perfil	plano	1
075	Inchazón da face	débil	3
076	Forma dos dentes	rectilíneos	2
078	Lonxitude dos dentes en relación á súa anchura na base	pequenos	3
079	Solapamento do seo peciolar	pouco aberto	3
080	Forma da base do seo peciolar	en chave	2
081.1	Dentes no seo peciolar	ausentes	1
081.2	Base do seo peciolar limitada pola nervadura	non delimitada	1
082	Solapamento dos seos laterais superiores	aberto	1

Código OIV	Carácter OIV	Notación	Nivel de expresión
083.1	Forma da base dos seos laterais superiores	en V	3
083.2	Dentes nos seos laterais superiores	ausente	1
084	Densidade dos pelos tombados entre os nervios do envés	baixa	3
085	Densidade dos pelos ergueitos entre os nervios do envés	baixa	3
086	Densidade dos pelos tombados sobre os nervios do envés	baixa	3
087	Densidade dos pelos ergueitos sobre os nervios do envés	baixa	3
088	Peluxe dos nervios principais da face	ausentes	1
089	Peluxe ergueita dos nervios principais da face	ausentes	1
090	Densidade dos pelos tombados do pecíolo	nula ou moi baixa	1
091	Densidade dos pelos ergueitos do pecíolo	nula ou moi baixa	1
093	Lonxitude do pecíolo en relación ao nervio central	lixeramente máis curto	3
Inflorescencia			
151	Sexo da flor	hermafrodita	3
Acio			
202	Lonxitude	longa	7
204	Compacidade	media	5
206	Lonxitude do pedúnculo	longa	7
208	Forma	cónica	2
209	Número de ás do acio primario	1 ou 2	2
Bago			
220	Lonxitude	longa	7
221	Anchura	ancha	7
222	Uniformidade do tamaño	uniforme	2
223	Forma	elíptica curta	3
225	Cor da epiderme	verde amarela	1

Caracterización ampelométrica

Carácter ampelométrico	Valor máximo e mínimo (cm)	Valor medio (cm)
Lonxitude do nervio central (N1)	12,03-10,83	11,32
Lonxitude do nervio principal lateral superior (N2)	11,34-9,80	10,53
Lonxitude do nervio principal lateral inferior (N3)	9,44-7,45	8,22
Lonxitude do nervio secundario inferior (N4)	6,73-5,30	6,65
Lonxitude do nervio terciario inferior (N5)	3,96-2,96	3,47
Distancia do punto peciolar á intersección de N3-N4 (N6)	0,91-0,44	0,65
Distancia do punto peciolar ao seo superior (U)	7,67-5,60	6,64
Distancia do punto peciolar ao seo inferior (O)	6,98-4,31	5,99
Número de dentes entre o extremo N2 e o seu primeiro nervio secundario (ND)	9,00-6,00	7,40

Carácter ampelométrico	Valor máximo e mínimo (cm)	Valor medio (cm)
Distancia entre o extremo de N2 e o seu primeiro nervio secundario (PL)	5,67-3,89	4,97
Lonxitude do dente de N1 medido ao punto medio da base (L1)	0,88-0,47	0,65
Lonxitude do dente de N2 medido ao punto medio da base (L2)	0,94-0,63	0,76
Lonxitude do dente de N3 medido ao punto medio da base (L3)	0,82-0,62	0,73
Lonxitude do dente de N4 medido ao punto medio da base (L4)	0,69-0,48	0,62
Anchura do dente de N1 (A1)	1,42-0,75	1,02
Anchura do dente de N2 (A2)	1,58-0,97	1,22
Anchura do dente de N3 (A3)	1,52-1,06	1,17
Anchura do dente de N4 (A4)	1,30-0,80	1,14
Abertura do seo peciolar (SP)	0,70-0,00	0,18
Ancho da folla (AN)	17,62-15,32	16,80
Alto da folla (ALT)	17,97-15,91	17,06
Proxección da distancia entre os extremos N1 e N3 sobre o eixe da folla (L)	17,04-14,04	15,40
Distancia entre os extremos N2 do lado grande e do lado pequeno (IS)	16,89-18,80	15,38
Distancia entre os extremos N3 do lado grande e do lado pequeno (II)	17,10-14,74	16,12
Distancia entre os extremos de N1 e N2 (ENS)	11,09-6,97	9,26
Distancia entre os extremos de N2 e N3 (ENM)	10,21-7,27	8,63
Distancia entre os extremos de N3 e N4 (ENI)	7,63-5,71	6,48
Distancia do punto peciolar ao extremo de N4 (NL)	7,12-5,86	6,20
Distancia entre as bases dos seos superiores (DS1)	8,27-6,11	7,31
Distancia entre a base dos seos inferiores (DS2)	12,83-10,71	11,73
Distancia entre as bases do seo superior e inferior (DS)	7,85-5,89	6,49
Abertura do seo superior (SS)	1,09-0,00	0,28
Abertura do seo inferior (SI)	0,83-0,21	0,53

Carácter ampelométrico	Valor máximo e mínimo (graos)	Valor medio (graos)
Ángulo entre N1 e N2 (A)	61,56-52,13	57,16
Ángulo entre N2 e N3 (B)	62,63-51,74	54,94
Ángulo entre N3 e N4 (C)	59,71-45,37	53,79
Ángulo entre N4 e N5 (D)	45,03-36,01	41,24
Ángulo entre N3 e o bordo do seo peciolar (E)	82,37-69,10	75,58
Ángulo entre os extremos de N1 e o seu primeiro nervio secundario (F)	127,18-93,06	107,18
Ángulo entre os extremos N1 e N2 (AP)	129,62-106,54	118,85

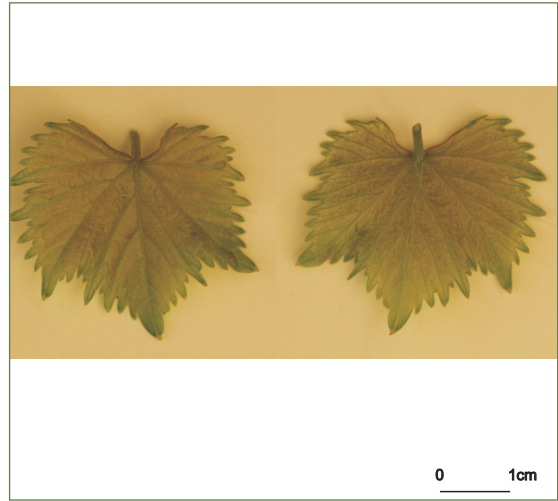
Caracterización molecular

Microsatélites	VVS2	VVMD5	VVMD7	ssrVrZAG47	ssrVrZAG62	ssrVrZAG79	VVS29	VVS5
Pb	140	222	245	159	185	245	169	85
	150	222	249	161	203	249	177	94

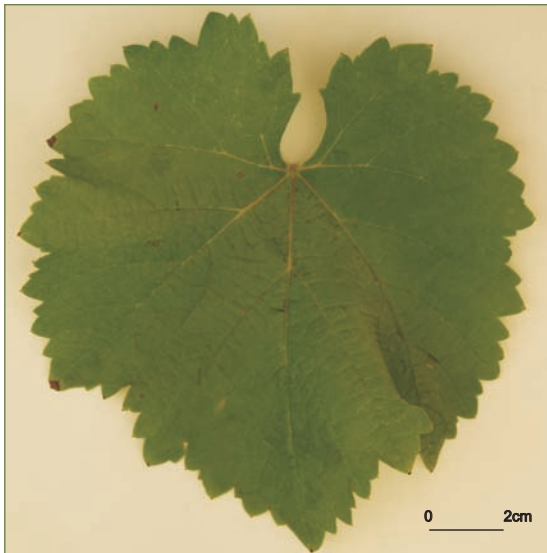
SUMIDADE



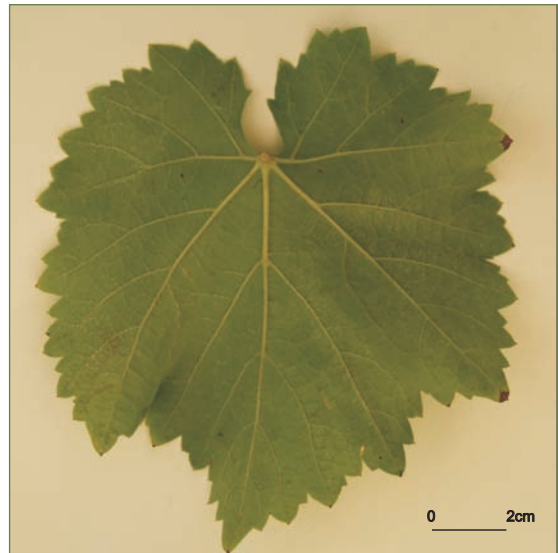
FOLLA NOVA: FACE, ENVÉS



FOLLA ADULTA: FACE



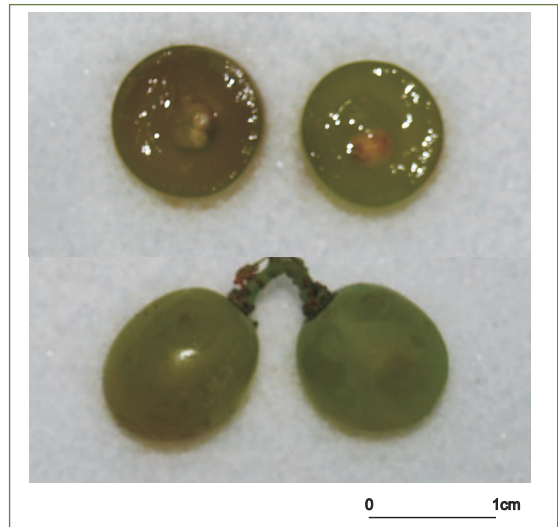
FOLLA ADULTA: ENVÉS



ACIO



BAGO



Referencias na colección da EVEGA:
F45P36P46.

Sinonimias

Non se coñecen.

Antecedentes

García de los Salmones (1914) cítaa como cultivada nas catro provincias galegas, concretamente en Lugo, coa denominación Verdello Rubio. A súa orixe xenética é a liñaxe de Caíño Bravo (Díaz-Losada *et al.*, 2010).

348 *Situación actual*

Non está contemplada no Rexistro de variedades comerciais, nin no regulamento das DD.OO. para a elaboración de viños. Localizáronse cepas centenarias formando parte de parcelas plurivarietais na DO Ribeiro e en zonas limítrofes a esta.

Valoracións sobre o seu cultivo

Variedade de brotación e maduración tardía. Forma parte de viños plurivarietais e produce viños con valores medios de graduación alcohólica de 12,8% e acidez de 7,6 g/L.

Descrición morfolóxica

Pámpano novo

O pámpano novo presenta a extremidade aberta con peluxe tombada de densidade baixa e pigmentación reberetada de intensidade forte. A cara dorsal do entrenó e do nó é de cor verde e vermella. As xemas presentan pigmentación antociánica que afecta case toda a bráctea e de intensidade forte.

Folla nova

A folla nova é verde con peluxe tombada de densidade media.

Folla adulta

A folla adulta de cor verde media presenta tamaño medio e forma pentagonal, con cinco lóbulos; peluda, con densidade baixa de pelos tombados entre os nervios principais do envés do limbo; perfil plano; limbo con avultamento e inchazón débil; dentes de lados rectilíneos, de lonxitude curta en relación á súa anchura; seo peciolar con lóbulos semiabertos e coa base en forma de U delimitada pola nervadura nun lado; seos laterais superiores con lóbulos lixeiramente superpostos e coa base en forma de V; pecíolo lixeiramente máis curto que o nervio principal.

Acio

O acio é cónico, curto, de anchura e compacidade media e con presenza de 1 ou 2 ás. O pedúnculo é de lonxitude moi curta.

Bago

O bago de cor verde amarela presenta forma elíptica curta.

Caracterización ampelográfica

Código OIV	Carácter OIV	Notación	Nivel de expresión
Pámpano novo			
001	Forma da extremidade	aberta	5
002	Distribución da pigmentación antociánica da extremidade	reberetada	2
003	Intensidade da pigmentación antociánica da extremidade	forte	7
004	Densidade dos pelos tombados da extremidade	baixa	3
005	Densidade dos pelos ergueitos da extremidade	nula ou moi baixa	1
006	Porte	semi-ergueito	3
007	Cor da cara dorsal dos entrenós	verde e vermella	2
008	Cor da cara ventral dos entrenós	verde e vermella	2
009	Cor da cara dorsal dos nós	verde e vermella	2
010	Cor da cara ventral dos nós	verde e vermella	2
011	Densidade dos pelos ergueitos dos nós	nula ou moi baixa	1
012	Densidade dos pelos ergueitos dos entrenós	nula ou moi baixa	1
015.1	Pigmentación antociánica das xemas	case toda a bráctea	4
015.2	Intensidade da pigmentación antociánica das xemas	forte	7
0.16	Número de gabiáns consecutivos	dous	1
Folla nova			
051	Cor da face	verde	1
053	Densidade dos pelos tombados entre os nervios	media	5
056	Densidade dos pelos ergueitos dos nervios principais	nula ou moi baixa	1
Folla adulta			
065	Tamaño	medio	5
067	Forma do limbo	pentagonal	3
068	Número de lóbulos	cinco	3
069	Cor da face	verde media	5
070	Pigmentación antociánica dos nervios principais da face do limbo	nula	1
071	Pigmentación antociánica dos nervios principais do envés do limbo	ata a primeira bifurcación	3
072	Avultamento do limbo	débil	3
073	Ondulación do limbo entre os nervios principais ou secundarios	ausente	1
074	Perfil	plano	1
075	Inchazón da face	débil	3
076	Forma dos dentes	rectilíneos	2
078	Lonxitude dos dentes en relación á súa anchura na base	pequenos	3
079	Solapamento do seo peciolar	pouco abertos	2
080	Forma da base do seo peciolar	en U	1
081.1	Dentes no seo peciolar	ausentes	1
081.2	Base do seo peciolar limitada pola nervadura	nun lado	2
082	Solapamento dos seos laterais superiores	lixeramente superpostos	3

Código OIV	Carácter OIV	Notación	Nivel de expresión
083.1	Forma da base dos seos laterais superiores	en V	3
083.2	Dentes nos seos laterais superiores	ausente	1
084	Densidade dos pelos tombados entre os nervios do envés	baixa	3
085	Densidade dos pelos ergueitos entre os nervios do envés	nula ou moi baixa	1
086	Densidade dos pelos tombados sobre os nervios do envés	baixa	3
087	Densidade dos pelos ergueitos sobre os nervios do envés	baixa	3
088	Peluxe dos nervios principais da face	ausentes	1
089	Peluxe ergueita dos nervios principais da face	ausentes	1
090	Densidade dos pelos tombados do pecíolo	nula ou moi baixa	1
091	Densidade dos pelos ergueitos do pecíolo	nula ou moi baixa	1
093	Lonxitude do pecíolo en relación ao nervio central	lixeramente máis curto	3
Inflorescencia			
151	Sexo da flor	hermafrodita	3
Acio			
202	Lonxitude	curta	3
204	Compacidade	media	5
206	Lonxitude do pedúnculo	moi curta	1
208	Forma	cónica	2
209	Número de ás do acio primario	1 ou 2	2
Bago			
220	Lonxitude	media	5
221	Anchura	media	5
222	Uniformidade do tamaño	uniforme	2
223	Forma	elíptica curta	3
225	Cor da epiderme	verde amarela	1

Caracterización ampelométrica

Carácter ampelométrico	Valor máximo e mínimo (cm)	Valor medio (cm)
Lonxitude do nervio central (N1)	12,66-9,08	11,37
Lonxitude do nervio principal lateral superior (N2)	11,59-8,06	10,24
Lonxitude do nervio principal lateral inferior (N3)	8,85-5,99	7,70
Lonxitude do nervio secundario inferior (N4)	5,10-2,96	4,25
Lonxitude do nervio terciario inferior (N5)	1,71-0,81	1,36
Distancia do punto peciolar á intersección de N3-N4 (N6)	2,56-1,20	1,83
Distancia do punto peciolar ao seo superior (U)	5,46-3,89	4,82
Distancia do punto peciolar ao seo inferior (O)	7,63-3,80	5,86
Número de dentes entre o extremo N2 e o seu primeiro nervio secundario (ND)	7,00-5,00	6,40

Carácter apelmométrico	Valor máximo e mínimo (cm)	Valor medio (cm)
Distancia entre o extremo de N2 e o seu primeiro nervio secundario (PL)	5,69-3,88	4,70
Lonxitude do dente de N1 medido ao punto medio da base (L1)	0,62-0,24	0,49
Lonxitude do dente de N2 medido ao punto medio da base (L2)	1,11-0,22	0,71
Lonxitude do dente de N3 medido ao punto medio da base (L3)	0,94-0,68	0,81
Lonxitude do dente de N4 medido ao punto medio da base (L4)	1,23-0,44	0,86
Anchura do dente de N1 (A1)	1,81-0,89	1,27
Anchura do dente de N2 (A2)	1,45-1,11	1,44
Anchura do dente de N3 (A3)	1,44-1,23	1,56
Anchura do dente de N4 (A4)	1,26-0,66	1,18
Abertura do seo peciolar (SP)	5,69-3,35	4,35
Ancho da folla (AN)	18,48-12,52	16,23
Alto da folla (ALT)	19,85-12,01	16,48
Proxección da distancia entre os extremos N1 e N3 sobre o eixe da folla (L)	17,45-11,65	14,75
Distancia entre os extremos N2 do lado grande e do lado pequeno (IS)	18,55-10,20	14,34
Distancia entre os extremos N3 do lado grande e do lado pequeno (II)	16,85-11,63	14,95
Distancia entre os extremos de N1 e N2 (ENS)	8,99-6,31	8,61
Distancia entre os extremos de N2 e N3 (ENM)	6,25-7,07	8,23
Distancia entre os extremos de N3 e N4 (ENI)	5,86-3,65	4,54
Distancia do punto peciolar ao extremo de N4 (NL)	6,24-3,99	5,53
Distancia entre as bases dos seus superiores (DS1)	10,91-4,00	6,42
Distancia entre a base dos seus inferiores (DS2)	15,15-5,00	9,94
Distancia entre as bases do seo superior e inferior (DS)	6,86-3,21	4,70
Abertura do seo superior (SS)	1,75-0,37	0,85
Abertura do seo inferior (SI)	2,34-0,49	1,68

Carácter apelmométrico	Valor máximo e mínimo (graos)	Valor medio (graos)
Ángulo entre N1 e N2 (A)	58,99-51,98	55,67
Ángulo entre N2 e N3 (B)	52,48-38,07	46,35
Ángulo entre N3 e N4 (C)	54,95-42,40	48,40
Ángulo entre N4 e N5 (D)	50,26-27,88	43,35
Ángulo entre N3 e o bordo do seo peciolar (E)	47,82-30,86	41,44
Ángulo entre os extremos de N1 e o seu primeiro nervio secundario (F)	135,43-98,03	118,43
Ángulo entre os extremos N1 e N2 (AP)	123,53-111,53	118,16

Caracterización molecular

Microsatélites	VVS2	VVMD5	VVMD7	ssrVrZAG47	ssrVrZAG62	ssrVrZAG79	VVS29	VVS5
Pb	130	218	237	157	185	245	169	100
	150	228	255	165	193	249	169	121

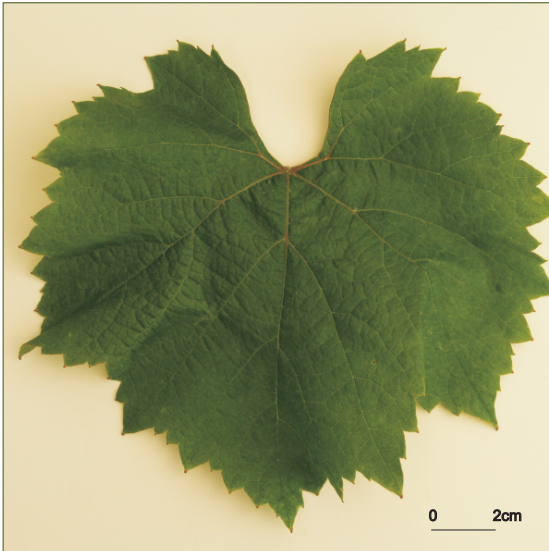
SUMIDADE



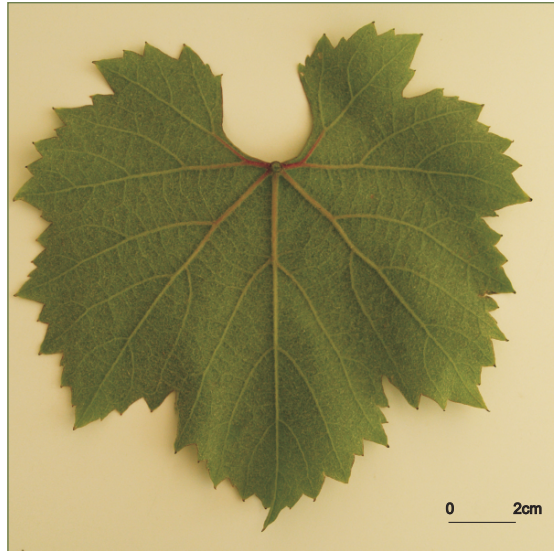
FOLLA NOVA: FACE, ENVÉS



FOLLA ADULTA: FACE

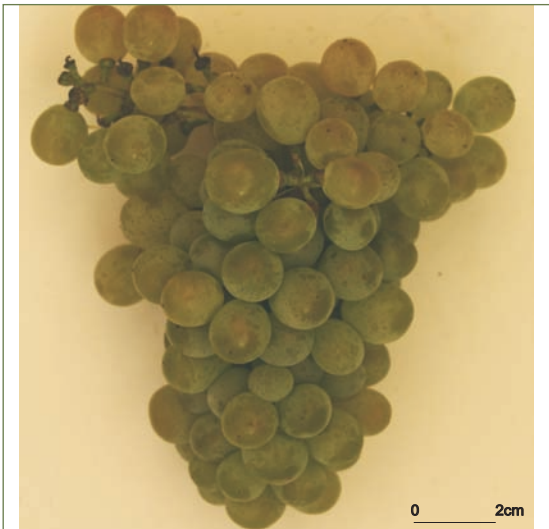


FOLLA ADULTA: ENVÉS



352

ACIO



BAGO



EVEGA 1

Referencias na colección da EVEGA:
F33P52P76, F34P11P20.

Descrición morfolóxica

Pámpano novo

O pámpano novo presenta a extremidade aberta con peluxe tombada de densidade media e pigmentación reberetada de intensidade media. A cara dorsal do entrenó, así como a cara dorsal e ventral do nó, é verde e vermella, mentres que a cara ventral do entrenó é verde. As xemas presentan pigmentación antociánica que afecta case toda a bráctea e de intensidade forte.

Folla nova

A folla nova é cobreada-avermellada e glabra.

Folla adulta

A folla adulta de cor verde media presenta tamaño medio e forma pentagonal, con cinco lóbulos;

glabra; perfil alabeado; limbo sen avultamentos; dentes con lados rectilíneos, de lonxitude media en relación á súa anchura; seo peciolar semiaberto coa base en forma de chave; seos laterais superiores con lóbulos lixeiramente superpostos e coa base en forma de chave; pecíolo lixeiramente máis longo que o nervio principal.

Acio

O acio é en forma de embude, moi longo, moi ancho, de compacidade solta e con presenza de 3 ou 4 ás. O pedúnculo é de lonxitude curta.

Bago

O bago de cor verde amarela presenta forma esférica ou elíptica curta.

Caracterización ampelográfica

Código OIV	Carácter OIV	Notación	Nivel de expresión
Pámpano novo			
001	Forma da extremidade	aberta	5
002	Distribución da pigmentación antociánica da extremidade	reberetada	2
003	Intensidade da pigmentación antociánica da extremidade	media	5
004	Densidade dos pelos tombados da extremidade	baixa	3
005	Densidade dos pelos ergueitos da extremidade	nula ou moi baixa	1
006	Porte	semi-ergueito	3
007	Cor da cara dorsal dos entrenós	verde e vermella	2
008	Cor da cara ventral dos entrenós	verde	1
009	Cor da cara dorsal dos nós	verde e vermella	2
010	Cor da cara ventral dos nós	verde e vermella	2
011	Densidade dos pelos ergueitos dos nós	nula ou moi baixa	1
012	Densidade dos pelos ergueitos dos entrenós	nula ou moi baixa	1
015.1	Pigmentación antociánica das xemas	case toda a bráctea	4
015.2	Intensidade da pigmentación antociánica das xemas	forte	7
0.16	Número de gabiáns consecutivos	dous	1
Folla nova			
051	Cor da face	cobreada-avermellada	4
053	Densidade dos pelos tombados entre os nervios	nula ou moi baixa	1
056	Densidade dos pelos ergueitos dos nervios principais	nula ou moi baixa	1
Folla adulta			
065	Tamaño	medio	5
067	Forma do limbo	pentagonal	3
068	Número de lóbulos	cinco	3
069	Cor da face	verde media	5
070	Pigmentación antociánica dos nervios principais da face do limbo	nula	1
071	Pigmentación antociánica dos nervios principais do envés do limbo	nula	1
072	Avultamento do limbo	nulo ou moi débil	1
073	Ondulación do limbo entre os nervios principais ou secundarios	presente	9
074	Perfil	alabeado	5
075	Inchazón da face	nula ou moi débil	1
076	Forma dos dentes	rectilíneos	2
078	Lonxitude dos dentes en relación á súa anchura na base	media	5
079	Solapamento do seo peciolar	semi-aberto	2
080	Forma da base do seo peciolar	en chave	2
081.1	Dentes no seo peciolar	ausentes	1
081.2	Base do seo peciolar limitada pola nervadura	non delimitada	1
082	Solapamento dos seos laterais superiores	lixeramente superpostos	3

Código OIV	Carácter OIV	Notación	Nivel de expresión
083.1	Forma da base dos seus laterais superiores	en chave	2
083.2	Dentes nos seus laterais superiores	ausente	1
084	Densidade dos pelos tombados entre os nervios do envés	nula ou moi baixa	1
085	Densidade dos pelos ergueitos entre os nervios do envés	nula ou moi baixa	1
086	Densidade dos pelos tombados sobre os nervios do envés	nula ou moi baixa	1
087	Densidade dos pelos ergueitos sobre os nervios do envés	nula ou moi baixa	1
088	Peluxe dos nervios principais da face	ausentes	1
089	Peluxe ergueita dos nervios principais da face	ausentes	1
090	Densidade dos pelos tombados do pecíolo	nula ou moi baixa	1
091	Densidade dos pelos ergueitos do pecíolo	nula ou moi baixa	1
093	Lonxitude do pecíolo en relación ao nervio central	lixeramente máis longo	7
Inflorescencia			
151	Sexo da flor	hermafrodita	3
Acio			
202	Lonxitude	moi longa	9
204	Compacidade	solta	3
206	Lonxitude do pedúnculo	curta	3
208	Forma	en embude	3
209	Número de ás do acio primario	3 ou 4	3
Bago			
220	Lonxitude	moi longa	9
221	Anchura	moi ancha	9
222	Uniformidade do tamaño	uniforme	2
223	Forma	esférica	2
225	Cor da epiderme	verde amarela	1

Caracterización ampelométrica

Carácter ampelométrico	Valor máximo e mínimo (cm)	Valor medio (cm)
Lonxitude do nervio central (N1)	14,50-10,25	12,22
Lonxitude do nervio principal lateral superior (N2)	13,03-9,17	11,01
Lonxitude do nervio principal lateral inferior (N3)	10,09-6,15	8,07
Lonxitude do nervio secundario inferior (N4)	7,69-4,42	5,78
Lonxitude do nervio terciario inferior (N5)	3,39-1,84	2,59
Distancia do punto peciolar á intersección de N3-N4 (N6)	1,40-0,68	1,05
Distancia do punto peciolar ao seo superior (U)	7,78-6,10	7,05
Distancia do punto peciolar ao seo inferior (O)	7,38-4,01	5,90
Número de dentes entre o extremo N2 e o seu primeiro nervio secundario (ND)	8,00-6,00	7,00

Carácter ampelométrico	Valor máximo e mínimo (cm)	Valor medio (cm)
Distancia entre o extremo de N2 e o seu primeiro nervio secundario (PL)	7,06-4,37	5,38
Lonxitude do dente de N1 medido ao punto medio da base (L1)	0,88-0,45	0,64
Lonxitude do dente de N2 medido ao punto medio da base (L2)	0,90-0,66	0,77
Lonxitude do dente de N3 medido ao punto medio da base (L3)	1,21-0,53	0,77
Lonxitude do dente de N4 medido ao punto medio da base (L4)	1,04-0,57	0,78
Anchura do dente de N1 (A1)	1,40-0,61	1,03
Anchura do dente de N2 (A2)	1,39-1,12	1,27
Anchura do dente de N3 (A3)	1,49-0,99	1,22
Anchura do dente de N4 (A4)	1,60-0,87	1,14
Abertura do seo peciolar (SP)	1,23-0,00	0,62
Ancho da folla (AN)	22,77-15,17	17,91
Alto da folla (ALT)	21,93-14,83	17,75
Proxección da distancia entre os extremos N1 e N3 sobre o eixe da folla (L)	18,28-12,06	14,85
Distancia entre os extremos N2 do lado grande e do lado pequeno (IS)	19,95-12,71	14,34
Distancia entre os extremos N3 do lado grande e do lado pequeno (II)	21,27-13,68	16,53
Distancia entre os extremos de N1 e N2 (ENS)	10,91-6,30	8,04
Distancia entre os extremos de N2 e N3 (ENM)	11,02-7,36	8,82
Distancia entre os extremos de N3 e N4 (ENI)	8,32-4,64	6,01
Distancia do punto peciolar ao extremo de N4 (NL)	7,82-5,24	6,35
Distancia entre as bases dos seos superiores (DS1)	8,81-5,64	7,21
Distancia entre a base dos seos inferiores (DS2)	14,44-8,72	11,37
Distancia entre as bases do seo superior e inferior (DS)	8,02-5,33	6,33
Abertura do seo superior (SS)	0,73-0,00	0,12
Abertura do seo inferior (SI)	1,38-0,50	0,92

Carácter ampelométrico	Valor máximo e mínimo (graos)	Valor medio (graos)
Ángulo entre N1 e N2 (A)	59,67-48,53	53,60
Ángulo entre N2 e N3 (B)	71,68-55,38	60,22
Ángulo entre N3 e N4 (C)	57,77-45,66	49,24
Ángulo entre N4 e N5 (D)	45,34-32,80	38,73
Ángulo entre N3 e o bordo do seo peciolar (E)	66,58-47,07	58,77
Ángulo entre os extremos de N1 e o seu primeiro nervio secundario (F)	116,04-97,42	107,57
Ángulo entre os extremos N1 e N2 (AP)	132,68-118,81	122,77

Caracterización molecular

Microsatélites	VVS2	VVMD5	VVMD7	ssrVrZAG47	ssrVrZAG62	ssrVrZAG79	VVS29	VVS5
Pb	130	234	237	171	187	225	169	106
	140	236	251	171	187	225	169	150

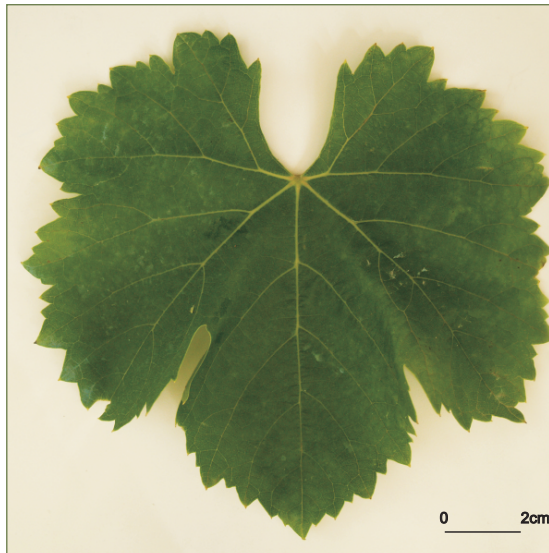
SUMIDADE



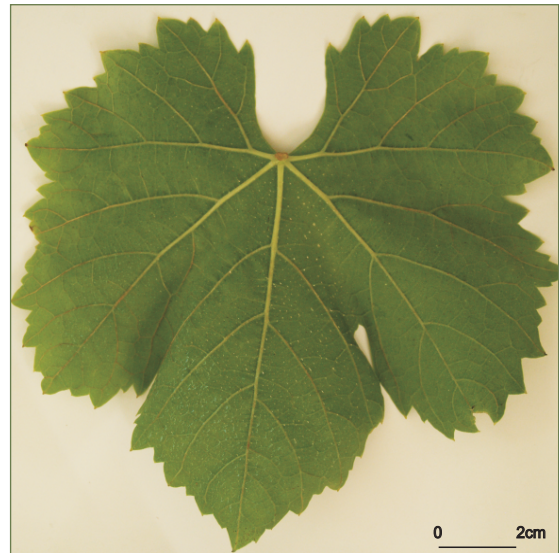
FOLLA NOVA: FACE, ENVÉS



FOLLA ADULTA: FACE



FOLLA ADULTA: ENVÉS



ACIO



BAGO



Referencias na colección da EVEGA:
F03P05, F35P31P56, F35P68.

Descrición morfolóxica

Pámpano novo

O pámpano novo presenta a extremidade aberta con peluxe tombada de densidade media e pigmentación reberetada de intensidade débil. A cara dorsal do entrenó e a cara dorsal e ventral do nó son de cor verde e vermella, mentres que a cara ventral do entrenó é verde. As xemas presentan pigmentación antociánica na base da bráctea de intensidade forte.

Folla nova

A folla nova é bronceada con peluxe tombada de densidade baixa.

Folla adulta

A folla adulta de cor verde media presenta tamaño medio e forma pentagonal, con tres lóbulos;

peluda, con densidade baixa de pelos tombados entre os nervios principais do envés do limbo; perfil plano ou lixeiramente alabeado; limbo con avultamento e inchazón débil; dentes con mestura de lados rectilíneos e convexos, de lonxitude media en relación á súa anchura; seo peciolar con lóbulos pouco abertos ou medio superpostos e coa base en forma de chave; seos laterais superiores abertos coa base en forma de V; pecíolo lixeiramente máis curto que o nervio principal.

Acio

O acio é cónico, ancho, de lonxitude media, compacidade solta e con presenza de 1 ou 2 ás. O pedúnculo é de lonxitude curta.

Bago

O bago de cor vermella violeta escura presenta forma esférica.

Caracterización ampelográfica

Código OIV	Carácter OIV	Notación	Nivel de expresión
Pámpano novo			
001	Forma da extremidade	aberta	5
002	Distribución da pigmentación antociánica da extremidade	reberetada	2
003	Intensidade da pigmentación antociánica da extremidade	débil	3
004	Densidade dos pelos tombados da extremidade	media	5
005	Densidade dos pelos ergueitos da extremidade	nula ou moi baixa	1
006	Porte	semi-ergueito	3
007	Cor da cara dorsal dos entrenós	verde e vermella	2
008	Cor da cara ventral dos entrenós	verde	1
009	Cor da cara dorsal dos nós	verde e vermella	2
010	Cor da cara ventral dos nós	verde e vermella	2
011	Densidade dos pelos ergueitos dos nós	nula ou moi baixa	1
012	Densidade dos pelos ergueitos dos entrenós	nula ou moi baixa	1
015.1	Pigmentación antociánica das xemas	na base	2
015.2	Intensidade da pigmentación antociánica das xemas	forte	7
0.16	Número de gabiáns consecutivos	dous	1
Folla nova			
051	Cor da face	bronceada	3
053	Densidade dos pelos tombados entre os nervios	baixa	3
056	Densidade dos pelos ergueitos dos nervios principais	nula ou moi baixa	1
Folla adulta			
065	Tamaño	medio	5
067	Forma do limbo	pentagonal	3
068	Número de lóbulos	tres	2
069	Cor da face	verde media	5
070	Pigmentación antociánica dos nervios principais da face do limbo	nula	1
071	Pigmentación antociánica dos nervios principais do envés do limbo	nula	1
072	Avultamento do limbo	débil	3
073	Ondulación do limbo entre os nervios principais ou secundarios	ausente	1
074	Perfil	plano	1
075	Inchazón da face	débil	3
076	Forma dos dentes	mestura de lados rectilíneos e convexos	5
078	Lonxitude dos dentes en relación á súa anchura na base	medios	5
079	Solapamento do seo peciolar	medio superpostos	3
080	Forma da base do seo peciolar	en chave	2
081.1	Dentes no seo peciolar	presentes	2
081.2	Base do seo peciolar limitada pola nervadura	non delimitada	1
082	Solapamento dos seos laterais superiores	aberto	1

Código OIV	Carácter OIV	Notación	Nivel de expresión
083.1	Forma da base dos seos laterais superiores	en V	3
083.2	Dentes nos seos laterais superiores	ausente	1
084	Densidade dos pelos tombados entre os nervios do envés	baixa	3
085	Densidade dos pelos ergueitos entre os nervios do envés	nula	1
086	Densidade dos pelos tombados sobre os nervios do envés	baixa	3
087	Densidade dos pelos ergueitos sobre os nervios do envés	nula	1
088	Peluxe dos nervios principais da face	ausentes	1
089	Peluxe ergueita dos nervios principais da face	ausentes	1
090	Densidade dos pelos tombados do pecíolo	nula ou moi baixa	1
091	Densidade dos pelos ergueitos do pecíolo	nula ou moi baixa	1
093	Lonxitude do pecíolo en relación ao nervio central	lixeramente máis curto	3
Inflorescencia			
151	Sexo da flor	hermafrodita	3
Acio			
202	Lonxitude	media	5
204	Compacidade	solta	3
206	Lonxitude do pedúnculo	curta	3
208	Forma	cónica	2
209	Número de ás do acio primario	1 ou 2	2
Bago			
220	Lonxitude	longa	7
221	Anchura	ancha	7
222	Uniformidade do tamaño	uniforme	2
223	Forma	esférica	2
225	Cor da epiderme	vermella violeta escura	5

Caracterización ampelométrica

Carácter ampelométrico	Valor máximo e mínimo (cm)	Valor medio (cm)
Lonxitude do nervio central (N1)	11,86-11,02	11,54
Lonxitude do nervio principal lateral superior (N2)	11,05-9,39	10,15
Lonxitude do nervio principal lateral inferior (N3)	9,27-7,41	8,09
Lonxitude do nervio secundario inferior (N4)	5,03-4,73	4,86
Lonxitude do nervio terciario inferior (N5)	2,79-1,91	2,24
Distancia do punto peciolar á intersección de N3-N4 (N6)	1,27-1,03	1,15
Distancia do punto peciolar ao seo superior (U)	5,75-3,98	4,72
Distancia do punto peciolar ao seo inferior (O)	4,70-3,08	3,66
Número de dentes entre o extremo N2 e o seu primeiro nervio secundario (ND)	8,00-5,00	6,40

Carácter apelmométrico	Valor máximo e mínimo (cm)	Valor medio (cm)
Distancia entre o extremo de N2 e o seu primeiro nervio secundario (PL)	5,73-4,16	4,75
Lonxitude do dente de N1 medido ao punto medio da base (L1)	1,26-0,63	0,93
Lonxitude do dente de N2 medido ao punto medio da base (L2)	1,59-0,77	1,08
Lonxitude do dente de N3 medido ao punto medio da base (L3)	1,27-1,10	1,18
Lonxitude do dente de N4 medido ao punto medio da base (L4)	0,98-0,67	0,85
Anchura do dente de N1 (A1)	1,30-0,77	1,01
Anchura do dente de N2 (A2)	1,22-0,86	1,03
Anchura do dente de N3 (A3)	1,51-0,90	1,21
Anchura do dente de N4 (A4)	1,24-0,66	0,96
Abertura do seo peciolar (SP)	4,39-2,01	3,17
Ancho da folla (AN)	17,58-14,41	16,40
Alto da folla (ALT)	16,50-13,88	15,62
Proxección da distancia entre os extremos N1 e N3 sobre o eixe da folla (L)	14,62-11,80	13,26
Distancia entre os extremos N2 do lado grande e do lado pequeno (IS)	14,59-12,77	13,55
Distancia entre os extremos N3 do lado grande e do lado pequeno (II)	16,44-14,14	15,75
Distancia entre os extremos de N1 e N2 (ENS)	9,40-6,31	7,61
Distancia entre os extremos de N2 e N3 (ENM)	8,18-5,72	7,15
Distancia entre os extremos de N3 e N4 (ENI)	6,26-4,65	5,39
Distancia do punto peciolar ao extremo de N4 (NL)	5,97-5,66	5,81
Distancia entre as bases dos seus superiores (DS1)	5,31-3,01	4,35
Distancia entre a base dos seus inferiores (DS2)	10,09-5,64	7,33
Distancia entre as bases do seo superior e inferior (DS)	4,92-2,76	3,48
Abertura do seo superior (SS)	0,75-0,00	0,16
Abertura do seo inferior (SI)	1,05-0,00	0,21

Carácter apelmométrico	Valor máximo e mínimo (graos)	Valor medio (graos)
Ángulo entre N1 e N2 (A)	55,05-41,15	46,34
Ángulo entre N2 e N3 (B)	53,45-38,80	47,13
Ángulo entre N3 e N4 (C)	54,80-44,26	49,38
Ángulo entre N4 e N5 (D)	43,56-32,04	38,49
Ángulo entre N3 e o bordo do seo peciolar (E)	62,35-44,63	52,58
Ángulo entre os extremos de N1 e o seu primeiro nervio secundario (F)	116,90-95,41	106,54
Ángulo entre os extremos N1 e N2 (AP)	138,94-114,96	123,24

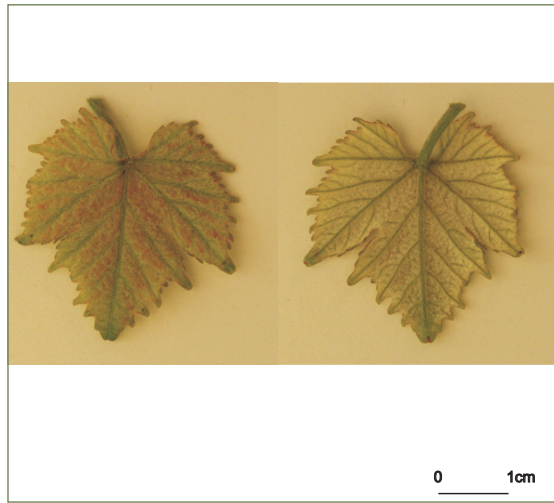
Caracterización molecular

Microsatélites	VVS2	VVMD5	VVMD7	ssrVrZAG47	ssrVrZAG62	ssrVrZAG79	VVS29	VVS5
Pb	136	230	241	165	187	237	169	85
	140	234	261	165	193	247	169	85

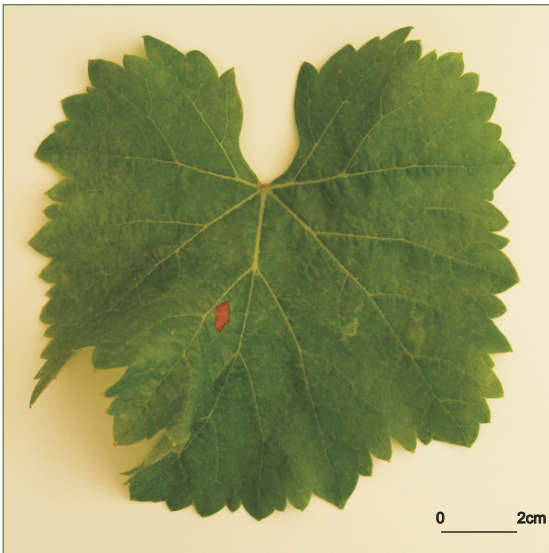
SUMIDADE



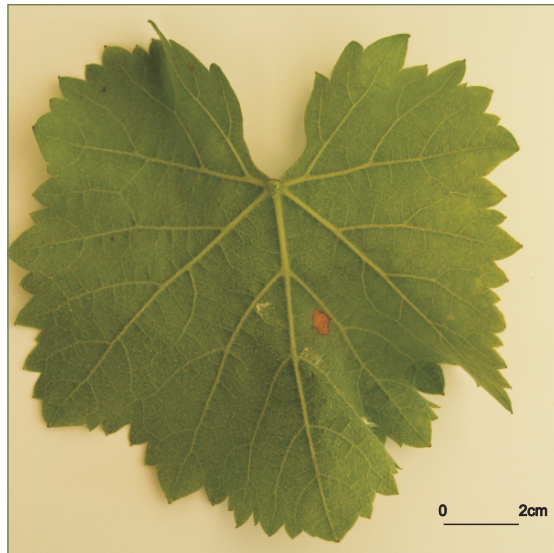
FOLLA NOVA: FACE, ENVÉS



FOLLA ADULTA: FACE



FOLLA ADULTA: ENVÉS

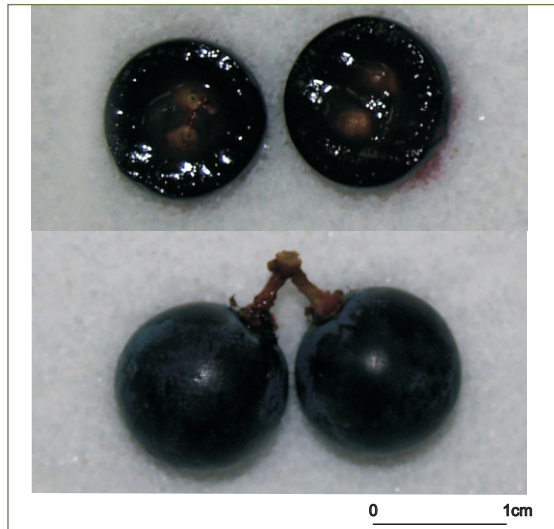


362

ACIO



BAGO



Referencias na colección da EVEGA:
F45P47P52.

Descrición morfolóxica

Pámpano novo

O pámpano novo presenta a extremidade aberta con peluxe tombada de densidade media e pigmentación reberetada de intensidade débil. A cara dorsal dos entrenós e nós é verde e vermella e a ventral, verde. As xemas presentan pigmentación antociánica na base da bráctea e de intensidade baixa.

Folla nova

A folla nova é bronceada con peluxe tombada de densidade media.

Folla adulta

A folla adulta de cor verde media presenta tamaño medio e forma pentagonal, con sete lóbulos;

peluda, con densidade baixa de pelos tombados entre e sobre os nervios principais; perfil alabeado; limbo con avultamento de intensidade media e inchazón débil; presenza de pigmentación antociánica sobre os nervios principais do envés do limbo que alcanza a primeira bifurcación; dentes con mestura de lados rectilíneos e convexos, de lonxitude curta en relación á súa anchura; seo peciolar con lóbulos medio superpostos e coa base en forma de chave; seos laterais superiores lixeiramente superpostos coa base en forma de U; pecíolo lixeiramente máis curto que o nervio principal.

Acio

O acio é en forma de embude, longo, compacto e con presenza de 1 ou 2 ás. O pedúnculo é longo.

Bago

O bago de cor vermella violeta escura presenta forma elíptica curta.

Caracterización ampelográfica

Código OIV	Carácter OIV	Notación	Nivel de expresión
Pámpano novo			
001	Forma da extremidade	aberta	5
002	Distribución da pigmentación antociánica da extremidade	reberetada	2
003	Intensidade da pigmentación antociánica da extremidade	débil	3
004	Densidade dos pelos tombados da extremidade	media	5
005	Densidade dos pelos ergueitos da extremidade	nula ou moi baixa	1
006	Porte	semi-ergueito	3
007	Cor da cara dorsal dos entrenós	verde e vermella	2
008	Cor da cara ventral dos entrenós	verde	1
009	Cor da cara dorsal dos nós	verde e vermella	2
010	Cor da cara ventral dos nós	verde	1
011	Densidade dos pelos ergueitos dos nós	nula ou moi baixa	1
012	Densidade dos pelos ergueitos dos entrenós	nula ou moi baixa	1
015.1	Pigmentación antociánica das xemas	na base	2
015.2	Intensidade da pigmentación antociánica das xemas	baixa	3
0.16	Número de gabiáns consecutivos	dous	1
Folla nova			
051	Cor da face	bronceada	3
053	Densidade dos pelos tombados entre os nervios	media	3
056	Densidade dos pelos ergueitos dos nervios principais	nula ou moi baixa	1
Folla adulta			
065	Tamaño	medio	5
067	Forma do limbo	pentagonal	3
068	Número de lóbulos	siete	4
069	Cor da face	verde media	5
070	Pigmentación antociánica dos nervios principais da face do limbo	ata a primeira bifurcación	3
071	Pigmentación antociánica dos nervios principais do envés do limbo	ata a primeira bifurcación	3
072	Avultamento do limbo	medio	5
073	Ondulación do limbo entre os nervios principais ou secundarios	presente	9
074	Perfil	alabeado	5
075	Inchazón da face	débil	3
076	Forma dos dentes	mestura de lados rectilíneos e convexos	5
078	Lonxitude dos dentes en relación á súa anchura na base	pequenos	3
079	Solapamento do seo peciolar	superpostos	5
080	Forma da base do seo peciolar	en chave	2
081.1	Dentes no seo peciolar	ausentes	1
081.2	Base do seo peciolar limitada pola nervadura	non delimitada	1

Código OIV	Carácter OIV	Notación	Nivel de expresión
082	Solapamento dos seos laterais superiores	lixeiramente superpostos	3
083.1	Forma da base dos seos laterais superiores	en U	1
083.2	Dentes nos seos laterais superiores	ausente	1
084	Densidade dos pelos tombados entre os nervios do envés	baixa	3
085	Densidade dos pelos ergueitos entre os nervios do envés	nula ou moi baixa	1
086	Densidade dos pelos tombados sobre os nervios do envés	baixa	3
087	Densidade dos pelos ergueitos sobre os nervios do envés	nula ou moi baixa	1
088	Peluxe dos nervios principais da face	ausentes	1
089	Peluxe ergueita dos nervios principais da face	ausentes	1
090	Densidade dos pelos tombados do pecíolo	nula ou moi baixa	1
091	Densidade dos pelos ergueitos do pecíolo	nula ou moi baixa	1
093	Lonxitude do pecíolo en relación ao nervio central	lixeiramente máis curto	3
Inflorescencia			
151	Sexo da flor	hermafrodita	3
Acio			
202	Lonxitude	longa	7
204	Compacidade	compacta	7
206	Lonxitude do pedúnculo	longa	7
208	Forma	en embude	3
209	Número de ás do acio primario	1 ou 2	2
Bago			
220	Lonxitude	longa	7
221	Anchura	ancha	7
222	Uniformidade do tamaño	uniforme	2
223	Forma	elíptica curta	3
225	Cor da epiderme	vermella violeta escura	5

Caracterización ampelométrica

Carácter ampelométrico	Valor máximo e mínimo (cm)	Valor medio (cm)
Lonxitude do nervio central (N1)	10,55-8,89	9,66
Lonxitude do nervio principal lateral superior (N2)	8,84-7,17	8,25
Lonxitude do nervio principal lateral inferior (N3)	6,36-5,19	6,07
Lonxitude do nervio secundario inferior (N4)	4,18-3,23	3,85
Lonxitude do nervio terciario inferior (N5)	2,61-1,54	1,97
Distancia do punto peciolar á intersección de N3-N4 (N6)	0,92-0,68	0,78
Distancia do punto peciolar ao seo superior (U)	3,69-2,50	3,06
Distancia do punto peciolar ao seo inferior (O)	3,07-0,34	2,38
Número de dentes entre o extremo N2 e o seu primeiro nervio secundario (ND)	7,00-5,00	6,40

Carácter ampelométrico	Valor máximo e mínimo (cm)	Valor medio (cm)
Distancia entre o extremo de N2 e o seu primeiro nervio secundario (PL)	4,77-3,68	4,32
Lonxitude do dente de N1 medido ao punto medio da base (L1)	0,85-0,36	0,54
Lonxitude do dente de N2 medido ao punto medio da base (L2)	0,84-0,55	0,77
Lonxitude do dente de N3 medido ao punto medio da base (L3)	1,18-0,61	0,82
Lonxitude do dente de N4 medido ao punto medio da base (L4)	0,87-0,62	0,72
Anchura do dente de N1 (A1)	1,37-0,84	1,09
Anchura do dente de N2 (A2)	1,32-1,03	1,14
Anchura do dente de N3 (A3)	1,92-1,12	1,46
Anchura do dente de N4 (A4)	1,29-0,92	1,15
Abertura do seo peciolar (SP)	0,50-0,00	0,10
Ancho da folla (AN)	14,87-12,25	13,90
Alto da folla (ALT)	14,87-12,82	14,33
Proxección da distancia entre os extremos N1 e N3 sobre o eixe da folla (L)	14,35-12,02	13,45
Distancia entre os extremos N2 do lado grande e do lado pequeno (IS)	13,68-11,52	12,49
Distancia entre os extremos N3 do lado grande e do lado pequeno (II)	12,33-9,27	11,04
Distancia entre os extremos de N1 e N2 (ENS)	9,11-6,42	7,91
Distancia entre os extremos de N2 e N3 (ENM)	8,49-6,76	7,70
Distancia entre os extremos de N3 e N4 (ENI)	5,81-4,09	4,90
Distancia do punto peciolar ao extremo de N4 (NL)	4,75-3,77	4,52
Distancia entre as bases dos seos superiores (DS1)	4,12-2,77	3,51
Distancia entre a base dos seos inferiores (DS2)	6,98-4,60	5,87
Distancia entre as bases do seo superior e inferior (DS)	3,56-2,64	3,29
Abertura do seo superior (SS)	1,55-0,00	0,31
Abertura do seo inferior (SI)	1,70-1,12	1,52

Carácter ampelométrico	Valor máximo e mínimo (graos)	Valor medio (graos)
Ángulo entre N1 e N2 (A)	70,93-56,26	62,73
Ángulo entre N2 e N3 (B)	69,78-60,61	65,12
Ángulo entre N3 e N4 (C)	64,58-45,68	57,45
Ángulo entre N4 e N5 (D)	45,83-37,33	40,52
Ángulo entre N3 e o bordo do seo peciolar (E)	73,07-49,92	60,48
Ángulo entre os extremos de N1 e o seu primeiro nervio secundario (F)	118,76-97,41	106,45
Ángulo entre os extremos N1 e N2 (AP)	116,46-99,49	108,65

Caracterización molecular

Microsatélites	VVS2	VVMD5	VVMD7	ssrVrZAG47	ssrVrZAG62	ssrVrZAG79	VVS29	VVS5
Pb	150	222	237	161	185	243	169	85
	150	228	245	165	203	249	169	94

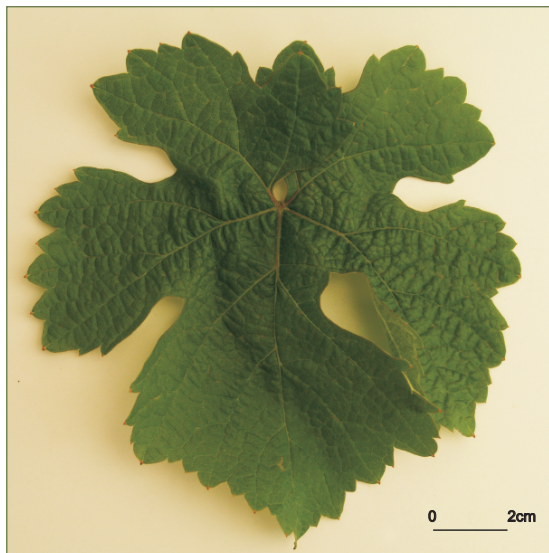
SUMIDADE



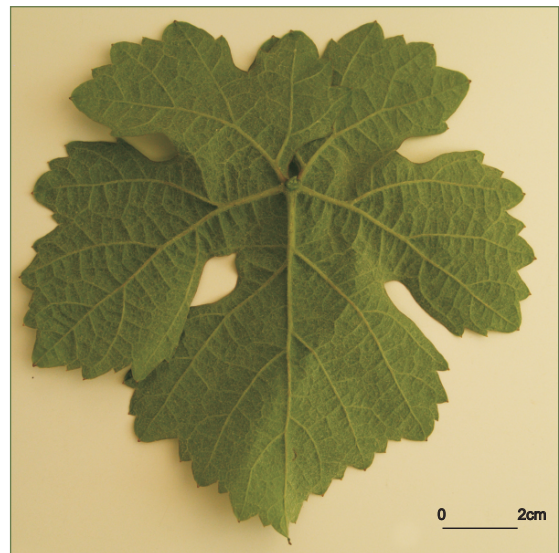
FOLLA NOVA: FACE, ENVÉS



FOLLA ADULTA: FACE



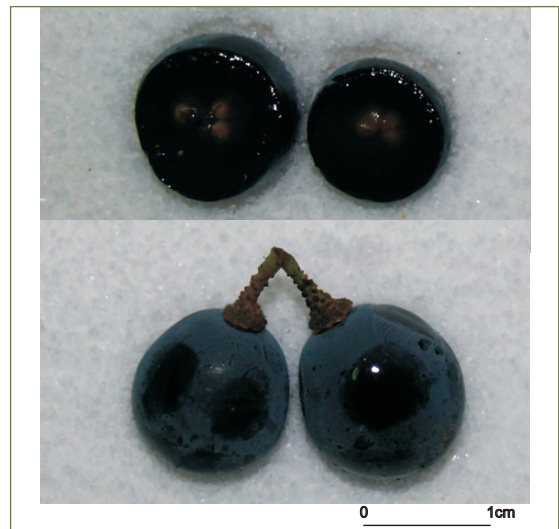
FOLLA ADULTA: ENVÉS



ACIO



BAGO



Referencias na colección da EVEGA:
F46P48P50.

Descrición morfolóxica

Pámpano novo

O pámpano novo presenta a extremidade aberta con peluxe tombada de densidade baixa e pigmentación reberetada de intensidade débil. A cara dorsal e ventral dos entrenós e nós é verde. As xemas non presentan pigmentación antociánica.

Folla nova

A folla nova é bronceada e glabra.

Folla adulta

A folla adulta de cor verde media presenta tamaño grande e forma pentagonal, con cinco lóbulos;

glabra; perfil plano; limbo con inchazón débil; dentes con lados rectilíneos, de lonxitude media en relación á súa anchura; seo peciolar moi aberto e coa base en forma de chave; seos laterais superiores con lóbulos lixeiramente superpostos coa base en forma de chave; pecíolo da mesma lonxitude que o nervio principal.

Acio

O acio é en forma de embude, moi longo, moi ancho, de compacidade moi solta e con presenza de 1 ou 2 ás. O pedúnculo é de lonxitude media.

Bago

O bago de cor rosa presenta forma elíptica longa.

Caracterización ampelográfica

Código OIV	Carácter OIV	Notación	Nivel de expresión
Pámpano novo			
001	Forma da extremidade	aberta	5
002	Distribución da pigmentación antociánica da extremidade	reberetada	2
003	Intensidade da pigmentación antociánica da extremidade	débil	3
004	Densidade dos pelos tombados da extremidade	baixa	3
005	Densidade dos pelos ergueitos da extremidade	nula ou moi baixa	1
006	Porte	semi-ergueito	3
007	Cor da cara dorsal dos entrenós	verde	1
008	Cor da cara ventral dos entrenós	verde	1
009	Cor da cara dorsal dos nós	verde	1
010	Cor da cara ventral dos nós	verde	1
011	Densidade dos pelos ergueitos dos nós	nula ou moi baixa	1
012	Densidade dos pelos ergueitos dos entrenós	nula ou moi baixa	1
015.1	Pigmentación antociánica das xemas	ausente	1
015.2	Intensidade da pigmentación antociánica das xemas	nula ou moi débil	1
0.16	Número de gabiáns consecutivos	dous	1
Folla nova			
051	Cor da face	bronceada	3
053	Densidade dos pelos tombados entre os nervios	nula ou moi baixa	1
056	Densidade dos pelos ergueitos dos nervios principais	nula ou moi baixa	1
Folla adulta			
065	Tamaño	grande	7
067	Forma do limbo	pentagonal	3
068	Número de lóbulos	cinco	3
069	Cor da face	verde media	5
070	Pigmentación antociánica dos nervios principais da face do limbo	nula	1
071	Pigmentación antociánica dos nervios principais do envés do limbo	nula	1
072	Avultamento do limbo	débil	3
073	Ondulación do limbo entre os nervios principais ou secundarios	presente	9
074	Perfil	plano	1
075	Inchazón da face	débil	3
076	Forma dos dentes	rectilíneos	2
078	Lonxitude dos dentes en relación á súa anchura na base	medios	5
079	Solapamento do seo peciolar	moi aberto	1
080	Forma da base do seo peciolar	en chave	2
081.1	Dentes no seo peciolar	ausentes	1
081.2	Base do seo peciolar limitada pola nervadura	non delimitada	1
082	Solapamento dos seos laterais superiores	lixeramente superpostos	3

Código OIV	Carácter OIV	Notación	Nivel de expresión
083.1	Forma da base dos seos laterais superiores	en chave	2
083.2	Dentes nos seos laterais superiores	ausente	1
084	Densidade dos pelos tombados entre os nervios do envés	nula ou moi baixa	1
085	Densidade dos pelos ergueitos entre os nervios do envés	nula ou moi baixa	1
086	Densidade dos pelos tombados sobre os nervios do envés	nula ou moi baixa	1
087	Densidade dos pelos ergueitos sobre os nervios do envés	nula ou moi baixa	1
088	Peluxe dos nervios principais da face	ausentes	1
089	Peluxe ergueita dos nervios principais da face	ausentes	1
090	Densidade dos pelos tombados do pecíolo	nula ou moi baixa	1
091	Densidade dos pelos ergueitos do pecíolo	nula ou moi baixa	1
093	Lonxitude do pecíolo en relación ao nervio central	igual	5
Inflorescencia			
151	Sexo da flor	hermafrodita	3
Acio			
202	Lonxitude	moi longa	9
204	Compacidade	moi solta	1
206	Lonxitude do pedúnculo	media	5
208	Forma	en embude	3
209	Número de ás do acio primario	1 ou 2	2
Bago			
220	Lonxitude	moi longa	9
221	Anchura	moi ancha	9
222	Uniformidade do tamaño	uniforme	2
223	Forma	elíptica longa	4
225	Cor da epiderme	rosa	2

Caracterización ampelométrica

Carácter ampelométrico	Valor máximo e mínimo (cm)	Valor medio (cm)
Lonxitude do nervio central (N1)	12,20-9,62	11,33
Lonxitude do nervio principal lateral superior (N2)	11,52-8,88	10,60
Lonxitude do nervio principal lateral inferior (N3)	8,73-6,69	7,95
Lonxitude do nervio secundario inferior (N4)	5,52-4,00	4,78
Lonxitude do nervio terciario inferior (N5)	2,86-1,84	2,33
Distancia do punto peciolar á intersección de N3-N4 (N6)	1,56-0,97	1,22
Distancia do punto peciolar ao seo superior (U)	5,96-3,10	4,89
Distancia do punto peciolar ao seo inferior (O)	5,08-3,34	4,09
Número de dentes entre o extremo N2 e o seu primeiro nervio secundario (ND)	10,00-7,00	8,20

Carácter apelmométrico	Valor máximo e mínimo (cm)	Valor medio (cm)
Distancia entre o extremo de N2 e o seu primeiro nervio secundario (PL)	5,38-4,65	5,01
Lonxitude do dente de N1 medido ao punto medio da base (L1)	1,10-0,73	0,94
Lonxitude do dente de N2 medido ao punto medio da base (L2)	1,34-1,05	1,21
Lonxitude do dente de N3 medido ao punto medio da base (L3)	1,31-0,60	0,93
Lonxitude do dente de N4 medido ao punto medio da base (L4)	0,76-0,57	0,66
Anchura do dente de N1 (A1)	1,18-0,59	0,91
Anchura do dente de N2 (A2)	1,40-0,82	1,12
Anchura do dente de N3 (A3)	1,20-0,99	1,11
Anchura do dente de N4 (A4)	1,13-0,70	0,91
Abertura do seo peciolar (SP)	5,49-3,90	4,76
Ancho da folla (AN)	16,84-14,23	15,89
Alto da folla (ALT)	15,84-12,67	14,88
Proxección da distancia entre os extremos N1 e N3 sobre o eixe da folla (L)	13,40-8,73	11,63
Distancia entre os extremos N2 do lado grande e do lado pequeno (IS)	13,81-8,93	12,16
Distancia entre os extremos N3 do lado grande e do lado pequeno (II)	16,82-13,95	15,51
Distancia entre os extremos de N1 e N2 (ENS)	7,92-3,91	6,57
Distancia entre os extremos de N2 e N3 (ENM)	7,23-5,49	6,45
Distancia entre os extremos de N3 e N4 (ENI)	6,78-3,95	5,77
Distancia do punto peciolar ao extremo de N4 (NL)	6,44-5,17	5,76
Distancia entre as bases dos seus superiores (DS1)	4,70-3,11	4,00
Distancia entre a base dos seus inferiores (DS2)	9,30-6,16	7,54
Distancia entre as bases do seo superior e inferior (DS)	3,82-2,15	3,24
Abertura do seo superior (SS)	0,00-0,00	0,00
Abertura do seo inferior (SI)	0,00-0,00	0,00

Carácter apelmométrico	Valor máximo e mínimo (graos)	Valor medio (graos)
Ángulo entre N1 e N2 (A)	46,84-36,76	41,70
Ángulo entre N2 e N3 (B)	49,63-37,03	41,71
Ángulo entre N3 e N4 (C)	53,58-41,49	46,02
Ángulo entre N4 e N5 (D)	41,03-36,02	38,83
Ángulo entre N3 e o bordo do seo peciolar (E)	55,19-41,54	49,58
Ángulo entre os extremos de N1 e o seu primeiro nervio secundario (F)	122,76-96,65	108,22
Ángulo entre os extremos N1 e N2 (AP)	142,52-126,44	134,63

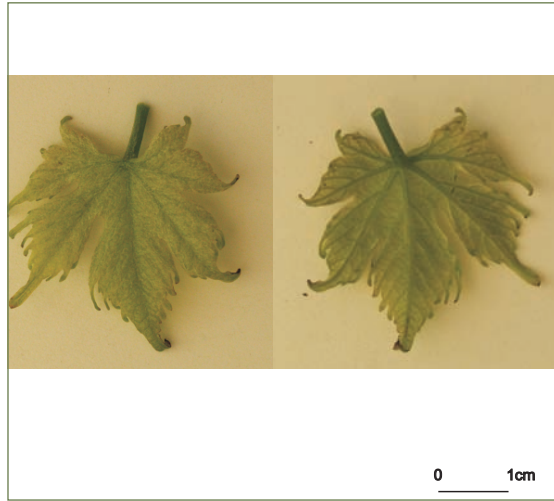
Caracterización molecular

Microsatélites	VVS2	VVMD5	VVMD7	ssrVrZAG47	ssrVrZAG62	ssrVrZAG79	VVS29	VVS5
Pb	130	230	237	157	185	245	169	85
	142	236	247	157	203	245	169	150

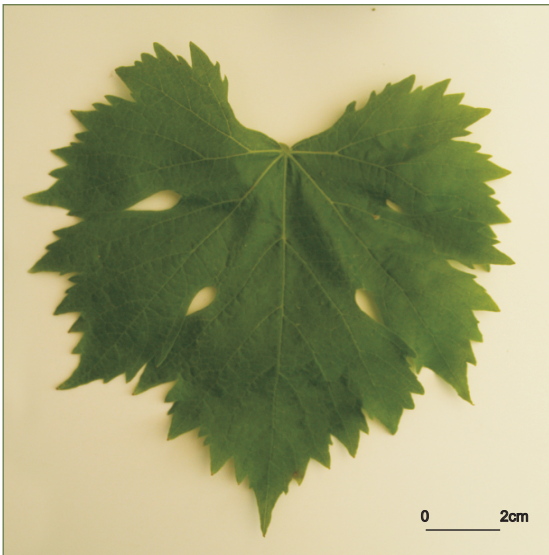
SUMIDADE



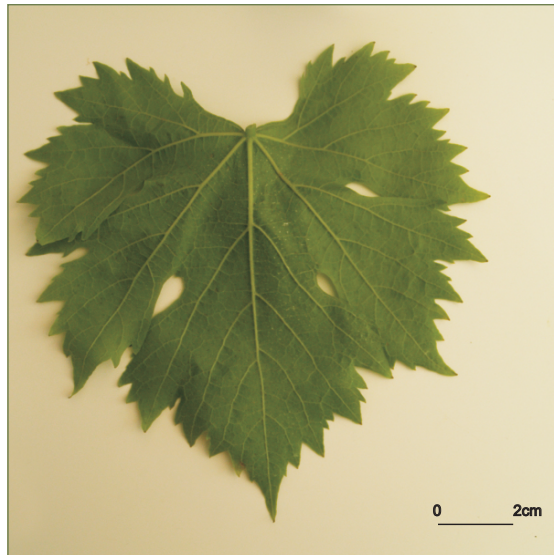
FOLLA NOVA: FACE, ENVÉS



FOLLA ADULTA: FACE



FOLLA ADULTA: ENVÉS

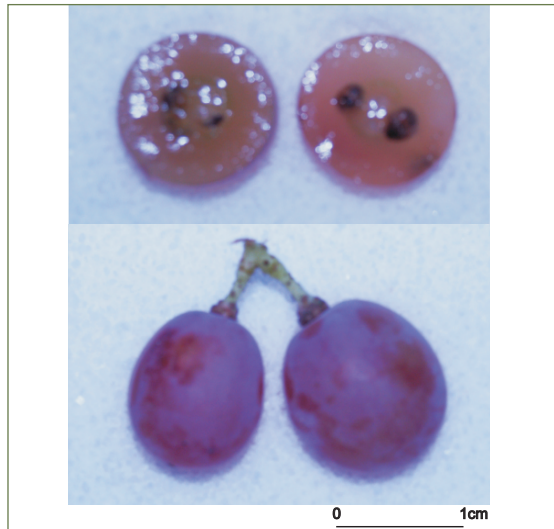


372

ACIO



BAGO



EVEGA 6

Referencias na colección da EVEGA:
F47P44P51.

Descrición morfolóxica

Pámpano novo

O pámpano novo presenta a extremidade aberta con peluxe tombada de densidade alta e pigmentación reberetada de intensidade media. A cara dorsal do entrenó é verde e vermella, mentres a ventral é verde; a cara dorsal do nó é vermella e a cara ventral, verde. As xemas non presentan pigmentación antociánica.

Folla nova

A folla nova é cobreada-avermellada, con peluxe tombada de densidade alta.

Folla adulta

A folla adulta de cor verde media presenta tamaño grande e forma pentagonal, con cinco lóbulos; pe-

luda, con densidade media de pelos tombados entre os nervios principais, e baixa sobre os nervios principais, perfil plano; limbo con avultamento de intensidade media e inchazón débil; dentes con lados rectilíneos, de lonxitude curta en relación á súa anchura; seo peciolar con lóbulos medio superpostos e coa base en forma de chave; seos laterais superiores abertos coa base en forma de V; pecíolo lixeiramente máis curto que o nervio principal.

Acio

O acio é en forma de embude, longo e ancho, de compacidade media e con presenza de 1 ou 2 ás. O pedúnculo é de lonxitude curta.

Bago

O bago de cor azul negra presenta forma elíptica curta.

Caracterización ampelográfica

Código OIV	Carácter OIV	Notación	Nivel de expresión
Pámpano novo			
001	Forma da extremidade	aberta	5
002	Distribución da pigmentación antociánica da extremidade	reberetada	2
003	Intensidade da pigmentación antociánica da extremidade	media	5
004	Densidade dos pelos tombados da extremidade	alta	7
005	Densidade dos pelos ergueitos da extremidade	nula ou moi baixa	1
006	Porte	semi-ergueito	3
007	Cor da cara dorsal dos entrenós	verde e vermella	2
008	Cor da cara ventral dos entrenós	verde	1
009	Cor da cara dorsal dos nós	vermella	3
010	Cor da cara ventral dos nós	verde	1
011	Densidade dos pelos ergueitos dos nós	nula ou moi baixa	1
012	Densidade dos pelos ergueitos dos entrenós	nula ou moi baixa	1
015.1	Pigmentación antociánica das xemas	ausente	1
015.2	Intensidade da pigmentación antociánica das xemas	nula ou moi débil	1
0.16	Número de gabiáns consecutivos	dous	1
Folla nova			
051	Cor da face	cobreada-avermellada	4
053	Densidade dos pelos tombados entre os nervios	alta	7
056	Densidade dos pelos ergueitos dos nervios principais	nula ou moi baixa	1
Folla adulta			
065	Tamaño	grande	7
067	Forma do limbo	pentagonal	3
068	Número de lóbulos	cinco	3
069	Cor da face	verde media	5
070	Pigmentación antociánica dos nervios principais da face do limbo	nula	1
071	Pigmentación antociánica dos nervios principais do envés do limbo	nula	1
072	Avultamento do limbo	medio	5
073	Ondulación do limbo entre os nervios principais ou secundarios	presente	9
074	Perfil	plano	1
075	Inchazón da face	débil	3
076	Forma dos dentes	rectilíneos	2
078	Lonxitude dos dentes en relación á súa anchura na base	pequenos	3
079	Solapamento do seo peciolar	medio superpostos	5
080	Forma da base do seo peciolar	en chave	2
081.1	Dentes no seo peciolar	ausentes	1
081.2	Base do seo peciolar limitada pola nervadura	non delimitada	1
082	Solapamento dos seos laterais superiores	aberto	1
083.1	Forma da base dos seos laterais superiores	en V	3

Código OIV	Carácter OIV	Notación	Nivel de expresión
083.2	Dentes nos seus laterais superiores	ausente	1
084	Densidade dos pelos tombados entre os nervios do envés	media	5
085	Densidade dos pelos ergueitos entre os nervios do envés	nula	1
086	Densidade dos pelos tombados sobre os nervios do envés	baixa	3
087	Densidade dos pelos ergueitos sobre os nervios do envés	nula	1
088	Peluxe dos nervios principais da face	ausentes	1
089	Peluxe ergueita dos nervios principais da face	ausentes	1
090	Densidade dos pelos tombados do pecíolo	nula ou moi baixa	1
091	Densidade dos pelos ergueitos do pecíolo	nula ou moi baixa	1
093	Lonxitude do pecíolo en relación ao nervio central	lixeramente máis curto	3
Inflorescencia			
151	Sexo da flor	hermafrodita	3
Acio			
202	Lonxitude	longa	7
204	Compacidade	media	5
206	Lonxitude do pedúnculo	curta	3
208	Forma	en embude	3
209	Número de ás do acio primario	1 ou 2	2
Bago			
220	Lonxitude	longa	7
221	Anchura	ancha	7
222	Uniformidade do tamaño	uniforme	2
223	Forma	elíptica curta	3
225	Cor da epiderme	azul negra	6

375

Caracterización ampelométrica

Carácter ampelométrico	Valor máximo e mínimo (cm)	Valor medio (cm)
Lonxitude do nervio central (N1)	15,49-9,27	12,31
Lonxitude do nervio principal lateral superior (N2)	13,41-8,84	11,20
Lonxitude do nervio principal lateral inferior (N3)	9,78-6,50	8,35
Lonxitude do nervio secundario inferior (N4)	6,07-4,12	5,33
Lonxitude do nervio terciario inferior (N5)	3,62-1,82	2,82
Distancia do punto peciolar á intersección de N3-N4 (N6)	1,50-0,62	1,04
Distancia do punto peciolar ao seo superior (U)	7,52-5,00	6,30
Distancia do punto peciolar ao seo inferior (O)	7,07-4,90	6,37
Número de dentes entre o extremo N2 e o seu primeiro nervio secundario (ND)	8,00-5,00	6,14

Carácter ampelométrico	Valor máximo e mínimo (cm)	Valor medio (cm)
Distancia entre o extremo de N2 e o seu primeiro nervio secundario (PL)	7,98-5,69	6,64
Lonxitude do dente de N1 medido ao punto medio da base (L1)	1,54-0,51	0,86
Lonxitude do dente de N2 medido ao punto medio da base (L2)	1,58-0,64	1,17
Lonxitude do dente de N3 medido ao punto medio da base (L3)	1,42-0,67	1,02
Lonxitude do dente de N4 medido ao punto medio da base (L4)	0,86-0,31	0,65
Anchura do dente de N1 (A1)	1,79-0,84	1,48
Anchura do dente de N2 (A2)	2,20-1,25	1,77
Anchura do dente de N3 (A3)	2,14-1,10	1,56
Anchura do dente de N4 (A4)	1,44-0,65	1,08
Abertura do seo peciolar (SP)	2,97-0,51	1,80
Ancho da folla (AN)	22,62-14,86	19,00
Alto da folla (ALT)	21,78-13,60	18,46
Proxección da distancia entre os extremos N1 e N3 sobre o eixe da folla (L)	21,64-13,23	18,20
Distancia entre os extremos N2 do lado grande e do lado pequeno (IS)	21,25-14,40	18,42
Distancia entre os extremos N3 do lado grande e do lado pequeno (II)	21,32-11,92	14,75
Distancia entre os extremos de N1 e N2 (ENS)	16,66-8,21	12,21
Distancia entre os extremos de N2 e N3 (ENM)	12,57-7,77	10,35
Distancia entre os extremos de N3 e N4 (ENI)	12,50-4,78	7,07
Distancia do punto peciolar ao extremo de N4 (NL)	7,22-4,72	6,35
Distancia entre as bases dos seos superiores (DS1)	10,00-6,88	8,70
Distancia entre a base dos seos inferiores (DS2)	13,37-9,87	11,69
Distancia entre as bases do seo superior e inferior (DS)	8,39-6,35	7,30
Abertura do seo superior (SS)	1,30-0,39	0,98
Abertura do seo inferior (SI)	1,57-0,66	1,15

Carácter ampelométrico	Valor máximo e mínimo (graos)	Valor medio (graos)
Ángulo entre N1 e N2 (A)	77,33-66,04	72,11
Ángulo entre N2 e N3 (B)	69,69-45,79	61,57
Ángulo entre N3 e N4 (C)	67,63-50,60	59,02
Ángulo entre N4 e N5 (D)	52,53-39,35	48,00
Ángulo entre N3 e o bordo do seo peciolar (E)	76,61-52,29	64,35
Ángulo entre os extremos de N1 e o seu primeiro nervio secundario (F)	118,82-96,18	106,34
Ángulo entre os extremos N1 e N2 (AP)	118,26-100,69	109,25

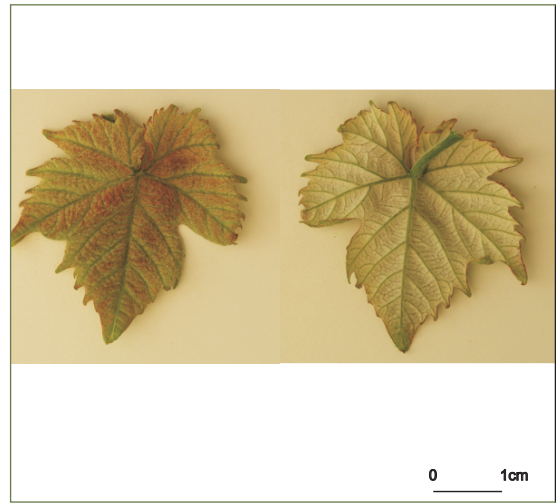
Caracterización molecular

Microsatélites	VVS2	VVMD5	VVMD7	ssrVrZAG47	ssrVrZAG62	ssrVrZAG79	VVS29	VVS5
Pb	130	222	249	159	185	245	169	85
	140	222	261	165	193	245	177	121

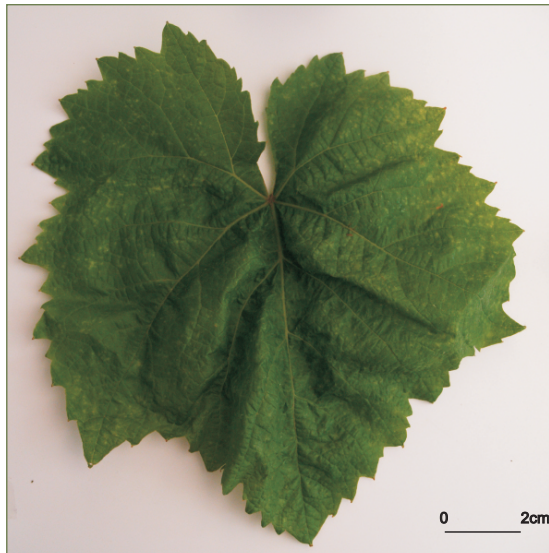
SUMIDADE



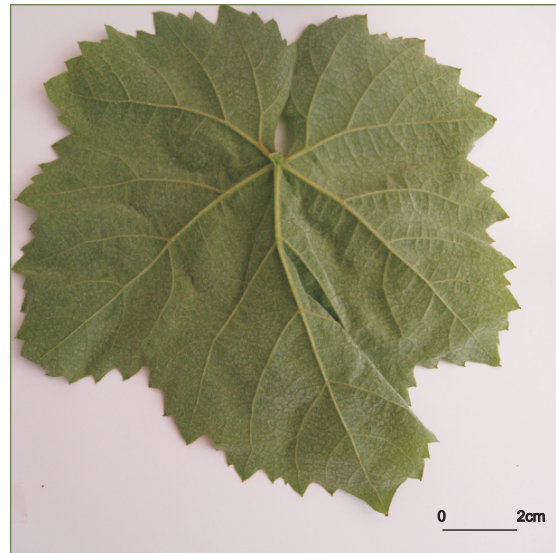
FOLLA NOVA: FACE, ENVÉS



FOLLA ADULTA: FACE



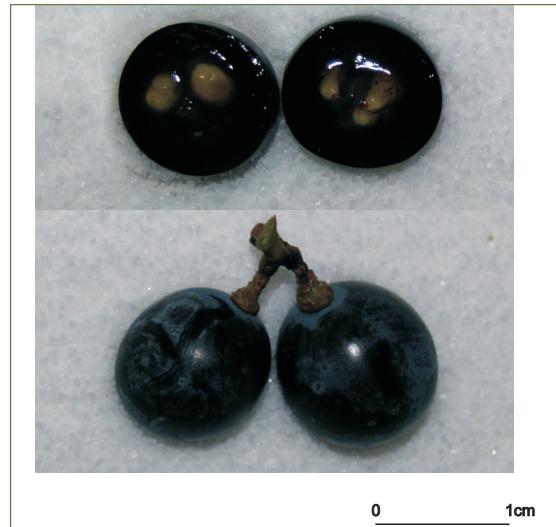
FOLLA ADULTA: ENVÉS



ACIO



BAGO





BIBLIOGRAFÍA CONSULTADA

- Blanco, P.; Losada, A.; Orriols, I. (2007). Potencial enológico de Branco Lexítimo y Agudelo. *Vinoteq*, 37, 15-19.
- Blanco, P.; Vázquez-Alén, M.; Losada, A. (2008). Influence of yeast population of characteristics of the winw obtained in spontaneous and inoculated fermentations of must from *Vitis vinifera* Lado. *J. Ind. Microbiol. Biotechnol.*, 35, 183-188.
- Borrego, J.; de Andrés, M.T.; Gómez, J.L.; Ibáñez, J. (2002). Genetic Study of Malvasía and Torrontés groups through molecular markers. *Am. J. Enol. Vitic.*, 53 (2), 125-130.
- Boursiquot, J.M.; Faber, M.P.; Balchier, O.; Truel, P. (1987). Utilisation par l'informatique et traitement statistique d'un fichier ampélographique. *Agronomie*, 7 (1), 13-20.
- Bowers, J.E.; Dangl, G.S.; Vignani, R.; Meredith, C.P. (1996). Isolation and characterization of new polymorphic simple sequence repeat loci in grape (*Vitis vinifera* L.). *Genome*, 39, 628-633.
- Cabezas, J.A.; Cervera, M.T.; Arroyo-García, R.; Ibáñez, J.; Rodríguez-Torres, I.; Borrego, J.; Cabello F.; Martínez Zapater J.M. (2003). Garnacha and Garnacha Tintorera: Genetic Relationships and the Origin of Teinturie Varieties Cultivated in Spain. *Am. J. Enol. Vitic.*, 54 (4), 237-245.
- Casares, A. (1843). *Observaciones sobre el cultivo de la vid en Galicia*. Imprenta de la Viuda e Hijos de Compañel, Santiago de Compostela.
- Catastro Vitícola y vinícola de la provincia de La Coruña*. 1983. Ed. Ministerio de Agricultura Pesca e Alimentación.
- Catastro Vitícola y vinícola de la provincia de Lugo*. (1983). Ed. Ministerio de Agricultura Pesca e Alimentación.
- Catastro Vitícola y vinícola de la provincia de Orense*. (1983). Ed. Ministerio de Agricultura Pesca e Alimentación.
- Catastro Vitícola y vinícola de la provincia de Pontevedra*. (1983). Ed. Ministerio de Agricultura Pesca e Alimentación.

- Chomé, P.; Sotés, V.; Benayas, F.; Cayuela, M.; Hernández, M.; Cabello, F.; Ortiz, J.; Rodríguez, I.; Chaves, J. (2003). *Variedades de vid. Registro de Variedades Comerciales*. Ed. Ministerio de Agricultura Pesca e Alimentación.
- Cid, N.; Boursiquot, J.M.; Saa Otero, M.P.; Romani-Martínez, L. (1994). Differentiation des cépages autochtones du Nord-Ouest de l'Espagne (Galice) et élaboration d'une clé de détermination basée sur l'ampélogométrie. *J. Int. Sci. Vigne Vin*, 28 (1), 1-17.
- Cid, N.; Boursiquot, J.M.; Romani-Martínez, L.; Saa, M.P. (1998). Differentiation of clones of varieties of grapevines that are traditionally cultivated in NW Spain (Galicia) and elaboration of determination key for application of philometric measures. *J. Int. Sci. Vigne Vin*, 32 (4), 183-191.
- Cortés, S.; Díaz-Losada, E. (2009). Valoraciones de la posible incidencia aromática de vinos elaborados con cultivares Treixadura y Albilla en la Denominación de Origen Ribeiro. *Actas de X Congreso Nacional de Investigación Enológica*. Ourense.
- Cortés, S.; Río, S.; Rego, F.; Díaz-Losada, E. (2008a). Comparación de vinos de Brancellao y Albarello a través de su análisis químico y sensorial. *Actas del Segundo Congreso Internacional sobre Viticultura de Montaña y fuerte Pendiente*. Monforte de Lemos (Galicia).
- Cortés, S.; Río, S.; Rego, F.; Díaz-Losada, E. (2008b). Contribution to sensory and volátil characterization of four traditional Galician red varieties. *Actas VIIème Congrès International des Terroirs Viticoles*. Nyon (Suiza).
- Cortés, S.; Río, S.; Rodríguez, E.; Soto, E.; Díaz-Losada, E. (2008c). Mouratón y Mencía, estudio de su similitud en base a parámetros agronómicos y enológicos. *Actas del Segundo Congreso Internacional sobre Viticultura de Montaña y fuerte Pendiente*. Monforte de Lemos (Galicia).
- Cortés, S.; Río, S.; Soto, E.; Rego, F.; Díaz-Losada, E. (2008d). Estudio comparativo de la maduración, potencial enológico de los cultivares tintos Caíño da Terra, Caíño Longo, Caíño Astureses y Caíño Redondo. *Vino Teq.*, 24-27.
- Costantini, L.; Monaco, A.; Vouillamoz, J.F.; Forlani, M.; Grando, M.S. (2005). Genetic relationships among local *Vitis vinifera* cultivars from Campania (Italy). *Vitis*, 44 (1), 25-34.
- Crespan, M.; Cabello, F.; Giannetto, S.; Ibáñez, J.; Karoglan-Kontic, J.; Maletic, E.; Pejic, I.; Rodríguez-Torres, I. Antonacci, D. (2006). Malvasia delle Lapari, Malvasia di Sardegna, Greco di Gerace, Malvasia de Sitges and Malvasia dubrovacka – synonyms of an old and famous grape cultivar. *Vitis*, 45 (2), 69-73.
- DOG (2006). Orde do 11 de decembro 2006 pola que se recoñece a indicación xeográfica Viño da Terra Barbanza e Iria e se establecen as normas da súa utilización nos viños de mesa producidos na área xeográfica delimitada.
- DOG (2006). Orde do 21 de decembro 2006 pola que se modifica a Orde do 8 de novembro de 2000, sobre as condicións que deben cumprir para acollerse á denominación Viño da Terra de Betanzos os caldos elaborados nesa comarca vitivinícola.
- DOG (2009). Orde do 10 de febreiro de 2009 pola que se modifica e refunde a normativa reguladora da indicación xeográfica Viño da Terra Val do Miño Ourense.
- DOG (2009). Orde do 21 de xullo 2009 pola que se aproba o Regulamento da denominación de orixe Rías Baixas e do seu Consello Regulador.
- DOG (2009). Orde do 24 de novembro de 2009 pola que se aproba o Regulamento da denominación de orixe Valdeorras e do seu Consello Regulador.
- DOG (2009). Orde do 29 de setembro de 2009 pola que se aproba o Regulamento da

- denominación de orixe Ribeira Sacra e do seu Consello Regulador.
- DOG (2009). Orde do 30 de xullo 2009 pola que se aproba o Regulamento da denominación de orixe Monterrei e do seu Consello Regulador.
- DOG (2009). Orde do 30 de xullo de 2009 pola que se aproba o Regulamento da denominación de orixe Ribeiro e do seu Consello Regulador.
- Díaz-Losada, E.; Río, S.; Cortés, S.; Soto, E.; De Sá Otero, M.P. (2008). Evolución de la maduración de viníferas de cultivo tradicional en Galicia. *Enólogos*, 40-45.
- Díaz-Losada, E.; Río, S.; Soto, E.; Cortés, S. (2008). Estudio de la potencialidad del cultivar Sousón para la elaboración de vinos tintos. *Actas del Segundo Congreso Internacional sobre Viticultura de Montaña y fuerte Pendiente*. Monforte de Lemos (Galicia).
- Díaz-Losada, E.; Tato Salgado, A.; Ramos-Cabrer, A.; Río Segade, S.; Cortés Diéguez, S.; Pereira Lorenzo, S. (2010). Twenty microsatellites (SSRs) reveal two main origins of variability in grapevine cultivars from Northwestern Spain. *Vitis*, 49 (2), 55-62.
- Díaz-Losada, E.; Tato Salgado, A.; Ramos Cabrer, M.A.; Pereira Lorenzo, S. (2011). Denomination of Genetic Relationships of Albariño and Loureira Cultivars with Caño Group by Microsatellites. *Am. J. Enol. Vitic.*, 62(3), 371-375 doi: 10.5344/ajev. 2011.10040.
- Díaz-Losada, E.; Vázquez, I.; Rego, F.; De Sá Otero, M.P.; Salgado, R.; Orriols, I.; Rodríguez Torres, I.; Cabello, F. (2006). Contribución a la caracterización de variedades minoritarias autóctonas de Galicia. *Actas XXIX congreso Mundial de la Vid y el Vino*. Logroño.
- Fatahi, R.; Ebadi, A.; Mehlenbacher, S.A.; Bassil, N.V. (2003). Characterization of Iranian grapevine cultivars using microsatellite markers. *Vitis*, 42 (4), 185-192
- Fernández Crespo, D. (1897). La invasión filoxérica en la provincial de Lugo. *Cartilla vitícola; cultivo de cepas Americanas y Europeo-Americanas*. Tipografía Antonio Villamarín, Lugo.
- Freijanes, J.; Alonso, P.; Pérez, J.E.; Rega, J.; Orriols, I.; Estevan, C.; Ferradas, P.; Martínez, F.; Lara, M. (1993). *Variedades autóctonas de cepas gallegas para Vinos Blancos*. Ed. Ici-Zeltia.
- Freijanes, J.; Alonso, M.P. (1997). *Videiras galegas. Catálogo de Variedades autóctonas*. Ed. Servicio de Estudios e Publicacións da Consellería de Agricultura, Ganadería e Montes, Xunta de Galicia, Santiago de Compostela.
- Gago, P.; Santiago, J.L.; Boso, S.; Alonso-Villaverde, V.; Grando, M.E.; Martínez, M.C. 2009. Biodiversity and Characterization of Twenty-two *Vitis vinifera* L. Cultivars in the Northwestern Iberian Peninsula. *Am. J. Enol. Vitic.*, 60, 3, 293-301.
- Galet, P. (1985). *Precis d'Ampelographie pratique*. Ed. Ministère de l'Education National de la Recherche et de la Technologie. Montpellier.
- García de los Salmones, N. (1914). *Memoria General de las Sesiones del I Congreso Nacional de Viticultura*. Pamplona
- Garkava-Gustavsson, L.; Kolodinska Brantestam, A.; Sehic, J.; Nybom, H. (2008). Molecular characterisation of indigenous Swedish apple cultivars based on SSR and S-allele analysis. *Hereditas*, 00, 1-14 (DOI: 10.1111/j.2008.0018-0661.02042.x).
- Havrleva, T.; Rusanov, K.; Lefort, F.; Tsvetkov, I.; Atanassov, A.; Atanassov, I. (2004). Genotyping of Bulgarian *Vitis vinifera* L. cultivars by microsatellite analysis. *Vitis*, 43 (1), 27-34
- Hernández Mañas, J.L.; Rodríguez-Rodríguez, J.M. (2006). *As decisións na plantación do viñado*. Ed. Xunta de Galicia.
- Hidalgo, L.; Candela, M.R. (1971). *Contribución al conocimiento inventario vitícola nacional*, INIA, Madrid

- Huetz de Lemp, A. (1967). *Vignobles et vins du Nord-Ouest de l'Espagne*. Tome I. Féret & Fils Ed. Bourdeaux.
- Ibáñez, J.; De Andrés, M.; Molino, A.; Borrego, J. (2003). Genetic study of key Spanish rapevine varieties using Microsatellite análisis. *Am. J. Enol. Vitic.*, 54 (1), 22-29.
- Lopes, M.S.; Rodrigues dos Santos, M.; Eiras Dias, J.E.; Mendonça, D.; Da Câmara Machado, A. (2006). Discrimination of Portuguese grapevines based on microsatellite markers. *Journal of Biotechnology*, 127 (1), 34-44.
- Martín, J.P.; Borrego, J.; Cabello, F.; Ortiz, J.M. (2003). Characterisation of Spanish grapevine cultivar diversity using sequence-tagged microsatellite site markers. *Genome*, 10-18.
- Martín, J.P.; Santiago, J.L.; Pinto-Caride, O.; Leal, F.; Martínez, M.C.; Ortiz, J.M. (2006). Determination of relationships among autochthonous grapevine varieties (*Vitis vinifera* L.) in the Northwest of the Iberian Peninsula by using microsatellite markers. *Genetic Resources and Crop Evolution*, 53, 1255-1261.
- Milla Tapia, A.; Cabezas, J.A.; Cabello, F.; Lacombe, T.; Martínez-Zapater, J.M.; Hinrichsen, P.; Cervera, M.T. (2007). Determining the Spain Origin of Representative Ancient American Grapevine Varieties. *Am. J. Enol. Vitic.*, 58 (2), 242-251.
- Núñez, Y.; Fresno, J.; Torres, V.; Ponz, F.; Gallego, F.J. (2004). Practical use of microsatellite markers to manage *Vitis vinifera* germplasm: Molecular identification of grapevine samples collected blindly in D.O. "El Bierzo" (Spain). *J. Hortic. Sci. Biotechnol.*, 79 (3), 437-440.
- Office International de la Vigne et du Vin (OIV) (1999). *Le code des caractères descriptifs des variétés et espèces de Vitis*. Ed. Dedon, Paris.
- Orriols, I.; Moser, S.; López, C.; Losada, A.; Blanco, P. (2008). Características enológicas de Blanco Lexítimo. *31 Congress of vine and Wine*. Verona, Italia.
- Pinto-Carnide, O.; Castro, I.; Martín, J.P.; Leal, F. (2003). Characterization of grapevine (*Vitis vinifera* L.) cultivars from northern Portugal using RAPD and microsatellite markers. *Vitis*, 42 (1), 23-25.
- Río, S.; Soto, E.; Cortés, S.; Díaz-Losada, E. (2008). Composición fenólica de uvas y vinos monovarietales de la variedad tintorera Gran Negro. *VinoTeq.*, 20-23.
- Rubio, J.A.; Yuste, J.; Arranz, C.; Martín, J.P.; Ortiz, J.M. (2005). Variedades autóctonas de vid de Arribes del Duero: descripción y sinonimias. *Viticultura y Enología Profesional*, 99, 5-17.
- Santana, J.C.; Hidalgo, E.; de Lucas, A.I.; Recio, P.; Ortiz, J.M.; Martín, J.P.; Yuste, J.; Arranz, C.; Rubio, J.A. (2008). Identification and relationships of accessions grown in the grapevine (*Vitis vinifera* L.) Germplasm Bank of Castilla y León (Spain) and the varieties authorized in the VQPRD areas of the region by SSR-marker analysis. *Genet. Resour. Crop. Evol.*, 55, 573-583.
- Santiago, J.L.; Boso, S.; Martín, J. P.; Ortiz, J. M.; Martínez, M.C. (2005). Characterization and Identification of Grapevine (*Vitis vinifera* L.) Cultivars from Northwestern Spain Using Microsatellite Markers and Ampelometric Methods. *Vitis*, 442, 67-72.
- Santos-Solla, J.M. (1992). *Geografía de la vid y el vino en Galicia*. Ed. Excelentísima Deputación de Pontevedra, Pontevedra.
- Sefc, K.M.; Regner, F.; Turetschek, J.; Glössl, E.; Steinkellner, J. (1999). Identification of microsatellite sequences in *Vitis riparia* and their applicability for genotyping of different *Vitis* species. *Genome*, 42, 367-373.
- Thomas, M.R.; Scott, N.S. (1993). Microsatellite repeats in grapevine reveal DNA polymorphisms when analysed as sequence-tagged sites (STSs). *Theor. Appl. Genet.*, 86, 985-990.

- Truel, P. (1983). Notes sur les cépages du Portugal et leur synonymie. *Progrès Agricole et Viticole*, 100 (17), 1-18
- UPOV. (1999). Directrices para la ejecución del examen de la distinción, la homogeneidad y la estabilidad. Vid (*Vitis* L.). *Internacional Union for the Protection of new varieties of plants*. Ginebra.
- Zulini, L.; Russo, M.; Peterlunger, E. 2002. Genotyping wine and table grape cultivars from Apulia (Southern Italy) using microsatellite markers. *Vitis*, 41, 183-187.
- European Vitis Database. <http://www.genres.de/eccdb/vitis/>
- Grape Microsatellite Collection. Instituto Agrario San Michele all'Adige (IASMA) Italy. <http://meteo.iasma.it/genetica/gmc.html>
- Greek Vitis Database. <http://gvd.biology.uoc.gr/gvd/index.htm>
- Image J. Software. U.S. National Institutes of Health. <http://rsb.info.nih.gov/ij/>
- Peak Scanner™ Software v1.0. Applied Biosystems: Products, Fragment Analysis Software: <https://products.appliedbiosystems.com/ab/en/US/adirect/ab?cmd=catNavigate2&catID=603624>
- Swiss Vitis Microsatellite Database. www1.unine.ch/svmd/
- Vitis international variety catalog. <http://www.vivc.bafz.de/index.php>

